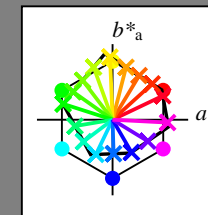


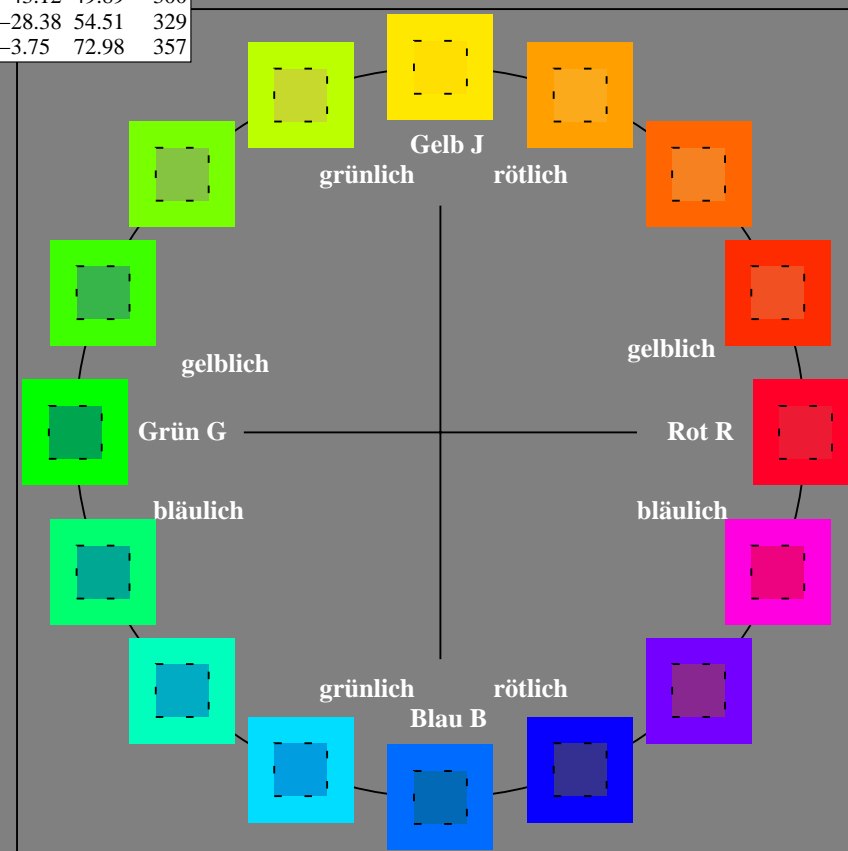
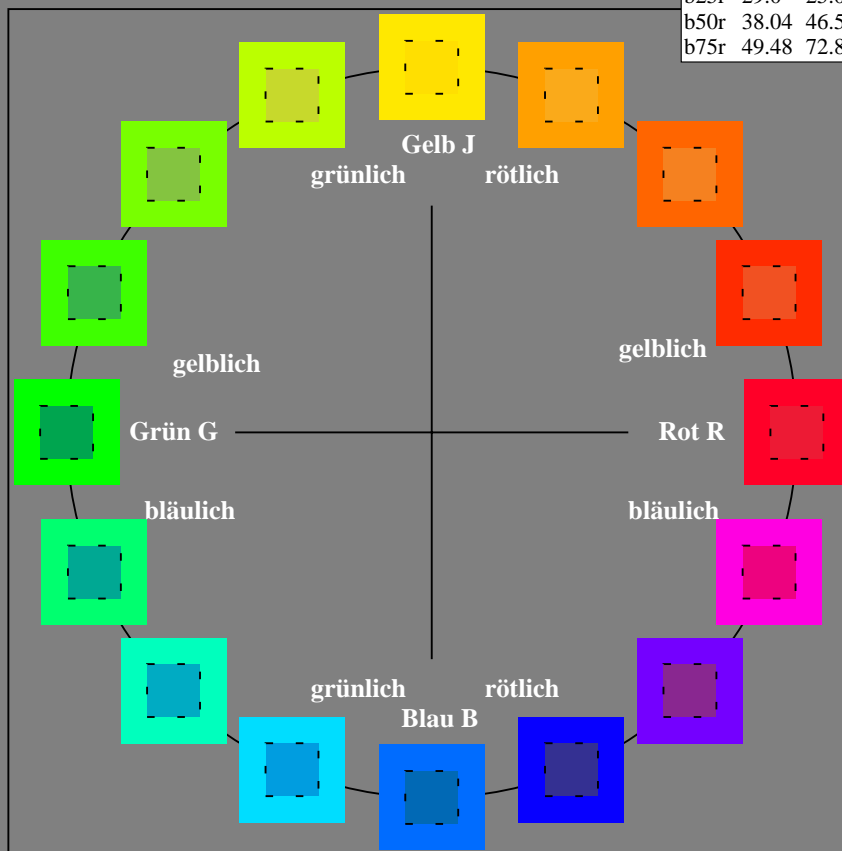
Ein und Ausgabe:  
Farbmetrisches Drucker-Reflektiv-System ORS19\_96a  
Daten für jede Farbe:  
 $lab^{*}ch^{*}$  und  $lab^{*}icu^{*}$   
Elementar-Bunttontext:  
 $u^{*} = 16$  Buntttöne  $r00j$ ,  $r25j$ , ...,  $b75r$   
Kontrastreduzierungsfaktor:  
 $c_R = 1.0$

ORS19_96a; adaptierte CIELAB-Daten					
	$L^{*}=L^{*}_a$	$a^{*}_a$	$b^{*}_a$	$C^{*}_{ab,a}$	$h^{*}_{ab,a}$
r00j	48.88	66.47	31.67	73.63	25
r25j	55.85	52.39	47.48	70.7	42
r50j	65.45	35.22	58.37	68.17	59
r75j	75.19	17.82	69.41	71.66	76
j00g	87.03	-3.34	82.83	82.9	92
j25g	80.72	-25.0	69.5	73.86	110
j50g	70.64	-39.53	51.97	65.3	127
j75g	61.93	-52.09	36.83	63.8	145
g00b	52.8	-65.27	20.93	68.56	162
g25b	55.7	-49.57	-8.38	50.28	190
g50b	57.82	-38.39	-28.91	48.07	217
g75b	55.5	-22.04	-45.94	50.97	244
b00r	41.6	1.37	-45.0	45.03	272
b25r	29.0	25.08	-43.12	49.89	300
b50r	38.04	46.53	-28.38	54.51	329
b75r	49.48	72.88	-3.75	72.98	357



%Umfang  
 $u^{*}_{rel} = 89$   
%Regularität  
 $g^{*}_{H,rel} = 72$   
 $g^{*}_{C,rel} = 57$

ORS19_96a; adaptierte CIELAB-Daten					
	$L^{*}=L^{*}_a$	$a^{*}_a$	$b^{*}_a$	$C^{*}_{ab,a}$	$h^{*}_{ab,a}$
OMa	48.75	65.07	39.43	76.08	31
YMa	90.92	-10.28	87.24	87.85	97
LMa	52.69	-65.43	20.75	68.65	162
CMa	59.61	-28.97	-46.21	54.56	238
VMa	28.39	23.63	-44.12	50.06	298
MMa	49.58	73.93	-9.55	74.55	353
NMa	18.89	0.0	0.0	0.0	0
WMa	96.9	0.0	0.0	0.0	0
RCIE	39.92	58.74	27.99	65.07	25
JCIE	81.26	-2.88	71.56	71.62	92
GCIE	52.23	-42.41	13.6	44.55	162
BCIE	30.57	1.41	-46.46	46.49	272



Ein und Ausgabe: Farbmetrisches Drucker-Reflektiv-System ORS19\_96a für relativen CIELAB-Buntton  $h^* = lab^*h^* = h_{ab}/360 = 25/360 = 0.071$   $u^* = r00j$

Daten für jede Farbe:

$lab^*ch^*$  und  $lab^*icu^*$

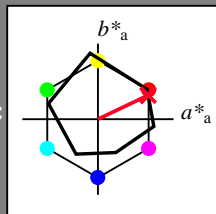
Elementar-Bunttontext:

$u^* = r00j$

Kontrastreduzierungsfaktor:

$c_R = 1.0$

Dreiecks-Helligkeit  $t^*$



ORS19\_96a; adaptierte CIELAB-Daten

	$L^*=L^*_a$	$a^*_a$	$b^*_a$	$C^*_{ab,a}$	$h^*_{ab,a}$
O <sub>Ma</sub>	48.75	65.07	39.43	76.08	31
Y <sub>Ma</sub>	90.92	-10.28	87.24	87.85	97
L <sub>Ma</sub>	52.69	-65.43	20.75	68.65	162
C <sub>Ma</sub>	59.61	-28.97	-46.21	54.56	238
V <sub>Ma</sub>	28.39	23.63	-44.12	50.06	298
M <sub>Ma</sub>	49.58	73.93	-9.55	74.55	353
N <sub>Ma</sub>	18.89	0.0	0.0	0.0	0
W <sub>Ma</sub>	96.9	0.0	0.0	0.0	0
R <sub>CIE</sub>	39.92	58.74	27.99	65.07	25
J <sub>CIE</sub>	81.26	-2.88	71.56	71.62	92
G <sub>CIE</sub>	52.23	-42.41	13.6	44.55	162
B <sub>CIE</sub>	30.57	1.41	-46.46	46.49	272

Daten für Maximalfarbe (Ma):

$LAB^*LAB^*_{Ma}$ : 49 66 32

$LAB^*LCH^*_{Ma}$ : 49 74 25

$lab^*rgb^*_{Ma}$ : 1.0 0.0 0.0

$lab^*olv^*_{Ma}$ : 1.0 0.0 0.16

Dreiecks-Helligkeit  $t^*$

%Umfang

$u^*_{rel} = 89$

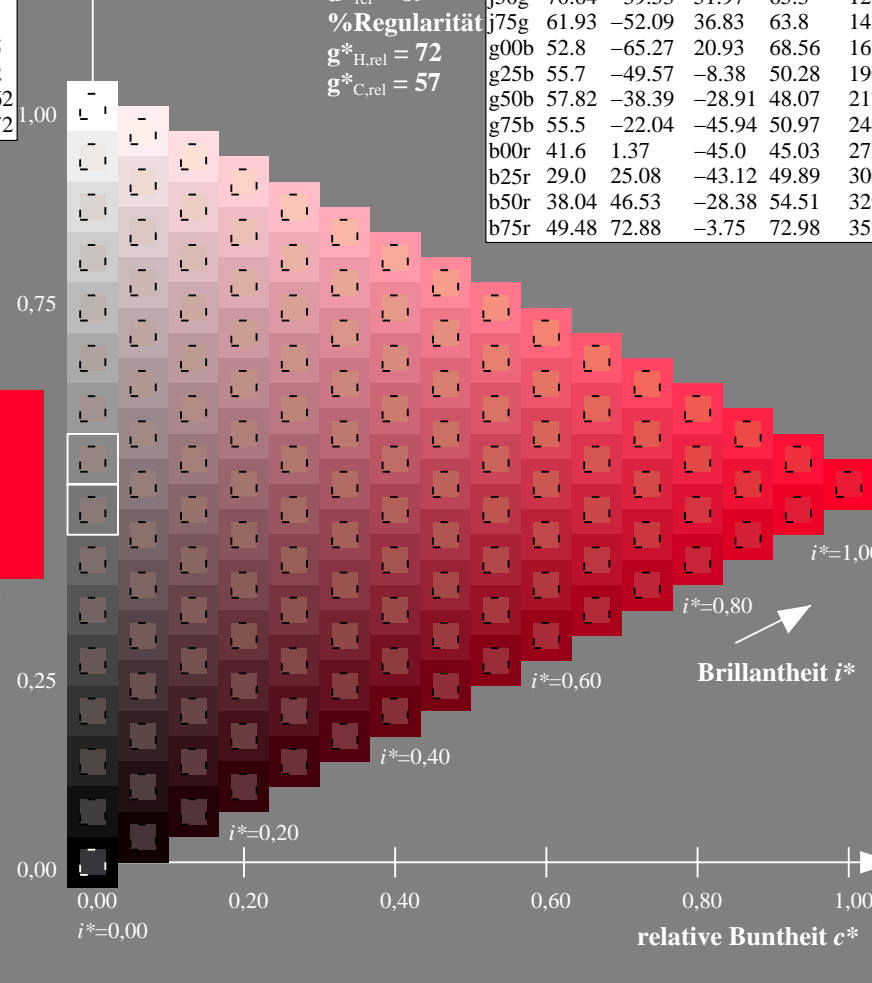
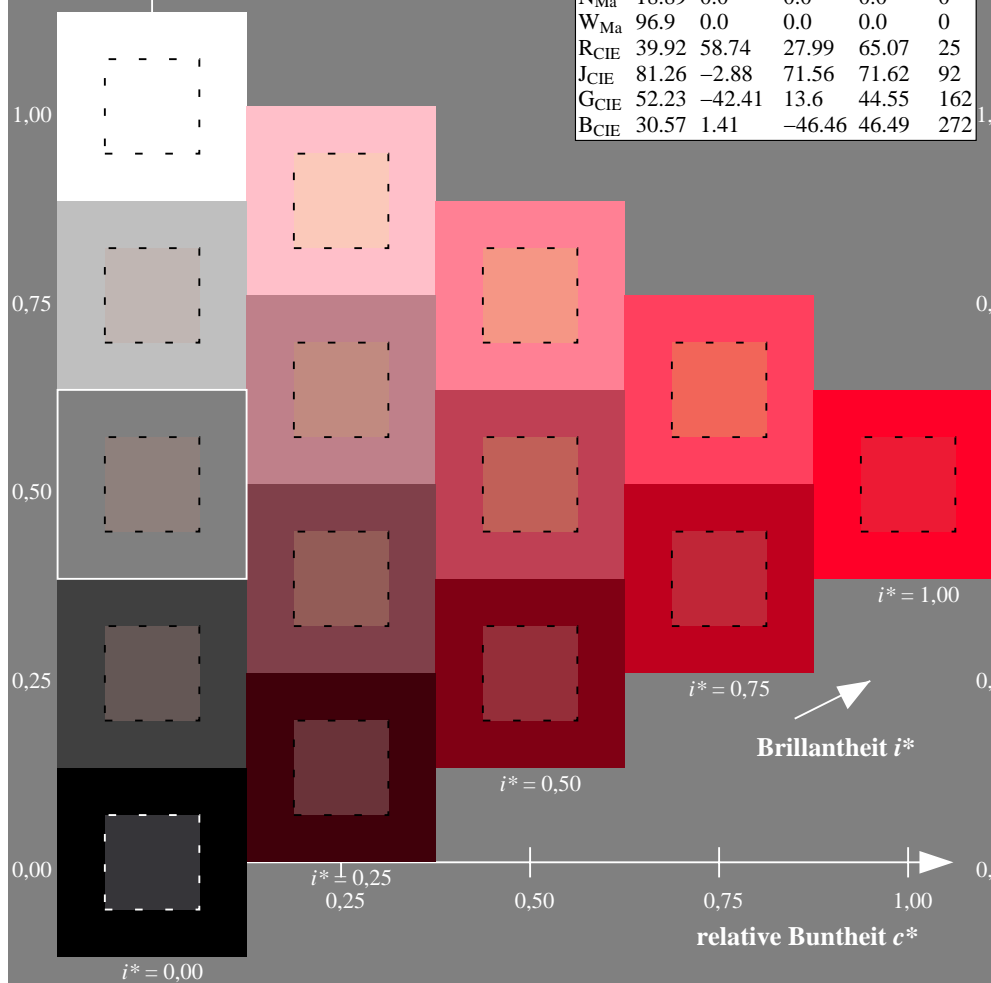
%Regularität

$g^*_{H,rel} = 72$

$g^*_{C,rel} = 57$

ORS19\_96a; adaptierte CIELAB-Daten

	$L^*=L^*_a$	$a^*_a$	$b^*_a$	$C^*_{ab,a}$	$h^*_{ab,a}$
r00j	48.88	66.47	31.67	73.63	25
r25j	55.85	52.39	47.48	70.7	42
r50j	65.45	35.22	58.37	68.17	59
r75j	75.19	17.82	69.41	71.66	76
j00g	87.03	-3.34	82.83	82.9	92
j25g	80.72	-25.0	69.5	73.86	110
j50g	70.64	-39.53	51.97	65.3	127
j75g	61.93	-52.09	36.83	63.8	145
g00b	52.8	-65.27	20.93	68.56	162
g25b	55.7	-49.57	-8.38	50.28	190
g50b	57.82	-38.39	-28.91	48.07	217
g75b	55.5	-22.04	-45.94	50.97	244
b00r	41.6	1.37	-45.0	45.03	272
b25r	29.0	25.08	-43.12	49.89	300
b50r	38.04	46.53	-28.38	54.51	329
b75r	49.48	72.88	-3.75	72.98	357



Ein und Ausgabe: Farbmetrisches Drucker-Reflektiv-System ORS19\_96a für relativen CIELAB-Buntton  $h^* = lab^*h^* = h_{ab}/360 = 42/360 = 0.117$   $u^* = r25j$

Daten für jede Farbe:

$lab^*ch^*$  und  $lab^*icu^*$

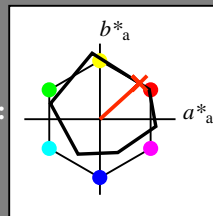
Elementar-Bunttontext:

$u^* = r25j$

Kontrastreduzierungsfaktor:

$c_R = 1.0$

Dreiecks-Helligkeit  $t^*$



ORS19\_96a; adaptierte CIELAB-Daten

	$L^*=L^*_a$	$a^*_a$	$b^*_a$	$C^*_{ab,a}$	$h^*_{ab,a}$
O <sub>Ma</sub>	48.75	65.07	39.43	76.08	31
Y <sub>Ma</sub>	90.92	-10.28	87.24	87.85	97
L <sub>Ma</sub>	52.69	-65.43	20.75	68.65	162
C <sub>Ma</sub>	59.61	-28.97	-46.21	54.56	238
V <sub>Ma</sub>	28.39	23.63	-44.12	50.06	298
M <sub>Ma</sub>	49.58	73.93	-9.55	74.55	353
N <sub>Ma</sub>	18.89	0.0	0.0	0.0	0
W <sub>Ma</sub>	96.9	0.0	0.0	0.0	0
R <sub>CIE</sub>	39.92	58.74	27.99	65.07	25
J <sub>CIE</sub>	81.26	-2.88	71.56	71.62	92
G <sub>CIE</sub>	52.23	-42.41	13.6	44.55	162
B <sub>CIE</sub>	30.57	1.41	-46.46	46.49	272

Daten für Maximalfarbe (Ma):

$LAB^*LAB^*_{Ma}$ : 56 52 47

$LAB^*LCH^*_{Ma}$ : 56 71 42

$lab^*rgb^*_{Ma}$ : 1.0 0.25 0.0

$lab^*olv^*_{Ma}$ : 1.0 0.17 0.0

Dreiecks-Helligkeit  $t^*$

%Umfang

$u^*_{rel} = 89$

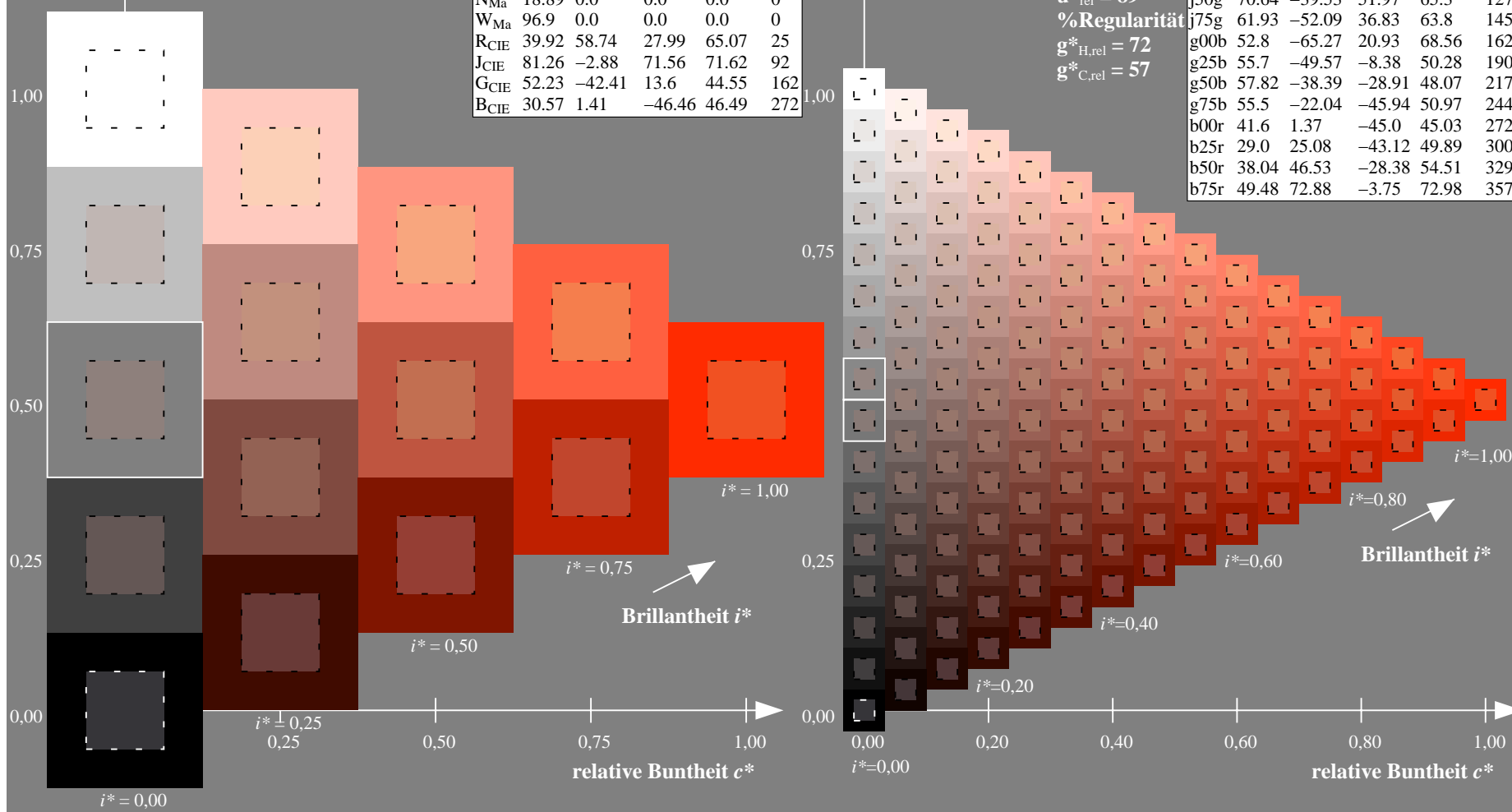
%Regularität

$g^*_{H,rel} = 72$

$g^*_{C,rel} = 57$

ORS19\_96a; adaptierte CIELAB-Daten

	$L^*=L^*_a$	$a^*_a$	$b^*_a$	$C^*_{ab,a}$	$h^*_{ab,a}$
r00j	48.88	66.47	31.67	73.63	25
r25j	55.85	52.39	47.48	70.7	42
r50j	65.45	35.22	58.37	68.17	59
r75j	75.19	17.82	69.41	71.66	76
j00g	87.03	-3.34	82.83	82.9	92
j25g	80.72	-25.0	69.5	73.86	110
j50g	70.64	-39.53	51.97	65.3	127
j75g	61.93	-52.09	36.83	63.8	145
g00b	52.8	-65.27	20.93	68.56	162
g25b	55.7	-49.57	-8.38	50.28	190
g50b	57.82	-38.39	-28.91	48.07	217
g75b	55.5	-22.04	-45.94	50.97	244
b00r	41.6	1.37	-45.0	45.03	272
b25r	29.0	25.08	-43.12	49.89	300
b50r	38.04	46.53	-28.38	54.51	329
b75r	49.48	72.88	-3.75	72.98	357



Ein und Ausgabe: Farbmetrisches Drucker-Reflektiv-System ORS19\_96a für relativen CIELAB-Buntton  $h^* = lab^*h^* = h_{ab}/360 = 59/360 = 0.164$   $u^* = r50j$

Daten für jede Farbe:

$lab^*ch^*$  und  $lab^*icu^*$

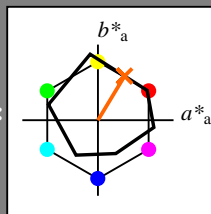
Elementar-Bunttontext:

$u^* = r50j$

Kontrastreduzierungsfaktor:

$c_R = 1.0$

Dreiecks-Helligkeit  $t^*$



ORS19\_96a; adaptierte CIELAB-Daten

	$L^* = L^*_a$	$a^*_a$	$b^*_a$	$C^*_{ab,a}$	$h^*_{ab,a}$
O <sub>Ma</sub>	48.75	65.07	39.43	76.08	31
Y <sub>Ma</sub>	90.92	-10.28	87.24	87.85	97
L <sub>Ma</sub>	52.69	-65.43	20.75	68.65	162
C <sub>Ma</sub>	59.61	-28.97	-46.21	54.56	238
V <sub>Ma</sub>	28.39	23.63	-44.12	50.06	298
M <sub>Ma</sub>	49.58	73.93	-9.55	74.55	353
N <sub>Ma</sub>	18.89	0.0	0.0	0.0	0
W <sub>Ma</sub>	96.9	0.0	0.0	0.0	0
R <sub>CIE</sub>	39.92	58.74	27.99	65.07	25
J <sub>CIE</sub>	81.26	-2.88	71.56	71.62	92
G <sub>CIE</sub>	52.23	-42.41	13.6	44.55	162
B <sub>CIE</sub>	30.57	1.41	-46.46	46.49	272

Daten für Maximalfarbe (Ma):

$LAB^*LAB^*_{Ma}$ : 65 35 58

$LAB^*LCH^*_{Ma}$ : 65 68 59

$lab^*rgb^*_{Ma}$ : 1.0 0.5 0.0

$lab^*olv^*_{Ma}$ : 1.0 0.4 0.0

Dreiecks-Helligkeit  $t^*$

%Umfang

$u^*_{rel} = 89$

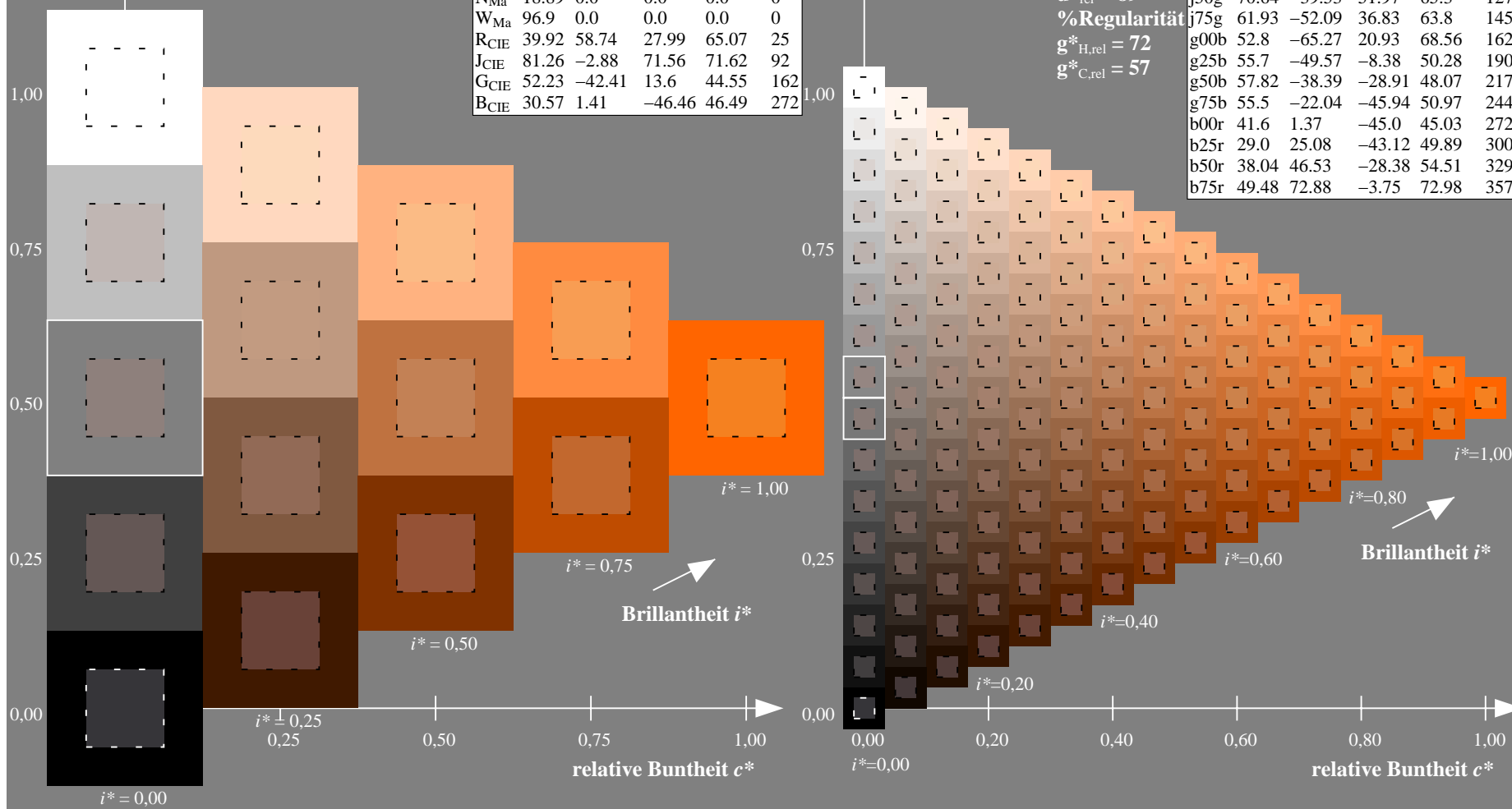
%Regularität

$g^*_{H,rel} = 72$

$g^*_{C,rel} = 57$

ORS19\_96a; adaptierte CIELAB-Daten

	$L^* = L^*_a$	$a^*_a$	$b^*_a$	$C^*_{ab,a}$	$h^*_{ab,a}$
r00j	48.88	66.47	31.67	73.63	25
r25j	55.85	52.39	47.48	70.7	42
r50j	65.45	35.22	58.37	68.17	59
r75j	75.19	17.82	69.41	71.66	76
j00g	87.03	-3.34	82.83	82.9	92
j25g	80.72	-25.0	69.5	73.86	110
j50g	70.64	-39.53	51.97	65.3	127
j75g	61.93	-52.09	36.83	63.8	145
g00b	52.8	-65.27	20.93	68.56	162
g25b	55.7	-49.57	-8.38	50.28	190
g50b	57.82	-38.39	-28.91	48.07	217
g75b	55.5	-22.04	-45.94	50.97	244
b00r	41.6	1.37	-45.0	45.03	272
b25r	29.0	25.08	-43.12	49.89	300
b50r	38.04	46.53	-28.38	54.51	329
b75r	49.48	72.88	-3.75	72.98	357





Ein und Ausgabe: Farbmetrisches Drucker-Reflektiv-System ORS19\_96a für relativen CIELAB-Buntton  $h^* = lab^*h^* = h_{ab}/360 = 76/360 = 0.21$   $u^* = r75j$

Daten für jede Farbe:

$lab^*ch^*$  und  $lab^*icu^*$

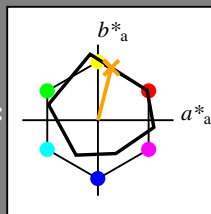
Elementar-Bunttontext:

$u^* = r75j$

Kontrastreduzierungsfaktor:

$c_R = 1.0$

Dreiecks-Helligkeit  $t^*$



ORS19\_96a; adaptierte CIELAB-Daten

	$L^* = L^*_a$	$a^*_a$	$b^*_a$	$C^*_{ab,a}$	$h^*_{ab,a}$
O <sub>Ma</sub>	48.75	65.07	39.43	76.08	31
Y <sub>Ma</sub>	90.92	-10.28	87.24	87.85	97
L <sub>Ma</sub>	52.69	-65.43	20.75	68.65	162
C <sub>Ma</sub>	59.61	-28.97	-46.21	54.56	238
V <sub>Ma</sub>	28.39	23.63	-44.12	50.06	298
M <sub>Ma</sub>	49.58	73.93	-9.55	74.55	353
N <sub>Ma</sub>	18.89	0.0	0.0	0.0	0
W <sub>Ma</sub>	96.9	0.0	0.0	0.0	0
R <sub>CIE</sub>	39.92	58.74	27.99	65.07	25
J <sub>CIE</sub>	81.26	-2.88	71.56	71.62	92
G <sub>CIE</sub>	52.23	-42.41	13.6	44.55	162
B <sub>CIE</sub>	30.57	1.41	-46.46	46.49	272

Daten für Maximalfarbe (Ma):

$LAB^*LAB^*_{Ma}$ : 75 18 69

$LAB^*LCH^*_{Ma}$ : 75 72 76

$lab^*rgb^*_{Ma}$ : 1.0 0.75 0.0

$lab^*olv^*_{Ma}$ : 1.0 0.63 0.0

Dreiecks-Helligkeit  $t^*$

%Umfang

$u^*_{rel} = 89$

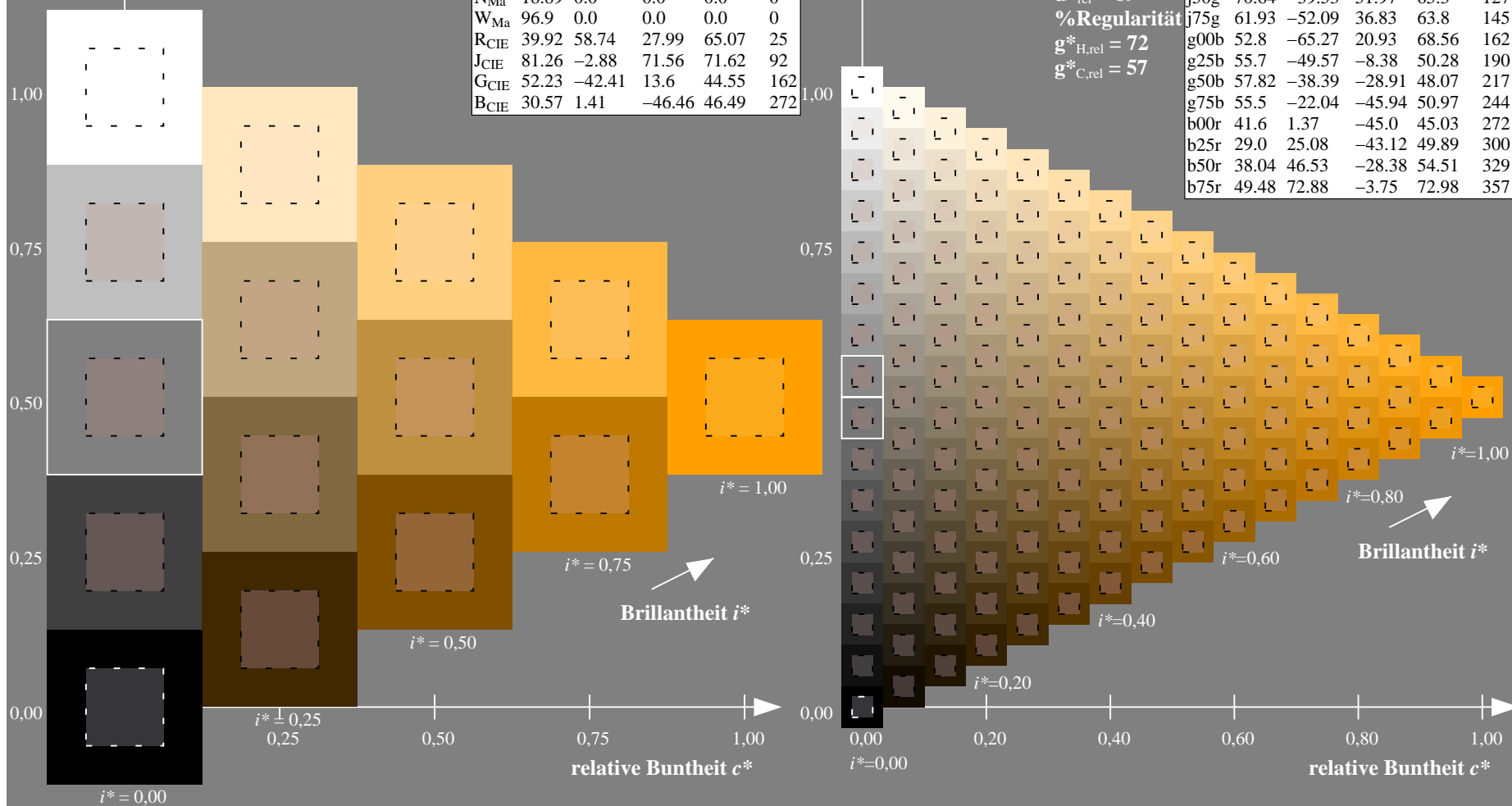
%Regularität

$g^*_{H,rel} = 72$

$g^*_{C,rel} = 57$

ORS19\_96a; adaptierte CIELAB-Daten

	$L^* = L^*_a$	$a^*_a$	$b^*_a$	$C^*_{ab,a}$	$h^*_{ab,a}$
r00j	48.88	66.47	31.67	73.63	25
r25j	55.85	52.39	47.48	70.7	42
r50j	65.45	35.22	58.37	68.17	59
r75j	75.19	17.82	69.41	71.66	76
j00g	87.03	-3.34	82.83	82.9	92
j25g	80.72	-25.0	69.5	73.86	110
j50g	70.64	-39.53	51.97	65.3	127
j75g	61.93	-52.09	36.83	63.8	145
g00b	52.8	-65.27	20.93	68.56	162
g25b	55.7	-49.57	-8.38	50.28	190
g50b	57.82	-38.39	-28.91	48.07	217
g75b	55.5	-22.04	-45.94	50.97	244
b00r	41.6	1.37	-45.0	45.03	272
b25r	29.0	25.08	-43.12	49.89	300
b50r	38.04	46.53	-28.38	54.51	329
b75r	49.48	72.88	-3.75	72.98	357



Ein und Ausgabe: Farbmetrisches Drucker-Reflektiv-System ORS19\_96a für relativen CIELAB-Buntton  $h^* = lab^*h^* = h_{ab}/360 = 92/360 = 0.256$   $u^* = j00g$

Daten für jede Farbe:

$lab^*ch^*$  und  $lab^*icu^*$

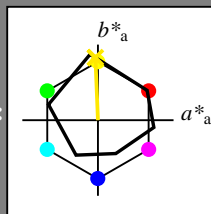
Elementar-Bunttontext:

$u^* = j00g$

Kontrastreduzierungsfaktor:

$c_R = 1.0$

Dreiecks-Helligkeit  $i^*$



ORS19\_96a; adaptierte CIELAB-Daten

	$L^*=L_a^*$	$a_a^*$	$b_a^*$	$C_{ab,a}^*$	$h_{ab,a}^*$
O <sub>Ma</sub>	48.75	65.07	39.43	76.08	31
Y <sub>Ma</sub>	90.92	-10.28	87.24	87.85	97
L <sub>Ma</sub>	52.69	-65.43	20.75	68.65	162
C <sub>Ma</sub>	59.61	-28.97	-46.21	54.56	238
V <sub>Ma</sub>	28.39	23.63	-44.12	50.06	298
M <sub>Ma</sub>	49.58	73.93	-9.55	74.55	353
N <sub>Ma</sub>	18.89	0.0	0.0	0.0	0
W <sub>Ma</sub>	96.9	0.0	0.0	0.0	0
R <sub>CIE</sub>	39.92	58.74	27.99	65.07	25
J <sub>CIE</sub>	81.26	-2.88	71.56	71.62	92
G <sub>CIE</sub>	52.23	-42.41	13.6	44.55	162
B <sub>CIE</sub>	30.57	1.41	-46.46	46.49	272

Daten für Maximalfarbe (Ma):

$LAB^*LAB^*_{Ma}$ : 87 -2 83

$LAB^*LCH^*_{Ma}$ : 87 83 92

$lab^*rgb^*_{Ma}$ : 1.0 1.0 0.0

$lab^*olv^*_{Ma}$ : 1.0 0.91 0.0

Dreiecks-Helligkeit  $i^*$

%Umfang

$u^*_{rel} = 89$

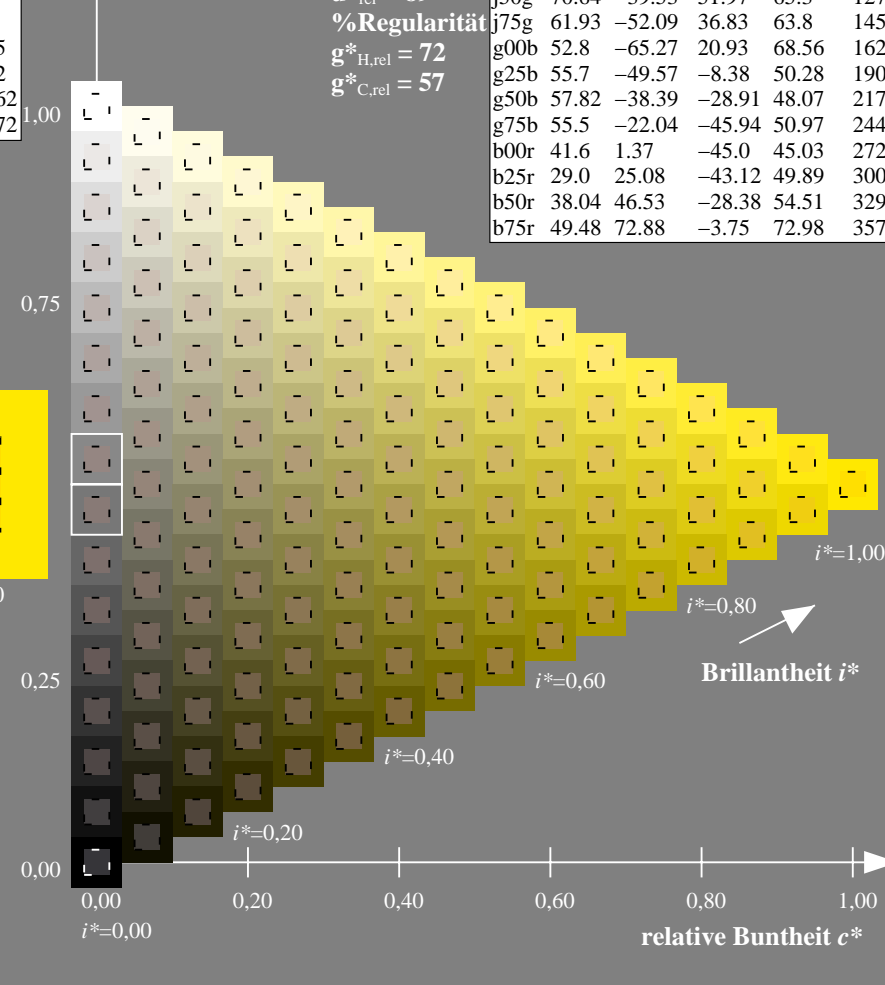
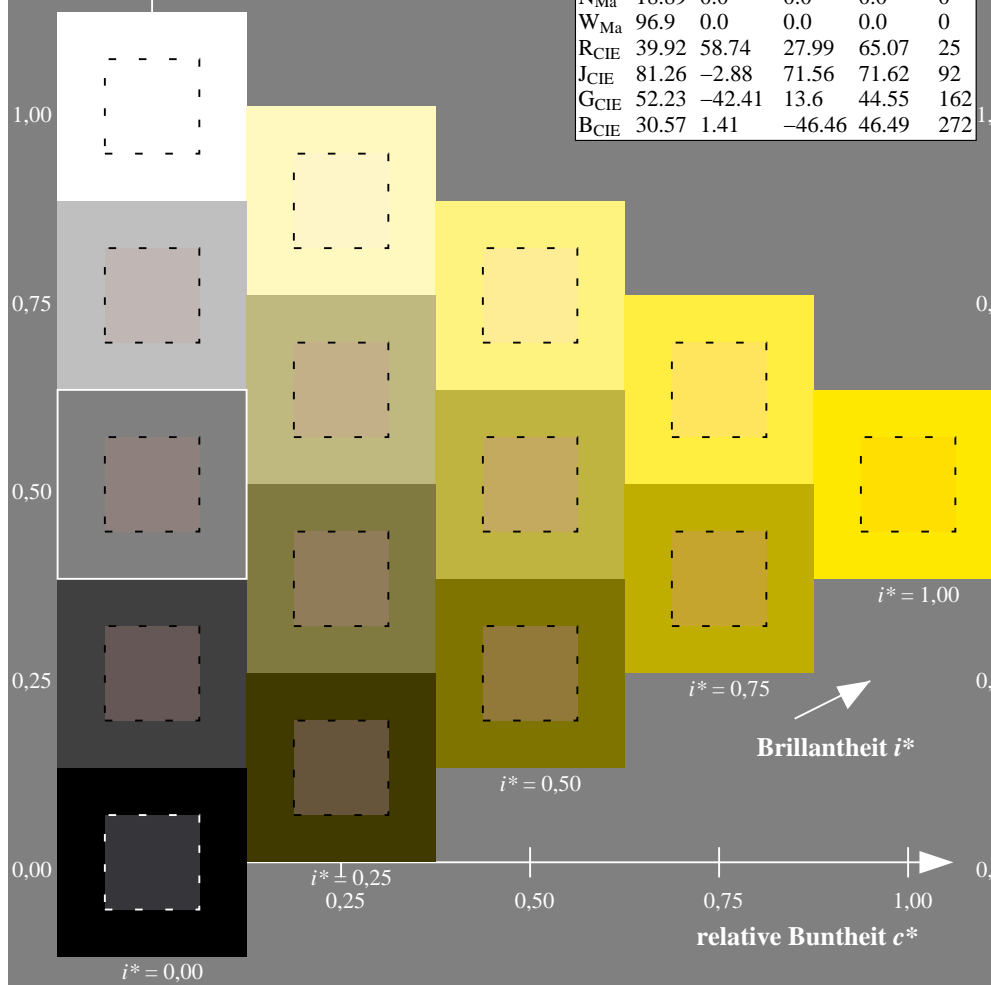
%Regularität

$g^*_{H,rel} = 72$

$g^*_{C,rel} = 57$

ORS19\_96a; adaptierte CIELAB-Daten

	$L^*=L_a^*$	$a_a^*$	$b_a^*$	$C_{ab,a}^*$	$h_{ab,a}^*$
r00j	48.88	66.47	31.67	73.63	25
r25j	55.85	52.39	47.48	70.7	42
r50j	65.45	35.22	58.37	68.17	59
r75j	75.19	17.82	69.41	71.66	76
j00g	87.03	-3.34	82.83	82.9	92
j25g	80.72	-25.0	69.5	73.86	110
j50g	70.64	-39.53	51.97	65.3	127
j75g	61.93	-52.09	36.83	63.8	145
g00b	52.8	-65.27	20.93	68.56	162
g25b	55.7	-49.57	-8.38	50.28	190
g50b	57.82	-38.39	-28.91	48.07	217
g75b	55.5	-22.04	-45.94	50.97	244
b00r	41.6	1.37	-45.0	45.03	272
b25r	29.0	25.08	-43.12	49.89	300
b50r	38.04	46.53	-28.38	54.51	329
b75r	49.48	72.88	-3.75	72.98	357



Ein und Ausgabe: Farbmetrisches Drucker-Reflektiv-System ORS19\_96a für relativen CIELAB-Buntton  $h^* = lab^*h^* = h_{ab}/360 = 110/360 = 0.305$   $u^* = j25g$

Daten für jede Farbe:

$lab^*ch^*$  und  $lab^*icu^*$

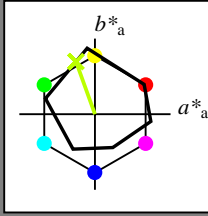
Elementar-Bunttontext:

$u^* = j25g$

Kontrastreduzierungsfaktor:

$c_R = 1.0$

Dreiecks-Helligkeit  $i^*$



ORS19\_96a; adaptierte CIELAB-Daten

	$L^*=L^*_a$	$a^*_a$	$b^*_a$	$C^*_{ab,a}$	$h^*_{ab,a}$
O <sub>Ma</sub>	48.75	65.07	39.43	76.08	31
Y <sub>Ma</sub>	90.92	-10.28	87.24	87.85	97
L <sub>Ma</sub>	52.69	-65.43	20.75	68.65	162
C <sub>Ma</sub>	59.61	-28.97	-46.21	54.56	238
V <sub>Ma</sub>	28.39	23.63	-44.12	50.06	298
M <sub>Ma</sub>	49.58	73.93	-9.55	74.55	353
N <sub>Ma</sub>	18.89	0.0	0.0	0.0	0
W <sub>Ma</sub>	96.9	0.0	0.0	0.0	0
R <sub>CIE</sub>	39.92	58.74	27.99	65.07	25
J <sub>CIE</sub>	81.26	-2.88	71.56	71.62	92
G <sub>CIE</sub>	52.23	-42.41	13.6	44.55	162
B <sub>CIE</sub>	30.57	1.41	-46.46	46.49	272

Daten für Maximalfarbe (Ma):

$LAB^*LAB^*_{Ma}$ : 81 -24 69

$LAB^*LCH^*_{Ma}$ : 81 74 110

$lab^*rgb^*_{Ma}$ : 0.75 1.0 0.0

$lab^*olv^*_{Ma}$ : 0.73 1.0 0.0

Dreiecks-Helligkeit  $i^*$

%Umfang

$u^*_{rel} = 89$

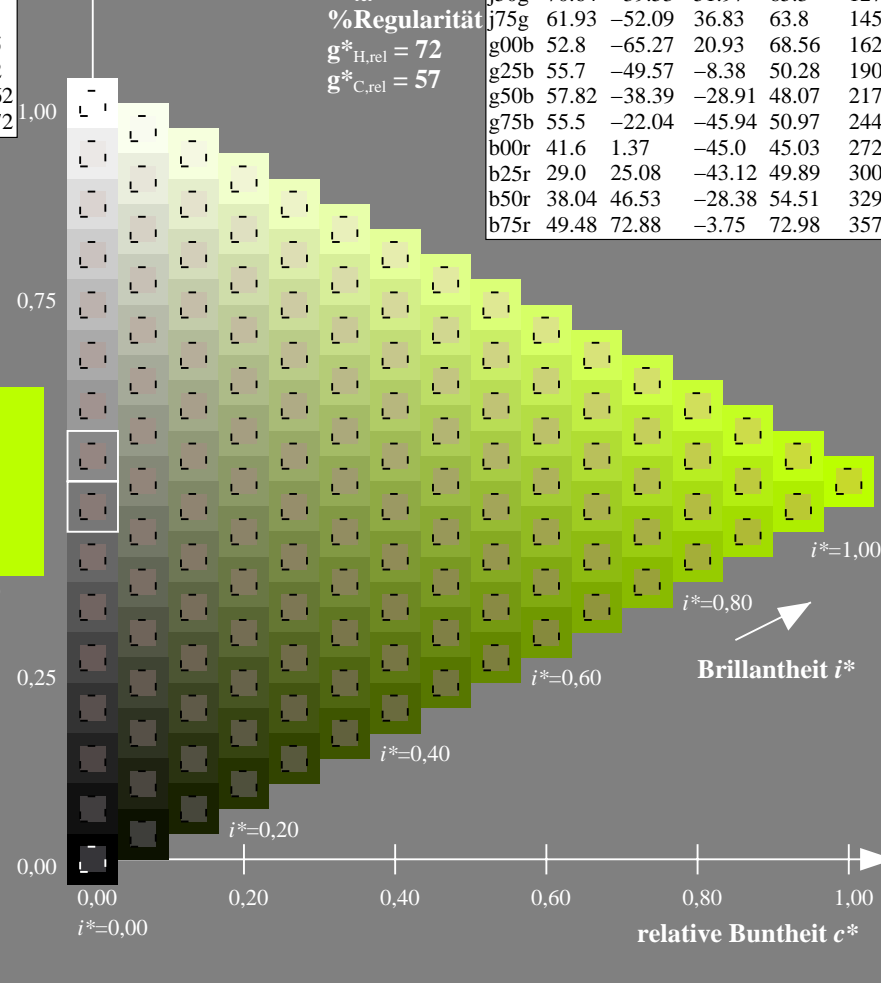
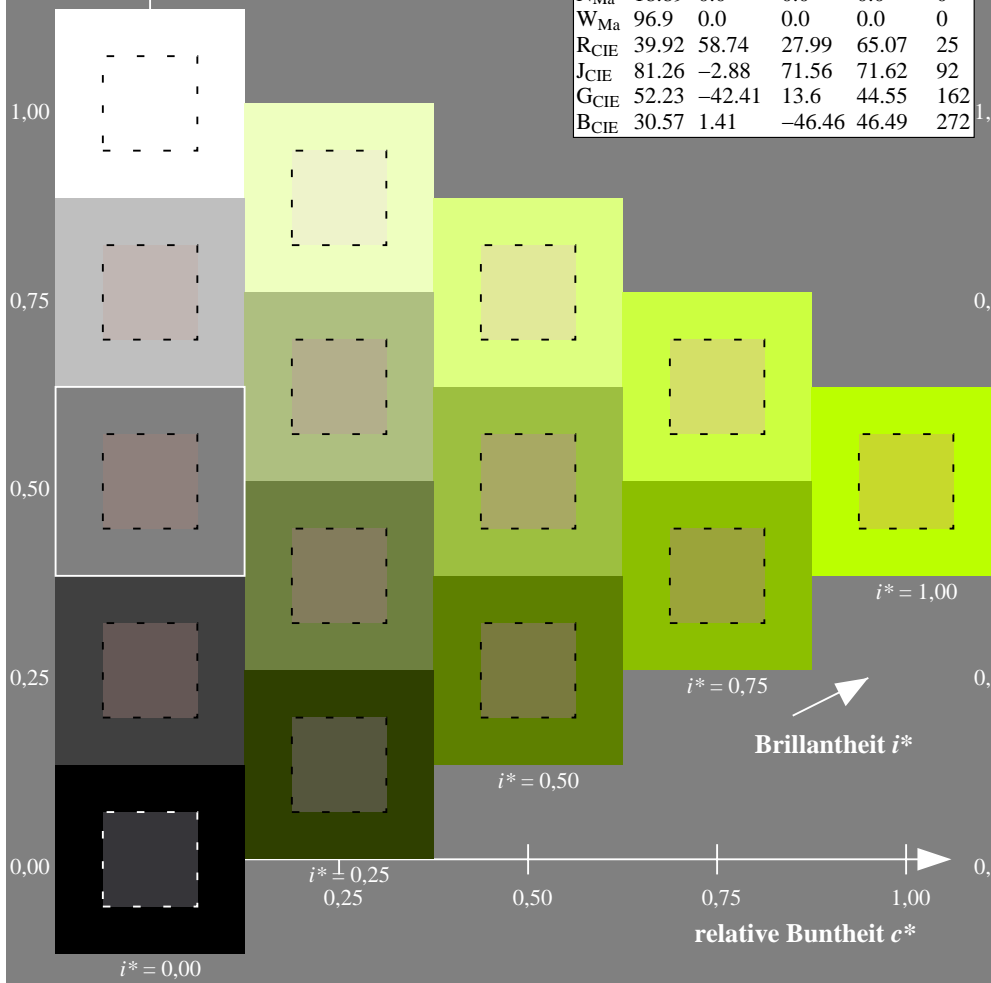
%Regularität

$g^*_{H,rel} = 72$

$g^*_{C,rel} = 57$

ORS19\_96a; adaptierte CIELAB-Daten

	$L^*=L^*_a$	$a^*_a$	$b^*_a$	$C^*_{ab,a}$	$h^*_{ab,a}$
r00j	48.88	66.47	31.67	73.63	25
r25j	55.85	52.39	47.48	70.7	42
r50j	65.45	35.22	58.37	68.17	59
r75j	75.19	17.82	69.41	71.66	76
j00g	87.03	-3.34	82.83	82.9	92
j25g	80.72	-25.0	69.5	73.86	110
j50g	70.64	-39.53	51.97	65.3	127
j75g	61.93	-52.09	36.83	63.8	145
g00b	52.8	-65.27	20.93	68.56	162
g25b	55.7	-49.57	-8.38	50.28	190
g50b	57.82	-38.39	-28.91	48.07	217
g75b	55.5	-22.04	-45.94	50.97	244
b00r	41.6	1.37	-45.0	45.03	272
b25r	29.0	25.08	-43.12	49.89	300
b50r	38.04	46.53	-28.38	54.51	329
b75r	49.48	72.88	-3.75	72.98	357



Ein und Ausgabe: Farbmetrisches Drucker-Reflektiv-System ORS19\_96a für relativen CIELAB-Buntton  $h^* = lab^*h^* = h_{ab}/360 = 127/360 = 0.354$   $u^* = j50g$

Daten für jede Farbe:

$lab^*ch^*$  und  $lab^*icu^*$

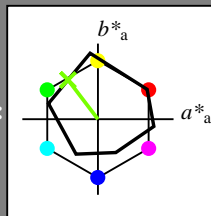
Elementar-Bunttontext:

$u^* = j50g$

Kontrastreduzierungsfaktor:

$c_R = 1.0$

Dreiecks-Helligkeit  $i^*$



ORS19\_96a; adaptierte CIELAB-Daten

	$L^*=L^*_a$	$a^*_a$	$b^*_a$	$C^*_{ab,a}$	$h^*_{ab,a}$
O <sub>Ma</sub>	48.75	65.07	39.43	76.08	31
Y <sub>Ma</sub>	90.92	-10.28	87.24	87.85	97
L <sub>Ma</sub>	52.69	-65.43	20.75	68.65	162
C <sub>Ma</sub>	59.61	-28.97	-46.21	54.56	238
V <sub>Ma</sub>	28.39	23.63	-44.12	50.06	298
M <sub>Ma</sub>	49.58	73.93	-9.55	74.55	353
N <sub>Ma</sub>	18.89	0.0	0.0	0.0	0
W <sub>Ma</sub>	96.9	0.0	0.0	0.0	0
R <sub>CIE</sub>	39.92	58.74	27.99	65.07	25
J <sub>CIE</sub>	81.26	-2.88	71.56	71.62	92
G <sub>CIE</sub>	52.23	-42.41	13.6	44.55	162
B <sub>CIE</sub>	30.57	1.41	-46.46	46.49	272

Daten für Maximalfarbe (Ma):

$LAB^*LAB^*_{Ma}$ : 71 -39 52

$LAB^*LCH^*_{Ma}$ : 71 65 127

$lab^*rgb^*_{Ma}$ : 0.5 1.0 0.0

$lab^*olv^*_{Ma}$ : 0.47 1.0 0.0

Dreiecks-Helligkeit  $i^*$

%Umfang

$u^*_{rel} = 89$

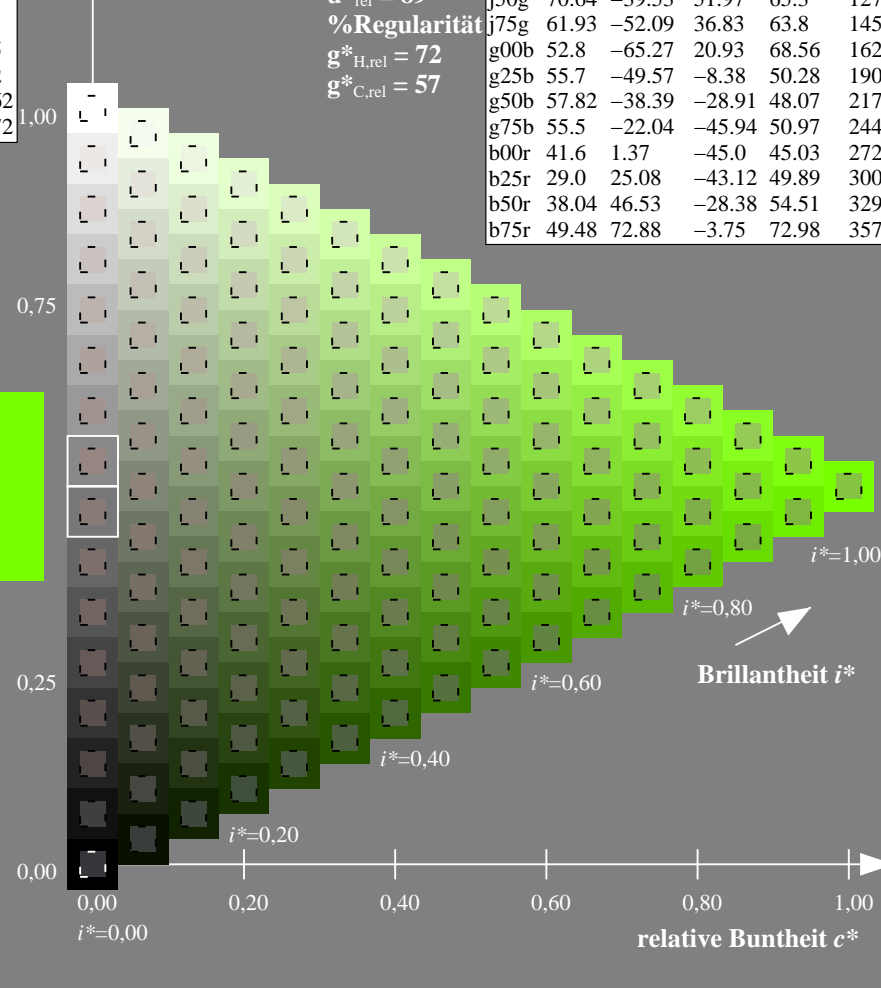
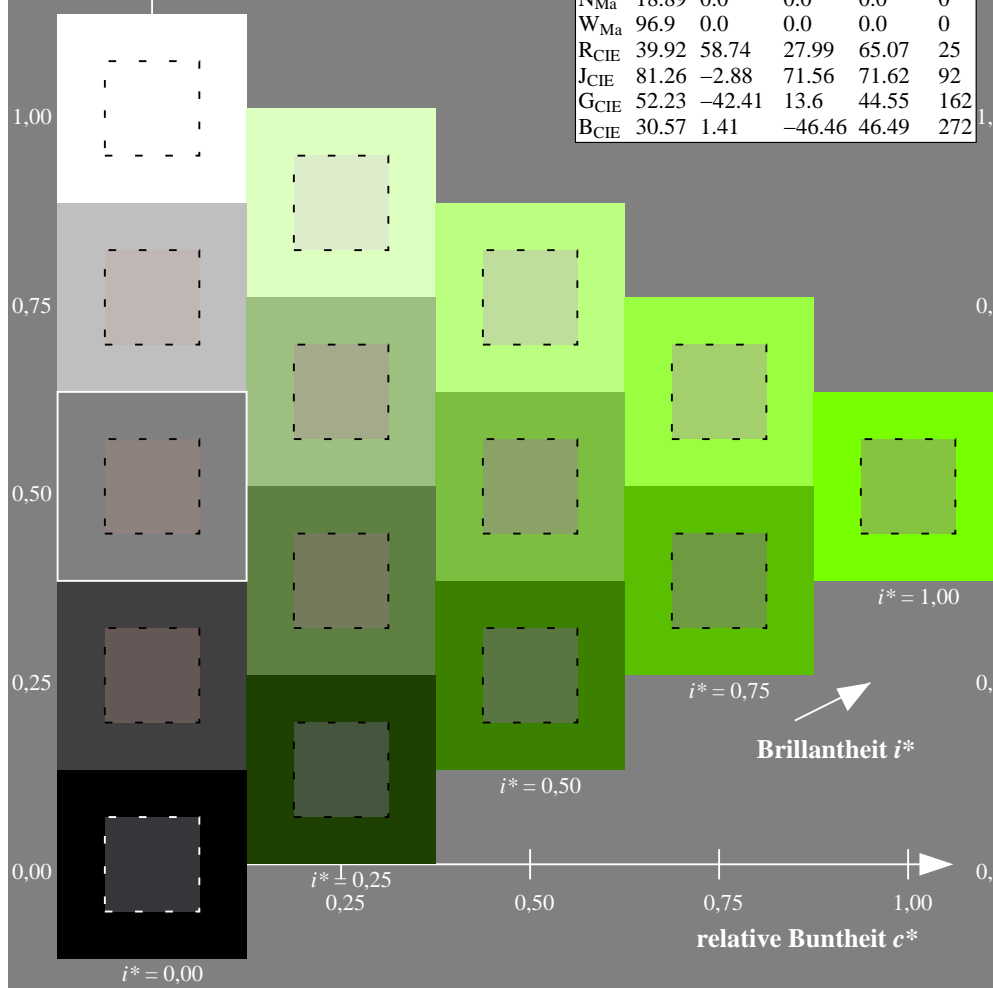
%Regularität

$g^*_{H,rel} = 72$

$g^*_{C,rel} = 57$

ORS19\_96a; adaptierte CIELAB-Daten

	$L^*=L^*_a$	$a^*_a$	$b^*_a$	$C^*_{ab,a}$	$h^*_{ab,a}$
r00j	48.88	66.47	31.67	73.63	25
r25j	55.85	52.39	47.48	70.7	42
r50j	65.45	35.22	58.37	68.17	59
r75j	75.19	17.82	69.41	71.66	76
j00g	87.03	-3.34	82.83	82.9	92
j25g	80.72	-25.0	69.5	73.86	110
j50g	70.64	-39.53	51.97	65.3	127
j75g	61.93	-52.09	36.83	63.8	145
g00b	52.8	-65.27	20.93	68.56	162
g25b	55.7	-49.57	-8.38	50.28	190
g50b	57.82	-38.39	-28.91	48.07	217
g75b	55.5	-22.04	-45.94	50.97	244
b00r	41.6	1.37	-45.0	45.03	272
b25r	29.0	25.08	-43.12	49.89	300
b50r	38.04	46.53	-28.38	54.51	329
b75r	49.48	72.88	-3.75	72.98	357



Ein und Ausgabe: Farbmetrisches Drucker-Reflektiv-System ORS19\_96a für relativen CIELAB-Buntton  $h^* = lab^*h^* = h_{ab}/360 = 145/360 = 0.402$   $u^* = j75g$

Daten für jede Farbe:

$lab^*ch^*$  und  $lab^*icu^*$

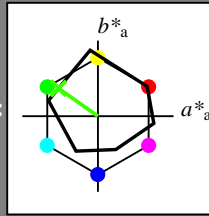
Elementar-Bunttontext:

$u^* = j75g$

Kontrastreduzierungsfaktor:

$c_R = 1.0$

Dreiecks-Helligkeit  $i^*$



ORS19_96a; adaptierte CIELAB-Daten					
	$L^*=L^*_a$	$a^*_a$	$b^*_a$	$C^*_{ab,a}$	$h^*_{ab,a}$
O <sub>Ma</sub>	48.75	65.07	39.43	76.08	31
Y <sub>Ma</sub>	90.92	-10.28	87.24	87.85	97
L <sub>Ma</sub>	52.69	-65.43	20.75	68.65	162
C <sub>Ma</sub>	59.61	-28.97	-46.21	54.56	238
V <sub>Ma</sub>	28.39	23.63	-44.12	50.06	298
M <sub>Ma</sub>	49.58	73.93	-9.55	74.55	353
N <sub>Ma</sub>	18.89	0.0	0.0	0.0	0
W <sub>Ma</sub>	96.9	0.0	0.0	0.0	0
R <sub>CIE</sub>	39.92	58.74	27.99	65.07	25
J <sub>CIE</sub>	81.26	-2.88	71.56	71.62	92
G <sub>CIE</sub>	52.23	-42.41	13.6	44.55	162
B <sub>CIE</sub>	30.57	1.41	-46.46	46.49	272

Daten für Maximalfarbe (Ma):

$LAB^*LAB^*Ma$ : 62 -51 37

$LAB^*LCH^*Ma$ : 62 64 145

$lab^*rgb^*Ma$ : 0.25 1.0 0.0

$lab^*olv^*Ma$ : 0.24 1.0 0.0

Dreiecks-Helligkeit  $i^*$

%Umfang

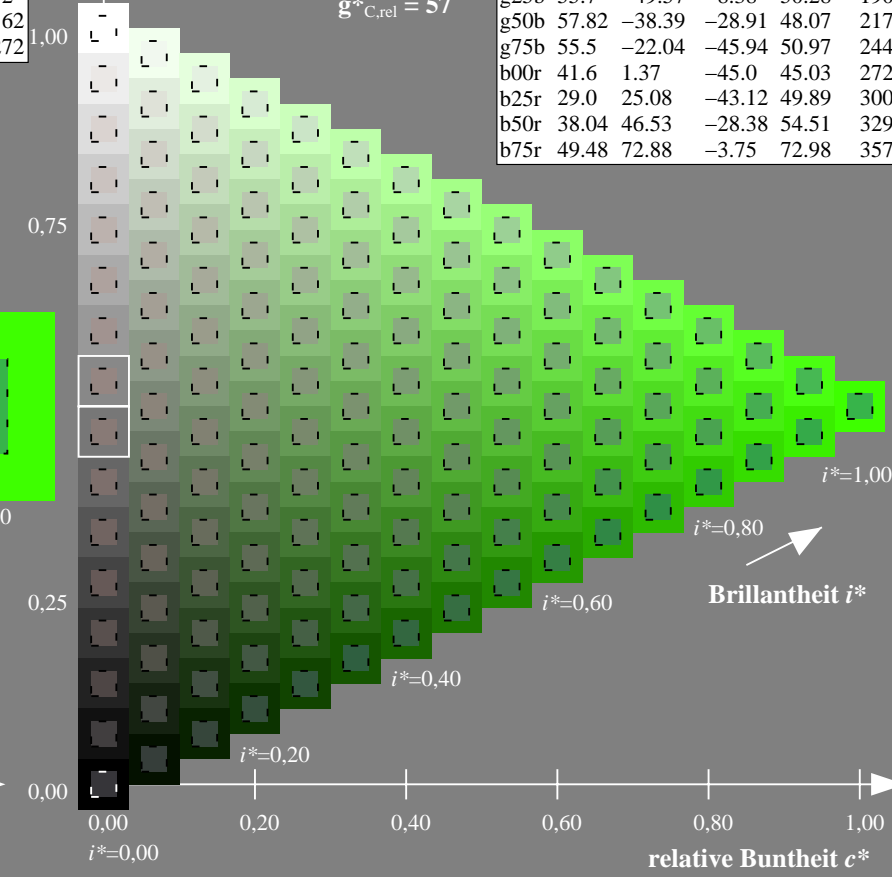
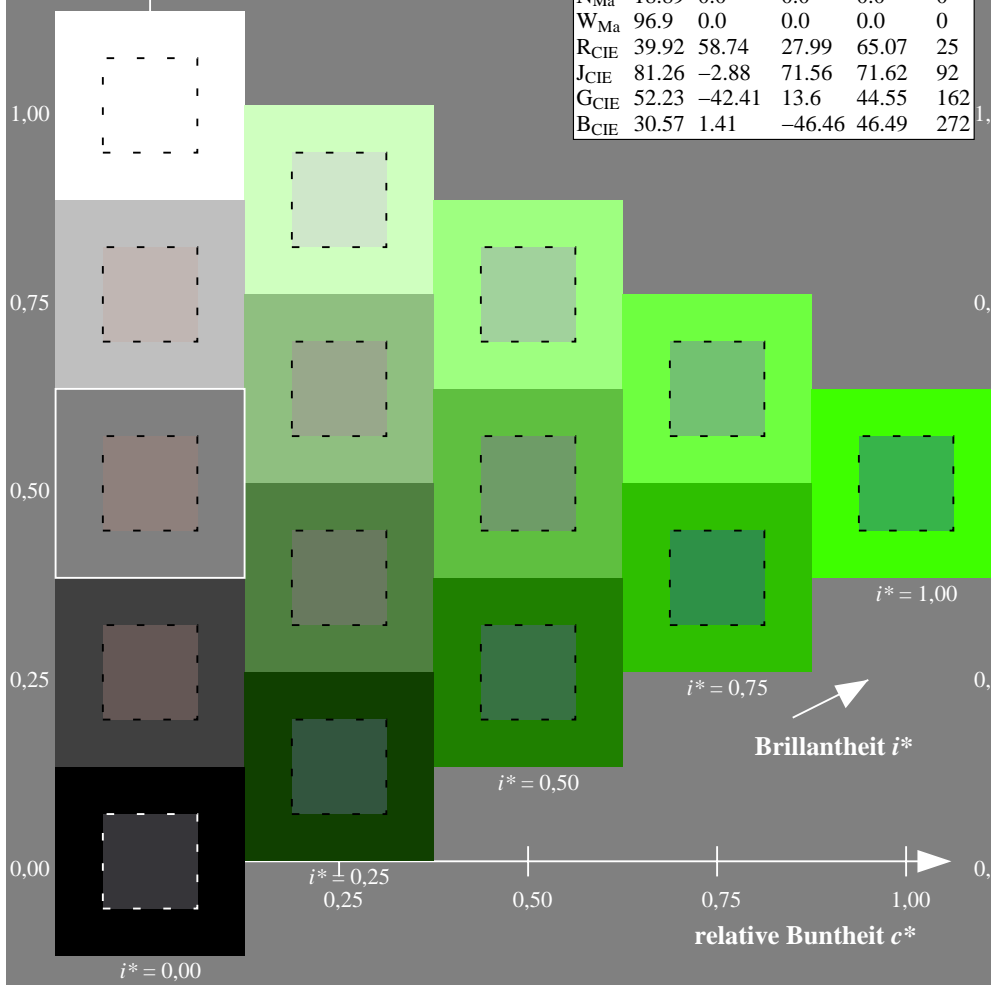
$u^*_{rel} = 89$

%Regularität

$g^*_{H,rel} = 72$

$g^*_{C,rel} = 57$

ORS19_96a; adaptierte CIELAB-Daten					
	$L^*=L^*_a$	$a^*_a$	$b^*_a$	$C^*_{ab,a}$	$h^*_{ab,a}$
r00j	48.88	66.47	31.67	73.63	25
r25j	55.85	52.39	47.48	70.7	42
r50j	65.45	35.22	58.37	68.17	59
r75j	75.19	17.82	69.41	71.66	76
j00g	87.03	-3.34	82.83	82.9	92
j25g	80.72	-25.0	69.5	73.86	110
j50g	70.64	-39.53	51.97	65.3	127
j75g	61.93	-52.09	36.83	63.8	145
g00b	52.8	-65.27	20.93	68.56	162
g25b	55.7	-49.57	-8.38	50.28	190
g50b	57.82	-38.39	-28.91	48.07	217
g75b	55.5	-22.04	-45.94	50.97	244
b00r	41.6	1.37	-45.0	45.03	272
b25r	29.0	25.08	-43.12	49.89	300
b50r	38.04	46.53	-28.38	54.51	329
b75r	49.48	72.88	-3.75	72.98	357



Ein und Ausgabe: Farbmetrisches Drucker-Reflektiv-System ORS19\_96a für relativen CIELAB-Buntton  $h^* = lab^*h^* = h_{ab}/360 = 162/360 = 0.451$   $u^* = g00b$

Daten für jede Farbe:

$lab^*ch^*$  und  $lab^*icu^*$

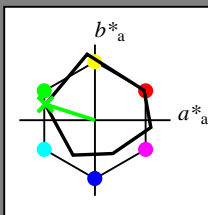
Elementar-Bunttontext:

$u^* = g00b$

Kontrastreduzierungsfaktor:

$c_R = 1.0$

Dreiecks-Helligkeit  $i^*$



ORS19\_96a; adaptierte CIELAB-Daten

	$L^*=L^*_a$	$a^*_a$	$b^*_a$	$C^*_{ab,a}$	$h^*_{ab,a}$
O <sub>Ma</sub>	48.75	65.07	39.43	76.08	31
Y <sub>Ma</sub>	90.92	-10.28	87.24	87.85	97
L <sub>Ma</sub>	52.69	-65.43	20.75	68.65	162
C <sub>Ma</sub>	59.61	-28.97	-46.21	54.56	238
V <sub>Ma</sub>	28.39	23.63	-44.12	50.06	298
M <sub>Ma</sub>	49.58	73.93	-9.55	74.55	353
N <sub>Ma</sub>	18.89	0.0	0.0	0.0	0
W <sub>Ma</sub>	96.9	0.0	0.0	0.0	0
R <sub>CIE</sub>	39.92	58.74	27.99	65.07	25
J <sub>CIE</sub>	81.26	-2.88	71.56	71.62	92
G <sub>CIE</sub>	52.23	-42.41	13.6	44.55	162
B <sub>CIE</sub>	30.57	1.41	-46.46	46.49	272

Daten für Maximalfarbe (Ma):

$LAB^*LAB^*_{Ma}$ : 53 -64 21

$LAB^*LCH^*_{Ma}$ : 53 69 162

$lab^*rgb^*_{Ma}$ : 0.0 1.0 0.0

$lab^*olv^*_{Ma}$ : 0.0 1.0 0.0

Dreiecks-Helligkeit  $i^*$

%Umfang

$u^*_{rel} = 89$

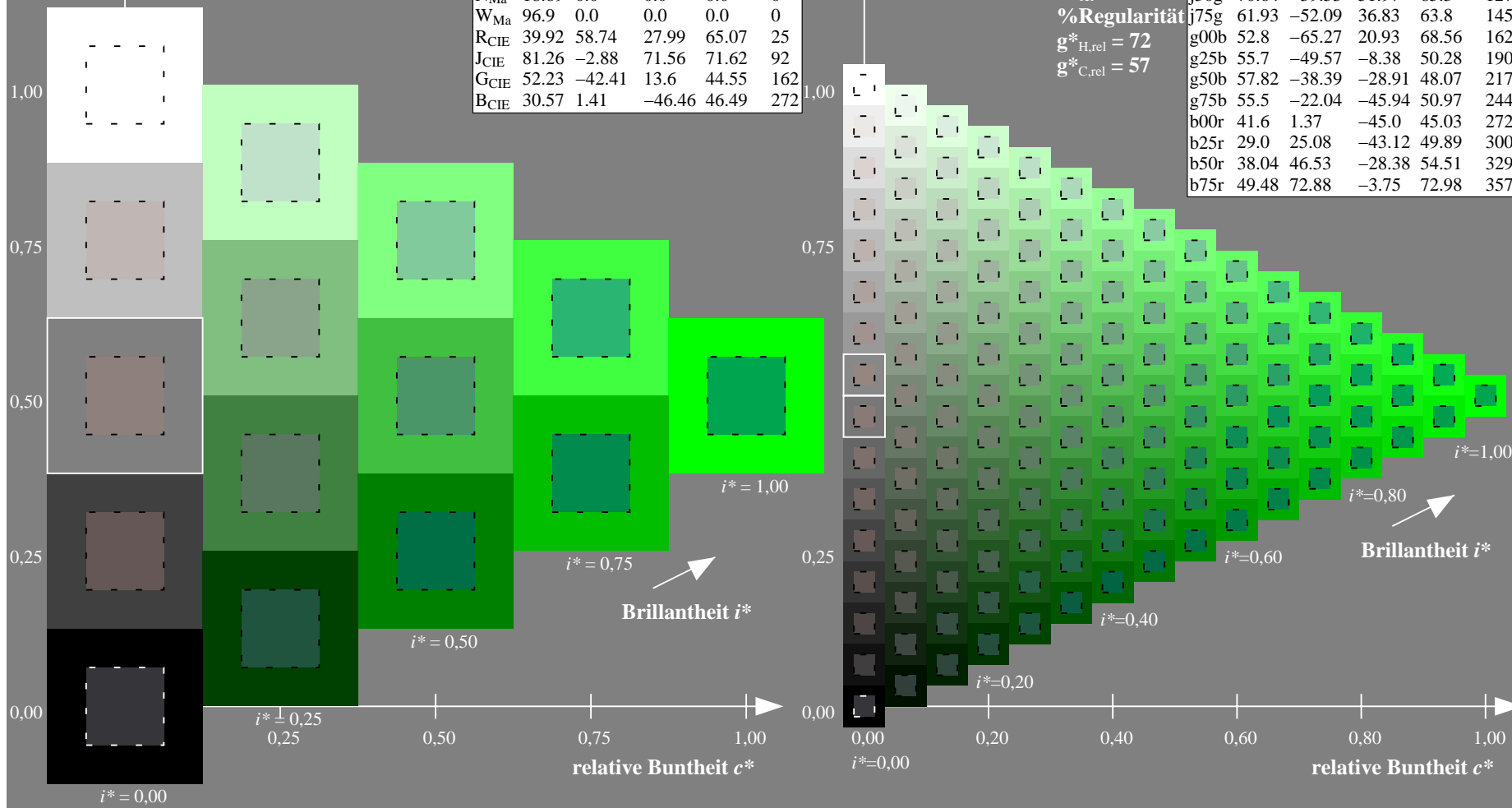
%Regularität

$g^*_{H,rel} = 72$

$g^*_{C,rel} = 57$

ORS19\_96a; adaptierte CIELAB-Daten

	$L^*=L^*_a$	$a^*_a$	$b^*_a$	$C^*_{ab,a}$	$h^*_{ab,a}$
r00j	48.88	66.47	31.67	73.63	25
r25j	55.85	52.39	47.48	70.7	42
r50j	65.45	35.22	58.37	68.17	59
r75j	75.19	17.82	69.41	71.66	76
j00g	87.03	-3.34	82.83	82.9	92
j25g	80.72	-25.0	69.5	73.86	110
j50g	70.64	-39.53	51.97	65.3	127
j75g	61.93	-52.09	36.83	63.8	145
g00b	52.8	-65.27	20.93	68.56	162
g25b	55.7	-49.57	-8.38	50.28	190
g50b	57.82	-38.39	-28.91	48.07	217
g75b	55.5	-22.04	-45.94	50.97	244
b00r	41.6	1.37	-45.0	45.03	272
b25r	29.0	25.08	-43.12	49.89	300
b50r	38.04	46.53	-28.38	54.51	329
b75r	49.48	72.88	-3.75	72.98	357





Ein und Ausgabe: Farbmetrisches Drucker-Reflektiv-System ORS19\_96a für relativen CIELAB-Buntton  $h^* = lab^*h^* = h_{ab}/360 = 190/360 = 0.527$   $u^* = g25b$

Daten für jede Farbe:

$lab^*ch^*$  und  $lab^*icu^*$

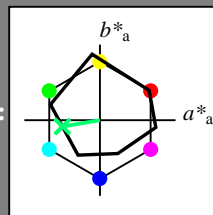
Elementar-Bunttontext:

$u^* = g25b$

Kontrastreduzierungsfaktor:

$c_R = 1.0$

Dreiecks-Helligkeit  $i^*$



ORS19\_96a; adaptierte CIELAB-Daten

	$L^*=L^*_a$	$a^*_a$	$b^*_a$	$C^*_{ab,a}$	$h^*_{ab,a}$
O <sub>Ma</sub>	48.75	65.07	39.43	76.08	31
Y <sub>Ma</sub>	90.92	-10.28	87.24	87.85	97
L <sub>Ma</sub>	52.69	-65.43	20.75	68.65	162
C <sub>Ma</sub>	59.61	-28.97	-46.21	54.56	238
V <sub>Ma</sub>	28.39	23.63	-44.12	50.06	298
M <sub>Ma</sub>	49.58	73.93	-9.55	74.55	353
N <sub>Ma</sub>	18.89	0.0	0.0	0.0	0
W <sub>Ma</sub>	96.9	0.0	0.0	0.0	0
R <sub>CIE</sub>	39.92	58.74	27.99	65.07	25
J <sub>CIE</sub>	81.26	-2.88	71.56	71.62	92
G <sub>CIE</sub>	52.23	-42.41	13.6	44.55	162
B <sub>CIE</sub>	30.57	1.41	-46.46	46.49	272

Daten für Maximalfarbe (Ma):

$LAB^*LAB^*_{Ma}$ : 56 -49 -7

$LAB^*LCH^*_{Ma}$ : 56 50 190

$lab^*rgb^*_{Ma}$ : 0.0 1.0 0.5

$lab^*olv^*_{Ma}$ : 0.0 1.0 0.44

Dreiecks-Helligkeit  $i^*$

%Umfang

$u^*_{rel} = 89$

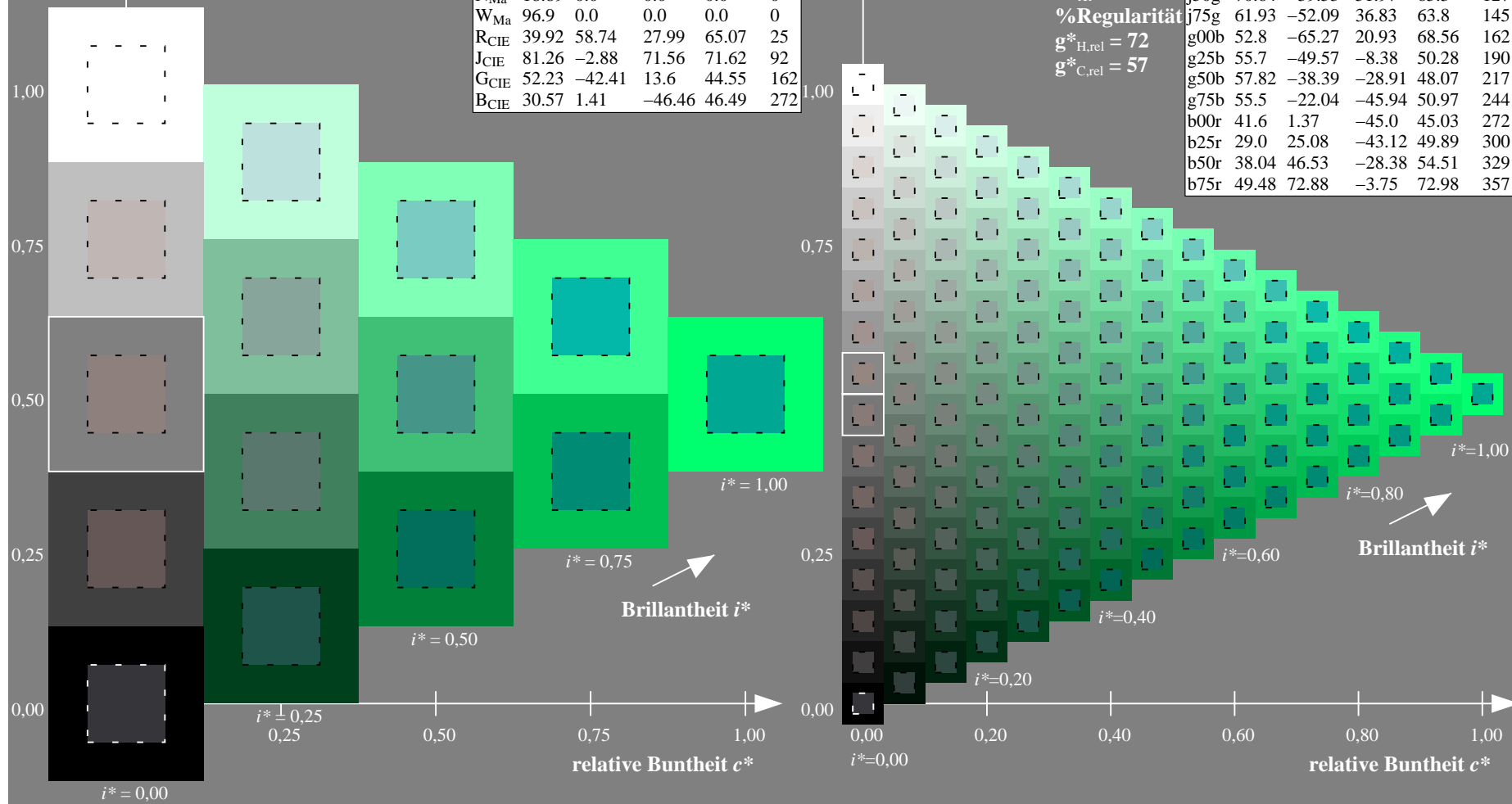
%Regularität

$g^*_{H,rel} = 72$

$g^*_{C,rel} = 57$

ORS19\_96a; adaptierte CIELAB-Daten

	$L^*=L^*_a$	$a^*_a$	$b^*_a$	$C^*_{ab,a}$	$h^*_{ab,a}$
r00j	48.88	66.47	31.67	73.63	25
r25j	55.85	52.39	47.48	70.7	42
r50j	65.45	35.22	58.37	68.17	59
r75j	75.19	17.82	69.41	71.66	76
j00g	87.03	-3.34	82.83	82.9	92
j25g	80.72	-25.0	69.5	73.86	110
j50g	70.64	-39.53	51.97	65.3	127
j75g	61.93	-52.09	36.83	63.8	145
g00b	52.8	-65.27	20.93	68.56	162
g25b	55.7	-49.57	-8.38	50.28	190
g50b	57.82	-38.39	-28.91	48.07	217
g75b	55.5	-22.04	-45.94	50.97	244
b00r	41.6	1.37	-45.0	45.03	272
b25r	29.0	25.08	-43.12	49.89	300
b50r	38.04	46.53	-28.38	54.51	329
b75r	49.48	72.88	-3.75	72.98	357



Ein und Ausgabe: Farbmetrisches Drucker-Reflektiv-System ORS19\_96a für relativen CIELAB-Buntton  $h^* = lab^*h^* = h_{ab}/360 = 217/360 = 0.603$   $u^* = g50b$

Daten für jede Farbe:

$lab^*ch^*$  und  $lab^*icu^*$

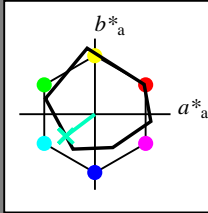
Elementar-Bunttontext:

$u^* = g50b$

Kontrastreduzierungsfaktor:

$c_R = 1.0$

Dreiecks-Helligkeit  $i^*$



ORS19\_96a; adaptierte CIELAB-Daten

	$L^*=L^*_a$	$a^*_a$	$b^*_a$	$C^*_{ab,a}$	$h^*_{ab,a}$
O <sub>Ma</sub>	48.75	65.07	39.43	76.08	31
Y <sub>Ma</sub>	90.92	-10.28	87.24	87.85	97
L <sub>Ma</sub>	52.69	-65.43	20.75	68.65	162
C <sub>Ma</sub>	59.61	-28.97	-46.21	54.56	238
V <sub>Ma</sub>	28.39	23.63	-44.12	50.06	298
M <sub>Ma</sub>	49.58	73.93	-9.55	74.55	353
N <sub>Ma</sub>	18.89	0.0	0.0	0.0	0
W <sub>Ma</sub>	96.9	0.0	0.0	0.0	0
R <sub>CIE</sub>	39.92	58.74	27.99	65.07	25
J <sub>CIE</sub>	81.26	-2.88	71.56	71.62	92
G <sub>CIE</sub>	52.23	-42.41	13.6	44.55	162
B <sub>CIE</sub>	30.57	1.41	-46.46	46.49	272

Daten für Maximalfarbe (Ma):

$LAB^*LAB^*_{Ma}$ : 58 -37 -28

$LAB^*LCH^*_{Ma}$ : 58 48 217

$lab^*rgb^*_{Ma}$ : 0.0 1.0 1.0

$lab^*olv^*_{Ma}$ : 0.0 1.0 0.74

Dreiecks-Helligkeit  $i^*$

%Umfang

$u^*_{rel} = 89$

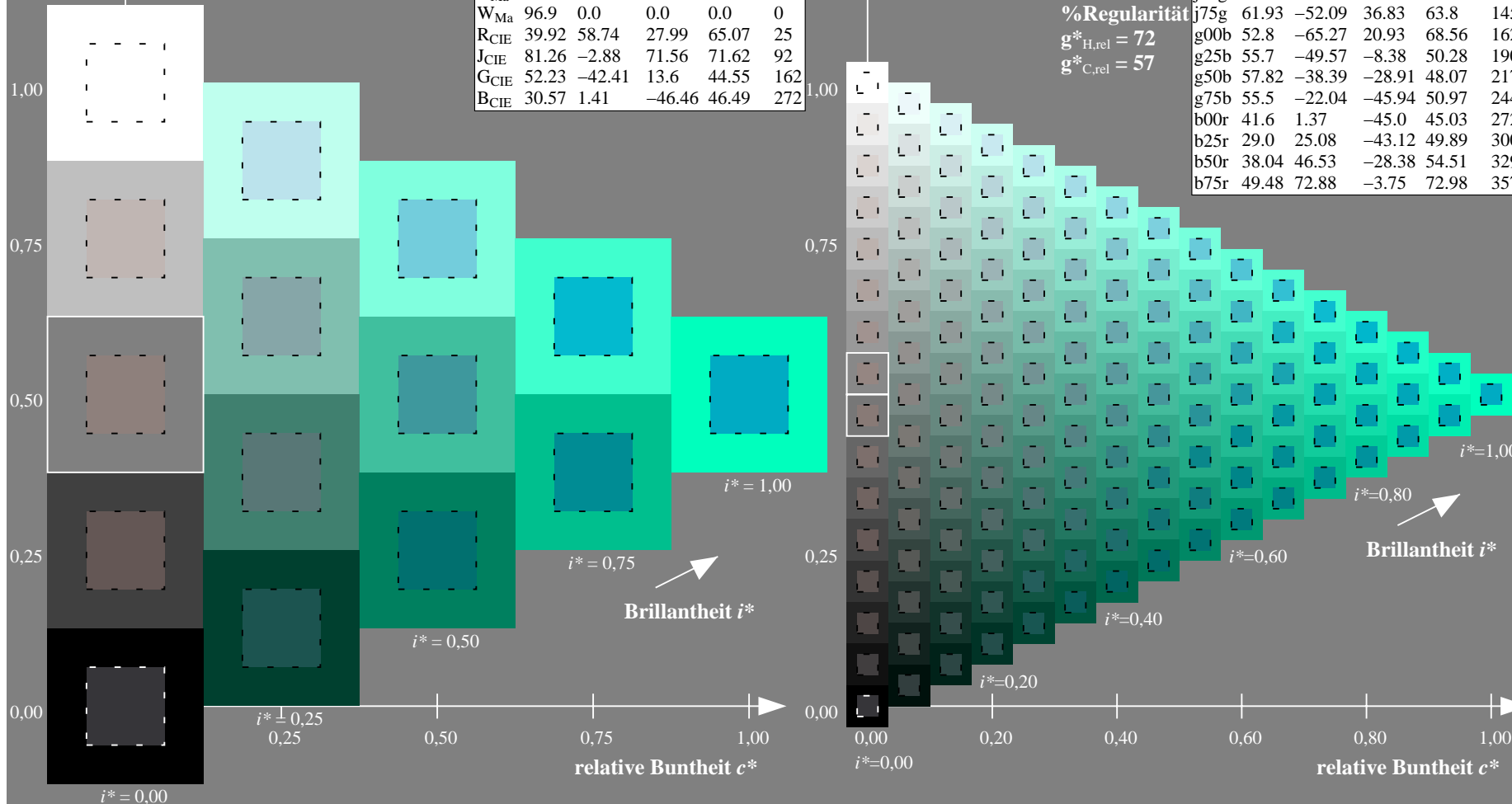
%Regularität

$g^*_{H,rel} = 72$

$g^*_{C,rel} = 57$

ORS19\_96a; adaptierte CIELAB-Daten

	$L^*=L^*_a$	$a^*_a$	$b^*_a$	$C^*_{ab,a}$	$h^*_{ab,a}$
r00j	48.88	66.47	31.67	73.63	25
r25j	55.85	52.39	47.48	70.7	42
r50j	65.45	35.22	58.37	68.17	59
r75j	75.19	17.82	69.41	71.66	76
j00g	87.03	-3.34	82.83	82.9	92
j25g	80.72	-25.0	69.5	73.86	110
j50g	70.64	-39.53	51.97	65.3	127
j75g	61.93	-52.09	36.83	63.8	145
g00b	52.8	-65.27	20.93	68.56	162
g25b	55.7	-49.57	-8.38	50.28	190
g50b	57.82	-38.39	-28.91	48.07	217
g75b	55.5	-22.04	-45.94	50.97	244
b00r	41.6	1.37	-45.0	45.03	272
b25r	29.0	25.08	-43.12	49.89	300
b50r	38.04	46.53	-28.38	54.51	329
b75r	49.48	72.88	-3.75	72.98	357



Ein und Ausgabe: Farbmetrisches Drucker-Reflektiv-System ORS19\_96a für relativen CIELAB-Buntton  $h^* = lab^*h^* = h_{ab}/360 = 244/360 = 0.679$   $u^* = g75b$

Daten für jede Farbe:

$lab^*ch^*$  und  $lab^*icu^*$

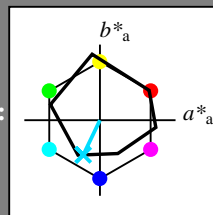
Elementar-Bunttontext:

$u^* = g75b$

Kontrastreduzierungsfaktor:

$c_R = 1.0$

Dreiecks-Helligkeit  $i^*$



ORS19\_96a; adaptierte CIELAB-Daten

	$L^*=L^*_a$	$a^*_a$	$b^*_a$	$C^*_{ab,a}$	$h^*_{ab,a}$
O <sub>Ma</sub>	48.75	65.07	39.43	76.08	31
Y <sub>Ma</sub>	90.92	-10.28	87.24	87.85	97
L <sub>Ma</sub>	52.69	-65.43	20.75	68.65	162
C <sub>Ma</sub>	59.61	-28.97	-46.21	54.56	238
V <sub>Ma</sub>	28.39	23.63	-44.12	50.06	298
M <sub>Ma</sub>	49.58	73.93	-9.55	74.55	353
N <sub>Ma</sub>	18.89	0.0	0.0	0.0	0
W <sub>Ma</sub>	96.9	0.0	0.0	0.0	0
R <sub>CIE</sub>	39.92	58.74	27.99	65.07	25
J <sub>CIE</sub>	81.26	-2.88	71.56	71.62	92
G <sub>CIE</sub>	52.23	-42.41	13.6	44.55	162
B <sub>CIE</sub>	30.57	1.41	-46.46	46.49	272

Daten für Maximalfarbe (Ma):

$LAB^*LAB^*_{Ma}$ : 55 -21 -45

$LAB^*LCH^*_{Ma}$ : 55 51 244

$lab^*rgb^*_{Ma}$ : 0.0 0.5 1.0

$lab^*olv^*_{Ma}$ : 0.0 0.87 1.0

Dreiecks-Helligkeit  $i^*$

%Umfang

$u^*_{rel} = 89$

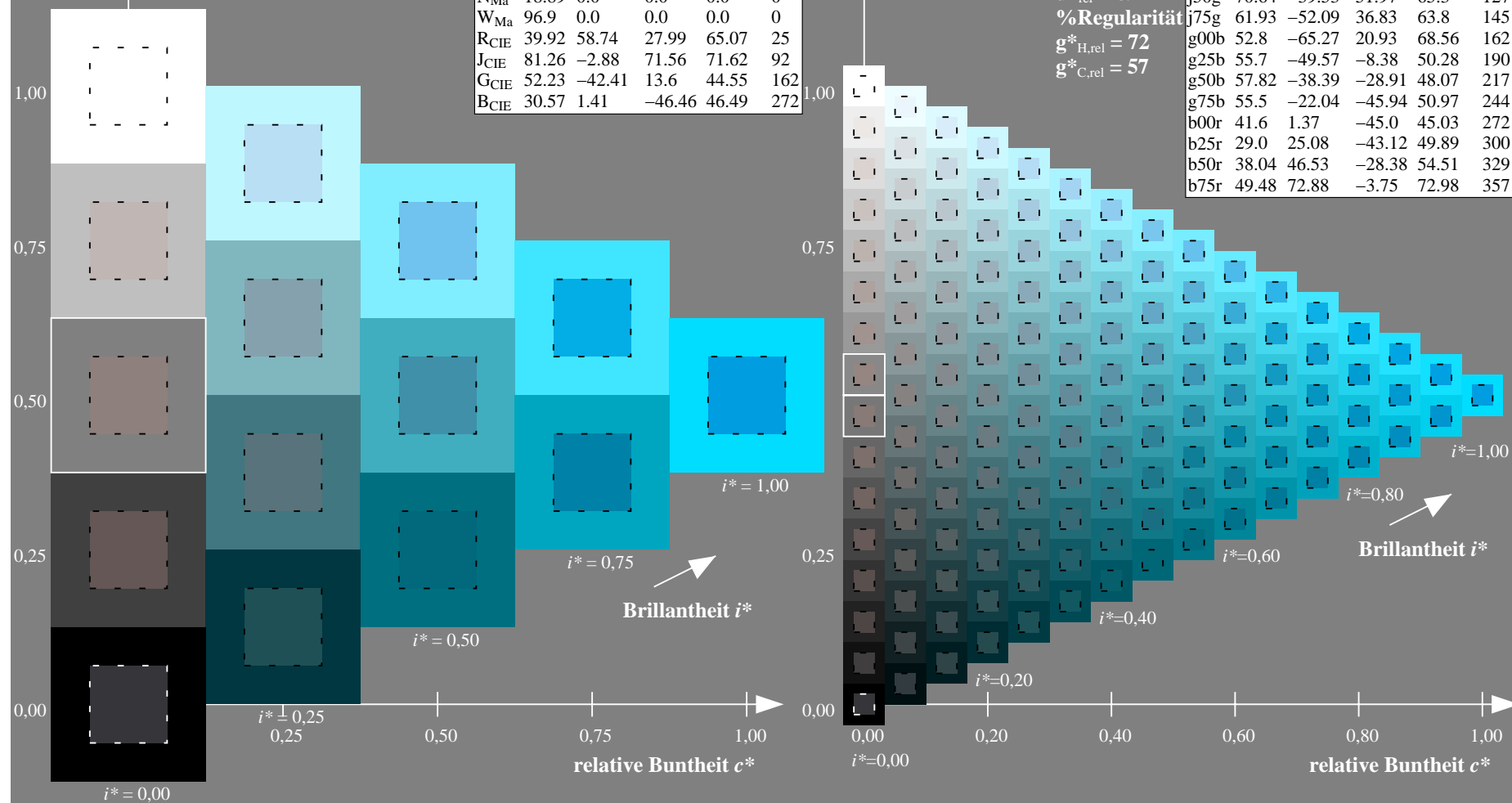
%Regularität

$g^*_{H,rel} = 72$

$g^*_{C,rel} = 57$

ORS19\_96a; adaptierte CIELAB-Daten

	$L^*=L^*_a$	$a^*_a$	$b^*_a$	$C^*_{ab,a}$	$h^*_{ab,a}$
r00j	48.88	66.47	31.67	73.63	25
r25j	55.85	52.39	47.48	70.7	42
r50j	65.45	35.22	58.37	68.17	59
r75j	75.19	17.82	69.41	71.66	76
j00g	87.03	-3.34	82.83	82.9	92
j25g	80.72	-25.0	69.5	73.86	110
j50g	70.64	-39.53	51.97	65.3	127
j75g	61.93	-52.09	36.83	63.8	145
g00b	52.8	-65.27	20.93	68.56	162
g25b	55.7	-49.57	-8.38	50.28	190
g50b	57.82	-38.39	-28.91	48.07	217
g75b	55.5	-22.04	-45.94	50.97	244
b00r	41.6	1.37	-45.0	45.03	272
b25r	29.0	25.08	-43.12	49.89	300
b50r	38.04	46.53	-28.38	54.51	329
b75r	49.48	72.88	-3.75	72.98	357



Ein und Ausgabe: Farbmetrisches Drucker-Reflektiv-System ORS19\_96a für relativen CIELAB-Buntton  $h^* = lab^*h^* = h_{ab}/360 = 272/360 = 0.755$   $u^* = b00r$

Daten für jede Farbe:

$lab^*ch^*$  und  $lab^*icu^*$

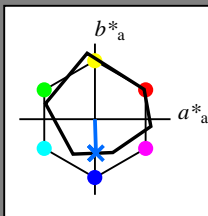
Elementar-Bunttontext:

$u^* = b00r$

Kontrastreduzierungsfaktor:

$c_R = 1.0$

Dreiecks-Helligkeit  $i^*$



ORS19\_96a; adaptierte CIELAB-Daten

	$L^*=L^*_a$	$a^*_a$	$b^*_a$	$C^*_{ab,a}$	$h^*_{ab,a}$
O <sub>Ma</sub>	48.75	65.07	39.43	76.08	31
Y <sub>Ma</sub>	90.92	-10.28	87.24	87.85	97
L <sub>Ma</sub>	52.69	-65.43	20.75	68.65	162
C <sub>Ma</sub>	59.61	-28.97	-46.21	54.56	238
V <sub>Ma</sub>	28.39	23.63	-44.12	50.06	298
M <sub>Ma</sub>	49.58	73.93	-9.55	74.55	353
N <sub>Ma</sub>	18.89	0.0	0.0	0.0	0
W <sub>Ma</sub>	96.9	0.0	0.0	0.0	0
R <sub>CIE</sub>	39.92	58.74	27.99	65.07	25
J <sub>CIE</sub>	81.26	-2.88	71.56	71.62	92
G <sub>CIE</sub>	52.23	-42.41	13.6	44.55	162
B <sub>CIE</sub>	30.57	1.41	-46.46	46.49	272

Daten für Maximalfarbe (Ma):

$LAB^*LAB^*_{Ma}$ : 42 1 -44

$LAB^*LCH^*_{Ma}$ : 42 45 272

$lab^*rgb^*_{Ma}$ : 0.0 0.0 1.0

$lab^*olv^*_{Ma}$ : 0.0 0.42 1.0

Dreiecks-Helligkeit  $i^*$

%Umfang

$u^*_{rel} = 89$

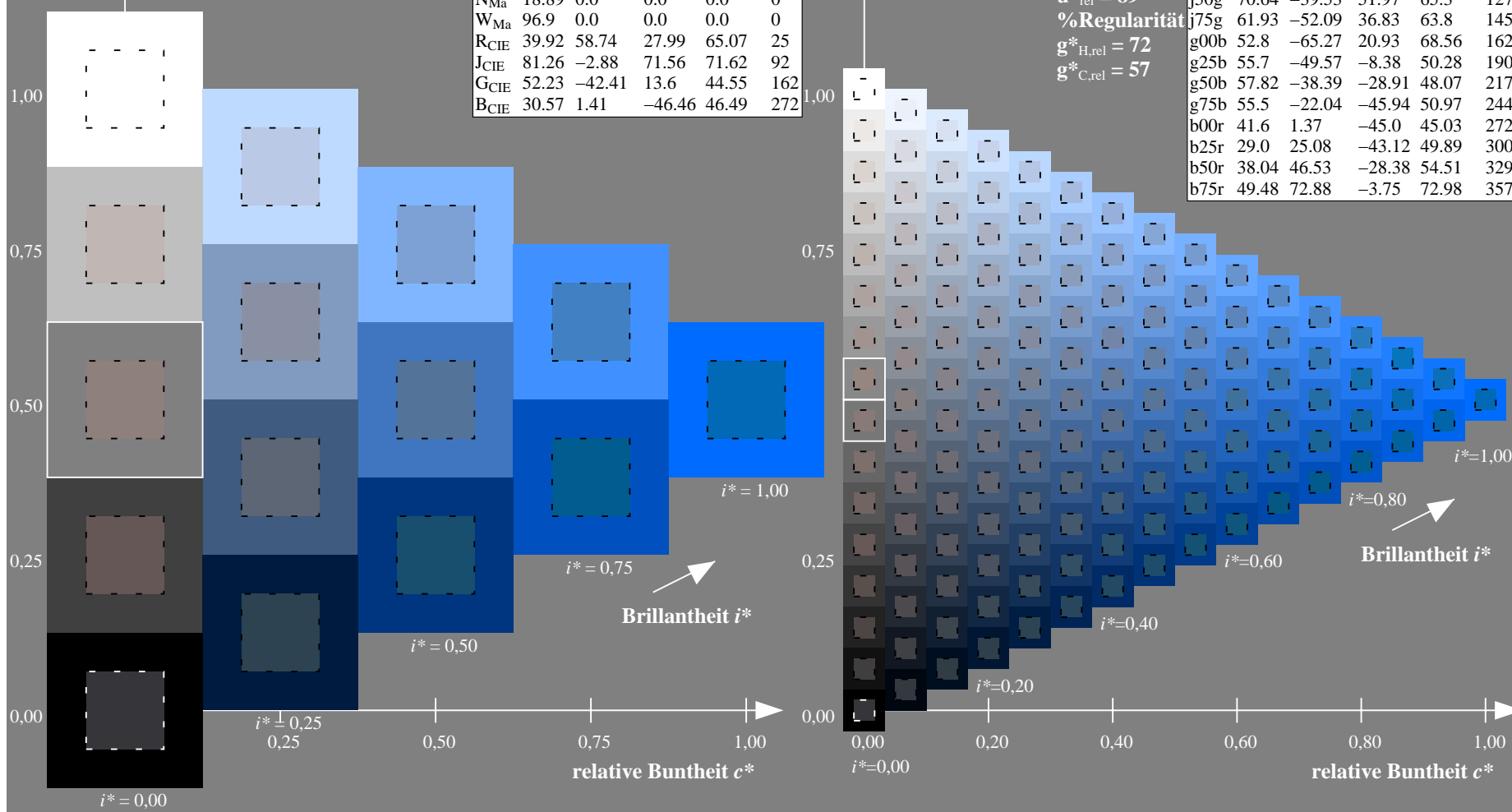
%Regularität

$g^*_{H,rel} = 72$

$g^*_{C,rel} = 57$

ORS19\_96a; adaptierte CIELAB-Daten

	$L^*=L^*_a$	$a^*_a$	$b^*_a$	$C^*_{ab,a}$	$h^*_{ab,a}$
r00j	48.88	66.47	31.67	73.63	25
r25j	55.85	52.39	47.48	70.7	42
r50j	65.45	35.22	58.37	68.17	59
r75j	75.19	17.82	69.41	71.66	76
j00g	87.03	-3.34	82.83	82.9	92
j25g	80.72	-25.0	69.5	73.86	110
j50g	70.64	-39.53	51.97	65.3	127
j75g	61.93	-52.09	36.83	63.8	145
g00b	52.8	-65.27	20.93	68.56	162
g25b	55.7	-49.57	-8.38	50.28	190
g50b	57.82	-38.39	-28.91	48.07	217
g75b	55.5	-22.04	-45.94	50.97	244
b00r	41.6	1.37	-45.0	45.03	272
b25r	29.0	25.08	-43.12	49.89	300
b50r	38.04	46.53	-28.38	54.51	329
b75r	49.48	72.88	-3.75	72.98	357



Ein und Ausgabe: Farbmatisches Drucker-Reflektiv-System ORS19\_96a für relativen CIELAB-Buntton  $h^* = lab^*h^* = h_{ab}/360 = 300/360 = 0.834$   $u^* = b25r$

Daten für jede Farbe:

$lab^*ch^*$  und  $lab^*icu^*$

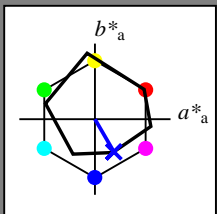
Elementar-Bunttontext:

$u^* = b25r$

Kontrastreduzierungsfaktor:

$c_R = 1.0$

Dreiecks-Helligkeit  $t^*$



ORS19\_96a; adaptierte CIELAB-Daten

	$L^*=L_a^*$	$a_a^*$	$b_a^*$	$C_{ab,a}^*$	$h_{ab,a}^*$
O <sub>Ma</sub>	48.75	65.07	39.43	76.08	31
Y <sub>Ma</sub>	90.92	-10.28	87.24	87.85	97
L <sub>Ma</sub>	52.69	-65.43	20.75	68.65	162
C <sub>Ma</sub>	59.61	-28.97	-46.21	54.56	238
V <sub>Ma</sub>	28.39	23.63	-44.12	50.06	298
M <sub>Ma</sub>	49.58	73.93	-9.55	74.55	353
N <sub>Ma</sub>	18.89	0.0	0.0	0.0	0
W <sub>Ma</sub>	96.9	0.0	0.0	0.0	0
R <sub>CIE</sub>	39.92	58.74	27.99	65.07	25
J <sub>CIE</sub>	81.26	-2.88	71.56	71.62	92
G <sub>CIE</sub>	52.23	-42.41	13.6	44.55	162
B <sub>CIE</sub>	30.57	1.41	-46.46	46.49	272

Daten für Maximalfarbe (Ma):

$LAB^*LAB^*Ma$ : 29 25 -42

$LAB^*LCH^*Ma$ : 29 50 300

$lab^*rgb^*Ma$ : 0.5 0.0 1.0

$lab^*olv^*Ma$ : 0.03 0.0 1.0

Dreiecks-Helligkeit  $t^*$

%Umfang

$u^*_{rel} = 89$

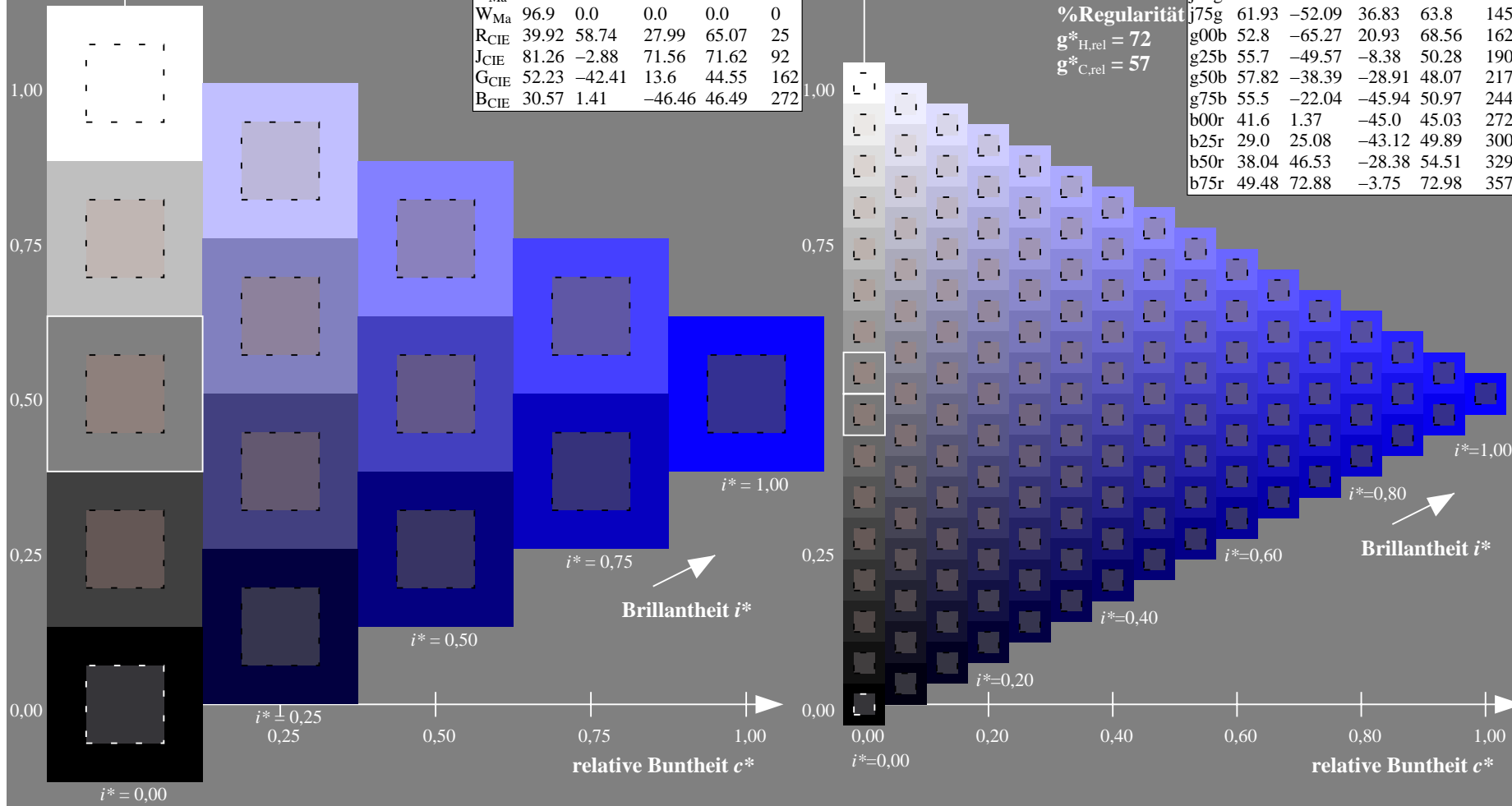
%Regularität

$g^*_{H,rel} = 72$

$g^*_{C,rel} = 57$

ORS19\_96a; adaptierte CIELAB-Daten

	$L^*=L_a^*$	$a_a^*$	$b_a^*$	$C_{ab,a}^*$	$h_{ab,a}^*$
r00j	48.88	66.47	31.67	73.63	25
r25j	55.85	52.39	47.48	70.7	42
r50j	65.45	35.22	58.37	68.17	59
r75j	75.19	17.82	69.41	71.66	76
j00g	87.03	-3.34	82.83	82.9	92
j25g	80.72	-25.0	69.5	73.86	110
j50g	70.64	-39.53	51.97	65.3	127
j75g	61.93	-52.09	36.83	63.8	145
g00b	52.8	-65.27	20.93	68.56	162
g25b	55.7	-49.57	-8.38	50.28	190
g50b	57.82	-38.39	-28.91	48.07	217
g75b	55.5	-22.04	-45.94	50.97	244
b00r	41.6	1.37	-45.0	45.03	272
b25r	29.0	25.08	-43.12	49.89	300
b50r	38.04	46.53	-28.38	54.51	329
b75r	49.48	72.88	-3.75	72.98	357



Ein und Ausgabe: Farbmatisches Drucker-Reflektiv-System ORS19\_96a für relativen CIELAB-Buntton  $h^* = lab^*h^* = h_{ab}/360 = 329/360 = 0.913$   $u^* = b50r$

Daten für jede Farbe:

$lab^*ch^*$  und  $lab^*icu^*$

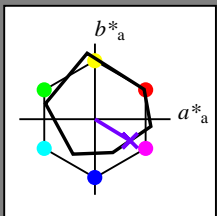
Elementar-Bunttontext:

$u^* = b50r$

Kontrastreduzierungsfaktor:

$c_R = 1.0$

Dreiecks-Helligkeit  $t^*$



ORS19\_96a; adaptierte CIELAB-Daten

	$L^*=L_a^*$	$a_a^*$	$b_a^*$	$C_{ab,a}^*$	$h_{ab,a}^*$
O <sub>Ma</sub>	48.75	65.07	39.43	76.08	31
Y <sub>Ma</sub>	90.92	-10.28	87.24	87.85	97
L <sub>Ma</sub>	52.69	-65.43	20.75	68.65	162
C <sub>Ma</sub>	59.61	-28.97	-46.21	54.56	238
V <sub>Ma</sub>	28.39	23.63	-44.12	50.06	298
M <sub>Ma</sub>	49.58	73.93	-9.55	74.55	353
N <sub>Ma</sub>	18.89	0.0	0.0	0.0	0
W <sub>Ma</sub>	96.9	0.0	0.0	0.0	0
R <sub>CIE</sub>	39.92	58.74	27.99	65.07	25
J <sub>CIE</sub>	81.26	-2.88	71.56	71.62	92
G <sub>CIE</sub>	52.23	-42.41	13.6	44.55	162
B <sub>CIE</sub>	30.57	1.41	-46.46	46.49	272

Daten für Maximalfarbe (Ma):

$LAB^*LAB^*_{Ma}$ : 38 47 -27

$LAB^*LCH^*_{Ma}$ : 38 55 329

$lab^*rgb^*_{Ma}$ : 1.0 0.0 1.0

$lab^*olv^*_{Ma}$ : 0.46 0.0 1.0

Dreiecks-Helligkeit  $t^*$

%Umfang

$u^*_{rel} = 89$

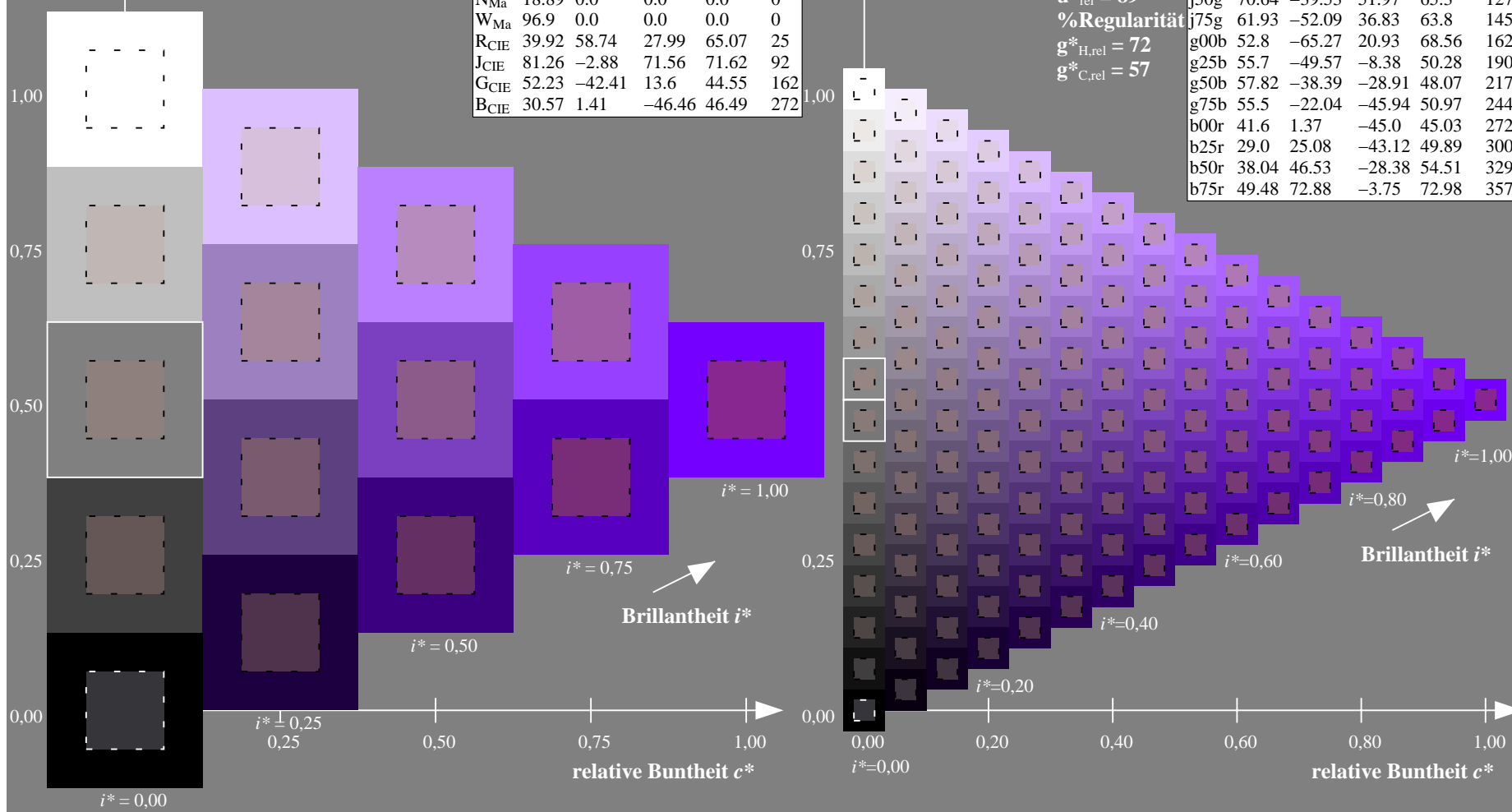
%Regelartigkeit

$g^*_{H,rel} = 72$

$g^*_{C,rel} = 57$

ORS19\_96a; adaptierte CIELAB-Daten

	$L^*=L_a^*$	$a_a^*$	$b_a^*$	$C_{ab,a}^*$	$h_{ab,a}^*$
r00j	48.88	66.47	31.67	73.63	25
r25j	55.85	52.39	47.48	70.7	42
r50j	65.45	35.22	58.37	68.17	59
r75j	75.19	17.82	69.41	71.66	76
j00g	87.03	-3.34	82.83	82.9	92
j25g	80.72	-25.0	69.5	73.86	110
j50g	70.64	-39.53	51.97	65.3	127
j75g	61.93	-52.09	36.83	63.8	145
g00b	52.8	-65.27	20.93	68.56	162
g25b	55.7	-49.57	-8.38	50.28	190
g50b	57.82	-38.39	-28.91	48.07	217
g75b	55.5	-22.04	-45.94	50.97	244
b00r	41.6	1.37	-45.0	45.03	272
b25r	29.0	25.08	-43.12	49.89	300
b50r	38.04	46.53	-28.38	54.51	329
b75r	49.48	72.88	-3.75	72.98	357

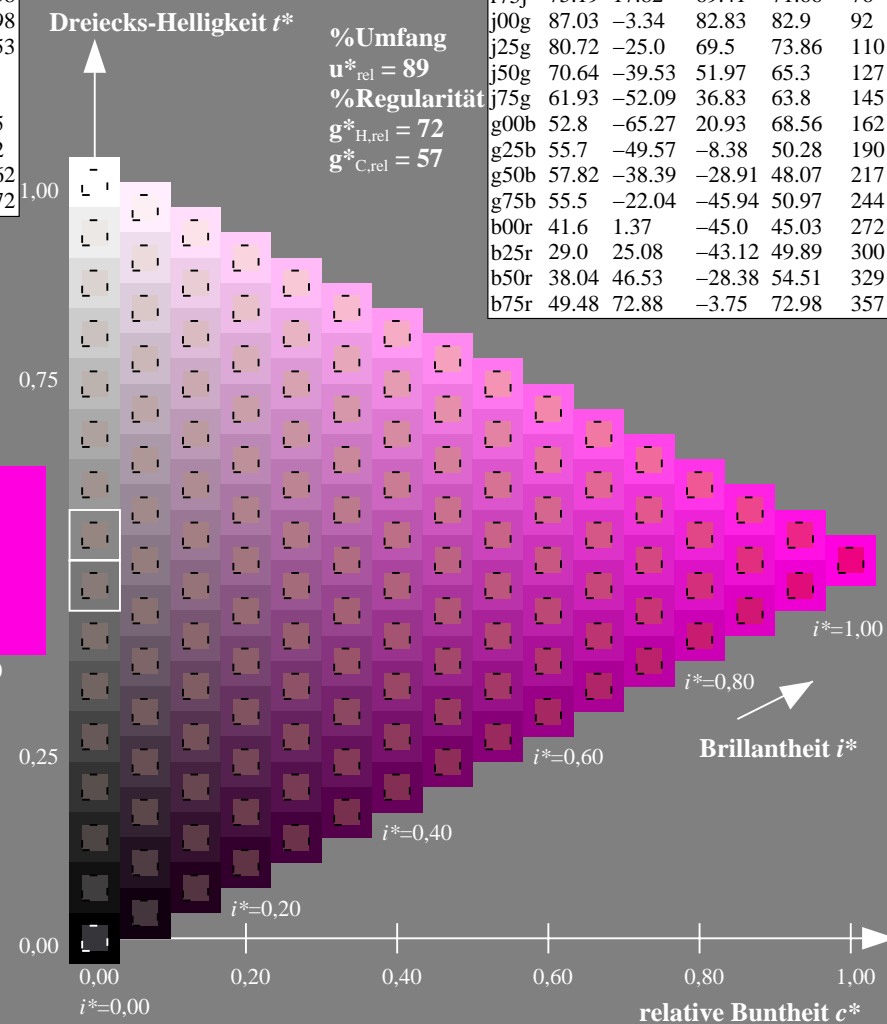
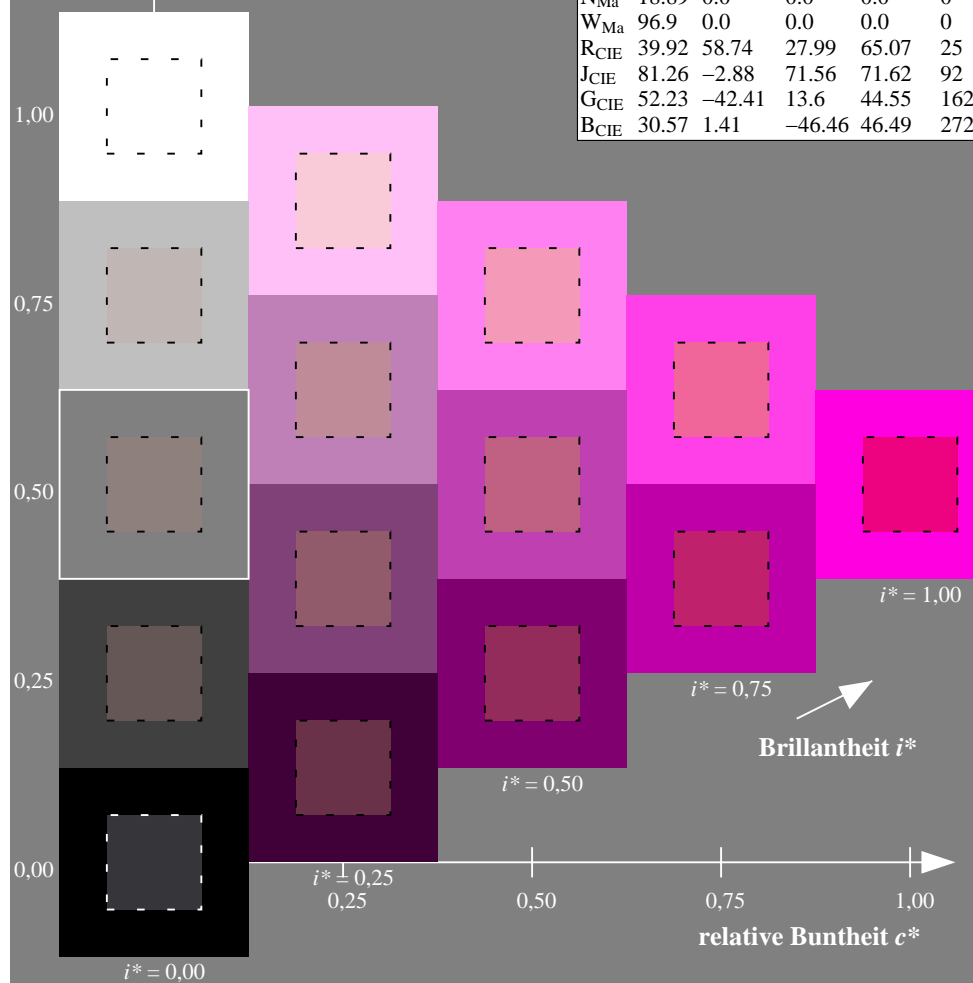




Ein und Ausgabe: Farbmétrisches Drucker-Reflektiv-System ORS19_96a für relativen CIELAB-Buntton $h^* = lab^*h^* = h_{ab}/360 = 357/360 = 0.992$ $u^* = b^*75r$			Daten für jede Farbe:			Daten für Maximalfarbe (Ma):		
$lab^*tch^*$ und $lab^*icu^*$			$lab^*tch^*$ und $lab^*icu^*$			$lab^*tch^*$ und $lab^*icu^*$		
Elementar-Bunttontext:			Elementar-Bunttontext:			Elementar-Bunttontext:		
$u^* = b^*75r$			$u^* = b^*75r$			$u^* = b^*75r$		
Kontrastreduzierungsfaktor:			Kontrastreduzierungsfaktor:			Kontrastreduzierungsfaktor:		
$c_R = 1.0$			$c_R = 1.0$			$c_R = 1.0$		
Dreiecks-Helligkeit $t^*$			Dreiecks-Helligkeit $t^*$			Dreiecks-Helligkeit $t^*$		

ORS19 96a; adaptierte CIELAB-Daten						
	$L^*_{\text{a}}$	$a^*_{\text{a}}$	$b^*_{\text{a}}$	$C^*_{\text{ab,a}}$	$h^*_{\text{ab,a}}$	
O <sub>Ma</sub>	48.75	65.07	39.43	76.08		31
Y <sub>Ma</sub>	90.92	-10.28	87.24	87.85		97
L <sub>Ma</sub>	52.69	-65.43	20.75	68.65		162
C <sub>Ma</sub>	59.61	-28.97	-46.21	54.56		238
V <sub>Ma</sub>	28.39	23.63	-44.12	50.06		298
M <sub>Ma</sub>	49.58	73.93	-9.55	74.55		353
N <sub>Ma</sub>	18.89	0.0	0.0	0.0		0
W <sub>Ma</sub>	96.9	0.0	0.0	0.0		0
R <sub>CIE</sub>	39.92	58.74	27.99	65.07		25
J <sub>CIE</sub>	81.26	-2.88	71.56	71.62		92
G <sub>CIE</sub>	52.23	-42.41	13.6	44.55		162
B <sub>CIE</sub>	30.57	1.41	-46.46	46.49		272

ORS19 96a; adaptierte CIELAB-Daten					
	$L^*_a$	$a^*_a$	$b^*_a$	$C^*_{ab,a}$	$h^*_{ab,a}$
r00j	48.88	66.47	31.67	73.63	25
r25j	55.85	52.39	47.48	70.7	42
r50j	65.45	35.22	58.37	68.17	59
r75j	75.19	17.82	69.41	71.66	76
j00g	87.03	-3.34	82.83	82.9	92
j25g	80.72	-25.0	69.5	73.86	110
j50g	70.64	-39.53	51.97	65.3	127
j75g	61.93	-52.09	36.83	63.8	145
g00b	52.8	-65.27	20.93	68.56	162
g25b	55.7	-49.57	-8.38	50.28	190
g50b	57.82	-38.39	-28.91	48.07	217
g75b	55.5	-22.04	-45.94	50.97	244
b00r	41.6	1.37	-45.0	45.03	272
b25r	29.0	25.08	-43.12	49.89	300
b50r	38.04	46.53	-28.38	54.51	329
b75r	49.48	72.88	-3.75	72.98	357

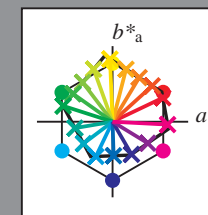


Siehe ähnliche Dateien: <http://www.ps.bam.de/Dg98/>; [www.ps.bam.de/Dg98/HTM](http://www.ps.bam.de/Dg98/HTM)  
Technische Information: <http://www.ps.bam.de> Version 2.1, io=1,1, ColSpx=1



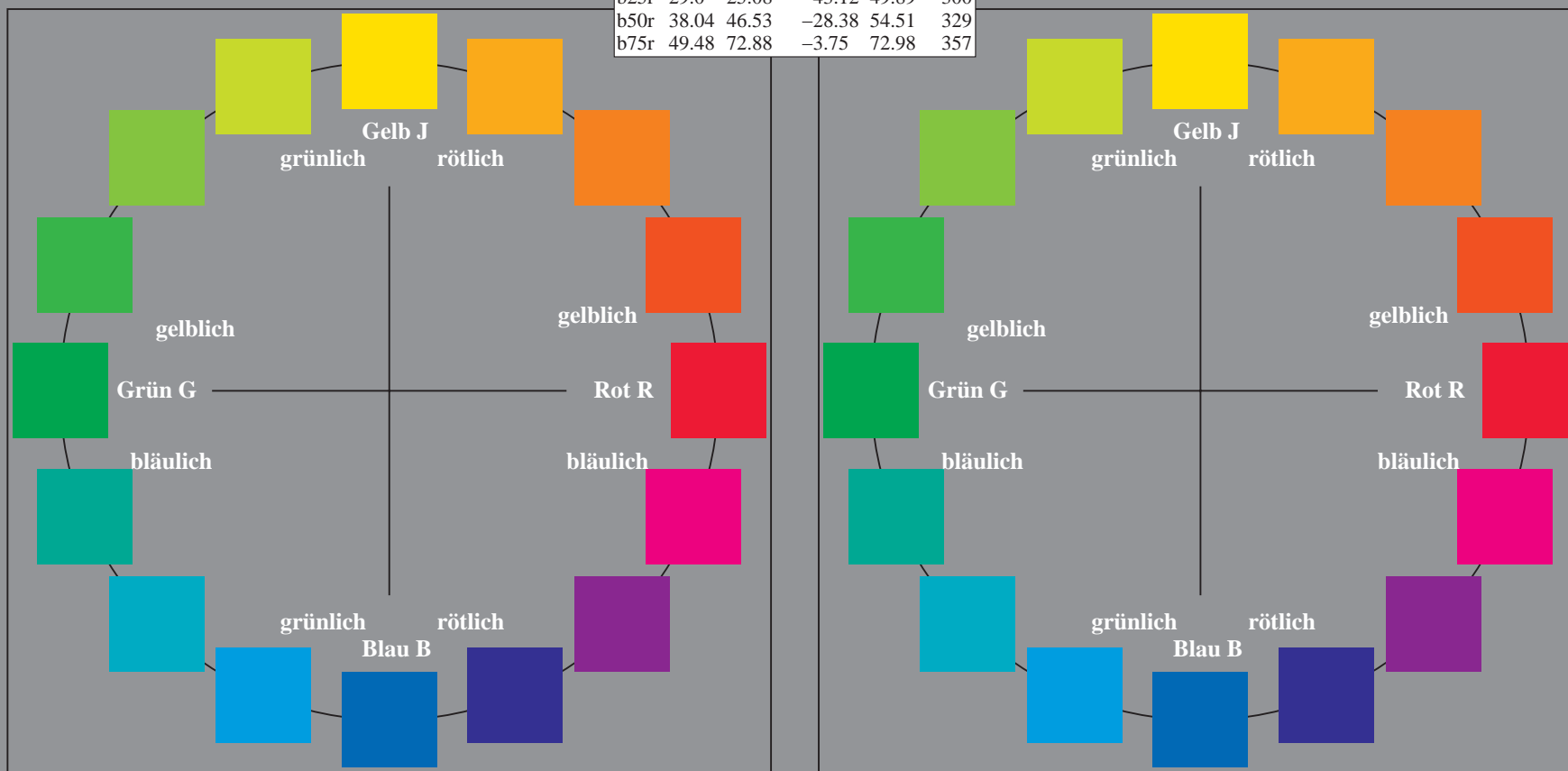
Ein und Ausgabe:  
Farbmetrisches Drucker-Reflektiv-System ORS19\_96a  
Daten für jede Farbe:  
*lab\*<sub>tch</sub>*\* und *lab\*<sub>icu</sub>*\*  
Elementar-Bunttontext:  
*u\** = 16 Buntttöne *r00j*, *r25j*, ..., *b75r*  
Kontrastreduzierungsfaktor:  
*c<sub>R</sub>* = 1.0

ORS19_96a; adaptierte CIELAB-Daten					
	<i>L*</i> = <i>L*</i> <sub>a</sub>	<i>a*</i> <sub>a</sub>	<i>b*</i> <sub>a</sub>	<i>C*</i> <sub>ab,a</sub>	<i>h*</i> <sub>ab,a</sub>
r00j	48.88	66.47	31.67	73.63	25
r25j	55.85	52.39	47.48	70.7	42
r50j	65.45	35.22	58.37	68.17	59
r75j	75.19	17.82	69.41	71.66	76
j00g	87.03	-3.34	82.83	82.9	92
j25g	80.72	-25.0	69.5	73.86	110
j50g	70.64	-39.53	51.97	65.3	127
j75g	61.93	-52.09	36.83	63.8	145
g00b	52.8	-65.27	20.93	68.56	162
g25b	55.7	-49.57	-8.38	50.28	190
g50b	57.82	-38.39	-28.91	48.07	217
g75b	55.5	-22.04	-45.94	50.97	244
b00r	41.6	1.37	-45.0	45.03	272
b25r	29.0	25.08	-43.12	49.89	300
b50r	38.04	46.53	-28.38	54.51	329
b75r	49.48	72.88	-3.75	72.98	357



%Umfang  
*u\**<sub>rel</sub> = 89  
%Regularität  
*g\**<sub>H,rel</sub> = 72  
*g\**<sub>C,rel</sub> = 57

ORS19_96a; adaptierte CIELAB-Daten					
	<i>L*</i> = <i>L*</i> <sub>a</sub>	<i>a*</i> <sub>a</sub>	<i>b*</i> <sub>a</sub>	<i>C*</i> <sub>ab,a</sub>	<i>h*</i> <sub>ab,a</sub>
O <sub>Ma</sub>	48.75	65.07	39.43	76.08	31
Y <sub>Ma</sub>	90.92	-10.28	87.24	87.85	97
L <sub>Ma</sub>	52.69	-65.43	20.75	68.65	162
C <sub>Ma</sub>	59.61	-28.97	-46.21	54.56	238
V <sub>Ma</sub>	28.39	23.63	-44.12	50.06	298
M <sub>Ma</sub>	49.58	73.93	-9.55	74.55	353
N <sub>Ma</sub>	18.89	0.0	0.0	0.0	0
W <sub>Ma</sub>	96.9	0.0	0.0	0.0	0
R <sub>CIE</sub>	39.92	58.74	27.99	65.07	25
J <sub>CIE</sub>	81.26	-2.88	71.56	71.62	92
G <sub>CIE</sub>	52.23	-42.41	13.6	44.55	162
B <sub>CIE</sub>	30.57	1.41	-46.46	46.49	272



Ein und Ausgabe: Farbmetrisches Drucker-Reflektiv-System ORS19\_96a für relativen CIELAB-Buntton  $h^* = lab^*h^* = h_{ab}/360 = 25/360 = 0.071$   $u^* = r00j$

Daten für jede Farbe:

$lab^*ch^*$  und  $lab^*icu^*$

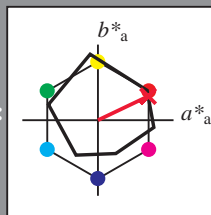
Elementar-Bunttontext:

$u^* = r00j$

Kontrastreduzierungsfaktor:

$c_R = 1.0$

Dreiecks-Helligkeit  $t^*$



ORS19\_96a; adaptierte CIELAB-Daten

	$L^* = \bar{L}^*_a$	$a^*_a$	$b^*_a$	$C^*_{ab,a}$	$h^*_{ab,a}$
O <sub>Ma</sub>	48.75	65.07	39.43	76.08	31
Y <sub>Ma</sub>	90.92	-10.28	87.24	87.85	97
L <sub>Ma</sub>	52.69	-65.43	20.75	68.65	162
C <sub>Ma</sub>	59.61	-28.97	-46.21	54.56	238
V <sub>Ma</sub>	28.39	23.63	-44.12	50.06	298
M <sub>Ma</sub>	49.58	73.93	-9.55	74.55	353
N <sub>Ma</sub>	18.89	0.0	0.0	0.0	0
W <sub>Ma</sub>	96.9	0.0	0.0	0.0	0
R <sub>CIE</sub>	39.92	58.74	27.99	65.07	25
J <sub>CIE</sub>	81.26	-2.88	71.56	71.62	92
G <sub>CIE</sub>	52.23	-42.41	13.6	44.55	162
B <sub>CIE</sub>	30.57	1.41	-46.46	46.49	272

Daten für Maximalfarbe (Ma):

$LAB^*LAB^*_{Ma}$ : 49 66 32

$LAB^*LCH^*_{Ma}$ : 49 74 25

$lab^*rgb^*_{Ma}$ : 1.0 0.0 0.0

$lab^*olv^*_{Ma}$ : 1.0 0.0 0.16

Dreiecks-Helligkeit  $t^*$

%Umfang

$u^*_{rel} = 89$

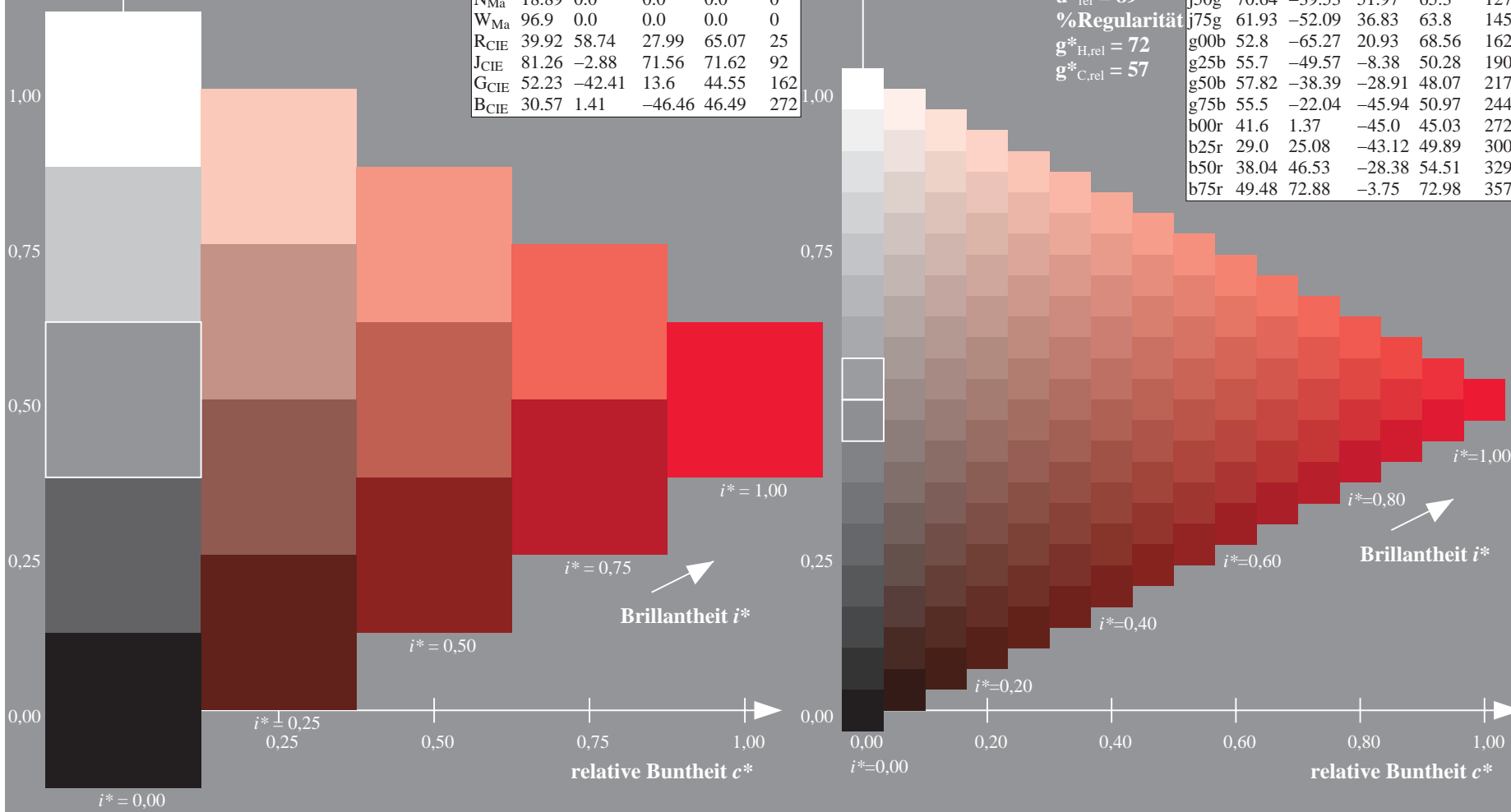
%Regularität

$g^*_{H,rel} = 72$

$g^*_{C,rel} = 57$

ORS19\_96a; adaptierte CIELAB-Daten

	$L^* = \bar{L}^*_a$	$a^*_a$	$b^*_a$	$C^*_{ab,a}$	$h^*_{ab,a}$
r00j	48.88	66.47	31.67	73.63	25
r25j	55.85	52.39	47.48	70.7	42
r50j	65.45	35.22	58.37	68.17	59
r75j	75.19	17.82	69.41	71.66	76
j00g	87.03	-3.34	82.83	82.9	92
j25g	80.72	-25.0	69.5	73.86	110
j50g	70.64	-39.53	51.97	65.3	127
j75g	61.93	-52.09	36.83	63.8	145
g00b	52.8	-65.27	20.93	68.56	162
g25b	55.7	-49.57	-8.38	50.28	190
g50b	57.82	-38.39	-28.91	48.07	217
g75b	55.5	-22.04	-45.94	50.97	244
b00r	41.6	1.37	-45.0	45.03	272
b25r	29.0	25.08	-43.12	49.89	300
b50r	38.04	46.53	-28.38	54.51	329
b75r	49.48	72.88	-3.75	72.98	357



Ein und Ausgabe: Farbmetrisches Drucker-Reflexiv-System ORS19\_96a für relativen CIELAB-Buntton  $h^* = lab^*h^* = h_{ab}/360 = 42/360 = 0.117$   $u^* = r25j$

Daten für jede Farbe:

$lab^*ch^*$  und  $lab^*icu^*$

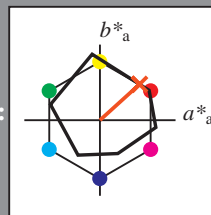
Elementar-Bunttontext:

$u^* = r25j$

Kontrastreduzierungsfaktor:

$c_R = 1.0$

Dreiecks-Helligkeit  $i^*$



ORS19\_96a; adaptierte CIELAB-Daten

	$L^* = L^*_a$	$a^*_a$	$b^*_a$	$C^*_{ab,a}$	$h^*_{ab,a}$
O <sub>Ma</sub>	48.75	65.07	39.43	76.08	31
Y <sub>Ma</sub>	90.92	-10.28	87.24	87.85	97
L <sub>Ma</sub>	52.69	-65.43	20.75	68.65	162
C <sub>Ma</sub>	59.61	-28.97	-46.21	54.56	238
V <sub>Ma</sub>	28.39	23.63	-44.12	50.06	298
M <sub>Ma</sub>	49.58	73.93	-9.55	74.55	353
N <sub>Ma</sub>	18.89	0.0	0.0	0.0	0
W <sub>Ma</sub>	96.9	0.0	0.0	0.0	0
R <sub>CIE</sub>	39.92	58.74	27.99	65.07	25
J <sub>CIE</sub>	81.26	-2.88	71.56	71.62	92
G <sub>CIE</sub>	52.23	-42.41	13.6	44.55	162
B <sub>CIE</sub>	30.57	1.41	-46.46	46.49	272

Daten für Maximalfarbe (Ma):

$LAB^*LAB^*_{Ma}$ : 56 52 47

$LAB^*LCH^*_{Ma}$ : 56 71 42

$lab^*rgb^*_{Ma}$ : 1.0 0.25 0.0

$lab^*olv^*_{Ma}$ : 1.0 0.17 0.0

Dreiecks-Helligkeit  $i^*$

%Umfang

$u^*_{rel} = 89$

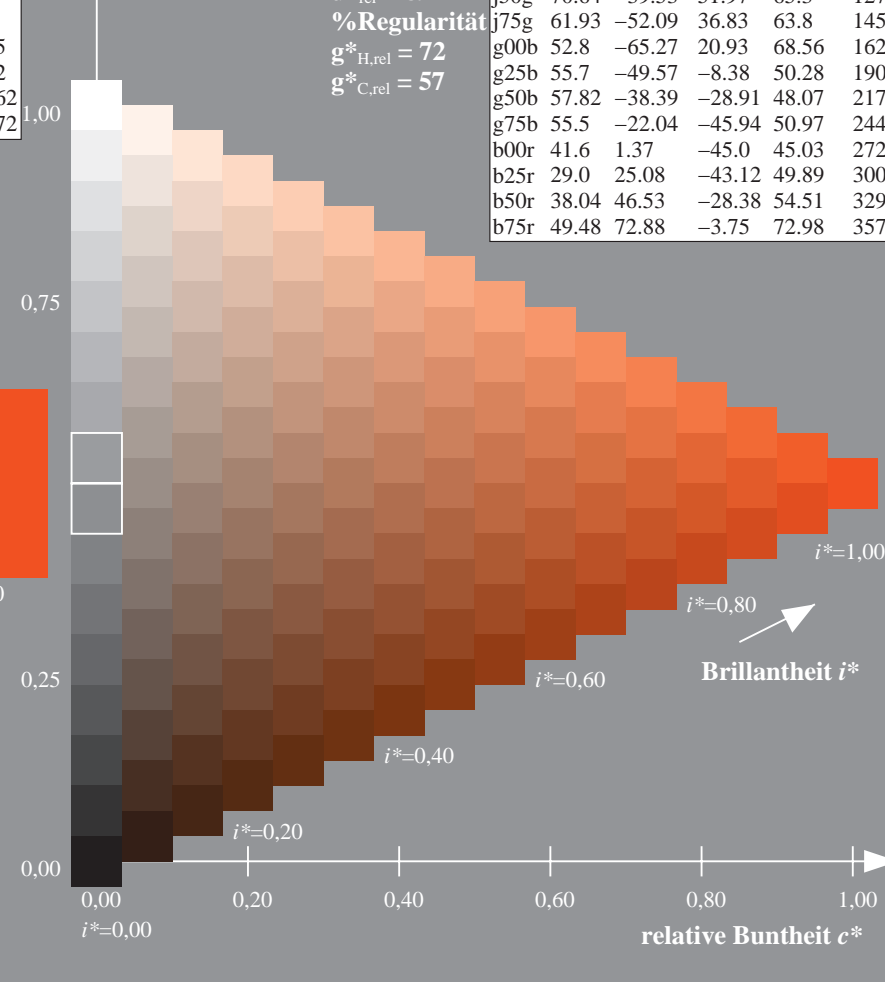
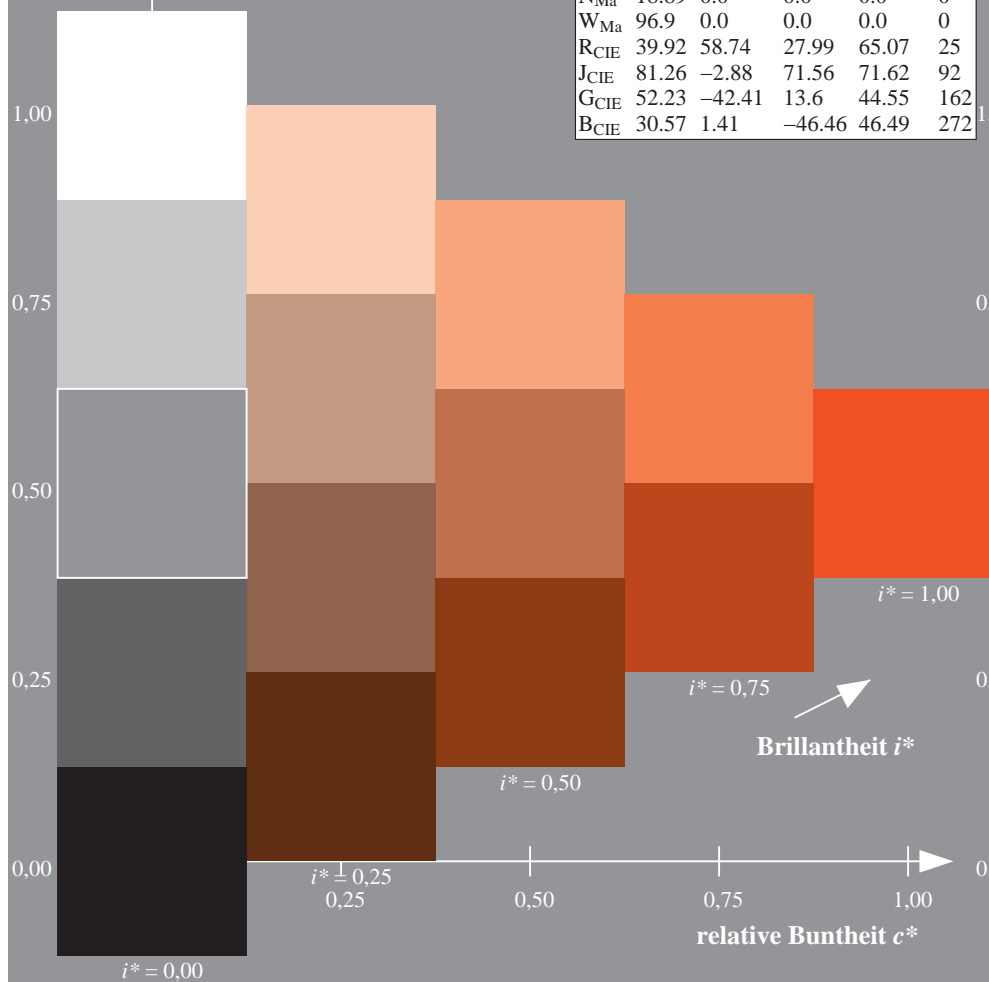
%Regularität

$g^*_{H,rel} = 72$

$g^*_{C,rel} = 57$

ORS19\_96a; adaptierte CIELAB-Daten

	$L^* = L^*_a$	$a^*_a$	$b^*_a$	$C^*_{ab,a}$	$h^*_{ab,a}$
r00j	48.88	66.47	31.67	73.63	25
r25j	55.85	52.39	47.48	70.7	42
r50j	65.45	35.22	58.37	68.17	59
r75j	75.19	17.82	69.41	71.66	76
j00g	87.03	-3.34	82.83	82.9	92
j25g	80.72	-25.0	69.5	73.86	110
j50g	70.64	-39.53	51.97	65.3	127
j75g	61.93	-52.09	36.83	63.8	145
g00b	52.8	-65.27	20.93	68.56	162
g25b	55.7	-49.57	-8.38	50.28	190
g50b	57.82	-38.39	-28.91	48.07	217
g75b	55.5	-22.04	-45.94	50.97	244
b00r	41.6	1.37	-45.0	45.03	272
b25r	29.0	25.08	-43.12	49.89	300
b50r	38.04	46.53	-28.38	54.51	329
b75r	49.48	72.88	-3.75	72.98	357



### Daten für jede Farbe:

*lab\*tch\** und *lab\*icu\**

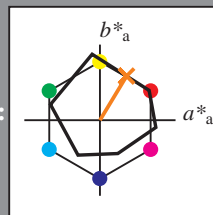
### Elementar-Bunttontext:

$$u^* = r50j$$

### Kontrastreduzierungsfaktor:

 $c_{\mathbf{R}} = 1.0$ 

### K Dreiecks-Helligkeit $t^*$



ORS19 96a; adaptierte CIELAB-Daten					
	$L^*_{a*}$	$a^*_{a*}$	$b^*_{a*}$	$C^*_{ab,a*}$	$h^*_{ab,a*}$
O <sub>Ma</sub>	48.75	65.07	39.43	76.08	31
Y <sub>Ma</sub>	90.92	-10.28	87.24	87.85	97
L <sub>Ma</sub>	52.69	-65.43	20.75	68.65	162
C <sub>Ma</sub>	59.61	-28.97	-46.21	54.56	238
V <sub>Ma</sub>	28.39	23.63	-44.12	50.06	298
M <sub>Ma</sub>	49.58	73.93	-9.55	74.55	353
N <sub>Ma</sub>	18.89	0.0	0.0	0.0	0
W <sub>Ma</sub>	96.9	0.0	0.0	0.0	0
R <sub>CIE</sub>	39.92	58.74	27.99	65.07	25
J <sub>CIE</sub>	81.26	-2.88	71.56	71.62	92
G <sub>CIE</sub>	52.23	-42.41	13.6	44.55	162
B <sub>CIE</sub>	30.57	1.41	-46.46	46.49	272

**Daten für Maximalfarbe (Ma):**

*LAB\*LAB\*Mo: 65 35 58*

LAD\*LCU\* = 65 68 59

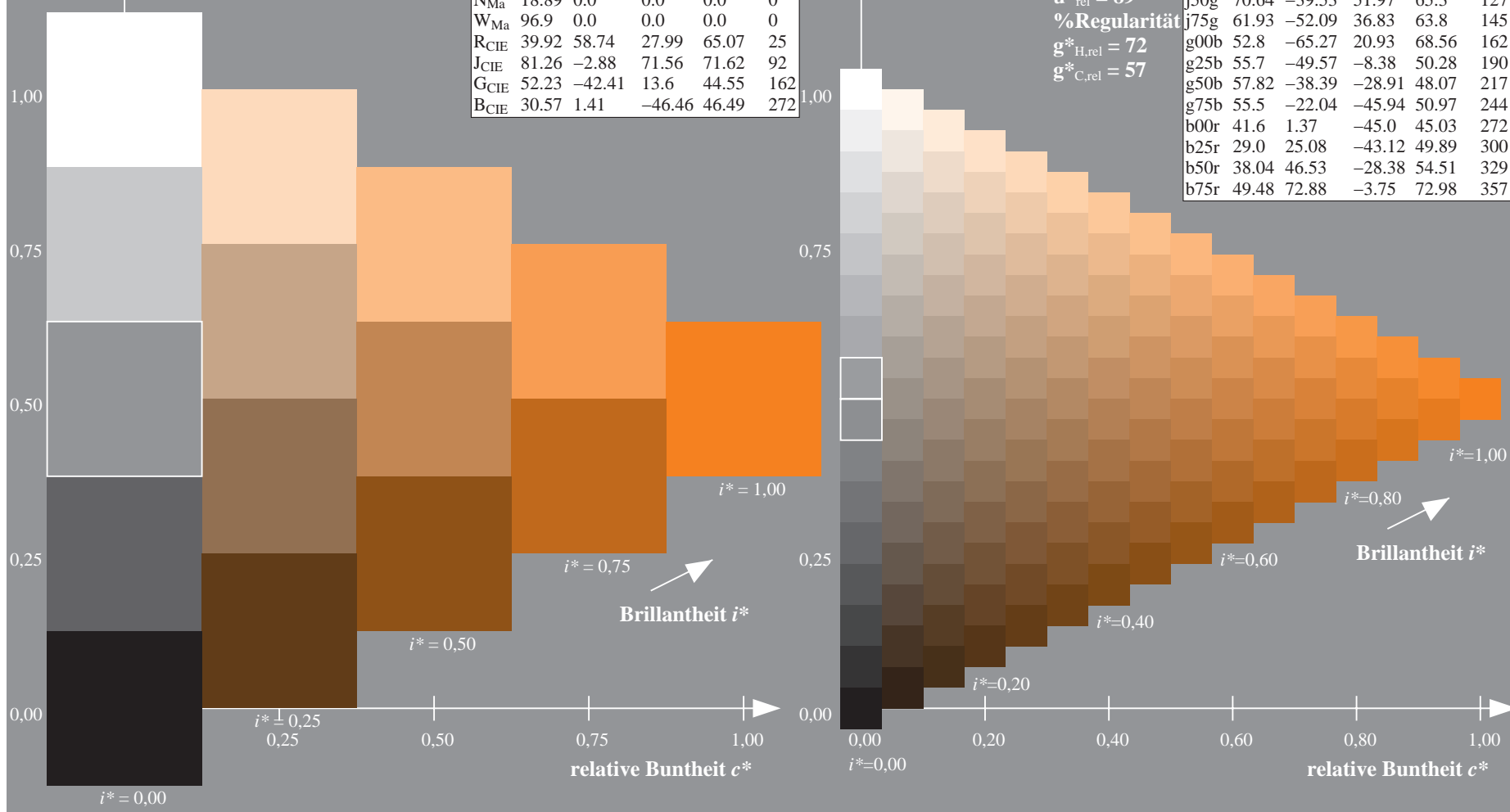
**LAB\*LCH\*Ma: 65 68 5**

*lab\*rgb\*\_Ma: 1.0 0.5 0.0*

*lab\*olv\**Ma: 1.0 0.4 0.0

### Dreiecks-Helligkeit $t^*$

ORS19_96a; adaptierte CIELAB-Daten						
	$L^*_a$	$a^*_a$	$b^*_a$	$C^*_{ab,a}$	$h^*_{ab,a}$	
r00j	48.88	66.47	31.67	73.63	25.0	100
r25j	55.85	52.39	47.48	70.7	42	90
r50j	65.45	35.22	58.37	68.17	59	80
r75j	75.19	17.82	69.41	71.66	76	70
j00g	87.03	-3.34	82.83	82.9	92	60
j25g	80.72	-25.0	69.5	73.86	110	50
j50g	70.64	-39.53	51.97	65.3	127	40
j75g	61.93	-52.09	36.83	63.8	145	30
g00b	52.8	-65.27	20.93	68.56	162	20
g25b	55.7	-49.57	-8.38	50.28	190	10
g50b	57.82	-38.39	-28.91	48.07	217	0
g75b	55.5	-22.04	-45.94	50.97	244	
b00r	41.6	1.37	-45.0	45.03	272	
b25r	29.0	25.08	-43.12	49.89	300	
b50r	38.04	46.53	-28.38	54.51	329	
b75r	49.48	72.88	-3.75	72.98	357	





Ein und Ausgabe: Farbmetrisches Drucker-Reflexiv-System ORS19\_96a für relativen CIELAB-Buntton  $h^* = lab^*h^* = h_{ab}/360 = 76/360 = 0.21$   $u^* = r75j$

Daten für jede Farbe:

$lab^*ch^*$  und  $lab^*icu^*$

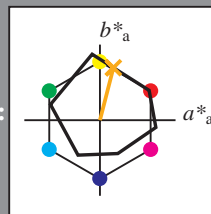
Elementar-Bunttontext:

$u^* = r75j$

Kontrastreduzierungsfaktor:

$c_R = 1.0$

Dreiecks-Helligkeit  $i^*$



ORS19\_96a; adaptierte CIELAB-Daten

	$L^* = L^*_a$	$a^*_a$	$b^*_a$	$C^*_{ab,a}$	$h^*_{ab,a}$
O <sub>Ma</sub>	48.75	65.07	39.43	76.08	31
Y <sub>Ma</sub>	90.92	-10.28	87.24	87.85	97
L <sub>Ma</sub>	52.69	-65.43	20.75	68.65	162
C <sub>Ma</sub>	59.61	-28.97	-46.21	54.56	238
V <sub>Ma</sub>	28.39	23.63	-44.12	50.06	298
M <sub>Ma</sub>	49.58	73.93	-9.55	74.55	353
N <sub>Ma</sub>	18.89	0.0	0.0	0.0	0
W <sub>Ma</sub>	96.9	0.0	0.0	0.0	0
R <sub>CIE</sub>	39.92	58.74	27.99	65.07	25
J <sub>CIE</sub>	81.26	-2.88	71.56	71.62	92
G <sub>CIE</sub>	52.23	-42.41	13.6	44.55	162
B <sub>CIE</sub>	30.57	1.41	-46.46	46.49	272

Daten für Maximalfarbe (Ma):

$LAB^*LAB^*_{Ma}$ : 75 18 69

$LAB^*LCH^*_{Ma}$ : 75 72 76

$lab^*rgb^*_{Ma}$ : 1.0 0.75 0.0

$lab^*olv^*_{Ma}$ : 1.0 0.63 0.0

Dreiecks-Helligkeit  $i^*$

%Umfang

$u^*_{rel} = 89$

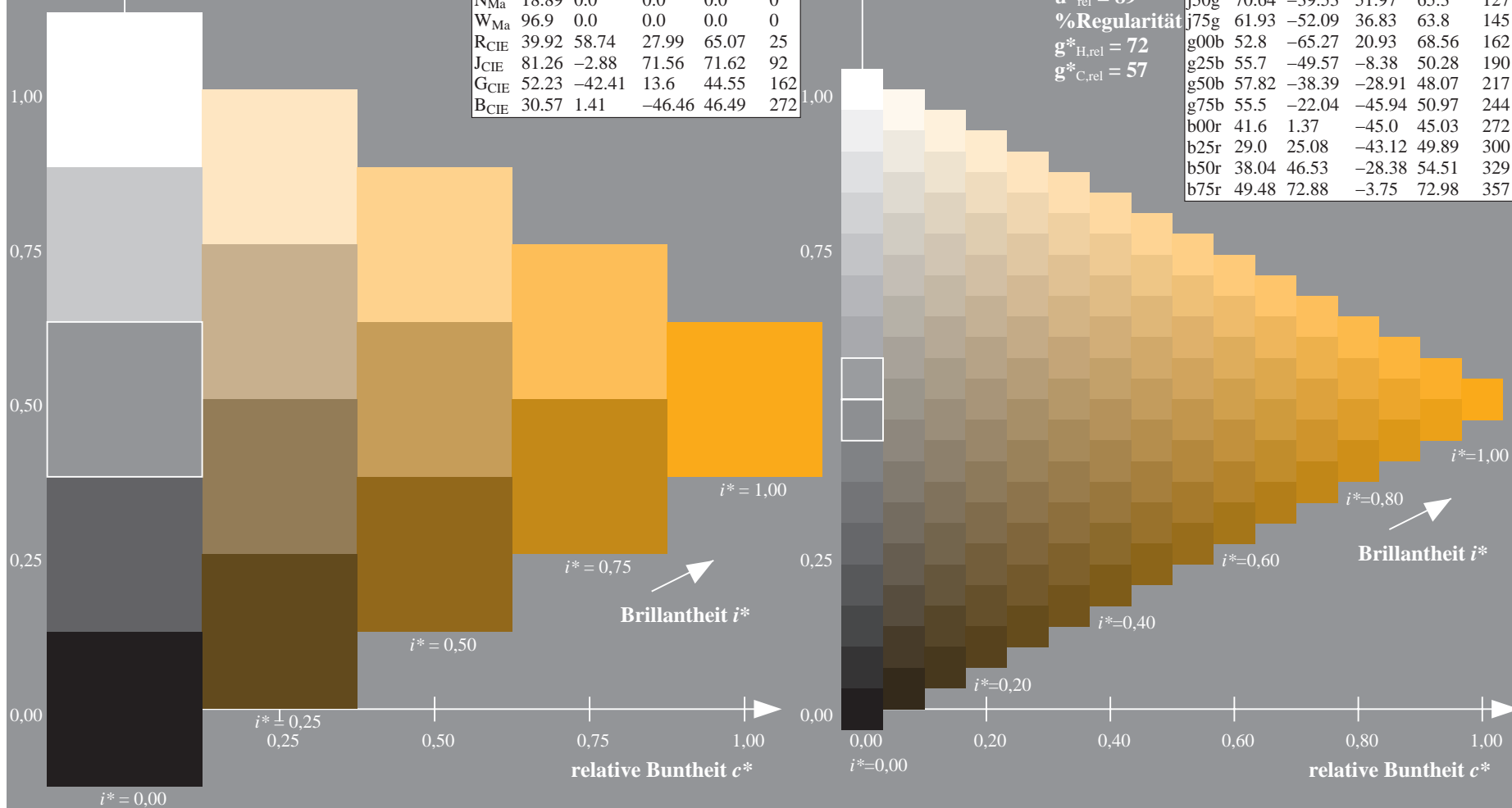
%Regularität

$g^*_{H,rel} = 72$

$g^*_{C,rel} = 57$

ORS19\_96a; adaptierte CIELAB-Daten

	$L^* = L^*_a$	$a^*_a$	$b^*_a$	$C^*_{ab,a}$	$h^*_{ab,a}$
r00j	48.88	66.47	31.67	73.63	25
r25j	55.85	52.39	47.48	70.7	42
r50j	65.45	35.22	58.37	68.17	59
r75j	75.19	17.82	69.41	71.66	76
j00g	87.03	-3.34	82.83	82.9	92
j25g	80.72	-25.0	69.5	73.86	110
j50g	70.64	-39.53	51.97	65.3	127
j75g	61.93	-52.09	36.83	63.8	145
g00b	52.8	-65.27	20.93	68.56	162
g25b	55.7	-49.57	-8.38	50.28	190
g50b	57.82	-38.39	-28.91	48.07	217
g75b	55.5	-22.04	-45.94	50.97	244
b00r	41.6	1.37	-45.0	45.03	272
b25r	29.0	25.08	-43.12	49.89	300
b50r	38.04	46.53	-28.38	54.51	329
b75r	49.48	72.88	-3.75	72.98	357



Ein und Ausgabe: Farbmetrisches Drucker-Reflektiv-System ORS19\_96a für relativen CIELAB-Buntton  $h^* = lab^*h^* = h_{ab}/360 = 92/360 = 0.256$   $u^* = j00g$

Daten für jede Farbe:

$lab^*ch^*$  und  $lab^*icu^*$

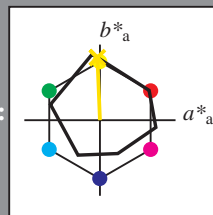
Elementar-Bunttontext:

$u^* = j00g$

Kontrastreduzierungsfaktor:

$c_R = 1.0$

Dreiecks-Helligkeit  $i^*$



ORS19\_96a; adaptierte CIELAB-Daten

	$L^* = L^*_a$	$a^*_a$	$b^*_a$	$C^*_{ab,a}$	$h^*_{ab,a}$
O <sub>Ma</sub>	48.75	65.07	39.43	76.08	31
Y <sub>Ma</sub>	90.92	-10.28	87.24	87.85	97
L <sub>Ma</sub>	52.69	-65.43	20.75	68.65	162
C <sub>Ma</sub>	59.61	-28.97	-46.21	54.56	238
V <sub>Ma</sub>	28.39	23.63	-44.12	50.06	298
M <sub>Ma</sub>	49.58	73.93	-9.55	74.55	353
N <sub>Ma</sub>	18.89	0.0	0.0	0.0	0
W <sub>Ma</sub>	96.9	0.0	0.0	0.0	0
R <sub>CIE</sub>	39.92	58.74	27.99	65.07	25
J <sub>CIE</sub>	81.26	-2.88	71.56	71.62	92
G <sub>CIE</sub>	52.23	-42.41	13.6	44.55	162
B <sub>CIE</sub>	30.57	1.41	-46.46	46.49	272

Daten für Maximalfarbe (Ma):

$LAB^*LAB^*_{Ma}$ : 87 -2 83

$LAB^*LCH^*_{Ma}$ : 87 83 92

$lab^*rgb^*_{Ma}$ : 1.0 1.0 0.0

$lab^*olv^*_{Ma}$ : 1.0 0.91 0.0

Dreiecks-Helligkeit  $i^*$

%Umfang

$u^*_{rel} = 89$

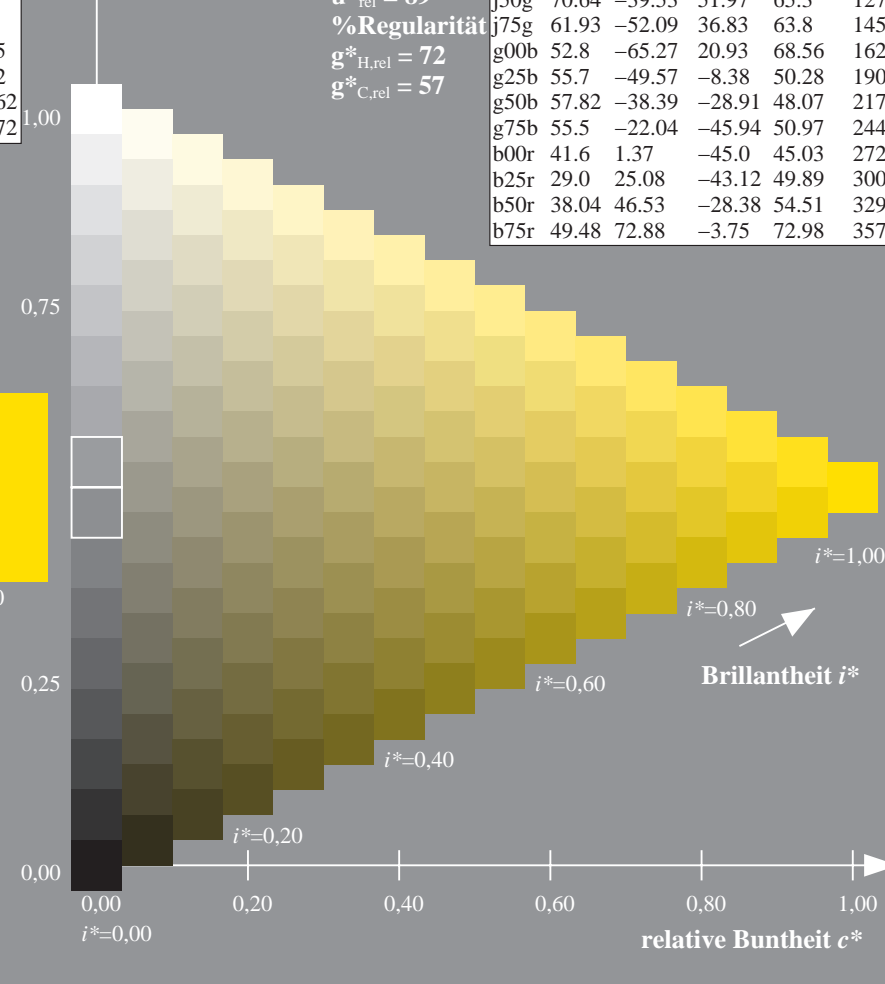
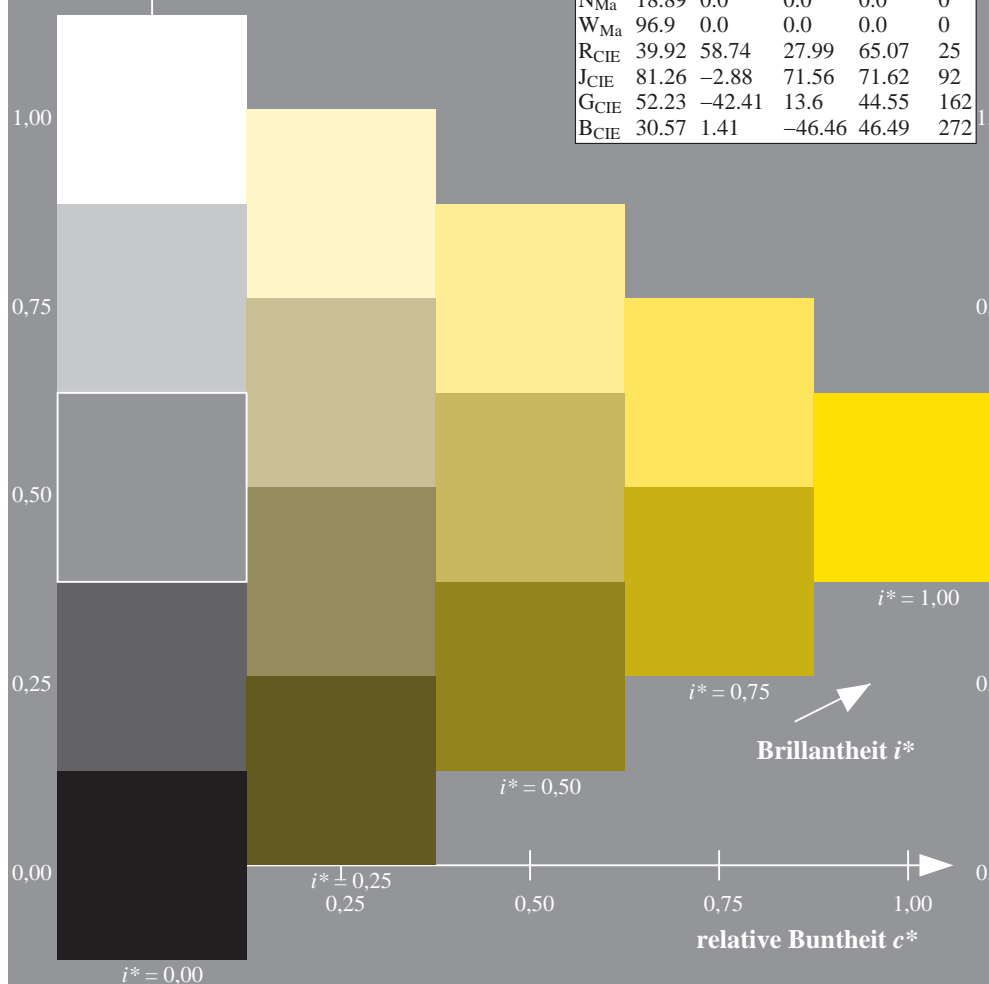
%Regularität

$g^*_{H,rel} = 72$

$g^*_{C,rel} = 57$

ORS19\_96a; adaptierte CIELAB-Daten

	$L^* = L^*_a$	$a^*_a$	$b^*_a$	$C^*_{ab,a}$	$h^*_{ab,a}$
r00j	48.88	66.47	31.67	73.63	25
r25j	55.85	52.39	47.48	70.7	42
r50j	65.45	35.22	58.37	68.17	59
r75j	75.19	17.82	69.41	71.66	76
j00g	87.03	-3.34	82.83	82.9	92
j25g	80.72	-25.0	69.5	73.86	110
j50g	70.64	-39.53	51.97	65.3	127
j75g	61.93	-52.09	36.83	63.8	145
g00b	52.8	-65.27	20.93	68.56	162
g25b	55.7	-49.57	-8.38	50.28	190
g50b	57.82	-38.39	-28.91	48.07	217
g75b	55.5	-22.04	-45.94	50.97	244
b00r	41.6	1.37	-45.0	45.03	272
b25r	29.0	25.08	-43.12	49.89	300
b50r	38.04	46.53	-28.38	54.51	329
b75r	49.48	72.88	-3.75	72.98	357



### Daten für jede Farbe:

*lab\*tch\** und *lab\*icu\**

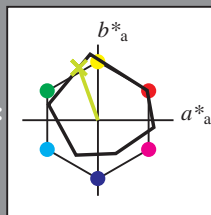
### Elementar-Bunttontext:

$$u^* = j25g$$

### Kontrastreduzierungsfaktor:

$$c_R = 1.0$$

### Dreiecks-Helligkeit $t^*$



ORS19 96a; adaptierte CIELAB-Daten					
	$L^*_{a*}$	$a^*_{a*}$	$b^*_{a*}$	$C^*_{ab,a*}$	$h^*_{ab,a*}$
O <sub>Ma</sub>	48.75	65.07	39.43	76.08	31
Y <sub>Ma</sub>	90.92	-10.28	87.24	87.85	97
L <sub>Ma</sub>	52.69	-65.43	20.75	68.65	162
C <sub>Ma</sub>	59.61	-28.97	-46.21	54.56	238
V <sub>Ma</sub>	28.39	23.63	-44.12	50.06	298
M <sub>Ma</sub>	49.58	73.93	-9.55	74.55	353
N <sub>Ma</sub>	18.89	0.0	0.0	0.0	0
W <sub>Ma</sub>	96.9	0.0	0.0	0.0	0
R <sub>CIE</sub>	39.92	58.74	27.99	65.07	25
J <sub>CIE</sub>	81.26	-2.88	71.56	71.62	92
G <sub>CIE</sub>	52.23	-42.41	13.6	44.55	162
B <sub>CIE</sub>	30.57	1.41	-46.46	46.49	272

### Daten für Maximalfarbe (Ma):

***LAB\*LAB\**<sub>Ma</sub>: 81 -24 69**

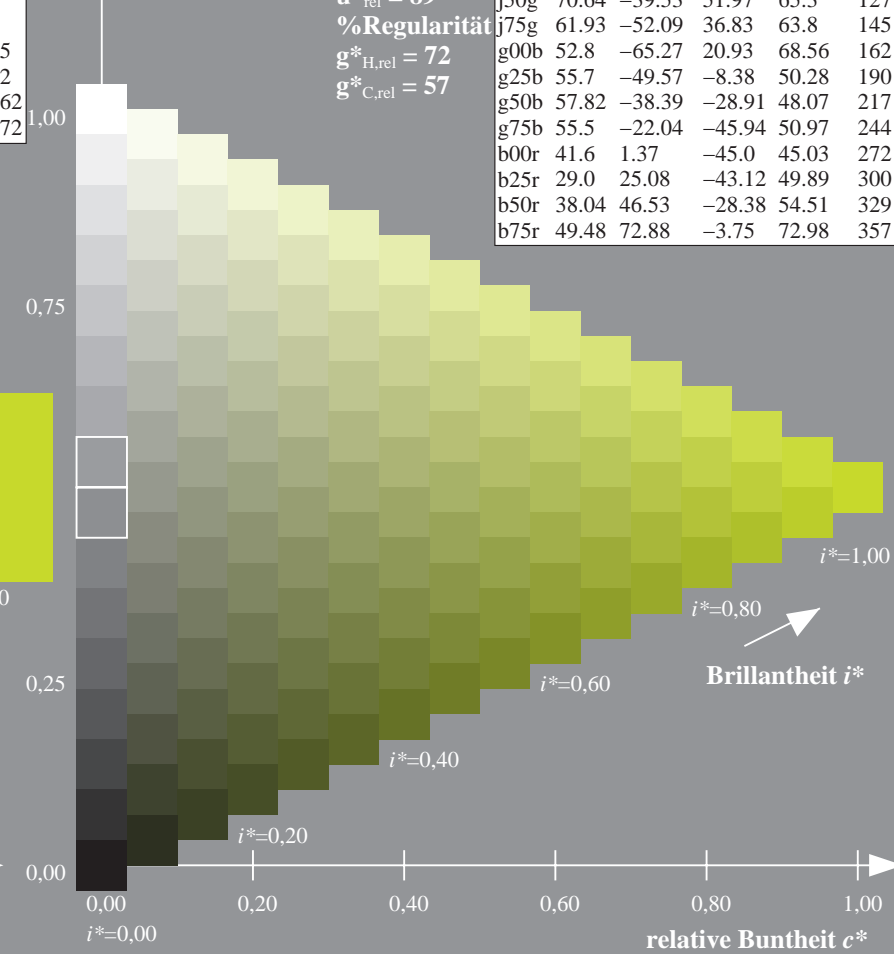
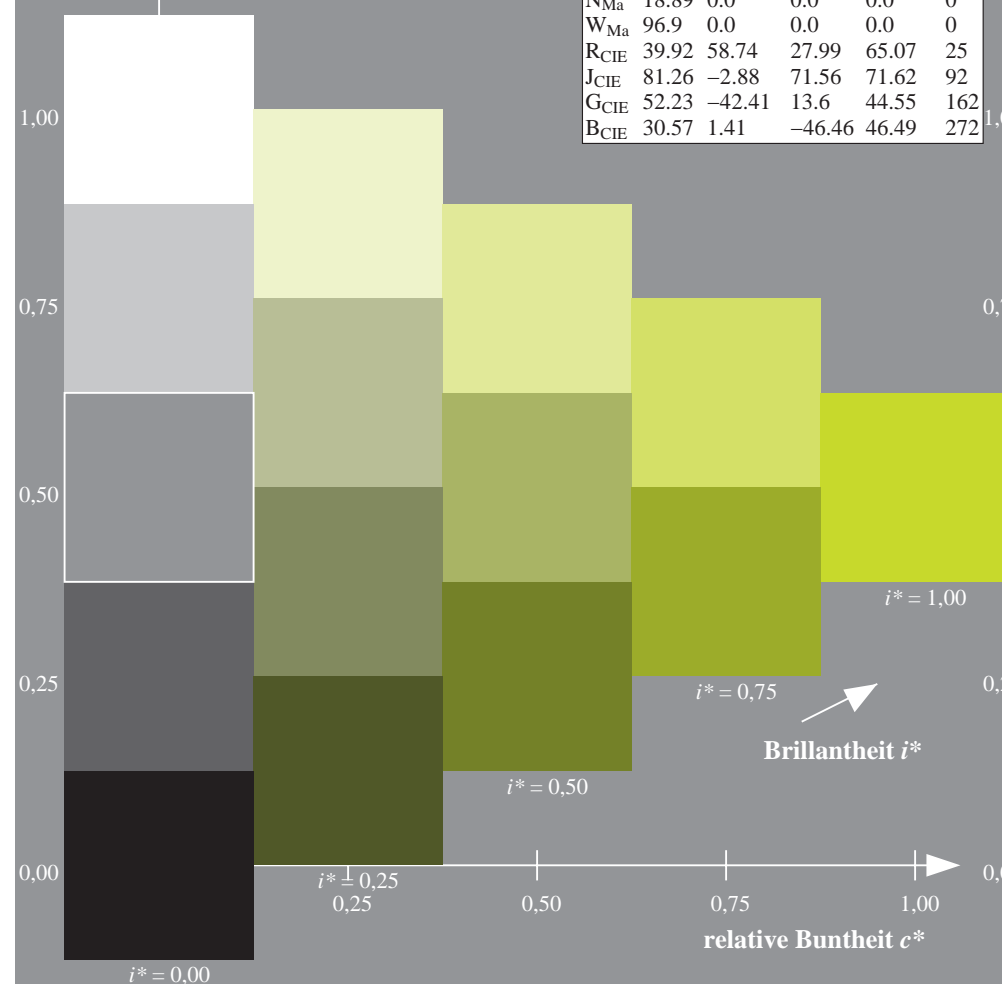
**LAB\*LCH\*Ma: 81 74 110**

*lab\*rgb\*\_Ma: 0.75 1.0 0.0*

*lab\*rgb\**<sub>Ma</sub>: 0.75 1.0 0.0  
*lab\*oly\**<sub>Ma</sub>: 0.73 1.0 0.0

### Dreiecks-Helligkeit $t^*$

ORS19_96a; adaptierte CIELAB-Daten						
	$L^*_a$	$a^*_a$	$b^*_a$	$C^*_{ab,a}$	$h^*_{ab,a}$	
r00j	48.88	66.47	31.67	73.63	25.0	100
r25j	55.85	52.39	47.48	70.7	42	90
r50j	65.45	35.22	58.37	68.17	59	80
r75j	75.19	17.82	69.41	71.66	76	70
j00g	87.03	-3.34	82.83	82.9	92	60
j25g	80.72	-25.0	69.5	73.86	110	50
j50g	70.64	-39.53	51.97	65.3	127	40
j75g	61.93	-52.09	36.83	63.8	145	30
g00b	52.8	-65.27	20.93	68.56	162	20
g25b	55.7	-49.57	-8.38	50.28	190	10
g50b	57.82	-38.39	-28.91	48.07	217	0
g75b	55.5	-22.04	-45.94	50.97	244	
b00r	41.6	1.37	-45.0	45.03	272	
b25r	29.0	25.08	-43.12	49.89	300	
b50r	38.04	46.53	-28.38	54.51	329	
b75r	49.48	72.88	-3.75	72.98	357	



Ein und Ausgabe: Farbmetrisches Drucker-Reflektiv-System ORS19\_96a für relativen CIELAB-Buntton  $h^* = lab^*h^* = h_{ab}/360 = 127/360 = 0.354$   $u^* = j50g$

Daten für jede Farbe:

$lab^*ch^*$  und  $lab^*icu^*$

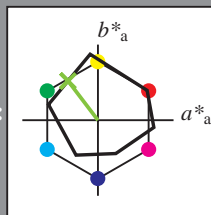
Elementar-Bunttontext:

$u^* = j50g$

Kontrastreduzierungsfaktor:

$c_R = 1.0$

Dreiecks-Helligkeit  $i^*$



ORS19_96a; adaptierte CIELAB-Daten					
	$L^*=L^*_a$	$a^*_a$	$b^*_a$	$C^*_{ab,a}$	$h^*_{ab,a}$
O <sub>Ma</sub>	48.75	65.07	39.43	76.08	31
Y <sub>Ma</sub>	90.92	-10.28	87.24	87.85	97
L <sub>Ma</sub>	52.69	-65.43	20.75	68.65	162
C <sub>Ma</sub>	59.61	-28.97	-46.21	54.56	238
V <sub>Ma</sub>	28.39	23.63	-44.12	50.06	298
M <sub>Ma</sub>	49.58	73.93	-9.55	74.55	353
N <sub>Ma</sub>	18.89	0.0	0.0	0.0	0
W <sub>Ma</sub>	96.9	0.0	0.0	0.0	0
R <sub>CIE</sub>	39.92	58.74	27.99	65.07	25
J <sub>CIE</sub>	81.26	-2.88	71.56	71.62	92
G <sub>CIE</sub>	52.23	-42.41	13.6	44.55	162
B <sub>CIE</sub>	30.57	1.41	-46.46	46.49	272

Daten für Maximalfarbe (Ma):

$LAB^*LAB^*_{Ma}$ : 71 -39 52

$LAB^*LCH^*_{Ma}$ : 71 65 127

$lab^*rgb^*_{Ma}$ : 0.5 1.0 0.0

$lab^*olv^*_{Ma}$ : 0.47 1.0 0.0

Dreiecks-Helligkeit  $i^*$

%Umfang

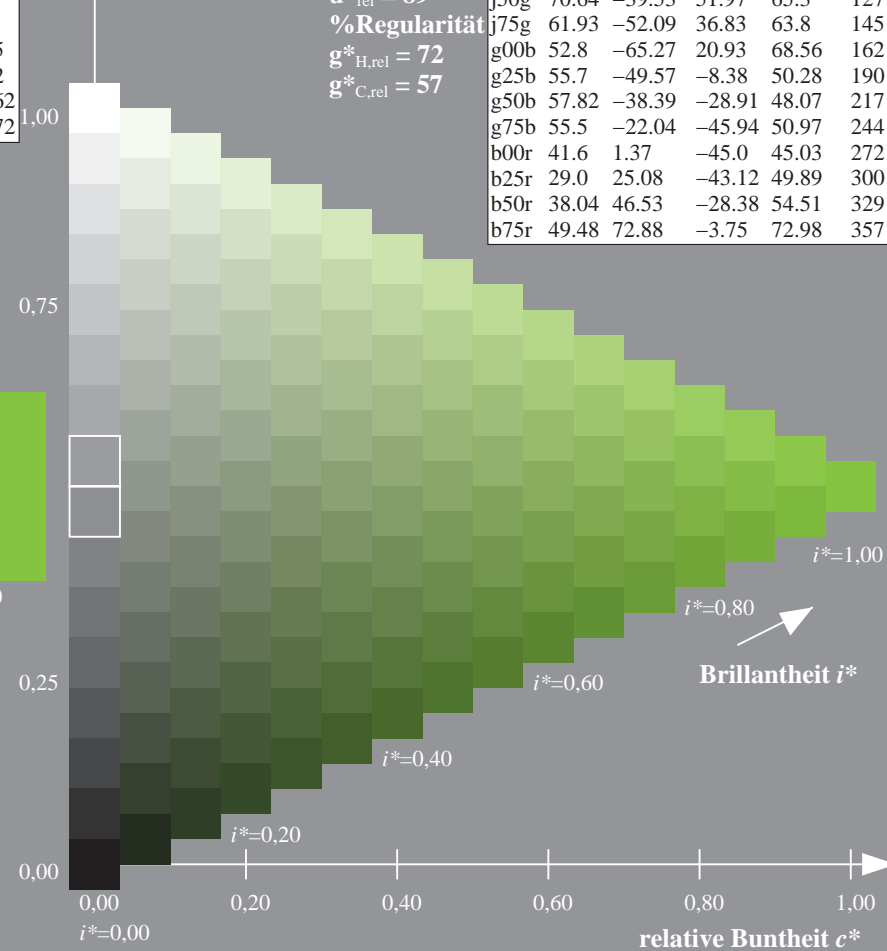
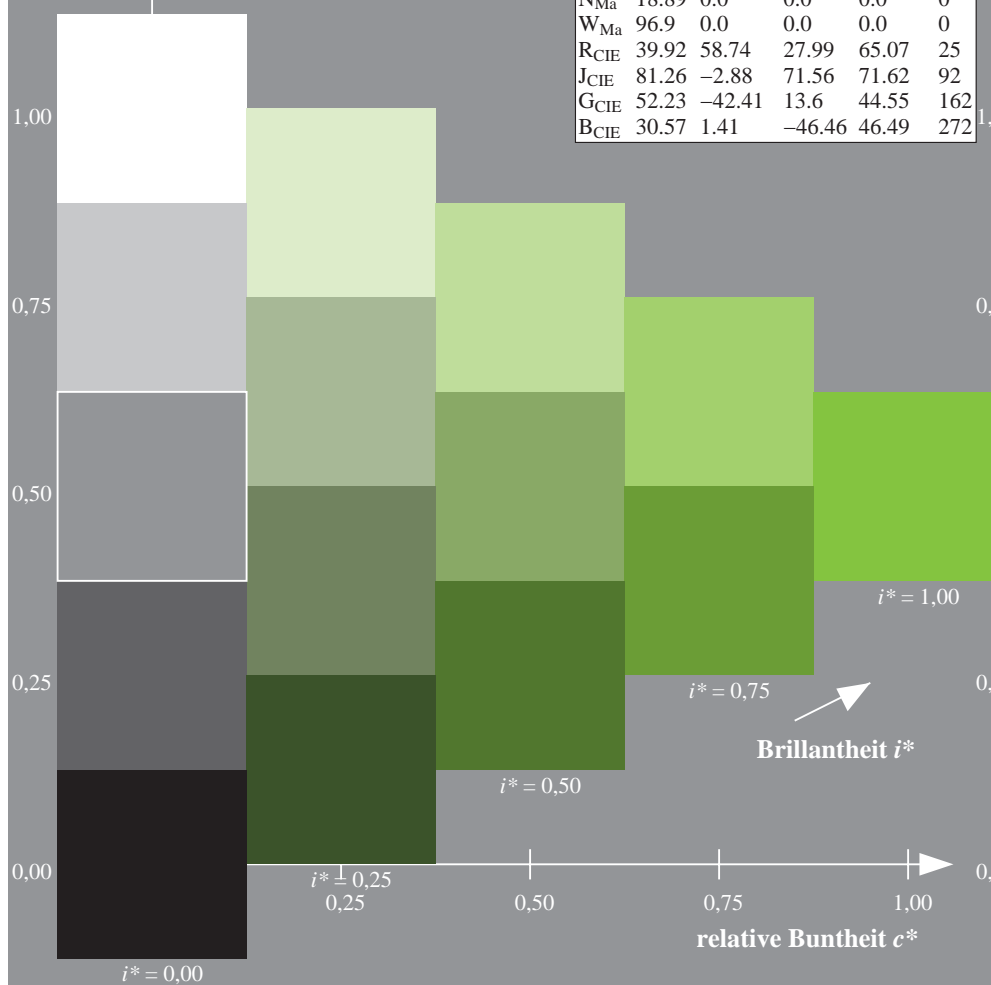
$u^*_{rel} = 89$

%Regularität

$g^*_{H,rel} = 72$

$g^*_{C,rel} = 57$

ORS19_96a; adaptierte CIELAB-Daten					
	$L^*=L^*_a$	$a^*_a$	$b^*_a$	$C^*_{ab,a}$	$h^*_{ab,a}$
r00j	48.88	66.47	31.67	73.63	25
r25j	55.85	52.39	47.48	70.7	42
r50j	65.45	35.22	58.37	68.17	59
r75j	75.19	17.82	69.41	71.66	76
j00g	87.03	-3.34	82.83	82.9	92
j25g	80.72	-25.0	69.5	73.86	110
j50g	70.64	-39.53	51.97	65.3	127
j75g	61.93	-52.09	36.83	63.8	145
g00b	52.8	-65.27	20.93	68.56	162
g25b	55.7	-49.57	-8.38	50.28	190
g50b	57.82	-38.39	-28.91	48.07	217
g75b	55.5	-22.04	-45.94	50.97	244
b00r	41.6	1.37	-45.0	45.03	272
b25r	29.0	25.08	-43.12	49.89	300
b50r	38.04	46.53	-28.38	54.51	329
b75r	49.48	72.88	-3.75	72.98	357



Ein und Ausgabe: Farbmetrisches Drucker-Reflektiv-System ORS19\_96a für relativen CIELAB-Buntton  $h^* = lab^*h^* = h_{ab}/360 = 145/360 = 0.402$   $u^* = j75g$

Daten für jede Farbe:

$lab^*ch^*$  und  $lab^*icu^*$

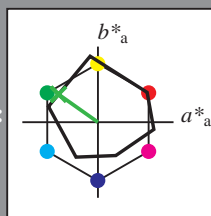
Elementar-Bunttontext:

$u^* = j75g$

Kontrastreduzierungsfaktor:

$c_R = 1.0$

Dreiecks-Helligkeit  $t^*$



ORS19_96a; adaptierte CIELAB-Daten					
	$L^* = \bar{L}^*_a$	$a^*_a$	$b^*_a$	$C^*_{ab,a}$	$h^*_{ab,a}$
O <sub>Ma</sub>	48.75	65.07	39.43	76.08	31
Y <sub>Ma</sub>	90.92	-10.28	87.24	87.85	97
L <sub>Ma</sub>	52.69	-65.43	20.75	68.65	162
C <sub>Ma</sub>	59.61	-28.97	-46.21	54.56	238
V <sub>Ma</sub>	28.39	23.63	-44.12	50.06	298
M <sub>Ma</sub>	49.58	73.93	-9.55	74.55	353
N <sub>Ma</sub>	18.89	0.0	0.0	0.0	0
W <sub>Ma</sub>	96.9	0.0	0.0	0.0	0
R <sub>CIE</sub>	39.92	58.74	27.99	65.07	25
J <sub>CIE</sub>	81.26	-2.88	71.56	71.62	92
G <sub>CIE</sub>	52.23	-42.41	13.6	44.55	162
B <sub>CIE</sub>	30.57	1.41	-46.46	46.49	272

Daten für Maximalfarbe (Ma):

$LAB^*LAB^*_{Ma}$ : 62 -51 37

$LAB^*LCH^*_{Ma}$ : 62 64 145

$lab^*rgb^*_{Ma}$ : 0.25 1.0 0.0

$lab^*olv^*_{Ma}$ : 0.24 1.0 0.0

Dreiecks-Helligkeit  $t^*$

%Umfang

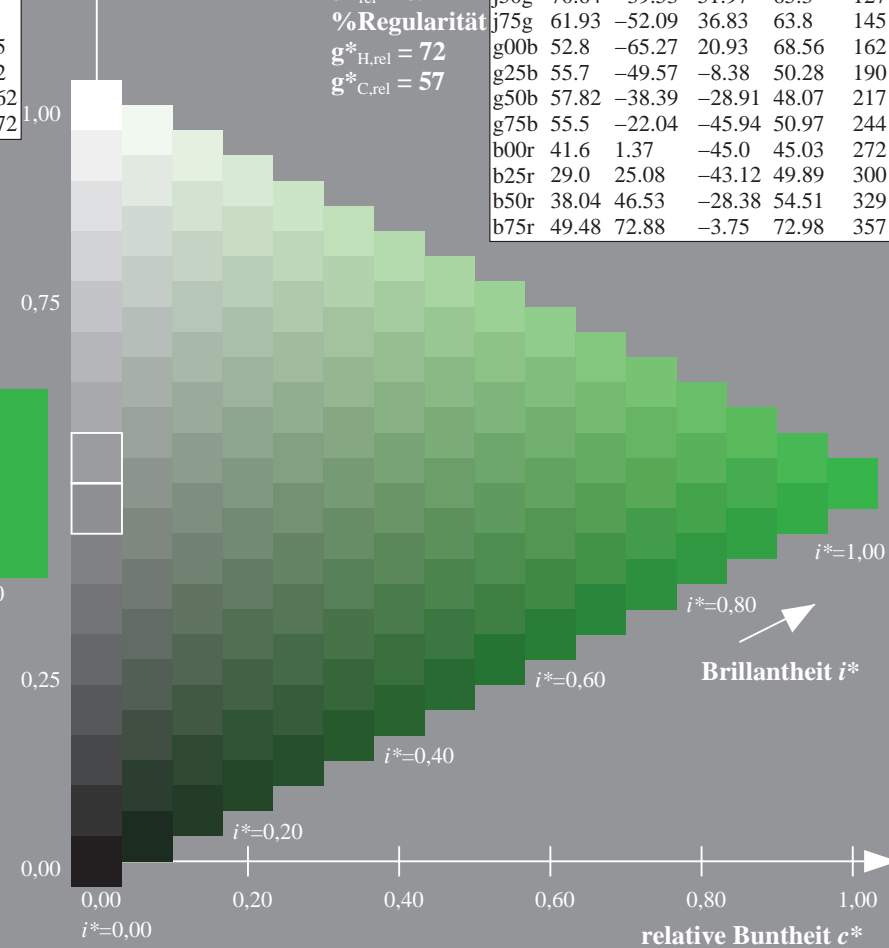
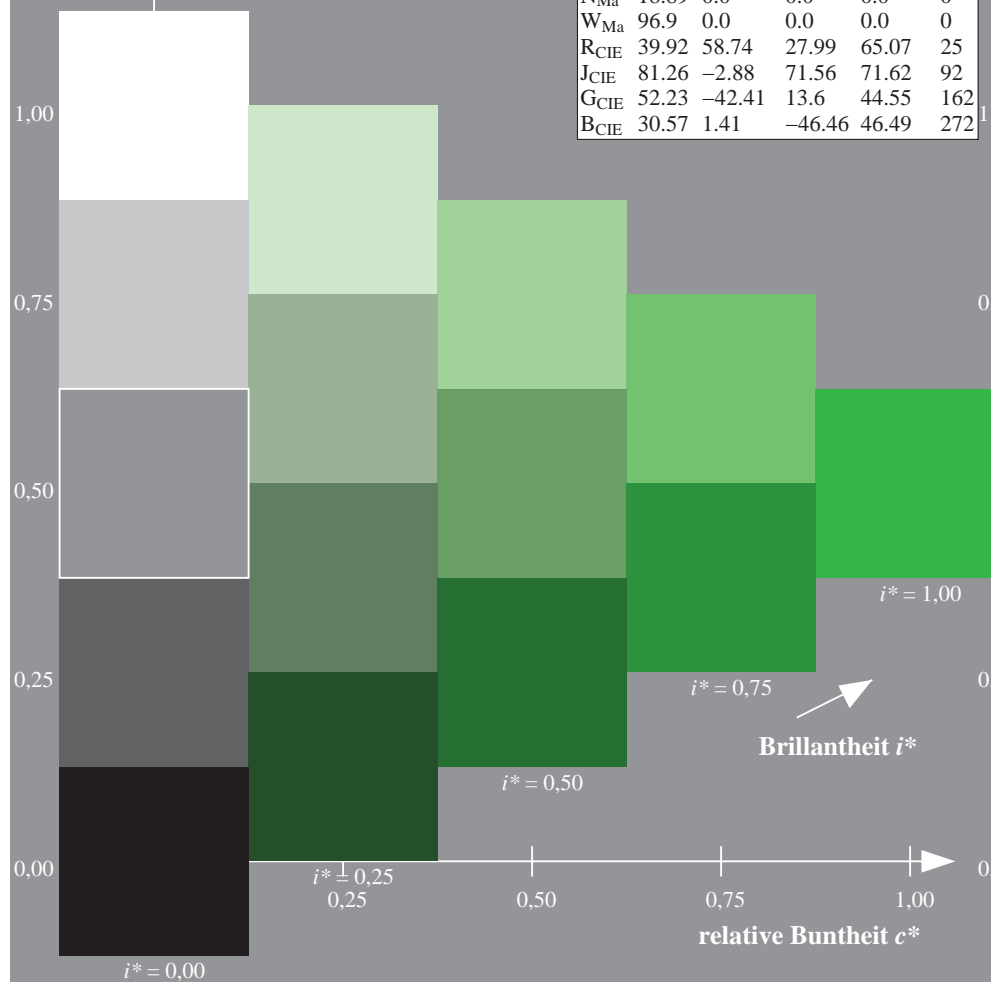
$u^*_{rel} = 89$

%Regularität

$g^*_{H,rel} = 72$

$g^*_{C,rel} = 57$

ORS19_96a; adaptierte CIELAB-Daten					
	$L^* = \bar{L}^*_a$	$a^*_a$	$b^*_a$	$C^*_{ab,a}$	$h^*_{ab,a}$
r00j	48.88	66.47	31.67	73.63	25
r25j	55.85	52.39	47.48	70.7	42
r50j	65.45	35.22	58.37	68.17	59
r75j	75.19	17.82	69.41	71.66	76
j00g	87.03	-3.34	82.83	82.9	92
j25g	80.72	-25.0	69.5	73.86	110
j50g	70.64	-39.53	51.97	65.3	127
j75g	61.93	-52.09	36.83	63.8	145
g00b	52.8	-65.27	20.93	68.56	162
g25b	55.7	-49.57	-8.38	50.28	190
g50b	57.82	-38.39	-28.91	48.07	217
g75b	55.5	-22.04	-45.94	50.97	244
b00r	41.6	1.37	-45.0	45.03	272
b25r	29.0	25.08	-43.12	49.89	300
b50r	38.04	46.53	-28.38	54.51	329
b75r	49.48	72.88	-3.75	72.98	357



Ein und Ausgabe: Farbmetrisches Drucker-Reflektiv-System ORS19\_96a für relativen CIELAB-Buntton  $h^* = lab^*h^* = h_{ab}/360 = 162/360 = 0.451$   $u^* = g00b$

Daten für jede Farbe:

$lab^*ch^*$  und  $lab^*icu^*$

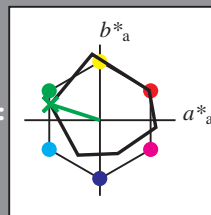
Elementar-Bunttontext:

$u^* = g00b$

Kontrastreduzierungsfaktor:

$c_R = 1.0$

Dreiecks-Helligkeit  $i^*$



ORS19\_96a; adaptierte CIELAB-Daten

	$L^* = \bar{L}^*_a$	$a^*_a$	$b^*_a$	$C^*_{ab,a}$	$h^*_{ab,a}$
O <sub>Ma</sub>	48.75	65.07	39.43	76.08	31
Y <sub>Ma</sub>	90.92	-10.28	87.24	87.85	97
L <sub>Ma</sub>	52.69	-65.43	20.75	68.65	162
C <sub>Ma</sub>	59.61	-28.97	-46.21	54.56	238
V <sub>Ma</sub>	28.39	23.63	-44.12	50.06	298
M <sub>Ma</sub>	49.58	73.93	-9.55	74.55	353
N <sub>Ma</sub>	18.89	0.0	0.0	0.0	0
W <sub>Ma</sub>	96.9	0.0	0.0	0.0	0
R <sub>CIE</sub>	39.92	58.74	27.99	65.07	25
J <sub>CIE</sub>	81.26	-2.88	71.56	71.62	92
G <sub>CIE</sub>	52.23	-42.41	13.6	44.55	162
B <sub>CIE</sub>	30.57	1.41	-46.46	46.49	272

Daten für Maximalfarbe (Ma):

$LAB^*LAB^*_{Ma}$ : 53 -64 21

$LAB^*LCH^*_{Ma}$ : 53 69 162

$lab^*rgb^*_{Ma}$ : 0.0 1.0 0.0

$lab^*olv^*_{Ma}$ : 0.0 1.0 0.0

Dreiecks-Helligkeit  $i^*$

%Umfang

$u^*_{rel} = 89$

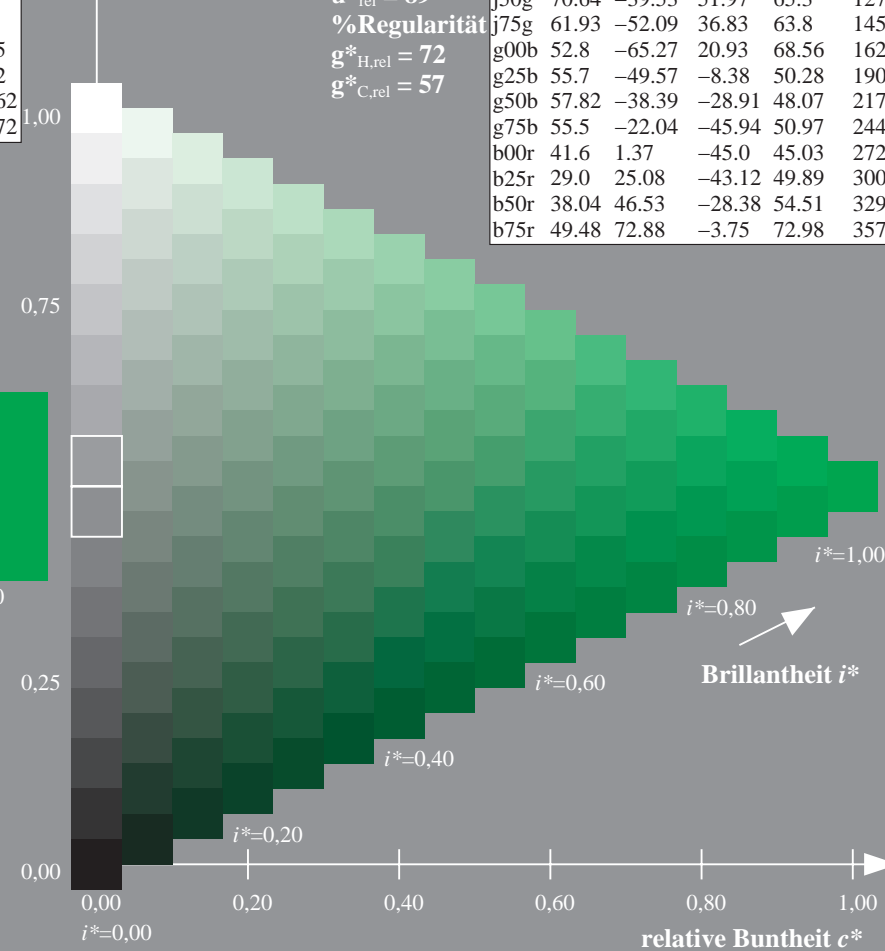
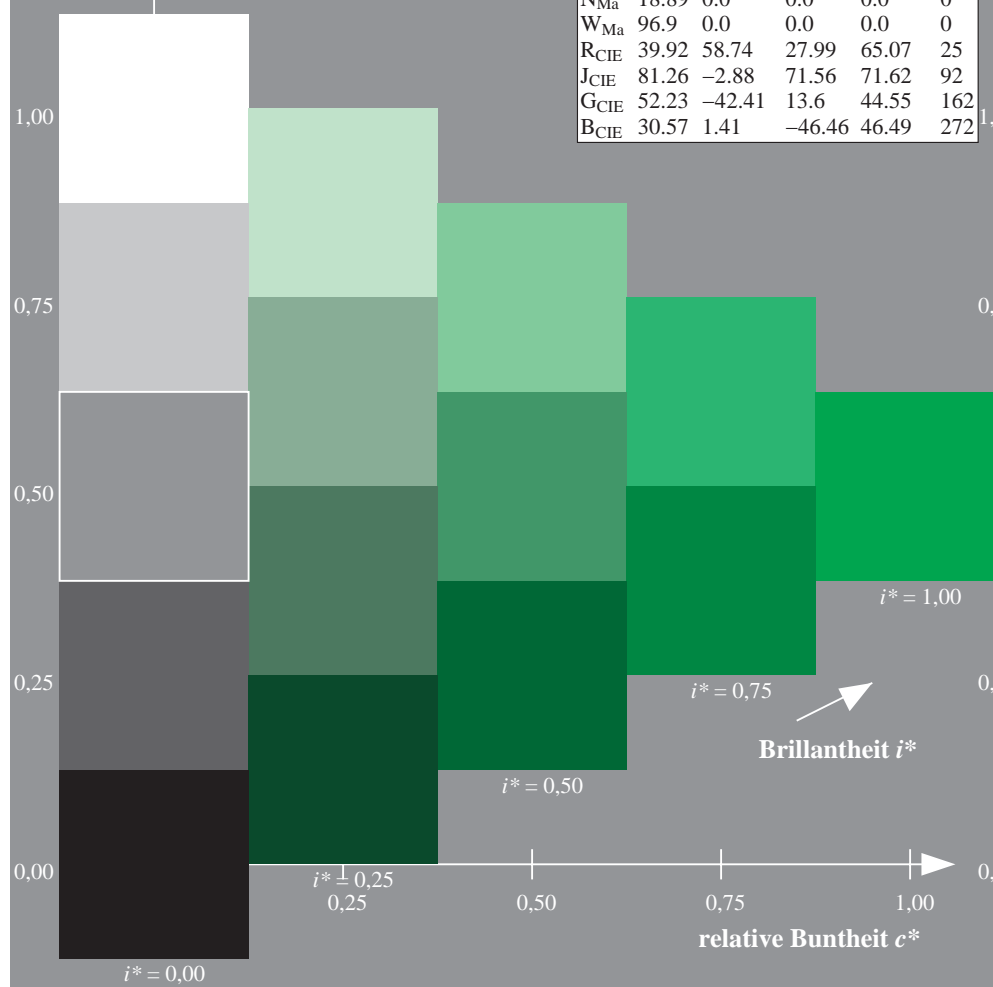
%Regularität

$g^*_{H,rel} = 72$

$g^*_{C,rel} = 57$

ORS19\_96a; adaptierte CIELAB-Daten

	$L^* = \bar{L}^*_a$	$a^*_a$	$b^*_a$	$C^*_{ab,a}$	$h^*_{ab,a}$
r00j	48.88	66.47	31.67	73.63	25
r25j	55.85	52.39	47.48	70.7	42
r50j	65.45	35.22	58.37	68.17	59
r75j	75.19	17.82	69.41	71.66	76
j00g	87.03	-3.34	82.83	82.9	92
j25g	80.72	-25.0	69.5	73.86	110
j50g	70.64	-39.53	51.97	65.3	127
j75g	61.93	-52.09	36.83	63.8	145
g00b	52.8	-65.27	20.93	68.56	162
g25b	55.7	-49.57	-8.38	50.28	190
g50b	57.82	-38.39	-28.91	48.07	217
g75b	55.5	-22.04	-45.94	50.97	244
b00r	41.6	1.37	-45.0	45.03	272
b25r	29.0	25.08	-43.12	49.89	300
b50r	38.04	46.53	-28.38	54.51	329
b75r	49.48	72.88	-3.75	72.98	357





Ein und Ausgabe: Farbmetrisches Drucker-Reflektiv-System ORS19\_96a für relativen CIELAB-Buntton  $h^* = lab^*h^* = h_{ab}/360 = 190/360 = 0.527$   $u^* = g25b$

Daten für jede Farbe:

$lab^*ch^*$  und  $lab^*icu^*$

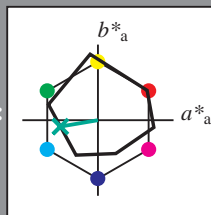
Elementar-Bunttontext:

$u^* = g25b$

Kontrastreduzierungsfaktor:

$c_R = 1.0$

Dreiecks-Helligkeit  $i^*$



ORS19\_96a; adaptierte CIELAB-Daten

	$L^* = \bar{L}^*_a$	$a^*_a$	$b^*_a$	$C^*_{ab,a}$	$h^*_{ab,a}$
O <sub>Ma</sub>	48.75	65.07	39.43	76.08	31
Y <sub>Ma</sub>	90.92	-10.28	87.24	87.85	97
L <sub>Ma</sub>	52.69	-65.43	20.75	68.65	162
C <sub>Ma</sub>	59.61	-28.97	-46.21	54.56	238
V <sub>Ma</sub>	28.39	23.63	-44.12	50.06	298
M <sub>Ma</sub>	49.58	73.93	-9.55	74.55	353
N <sub>Ma</sub>	18.89	0.0	0.0	0.0	0
W <sub>Ma</sub>	96.9	0.0	0.0	0.0	0
R <sub>CIE</sub>	39.92	58.74	27.99	65.07	25
J <sub>CIE</sub>	81.26	-2.88	71.56	71.62	92
G <sub>CIE</sub>	52.23	-42.41	13.6	44.55	162
B <sub>CIE</sub>	30.57	1.41	-46.46	46.49	272

Daten für Maximalfarbe (Ma):

$LAB^*LAB^*_{Ma}$ : 56 -49 -7

$LAB^*LCH^*_{Ma}$ : 56 50 190

$lab^*rgb^*_{Ma}$ : 0.0 1.0 0.5

$lab^*olv^*_{Ma}$ : 0.0 1.0 0.44

Dreiecks-Helligkeit  $i^*$

%Umfang

$u^*_{rel} = 89$

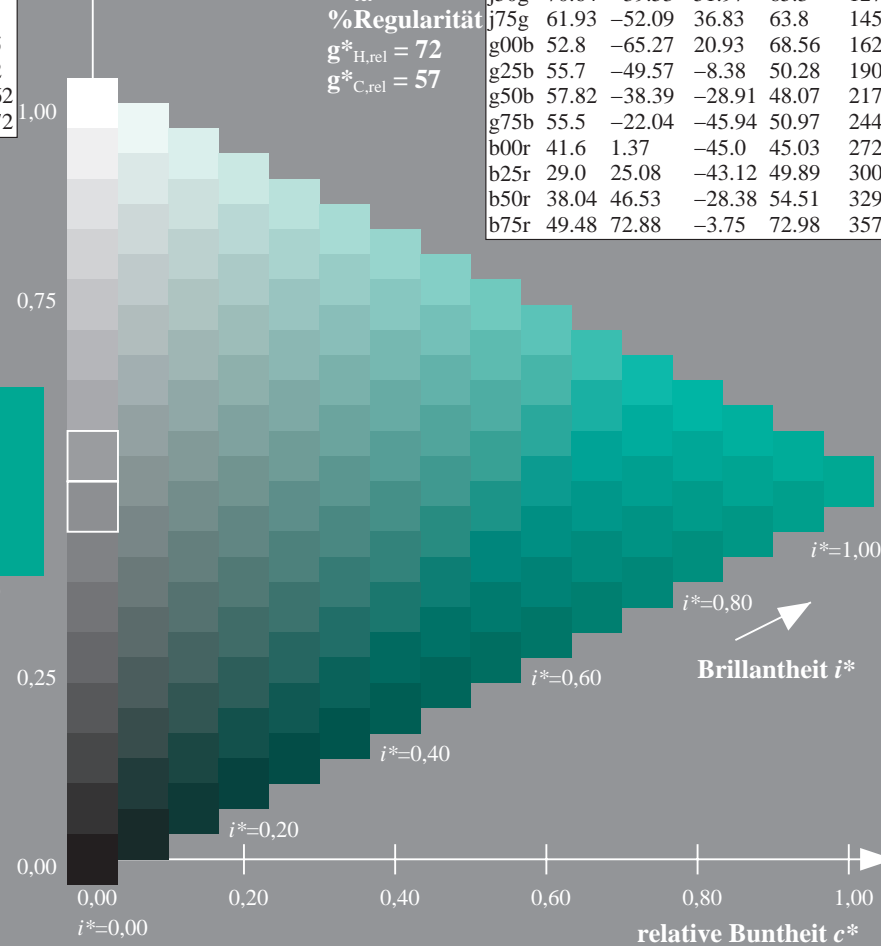
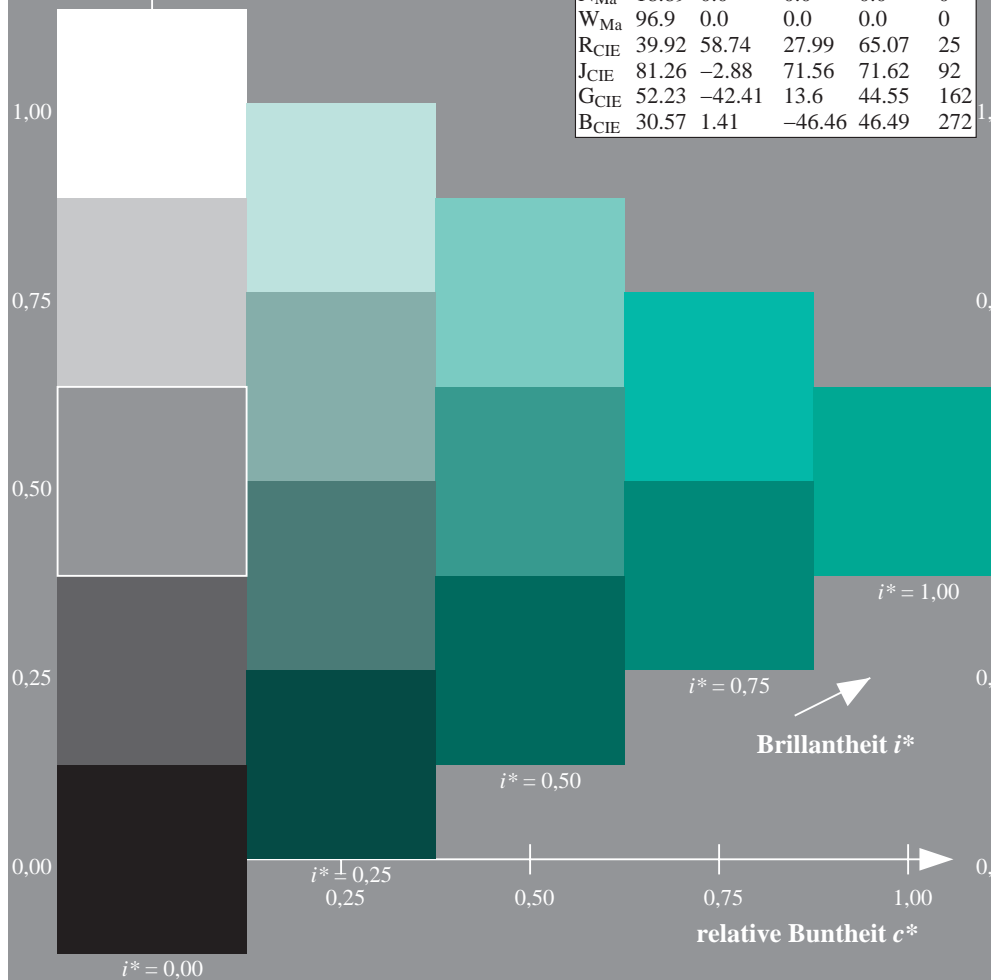
%Regularität

$g^*_{H,rel} = 72$

$g^*_{C,rel} = 57$

ORS19\_96a; adaptierte CIELAB-Daten

	$L^* = \bar{L}^*_a$	$a^*_a$	$b^*_a$	$C^*_{ab,a}$	$h^*_{ab,a}$
r00j	48.88	66.47	31.67	73.63	25
r25j	55.85	52.39	47.48	70.7	42
r50j	65.45	35.22	58.37	68.17	59
r75j	75.19	17.82	69.41	71.66	76
j00g	87.03	-3.34	82.83	82.9	92
j25g	80.72	-25.0	69.5	73.86	110
j50g	70.64	-39.53	51.97	65.3	127
j75g	61.93	-52.09	36.83	63.8	145
g00b	52.8	-65.27	20.93	68.56	162
g25b	55.7	-49.57	-8.38	50.28	190
g50b	57.82	-38.39	-28.91	48.07	217
g75b	55.5	-22.04	-45.94	50.97	244
b00r	41.6	1.37	-45.0	45.03	272
b25r	29.0	25.08	-43.12	49.89	300
b50r	38.04	46.53	-28.38	54.51	329
b75r	49.48	72.88	-3.75	72.98	357



Ein und Ausgabe: Farbmetrisches Drucker-Reflektiv-System ORS19\_96a für relativen CIELAB-Buntton  $h^* = lab^*h^* = h_{ab}/360 = 217/360 = 0.603$   $u^* = g50b$

Daten für jede Farbe:

$lab^*ch^*$  und  $lab^*icu^*$

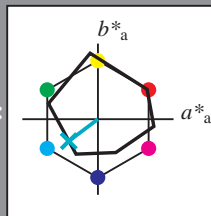
Elementar-Bunttontext:

$u^* = g50b$

Kontrastreduzierungsfaktor:

$c_R = 1.0$

Dreiecks-Helligkeit  $i^*$



ORS19\_96a; adaptierte CIELAB-Daten

	$L^* = \bar{L}^*_a$	$a^*_a$	$b^*_a$	$C^*_{ab,a}$	$h^*_{ab,a}$
O <sub>Ma</sub>	48.75	65.07	39.43	76.08	31
Y <sub>Ma</sub>	90.92	-10.28	87.24	87.85	97
L <sub>Ma</sub>	52.69	-65.43	20.75	68.65	162
C <sub>Ma</sub>	59.61	-28.97	-46.21	54.56	238
V <sub>Ma</sub>	28.39	23.63	-44.12	50.06	298
M <sub>Ma</sub>	49.58	73.93	-9.55	74.55	353
N <sub>Ma</sub>	18.89	0.0	0.0	0.0	0
W <sub>Ma</sub>	96.9	0.0	0.0	0.0	0
R <sub>CIE</sub>	39.92	58.74	27.99	65.07	25
J <sub>CIE</sub>	81.26	-2.88	71.56	71.62	92
G <sub>CIE</sub>	52.23	-42.41	13.6	44.55	162
B <sub>CIE</sub>	30.57	1.41	-46.46	46.49	272

Daten für Maximalfarbe (Ma):

$LAB^*LAB^*_{Ma}$ : 58 -37 -28

$LAB^*LCH^*_{Ma}$ : 58 48 217

$lab^*rgb^*_{Ma}$ : 0.0 1.0 1.0

$lab^*olv^*_{Ma}$ : 0.0 1.0 0.74

Dreiecks-Helligkeit  $i^*$

%Umfang

$u^*_{rel} = 89$

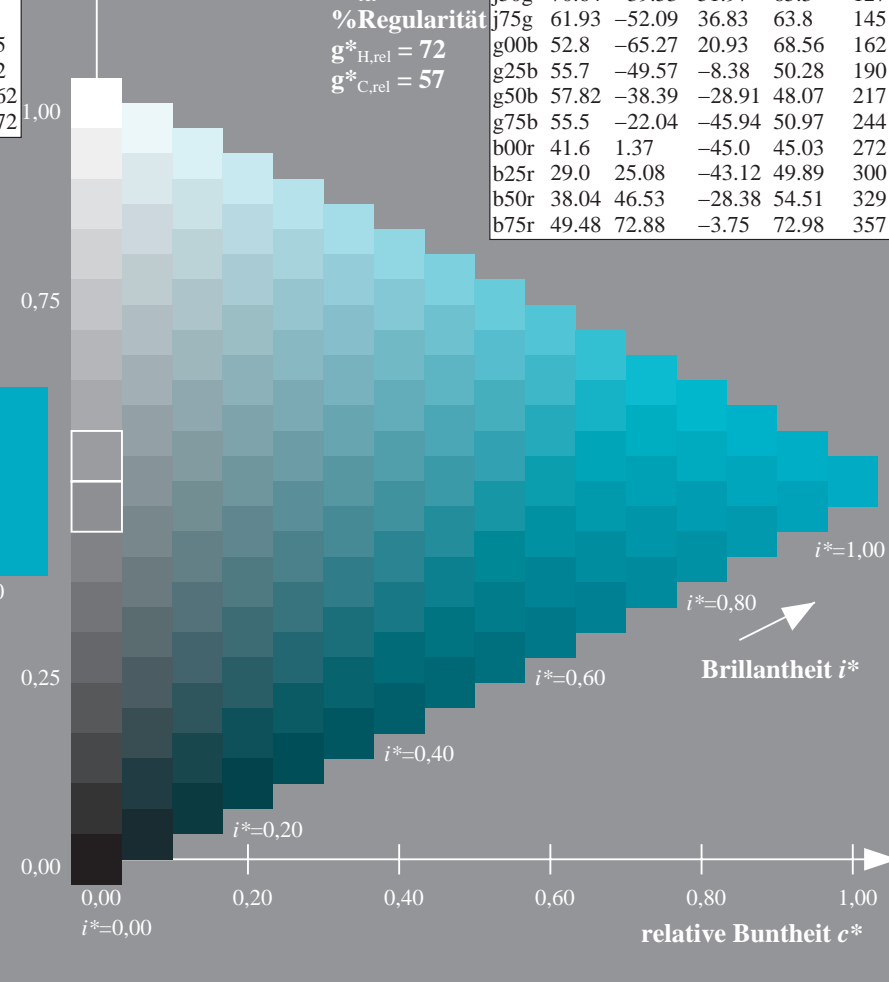
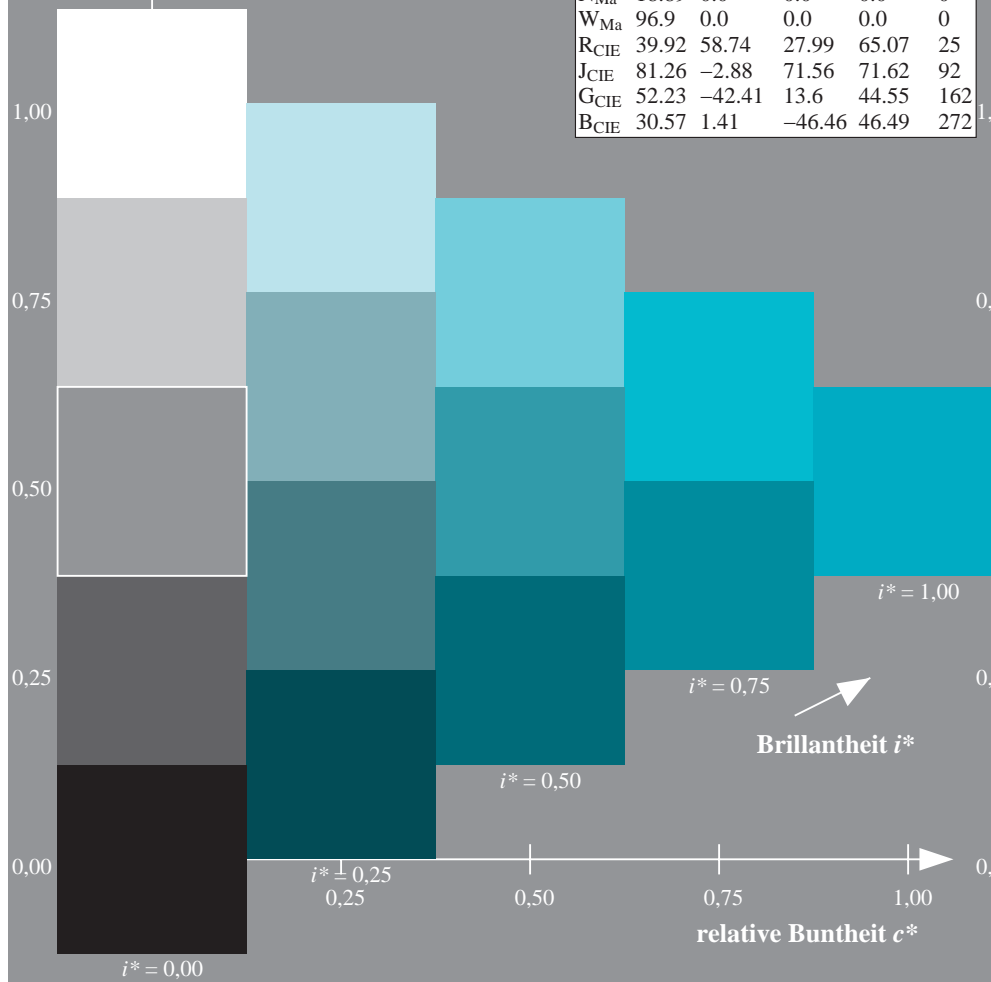
%Regelartigkeit

$g^*_{H,rel} = 72$

$g^*_{C,rel} = 57$

ORS19\_96a; adaptierte CIELAB-Daten

	$L^* = \bar{L}^*_a$	$a^*_a$	$b^*_a$	$C^*_{ab,a}$	$h^*_{ab,a}$
r00j	48.88	66.47	31.67	73.63	25
r25j	55.85	52.39	47.48	70.7	42
r50j	65.45	35.22	58.37	68.17	59
r75j	75.19	17.82	69.41	71.66	76
j00g	87.03	-3.34	82.83	82.9	92
j25g	80.72	-25.0	69.5	73.86	110
j50g	70.64	-39.53	51.97	65.3	127
j75g	61.93	-52.09	36.83	63.8	145
g00b	52.8	-65.27	20.93	68.56	162
g25b	55.7	-49.57	-8.38	50.28	190
g50b	57.82	-38.39	-28.91	48.07	217
g75b	55.5	-22.04	-45.94	50.97	244
b00r	41.6	1.37	-45.0	45.03	272
b25r	29.0	25.08	-43.12	49.89	300
b50r	38.04	46.53	-28.38	54.51	329
b75r	49.48	72.88	-3.75	72.98	357



Ein und Ausgabe: Farbmétrisches Drucker-Reflektiv-System ORS19\_96a für relativen CIELAB-Buntton  $h^* = \text{lab}^*h^* = h_{ab}/360 = 0.679$   $u^* = g75b$

Daten für jede Farbe:

$\text{lab}^*tch^*$  und  $\text{lab}^*icu^*$

Elementar-Bunttonstext:

$u^* = g75b$

Kontrastreduzierungsfaktor:

$c_R = 1.0$

Dreiecks-Helligkeit  $t^*$

Daten für Maximalfarbe (Ma):

$\text{LAB}^*\text{LAB}^*\text{Ma}: 55 \ -21 \ -45$

$\text{LAB}^*\text{LCH}^*\text{Ma}: 55 \ 51 \ 244$

$\text{lab}^*\text{rgb}^*\text{Ma}: 0.0 \ 0.5 \ 1.0$

$\text{lab}^*\text{olv}^*\text{Ma}: 0.0 \ 0.87 \ 1.0$

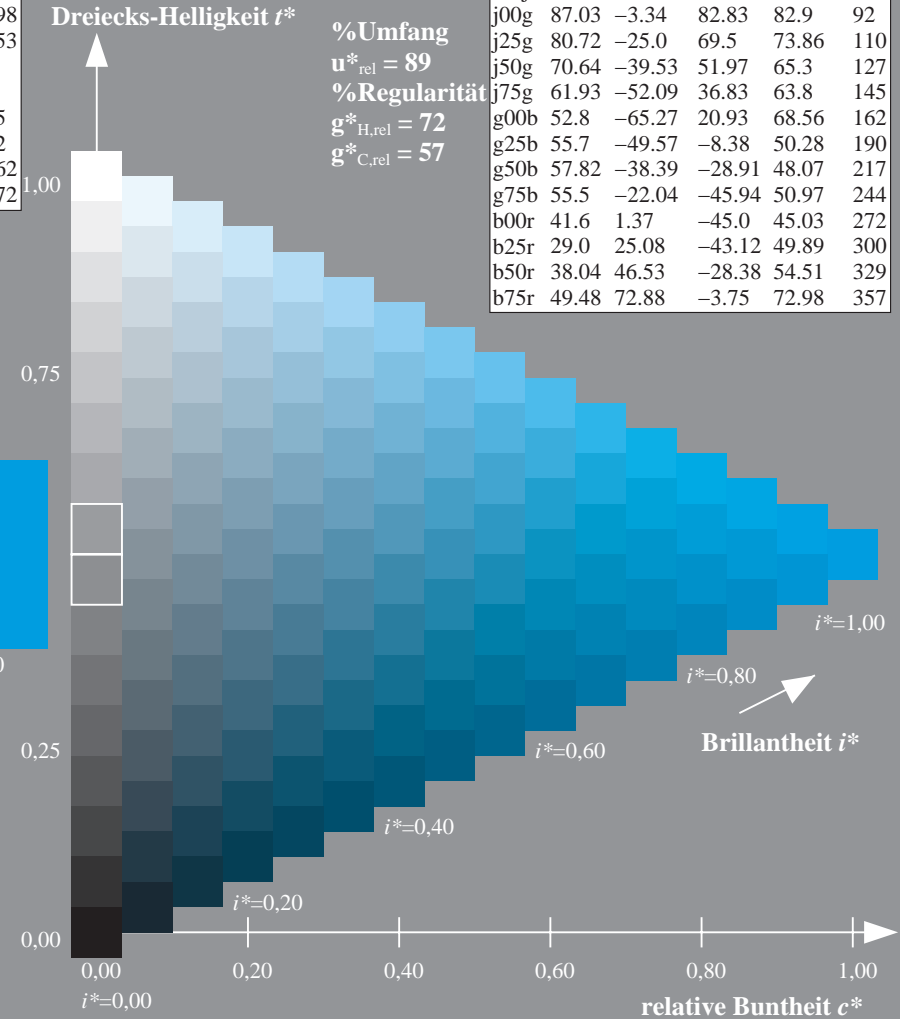
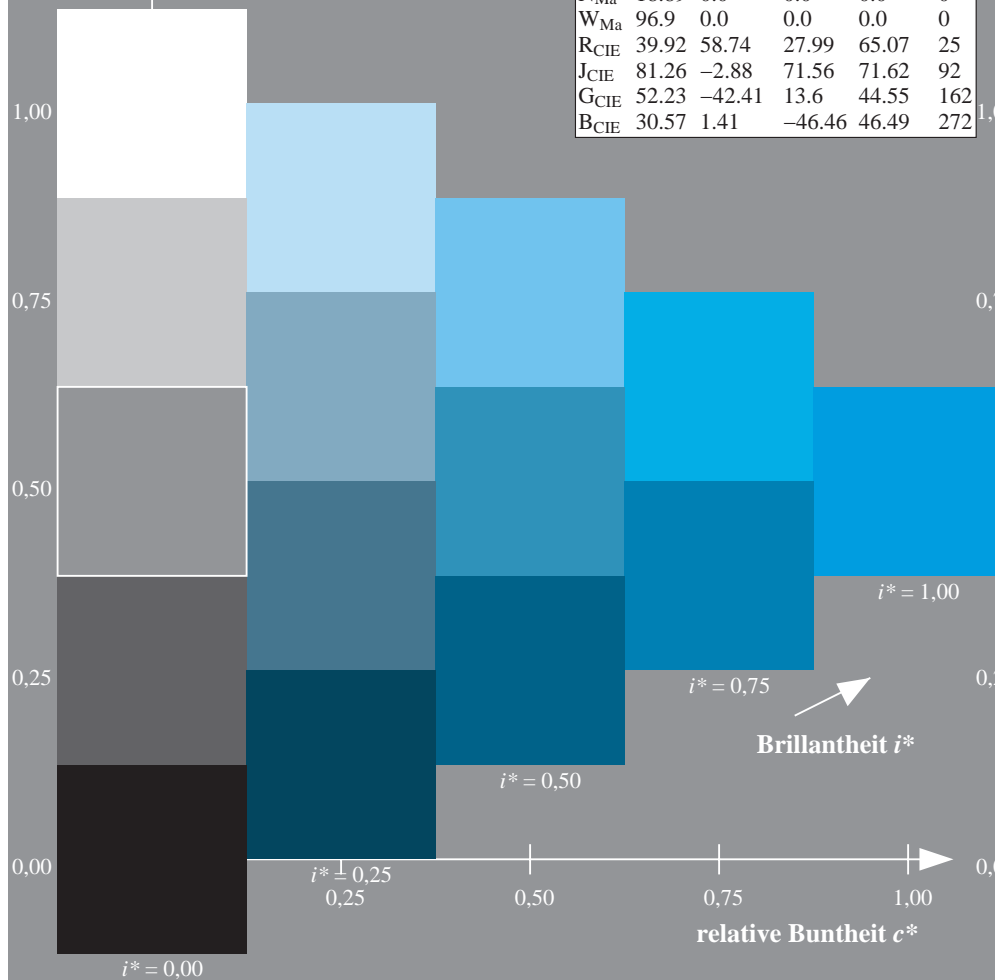
Dreiecks-Helligkeit  $t^*$  %Umfang

ORS19_96a; adaptierte CIELAB-Daten					
	$L^*=L^*_a$	$a^*_a$	$b^*_a$	$C^*_{ab,a}$	$h^*_{ab,a}$
O <sub>Ma</sub>	48.75	65.07	39.43	76.08	31
Y <sub>Ma</sub>	90.92	-10.28	87.24	87.85	97
L <sub>Ma</sub>	52.69	-65.43	20.75	68.65	162
C <sub>Ma</sub>	59.61	-28.97	-46.21	54.56	238
V <sub>Ma</sub>	28.39	23.63	-44.12	50.06	298

ORS19_96a; adaptierte CIELAB-Daten					
	$L^*=L^*_a$	$a^*_a$	$b^*_a$	$C^*_{ab,a}$	$h^*_{ab,a}$
r00j	48.88	66.47	31.67	73.63	29
r25j	55.85	52.39	47.48	70.7	42
r50j	65.45	35.22	58.37	68.17	59
r75j	75.19	17.82	69.41	71.66	76
j00g	87.03	-3.34	82.83	82.9	92

ORS19 96a; adaptierte CIELAB-Daten					
	$L^* = \bar{L}_a^*$	$a^*_a$	$b^*_a$	$C^*_{ab,a}$	$h^*_{ab,a}$
O <sub>Ma</sub>	48.75	65.07	39.43	76.08	316.2
Y <sub>Ma</sub>	90.92	-10.28	87.24	87.85	97.5
L <sub>Ma</sub>	52.69	-65.43	20.75	68.65	162.2
C <sub>Ma</sub>	59.61	-28.97	-46.21	54.56	238.2
V <sub>Ma</sub>	28.39	23.63	-44.12	50.06	298.2
M <sub>Ma</sub>	49.58	73.93	-9.55	74.55	353.2
N <sub>Ma</sub>	18.89	0.0	0.0	0.0	0
W <sub>Ma</sub>	96.9	0.0	0.0	0.0	0
R <sub>CIE</sub>	39.92	58.74	27.99	65.07	25.2
J <sub>CIE</sub>	81.26	-2.88	71.56	71.62	92.2
G <sub>CIE</sub>	52.23	-42.41	13.6	64.55	162.2
B <sub>CIE</sub>	30.57	1.41	-46.46	46.49	272.2

ORS19_96a; adaptierte CIELAB-Daten						
	$L^*_{ab,a}$	$a^*_{ab,a}$	$b^*_{ab,a}$	$C^*_{ab,a}$	$h^*_{ab,a}$	
r00j	48.88	66.47	31.67	73.63		25
r25j	55.85	52.39	47.48	70.7		42
r50j	65.45	35.22	58.37	68.17		59
r75j	75.19	17.82	69.41	71.66		76
j00g	87.03	-3.34	82.83	82.9		92
j25g	80.72	-25.0	69.5	73.86		110
j50g	70.64	-39.53	51.97	65.3		127
j75g	61.93	-52.09	36.83	63.8		145
g00b	52.8	-65.27	20.93	68.56		162
g25b	55.7	-49.57	-8.38	50.28		190
g50b	57.82	-38.39	-28.91	48.07		217
g75b	55.5	-22.04	-45.94	50.97		244
b00r	41.6	1.37	-45.0	45.03		272
b25r	29.0	25.08	-43.12	49.89		300
b50r	38.04	46.53	-28.38	54.51		329
b75r	49.48	72.88	-3.75	72.98		357



Ein und Ausgabe: Farbmetrisches Drucker-Reflektiv-System ORS19\_96a für relativen CIELAB-Buntton  $h^* = lab^*h^* = h_{ab}/360 = 272/360 = 0.755$   $u^* = b00r$

Daten für jede Farbe:

$lab^*ch^*$  und  $lab^*icu^*$

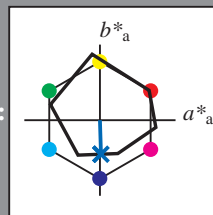
Elementar-Bunttonext:

$u^* = b00r$

Kontrastreduzierungsfaktor:

$c_R = 1.0$

Dreiecks-Helligkeit  $i^*$



ORS19\_96a; adaptierte CIELAB-Daten

	$L^* = \bar{L}^*_a$	$a^*_a$	$b^*_a$	$C^*_{ab,a}$	$h^*_{ab,a}$
O <sub>Ma</sub>	48.75	65.07	39.43	76.08	31
Y <sub>Ma</sub>	90.92	-10.28	87.24	87.85	97
L <sub>Ma</sub>	52.69	-65.43	20.75	68.65	162
C <sub>Ma</sub>	59.61	-28.97	-46.21	54.56	238
V <sub>Ma</sub>	28.39	23.63	-44.12	50.06	298
M <sub>Ma</sub>	49.58	73.93	-9.55	74.55	353
N <sub>Ma</sub>	18.89	0.0	0.0	0.0	0
W <sub>Ma</sub>	96.9	0.0	0.0	0.0	0
R <sub>CIE</sub>	39.92	58.74	27.99	65.07	25
J <sub>CIE</sub>	81.26	-2.88	71.56	71.62	92
G <sub>CIE</sub>	52.23	-42.41	13.6	44.55	162
B <sub>CIE</sub>	30.57	1.41	-46.46	46.49	272

Daten für Maximalfarbe (Ma):

$LAB^*LAB^*_{Ma}$ : 42 1 -44

$LAB^*LCH^*_{Ma}$ : 42 45 272

$lab^*rgb^*_{Ma}$ : 0.0 0.0 1.0

$lab^*olv^*_{Ma}$ : 0.0 0.42 1.0

Dreiecks-Helligkeit  $i^*$

%Umfang

$u^*_{rel} = 89$

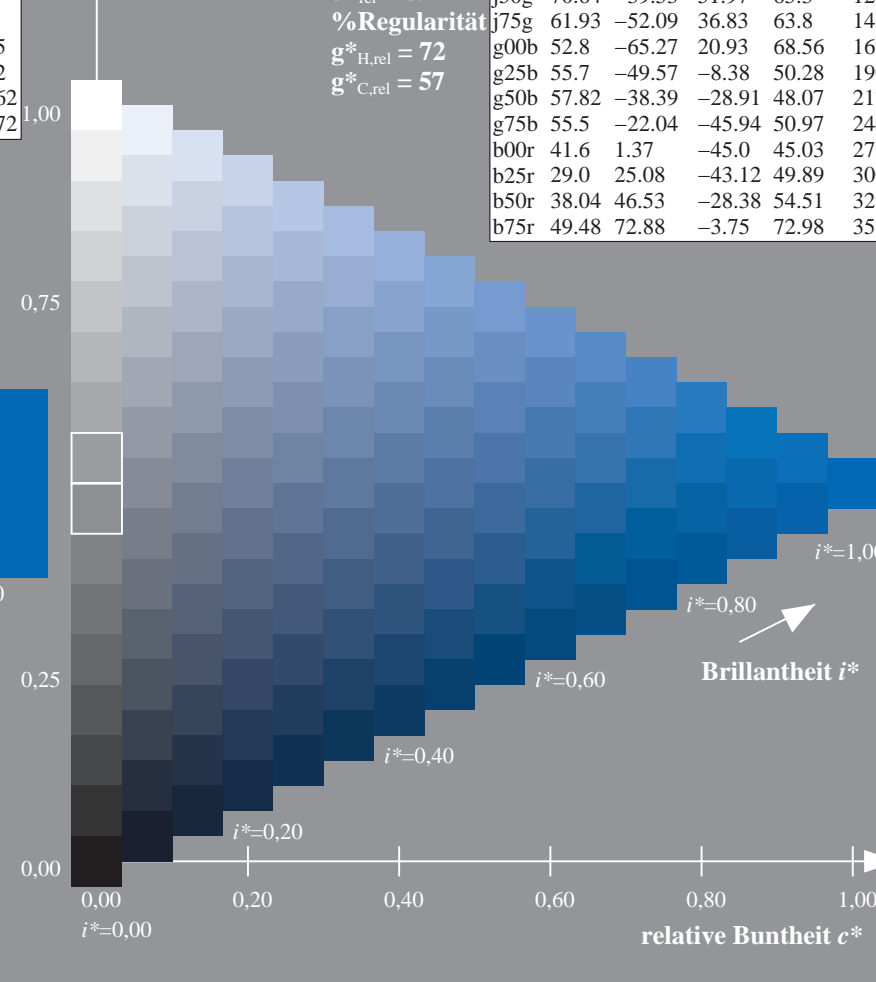
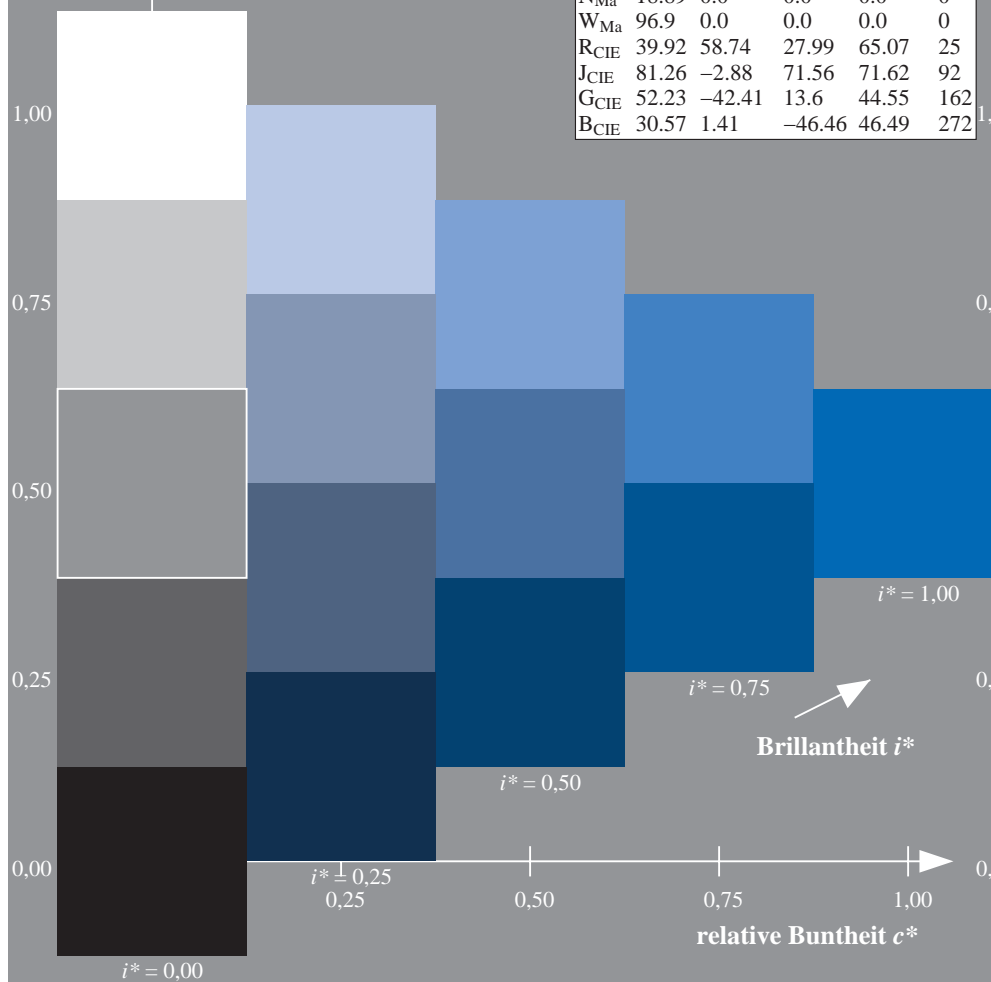
%Regularität

$g^*_{H,rel} = 72$

$g^*_{C,rel} = 57$

ORS19\_96a; adaptierte CIELAB-Daten

	$L^* = \bar{L}^*_a$	$a^*_a$	$b^*_a$	$C^*_{ab,a}$	$h^*_{ab,a}$
r00j	48.88	66.47	31.67	73.63	25
r25j	55.85	52.39	47.48	70.7	42
r50j	65.45	35.22	58.37	68.17	59
r75j	75.19	17.82	69.41	71.66	76
j00g	87.03	-3.34	82.83	82.9	92
j25g	80.72	-25.0	69.5	73.86	110
j50g	70.64	-39.53	51.97	65.3	127
j75g	61.93	-52.09	36.83	63.8	145
g00b	52.8	-65.27	20.93	68.56	162
g25b	55.7	-49.57	-8.38	50.28	190
g50b	57.82	-38.39	-28.91	48.07	217
g75b	55.5	-22.04	-45.94	50.97	244
b00r	41.6	1.37	-45.0	45.03	272
b25r	29.0	25.08	-43.12	49.89	300
b50r	38.04	46.53	-28.38	54.51	329
b75r	49.48	72.88	-3.75	72.98	357



Ein und Ausgabe: Farbmetrisches Drucker-Reflektiv-System ORS19\_96a für relativen CIELAB-Buntton  $h^* = lab^*h^* = h_{ab}/360 = 300/360 = 0.834$   $u^* = b25r$

Daten für jede Farbe:

$lab^*ch^*$  und  $lab^*icu^*$

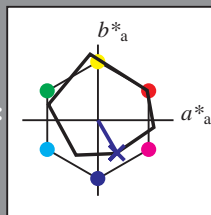
Elementar-Bunttontext:

$u^* = b25r$

Kontrastreduzierungsfaktor:

$c_R = 1.0$

Dreiecks-Helligkeit  $t^*$



ORS19\_96a; adaptierte CIELAB-Daten

	$L^*=L^*_a$	$a^*_a$	$b^*_a$	$C^*_{ab,a}$	$h^*_{ab,a}$
O <sub>Ma</sub>	48.75	65.07	39.43	76.08	31
Y <sub>Ma</sub>	90.92	-10.28	87.24	87.85	97
L <sub>Ma</sub>	52.69	-65.43	20.75	68.65	162
C <sub>Ma</sub>	59.61	-28.97	-46.21	54.56	238
V <sub>Ma</sub>	28.39	23.63	-44.12	50.06	298
M <sub>Ma</sub>	49.58	73.93	-9.55	74.55	353
N <sub>Ma</sub>	18.89	0.0	0.0	0.0	0
W <sub>Ma</sub>	96.9	0.0	0.0	0.0	0
R <sub>CIE</sub>	39.92	58.74	27.99	65.07	25
J <sub>CIE</sub>	81.26	-2.88	71.56	71.62	92
G <sub>CIE</sub>	52.23	-42.41	13.6	44.55	162
B <sub>CIE</sub>	30.57	1.41	-46.46	46.49	272

Daten für Maximalfarbe (Ma):

$LAB^*LAB^*_{Ma}$ : 29 25 -42

$LAB^*LCH^*_{Ma}$ : 29 50 300

$lab^*rgb^*_{Ma}$ : 0.5 0.0 1.0

$lab^*olv^*_{Ma}$ : 0.03 0.0 1.0

Dreiecks-Helligkeit  $t^*$

%Umfang

$u^*_{rel} = 89$

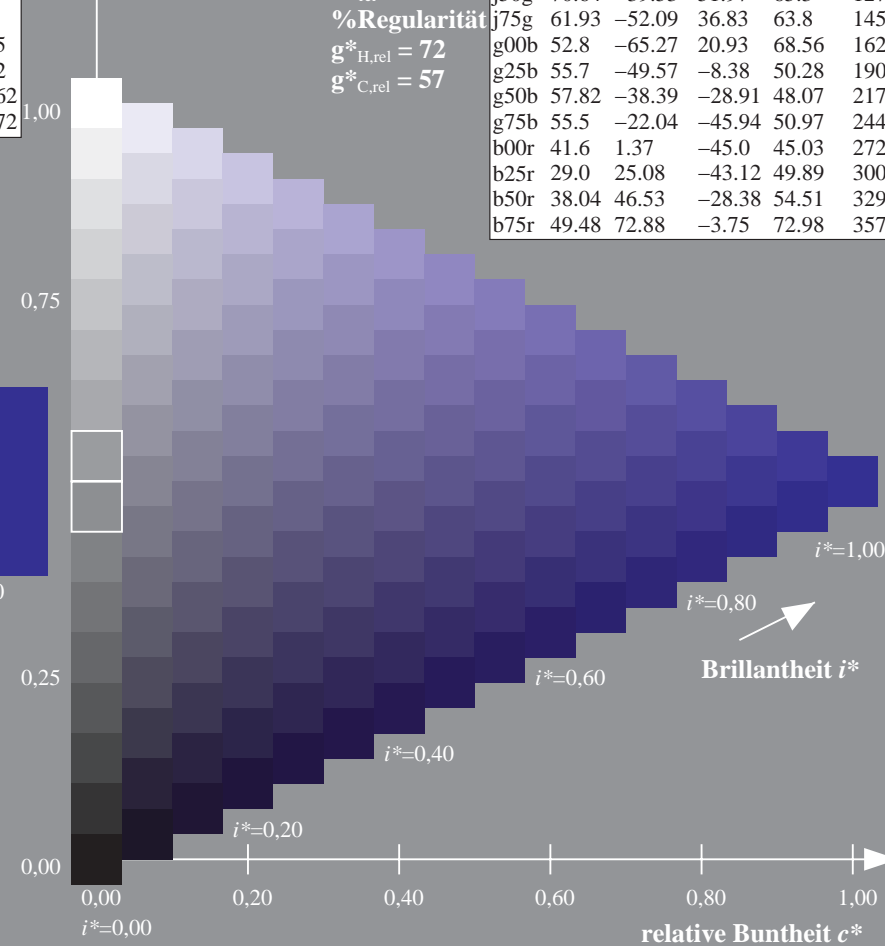
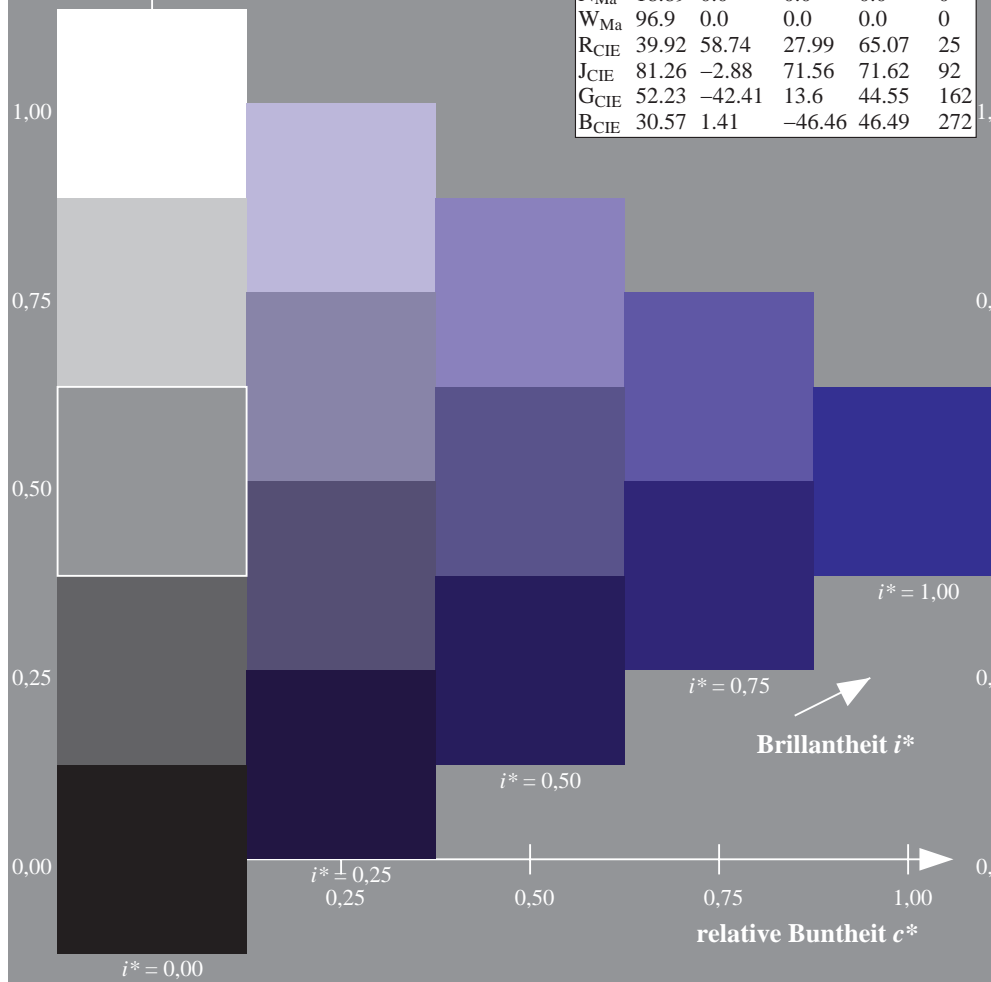
%Regelartigkeit

$g^*_{H,rel} = 72$

$g^*_{C,rel} = 57$

ORS19\_96a; adaptierte CIELAB-Daten

	$L^*=L^*_a$	$a^*_a$	$b^*_a$	$C^*_{ab,a}$	$h^*_{ab,a}$
r00j	48.88	66.47	31.67	73.63	25
r25j	55.85	52.39	47.48	70.7	42
r50j	65.45	35.22	58.37	68.17	59
r75j	75.19	17.82	69.41	71.66	76
j00g	87.03	-3.34	82.83	82.9	92
j25g	80.72	-25.0	69.5	73.86	110
j50g	70.64	-39.53	51.97	65.3	127
j75g	61.93	-52.09	36.83	63.8	145
g00b	52.8	-65.27	20.93	68.56	162
g25b	55.7	-49.57	-8.38	50.28	190
g50b	57.82	-38.39	-28.91	48.07	217
g75b	55.5	-22.04	-45.94	50.97	244
b00r	41.6	1.37	-45.0	45.03	272
b25r	29.0	25.08	-43.12	49.89	300
b50r	38.04	46.53	-28.38	54.51	329
b75r	49.48	72.88	-3.75	72.98	357



Ein und Ausgabe: Farbmetrisches Drucker-Reflektiv-System ORS19\_96a für relativen CIELAB-Buntton  $h^* = lab^*h^* = h_{ab}/360 = 329/360 = 0.913$   $u^* = b50r$

Daten für jede Farbe:

$lab^*ch^*$  und  $lab^*icu^*$

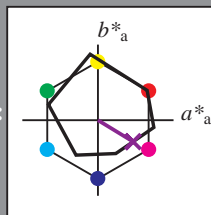
Elementar-Bunttontext:

$u^* = b50r$

Kontrastreduzierungsfaktor:

$c_R = 1.0$

Dreiecks-Helligkeit  $t^*$



ORS19\_96a; adaptierte CIELAB-Daten

	$L^* = \bar{L}_a^*$	$a_a^*$	$b_a^*$	$C_{ab,a}^*$	$h_{ab,a}^*$
O <sub>Ma</sub>	48.75	65.07	39.43	76.08	31
Y <sub>Ma</sub>	90.92	-10.28	87.24	87.85	97
L <sub>Ma</sub>	52.69	-65.43	20.75	68.65	162
C <sub>Ma</sub>	59.61	-28.97	-46.21	54.56	238
V <sub>Ma</sub>	28.39	23.63	-44.12	50.06	298
M <sub>Ma</sub>	49.58	73.93	-9.55	74.55	353
N <sub>Ma</sub>	18.89	0.0	0.0	0.0	0
W <sub>Ma</sub>	96.9	0.0	0.0	0.0	0
R <sub>CIE</sub>	39.92	58.74	27.99	65.07	25
J <sub>CIE</sub>	81.26	-2.88	71.56	71.62	92
G <sub>CIE</sub>	52.23	-42.41	13.6	44.55	162
B <sub>CIE</sub>	30.57	1.41	-46.46	46.49	272

Daten für Maximalfarbe (Ma):

$LAB^*LAB^*_{Ma}$ : 38 47 -27

$LAB^*LCH^*_{Ma}$ : 38 55 329

$lab^*rgb^*_{Ma}$ : 1.0 0.0 1.0

$lab^*olv^*_{Ma}$ : 0.46 0.0 1.0

Dreiecks-Helligkeit  $t^*$

%Umfang

$u^*_{rel} = 89$

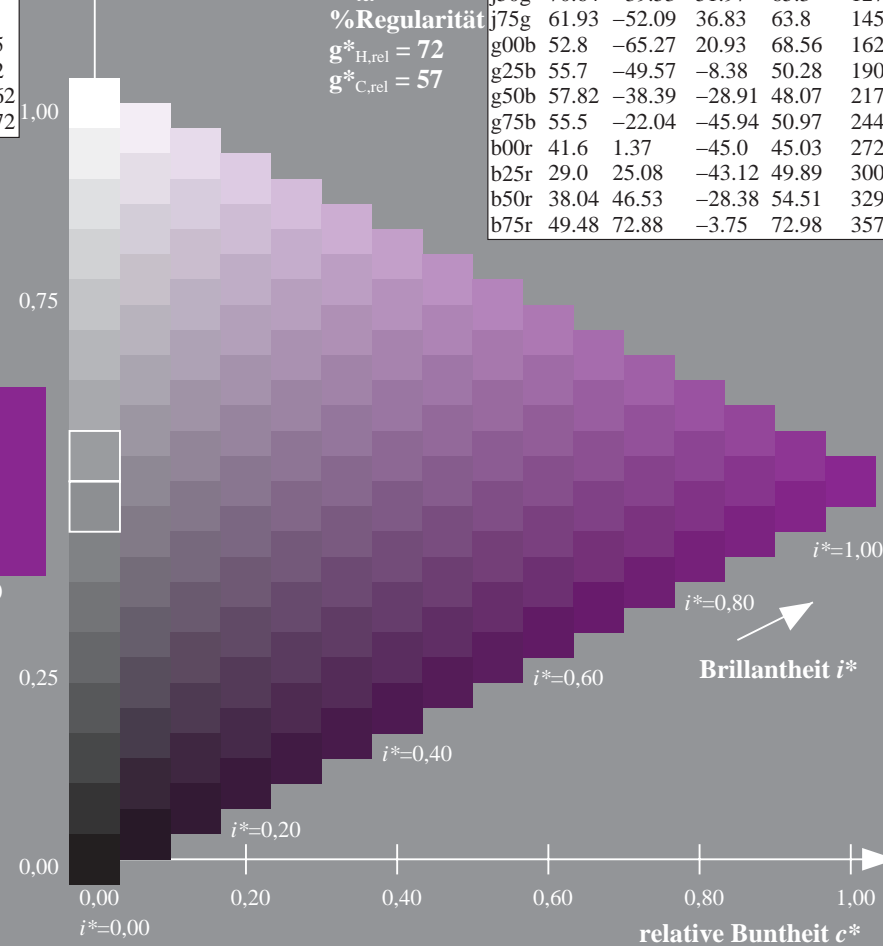
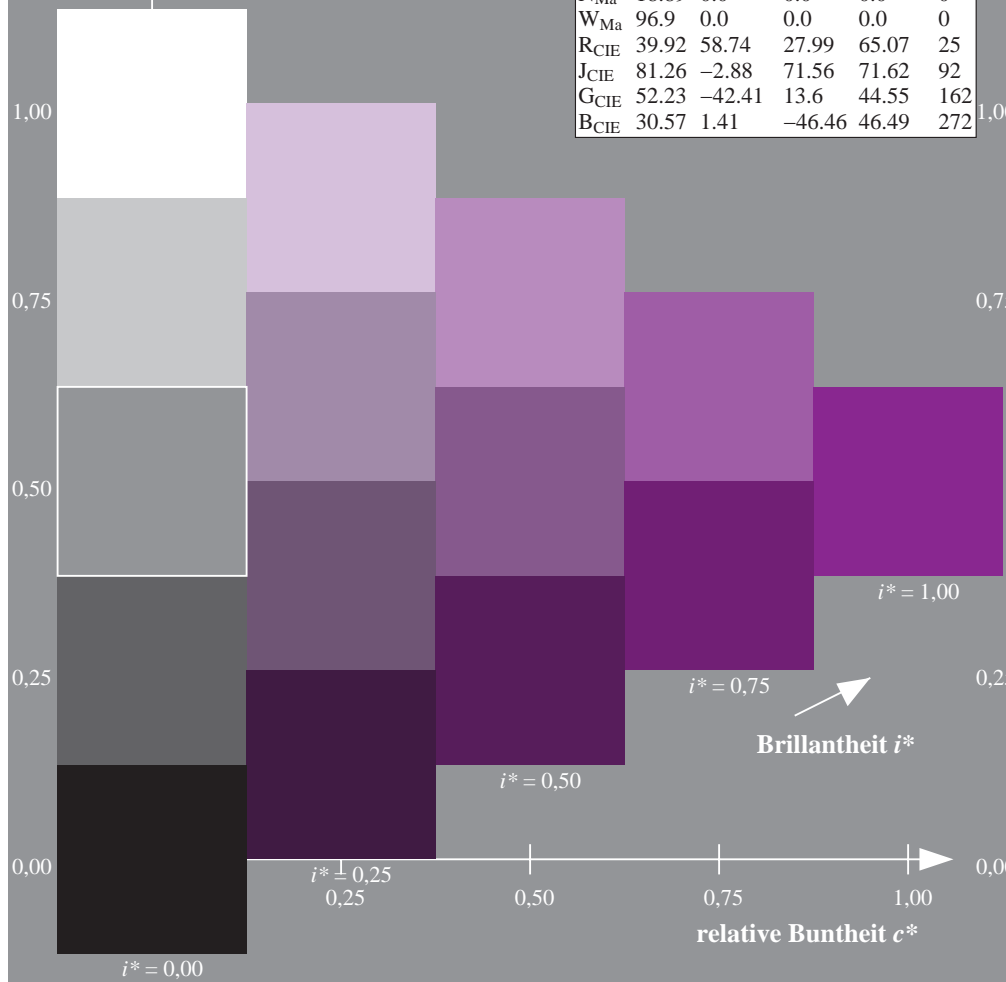
%Regelartigkeit

$g^*_{H,rel} = 72$

$g^*_{C,rel} = 57$

ORS19\_96a; adaptierte CIELAB-Daten

	$L^* = \bar{L}_a^*$	$a_a^*$	$b_a^*$	$C_{ab,a}^*$	$h_{ab,a}^*$
r00j	48.88	66.47	31.67	73.63	25
r25j	55.85	52.39	47.48	70.7	42
r50j	65.45	35.22	58.37	68.17	59
r75j	75.19	17.82	69.41	71.66	76
j00g	87.03	-3.34	82.83	82.9	92
j25g	80.72	-25.0	69.5	73.86	110
j50g	70.64	-39.53	51.97	65.3	127
j75g	61.93	-52.09	36.83	63.8	145
g00b	52.8	-65.27	20.93	68.56	162
g25b	55.7	-49.57	-8.38	50.28	190
g50b	57.82	-38.39	-28.91	48.07	217
g75b	55.5	-22.04	-45.94	50.97	244
b00r	41.6	1.37	-45.0	45.03	272
b25r	29.0	25.08	-43.12	49.89	300
b50r	38.04	46.53	-28.38	54.51	329
b75r	49.48	72.88	-3.75	72.98	357





Ein und Ausgabe: Farbmetrisches Drucker-Reflektiv-System ORS19\_96a für relativen CIELAB-Buntton  $h^* = lab^*h^* = h_{ab}/360 = 357/360 = 0.992$   $u^* = b75r$

Daten für jede Farbe:

$lab^*ch^*$  und  $lab^*icu^*$

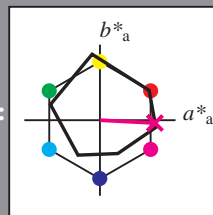
Elementar-Bunttontext:

$u^* = b75r$

Kontrastreduzierungsfaktor:

$c_R = 1.0$

Dreiecks-Helligkeit  $t^*$



ORS19\_96a; adaptierte CIELAB-Daten

	$L^*=L^*_a$	$a^*_a$	$b^*_a$	$C^*_{ab,a}$	$h^*_{ab,a}$
O <sub>Ma</sub>	48.75	65.07	39.43	76.08	31
Y <sub>Ma</sub>	90.92	-10.28	87.24	87.85	97
L <sub>Ma</sub>	52.69	-65.43	20.75	68.65	162
C <sub>Ma</sub>	59.61	-28.97	-46.21	54.56	238
V <sub>Ma</sub>	28.39	23.63	-44.12	50.06	298
M <sub>Ma</sub>	49.58	73.93	-9.55	74.55	353
N <sub>Ma</sub>	18.89	0.0	0.0	0.0	0
W <sub>Ma</sub>	96.9	0.0	0.0	0.0	0
R <sub>CIE</sub>	39.92	58.74	27.99	65.07	25
J <sub>CIE</sub>	81.26	-2.88	71.56	71.62	92
G <sub>CIE</sub>	52.23	-42.41	13.6	44.55	162
B <sub>CIE</sub>	30.57	1.41	-46.46	46.49	272

Daten für Maximalfarbe (Ma):

$LAB^*LAB^*_{Ma}$ : 49 73 -3

$LAB^*LCH^*_{Ma}$ : 49 73 357

$lab^*rgb^*_{Ma}$ : 1.0 0.0 0.5

$lab^*olv^*_{Ma}$ : 1.0 0.0 0.88

Dreiecks-Helligkeit  $t^*$

%Umfang

$u^*_{rel} = 89$

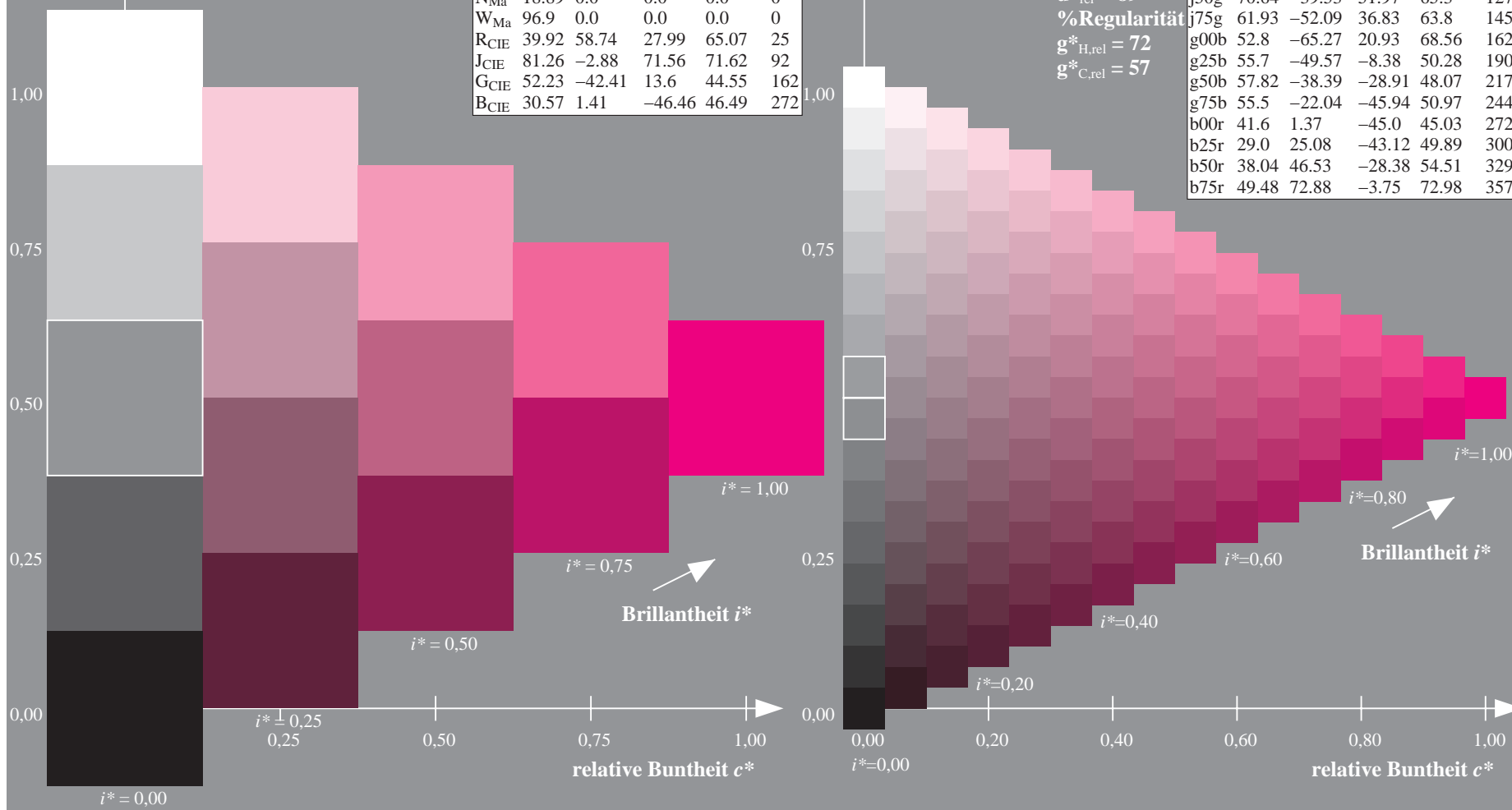
%Regularität

$g^*_{H,rel} = 72$

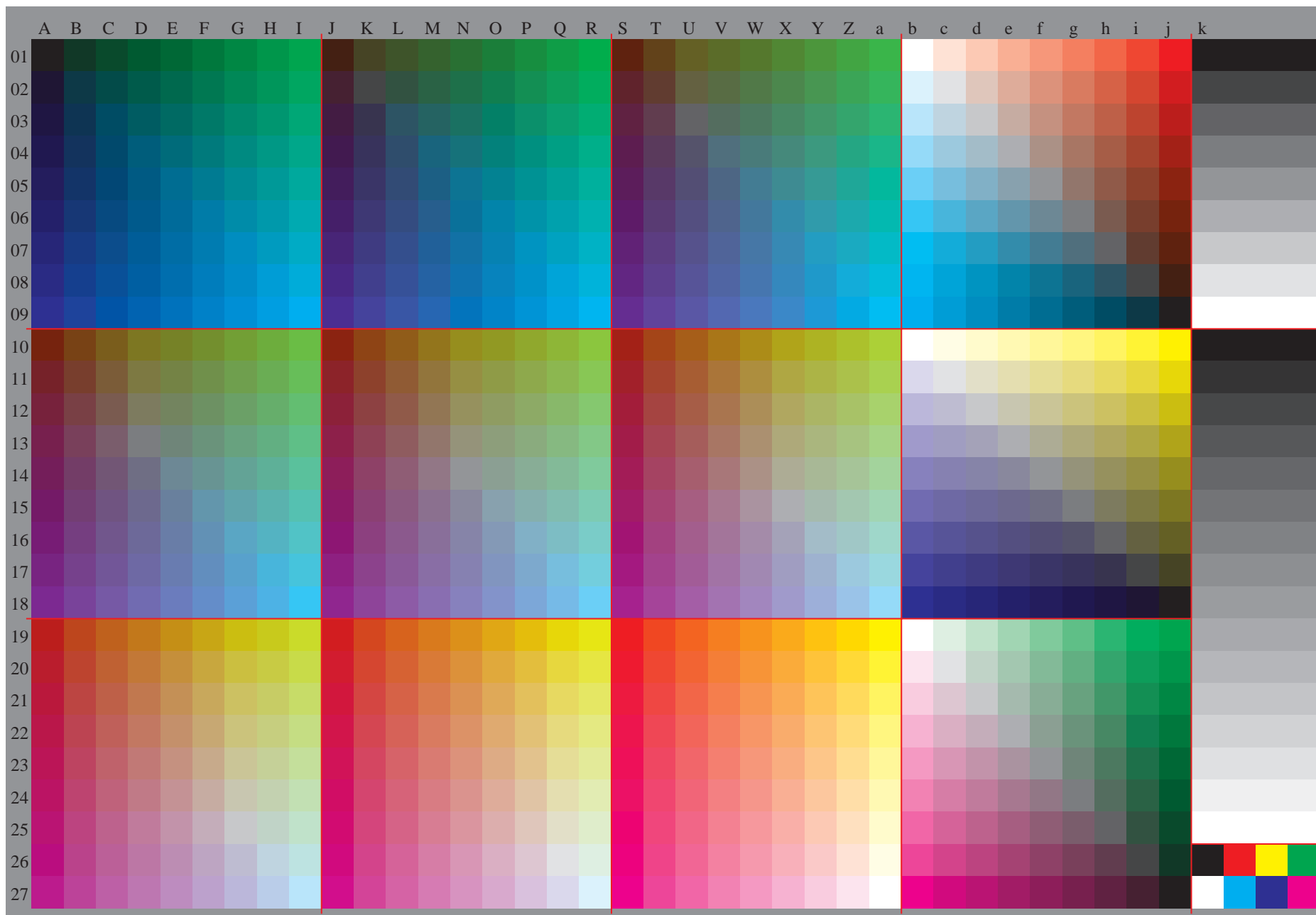
$g^*_{C,rel} = 57$

ORS19\_96a; adaptierte CIELAB-Daten

	$L^*=L^*_a$	$a^*_a$	$b^*_a$	$C^*_{ab,a}$	$h^*_{ab,a}$
r00j	48.88	66.47	31.67	73.63	25
r25j	55.85	52.39	47.48	70.7	42
r50j	65.45	35.22	58.37	68.17	59
r75j	75.19	17.82	69.41	71.66	76
j00g	87.03	-3.34	82.83	82.9	92
j25g	80.72	-25.0	69.5	73.86	110
j50g	70.64	-39.53	51.97	65.3	127
j75g	61.93	-52.09	36.83	63.8	145
g00b	52.8	-65.27	20.93	68.56	162
g25b	55.7	-49.57	-8.38	50.28	190
g50b	57.82	-38.39	-28.91	48.07	217
g75b	55.5	-22.04	-45.94	50.97	244
b00r	41.6	1.37	-45.0	45.03	272
b25r	29.0	25.08	-43.12	49.89	300
b50r	38.04	46.53	-28.38	54.51	329
b75r	49.48	72.88	-3.75	72.98	357



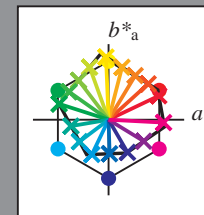
Siehe ähnliche Dateien: <http://www.ps.bam.de/Dg98/>; [www.ps.bam.de/Dg98/10L/L98G00NA.PS/.TXT](http://www.ps.bam.de/Dg98/10L/L98G00NA.PS/.TXT)  
Technische Information: [http://www.ps.bam.de/Version 2.1, ColSpX=1](http://www.ps.bam.de/Version%202.1%2C%20ColSpX%3D1)



BAM-Registrierung: 20080701-Dg98/10L/L98G00NA.PS/.TXTBAM-Material: Code=rh4ta  
Anwendung für Beurteilung und Messung von Drucker- oder Monitorsystemen

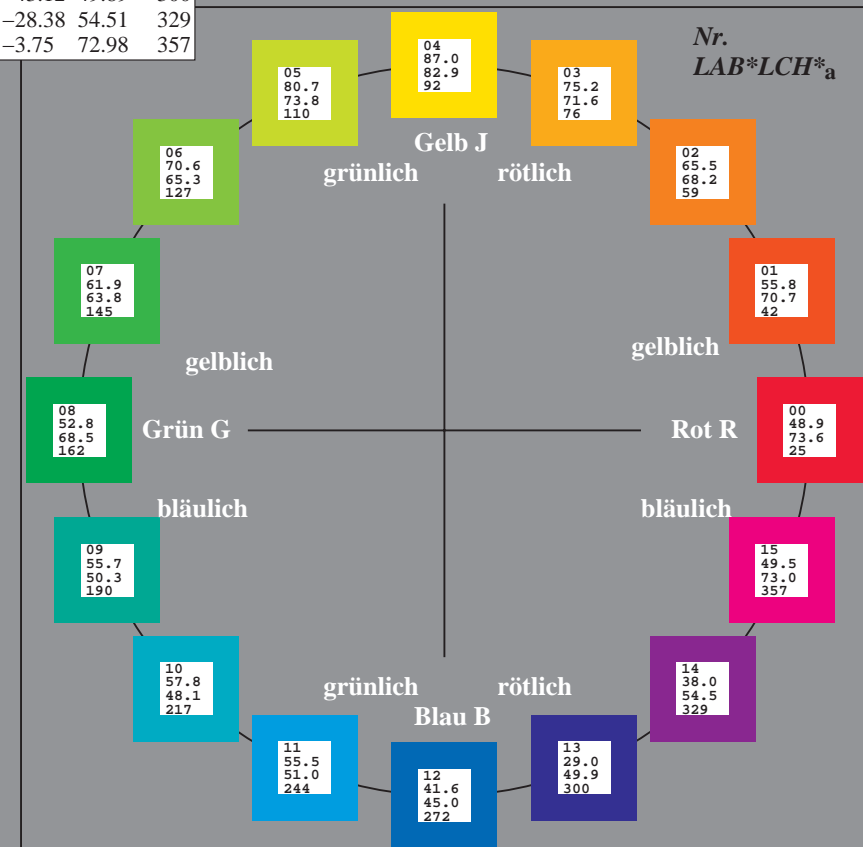
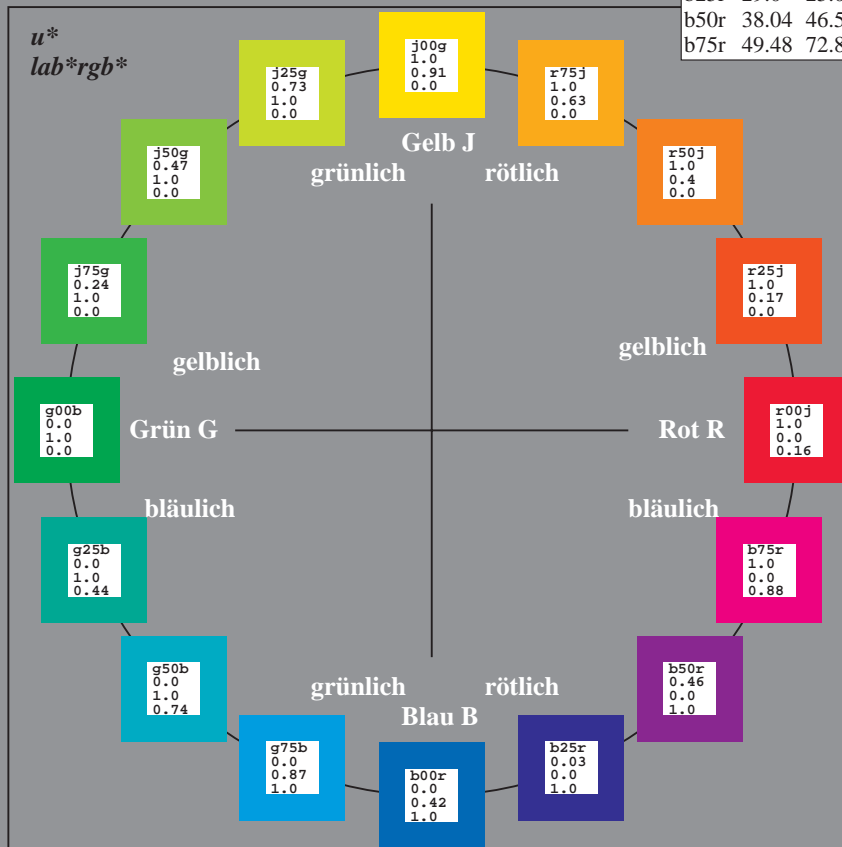
Ein und Ausgabe:  
Farbmetrisches Drucker-Reflektiv-System ORS19\_96a  
Daten für jede Farbe:  
*lab\*<sub>tch\*</sub>* und *lab\*<sub>icu\*</sub>*  
Elementar-Bunttontext:  
*u\** = 16 Buntttöne *r00j*, *r25j*, ..., *b75r*  
Kontrastreduzierungsfaktor:  
*c<sub>R</sub>* = 1.0

ORS19_96a; adaptierte CIELAB-Daten					
	<i>L*<sub>a</sub></i>	<i>a*<sub>a</sub></i>	<i>b*<sub>a</sub></i>	<i>C*<sub>ab,a</sub></i>	<i>h*<sub>ab,a</sub></i>
r00j	48.88	66.47	31.67	73.63	25
r25j	55.85	52.39	47.48	70.7	42
r50j	65.45	35.22	58.37	68.17	59
r75j	75.19	17.82	69.41	71.66	76
j00g	87.03	-3.34	82.83	82.9	92
j25g	80.72	-25.0	69.5	73.86	110
j50g	70.64	-39.53	51.97	65.3	127
j75g	61.93	-52.09	36.83	63.8	145
g00b	52.8	-65.27	20.93	68.56	162
g25b	55.7	-49.57	-8.38	50.28	190
g50b	57.82	-38.39	-28.91	48.07	217
g75b	55.5	-22.04	-45.94	50.97	244
b00r	41.6	1.37	-45.0	45.03	272
b25r	29.0	25.08	-43.12	49.89	300
b50r	38.04	46.53	-28.38	54.51	329
b75r	49.48	72.88	-3.75	72.98	357

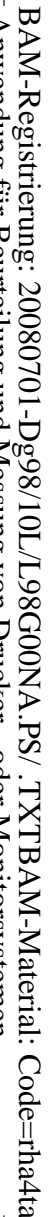


%Umfang  
*u\*<sub>rel</sub>* = 89  
%Regularität  
*g\*<sub>H,rel</sub>* = 72  
*g\*<sub>C,rel</sub>* = 57

ORS19_96a; adaptierte CIELAB-Daten					
	<i>L*<sub>a</sub></i>	<i>a*<sub>a</sub></i>	<i>b*<sub>a</sub></i>	<i>C*<sub>ab,a</sub></i>	<i>h*<sub>ab,a</sub></i>
OMa	48.75	65.07	39.43	76.08	31
YMa	90.92	-10.28	87.24	87.85	97
LMa	52.69	-65.43	20.75	68.65	162
CMa	59.61	-28.97	-46.21	54.56	238
VMa	28.39	23.63	-44.12	50.06	298
MMa	49.58	73.93	-9.55	74.55	353
NMa	18.89	0.0	0.0	0.0	0
WMa	96.9	0.0	0.0	0.0	0
RCIE	39.92	58.74	27.99	65.07	25
JCIE	81.26	-2.88	71.56	71.62	92
GCIE	52.23	-42.41	13.6	44.55	162
BCIE	30.57	1.41	-46.46	46.49	272



### Dreiecks-Helligkeit $t^*$



100



**%Regularität**

Sample	c*	i*	%Reg.
j75g	61.93	-52.09	36.83
j50b	52.8	-65.27	20.93
g25b	55.7	-49.57	-8.38
g50b	57.82	-38.39	-28.91
g75b	55.5	-22.04	-45.94
b00r	41.6	1.37	-45.0
b25r	29.0	25.08	-43.12
b50r	38.04	46.53	-28.38
b75r	49.48	72.88	-3.75

**Brillantheit  $i^*$**

**relative Buntheit  $c^*$**

Eingabe: 000n / w / nnn0 / www set...  
Ausgabe: ->cmyn5\* setcmykcolor

BAM-Registrierung: 20080701-Dg98/10L/L98G00NA.PS/ .TXTBAM-Material: Code=rha4ta  
Anwendung für Beurteilung und Messung von Drucker- oder Monitorsystemen



Ein und Ausgabe: Farbmetrisches Drucker-Reflektiv-System ORS19\_96a für relativen CIELAB-Buntton  $h^* = lab^*h^* = h_{ab}/360 = 59/360 = 0.164$   $u^* = r50j$   
Daten für jede Farbe:  $lab^*ch^*$  und  $lab^*icu^*$

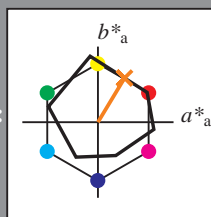
Elementar-Bunttontext:

$u^* = r50j$

Kontrastreduzierungsfaktor:

$c_R = 1.0$

Dreiecks-Helligkeit  $t^*$



ORS19_96a; adaptierte CIELAB-Daten					
	$L^*=L_a^*$	$a_a^*$	$b_a^*$	$C^*_{ab,a}$	$h^*_{ab,a}$
O <sub>Ma</sub>	48.75	65.07	39.43	76.08	31
Y <sub>Ma</sub>	90.92	-10.28	87.24	87.85	97
L <sub>Ma</sub>	52.69	-65.43	20.75	68.65	162
C <sub>Ma</sub>	59.61	-28.97	-46.21	54.56	238
V <sub>Ma</sub>	28.39	23.63	-44.12	50.06	298
M <sub>Ma</sub>	49.58	73.93	-9.55	74.55	353
N <sub>Ma</sub>	18.89	0.0	0.0	0.0	0
W <sub>Ma</sub>	96.9	0.0	0.0	0.0	0
R <sub>CIE</sub>	39.92	58.74	27.99	65.07	25
J <sub>CIE</sub>	81.26	-2.88	71.56	71.62	92
G <sub>CIE</sub>	52.23	-42.41	13.6	44.55	162
B <sub>CIE</sub>	30.57	1.41	-46.46	46.49	272

Daten für Maximalfarbe (Ma):

$LAB^*LAB^*_{Ma}$ : 65 35 58

$LAB^*LCH^*_{Ma}$ : 65 68 59

$lab^*rgb^*_{Ma}$ : 1.0 0.5 0.0

$lab^*olv^*_{Ma}$ : 1.0 0.4 0.0

Dreiecks-Helligkeit  $t^*$

%Umfang

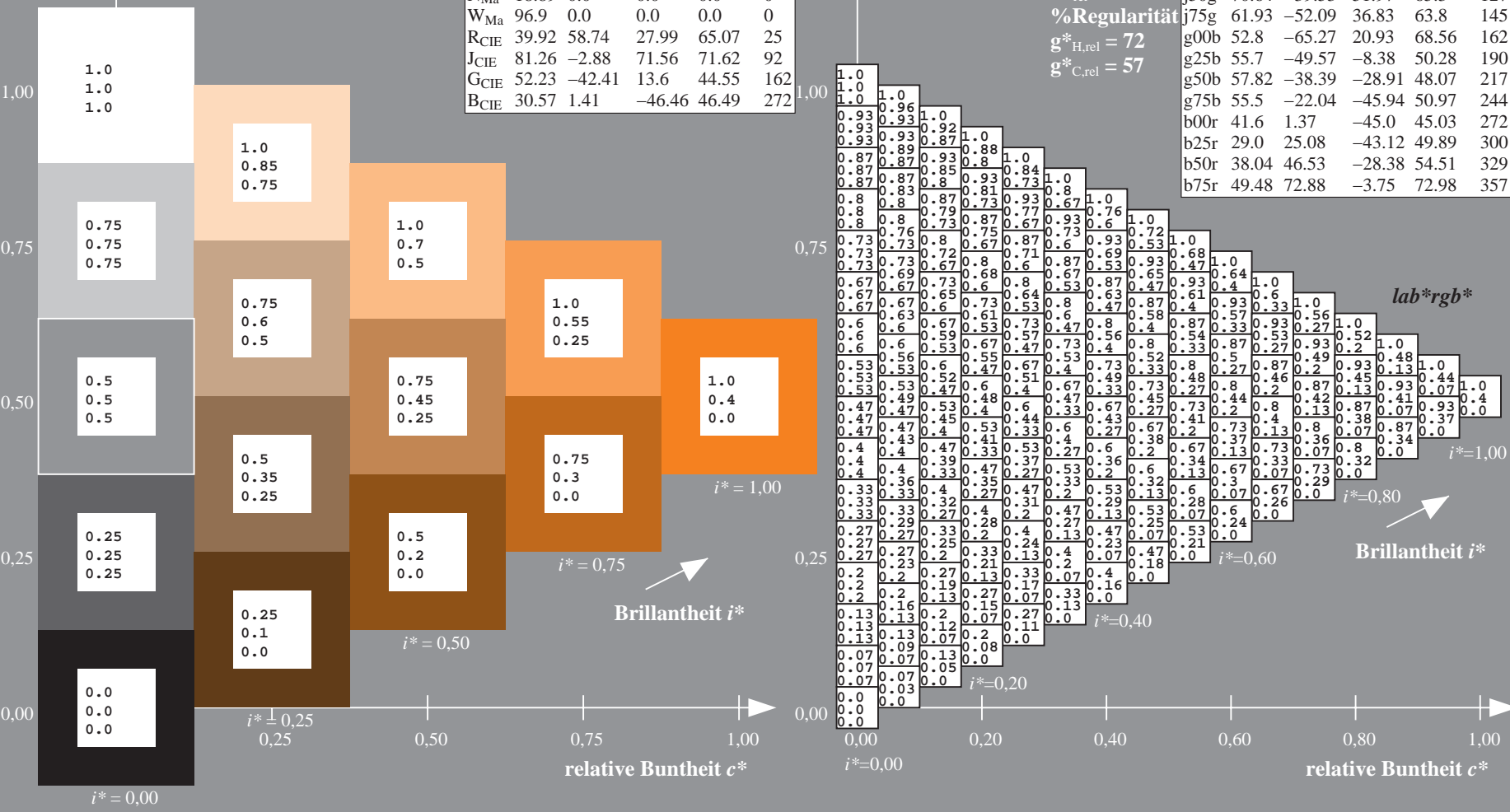
$u^*_{rel} = 89$

%Regularität

$g^*_{H,rel} = 72$

$g^*_{C,rel} = 57$

ORS19_96a; adaptierte CIELAB-Daten					
	$L^*=L_a^*$	$a_a^*$	$b_a^*$	$C^*_{ab,a}$	$h^*_{ab,a}$
r00j	48.88	66.47	31.67	73.63	25
r25j	55.85	52.39	47.48	70.7	42
r50j	65.45	35.22	58.37	68.17	59
r75j	75.19	17.82	69.41	71.66	76
j00g	87.03	-3.34	82.83	82.9	92
j25g	80.72	-25.0	69.5	73.86	110
j50g	70.64	-39.53	51.97	65.3	127
j75g	61.93	-52.09	36.83	63.8	145
g00b	52.8	-65.27	20.93	68.56	162
g25b	55.7	-49.57	-8.38	50.28	190
g50b	57.82	-38.39	-28.91	48.07	217
g75b	55.5	-22.04	-45.94	50.97	244
b00r	41.6	1.37	-45.0	45.03	272
b25r	29.0	25.08	-43.12	49.89	300
b50r	38.04	46.53	-28.38	54.51	329
b75r	49.48	72.88	-3.75	72.98	357



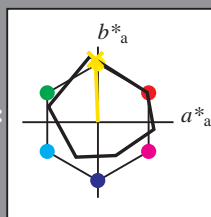


### Dreiecks-Helligkeit $t^*$



BAM-Registrierung: 20080701-Dg98/10L/L98G00NA.PS/ .TXTBAM-Material: Code=rh4ta  
- Anwendung für Beurteilung und Messung von Drucker- oder Monitorsystemen

Ein und Ausgabe: Farbmetrisches Drucker-Reflektiv-System ORS19\_96a für relativen CIELAB-Buntton  $h^* = lab^*h^* = h_{ab}/360 = 92/360 = 0.256$   $u^* = j00g$   
Daten für jede Farbe:  $lab^*ch^*$  und  $lab^*icu^*$   
Elementar-Bunttonext:  $u^* = j00g$   
Kontrastreduzierungsfaktor:  $c_R = 1.0$   
Dreiecks-Helligkeit  $t^*$



ORS19_96a; adaptierte CIELAB-Daten					
	$L^*=L^*_a$	$a^*_a$	$b^*_a$	$C^*_{ab,a}$	$h^*_{ab,a}$
O <sub>Ma</sub>	48.75	65.07	39.43	76.08	31
Y <sub>Ma</sub>	90.92	-10.28	87.24	87.85	97
L <sub>Ma</sub>	52.69	-65.43	20.75	68.65	162
C <sub>Ma</sub>	59.61	-28.97	-46.21	54.56	238
V <sub>Ma</sub>	28.39	23.63	-44.12	50.06	298
M <sub>Ma</sub>	49.58	73.93	-9.55	74.55	353
N <sub>Ma</sub>	18.89	0.0	0.0	0.0	0
W <sub>Ma</sub>	96.9	0.0	0.0	0.0	0
R <sub>CIE</sub>	39.92	58.74	27.99	65.07	25
J <sub>CIE</sub>	81.26	-2.88	71.56	71.62	92
G <sub>CIE</sub>	52.23	-42.41	13.6	44.55	162
B <sub>CIE</sub>	30.57	1.41	-46.46	46.49	272

Daten für Maximalfarbe (Ma):

$LAB^*LAB^*_{Ma}$ : 87 -2 83

$LAB^*LCH^*_{Ma}$ : 87 83 92

$lab^*rgb^*_{Ma}$ : 1.0 1.0 0.0

$lab^*olv^*_{Ma}$ : 1.0 0.91 0.0

Dreiecks-Helligkeit  $t^*$

%Umfang

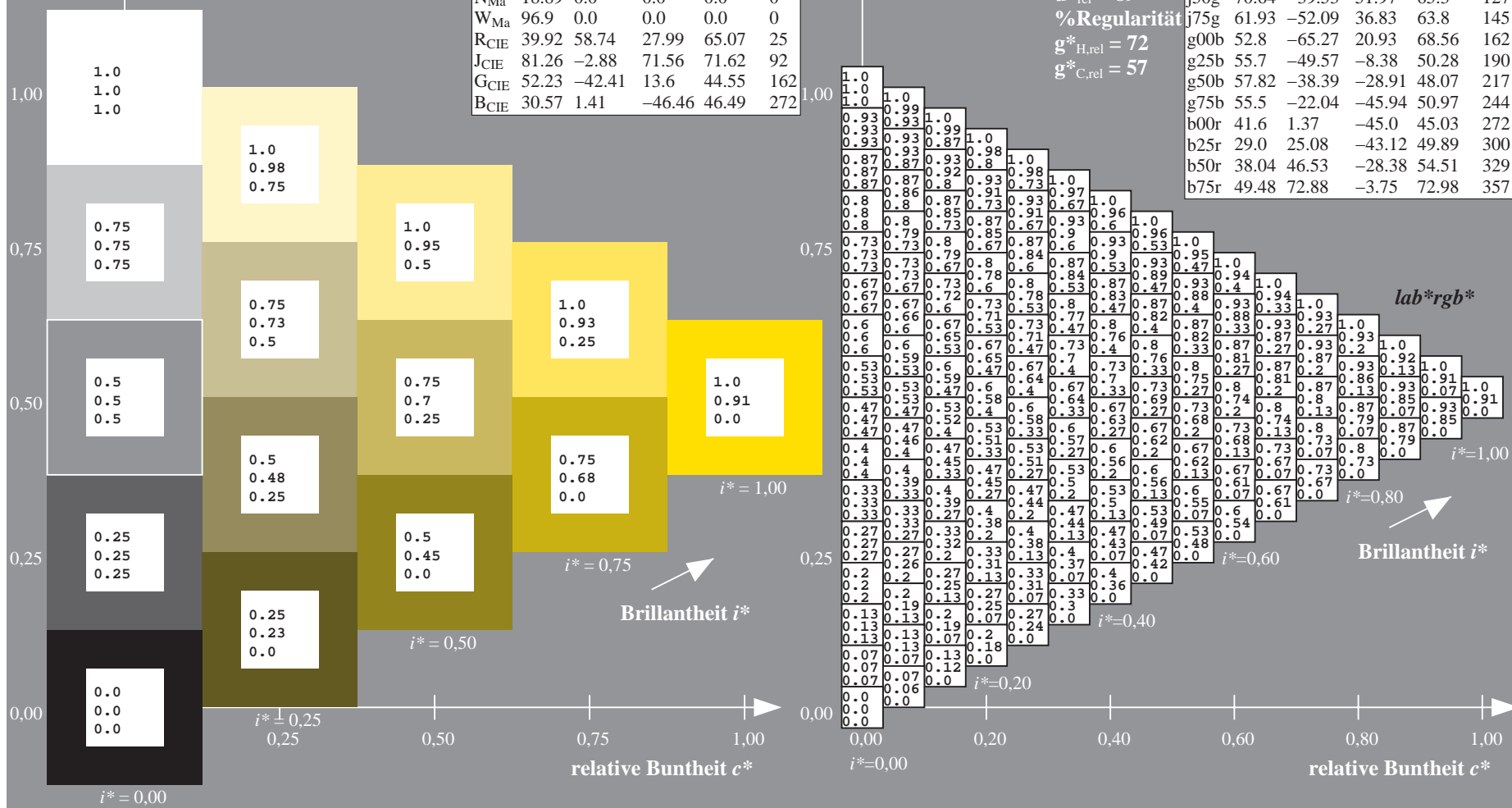
$u^*_{rel} = 89$

%Regularität

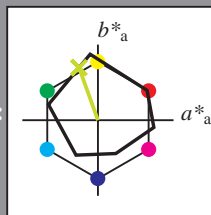
$g^*_{H,rel} = 72$

$g^*_{C,rel} = 57$

ORS19_96a; adaptierte CIELAB-Daten					
	$L^*=L^*_a$	$a^*_a$	$b^*_a$	$C^*_{ab,a}$	$h^*_{ab,a}$
r00j	48.88	66.47	31.67	73.63	25
r25j	55.85	52.39	47.48	70.7	42
r50j	65.45	35.22	58.37	68.17	59
r75j	75.19	17.82	69.41	71.66	76
j00g	87.03	-3.34	82.83	82.9	92
j25g	80.72	-25.0	69.5	73.86	110
j50g	70.64	-39.53	51.97	65.3	127
j75g	61.93	-52.09	36.83	63.8	145
g00b	52.8	-65.27	20.93	68.56	162
g25b	55.7	-49.57	-8.38	50.28	190
g50b	57.82	-38.39	-28.91	48.07	217
g75b	55.5	-22.04	-45.94	50.97	244
b00r	41.6	1.37	-45.0	45.03	272
b25r	29.0	25.08	-43.12	49.89	300
b50r	38.04	46.53	-28.38	54.51	329
b75r	49.48	72.88	-3.75	72.98	357



Ein und Ausgabe: Farbmetrisches Drucker-Reflektiv-System ORS19\_96a für relativen CIELAB-Buntton  $h^* = lab^*h^* = h_{ab}/360 = 110/360 = 0.305$   $u^* = j25g$   
Daten für jede Farbe:  
 $lab^*ch^*$  und  $lab^*icu^*$   
Elementar-Bunttontext:  
 $u^* = j25g$   
Kontrastreduzierungsfaktor:  
 $c_R = 1.0$   
Dreiecks-Helligkeit  $t^*$



ORS19_96a; adaptierte CIELAB-Daten					
	$L^*=L^*_a$	$a^*_a$	$b^*_a$	$C^*_{ab,a}$	$h^*_{ab,a}$
O <sub>Ma</sub>	48.75	65.07	39.43	76.08	31
Y <sub>Ma</sub>	90.92	-10.28	87.24	87.85	97
L <sub>Ma</sub>	52.69	-65.43	20.75	68.65	162
C <sub>Ma</sub>	59.61	-28.97	-46.21	54.56	238
V <sub>Ma</sub>	28.39	23.63	-44.12	50.06	298
M <sub>Ma</sub>	49.58	73.93	-9.55	74.55	353
N <sub>Ma</sub>	18.89	0.0	0.0	0.0	0
W <sub>Ma</sub>	96.9	0.0	0.0	0.0	0
R <sub>CIE</sub>	39.92	58.74	27.99	65.07	25
J <sub>CIE</sub>	81.26	-2.88	71.56	71.62	92
G <sub>CIE</sub>	52.23	-42.41	13.6	44.55	162
B <sub>CIE</sub>	30.57	1.41	-46.46	46.49	272

Daten für Maximalfarbe (Ma):

$LAB^*LAB^*_{Ma}$ : 81 -24 69

$LAB^*LCH^*_{Ma}$ : 81 74 110

$lab^*rgb^*_{Ma}$ : 0.75 1.0 0.0

$lab^*olv^*_{Ma}$ : 0.73 1.0 0.0

Dreiecks-Helligkeit  $t^*$

%Umfang

$u^*_{rel} = 89$

%Regularität

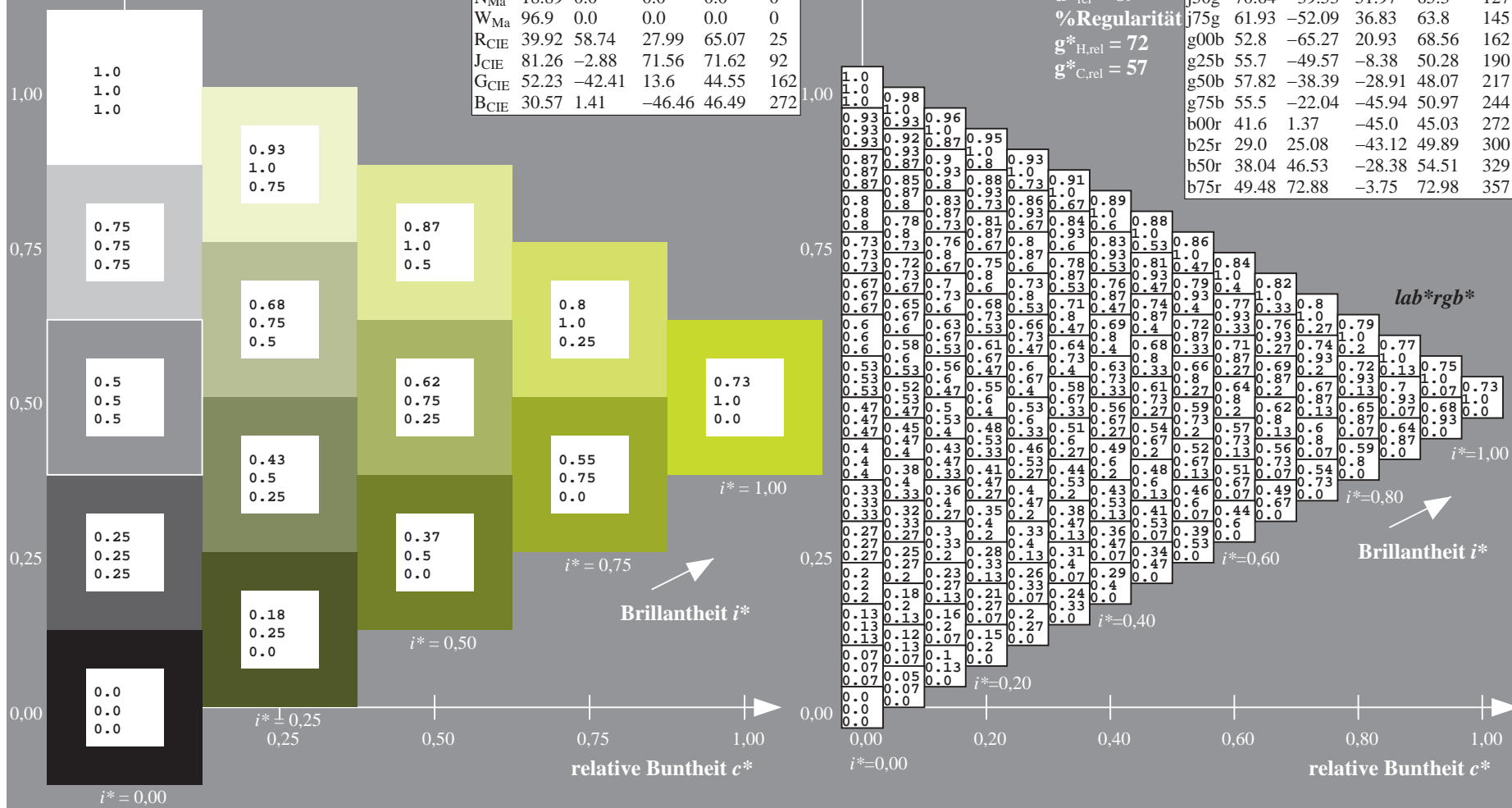
$g^*_{H,rel} = 72$

$g^*_{C,rel} = 57$

ORS19_96a; adaptierte CIELAB-Daten					
	$L^*=L^*_a$	$a^*_a$	$b^*_a$	$C^*_{ab,a}$	$h^*_{ab,a}$
r00j	48.88	66.47	31.67	73.63	25
r25j	55.85	52.39	47.48	70.7	42
r50j	65.45	35.22	58.37	68.17	59
r75j	75.19	17.82	69.41	71.66	76
j00g	87.03	-3.34	82.83	82.9	92
j25g	80.72	-25.0	69.5	73.86	110
j50g	70.64	-39.53	51.97	65.3	127
j75g	61.93	-52.09	36.83	63.8	145
g00b	52.8	-65.27	20.93	68.56	162
g25b	55.7	-49.57	-8.38	50.28	190
g50b	57.82	-38.39	-28.91	48.07	217
g75b	55.5	-22.04	-45.94	50.97	244
b00r	41.6	1.37	-45.0	45.03	272
b25r	29.0	25.08	-43.12	49.89	300
b50r	38.04	46.53	-28.38	54.51	329
b75r	49.48	72.88	-3.75	72.98	357

Siehe ähnliche Dateien: <http://www.ps.bam.de/Dg98/>; [www.ps.bam.de/Dg98.HTM](http://www.ps.bam.de/Dg98.HTM)  
Technische Information: <http://www.ps.bam.de> Version 2.1, io=1,1, ColSpx=1

BAM-Registrierung: 20080701-Dg98/10L/L98G00NA.PS/.TXTBAM-Material: Code=rh4ta  
Anwendung für Beurteilung und Messung von Drucker- oder Monitorsystemen



Ein und Ausgabe: Farbmetrisches Drucker-Reflektiv-System ORS19\_96a für relativen CIELAB-Buntton  $h^* = lab^*h^* = h_{ab}/360 = 127/360 = 0.354$   $u^* = j50g$   
Daten für jede Farbe:  $lab^*ch^*$  und  $lab^*icu^*$

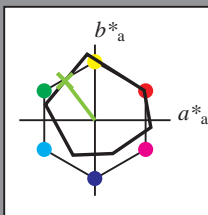
Elementar-Bunttontext:

$u^* = j50g$

Kontrastreduzierungsfaktor:

$c_R = 1.0$

Dreiecks-Helligkeit  $t^*$



ORS19_96a; adaptierte CIELAB-Daten					
	$L^*=L^*_a$	$a^*_a$	$b^*_a$	$C^*_{ab,a}$	$h^*_{ab,a}$
O <sub>Ma</sub>	48.75	65.07	39.43	76.08	31
Y <sub>Ma</sub>	90.92	-10.28	87.24	87.85	97
L <sub>Ma</sub>	52.69	-65.43	20.75	68.65	162
C <sub>Ma</sub>	59.61	-28.97	-46.21	54.56	238
V <sub>Ma</sub>	28.39	23.63	-44.12	50.06	298
M <sub>Ma</sub>	49.58	73.93	-9.55	74.55	353
N <sub>Ma</sub>	18.89	0.0	0.0	0.0	0
W <sub>Ma</sub>	96.9	0.0	0.0	0.0	0
R <sub>CIE</sub>	39.92	58.74	27.99	65.07	25
J <sub>CIE</sub>	81.26	-2.88	71.56	71.62	92
G <sub>CIE</sub>	52.23	-42.41	13.6	44.55	162
B <sub>CIE</sub>	30.57	1.41	-46.46	46.49	272

Daten für Maximalfarbe (Ma):

$LAB^*LAB^*_{Ma}$ : 71 -39 52

$LAB^*LCH^*_{Ma}$ : 71 65 127

$lab^*rgb^*_{Ma}$ : 0.5 1.0 0.0

$lab^*olv^*_{Ma}$ : 0.47 1.0 0.0

Dreiecks-Helligkeit  $t^*$

%Umfang

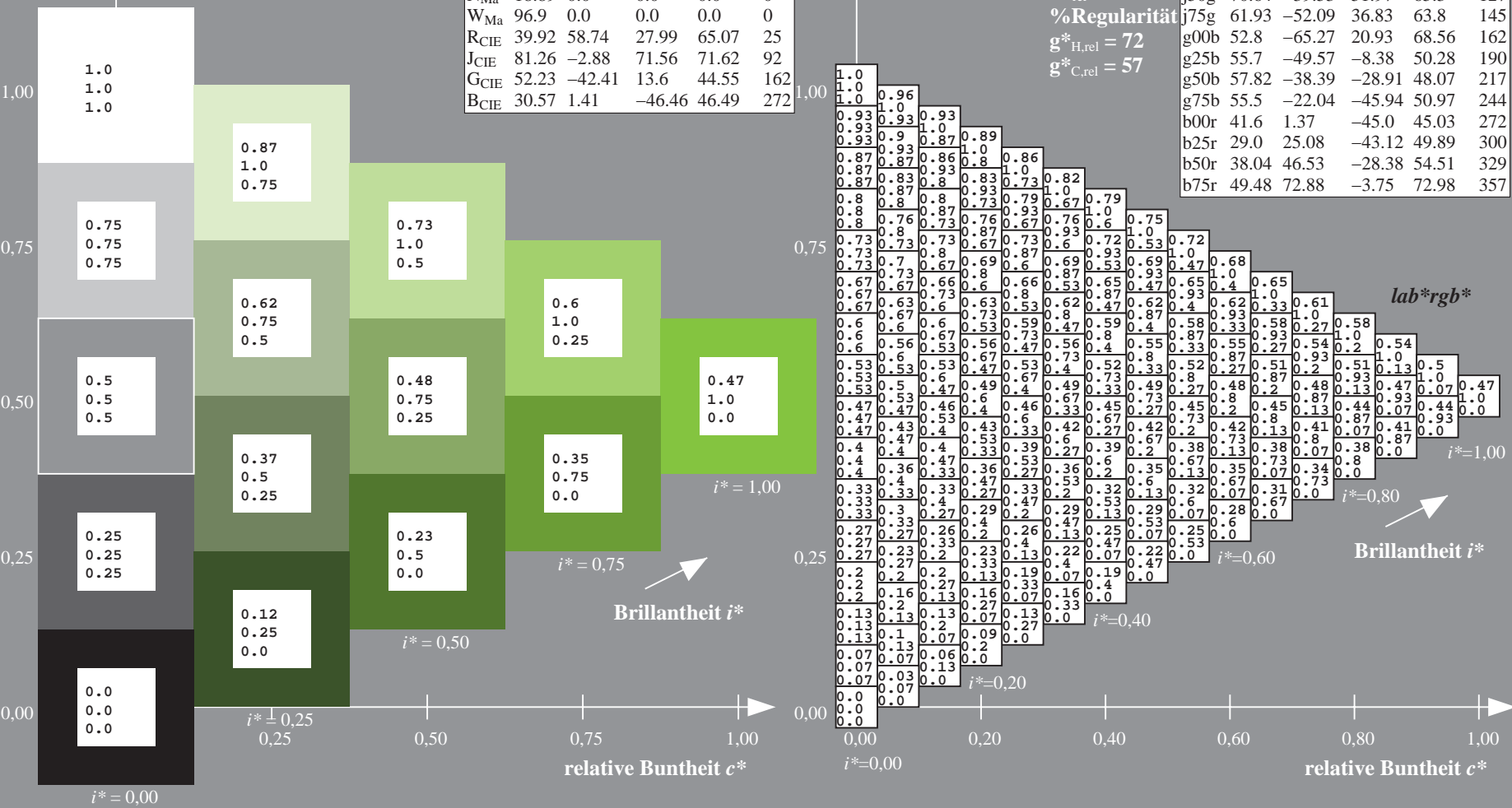
$u^*_{rel} = 89$

%Regularität

$g^*_{H,rel} = 72$

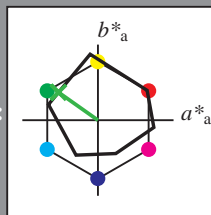
$g^*_{C,rel} = 57$

ORS19_96a; adaptierte CIELAB-Daten					
	$L^*=L^*_a$	$a^*_a$	$b^*_a$	$C^*_{ab,a}$	$h^*_{ab,a}$
r00j	48.88	66.47	31.67	73.63	25
r25j	55.85	52.39	47.48	70.7	42
r50j	65.45	35.22	58.37	68.17	59
r75j	75.19	17.82	69.41	71.66	76
j00g	87.03	-3.34	82.83	82.9	92
j25g	80.72	-25.0	69.5	73.86	110
j50g	70.64	-39.53	51.97	65.3	127
j75g	61.93	-52.09	36.83	63.8	145
g00b	52.8	-65.27	20.93	68.56	162
g25b	55.7	-49.57	-8.38	50.28	190
g50b	57.82	-38.39	-28.91	48.07	217
g75b	55.5	-22.04	-45.94	50.97	244
b00r	41.6	1.37	-45.0	45.03	272
b25r	29.0	25.08	-43.12	49.89	300
b50r	38.04	46.53	-28.38	54.51	329
b75r	49.48	72.88	-3.75	72.98	357





Ein und Ausgabe: Farbmetrisches Drucker-Reflektiv-System ORS19\_96a für relativen CIELAB-Buntton  $h^* = lab^*h^* = h_{ab}/360 = 145/360 = 0.402$   $u^* = j75g$   
Daten für jede Farbe:  $lab^*ch^*$  und  $lab^*icu^*$   
Elementar-Bunttontext:  $u^* = j75g$   
Kontrastreduzierungsfaktor:  $c_R = 1.0$   
Dreiecks-Helligkeit  $i^*$



ORS19_96a; adaptierte CIELAB-Daten					
	$L^*=L^*_a$	$a^*_a$	$b^*_a$	$C^*_{ab,a}$	$h^*_{ab,a}$
O <sub>Ma</sub>	48.75	65.07	39.43	76.08	31
Y <sub>Ma</sub>	90.92	-10.28	87.24	87.85	97
L <sub>Ma</sub>	52.69	-65.43	20.75	68.65	162
C <sub>Ma</sub>	59.61	-28.97	-46.21	54.56	238
V <sub>Ma</sub>	28.39	23.63	-44.12	50.06	298
M <sub>Ma</sub>	49.58	73.93	-9.55	74.55	353
N <sub>Ma</sub>	18.89	0.0	0.0	0.0	0
W <sub>Ma</sub>	96.9	0.0	0.0	0.0	0
R <sub>CIE</sub>	39.92	58.74	27.99	65.07	25
J <sub>CIE</sub>	81.26	-2.88	71.56	71.62	92
G <sub>CIE</sub>	52.23	-42.41	13.6	44.55	162
B <sub>CIE</sub>	30.57	1.41	-46.46	46.49	272

Daten für Maximalfarbe (Ma):

$LAB^*LAB^*_{Ma}$ : 62 -51 37

$LAB^*LCH^*_{Ma}$ : 62 64 145

$lab^*rgb^*_{Ma}$ : 0.25 1.0 0.0

$lab^*olv^*_{Ma}$ : 0.24 1.0 0.0

Dreiecks-Helligkeit  $i^*$

%Umfang

$u^*_{rel} = 89$

%Regularität

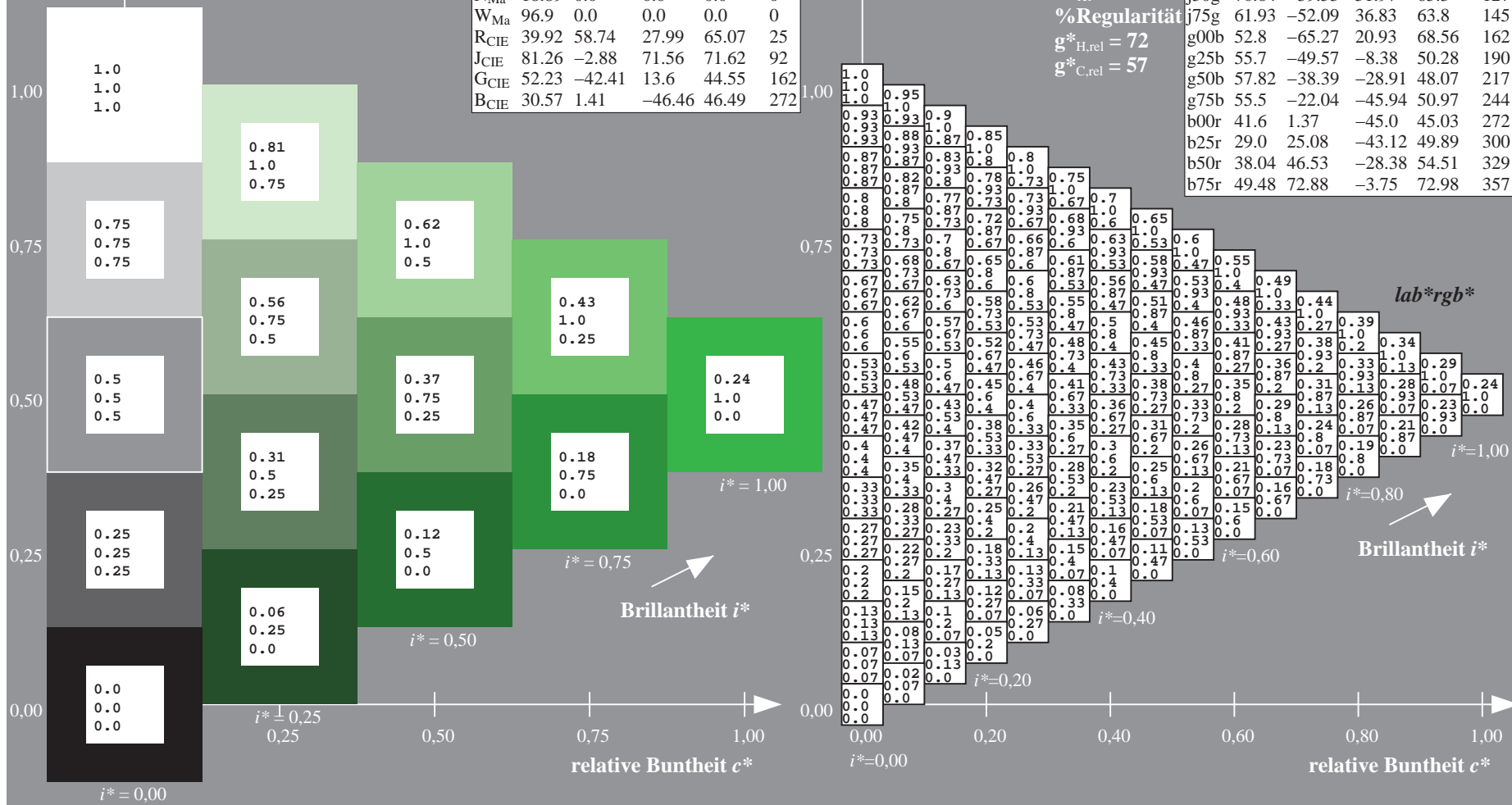
$g^*_{H,rel} = 72$

$g^*_{C,rel} = 57$

ORS19_96a; adaptierte CIELAB-Daten					
	$L^*=L^*_a$	$a^*_a$	$b^*_a$	$C^*_{ab,a}$	$h^*_{ab,a}$
r00j	48.88	66.47	31.67	73.63	25
r25j	55.85	52.39	47.48	70.7	42
r50j	65.45	35.22	58.37	68.17	59
r75j	75.19	17.82	69.41	71.66	76
j00g	87.03	-3.34	82.83	82.9	92
j25g	80.72	-25.0	69.5	73.86	110
j50g	70.64	-39.53	51.97	65.3	127
j75g	61.93	-52.09	36.83	63.8	145
g00b	52.8	-65.27	20.93	68.56	162
g25b	55.7	-49.57	-8.38	50.28	190
g50b	57.82	-38.39	-28.91	48.07	217
g75b	55.5	-22.04	-45.94	50.97	244
b00r	41.6	1.37	-45.0	45.03	272
b25r	29.0	25.08	-43.12	49.89	300
b50r	38.04	46.53	-28.38	54.51	329
b75r	49.48	72.88	-3.75	72.98	357

Siehe ähnliche Dateien: <http://www.ps.bam.de/Dg98/>; [www.ps.bam.de/Dg98/10L/L98G00NA.PS/.TXT](http://www.ps.bam.de/Dg98/10L/L98G00NA.PS/.TXT)  
Technische Information: <http://www.ps.bam.de> Version 2.1, io=1,1, ColSpx=1

BAM-Registrierung: 20080701-Dg98/10L/L98G00NA.PS/.TXTBAM-Material: Code=rh4ta  
Anwendung für Beurteilung und Messung von Drucker- oder Monitorsystemen







Ein und Ausgabe: Farbmetrisches Drucker-Reflektiv-System ORS19\_96a für relativen CIELAB-Buntton  $h^* = lab^*h^* = h_{ab}/360 = 190/360 = 0.527$   $u^* = g25b$   
Daten für jede Farbe:  $lab^*ch^*$  und  $lab^*icu^*$

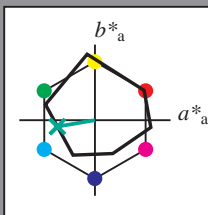
Elementar-Bunttontext:

$u^* = g25b$

Kontrastreduzierungsfaktor:

$c_R = 1.0$

Dreiecks-Helligkeit  $i^*$



ORS19_96a; adaptierte CIELAB-Daten					
	$L^*=L_a^*$	$a_a^*$	$b_a^*$	$C^*_{ab,a}$	$h^*_{ab,a}$
O <sub>Ma</sub>	48.75	65.07	39.43	76.08	31
Y <sub>Ma</sub>	90.92	-10.28	87.24	87.85	97
L <sub>Ma</sub>	52.69	-65.43	20.75	68.65	162
C <sub>Ma</sub>	59.61	-28.97	-46.21	54.56	238
V <sub>Ma</sub>	28.39	23.63	-44.12	50.06	298
M <sub>Ma</sub>	49.58	73.93	-9.55	74.55	353
N <sub>Ma</sub>	18.89	0.0	0.0	0.0	0
W <sub>Ma</sub>	96.9	0.0	0.0	0.0	0
R <sub>CIE</sub>	39.92	58.74	27.99	65.07	25
J <sub>CIE</sub>	81.26	-2.88	71.56	71.62	92
G <sub>CIE</sub>	52.23	-42.41	13.6	44.55	162
B <sub>CIE</sub>	30.57	1.41	-46.46	46.49	272

Daten für Maximalfarbe (Ma):

$LAB^*LAB^*_{Ma}$ : 56 -49 -7

$LAB^*LCH^*_{Ma}$ : 56 50 190

$lab^*rgb^*_{Ma}$ : 0.0 1.0 0.5

$lab^*olv^*_{Ma}$ : 0.0 1.0 0.44

Dreiecks-Helligkeit  $i^*$

%Umfang

$u^*_{rel} = 89$

%Regularität

$g^*_{H,rel} = 72$

$g^*_{C,rel} = 57$

ORS19_96a; adaptierte CIELAB-Daten					
	$L^*=L_a^*$	$a_a^*$	$b_a^*$	$C^*_{ab,a}$	$h^*_{ab,a}$
r00j	48.88	66.47	31.67	73.63	25
r25j	55.85	52.39	47.48	70.7	42
r50j	65.45	35.22	58.37	68.17	59
r75j	75.19	17.82	69.41	71.66	76
j00g	87.03	-3.34	82.83	82.9	92
j25g	80.72	-25.0	69.5	73.86	110
j50g	70.64	-39.53	51.97	65.3	127
j75g	61.93	-52.09	36.83	63.8	145
g00b	52.8	-65.27	20.93	68.56	162
g25b	55.7	-49.57	-8.38	50.28	190
g50b	57.82	-38.39	-28.91	48.07	217
g75b	55.5	-22.04	-45.94	50.97	244
b00r	41.6	1.37	-45.0	45.03	272
b25r	29.0	25.08	-43.12	49.89	300
b50r	38.04	46.53	-28.38	54.51	329
b75r	49.48	72.88	-3.75	72.98	357

$lab^*rgb^*$

$i^* = 1.00$

Brillantheit  $i^*$

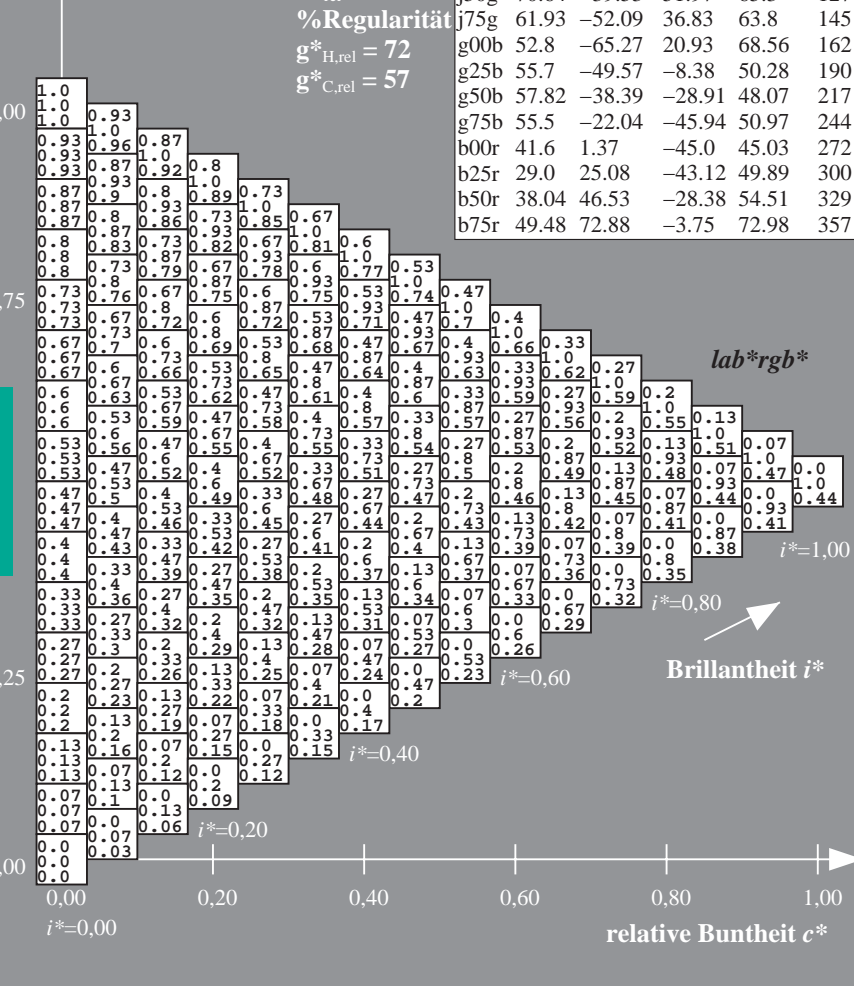
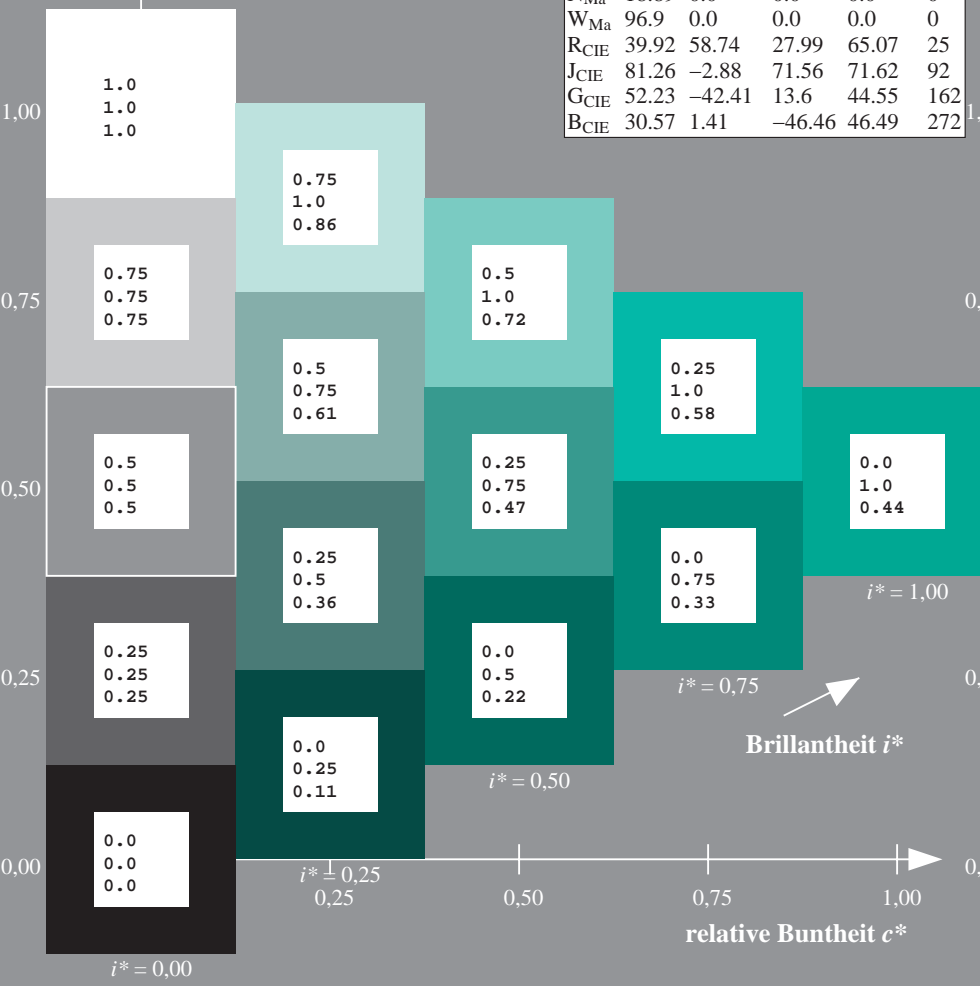
$i^* = 0.80$

$i^* = 0.60$

$i^* = 0.40$

$i^* = 0.20$

$i^* = 0.00$



Ein und Ausgabe: Farbmetrisches Drucker-Reflektiv-System ORS19\_96a für relativen CIELAB-Buntton  $h^* = lab^*h^* = h_{ab}/360 = 217/360 = 0.603$   $u^* = g50b$

Daten für jede Farbe:

$lab^*ch^*$  und  $lab^*icu^*$

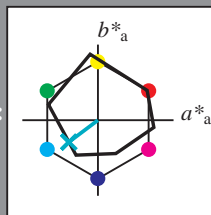
Elementar-Bunttontext:

$u^* = g50b$

Kontrastreduzierungsfaktor:

$c_R = 1.0$

Dreiecks-Helligkeit  $i^*$



ORS19\_96a; adaptierte CIELAB-Daten

	$L^*=L^*_a$	$a^*_a$	$b^*_a$	$C^*_{ab,a}$	$h^*_{ab,a}$
O <sub>Ma</sub>	48.75	65.07	39.43	76.08	31
Y <sub>Ma</sub>	90.92	-10.28	87.24	87.85	97
L <sub>Ma</sub>	52.69	-65.43	20.75	68.65	162
C <sub>Ma</sub>	59.61	-28.97	-46.21	54.56	238
V <sub>Ma</sub>	28.39	23.63	-44.12	50.06	298
M <sub>Ma</sub>	49.58	73.93	-9.55	74.55	353
N <sub>Ma</sub>	18.89	0.0	0.0	0.0	0
W <sub>Ma</sub>	96.9	0.0	0.0	0.0	0
R <sub>CIE</sub>	39.92	58.74	27.99	65.07	25
J <sub>CIE</sub>	81.26	-2.88	71.56	71.62	92
G <sub>CIE</sub>	52.23	-42.41	13.6	44.55	162
B <sub>CIE</sub>	30.57	1.41	-46.46	46.49	272

Daten für Maximalfarbe (Ma):

$LAB^*LAB^*_{Ma}$ : 58 -37 -28

$LAB^*LCH^*_{Ma}$ : 58 48 217

$lab^*rgb^*_{Ma}$ : 0.0 1.0 1.0

$lab^*olv^*_{Ma}$ : 0.0 1.0 0.74

Dreiecks-Helligkeit  $i^*$

%Umfang

$u^*_{rel} = 89$

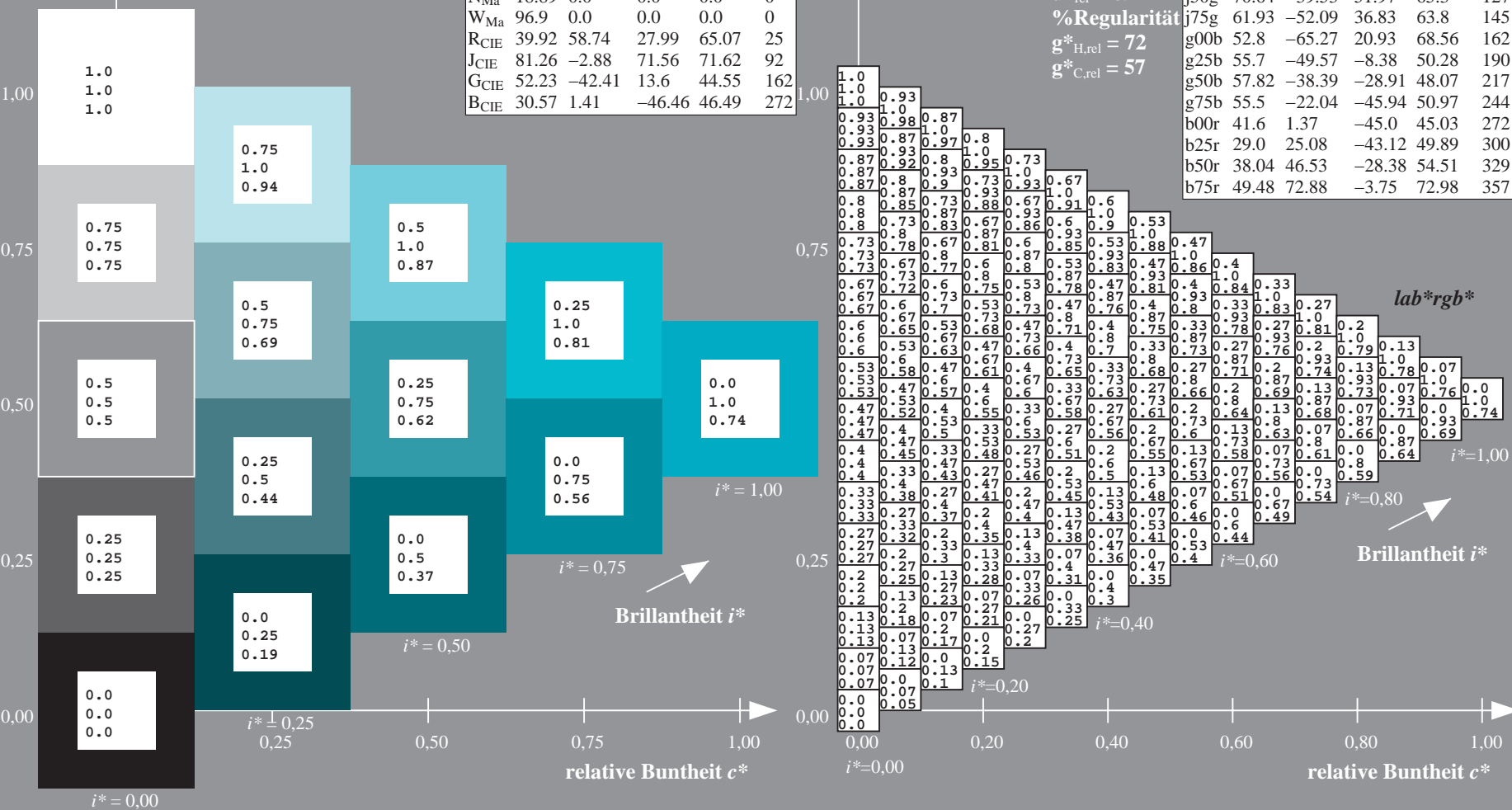
%Regularität

$g^*_{H,rel} = 72$

$g^*_{C,rel} = 57$

ORS19\_96a; adaptierte CIELAB-Daten

	$L^*=L^*_a$	$a^*_a$	$b^*_a$	$C^*_{ab,a}$	$h^*_{ab,a}$
r00j	48.88	66.47	31.67	73.63	25
r25j	55.85	52.39	47.48	70.7	42
r50j	65.45	35.22	58.37	68.17	59
r75j	75.19	17.82	69.41	71.66	76
j00g	87.03	-3.34	82.83	82.9	92
j25g	80.72	-25.0	69.5	73.86	110
j50g	70.64	-39.53	51.97	65.3	127
j75g	61.93	-52.09	36.83	63.8	145
g00b	52.8	-65.27	20.93	68.56	162
g25b	55.7	-49.57	-8.38	50.28	190
g50b	57.82	-38.39	-28.91	48.07	217
g75b	55.5	-22.04	-45.94	50.97	244
b00r	41.6	1.37	-45.0	45.03	272
b25r	29.0	25.08	-43.12	49.89	300
b50r	38.04	46.53	-28.38	54.51	329
b75r	49.48	72.88	-3.75	72.98	357



Ein und Ausgabe: Farbmetrisches Drucker-Reflektiv-System ORS19\_96a für relativen CIELAB-Buntton  $h^* = lab^*h^* = h_{ab}/360 = 244/360 = 0.679$   $u^* = g75b$   
Daten für jede Farbe:  $lab^*ch^*$  und  $lab^*icu^*$

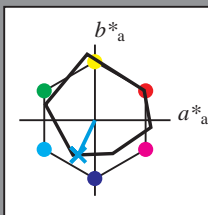
Elementar-Bunttontext:

$u^* = g75b$

Kontrastreduzierungsfaktor:

$c_R = 1.0$

Dreiecks-Helligkeit  $t^*$



ORS19_96a; adaptierte CIELAB-Daten					
	$L^*=L^*_a$	$a^*_a$	$b^*_a$	$C^*_{ab,a}$	$h^*_{ab,a}$
O <sub>Ma</sub>	48.75	65.07	39.43	76.08	31
Y <sub>Ma</sub>	90.92	-10.28	87.24	87.85	97
L <sub>Ma</sub>	52.69	-65.43	20.75	68.65	162
C <sub>Ma</sub>	59.61	-28.97	-46.21	54.56	238
V <sub>Ma</sub>	28.39	23.63	-44.12	50.06	298
M <sub>Ma</sub>	49.58	73.93	-9.55	74.55	353
N <sub>Ma</sub>	18.89	0.0	0.0	0.0	0
W <sub>Ma</sub>	96.9	0.0	0.0	0.0	0
R <sub>CIE</sub>	39.92	58.74	27.99	65.07	25
J <sub>CIE</sub>	81.26	-2.88	71.56	71.62	92
G <sub>CIE</sub>	52.23	-42.41	13.6	44.55	162
B <sub>CIE</sub>	30.57	1.41	-46.46	46.49	272

Daten für Maximalfarbe (Ma):

$LAB^*LAB^*_{Ma}$ : 55 -21 -45

$LAB^*LCH^*_{Ma}$ : 55 51 244

$lab^*rgb^*_{Ma}$ : 0.0 0.5 1.0

$lab^*olv^*_{Ma}$ : 0.0 0.87 1.0

Dreiecks-Helligkeit  $t^*$

%Umfang

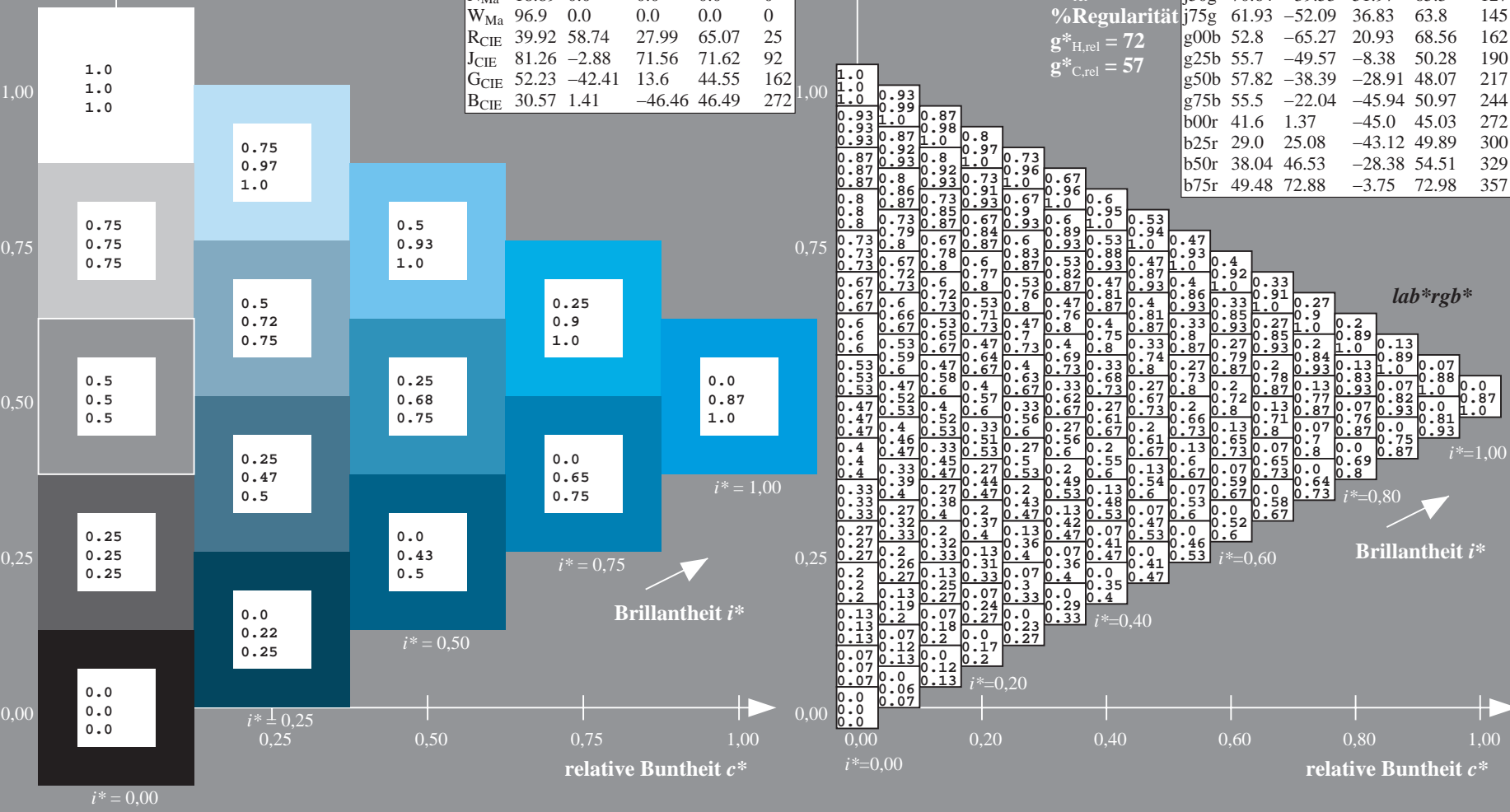
$u^*_{rel} = 89$

%Regularität

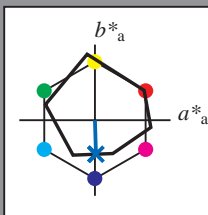
$g^*_{H,rel} = 72$

$g^*_{C,rel} = 57$

ORS19_96a; adaptierte CIELAB-Daten					
	$L^*=L^*_a$	$a^*_a$	$b^*_a$	$C^*_{ab,a}$	$h^*_{ab,a}$
r00j	48.88	66.47	31.67	73.63	25
r25j	55.85	52.39	47.48	70.7	42
r50j	65.45	35.22	58.37	68.17	59
r75j	75.19	17.82	69.41	71.66	76
j00g	87.03	-3.34	82.83	82.9	92
j25g	80.72	-25.0	69.5	73.86	110
j50g	70.64	-39.53	51.97	65.3	127
j75g	61.93	-52.09	36.83	63.8	145
g00b	52.8	-65.27	20.93	68.56	162
g25b	55.7	-49.57	-8.38	50.28	190
g50b	57.82	-38.39	-28.91	48.07	217
g75b	55.5	-22.04	-45.94	50.97	244
b00r	41.6	1.37	-45.0	45.03	272
b25r	29.0	25.08	-43.12	49.89	300
b50r	38.04	46.53	-28.38	54.51	329
b75r	49.48	72.88	-3.75	72.98	357



Ein und Ausgabe: Farbmetrisches Drucker-Reflektiv-System ORS19\_96a für relativen CIELAB-Buntton  $h^* = lab^*h^* = h_{ab}/360 = 272/360 = 0.755$   $u^* = b00r$   
Daten für jede Farbe:  $lab^*ch^*$  und  $lab^*icu^*$   
Elementar-Bunttontext:  $u^* = b00r$   
Kontrastreduzierungsfaktor:  $c_R = 1.0$   
Dreiecks-Helligkeit  $i^*$



ORS19_96a; adaptierte CIELAB-Daten					
	$L^*=L^*_a$	$a^*_a$	$b^*_a$	$C^*_{ab,a}$	$h^*_{ab,a}$
O <sub>Ma</sub>	48.75	65.07	39.43	76.08	31
Y <sub>Ma</sub>	90.92	-10.28	87.24	87.85	97
L <sub>Ma</sub>	52.69	-65.43	20.75	68.65	162
C <sub>Ma</sub>	59.61	-28.97	-46.21	54.56	238
V <sub>Ma</sub>	28.39	23.63	-44.12	50.06	298
M <sub>Ma</sub>	49.58	73.93	-9.55	74.55	353
N <sub>Ma</sub>	18.89	0.0	0.0	0.0	0
W <sub>Ma</sub>	96.9	0.0	0.0	0.0	0
R <sub>CIE</sub>	39.92	58.74	27.99	65.07	25
J <sub>CIE</sub>	81.26	-2.88	71.56	71.62	92
G <sub>CIE</sub>	52.23	-42.41	13.6	44.55	162
B <sub>CIE</sub>	30.57	1.41	-46.46	46.49	272

Daten für Maximalfarbe (Ma):

$LAB^*LAB^*_{Ma}$ : 42 1 -44

$LAB^*LCH^*_{Ma}$ : 42 45 272

$lab^*rgb^*_{Ma}$ : 0.0 0.0 1.0

$lab^*olv^*_{Ma}$ : 0.0 0.42 1.0

Dreiecks-Helligkeit  $i^*$

%Umfang

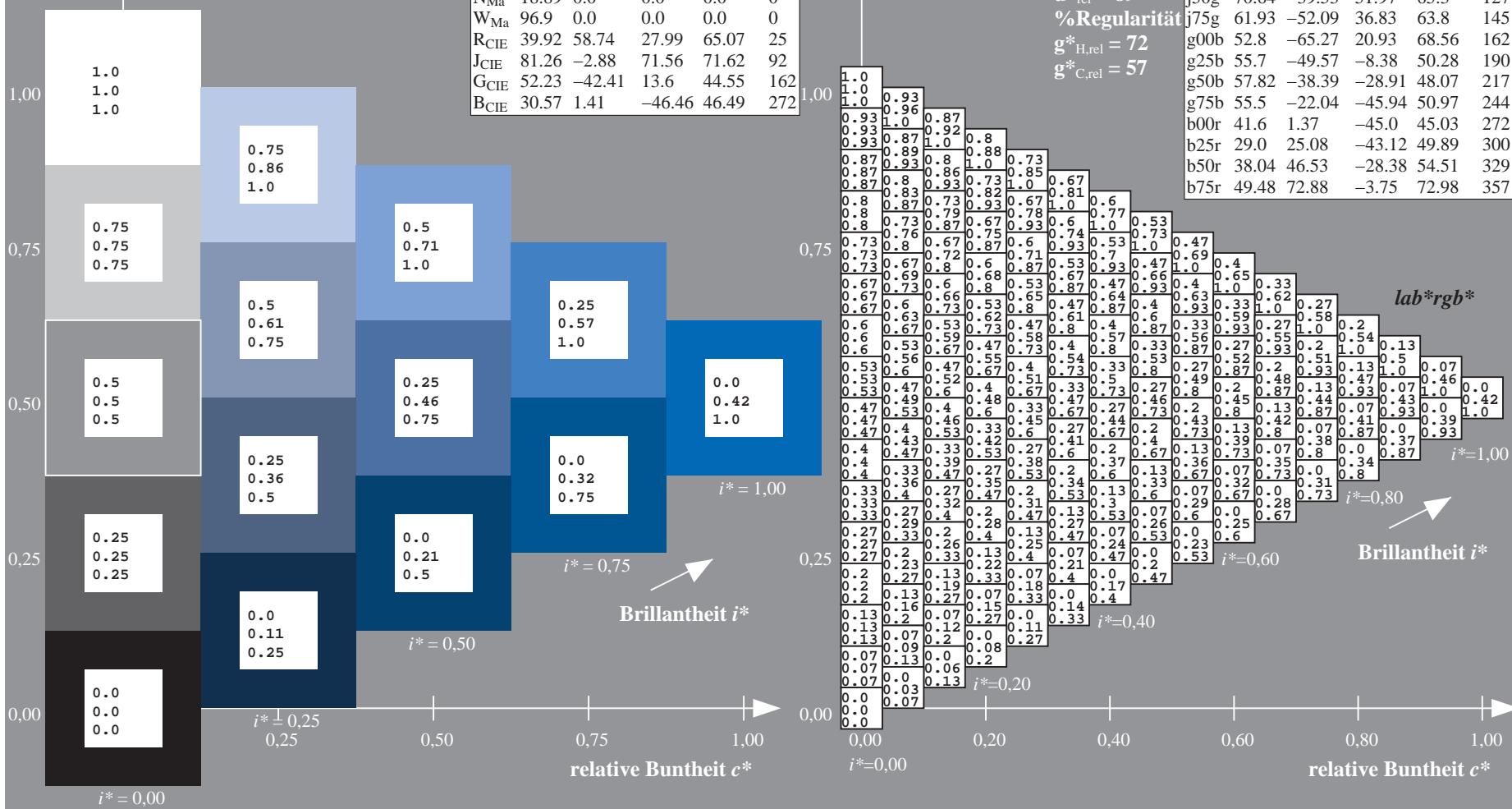
$u^*_{rel} = 89$

%Regularität

$g^*_{H,rel} = 72$

$g^*_{C,rel} = 57$

ORS19_96a; adaptierte CIELAB-Daten					
	$L^*=L^*_a$	$a^*_a$	$b^*_a$	$C^*_{ab,a}$	$h^*_{ab,a}$
r00j	48.88	66.47	31.67	73.63	25
r25j	55.85	52.39	47.48	70.7	42
r50j	65.45	35.22	58.37	68.17	59
r75j	75.19	17.82	69.41	71.66	76
j00g	87.03	-3.34	82.83	82.9	92
j25g	80.72	-25.0	69.5	73.86	110
j50g	70.64	-39.53	51.97	65.3	127
j75g	61.93	-52.09	36.83	63.8	145
g00b	52.8	-65.27	20.93	68.56	162
g25b	55.7	-49.57	-8.38	50.28	190
g50b	57.82	-38.39	-28.91	48.07	217
g75b	55.5	-22.04	-45.94	50.97	244
b00r	41.6	1.37	-45.0	45.03	272
b25r	29.0	25.08	-43.12	49.89	300
b50r	38.04	46.53	-28.38	54.51	329
b75r	49.48	72.88	-3.75	72.98	357





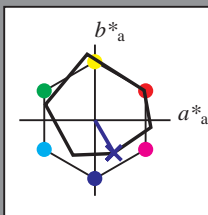
Ein und Ausgabe: Farbmetrisches Drucker-Reflektiv-System ORS19\_96a für relativen CIELAB-Buntton  $h^* = lab^*h^* = h_{ab}/360 = 300/360 = 0.834$   $u^* = b25r$   
 $lab^*rgb^*$

Daten für jede Farbe:  
 $lab^*ch^*$  und  $lab^*icu^*$

Elementar-Bunttonext:  
 $u^* = b25r$

Kontrastreduzierungsfaktor:  
 $c_R = 1.0$

Dreiecks-Helligkeit  $t^*$



ORS19_96a; adaptierte CIELAB-Daten					
	$L^*=L^*_a$	$a^*_a$	$b^*_a$	$C^*_{ab,a}$	$h^*_{ab,a}$
O <sub>Ma</sub>	48.75	65.07	39.43	76.08	31
Y <sub>Ma</sub>	90.92	-10.28	87.24	87.85	97
L <sub>Ma</sub>	52.69	-65.43	20.75	68.65	162
C <sub>Ma</sub>	59.61	-28.97	-46.21	54.56	238
V <sub>Ma</sub>	28.39	23.63	-44.12	50.06	298
M <sub>Ma</sub>	49.58	73.93	-9.55	74.55	353
N <sub>Ma</sub>	18.89	0.0	0.0	0.0	0
W <sub>Ma</sub>	96.9	0.0	0.0	0.0	0
R <sub>CIE</sub>	39.92	58.74	27.99	65.07	25
J <sub>CIE</sub>	81.26	-2.88	71.56	71.62	92
G <sub>CIE</sub>	52.23	-42.41	13.6	44.55	162
B <sub>CIE</sub>	30.57	1.41	-46.46	46.49	272

Daten für Maximalfarbe (Ma):

$LAB^*LAB^*_{Ma}$ : 29 25 -42

$LAB^*LCH^*_{Ma}$ : 29 50 300

$lab^*rgb^*_{Ma}$ : 0.5 0.0 1.0

$lab^*olv^*_{Ma}$ : 0.03 0.0 1.0

Dreiecks-Helligkeit  $t^*$

%Umfang

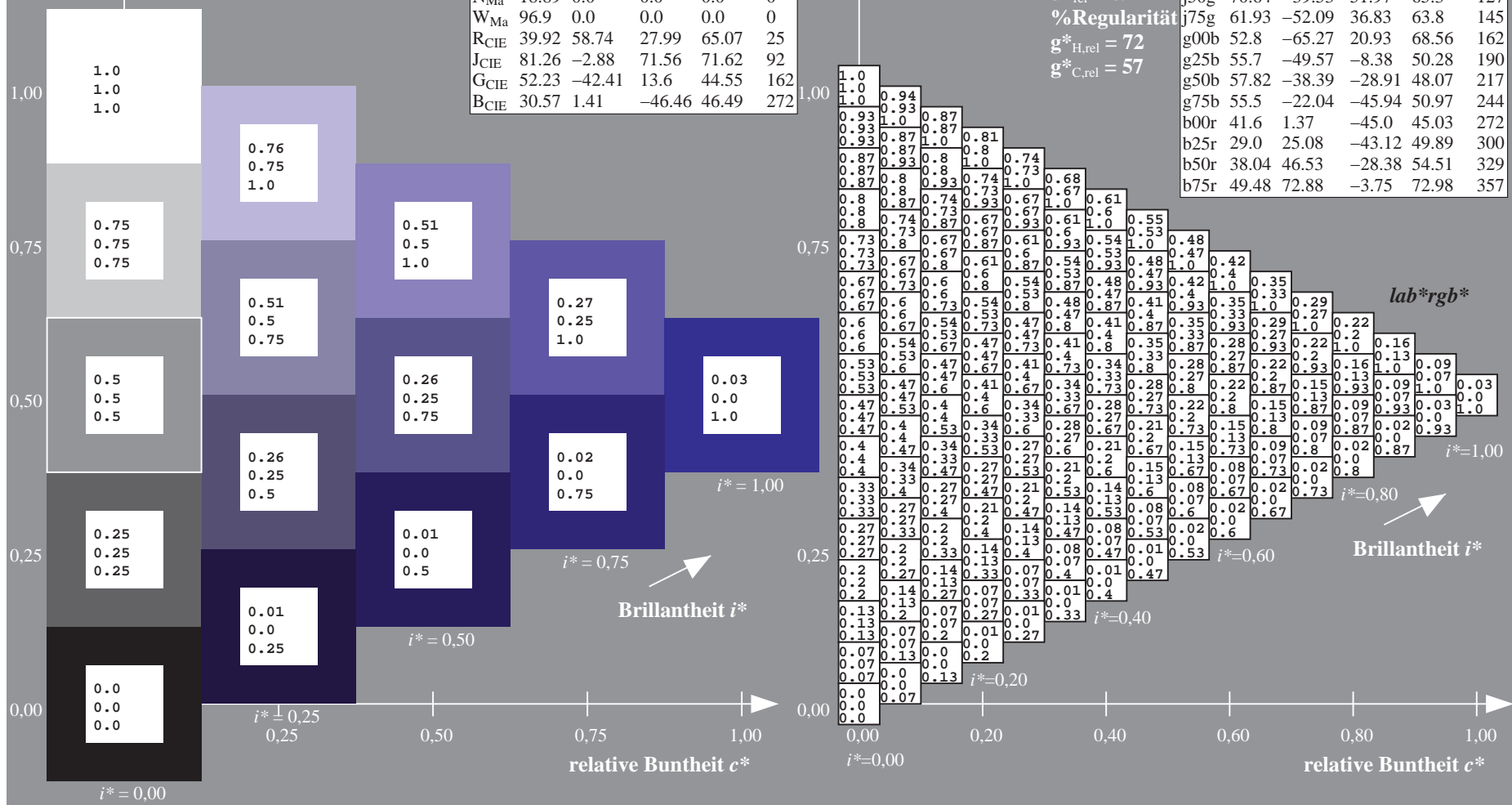
$u^*_{rel} = 89$

%Regularität

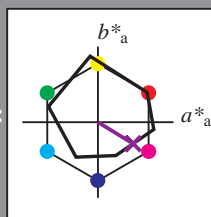
$g^*_{H,rel} = 72$

$g^*_{C,rel} = 57$

ORS19_96a; adaptierte CIELAB-Daten					
	$L^*=L^*_a$	$a^*_a$	$b^*_a$	$C^*_{ab,a}$	$h^*_{ab,a}$
r00j	48.88	66.47	31.67	73.63	25
r25j	55.85	52.39	47.48	70.7	42
r50j	65.45	35.22	58.37	68.17	59
r75j	75.19	17.82	69.41	71.66	76
j00g	87.03	-3.34	82.83	82.9	92
j25g	80.72	-25.0	69.5	73.86	110
j50g	70.64	-39.53	51.97	65.3	127
j75g	61.93	-52.09	36.83	63.8	145
g00b	52.8	-65.27	20.93	68.56	162
g25b	55.7	-49.57	-8.38	50.28	190
g50b	57.82	-38.39	-28.91	48.07	217
g75b	55.5	-22.04	-45.94	50.97	244
b00r	41.6	1.37	-45.0	45.03	272
b25r	29.0	25.08	-43.12	49.89	300
b50r	38.04	46.53	-28.38	54.51	329
b75r	49.48	72.88	-3.75	72.98	357



Ein und Ausgabe: Farbmetrisches Drucker-Reflektiv-System ORS19\_96a für relativen CIELAB-Buntton  $h^* = lab^*h^* = h_{ab}/360 = 329/360 = 0.913$   $u^* = b50r$   
Daten für jede Farbe:  $lab^*ch^*$  und  $lab^*icu^*$   
Elementar-Bunttontext:  $u^* = b50r$   
Kontrastreduzierungsfaktor:  $c_R = 1.0$   
Dreiecks-Helligkeit  $i^*$



ORS19_96a; adaptierte CIELAB-Daten					
	$L^*=L^*_a$	$a^*_a$	$b^*_a$	$C^*_{ab,a}$	$h^*_{ab,a}$
O <sub>Ma</sub>	48.75	65.07	39.43	76.08	31
Y <sub>Ma</sub>	90.92	-10.28	87.24	87.85	97
L <sub>Ma</sub>	52.69	-65.43	20.75	68.65	162
C <sub>Ma</sub>	59.61	-28.97	-46.21	54.56	238
V <sub>Ma</sub>	28.39	23.63	-44.12	50.06	298
M <sub>Ma</sub>	49.58	73.93	-9.55	74.55	353
N <sub>Ma</sub>	18.89	0.0	0.0	0.0	0
W <sub>Ma</sub>	96.9	0.0	0.0	0.0	0
R <sub>CIE</sub>	39.92	58.74	27.99	65.07	25
J <sub>CIE</sub>	81.26	-2.88	71.56	71.62	92
G <sub>CIE</sub>	52.23	-42.41	13.6	44.55	162
B <sub>CIE</sub>	30.57	1.41	-46.46	46.49	272

Daten für Maximalfarbe (Ma):

$LAB^*LAB^*_{Ma}$ : 38 47 -27

$LAB^*LCH^*_{Ma}$ : 38 55 329

$lab^*rgb^*_{Ma}$ : 1.0 0.0 1.0

$lab^*olv^*_{Ma}$ : 0.46 0.0 1.0

Dreiecks-Helligkeit  $i^*$

%Umfang

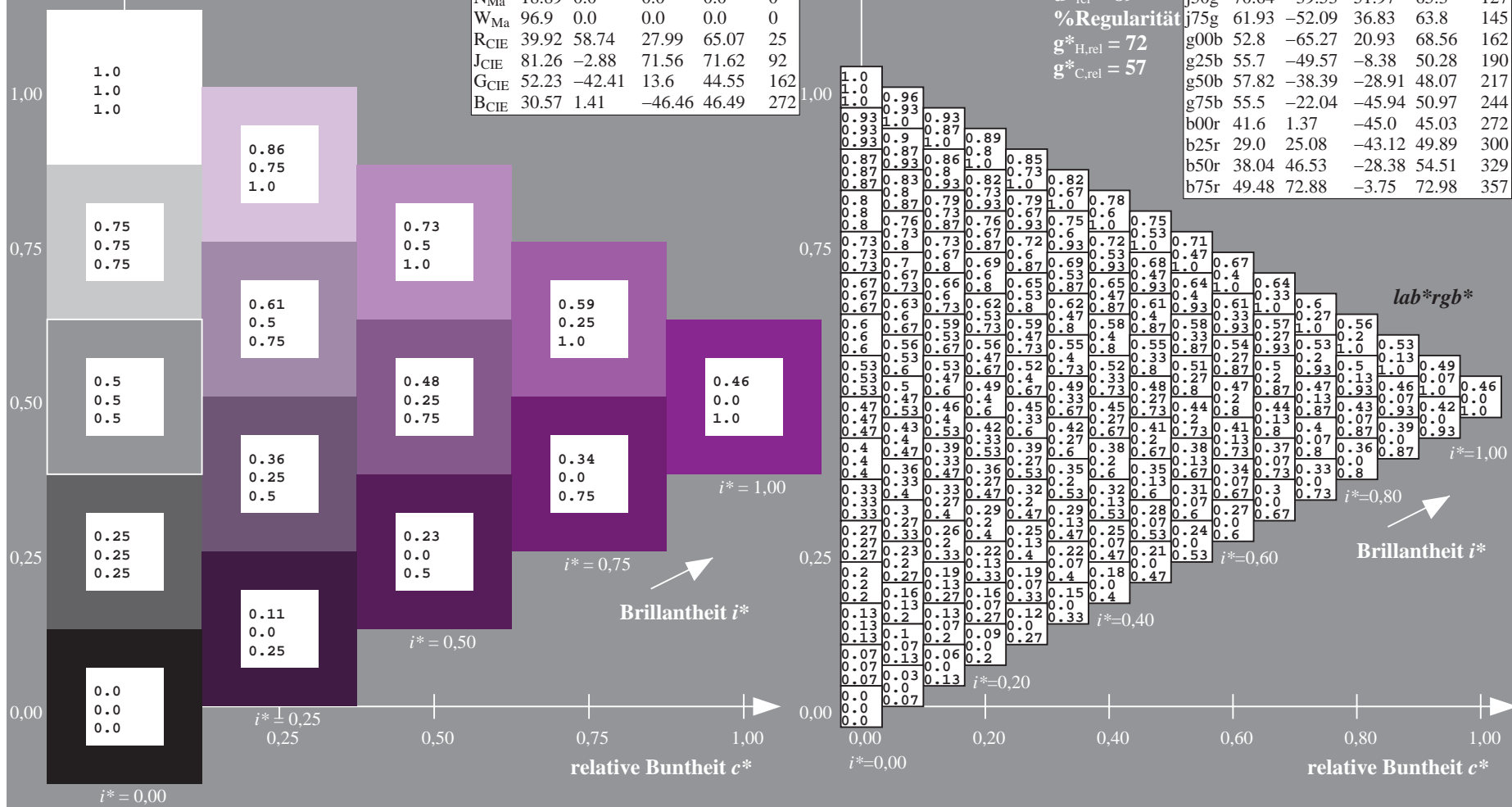
$u^*_{rel} = 89$

%Regularität

$g^*_{H,rel} = 72$

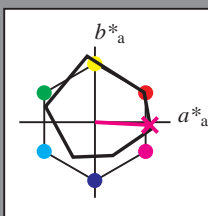
$g^*_{C,rel} = 57$

ORS19_96a; adaptierte CIELAB-Daten					
	$L^*=L^*_a$	$a^*_a$	$b^*_a$	$C^*_{ab,a}$	$h^*_{ab,a}$
r00j	48.88	66.47	31.67	73.63	25
r25j	55.85	52.39	47.48	70.7	42
r50j	65.45	35.22	58.37	68.17	59
r75j	75.19	17.82	69.41	71.66	76
j00g	87.03	-3.34	82.83	82.9	92
j25g	80.72	-25.0	69.5	73.86	110
j50g	70.64	-39.53	51.97	65.3	127
j75g	61.93	-52.09	36.83	63.8	145
g00b	52.8	-65.27	20.93	68.56	162
g25b	55.7	-49.57	-8.38	50.28	190
g50b	57.82	-38.39	-28.91	48.07	217
g75b	55.5	-22.04	-45.94	50.97	244
b00r	41.6	1.37	-45.0	45.03	272
b25r	29.0	25.08	-43.12	49.89	300
b50r	38.04	46.53	-28.38	54.51	329
b75r	49.48	72.88	-3.75	72.98	357





Ein und Ausgabe: Farbmetrisches Drucker-Reflektiv-System ORS19\_96a für relativen CIELAB-Buntton  $h^* = lab^*h^* = h_{ab}/360 = 357/360 = 0.992$   $u^* = b75r$   
Daten für jede Farbe:  
 $lab^*ch^*$  und  $lab^*icu^*$   
Elementar-Bunttontext:  
 $u^* = b75r$   
Kontrastreduzierungsfaktor:  
 $c_R = 1.0$   
Dreiecks-Helligkeit  $t^*$



ORS19_96a; adaptierte CIELAB-Daten					
	$L^*=L^*_a$	$a^*_a$	$b^*_a$	$C^*_{ab,a}$	$h^*_{ab,a}$
O <sub>Ma</sub>	48.75	65.07	39.43	76.08	31
Y <sub>Ma</sub>	90.92	-10.28	87.24	87.85	97
L <sub>Ma</sub>	52.69	-65.43	20.75	68.65	162
C <sub>Ma</sub>	59.61	-28.97	-46.21	54.56	238
V <sub>Ma</sub>	28.39	23.63	-44.12	50.06	298
M <sub>Ma</sub>	49.58	73.93	-9.55	74.55	353
N <sub>Ma</sub>	18.89	0.0	0.0	0.0	0
W <sub>Ma</sub>	96.9	0.0	0.0	0.0	0
R <sub>CIE</sub>	39.92	58.74	27.99	65.07	25
J <sub>CIE</sub>	81.26	-2.88	71.56	71.62	92
G <sub>CIE</sub>	52.23	-42.41	13.6	44.55	162
B <sub>CIE</sub>	30.57	1.41	-46.46	46.49	272

Daten für Maximalfarbe (Ma):

$LAB^*LAB^*_{Ma}$ : 49 73 -3

$LAB^*LCH^*_{Ma}$ : 49 73 357

$lab^*rgb^*_{Ma}$ : 1.0 0.0 0.5

$lab^*olv^*_{Ma}$ : 1.0 0.0 0.88

Dreiecks-Helligkeit  $t^*$

%Umfang

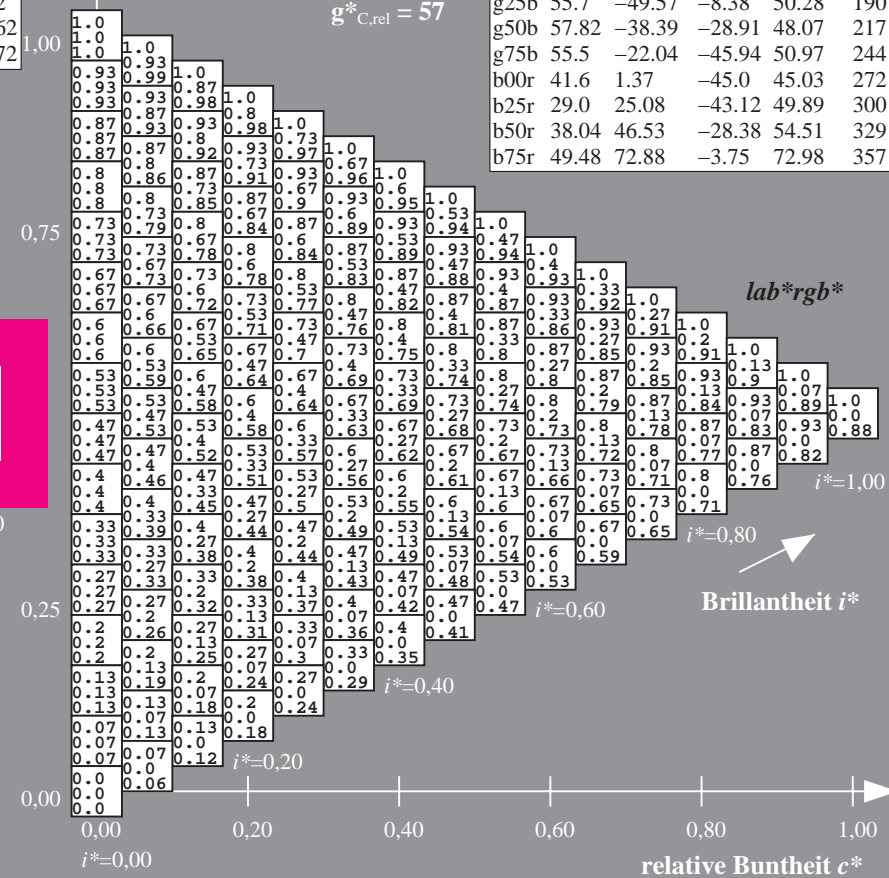
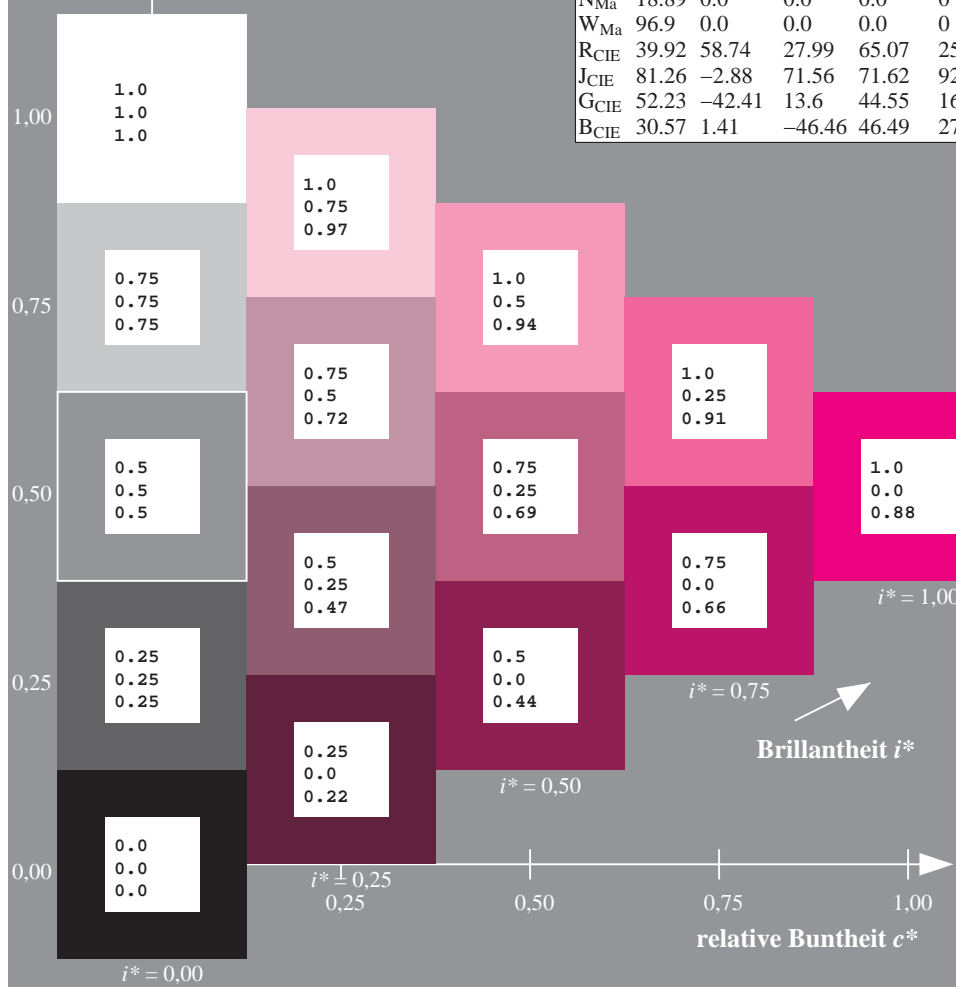
$u^*_{rel} = 89$

%Regularität

$g^*_{H,rel} = 72$

$g^*_{C,rel} = 57$

ORS19_96a; adaptierte CIELAB-Daten					
	$L^*=L^*_a$	$a^*_a$	$b^*_a$	$C^*_{ab,a}$	$h^*_{ab,a}$
r00j	48.88	66.47	31.67	73.63	25
r25j	55.85	52.39	47.48	70.7	42
r50j	65.45	35.22	58.37	68.17	59
r75j	75.19	17.82	69.41	71.66	76
j00g	87.03	-3.34	82.83	82.9	92
j25g	80.72	-25.0	69.5	73.86	110
j50g	70.64	-39.53	51.97	65.3	127
j75g	61.93	-52.09	36.83	63.8	145
g00b	52.8	-65.27	20.93	68.56	162
g25b	55.7	-49.57	-8.38	50.28	190
g50b	57.82	-38.39	-28.91	48.07	217
g75b	55.5	-22.04	-45.94	50.97	244
b00r	41.6	1.37	-45.0	45.03	272
b25r	29.0	25.08	-43.12	49.89	300
b50r	38.04	46.53	-28.38	54.51	329
b75r	49.48	72.88	-3.75	72.98	357



Siehe ähnliche Dateien: <http://www.ps.bam.de/Dg98/>; [www.ps.bam.de/Dg98/10L/L98G00NA.PS/.TXT](http://www.ps.bam.de/Dg98/10L/L98G00NA.PS/.TXT)  
Technische Information: <http://www.ps.bam.de/Version2.1,io=1.1,ColSpX=1>

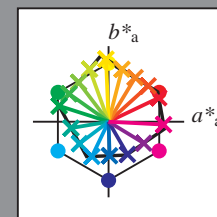
	A	B	C	D	E	F	G	H	I	J	K	L	M	N	O	P	Q	R	S	T	U	V	W	X	Y	Z	a	b	c	d	e	f	g	h	i	j	k	lab*rgb*					
01	0.0	0.0	0.0	0.0	0.0	0.0	0.0	0.0	0.0	0.0	0.13	0.13	0.13	0.13	0.13	0.13	0.13	0.13	0.25	0.25	0.25	0.25	0.25	0.25	0.25	0.25	0.25	1.0	1.0	1.0	1.0	1.0	1.0	1.0	1.0	1.0	1.0	1.0	0.0	0.0	0.0	0.0	
	0.0	0.13	0.25	0.38	0.5	0.63	0.75	0.88	1.0	0.0	0.13	0.25	0.38	0.5	0.63	0.75	0.88	1.0	0.0	0.13	0.25	0.38	0.5	0.63	0.75	0.88	1.0	0.0	0.88	0.75	0.63	0.5	0.38	0.25	0.13	0.0	0.0	0.0	0.0	0.0	0.0	0.0	
	0.0	0.0	0.0	0.0	0.0	0.0	0.0	0.0	0.0	0.0	0.0	0.0	0.0	0.0	0.0	0.0	0.0	0.0	0.0	0.0	0.0	0.0	0.0	0.0	0.0	0.0	1.0	0.88	0.75	0.63	0.5	0.38	0.25	0.13	0.0	0.0	0.0	0.0	0.0	0.0	0.0	0.0	0.0
02	0.0	0.0	0.0	0.0	0.0	0.0	0.0	0.0	0.0	0.0	0.13	0.13	0.13	0.13	0.13	0.13	0.13	0.13	0.25	0.25	0.25	0.25	0.25	0.25	0.25	0.25	0.25	0.88	0.88	0.88	0.88	0.88	0.88	0.88	0.88	0.88	0.88	0.13	0.13	0.13	0.13	0.13	
	0.0	0.13	0.25	0.38	0.5	0.63	0.75	0.88	1.0	0.0	0.13	0.25	0.38	0.5	0.63	0.75	0.88	1.0	0.0	0.13	0.25	0.38	0.5	0.63	0.75	0.88	1.0	1.0	0.88	0.75	0.63	0.5	0.38	0.25	0.13	0.0	0.13	0.13	0.13	0.13	0.13	0.13	
	0.13	0.13	0.13	0.13	0.13	0.13	0.13	0.13	0.13	0.13	0.13	0.13	0.13	0.13	0.13	0.13	0.13	0.13	0.13	0.13	0.13	0.13	0.13	0.13	0.13	0.13	1.0	0.88	0.75	0.63	0.5	0.38	0.25	0.13	0.0	0.13	0.13	0.13	0.13	0.13	0.13	0.13	
03	0.0	0.0	0.0	0.0	0.0	0.0	0.0	0.0	0.0	0.0	0.13	0.13	0.13	0.13	0.13	0.13	0.13	0.13	0.25	0.25	0.25	0.25	0.25	0.25	0.25	0.25	0.25	0.75	0.75	0.75	0.75	0.75	0.75	0.75	0.75	0.75	0.75	0.25	0.25	0.25	0.25	0.25	
	0.0	0.13	0.25	0.38	0.5	0.63	0.75	0.88	1.0	0.0	0.13	0.25	0.38	0.5	0.63	0.75	0.88	1.0	0.0	0.13	0.25	0.38	0.5	0.63	0.75	0.88	1.0	1.0	0.88	0.75	0.63	0.5	0.38	0.25	0.13	0.0	0.25	0.25	0.25	0.25	0.25		
	0.25	0.25	0.25	0.25	0.25	0.25	0.25	0.25	0.25	0.25	0.25	0.25	0.25	0.25	0.25	0.25	0.25	0.25	0.25	0.25	0.25	0.25	0.25	0.25	0.25	0.25	1.0	0.88	0.75	0.63	0.5	0.38	0.25	0.13	0.0	0.25	0.25	0.25	0.25	0.25	0.25		
04	0.0	0.0	0.0	0.0	0.0	0.0	0.0	0.0	0.0	0.0	0.13	0.13	0.13	0.13	0.13	0.13	0.13	0.13	0.25	0.25	0.25	0.25	0.25	0.25	0.25	0.25	0.25	0.63	0.63	0.63	0.63	0.63	0.63	0.63	0.63	0.63	0.63	0.38	0.38	0.38	0.38	0.38	
	0.0	0.13	0.25	0.38	0.5	0.63	0.75	0.88	1.0	0.0	0.13	0.25	0.38	0.5	0.63	0.75	0.88	1.0	0.0	0.13	0.25	0.38	0.5	0.63	0.75	0.88	1.0	1.0	0.88	0.75	0.63	0.5	0.38	0.25	0.13	0.0	0.38	0.38	0.38	0.38	0.38	0.38	
	0.38	0.38	0.38	0.38	0.38	0.38	0.38	0.38	0.38	0.38	0.38	0.38	0.38	0.38	0.38	0.38	0.38	0.38	0.38	0.38	0.38	0.38	0.38	0.38	0.38	0.38	1.0	0.88	0.75	0.63	0.5	0.38	0.25	0.13	0.0	0.38	0.38	0.38	0.38	0.38	0.38	0.38	
05	0.0	0.0	0.0	0.0	0.0	0.0	0.0	0.0	0.0	0.0	0.13	0.13	0.13	0.13	0.13	0.13	0.13	0.13	0.25	0.25	0.25	0.25	0.25	0.25	0.25	0.25	0.25	0.5	0.5	0.5	0.5	0.5	0.5	0.5	0.5	0.5	0.5	0.5	0.5	0.5	0.5	0.5	
	0.0	0.13	0.25	0.38	0.5	0.63	0.75	0.88	1.0	0.0	0.13	0.25	0.38	0.5	0.63	0.75	0.88	1.0	0.0	0.13	0.25	0.38	0.5	0.63	0.75	0.88	1.0	1.0	0.88	0.75	0.63	0.5	0.38	0.25	0.13	0.0	0.5	0.5	0.5	0.5	0.5	0.5	
	0.5	0.5	0.5	0.5	0.5	0.5	0.5	0.5	0.5	0.5	0.5	0.5	0.5	0.5	0.5	0.5	0.5	0.5	0.5	0.5	0.5	0.5	0.5	0.5	0.5	0.5	1.0	0.88	0.75	0.63	0.5	0.38	0.25	0.13	0.0	0.5	0.5	0.5	0.5	0.5	0.5		
06	0.0	0.0	0.0	0.0	0.0	0.0	0.0	0.0	0.0	0.0	0.13	0.13	0.13	0.13	0.13	0.13	0.13	0.13	0.25	0.25	0.25	0.25	0.25	0.25	0.25	0.25	0.25	0.38	0.38	0.38	0.38	0.38	0.38	0.38	0.38	0.38	0.38	0.63	0.63	0.63	0.63	0.63	
	0.0	0.13	0.25	0.38	0.5	0.63	0.75	0.88	1.0	0.0	0.13	0.25	0.38	0.5	0.63	0.75	0.88	1.0	0.0	0.13	0.25	0.38	0.5	0.63	0.75	0.88	1.0	1.0	0.88	0.75	0.63	0.5	0.38	0.25	0.13	0.0	0.63	0.63	0.63	0.63	0.63	0.63	
	0.63	0.63	0.63	0.63	0.63	0.63	0.63	0.63	0.63	0.63	0.63	0.63	0.63	0.63	0.63	0.63	0.63	0.63	0.63	0.63	0.63	0.63	0.63	0.63	0.63	0.63	1.0	0.88	0.75	0.63	0.5	0.38	0.25	0.13	0.0	0.63	0.63	0.63	0.63	0.63	0.63		
07	0.0	0.0	0.0	0.0	0.0	0.0	0.0	0.0	0.0	0.0	0.13	0.13	0.13	0.13	0.13	0.13	0.13	0.13	0.25	0.25	0.25	0.25	0.25	0.25	0.25	0.25	0.25	0.25	0.25	0.25	0.25	0.25	0.25	0.25	0.25	0.25	0.25	0.75	0.75	0.75	0.75	0.75	
	0.0	0.13	0.25	0.38	0.5	0.63	0.75	0.88	1.0	0.0	0.13	0.25	0.38	0.5	0.63	0.75	0.88	1.0	0.0	0.13	0.25	0.38	0.5	0.63	0.75	0.88	1.0	1.0	0.88	0.75	0.63	0.5	0.38	0.25	0.13	0.0	0.75	0.75	0.75	0.75	0.75	0.75	
	0.75	0.75	0.75	0.75	0.75	0.75	0.75	0.75	0.75	0.75	0.75	0.75	0.75	0.75	0.75	0.75	0.75	0.75	0.75	0.75	0.75	0.75	0.75	0.75	0.75	0.75	1.0	0.88	0.75	0.63	0.5	0.38	0.25	0.13	0.0	0.75	0.75	0.75	0.75	0.75	0.75		
08	0.0	0.0	0.0	0.0	0.0	0.0	0.0	0.0	0.0	0.0	0.13	0.13	0.13	0.13	0.13	0.13	0.13	0.13	0.25	0.25	0.25	0.25	0.25	0.25	0.25	0.25	0.25	0.13	0.13	0.13	0.13	0.13	0.13	0.13	0.13	0.13	0.88	0.88	0.88	0.88	0.88		
	0.0	0.13	0.25	0.38	0.5	0.63	0.75	0.88	1.0	0.0	0.13	0.25	0.38	0.5	0.63	0.75	0.88	1.0	0.0	0.13	0.25	0.38	0.5	0.63	0.75	0.88	1.0	1.0	0.88	0.75	0.63	0.5	0.38	0.25	0.13	0.0	0.88	0.88	0.88	0.88	0.88	0.88	
	0.88	0.88	0.88	0.88	0.88	0.88	0.88	0.88	0.88	0.88	0.88	0.88	0.88	0.88	0.88	0.88	0.88	0.88	0.88	0.88	0.88	0.88	0.88	0.88	0.88	0.88	1.0	0.88	0.75	0.63	0.5	0.38	0.25	0.13	0.0	0.88	0.88	0.88	0.88	0.88	0.88		
09	0.0	0.0	0.0	0.0	0.0	0.0	0.0	0.0	0.0	0.0	0.13	0.13	0.13	0.13	0.13	0.13	0.13	0.13	0.25	0.25	0.25	0.25	0.25	0.25	0.25	0.25	0.25	0.0	0.0	0.0	0.0	0.0	0.0	0.0	0.0	0.0	0.0	1.0	1.0	1.0	1.0	1.0	
	0.0	0.13	0.25	0.38	0.5	0.63	0.75	0.88	1.0	0.0	0.13	0.25	0.38	0.5	0.63	0.75	0.88	1.0	0.0	0.13	0.25	0.38	0.5	0.63	0.75	0.88	1.0	1.0	0.88	0.75	0.63	0.5	0.38	0.25	0.13	0.0	1.0	1.0	1.0	1.0	1.0	1.0	
	1.0	1.0	1.0	1.0	1.0	1.0	1.0	1.0	1.0	1.0	1.0	1.0	1.0	1.0	1.0	1.0	1.0	1.0	1.0	1.0	1.0	1.0	1.0	1.0	1.0	1.0	1.0	1.0	0.88	0.75	0.63	0.5	0.38	0.25	0.13	0.0	1.0	1.0	1.0	1.0	1.0		
10	0.38	0.38	0.38	0.38	0.38	0.38	0.38	0.38	0.38	0.38	0.5	0.5	0.5	0.5	0.5	0.5	0.5	0.5	0.63	0.63	0.63	0.63	0.63	0.63	0.63	0.63	0.63	0.63	1.0	1.0	1.0	1.0	1.0	1.0	1.0	1.0	1.0	1.0	0.0	0.0	0.0	0.0	0.0
	0.0	0.13	0.25	0.38	0.5	0.63	0.75	0.88	1.0	0.0	0.13	0.25	0.38	0.5	0.63	0.75	0.88	1.0	0.0	0.13	0.25	0.38	0.5	0.63	0.75	0.88	1.0	1.0	1.0	1.0	1.0	1.0	1.0	1.0	1.0	1.0	1.0	1.0	0.0	0.0	0.0	0.0	0.0
	0.0	0.0	0.0	0.0	0.0	0.0	0.0	0.0	0.0	0.0	0.0	0.0	0.0	0.0	0.0	0.0	0.0	0.0	0.0	0.0	0.0	0.0	0.0	0.0	0.0	0.0	1.0	0.88	0.75	0.63	0.5	0.38	0.25	0.13	0.0	0.0	0.0	0.0	0.0	0.0	0.0		
11	0.38	0.38	0.38	0.38	0.38	0.38	0.38	0.38	0.38	0.38	0.5	0.5	0.5	0.5	0.5	0.5	0.5	0.5	0.63	0.63	0.63	0.63	0.63	0.63	0.63	0.63	0.63	0.88	0.88	0.88	0.88	0.88	0.88	0.88	0.88	0.88	0.88	0.07	0.07	0.07	0.07	0.07	
	0.13	0.13	0.25	0.38	0.5	0.63	0.75	0.88	1.0	0.13	0.13	0.25	0.38	0.5	0.63																												

BAM-Registrierung: 20080701-Dg98/10L/L98G00NA.PS/.TXT  
Anwendung für Beurteilung und Messung von Drucker- oder Monitorsystemen

BAM-Material: Code=th4ta

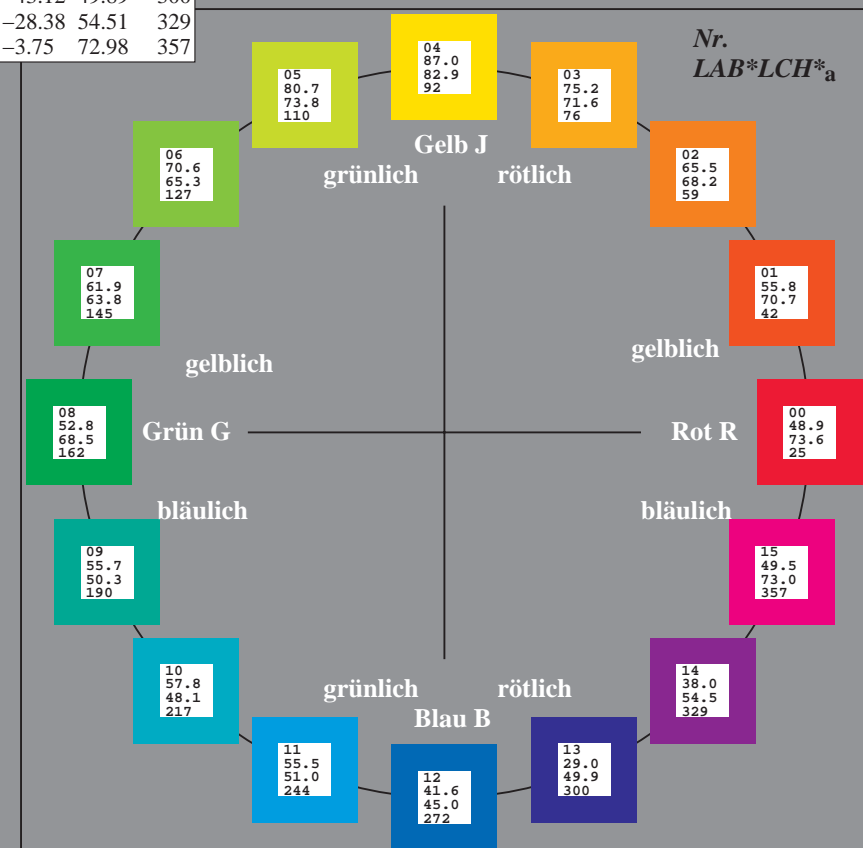
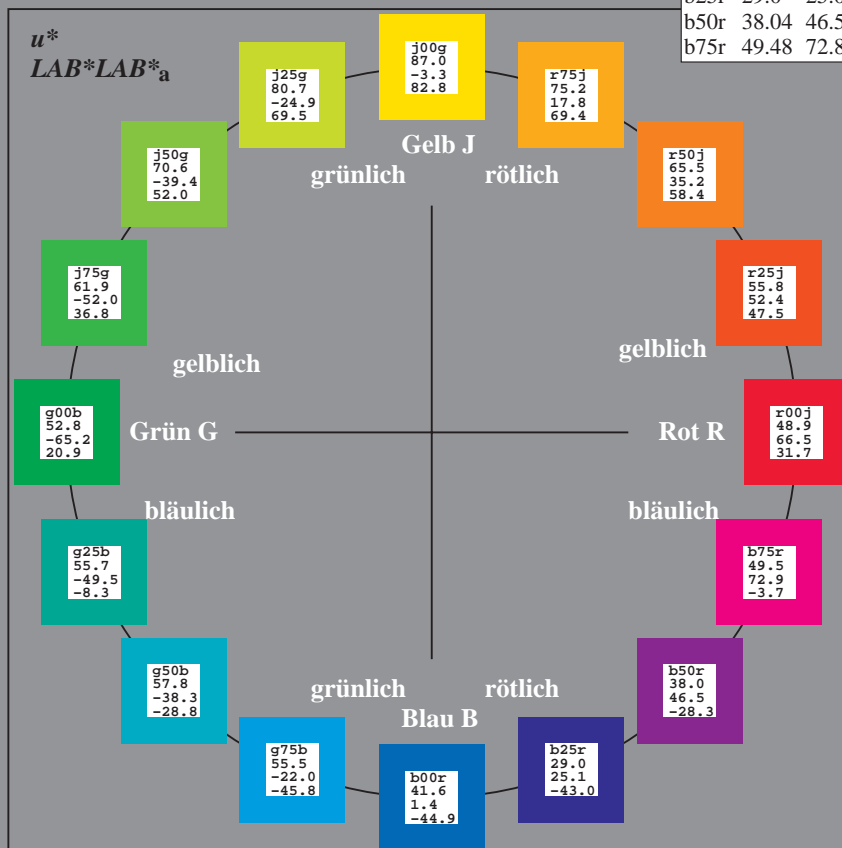
Ein und Ausgabe:  
Farbmetrisches Drucker-Reflektiv-System ORS19\_96a  
Daten für jede Farbe:  
*lab\*<sub>tch</sub>*\* und *lab\*<sub>icu</sub>*\*  
Elementar-Bunttontext:  
*u\** = 16 Buntttöne *r00j*, *r25j*, ..., *b75r*  
Kontrastreduzierungsfaktor:  
*c<sub>R</sub>* = 1.0

ORS19_96a; adaptierte CIELAB-Daten					
	<i>L*</i> <sub>a</sub>	<i>a*</i> <sub>a</sub>	<i>b*</i> <sub>a</sub>	<i>C*</i> <sub>ab,a</sub>	<i>h*</i> <sub>ab,a</sub>
r00j	48.88	66.47	31.67	73.63	25
r25j	55.85	52.39	47.48	70.7	42
r50j	65.45	35.22	58.37	68.17	59
r75j	75.19	17.82	69.41	71.66	76
j00g	87.03	-3.34	82.83	82.9	92
j25g	80.72	-25.0	69.5	73.86	110
j50g	70.64	-39.53	51.97	65.3	127
j75g	61.93	-52.09	36.83	63.8	145
g00b	52.8	-65.27	20.93	68.56	162
g25b	55.7	-49.57	-8.38	50.28	190
g50b	57.82	-38.39	-28.91	48.07	217
g75b	55.5	-22.04	-45.94	50.97	244
b00r	41.6	1.37	-45.0	45.03	272
b25r	29.0	25.08	-43.12	49.89	300
b50r	38.04	46.53	-28.38	54.51	329
b75r	49.48	72.88	-3.75	72.98	357



%Umfang  
*u\**<sub>rel</sub> = 89  
%Regularität  
*g\**<sub>H,rel</sub> = 72  
*g\**<sub>C,rel</sub> = 57

ORS19_96a; adaptierte CIELAB-Daten					
	<i>L*</i> <sub>a</sub>	<i>a*</i> <sub>a</sub>	<i>b*</i> <sub>a</sub>	<i>C*</i> <sub>ab,a</sub>	<i>h*</i> <sub>ab,a</sub>
OMa	48.75	65.07	39.43	76.08	31
YMa	90.92	-10.28	87.24	87.85	97
LMa	52.69	-65.43	20.75	68.65	162
CMa	59.61	-28.97	-46.21	54.56	238
VMa	28.39	23.63	-44.12	50.06	298
MMa	49.58	73.93	-9.55	74.55	353
NMa	18.89	0.0	0.0	0.0	0
WMa	96.9	0.0	0.0	0.0	0
RCIE	39.92	58.74	27.99	65.07	25
JCIE	81.26	-2.88	71.56	71.62	92
GCIE	52.23	-42.41	13.6	44.55	162
BCIE	30.57	1.41	-46.46	46.49	272



Ein und Ausgabe: Farbmetrisches Drucker-Reflektiv-System ORS19\_96a für relativen CIELAB-Buntton  $h^* = lab^*h^* = h_{ab}/360 = 25/360 = 0.071$   $u^* = r00j$

Daten für jede Farbe:

$lab^*tch^*$  und  $lab^*icu^*$

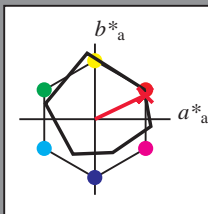
Elementar-Bunttontext:

$u^* = r00j$

Kontrastreduzierungsfaktor:

$c_R = 1.0$

Dreiecks-Helligkeit  $i^*$



ORS19\_96a; adaptierte CIELAB-Daten

	$L^* = L^*_a$	$a^*_a$	$b^*_a$	$C^*_{ab,a}$	$h^*_{ab,a}$
O <sub>Ma</sub>	48.75	65.07	39.43	76.08	31
Y <sub>Ma</sub>	90.92	-10.28	87.24	87.85	97
L <sub>Ma</sub>	52.69	-65.43	20.75	68.65	162
C <sub>Ma</sub>	59.61	-28.97	-46.21	54.56	238
V <sub>Ma</sub>	28.39	23.63	-44.12	50.06	298
M <sub>Ma</sub>	49.58	73.93	-9.55	74.55	353
N <sub>Ma</sub>	18.89	0.0	0.0	0.0	0
W <sub>Ma</sub>	96.9	0.0	0.0	0.0	0
R <sub>CIE</sub>	39.92	58.74	27.99	65.07	25
J <sub>CIE</sub>	81.26	-2.88	71.56	71.62	92
G <sub>CIE</sub>	52.23	-42.41	13.6	44.55	162
B <sub>CIE</sub>	30.57	1.41	-46.46	46.49	272

Daten für Maximalfarbe (Ma):

$LAB^*LAB^*_{Ma}$ : 49 66 32

$LAB^*LCH^*_{Ma}$ : 49 74 25

$lab^*rgb^*_{Ma}$ : 1.0 0.0 0.0

$lab^*olv^*_{Ma}$ : 1.0 0.0 0.16

Dreiecks-Helligkeit  $i^*$

%Umfang

$u^*_{rel} = 89$

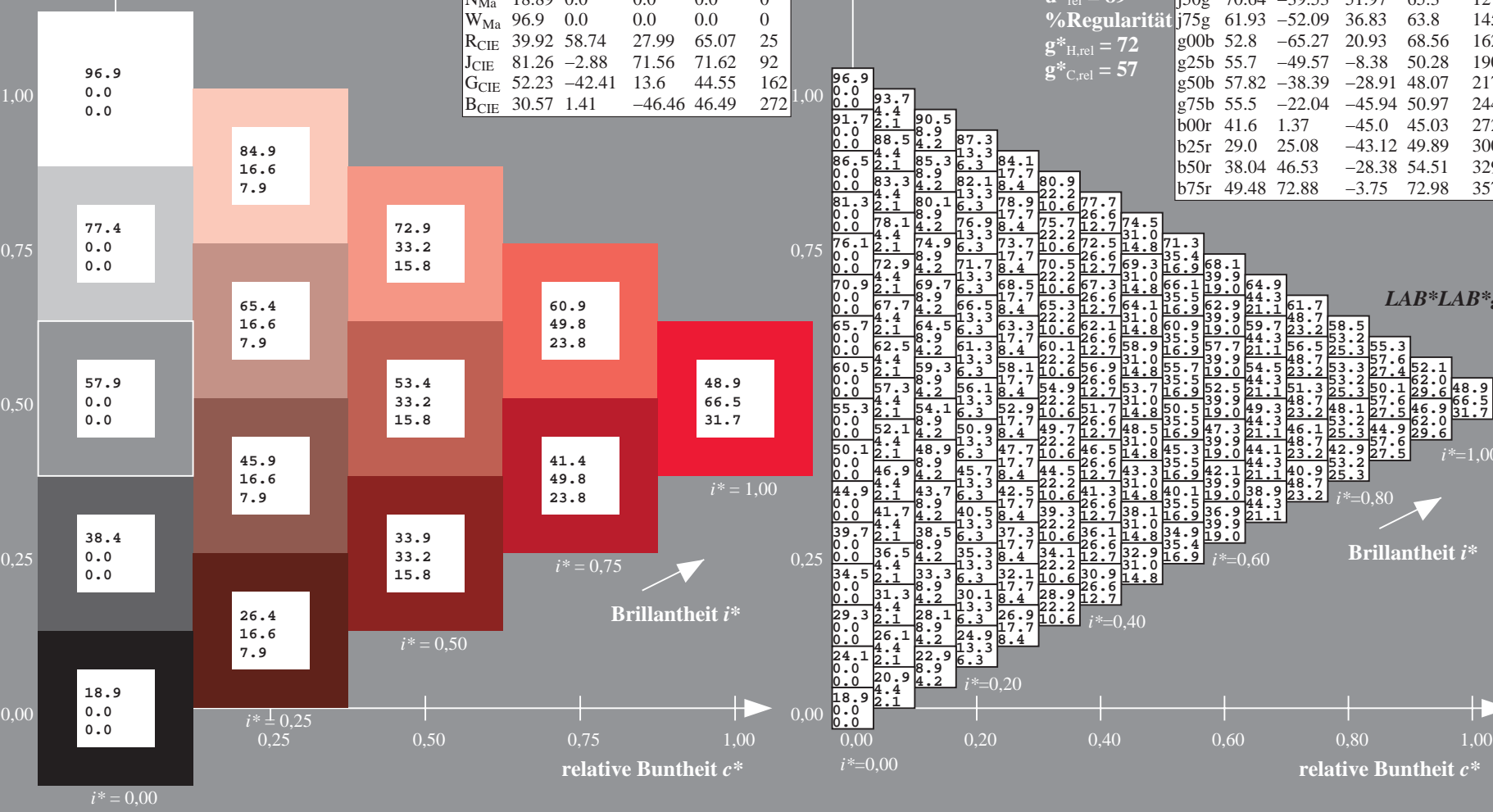
%Regularität

$g^*_{H,rel} = 72$

$g^*_{C,rel} = 57$

ORS19\_96a; adaptierte CIELAB-Daten

	$L^* = L^*_a$	$a^*_a$	$b^*_a$	$C^*_{ab,a}$	$h^*_{ab,a}$
r00j	48.88	66.47	31.67	73.63	25
r25j	55.85	52.39	47.48	70.7	42
r50j	65.45	35.22	58.37	68.17	59
r75j	75.19	17.82	69.41	71.66	76
j00g	87.03	-3.34	82.83	82.9	92
j25g	80.72	-25.0	69.5	73.86	110
j50g	70.64	-39.53	51.97	65.3	127
j75g	61.93	-52.09	36.83	63.8	145
g00b	52.8	-65.27	20.93	68.56	162
g25b	55.7	-49.57	-8.38	50.28	190
g50b	57.82	-38.39	-28.91	48.07	217
g75b	55.5	-22.04	-45.94	50.97	244
b00r	41.6	1.37	-45.0	45.03	272
b25r	29.0	25.08	-43.12	49.89	300
b50r	38.04	46.53	-28.38	54.51	329
b75r	49.48	72.88	-3.75	72.98	357





Ein und Ausgabe: Farbmetrisches Drucker-Reflektiv-System ORS19\_96a für relativen CIELAB-Buntton  $h^* = lab^*h^* = h_{ab}/360 = 42/360 = 0.117$   $u^* = r25j$

Daten für jede Farbe:

$lab^*tch^*$  und  $lab^*icu^*$

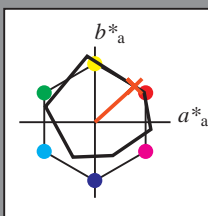
Elementar-Bunttontext:

$u^* = r25j$

Kontrastreduzierungsfaktor:

$c_R = 1.0$

Dreiecks-Helligkeit  $i^*$



ORS19_96a; adaptierte CIELAB-Daten					
	$L^*=L_a^*$	$a_a^*$	$b_a^*$	$C^*_{ab,a}$	$h^*_{ab,a}$
O <sub>Ma</sub>	48.75	65.07	39.43	76.08	31
Y <sub>Ma</sub>	90.92	-10.28	87.24	87.85	97
L <sub>Ma</sub>	52.69	-65.43	20.75	68.65	162
C <sub>Ma</sub>	59.61	-28.97	-46.21	54.56	238
V <sub>Ma</sub>	28.39	23.63	-44.12	50.06	298
M <sub>Ma</sub>	49.58	73.93	-9.55	74.55	353
N <sub>Ma</sub>	18.89	0.0	0.0	0.0	0
W <sub>Ma</sub>	96.9	0.0	0.0	0.0	0
R <sub>CIE</sub>	39.92	58.74	27.99	65.07	25
J <sub>CIE</sub>	81.26	-2.88	71.56	71.62	92
G <sub>CIE</sub>	52.23	-42.41	13.6	44.55	162
B <sub>CIE</sub>	30.57	1.41	-46.46	46.49	272

Daten für Maximalfarbe (Ma):

$LAB^*LAB^*_{Ma}$ : 56 52 47

$LAB^*LCH^*_{Ma}$ : 56 71 42

$lab^*rgb^*_{Ma}$ : 1.0 0.25 0.0

$lab^*olv^*_{Ma}$ : 1.0 0.17 0.0

Dreiecks-Helligkeit  $i^*$

%Umfang

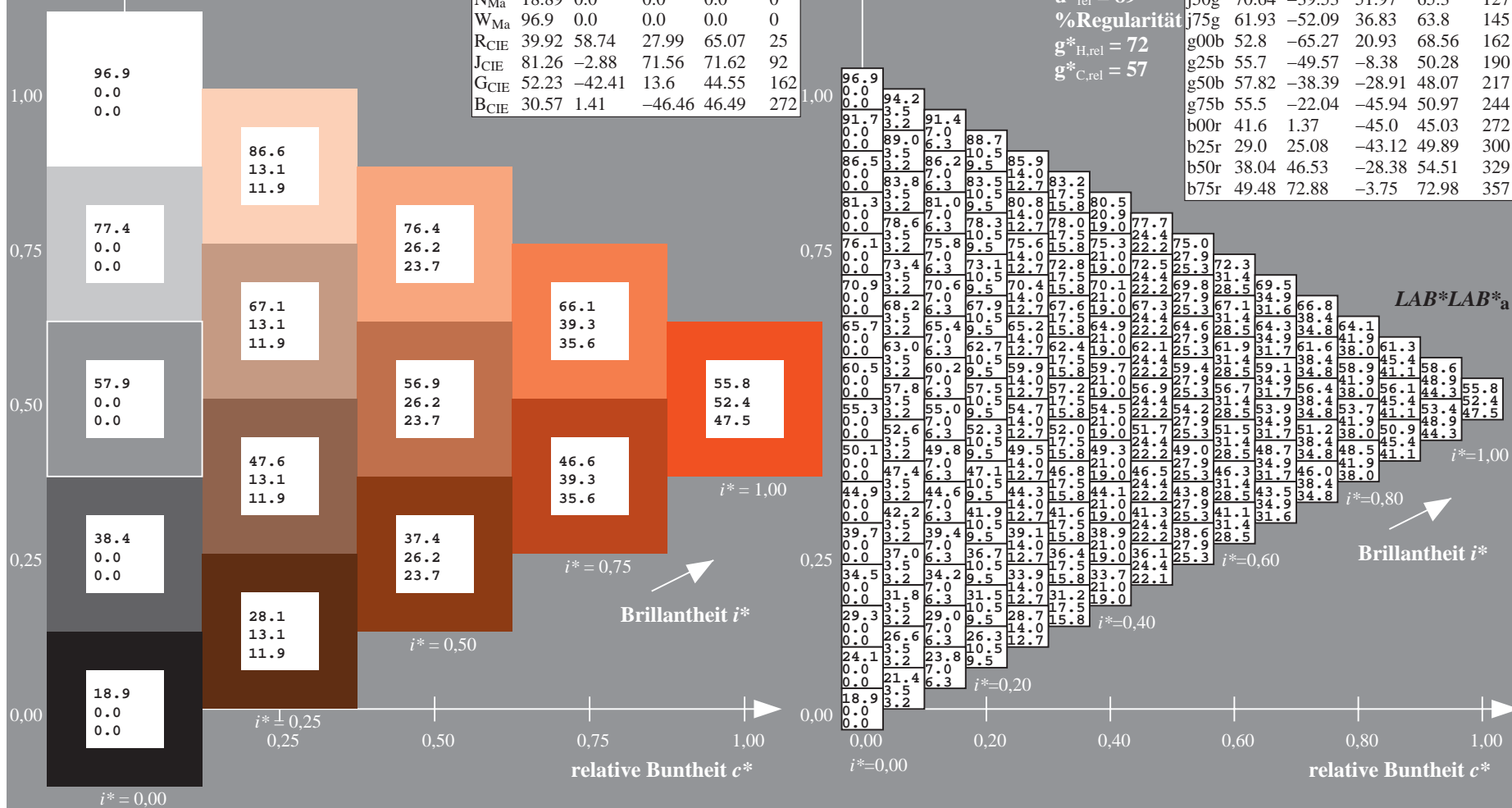
$u^*_{rel} = 89$

%Regularität

$g^*_{H,rel} = 72$

$g^*_{C,rel} = 57$

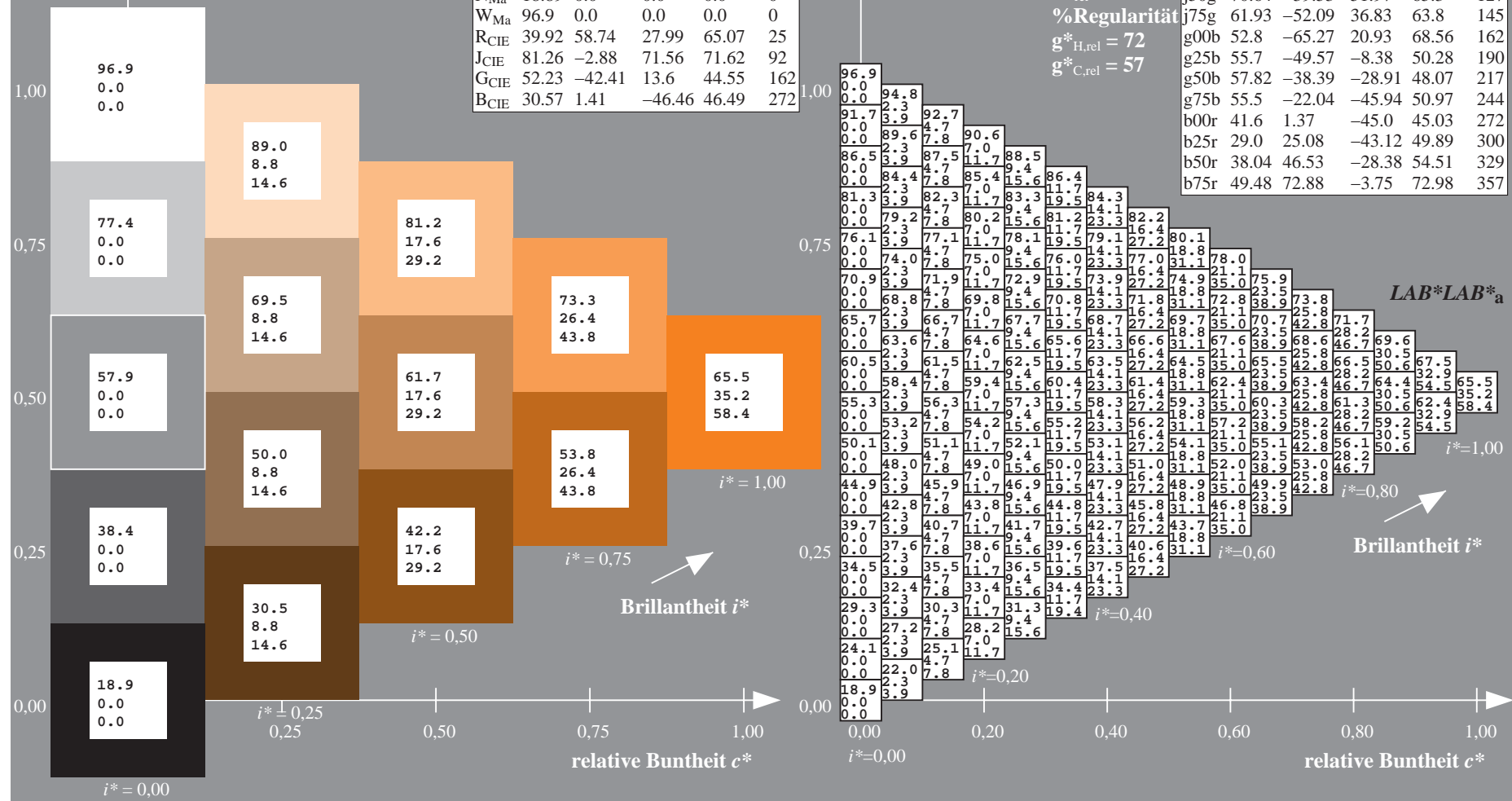
ORS19_96a; adaptierte CIELAB-Daten					
	$L^*=L_a^*$	$a_a^*$	$b_a^*$	$C^*_{ab,a}$	$h^*_{ab,a}$
r00j	48.88	66.47	31.67	73.63	25
r25j	55.85	52.39	47.48	70.7	42
r50j	65.45	35.22	58.37	68.17	59
r75j	75.19	17.82	69.41	71.66	76
j00g	87.03	-3.34	82.83	82.9	92
j25g	80.72	-25.0	69.5	73.86	110
j50g	70.64	-39.53	51.97	65.3	127
j75g	61.93	-52.09	36.83	63.8	145
g00b	52.8	-65.27	20.93	68.56	162
g25b	55.7	-49.57	-8.38	50.28	190
g50b	57.82	-38.39	-28.91	48.07	217
g75b	55.5	-22.04	-45.94	50.97	244
b00r	41.6	1.37	-45.0	45.03	272
b25r	29.0	25.08	-43.12	49.89	300
b50r	38.04	46.53	-28.38	54.51	329
b75r	49.48	72.88	-3.75	72.98	357



### Dreiecks-Helligkeit $t^*$



r00j	48.88	66.47	31.67	73.63	25
r25j	55.85	52.39	47.48	70.7	42
r50j	65.45	35.22	58.37	68.17	59
r75j	75.19	17.82	69.41	71.66	76
j00g	87.03	-3.34	82.83	82.9	92
j25g	80.72	-25.0	69.5	73.86	110
j50g	70.64	-39.53	51.97	65.3	127
j75g	61.93	-52.09	36.83	63.8	145
g00b	52.8	-65.27	20.93	68.56	162
g25b	55.7	-49.57	-8.38	50.28	190
g50b	57.82	-38.39	-28.91	48.07	217
g75b	55.5	-22.04	-45.94	50.97	244
b00r	41.6	1.37	-45.0	45.03	272
b25r	29.0	25.08	-43.12	49.89	300
b50r	38.04	46.53	-28.38	54.51	329
b75r	49.48	72.88	-3.75	72.98	357





Ein und Ausgabe: Farbmetrisches Drucker-Reflektiv-System ORS19\_96a für relativen CIELAB-Buntton  $h^* = lab^*h^* = h_{ab}/360 = 76/360 = 0.21$

Daten für jede Farbe:

$lab^*ch^*$  und  $lab^*icu^*$

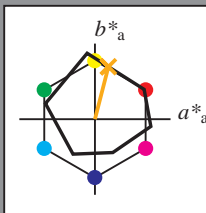
Elementar-Bunttontext:

$u^* = r75j$

Kontrastreduzierungsfaktor:

$c_R = 1.0$

Dreiecks-Helligkeit  $i^*$



ORS19\_96a; adaptierte CIELAB-Daten

	$L^*=L_a^*$	$a_a^*$	$b_a^*$	$C^*_{ab,a}$	$h^*_{ab,a}$
O <sub>Ma</sub>	48.75	65.07	39.43	76.08	31
Y <sub>Ma</sub>	90.92	-10.28	87.24	87.85	97
L <sub>Ma</sub>	52.69	-65.43	20.75	68.65	162
C <sub>Ma</sub>	59.61	-28.97	-46.21	54.56	238
V <sub>Ma</sub>	28.39	23.63	-44.12	50.06	298
M <sub>Ma</sub>	49.58	73.93	-9.55	74.55	353
N <sub>Ma</sub>	18.89	0.0	0.0	0.0	0
W <sub>Ma</sub>	96.9	0.0	0.0	0.0	0
R <sub>CIE</sub>	39.92	58.74	27.99	65.07	25
J <sub>CIE</sub>	81.26	-2.88	71.56	71.62	92
G <sub>CIE</sub>	52.23	-42.41	13.6	44.55	162
B <sub>CIE</sub>	30.57	1.41	-46.46	46.49	272

Daten für Maximalfarbe (Ma):

$LAB^*LAB^*_{Ma}$ : 75 18 69

$LAB^*LCH^*_{Ma}$ : 75 72 76

$lab^*rgb^*_{Ma}$ : 1.0 0.75 0.0

$lab^*olv^*_{Ma}$ : 1.0 0.63 0.0

Dreiecks-Helligkeit  $i^*$

%Umfang

$u^*_{rel} = 89$

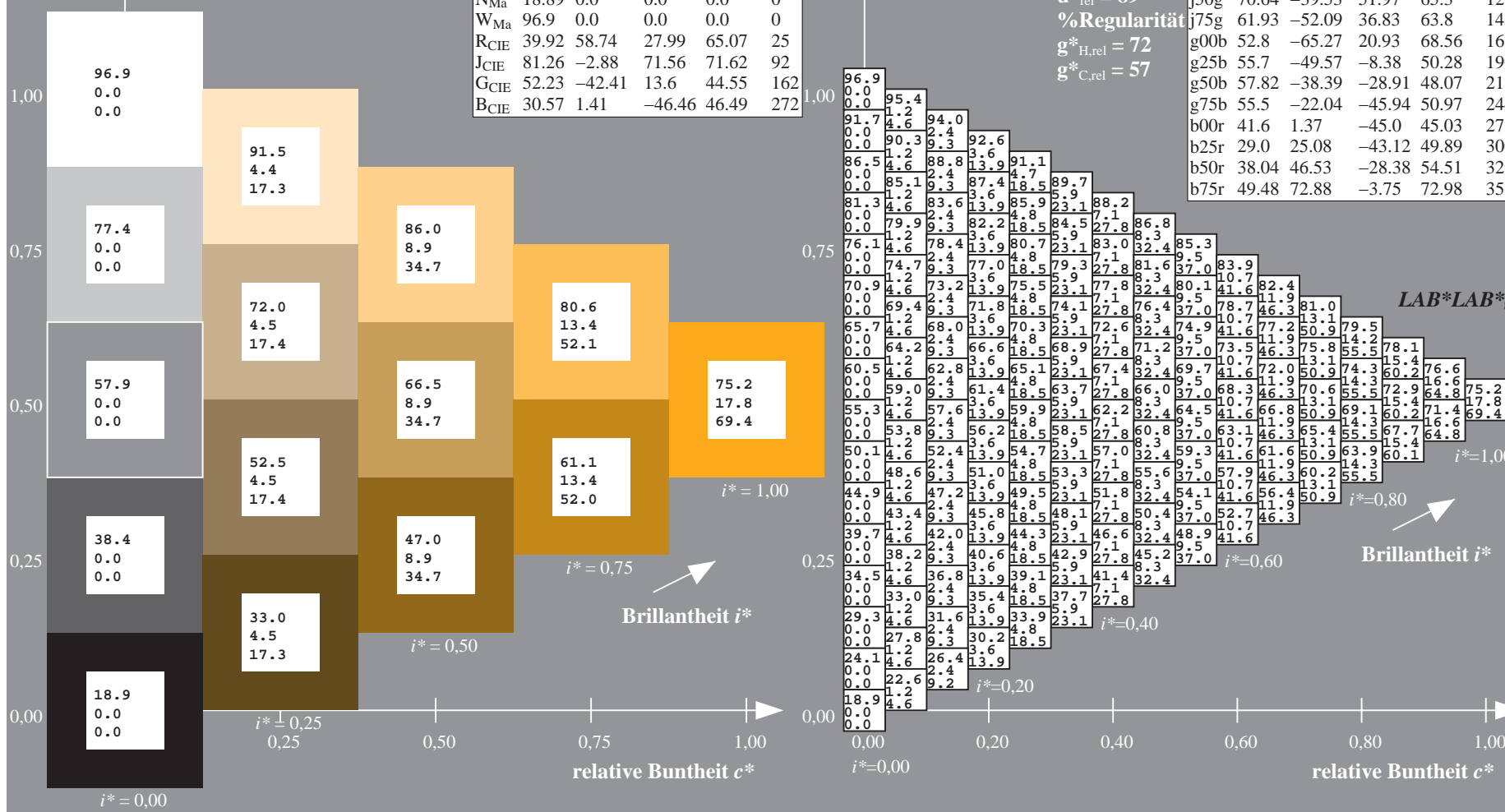
%Regularität

$g^*_{H,rel} = 72$

$g^*_{C,rel} = 57$

ORS19\_96a; adaptierte CIELAB-Daten

	$L^*=L_a^*$	$a_a^*$	$b_a^*$	$C^*_{ab,a}$	$h^*_{ab,a}$
r00j	48.88	66.47	31.67	73.63	25
r25j	55.85	52.39	47.48	70.7	42
r50j	65.45	35.22	58.37	68.17	59
r75j	75.19	17.82	69.41	71.66	76
j00g	87.03	-3.34	82.83	82.9	92
j25g	80.72	-25.0	69.5	73.86	110
j50g	70.64	-39.53	51.97	65.3	127
j75g	61.93	-52.09	36.83	63.8	145
g00b	52.8	-65.27	20.93	68.56	162
g25b	55.7	-49.57	-8.38	50.28	190
g50b	57.82	-38.39	-28.91	48.07	217
g75b	55.5	-22.04	-45.94	50.97	244
b00r	41.6	1.37	-45.0	45.03	272
b25r	29.0	25.08	-43.12	49.89	300
b50r	38.04	46.53	-28.38	54.51	329
b75r	49.48	72.88	-3.75	72.98	357



Ein und Ausgabe: Farbmetrisches Drucker-Reflektiv-System ORS19\_96a für relativen CIELAB-Buntton  $h^* = \text{lab}^*h^* = h_{ab}/360 = 92/360 = 0.256$   $u^* = j00g$

Daten für jede Farbe:

$\text{lab}^*ch^*$  und  $\text{lab}^*icu^*$

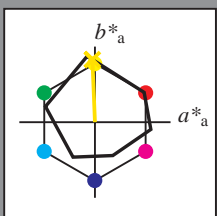
Elementar-Bunttontext:

$u^* = j00g$

Kontrastreduzierungsfaktor:

$c_R = 1.0$

Dreiecks-Helligkeit  $i^*$



ORS19_96a; adaptierte CIELAB-Daten					
	$L^*=L^*_a$	$a^*_a$	$b^*_a$	$C^*_{ab,a}$	$h^*_{ab,a}$
O <sub>Ma</sub>	48.75	65.07	39.43	76.08	31
Y <sub>Ma</sub>	90.92	-10.28	87.24	87.85	97
L <sub>Ma</sub>	52.69	-65.43	20.75	68.65	162
C <sub>Ma</sub>	59.61	-28.97	-46.21	54.56	238
V <sub>Ma</sub>	28.39	23.63	-44.12	50.06	298
M <sub>Ma</sub>	49.58	73.93	-9.55	74.55	353
N <sub>Ma</sub>	18.89	0.0	0.0	0.0	0
W <sub>Ma</sub>	96.9	0.0	0.0	0.0	0
R <sub>CIE</sub>	39.92	58.74	27.99	65.07	25
J <sub>CIE</sub>	81.26	-2.88	71.56	71.62	92
G <sub>CIE</sub>	52.23	-42.41	13.6	44.55	162
B <sub>CIE</sub>	30.57	1.41	-46.46	46.49	272

Daten für Maximalfarbe (Ma):

$\text{LAB}^*\text{LAB}^*_{\text{Ma}}$ : 87 -2 83

$\text{LAB}^*\text{LCH}^*_{\text{Ma}}$ : 87 83 92

$\text{lab}^*\text{rgb}^*_{\text{Ma}}$ : 1.0 1.0 0.0

$\text{lab}^*\text{olv}^*_{\text{Ma}}$ : 1.0 0.91 0.0

Dreiecks-Helligkeit  $i^*$

%Umfang

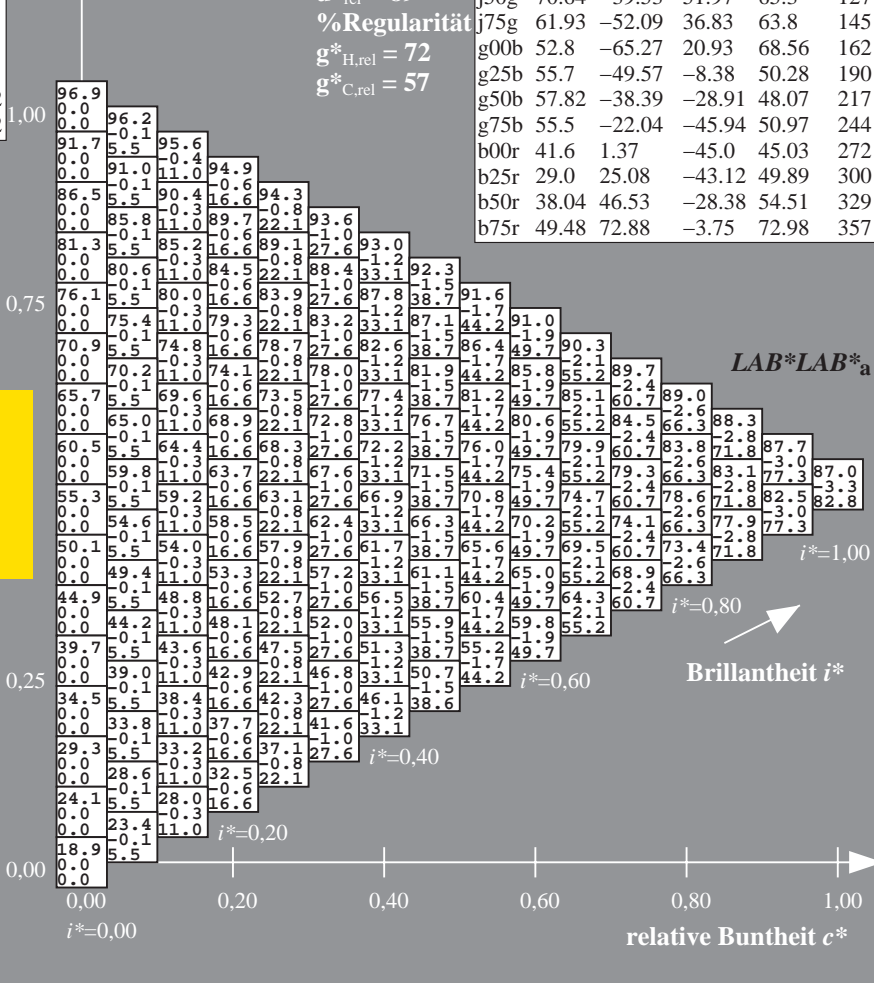
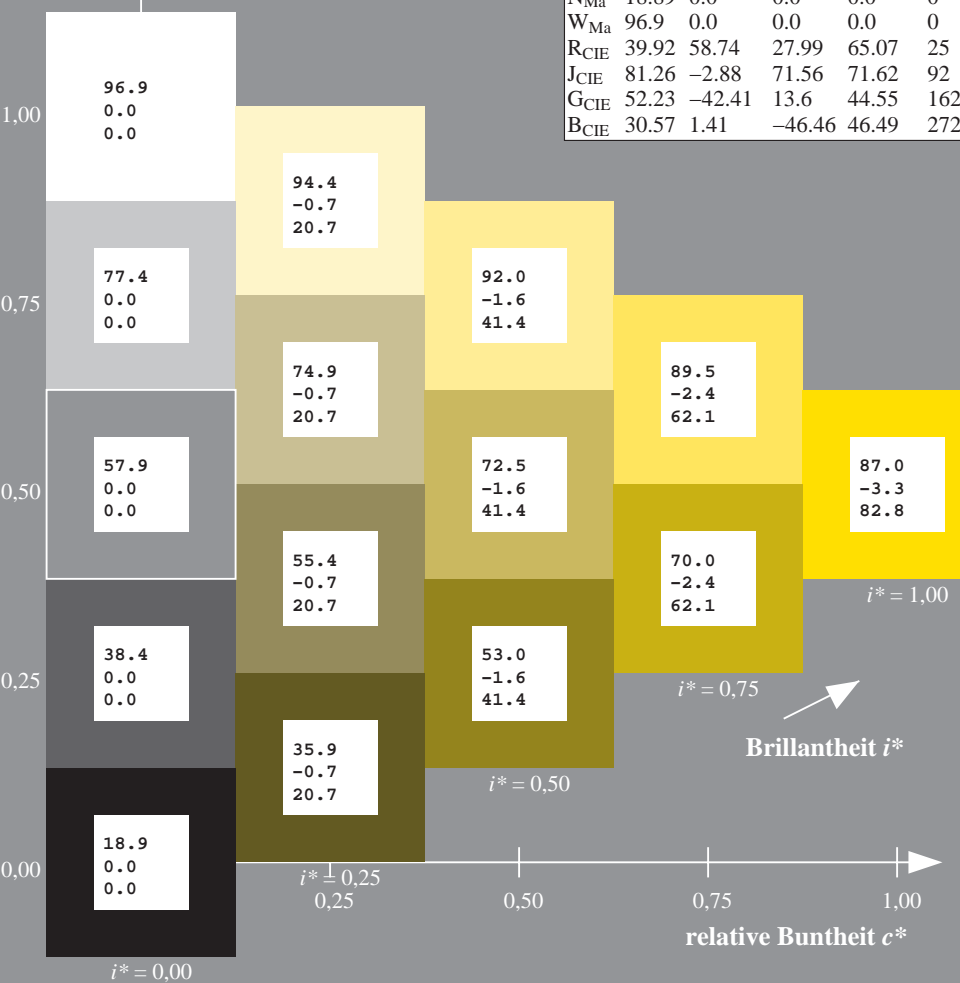
$u^*_{\text{rel}} = 89$

%Regularität

$g^*_{H,\text{rel}} = 72$

$g^*_{C,\text{rel}} = 57$

ORS19_96a; adaptierte CIELAB-Daten					
	$L^*=L^*_a$	$a^*_a$	$b^*_a$	$C^*_{ab,a}$	$h^*_{ab,a}$
r00j	48.88	66.47	31.67	73.63	25
r25j	55.85	52.39	47.48	70.7	42
r50j	65.45	35.22	58.37	68.17	59
r75j	75.19	17.82	69.41	71.66	76
j00g	87.03	-3.34	82.83	82.9	92
j25g	80.72	-25.0	69.5	73.86	110
j50g	70.64	-39.53	51.97	65.3	127
j75g	61.93	-52.09	36.83	63.8	145
g00b	52.8	-65.27	20.93	68.56	162
g25b	55.7	-49.57	-8.38	50.28	190
g50b	57.82	-38.39	-28.91	48.07	217
g75b	55.5	-22.04	-45.94	50.97	244
b00r	41.6	1.37	-45.0	45.03	272
b25r	29.0	25.08	-43.12	49.89	300
b50r	38.04	46.53	-28.38	54.51	329
b75r	49.48	72.88	-3.75	72.98	357



Ein und Ausgabe: Farbmetrisches Drucker-Reflektiv-System ORS19\_96a für relativen CIELAB-Buntton  $h^* = lab^*h^* = h_{ab}/360 = 110/360 = 0.305$   $u^* = j25g$

Daten für jede Farbe:

$lab^*ch^*$  und  $lab^*icu^*$

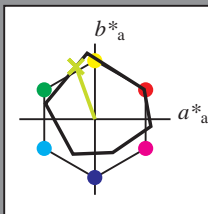
Elementar-Bunttontext:

$u^* = j25g$

Kontrastreduzierungsfaktor:

$c_R = 1.0$

Dreiecks-Helligkeit  $t^*$



ORS19\_96a; adaptierte CIELAB-Daten

	$L^*=L^*_a$	$a^*_a$	$b^*_a$	$C^*_{ab,a}$	$h^*_{ab,a}$
O <sub>Ma</sub>	48.75	65.07	39.43	76.08	31
Y <sub>Ma</sub>	90.92	-10.28	87.24	87.85	97
L <sub>Ma</sub>	52.69	-65.43	20.75	68.65	162
C <sub>Ma</sub>	59.61	-28.97	-46.21	54.56	238
V <sub>Ma</sub>	28.39	23.63	-44.12	50.06	298
M <sub>Ma</sub>	49.58	73.93	-9.55	74.55	353
N <sub>Ma</sub>	18.89	0.0	0.0	0.0	0
W <sub>Ma</sub>	96.9	0.0	0.0	0.0	0
R <sub>CIE</sub>	39.92	58.74	27.99	65.07	25
J <sub>CIE</sub>	81.26	-2.88	71.56	71.62	92
G <sub>CIE</sub>	52.23	-42.41	13.6	44.55	162
B <sub>CIE</sub>	30.57	1.41	-46.46	46.49	272

Daten für Maximalfarbe (Ma):

$LAB^*LAB^*_{Ma}$ : 81 -24 69

$LAB^*LCH^*_{Ma}$ : 81 74 110

$lab^*rgb^*_{Ma}$ : 0.75 1.0 0.0

$lab^*olv^*_{Ma}$ : 0.73 1.0 0.0

Dreiecks-Helligkeit  $t^*$

%Umfang

$u^*_{rel} = 89$

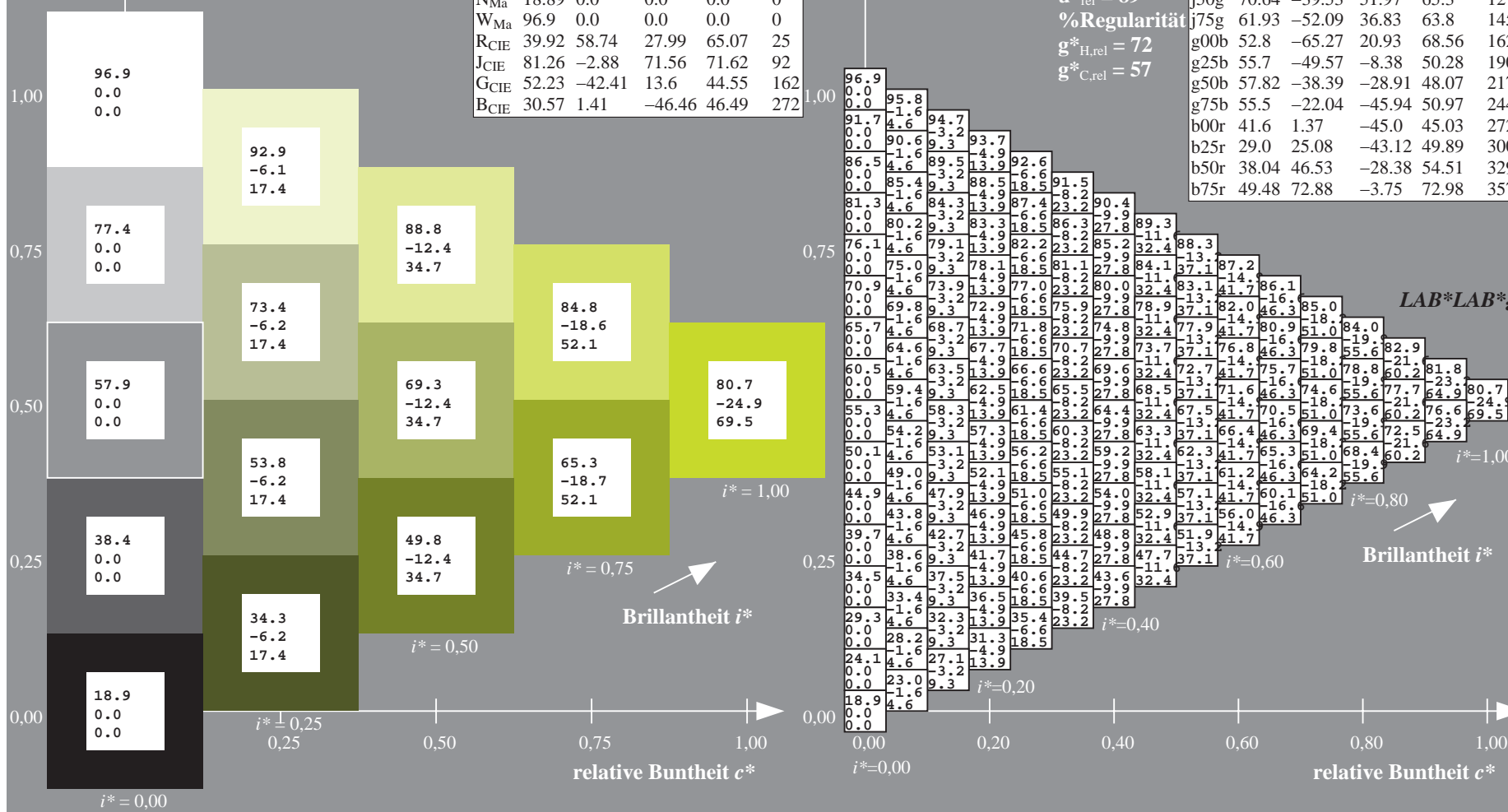
%Regularität

$g^*_{H,rel} = 72$

$g^*_{C,rel} = 57$

ORS19\_96a; adaptierte CIELAB-Daten

	$L^*=L^*_a$	$a^*_a$	$b^*_a$	$C^*_{ab,a}$	$h^*_{ab,a}$
r00j	48.88	66.47	31.67	73.63	25
r25j	55.85	52.39	47.48	70.7	42
r50j	65.45	35.22	58.37	68.17	59
r75j	75.19	17.82	69.41	71.66	76
j00g	87.03	-3.34	82.83	82.9	92
j25g	80.72	-25.0	69.5	73.86	110
j50g	70.64	-39.53	51.97	65.3	127
j75g	61.93	-52.09	36.83	63.8	145
g00b	52.8	-65.27	20.93	68.56	162
g25b	55.7	-49.57	-8.38	50.28	190
g50b	57.82	-38.39	-28.91	48.07	217
g75b	55.5	-22.04	-45.94	50.97	244
b00r	41.6	1.37	-45.0	45.03	272
b25r	29.0	25.08	-43.12	49.89	300
b50r	38.04	46.53	-28.38	54.51	329
b75r	49.48	72.88	-3.75	72.98	357



Ein und Ausgabe: Farbmetrisches Drucker-Reflektiv-System ORS19\_96a für relativen CIELAB-Buntton  $h^* = lab^*h^* = h_{ab}/360 = 127/360 = 0.354$   $u^* = j50g$

Daten für jede Farbe:

$lab^*ch^*$  und  $lab^*icu^*$

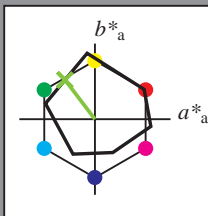
Elementar-Bunttontext:

$u^* = j50g$

Kontrastreduzierungsfaktor:

$c_R = 1.0$

Dreiecks-Helligkeit  $i^*$



ORS19_96a; adaptierte CIELAB-Daten					
	$L^*=L^*_a$	$a^*_a$	$b^*_a$	$C^*_{ab,a}$	$h^*_{ab,a}$
O <sub>Ma</sub>	48.75	65.07	39.43	76.08	31
Y <sub>Ma</sub>	90.92	-10.28	87.24	87.85	97
L <sub>Ma</sub>	52.69	-65.43	20.75	68.65	162
C <sub>Ma</sub>	59.61	-28.97	-46.21	54.56	238
V <sub>Ma</sub>	28.39	23.63	-44.12	50.06	298
M <sub>Ma</sub>	49.58	73.93	-9.55	74.55	353
N <sub>Ma</sub>	18.89	0.0	0.0	0.0	0
W <sub>Ma</sub>	96.9	0.0	0.0	0.0	0
R <sub>CIE</sub>	39.92	58.74	27.99	65.07	25
J <sub>CIE</sub>	81.26	-2.88	71.56	71.62	92
G <sub>CIE</sub>	52.23	-42.41	13.6	44.55	162
B <sub>CIE</sub>	30.57	1.41	-46.46	46.49	272

Daten für Maximalfarbe (Ma):

$LAB^*LAB^*_{Ma}$ : 71 -39 52

$LAB^*LCH^*_{Ma}$ : 71 65 127

$lab^*rgb^*_{Ma}$ : 0.5 1.0 0.0

$lab^*olv^*_{Ma}$ : 0.47 1.0 0.0

Dreiecks-Helligkeit  $i^*$

%Umfang

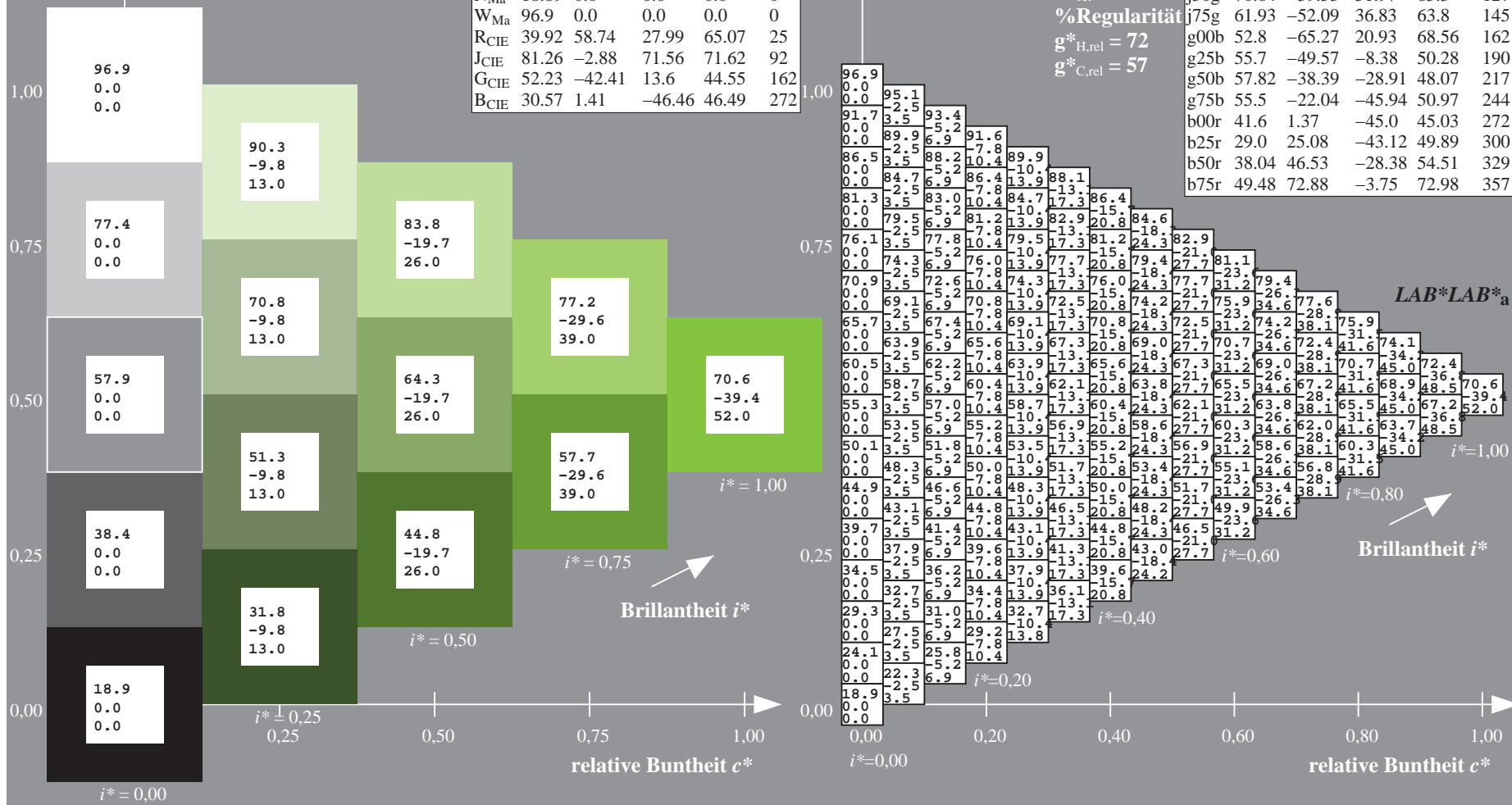
$u^*_{rel} = 89$

%Regularität

$g^*_{H,rel} = 72$

$g^*_{C,rel} = 57$

ORS19_96a; adaptierte CIELAB-Daten					
	$L^*=L^*_a$	$a^*_a$	$b^*_a$	$C^*_{ab,a}$	$h^*_{ab,a}$
r00j	48.88	66.47	31.67	73.63	25
r25j	55.85	52.39	47.48	70.7	42
r50j	65.45	35.22	58.37	68.17	59
r75j	75.19	17.82	69.41	71.66	76
j00g	87.03	-3.34	82.83	82.9	92
j25g	80.72	-25.0	69.5	73.86	110
j50g	70.64	-39.53	51.97	65.3	127
j75g	61.93	-52.09	36.83	63.8	145
g00b	52.8	-65.27	20.93	68.56	162
g25b	55.7	-49.57	-8.38	50.28	190
g50b	57.82	-38.39	-28.91	48.07	217
g75b	55.5	-22.04	-45.94	50.97	244
b00r	41.6	1.37	-45.0	45.03	272
b25r	29.0	25.08	-43.12	49.89	300
b50r	38.04	46.53	-28.38	54.51	329
b75r	49.48	72.88	-3.75	72.98	357

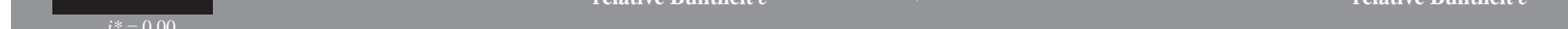




100



b50l	38.04	40.53	-28.38	34.51	329
b75r	49.48	72.88	-3.75	72.98	357



0


$$g^*_{C,rel} = 57$$


Ausgabe:  $\rightarrow cmy\mathbf{n}5^* setcmykcolor$



Ein und Ausgabe: Farbmetrisches Drucker-Reflektiv-System ORS19\_96a für relativen CIELAB-Buntton  $h^* = lab^*h^* = h_{ab}/360 = 190/360 = 0.527$   $u^* = g25b$

Daten für jede Farbe:

$lab^*ch^*$  und  $lab^*icu^*$

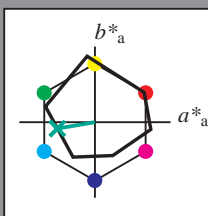
Elementar-Bunttontext:

$u^* = g25b$

Kontrastreduzierungsfaktor:

$c_R = 1.0$

Dreiecks-Helligkeit  $i^*$



ORS19_96a; adaptierte CIELAB-Daten					
	$L^*=L^*_a$	$a^*_a$	$b^*_a$	$C^*_{ab,a}$	$h^*_{ab,a}$
O <sub>Ma</sub>	48.75	65.07	39.43	76.08	31
Y <sub>Ma</sub>	90.92	-10.28	87.24	87.85	97
L <sub>Ma</sub>	52.69	-65.43	20.75	68.65	162
C <sub>Ma</sub>	59.61	-28.97	-46.21	54.56	238
V <sub>Ma</sub>	28.39	23.63	-44.12	50.06	298
M <sub>Ma</sub>	49.58	73.93	-9.55	74.55	353
N <sub>Ma</sub>	18.89	0.0	0.0	0.0	0
Y <sub>Ma</sub>	96.9	0.0	0.0	0.0	0
R <sub>CIE</sub>	39.92	58.74	27.99	65.07	25
J <sub>CIE</sub>	81.26	-2.88	71.56	71.62	92
G <sub>CIE</sub>	52.23	-42.41	13.6	44.55	162
B <sub>CIE</sub>	30.57	1.41	-46.46	46.49	272

Daten für Maximalfarbe (Ma):

$LAB^*LAB^*_{Ma}$ : 56 -49 -7

$LAB^*LCH^*_{Ma}$ : 56 50 190

$lab^*rgb^*_{Ma}$ : 0.0 1.0 0.5

$lab^*olv^*_{Ma}$ : 0.0 1.0 0.44

Dreiecks-Helligkeit  $i^*$

%Umfang

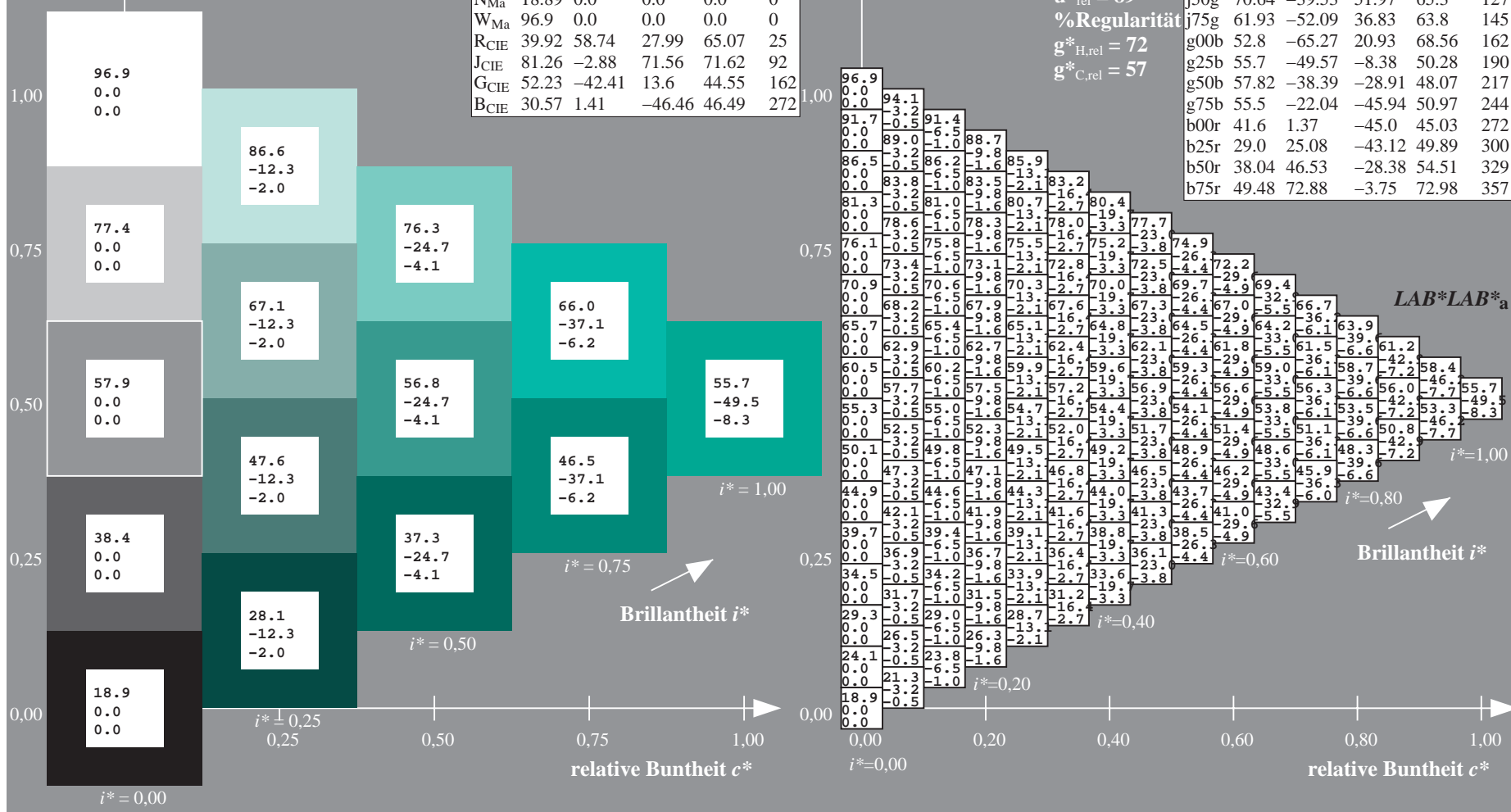
$u^*_{rel} = 89$

%Regularität

$g^*_{H,rel} = 72$

$g^*_{C,rel} = 57$

ORS19_96a; adaptierte CIELAB-Daten					
	$L^*=L^*_a$	$a^*_a$	$b^*_a$	$C^*_{ab,a}$	$h^*_{ab,a}$
r00j	48.88	66.47	31.67	73.63	25
r25j	55.85	52.39	47.48	70.7	42
r50j	65.45	35.22	58.37	68.17	59
r75j	75.19	17.82	69.41	71.66	76
j00g	87.03	-3.34	82.83	82.9	92
j25g	80.72	-25.0	69.5	73.86	110
j50g	70.64	-39.53	51.97	65.3	127
j75g	61.93	-52.09	36.83	63.8	145
g00b	52.8	-65.27	20.93	68.56	162
g25b	55.7	-49.57	-8.38	50.28	190
g50b	57.82	-38.39	-28.91	48.07	217
g75b	55.5	-22.04	-45.94	50.97	244
b00r	41.6	1.37	-45.0	45.03	272
b25r	29.0	25.08	-43.12	49.89	300
b50r	38.04	46.53	-28.38	54.51	329
b75r	49.48	72.88	-3.75	72.98	357



Ein und Ausgabe: Farbmetrisches Drucker-Reflektiv-System ORS19\_96a für relativen CIELAB-Buntton  $h^* = lab^*h^* = h_{ab}/360 = 217/360 = 0.603$   $u^* = g50b$

Daten für jede Farbe:

$lab^*ch^*$  und  $lab^*icu^*$

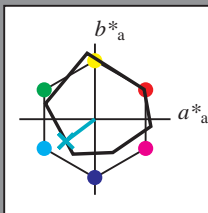
Elementar-Bunttontext:

$u^* = g50b$

Kontrastreduzierungsfaktor:

$c_R = 1.0$

Dreiecks-Helligkeit  $i^*$



ORS19\_96a; adaptierte CIELAB-Daten

	$L^*=L^*_a$	$a^*_a$	$b^*_a$	$C^*_{ab,a}$	$h^*_{ab,a}$
O <sub>Ma</sub>	48.75	65.07	39.43	76.08	31
Y <sub>Ma</sub>	90.92	-10.28	87.24	87.85	97
L <sub>Ma</sub>	52.69	-65.43	20.75	68.65	162
C <sub>Ma</sub>	59.61	-28.97	-46.21	54.56	238
V <sub>Ma</sub>	28.39	23.63	-44.12	50.06	298
M <sub>Ma</sub>	49.58	73.93	-9.55	74.55	353
N <sub>Ma</sub>	18.89	0.0	0.0	0.0	0
W <sub>Ma</sub>	96.9	0.0	0.0	0.0	0
R <sub>CIE</sub>	39.92	58.74	27.99	65.07	25
J <sub>CIE</sub>	81.26	-2.88	71.56	71.62	92
G <sub>CIE</sub>	52.23	-42.41	13.6	44.55	162
B <sub>CIE</sub>	30.57	1.41	-46.46	46.49	272

Daten für Maximalfarbe (Ma):

$LAB^*LAB^*_{Ma}$ : 58 -37 -28

$LAB^*LCH^*_{Ma}$ : 58 48 217

$lab^*rgb^*_{Ma}$ : 0.0 1.0 1.0

$lab^*olv^*_{Ma}$ : 0.0 1.0 0.74

Dreiecks-Helligkeit  $i^*$

%Umfang

$u^*_{rel} = 89$

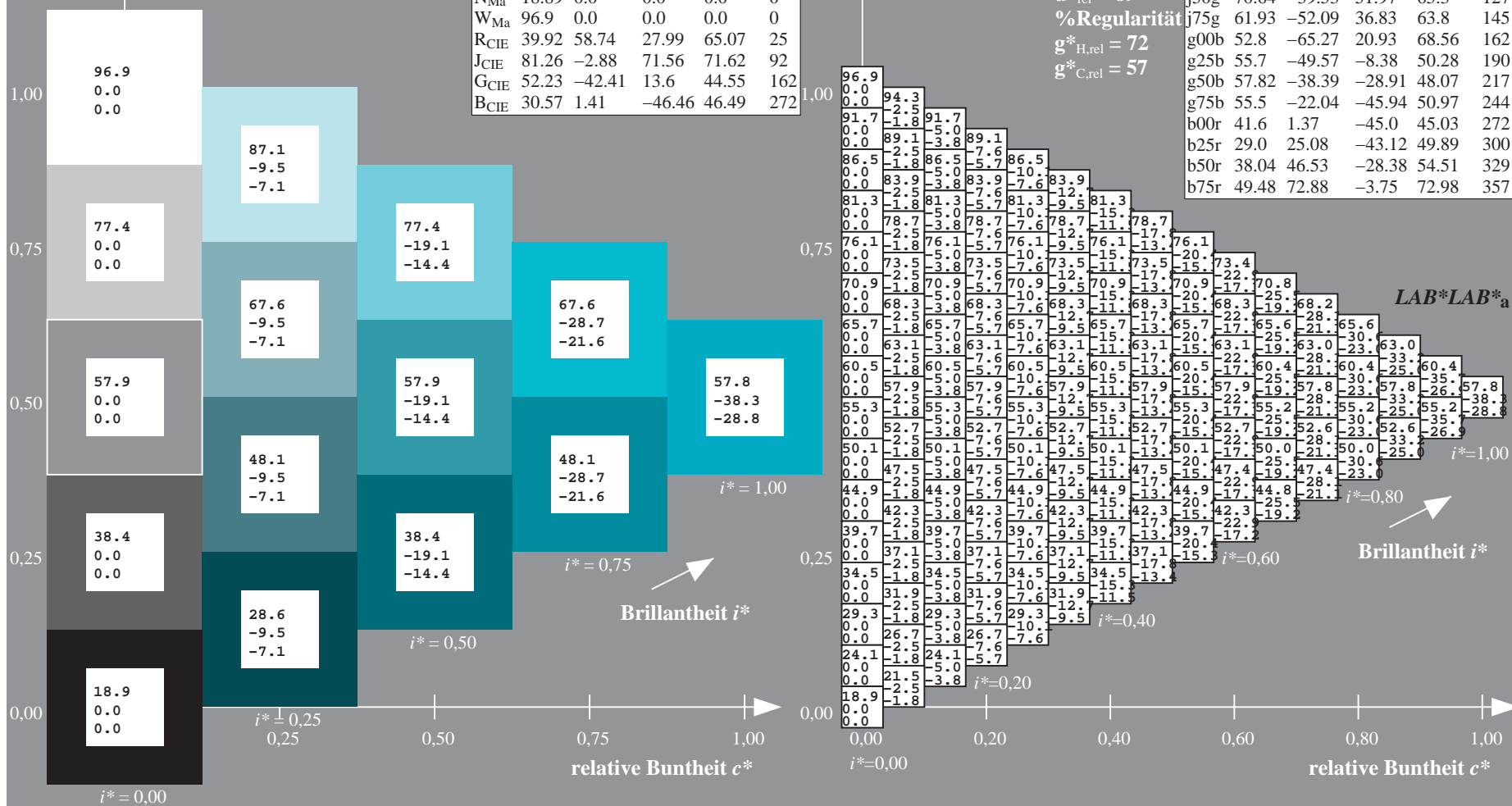
%Regularität

$g^*_{H,rel} = 72$

$g^*_{C,rel} = 57$

ORS19\_96a; adaptierte CIELAB-Daten

	$L^*=L^*_a$	$a^*_a$	$b^*_a$	$C^*_{ab,a}$	$h^*_{ab,a}$
r00j	48.88	66.47	31.67	73.63	25
r25j	55.85	52.39	47.48	70.7	42
r50j	65.45	35.22	58.37	68.17	59
r75j	75.19	17.82	69.41	71.66	76
j00g	87.03	-3.34	82.83	82.9	92
j25g	80.72	-25.0	69.5	73.86	110
j50g	70.64	-39.53	51.97	65.3	127
j75g	61.93	-52.09	36.83	63.8	145
g00b	52.8	-65.27	20.93	68.56	162
g25b	55.7	-49.57	-8.38	50.28	190
g50b	57.82	-38.39	-28.91	48.07	217
g75b	55.5	-22.04	-45.94	50.97	244
b00r	41.6	1.37	-45.0	45.03	272
b25r	29.0	25.08	-43.12	49.89	300
b50r	38.04	46.53	-28.38	54.51	329
b75r	49.48	72.88	-3.75	72.98	357



Ein und Ausgabe: Farbmetrisches Drucker-Reflektiv-System ORS19\_96a für relativen CIELAB-Buntton  $h^* = lab^*h^* = h_{ab}/360 = 244/360 = 0.679$   $u^* = g75b$

Daten für jede Farbe:

$lab^*ch^*$  und  $lab^*icu^*$

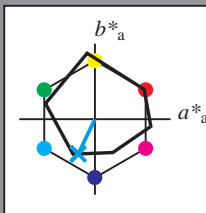
Elementar-Bunttontext:

$u^* = g75b$

Kontrastreduzierungsfaktor:

$c_R = 1.0$

Dreiecks-Helligkeit  $i^*$



ORS19\_96a; adaptierte CIELAB-Daten

	$L^*=L^*_a$	$a^*_a$	$b^*_a$	$C^*_{ab,a}$	$h^*_{ab,a}$
O <sub>Ma</sub>	48.75	65.07	39.43	76.08	31
Y <sub>Ma</sub>	90.92	-10.28	87.24	87.85	97
L <sub>Ma</sub>	52.69	-65.43	20.75	68.65	162
C <sub>Ma</sub>	59.61	-28.97	-46.21	54.56	238
V <sub>Ma</sub>	28.39	23.63	-44.12	50.06	298
M <sub>Ma</sub>	49.58	73.93	-9.55	74.55	353
N <sub>Ma</sub>	18.89	0.0	0.0	0.0	0
W <sub>Ma</sub>	96.9	0.0	0.0	0.0	0
R <sub>CIE</sub>	39.92	58.74	27.99	65.07	25
J <sub>CIE</sub>	81.26	-2.88	71.56	71.62	92
G <sub>CIE</sub>	52.23	-42.41	13.6	44.55	162
B <sub>CIE</sub>	30.57	1.41	-46.46	46.49	272

Daten für Maximalfarbe (Ma):

$LAB^*LAB^*_{Ma}$ : 55 -21 -45

$LAB^*LCH^*_{Ma}$ : 55 51 244

$lab^*rgb^*_{Ma}$ : 0.0 0.5 1.0

$lab^*olv^*_{Ma}$ : 0.0 0.87 1.0

Dreiecks-Helligkeit  $i^*$

%Umfang

$u^*_{rel} = 89$

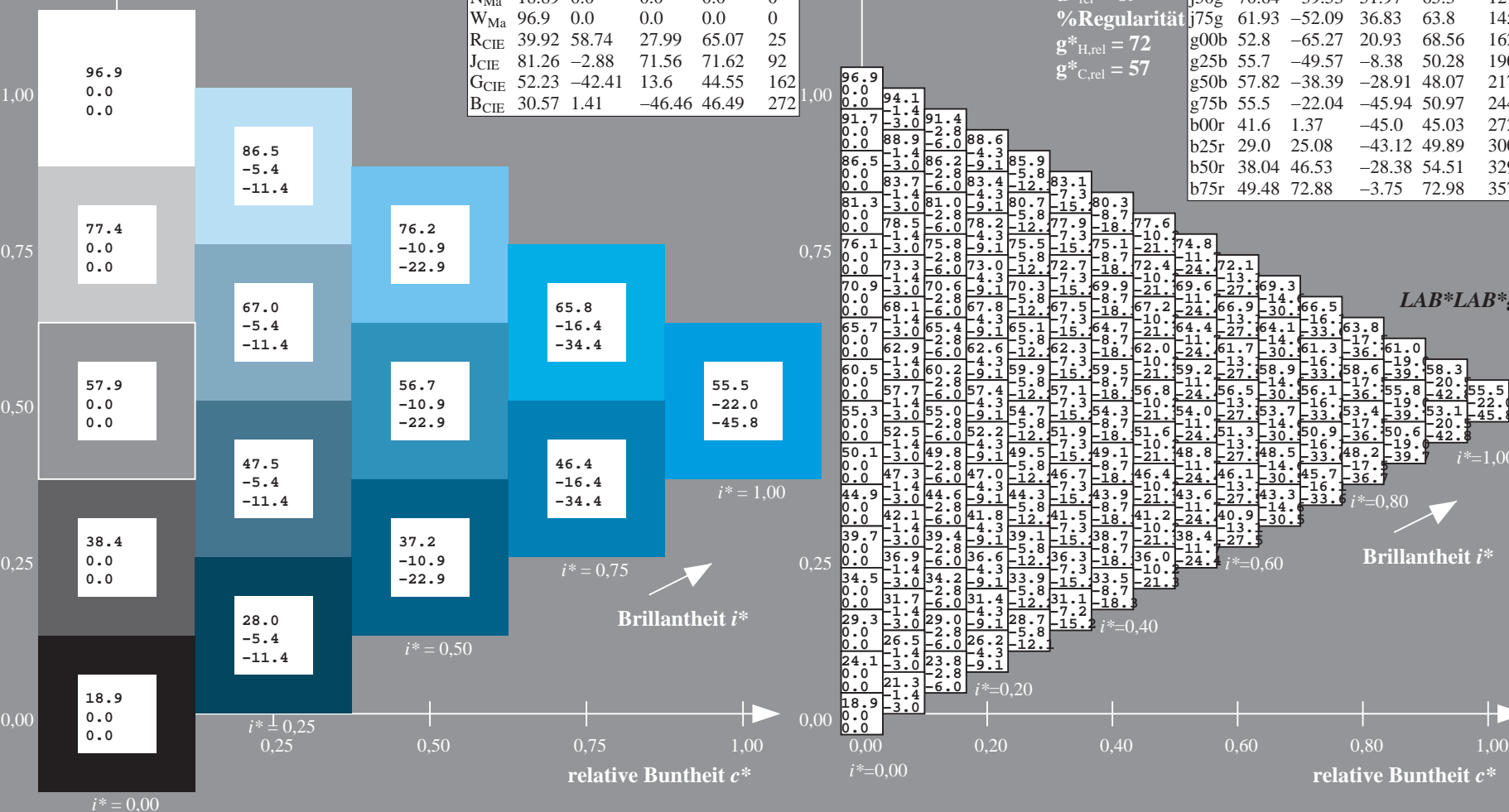
%Regularität

$g^*_{H,rel} = 72$

$g^*_{C,rel} = 57$

ORS19\_96a; adaptierte CIELAB-Daten

	$L^*=L^*_a$	$a^*_a$	$b^*_a$	$C^*_{ab,a}$	$h^*_{ab,a}$
r00j	48.88	66.47	31.67	73.63	25
r25j	55.85	52.39	47.48	70.7	42
r50j	65.45	35.22	58.37	68.17	59
r75j	75.19	17.82	69.41	71.66	76
j00g	87.03	-3.34	82.83	82.9	92
j25g	80.72	-25.0	69.5	73.86	110
j50g	70.64	-39.53	51.97	65.3	127
j75g	61.93	-52.09	36.83	63.8	145
g00b	52.8	-65.27	20.93	68.56	162
g25b	55.7	-49.57	-8.38	50.28	190
g50b	57.82	-38.39	-28.91	48.07	217
g75b	55.5	-22.04	-45.94	50.97	244
b00r	41.6	1.37	-45.0	45.03	272
b25r	29.0	25.08	-43.12	49.89	300
b50r	38.04	46.53	-28.38	54.51	329
b75r	49.48	72.88	-3.75	72.98	357



Ein und Ausgabe: Farbmetrisches Drucker-Reflektiv-System ORS19\_96a für relativen CIELAB-Buntton  $h^* = lab^*h^* = h_{ab}/360 = 272/360 = 0.755$   $u^* = b00r$

Daten für jede Farbe:

$lab^*ch^*$  und  $lab^*icu^*$

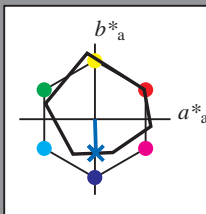
Elementar-Bunttontext:

$u^* = b00r$

Kontrastreduzierungsfaktor:

$c_R = 1.0$

Dreiecks-Helligkeit  $t^*$



ORS19\_96a; adaptierte CIELAB-Daten

	$L^*=L^*_a$	$a^*_a$	$b^*_a$	$C^*_{ab,a}$	$h^*_{ab,a}$
O <sub>Ma</sub>	48.75	65.07	39.43	76.08	31
Y <sub>Ma</sub>	90.92	-10.28	87.24	87.85	97
L <sub>Ma</sub>	52.69	-65.43	20.75	68.65	162
C <sub>Ma</sub>	59.61	-28.97	-46.21	54.56	238
V <sub>Ma</sub>	28.39	23.63	-44.12	50.06	298
M <sub>Ma</sub>	49.58	73.93	-9.55	74.55	353
N <sub>Ma</sub>	18.89	0.0	0.0	0.0	0
W <sub>Ma</sub>	96.9	0.0	0.0	0.0	0
R <sub>CIE</sub>	39.92	58.74	27.99	65.07	25
J <sub>CIE</sub>	81.26	-2.88	71.56	71.62	92
G <sub>CIE</sub>	52.23	-42.41	13.6	44.55	162
B <sub>CIE</sub>	30.57	1.41	-46.46	46.49	272

Daten für Maximalfarbe (Ma):

$LAB^*LAB^*_{Ma}$ : 42 1 -44

$LAB^*LCH^*_{Ma}$ : 42 45 272

$lab^*rgb^*_{Ma}$ : 0.0 0.0 1.0

$lab^*olv^*_{Ma}$ : 0.0 0.42 1.0

Dreiecks-Helligkeit  $t^*$

%Umfang

$u^*_{rel} = 89$

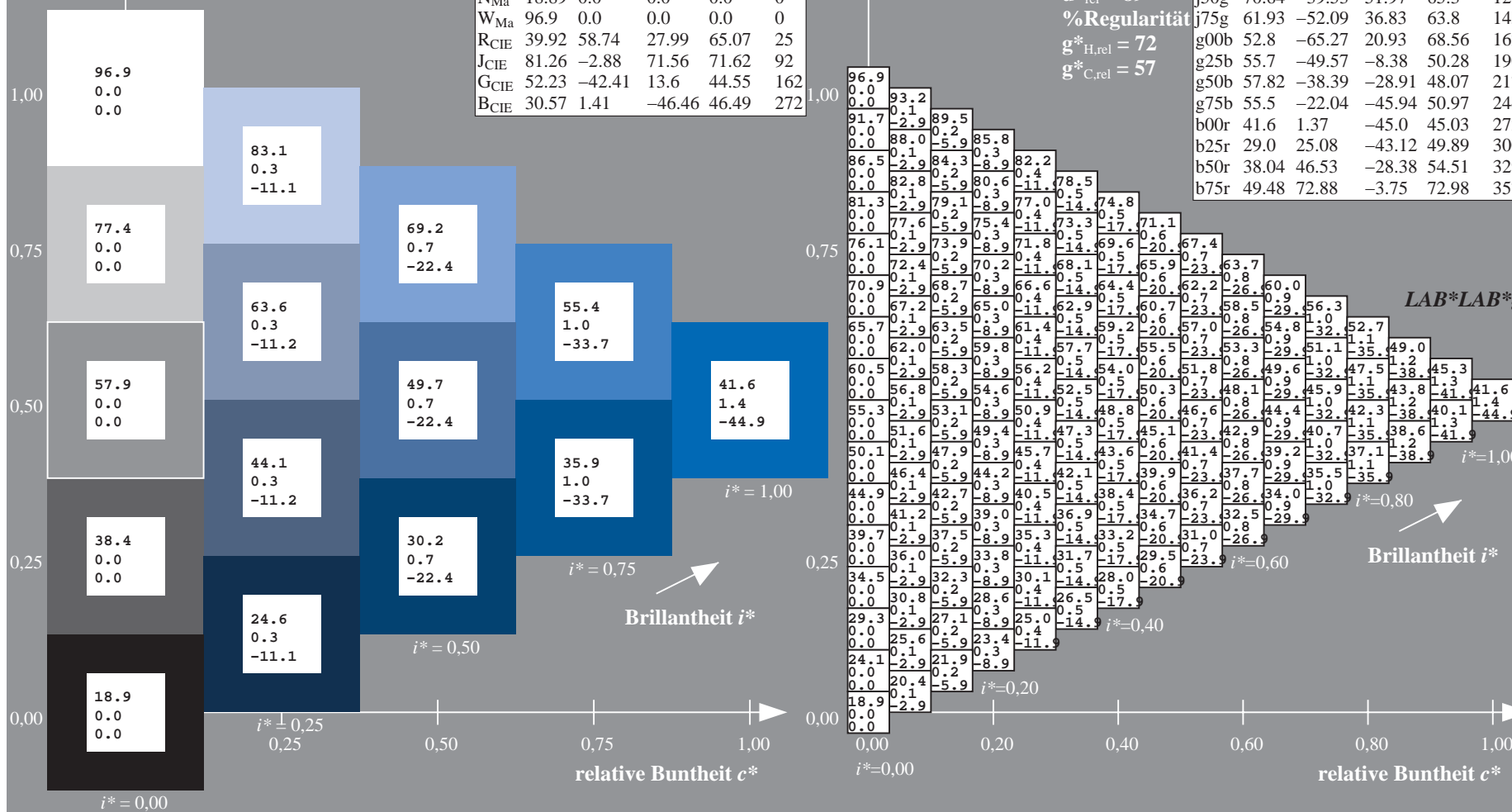
%Regularität

$g^*_{H,rel} = 72$

$g^*_{C,rel} = 57$

ORS19\_96a; adaptierte CIELAB-Daten

	$L^*=L^*_a$	$a^*_a$	$b^*_a$	$C^*_{ab,a}$	$h^*_{ab,a}$
r00j	48.88	66.47	31.67	73.63	25
r25j	55.85	52.39	47.48	70.7	42
r50j	65.45	35.22	58.37	68.17	59
r75j	75.19	17.82	69.41	71.66	76
j00g	87.03	-3.34	82.83	82.9	92
j25g	80.72	-25.0	69.5	73.86	110
j50g	70.64	-39.53	51.97	65.3	127
j75g	61.93	-52.09	36.83	63.8	145
g00b	52.8	-65.27	20.93	68.56	162
g25b	55.7	-49.57	-8.38	50.28	190
g50b	57.82	-38.39	-28.91	48.07	217
g75b	55.5	-22.04	-45.94	50.97	244
b00r	41.6	1.37	-45.0	45.03	272
b25r	29.0	25.08	-43.12	49.89	300
b50r	38.04	46.53	-28.38	54.51	329
b75r	49.48	72.88	-3.75	72.98	357





Ein und Ausgabe: Farbmetrisches Drucker-Reflektiv-System ORS19\_96a für relativen CIELAB-Buntton  $h^* = lab^*h^* = h_{ab}/360 = 300/360 = 0.834$   $u^* = b25r$

Daten für jede Farbe:

$lab^*ch^*$  und  $lab^*icu^*$

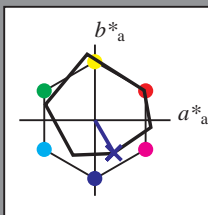
Elementar-Bunttontext:

$u^* = b25r$

Kontrastreduzierungsfaktor:

$c_R = 1.0$

Dreiecks-Helligkeit  $i^*$



ORS19_96a; adaptierte CIELAB-Daten					
	$L^*=L^*_a$	$a^*_a$	$b^*_a$	$C^*_{ab,a}$	$h^*_{ab,a}$
O <sub>Ma</sub>	48.75	65.07	39.43	76.08	31
Y <sub>Ma</sub>	90.92	-10.28	87.24	87.85	97
L <sub>Ma</sub>	52.69	-65.43	20.75	68.65	162
C <sub>Ma</sub>	59.61	-28.97	-46.21	54.56	238
V <sub>Ma</sub>	28.39	23.63	-44.12	50.06	298
M <sub>Ma</sub>	49.58	73.93	-9.55	74.55	353
N <sub>Ma</sub>	18.89	0.0	0.0	0.0	0
W <sub>Ma</sub>	96.9	0.0	0.0	0.0	0
R <sub>CIE</sub>	39.92	58.74	27.99	65.07	25
J <sub>CIE</sub>	81.26	-2.88	71.56	71.62	92
G <sub>CIE</sub>	52.23	-42.41	13.6	44.55	162
B <sub>CIE</sub>	30.57	1.41	-46.46	46.49	272

Daten für Maximalfarbe (Ma):

$LAB^*LAB^*_{Ma}$ : 29 25 -42

$LAB^*LCH^*_{Ma}$ : 29 50 300

$lab^*rgb^*_{Ma}$ : 0.5 0.0 1.0

$lab^*olv^*_{Ma}$ : 0.03 0.0 1.0

Dreiecks-Helligkeit  $i^*$

%Umfang

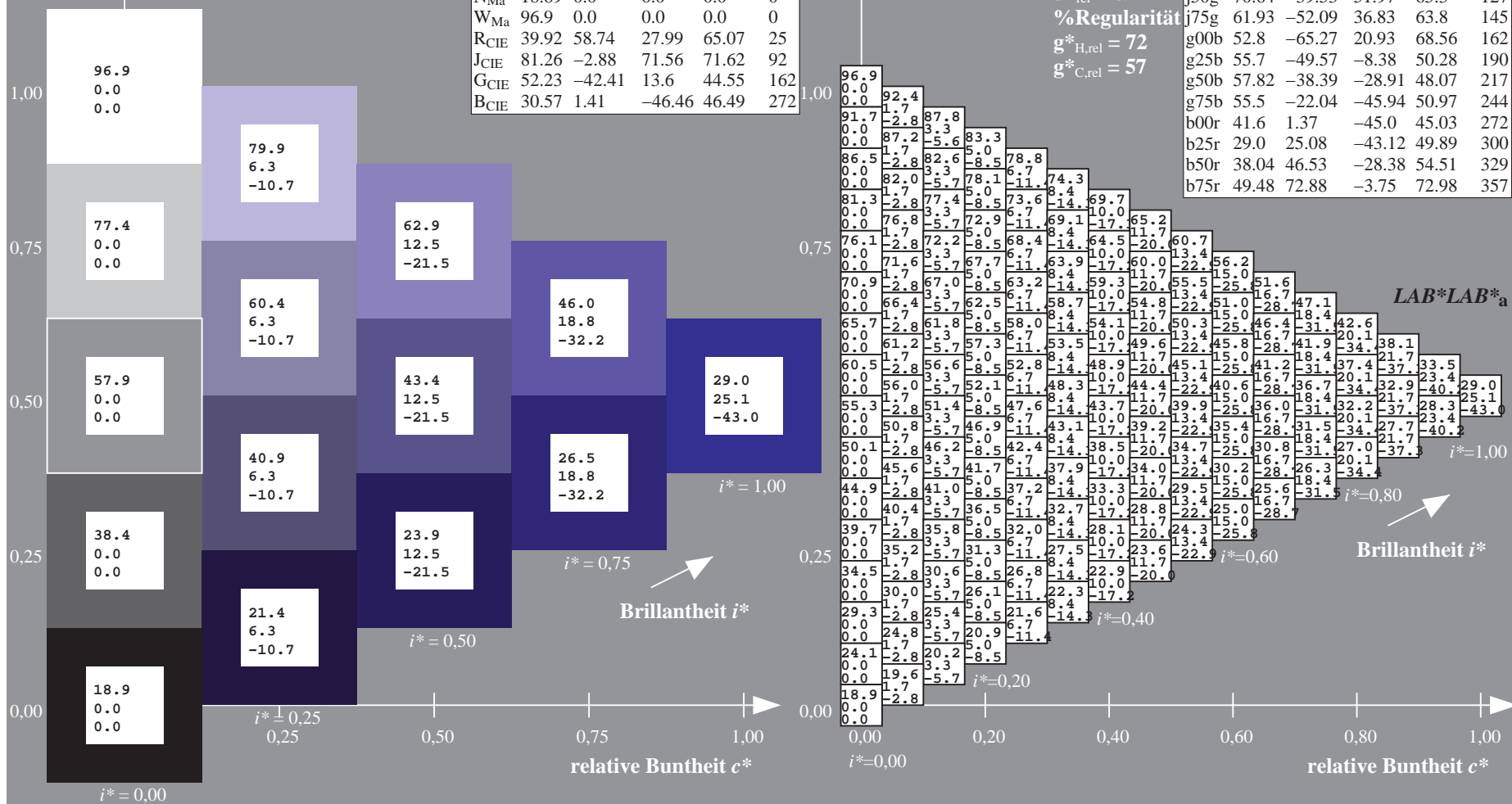
$u^*_{rel} = 89$

%Regularität

$g^*_{H,rel} = 72$

$g^*_{C,rel} = 57$

ORS19_96a; adaptierte CIELAB-Daten					
	$L^*=L^*_a$	$a^*_a$	$b^*_a$	$C^*_{ab,a}$	$h^*_{ab,a}$
r00j	48.88	66.47	31.67	73.63	25
r25j	55.85	52.39	47.48	70.7	42
r50j	65.45	35.22	58.37	68.17	59
r75j	75.19	17.82	69.41	71.66	76
j00g	87.03	-3.34	82.83	82.9	92
j25g	80.72	-25.0	69.5	73.86	110
j50g	70.64	-39.53	51.97	65.3	127
j75g	61.93	-52.09	36.83	63.8	145
g00b	52.8	-65.27	20.93	68.56	162
g25b	55.7	-49.57	-8.38	50.28	190
g50b	57.82	-38.39	-28.91	48.07	217
g75b	55.5	-22.04	-45.94	50.97	244
b00r	41.6	1.37	-45.0	45.03	272
b25r	29.0	25.08	-43.12	49.89	300
b50r	38.04	46.53	-28.38	54.51	329
b75r	49.48	72.88	-3.75	72.98	357





Ein und Ausgabe: Farbmetrisches Drucker-Reflektiv-System ORS19\_96a für relativen CIELAB-Buntton  $h^* = lab^*h^* = h_{ab}/360 = 329/360 = 0.913$   $u^* = b50r$

Daten für jede Farbe:

$lab^*ch^*$  und  $lab^*icu^*$

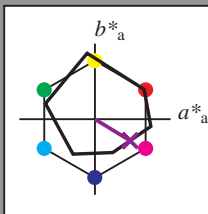
Elementar-Bunttontext:

$u^* = b50r$

Kontrastreduzierungsfaktor:

$c_R = 1.0$

Dreiecks-Helligkeit  $t^*$



ORS19\_96a; adaptierte CIELAB-Daten

	$L^*=L^*_a$	$a^*_a$	$b^*_a$	$C^*_{ab,a}$	$h^*_{ab,a}$
O <sub>Ma</sub>	48.75	65.07	39.43	76.08	31
Y <sub>Ma</sub>	90.92	-10.28	87.24	87.85	97
L <sub>Ma</sub>	52.69	-65.43	20.75	68.65	162
C <sub>Ma</sub>	59.61	-28.97	-46.21	54.56	238
V <sub>Ma</sub>	28.39	23.63	-44.12	50.06	298
M <sub>Ma</sub>	49.58	73.93	-9.55	74.55	353
N <sub>Ma</sub>	18.89	0.0	0.0	0.0	0
W <sub>Ma</sub>	96.9	0.0	0.0	0.0	0
R <sub>CIE</sub>	39.92	58.74	27.99	65.07	25
J <sub>CIE</sub>	81.26	-2.88	71.56	71.62	92
G <sub>CIE</sub>	52.23	-42.41	13.6	44.55	162
B <sub>CIE</sub>	30.57	1.41	-46.46	46.49	272

Daten für Maximalfarbe (Ma):

$LAB^*LAB^*_{Ma}$ : 38 47 -27

$LAB^*LCH^*_{Ma}$ : 38 55 329

$lab^*rgb^*_{Ma}$ : 1.0 0.0 1.0

$lab^*olv^*_{Ma}$ : 0.46 0.0 1.0

Dreiecks-Helligkeit  $t^*$

%Umfang

$u^*_{rel} = 89$

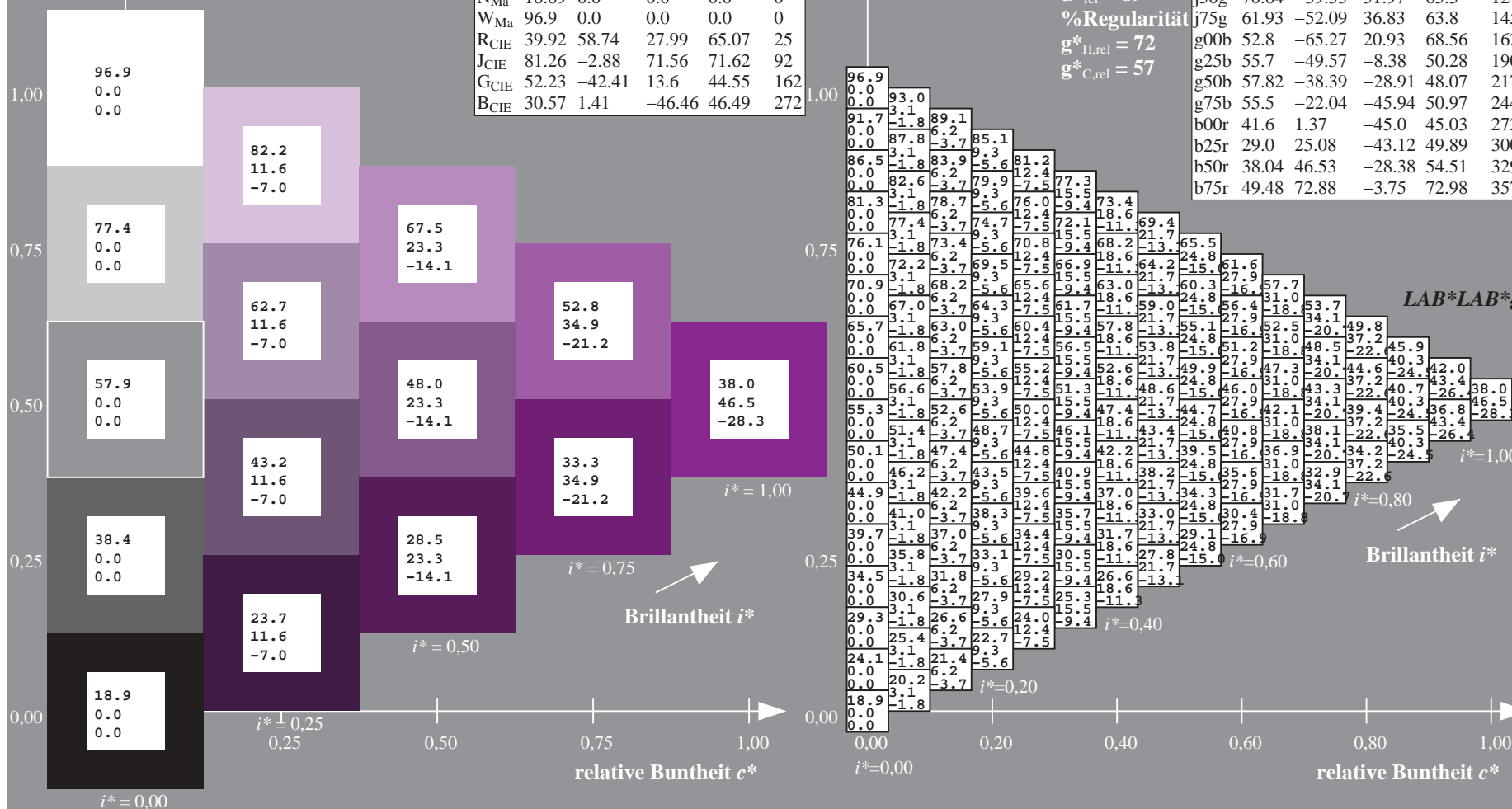
%Regularität

$g^*_{H,rel} = 72$

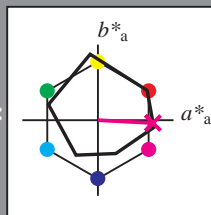
$g^*_{C,rel} = 57$

ORS19\_96a; adaptierte CIELAB-Daten

	$L^*=L^*_a$	$a^*_a$	$b^*_a$	$C^*_{ab,a}$	$h^*_{ab,a}$
r00j	48.88	66.47	31.67	73.63	25
r25j	55.85	52.39	47.48	70.7	42
r50j	65.45	35.22	58.37	68.17	59
r75j	75.19	17.82	69.41	71.66	76
j00g	87.03	-3.34	82.83	82.9	92
j25g	80.72	-25.0	69.5	73.86	110
j50g	70.64	-39.53	51.97	65.3	127
j75g	61.93	-52.09	36.83	63.8	145
g00b	52.8	-65.27	20.93	68.56	162
g25b	55.7	-49.57	-8.38	50.28	190
g50b	57.82	-38.39	-28.91	48.07	217
g75b	55.5	-22.04	-45.94	50.97	244
b00r	41.6	1.37	-45.0	45.03	272
b25r	29.0	25.08	-43.12	49.89	300
b50r	38.04	46.53	-28.38	54.51	329
b75r	49.48	72.88	-3.75	72.98	357



Ein und Ausgabe: Farbmetrisches Drucker-Reflektiv-System ORS19\_96a für relativen CIELAB-Buntton  $h^* = lab^*h^* = h_{ab}/360 = 357/360 = 0.992$   $u^* = b75r$   
Daten für jede Farbe:  
 $lab^*ch^*$  und  $lab^*icu^*$   
Elementar-Bunttontext:  
 $u^* = b75r$   
Kontrastreduzierungsfaktor:  
 $c_R = 1.0$   
Dreiecks-Helligkeit  $t^*$



ORS19_96a; adaptierte CIELAB-Daten					
	$L^*=L^*_a$	$a^*_a$	$b^*_a$	$C^*_{ab,a}$	$h^*_{ab,a}$
O <sub>Ma</sub>	48.75	65.07	39.43	76.08	31
Y <sub>Ma</sub>	90.92	-10.28	87.24	87.85	97
L <sub>Ma</sub>	52.69	-65.43	20.75	68.65	162
C <sub>Ma</sub>	59.61	-28.97	-46.21	54.56	238
V <sub>Ma</sub>	28.39	23.63	-44.12	50.06	298
M <sub>Ma</sub>	49.58	73.93	-9.55	74.55	353
N <sub>Ma</sub>	18.89	0.0	0.0	0.0	0
W <sub>Ma</sub>	96.9	0.0	0.0	0.0	0
R <sub>CIE</sub>	39.92	58.74	27.99	65.07	25
J <sub>CIE</sub>	81.26	-2.88	71.56	71.62	92
G <sub>CIE</sub>	52.23	-42.41	13.6	44.55	162
B <sub>CIE</sub>	30.57	1.41	-46.46	46.49	272

Daten für Maximalfarbe (Ma):

$LAB^*LAB^*_{Ma}$ : 49 73 -3

$LAB^*LCH^*_{Ma}$ : 49 73 357

$lab^*rgb^*_{Ma}$ : 1.0 0.0 0.5

$lab^*olv^*_{Ma}$ : 1.0 0.0 0.88

Dreiecks-Helligkeit  $t^*$

%Umfang

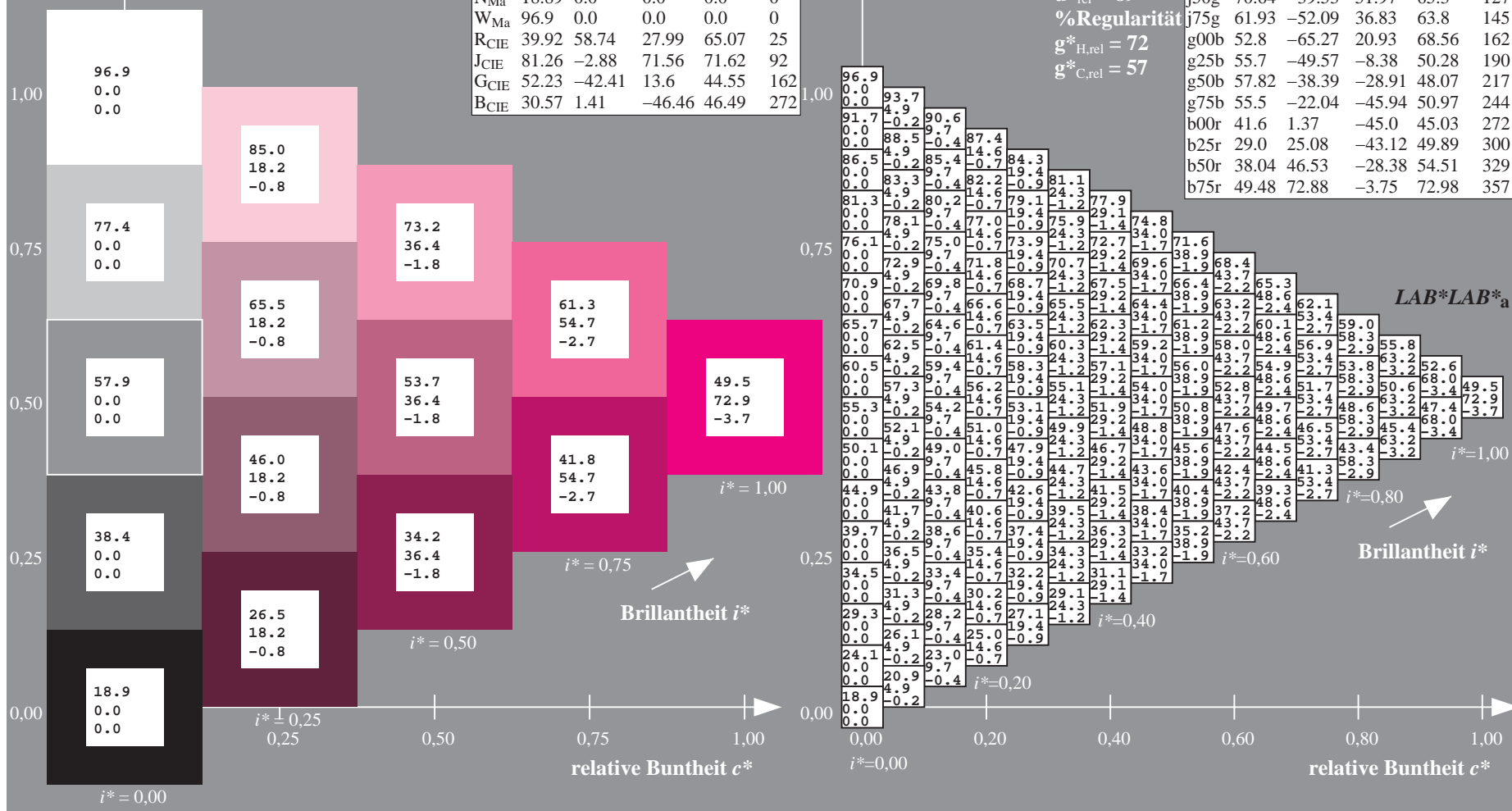
$u^*_{rel} = 89$

%Regularität

$g^*_{H,rel} = 72$

$g^*_{C,rel} = 57$

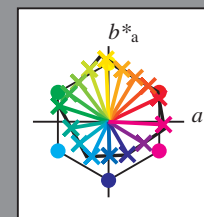
ORS19_96a; adaptierte CIELAB-Daten					
	$L^*=L^*_a$	$a^*_a$	$b^*_a$	$C^*_{ab,a}$	$h^*_{ab,a}$
r00j	48.88	66.47	31.67	73.63	25
r25j	55.85	52.39	47.48	70.7	42
r50j	65.45	35.22	58.37	68.17	59
r75j	75.19	17.82	69.41	71.66	76
j00g	87.03	-3.34	82.83	82.9	92
j25g	80.72	-25.0	69.5	73.86	110
j50g	70.64	-39.53	51.97	65.3	127
j75g	61.93	-52.09	36.83	63.8	145
g00b	52.8	-65.27	20.93	68.56	162
g25b	55.7	-49.57	-8.38	50.28	190
g50b	57.82	-38.39	-28.91	48.07	217
g75b	55.5	-22.04	-45.94	50.97	244
b00r	41.6	1.37	-45.0	45.03	272
b25r	29.0	25.08	-43.12	49.89	300
b50r	38.04	46.53	-28.38	54.51	329
b75r	49.48	72.88	-3.75	72.98	357





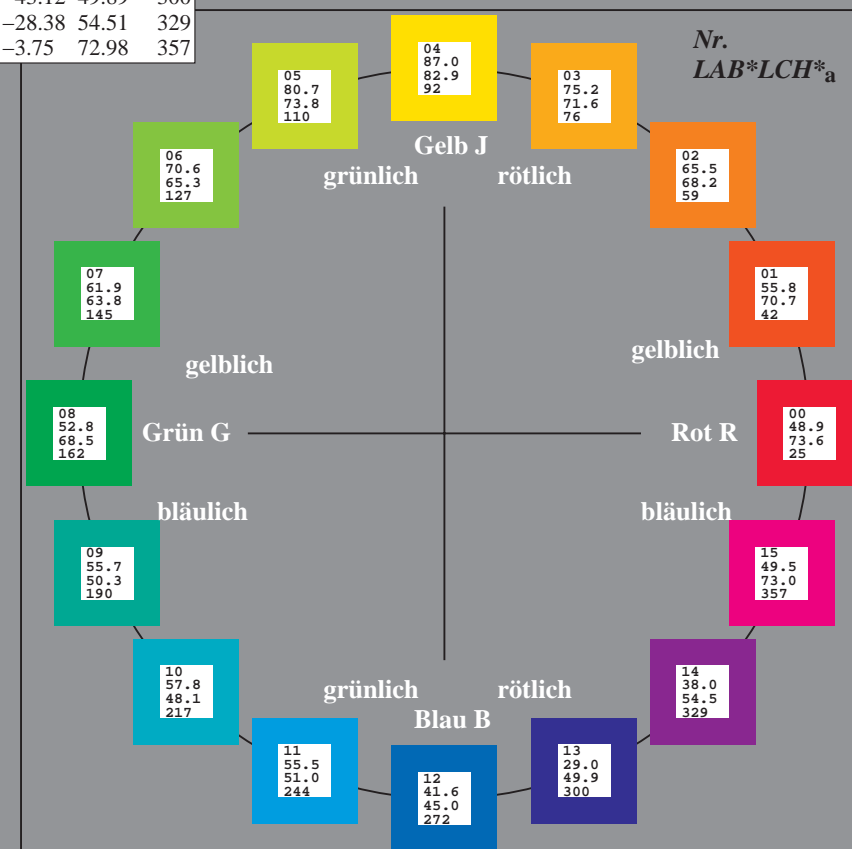
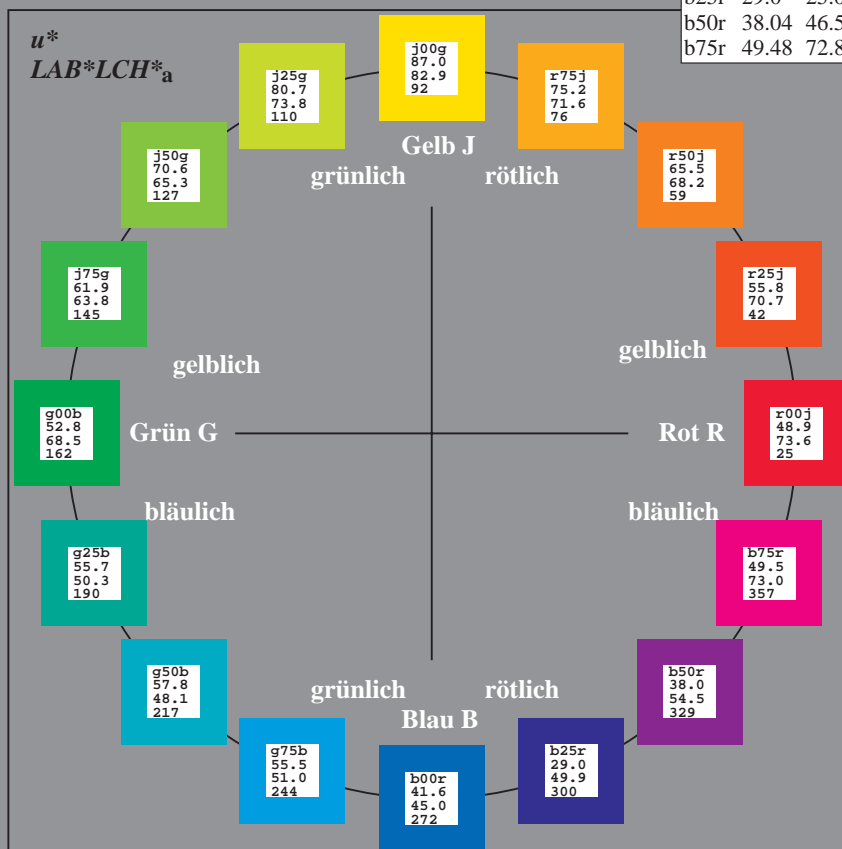
Ein und Ausgabe:  
Farbmetrisches Drucker-Reflektiv-System ORS19\_96a  
Daten für jede Farbe:  
*lab\*<sub>tch</sub>\* und lab\*<sub>icu</sub>\**  
Elementar-Bunttontext:  
*u\* = 16 Buntttöne r00j, r25j, ..., b75r*  
Kontrastreduzierungsfaktor:  
 $c_R = 1.0$

ORS19_96a; adaptierte CIELAB-Daten					
	$L^*_a$	$a^*_a$	$b^*_a$	$C^*_{ab,a}$	$h^*_{ab,a}$
r00j	48.88	66.47	31.67	73.63	25
r25j	55.85	52.39	47.48	70.7	42
r50j	65.45	35.22	58.37	68.17	59
r75j	75.19	17.82	69.41	71.66	76
j00g	87.03	-3.34	82.83	82.9	92
j25g	80.72	-25.0	69.5	73.86	110
j50g	70.64	-39.53	51.97	65.3	127
j75g	61.93	-52.09	36.83	63.8	145
g00b	52.8	-65.27	20.93	68.56	162
g25b	55.7	-49.57	-8.38	50.28	190
g50b	57.82	-38.39	-28.91	48.07	217
g75b	55.5	-22.04	-45.94	50.97	244
b00r	41.6	1.37	-45.0	45.03	272
b25r	29.0	25.08	-43.12	49.89	300
b50r	38.04	46.53	-28.38	54.51	329
b75r	49.48	72.88	-3.75	72.98	357



%Umfang  
 $u^*_{rel} = 89$   
%Regularität  
 $g^*_{H,rel} = 72$   
 $g^*_{C,rel} = 57$

ORS19_96a; adaptierte CIELAB-Daten					
	$L^*_a$	$a^*_a$	$b^*_a$	$C^*_{ab,a}$	$h^*_{ab,a}$
OMa	48.75	65.07	39.43	76.08	31
YMa	90.92	-10.28	87.24	87.85	97
LMa	52.69	-65.43	20.75	68.65	162
CMa	59.61	-28.97	-46.21	54.56	238
VMa	28.39	23.63	-44.12	50.06	298
MMa	49.58	73.93	-9.55	74.55	353
NMa	18.89	0.0	0.0	0.0	0
WMa	96.9	0.0	0.0	0.0	0
RCIE	39.92	58.74	27.99	65.07	25
JCIE	81.26	-2.88	71.56	71.62	92
GCIE	52.23	-42.41	13.6	44.55	162
BCIE	30.57	1.41	-46.46	46.49	272





Ein und Ausgabe: Farbmetrisches Drucker-Reflektiv-System ORS19\_96a für relativen CIELAB-Buntton  $h^* = lab^*h^* = h_{ab}/360 = 25/360 = 0.071$

Daten für jede Farbe:

$lab^*tch^*$  und  $lab^*icu^*$

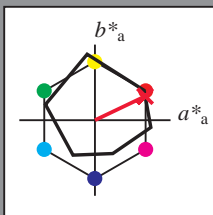
Elementar-Bunttontext:

$u^* = r00j$

Kontrastreduzierungsfaktor:

$c_R = 1.0$

Dreiecks-Helligkeit  $t^*$



ORS19_96a; adaptierte CIELAB-Daten					
	$L^*=L^*_a$	$a^*_a$	$b^*_a$	$C^*_{ab,a}$	$h^*_{ab,a}$
O <sub>Ma</sub>	48.75	65.07	39.43	76.08	31
Y <sub>Ma</sub>	90.92	-10.28	87.24	87.85	97
L <sub>Ma</sub>	52.69	-65.43	20.75	68.65	162
C <sub>Ma</sub>	59.61	-28.97	-46.21	54.56	238
V <sub>Ma</sub>	28.39	23.63	-44.12	50.06	298
M <sub>Ma</sub>	49.58	73.93	-9.55	74.55	353
N <sub>Ma</sub>	18.89	0.0	0.0	0.0	0
W <sub>Ma</sub>	96.9	0.0	0.0	0.0	0
R <sub>CIE</sub>	39.92	58.74	27.99	65.07	25
J <sub>CIE</sub>	81.26	-2.88	71.56	71.62	92
G <sub>CIE</sub>	52.23	-42.41	13.6	44.55	162
B <sub>CIE</sub>	30.57	1.41	-46.46	46.49	272

Daten für Maximalfarbe (Ma):

$LAB^*LAB^*_{Ma}$ : 49 66 32

$LAB^*LCH^*_{Ma}$ : 49 74 25

$lab^*rgb^*_{Ma}$ : 1.0 0.0 0.0

$lab^*olv^*_{Ma}$ : 1.0 0.0 0.16

Dreiecks-Helligkeit  $t^*$

%Umfang

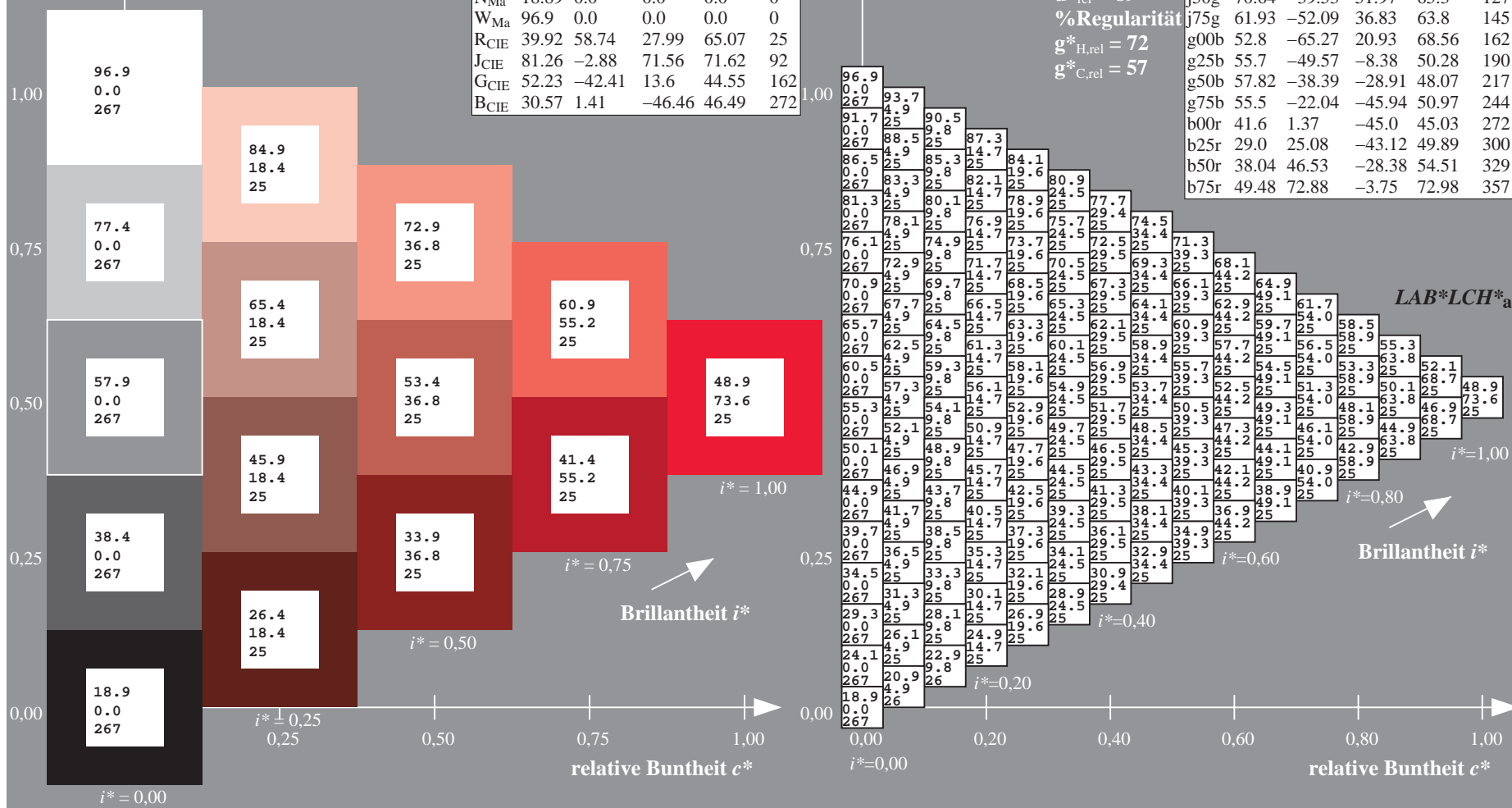
$u^*_{rel} = 89$

%Regularität

$g^*_{H,rel} = 72$

$g^*_{C,rel} = 57$

ORS19_96a; adaptierte CIELAB-Daten					
	$L^*=L^*_a$	$a^*_a$	$b^*_a$	$C^*_{ab,a}$	$h^*_{ab,a}$
r00j	48.88	66.47	31.67	73.63	25
r25j	55.85	52.39	47.48	70.7	42
r50j	65.45	35.22	58.37	68.17	59
r75j	75.19	17.82	69.41	71.66	76
j00g	87.03	-3.34	82.83	82.9	92
j25g	80.72	-25.0	69.5	73.86	110
j50g	70.64	-39.53	51.97	65.3	127
j75g	61.93	-52.09	36.83	63.8	145
g00b	52.8	-65.27	20.93	68.56	162
g25b	55.7	-49.57	-8.38	50.28	190
g50b	57.82	-38.39	-28.91	48.07	217
g75b	55.5	-22.04	-45.94	50.97	244
b00r	41.6	1.37	-45.0	45.03	272
b25r	29.0	25.08	-43.12	49.89	300
b50r	38.04	46.53	-28.38	54.51	329
b75r	49.48	72.88	-3.75	72.98	357





Ein und Ausgabe: Farbmetrisches Drucker-Reflektiv-System ORS19\_96a für relativen CIELAB-Buntton  $h^* = \text{lab}^*h^* = h_{ab}/360 = 42/360 = 0.117$   $u^* = r25j$

Daten für jede Farbe:

$\text{lab}^*ch^*$  und  $\text{lab}^*icu^*$

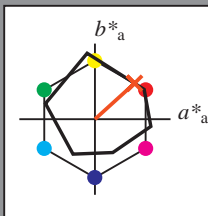
Elementar-Bunttontext:

$u^* = r25j$

Kontrastreduzierungsfaktor:

$c_R = 1.0$

Dreiecks-Helligkeit  $i^*$



ORS19_96a; adaptierte CIELAB-Daten					
	$L^*=L^*_a$	$a^*_a$	$b^*_a$	$C^*_{ab,a}$	$h^*_{ab,a}$
O <sub>Ma</sub>	48.75	65.07	39.43	76.08	31
Y <sub>Ma</sub>	90.92	-10.28	87.24	87.85	97
L <sub>Ma</sub>	52.69	-65.43	20.75	68.65	162
C <sub>Ma</sub>	59.61	-28.97	-46.21	54.56	238
V <sub>Ma</sub>	28.39	23.63	-44.12	50.06	298
M <sub>Ma</sub>	49.58	73.93	-9.55	74.55	353
N <sub>Ma</sub>	18.89	0.0	0.0	0.0	0
W <sub>Ma</sub>	96.9	0.0	0.0	0.0	0
R <sub>CIE</sub>	39.92	58.74	27.99	65.07	25
J <sub>CIE</sub>	81.26	-2.88	71.56	71.62	92
G <sub>CIE</sub>	52.23	-42.41	13.6	44.55	162
B <sub>CIE</sub>	30.57	1.41	-46.46	46.49	272

Daten für Maximalfarbe (Ma):

$\text{LAB}^*\text{LAB}^*_{\text{Ma}}$ : 56 52 47

$\text{LAB}^*\text{LCH}^*_{\text{Ma}}$ : 56 71 42

$\text{lab}^*\text{rgb}^*_{\text{Ma}}$ : 1.0 0.25 0.0

$\text{lab}^*\text{olv}^*_{\text{Ma}}$ : 1.0 0.17 0.0

Dreiecks-Helligkeit  $i^*$

%Umfang

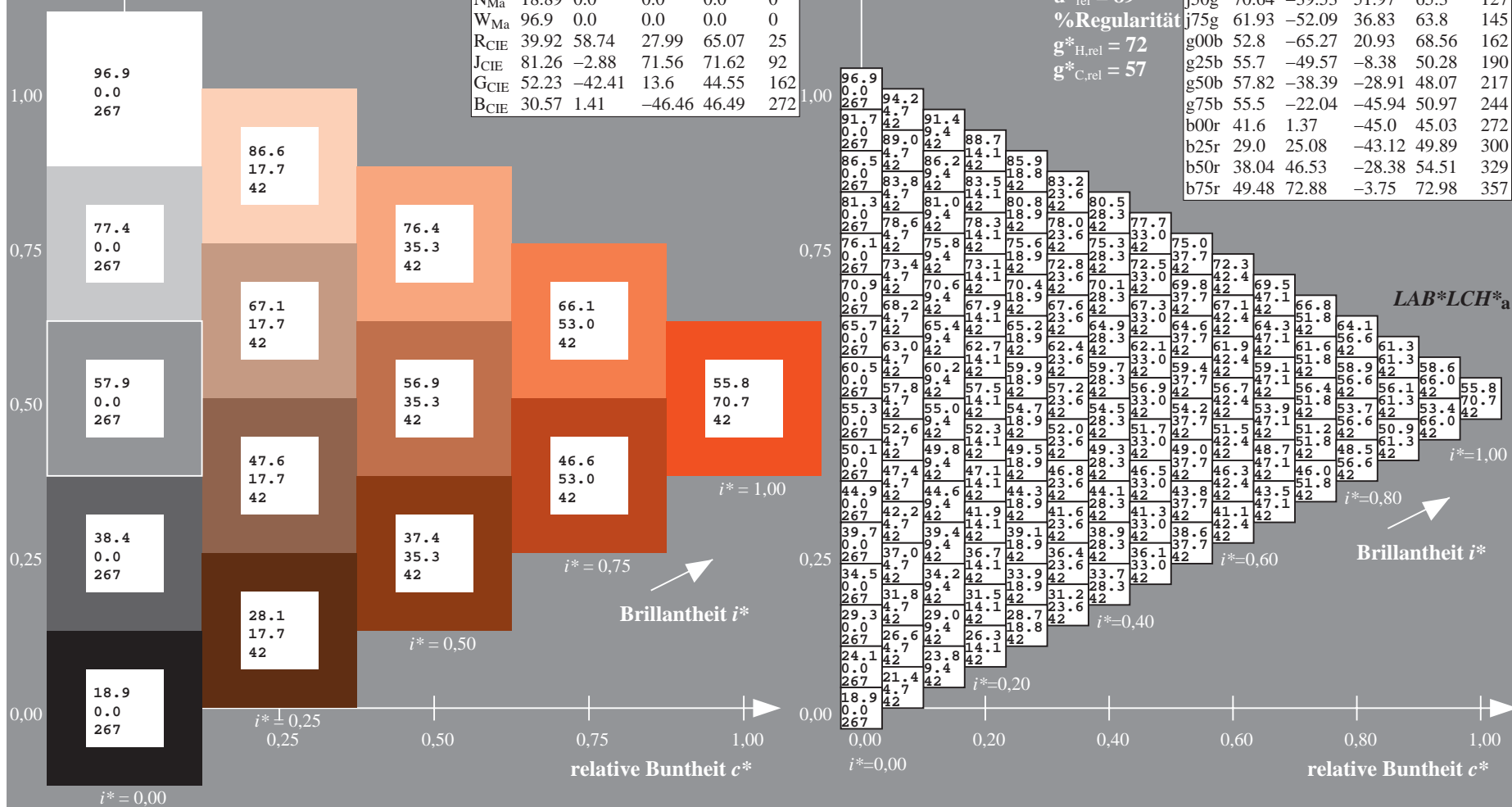
$u^*_{\text{rel}} = 89$

%Regularität

$g^*_{H,\text{rel}} = 72$

$g^*_{C,\text{rel}} = 57$

ORS19_96a; adaptierte CIELAB-Daten					
	$L^*=L^*_a$	$a^*_a$	$b^*_a$	$C^*_{ab,a}$	$h^*_{ab,a}$
r00j	48.88	66.47	31.67	73.63	25
r25j	55.85	52.39	47.48	70.7	42
r50j	65.45	35.22	58.37	68.17	59
r75j	75.19	17.82	69.41	71.66	76
j00g	87.03	-3.34	82.83	82.9	92
j25g	80.72	-25.0	69.5	73.86	110
j50g	70.64	-39.53	51.97	65.3	127
j75g	61.93	-52.09	36.83	63.8	145
g00b	52.8	-65.27	20.93	68.56	162
g25b	55.7	-49.57	-8.38	50.28	190
g50b	57.82	-38.39	-28.91	48.07	217
g75b	55.5	-22.04	-45.94	50.97	244
b00r	41.6	1.37	-45.0	45.03	272
b25r	29.0	25.08	-43.12	49.89	300
b50r	38.04	46.53	-28.38	54.51	329
b75r	49.48	72.88	-3.75	72.98	357



Ein und Ausgabe: Farbmetrisches Drucker-Reflektiv-System ORS19\_96a für relativen CIELAB-Buntton  $h^* = lab^*h^* = h_{ab}/360 = 59/360 = 0.164$   $u^* = r50j$

Daten für jede Farbe:

$lab^*ch^*$  und  $lab^*icu^*$

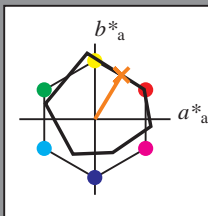
Elementar-Bunttontext:

$u^* = r50j$

Kontrastreduzierungsfaktor:

$c_R = 1.0$

Dreiecks-Helligkeit  $i^*$



ORS19_96a; adaptierte CIELAB-Daten					
	$L^*=L_a^*$	$a_a^*$	$b_a^*$	$C^*_{ab,a}$	$h^*_{ab,a}$
O <sub>Ma</sub>	48.75	65.07	39.43	76.08	31
Y <sub>Ma</sub>	90.92	-10.28	87.24	87.85	97
L <sub>Ma</sub>	52.69	-65.43	20.75	68.65	162
C <sub>Ma</sub>	59.61	-28.97	-46.21	54.56	238
V <sub>Ma</sub>	28.39	23.63	-44.12	50.06	298
M <sub>Ma</sub>	49.58	73.93	-9.55	74.55	353
N <sub>Ma</sub>	18.89	0.0	0.0	0.0	0
W <sub>Ma</sub>	96.9	0.0	0.0	0.0	0
R <sub>CIE</sub>	39.92	58.74	27.99	65.07	25
J <sub>CIE</sub>	81.26	-2.88	71.56	71.62	92
G <sub>CIE</sub>	52.23	-42.41	13.6	44.55	162
B <sub>CIE</sub>	30.57	1.41	-46.46	46.49	272

Daten für Maximalfarbe (Ma):

$LAB^*LAB^*_{Ma}$ : 65 35 58

$LAB^*LCH^*_{Ma}$ : 65 68 59

$lab^*rgb^*_{Ma}$ : 1.0 0.5 0.0

$lab^*olv^*_{Ma}$ : 1.0 0.4 0.0

Dreiecks-Helligkeit  $i^*$

%Umfang

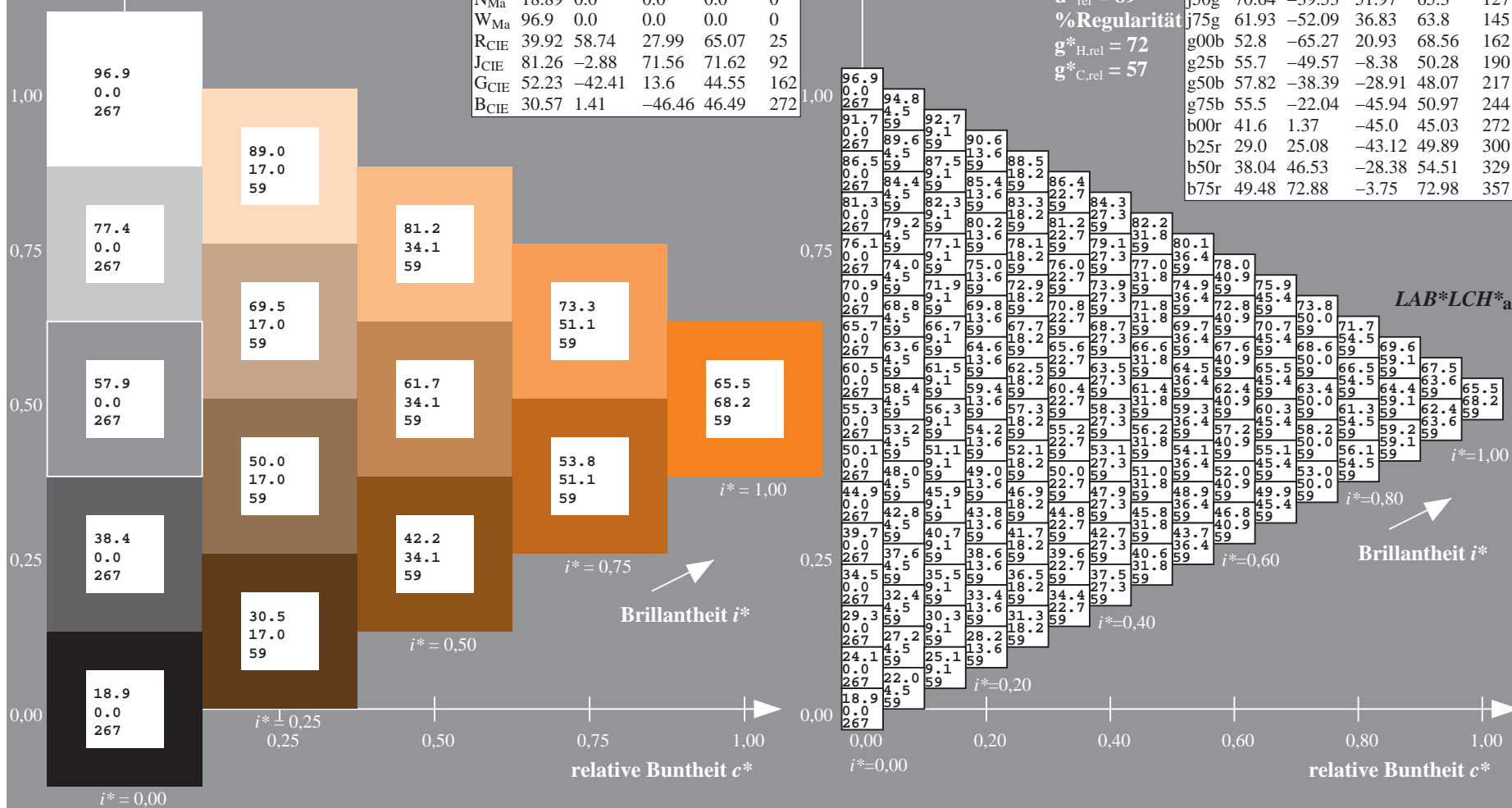
$u^*_{rel} = 89$

%Regularität

$g^*_{H,rel} = 72$

$g^*_{C,rel} = 57$

ORS19_96a; adaptierte CIELAB-Daten					
	$L^*=L_a^*$	$a_a^*$	$b_a^*$	$C^*_{ab,a}$	$h^*_{ab,a}$
r00j	48.88	66.47	31.67	73.63	25
r25j	55.85	52.39	47.48	70.7	42
r50j	65.45	35.22	58.37	68.17	59
r75j	75.19	17.82	69.41	71.66	76
j00g	87.03	-3.34	82.83	82.9	92
j25g	80.72	-25.0	69.5	73.86	110
j50g	70.64	-39.53	51.97	65.3	127
j75g	61.93	-52.09	36.83	63.8	145
g00b	52.8	-65.27	20.93	68.56	162
g25b	55.7	-49.57	-8.38	50.28	190
g50b	57.82	-38.39	-28.91	48.07	217
g75b	55.5	-22.04	-45.94	50.97	244
b00r	41.6	1.37	-45.0	45.03	272
b25r	29.0	25.08	-43.12	49.89	300
b50r	38.04	46.53	-28.38	54.51	329
b75r	49.48	72.88	-3.75	72.98	357



Ein und Ausgabe: Farbmetrisches Drucker-Reflektiv-System ORS19\_96a für relativen CIELAB-Buntton  $h^* = lab^*h^* = h_{ab}/360 = 76/360 = 0.21$

Daten für jede Farbe:

$lab^*ch^*$  und  $lab^*icu^*$

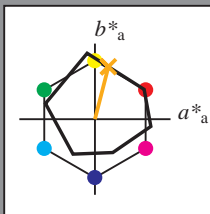
Elementar-Bunttontext:

$u^* = r75j$

Kontrastreduzierungsfaktor:

$c_R = 1.0$

Dreiecks-Helligkeit  $i^*$



ORS19_96a; adaptierte CIELAB-Daten					
	$L^*=L^*_a$	$a^*_a$	$b^*_a$	$C^*_{ab,a}$	$h^*_{ab,a}$
O <sub>Ma</sub>	48.75	65.07	39.43	76.08	31
Y <sub>Ma</sub>	90.92	-10.28	87.24	87.85	97
L <sub>Ma</sub>	52.69	-65.43	20.75	68.65	162
C <sub>Ma</sub>	59.61	-28.97	-46.21	54.56	238
V <sub>Ma</sub>	28.39	23.63	-44.12	50.06	298
M <sub>Ma</sub>	49.58	73.93	-9.55	74.55	353
N <sub>Ma</sub>	18.89	0.0	0.0	0.0	0
W <sub>Ma</sub>	96.9	0.0	0.0	0.0	0
R <sub>CIE</sub>	39.92	58.74	27.99	65.07	25
J <sub>CIE</sub>	81.26	-2.88	71.56	71.62	92
G <sub>CIE</sub>	52.23	-42.41	13.6	44.55	162
B <sub>CIE</sub>	30.57	1.41	-46.46	46.49	272

Daten für Maximalfarbe (Ma):

$LAB^*LAB^*_{Ma}$ : 75 18 69

$LAB^*LCH^*_{Ma}$ : 75 72 76

$lab^*rgb^*_{Ma}$ : 1.0 0.75 0.0

$lab^*olv^*_{Ma}$ : 1.0 0.63 0.0

Dreiecks-Helligkeit  $i^*$

%Umfang

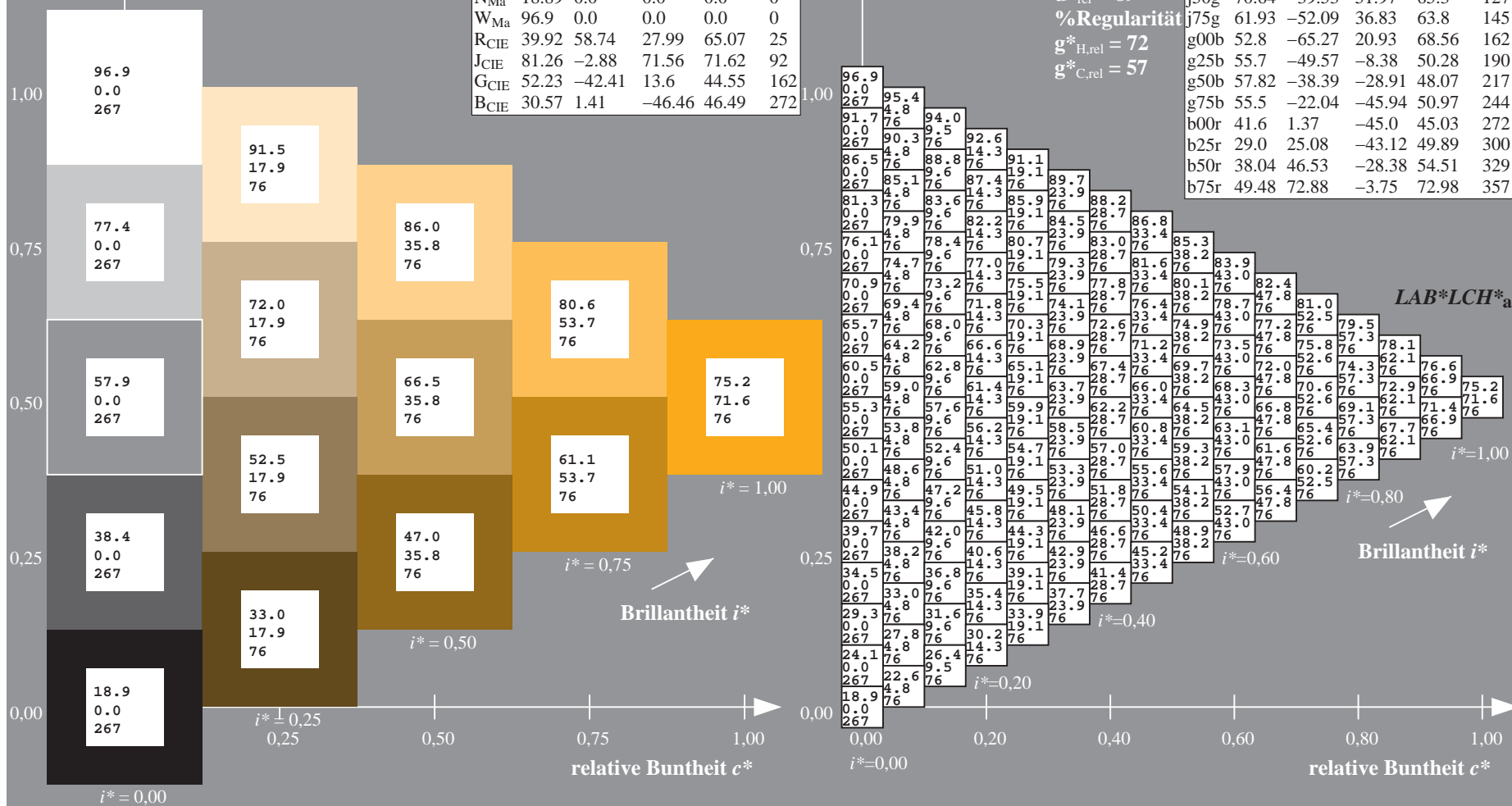
$u^*_{rel} = 89$

%Regularität

$g^*_{H,rel} = 72$

$g^*_{C,rel} = 57$

ORS19_96a; adaptierte CIELAB-Daten					
	$L^*=L^*_a$	$a^*_a$	$b^*_a$	$C^*_{ab,a}$	$h^*_{ab,a}$
r00j	48.88	66.47	31.67	73.63	25
r25j	55.85	52.39	47.48	70.7	42
r50j	65.45	35.22	58.37	68.17	59
r75j	75.19	17.82	69.41	71.66	76
j00g	87.03	-3.34	82.83	82.9	92
j25g	80.72	-25.0	69.5	73.86	110
j50g	70.64	-39.53	51.97	65.3	127
j75g	61.93	-52.09	36.83	63.8	145
g00b	52.8	-65.27	20.93	68.56	162
g25b	55.7	-49.57	-8.38	50.28	190
g50b	57.82	-38.39	-28.91	48.07	217
g75b	55.5	-22.04	-45.94	50.97	244
b00r	41.6	1.37	-45.0	45.03	272
b25r	29.0	25.08	-43.12	49.89	300
b50r	38.04	46.53	-28.38	54.51	329
b75r	49.48	72.88	-3.75	72.98	357



Ein und Ausgabe: Farbmetrisches Drucker-Reflektiv-System ORS19\_96a für relativen CIELAB-Buntton  $h^* = lab^*h^* = h_{ab}/360 = 92/360 = 0.256$   $u^* = j00g$

Daten für jede Farbe:

$lab^*ch^*$  und  $lab^*icu^*$

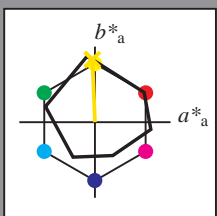
Elementar-Bunttontext:

$u^* = j00g$

Kontrastreduzierungsfaktor:

$c_R = 1.0$

Dreiecks-Helligkeit  $t^*$



ORS19_96a; adaptierte CIELAB-Daten					
	$L^*=L^*_a$	$a^*_a$	$b^*_a$	$C^*_{ab,a}$	$h^*_{ab,a}$
O <sub>Ma</sub>	48.75	65.07	39.43	76.08	31
Y <sub>Ma</sub>	90.92	-10.28	87.24	87.85	97
L <sub>Ma</sub>	52.69	-65.43	20.75	68.65	162
C <sub>Ma</sub>	59.61	-28.97	-46.21	54.56	238
V <sub>Ma</sub>	28.39	23.63	-44.12	50.06	298
M <sub>Ma</sub>	49.58	73.93	-9.55	74.55	353
N <sub>Ma</sub>	18.89	0.0	0.0	0.0	0
W <sub>Ma</sub>	96.9	0.0	0.0	0.0	0
R <sub>CIE</sub>	39.92	58.74	27.99	65.07	25
J <sub>CIE</sub>	81.26	-2.88	71.56	71.62	92
G <sub>CIE</sub>	52.23	-42.41	13.6	44.55	162
B <sub>CIE</sub>	30.57	1.41	-46.46	46.49	272

Daten für Maximalfarbe (Ma):

$LAB^*LAB^*_{Ma}$ : 87 -2 83

$LAB^*LCH^*_{Ma}$ : 87 83 92

$lab^*rgb^*_{Ma}$ : 1.0 1.0 0.0

$lab^*olv^*_{Ma}$ : 1.0 0.91 0.0

Dreiecks-Helligkeit  $t^*$

%Umfang

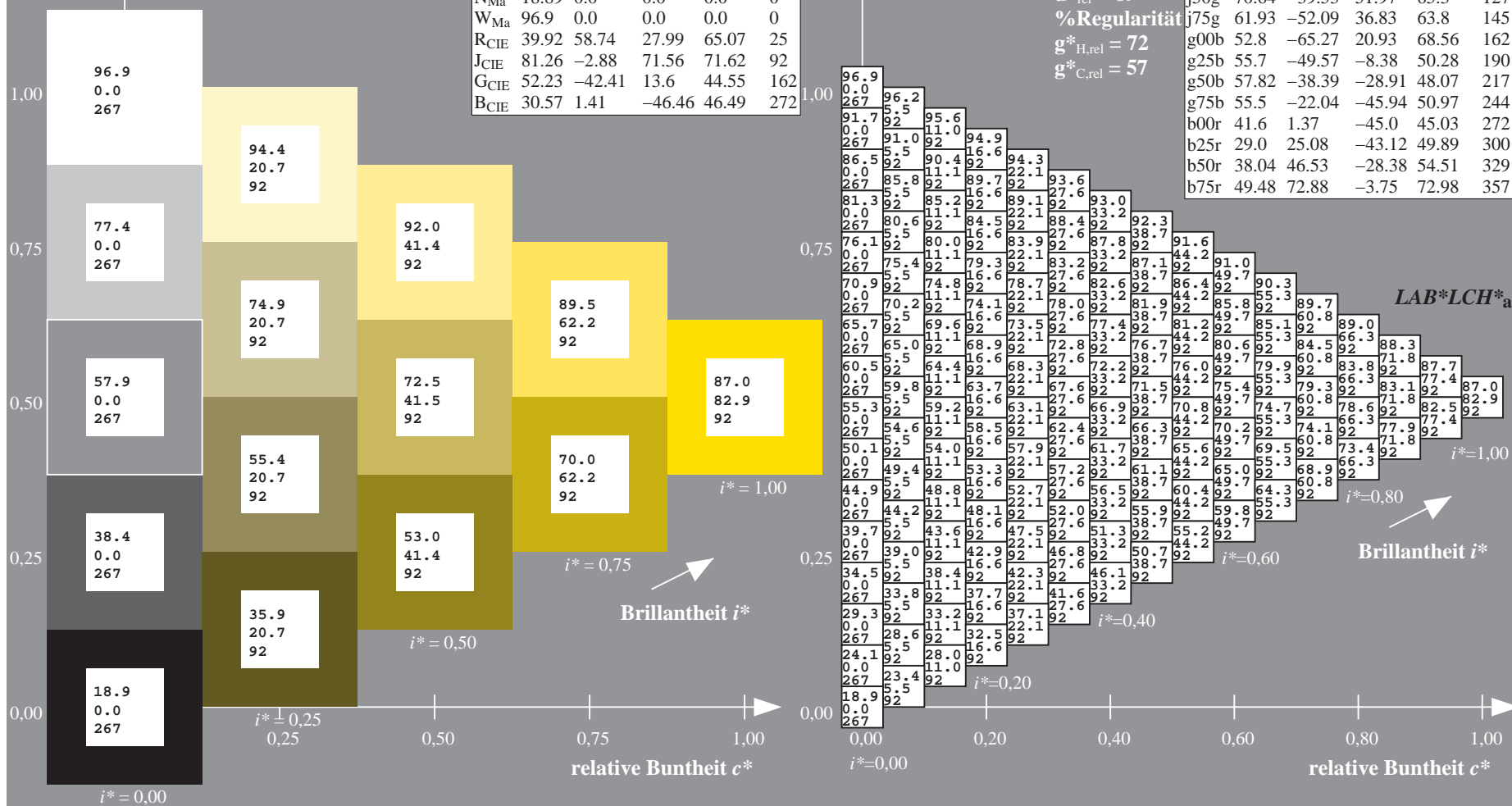
$u^*_{rel} = 89$

%Regularität

$g^*_{H,rel} = 72$

$g^*_{C,rel} = 57$

ORS19_96a; adaptierte CIELAB-Daten					
	$L^*=L^*_a$	$a^*_a$	$b^*_a$	$C^*_{ab,a}$	$h^*_{ab,a}$
r00j	48.88	66.47	31.67	73.63	25
r25j	55.85	52.39	47.48	70.7	42
r50j	65.45	35.22	58.37	68.17	59
r75j	75.19	17.82	69.41	71.66	76
j00g	87.03	-3.34	82.83	82.9	92
j25g	80.72	-25.0	69.5	73.86	110
j50g	70.64	-39.53	51.97	65.3	127
j75g	61.93	-52.09	36.83	63.8	145
g00b	52.8	-65.27	20.93	68.56	162
g25b	55.7	-49.57	-8.38	50.28	190
g50b	57.82	-38.39	-28.91	48.07	217
g75b	55.5	-22.04	-45.94	50.97	244
b00r	41.6	1.37	-45.0	45.03	272
b25r	29.0	25.08	-43.12	49.89	300
b50r	38.04	46.53	-28.38	54.51	329
b75r	49.48	72.88	-3.75	72.98	357





Ein und Ausgabe: Farbmetrisches Drucker-Reflektiv-System ORS19\_96a für relativen CIELAB-Buntton  $h^* = lab^*h^* = h_{ab}/360 = 110/360 = 0.305$   $u^* = j25g$

Daten für jede Farbe:

$lab^*tch^*$  und  $lab^*icu^*$

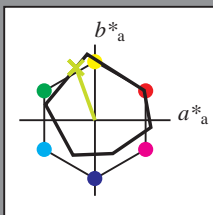
Elementar-Bunttontext:

$u^* = j25g$

Kontrastreduzierungsfaktor:

$c_R = 1.0$

Dreiecks-Helligkeit  $i^*$



ORS19_96a; adaptierte CIELAB-Daten					
	$L^*=L^*_a$	$a^*_a$	$b^*_a$	$C^*_{ab,a}$	$h^*_{ab,a}$
O <sub>Ma</sub>	48.75	65.07	39.43	76.08	31
Y <sub>Ma</sub>	90.92	-10.28	87.24	87.85	97
L <sub>Ma</sub>	52.69	-65.43	20.75	68.65	162
C <sub>Ma</sub>	59.61	-28.97	-46.21	54.56	238
V <sub>Ma</sub>	28.39	23.63	-44.12	50.06	298
M <sub>Ma</sub>	49.58	73.93	-9.55	74.55	353
N <sub>Ma</sub>	18.89	0.0	0.0	0.0	0
W <sub>Ma</sub>	96.9	0.0	0.0	0.0	0
R <sub>CIE</sub>	39.92	58.74	27.99	65.07	25
J <sub>CIE</sub>	81.26	-2.88	71.56	71.62	92
G <sub>CIE</sub>	52.23	-42.41	13.6	44.55	162
B <sub>CIE</sub>	30.57	1.41	-46.46	46.49	272

Daten für Maximalfarbe (Ma):

$LAB^*LAB^*_{Ma}$ : 81 -24 69

$LAB^*LCH^*_{Ma}$ : 81 74 110

$lab^*rgb^*_{Ma}$ : 0.75 1.0 0.0

$lab^*olv^*_{Ma}$ : 0.73 1.0 0.0

Dreiecks-Helligkeit  $i^*$

%Umfang

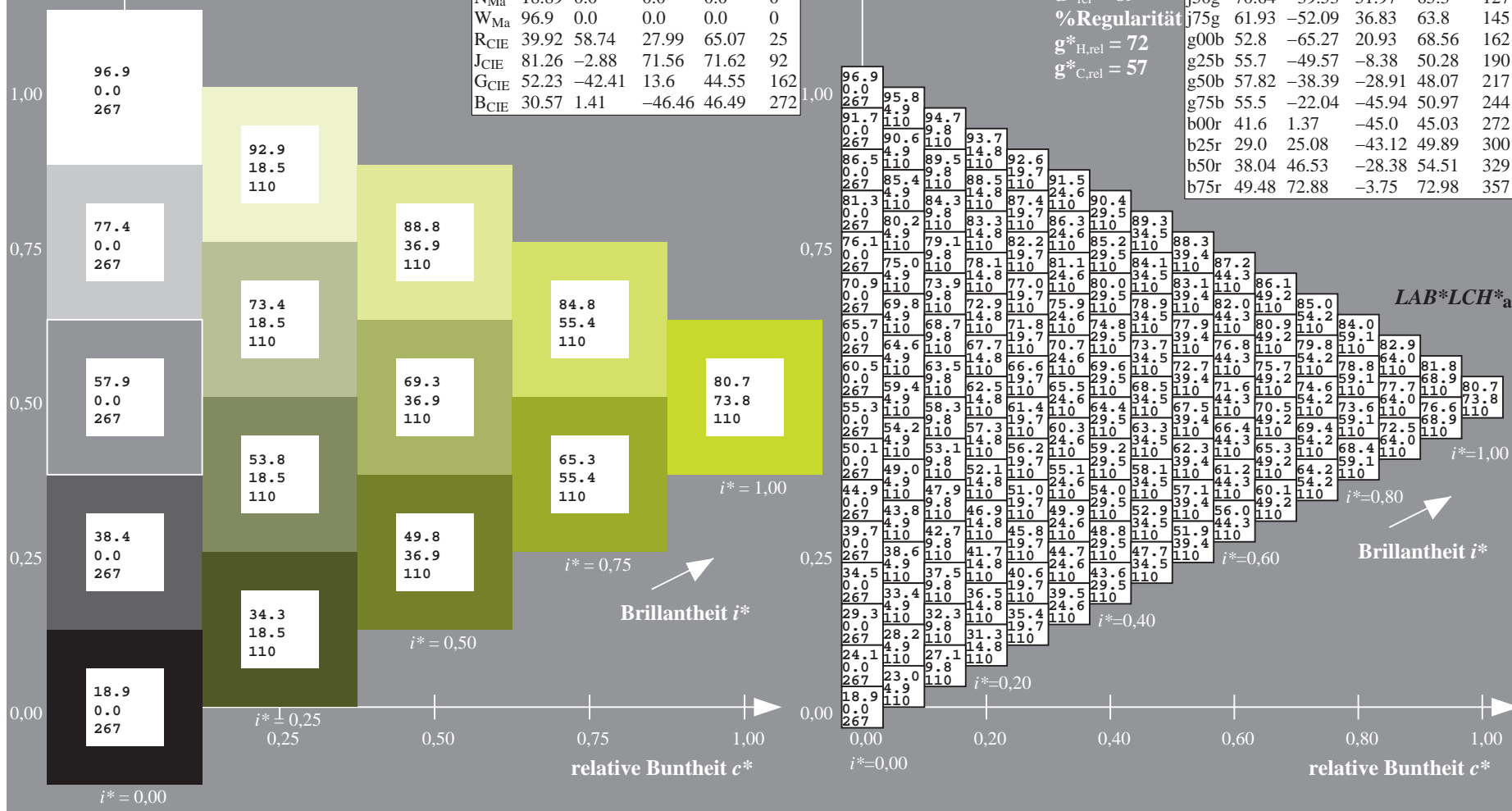
$u^*_{rel} = 89$

%Regularität

$g^*_{H,rel} = 72$

$g^*_{C,rel} = 57$

ORS19_96a; adaptierte CIELAB-Daten					
	$L^*=L^*_a$	$a^*_a$	$b^*_a$	$C^*_{ab,a}$	$h^*_{ab,a}$
r00j	48.88	66.47	31.67	73.63	25
r25j	55.85	52.39	47.48	70.7	42
r50j	65.45	35.22	58.37	68.17	59
r75j	75.19	17.82	69.41	71.66	76
j00g	87.03	-3.34	82.83	82.9	92
j25g	80.72	-25.0	69.5	73.86	110
j50g	70.64	-39.53	51.97	65.3	127
j75g	61.93	-52.09	36.83	63.8	145
g00b	52.8	-65.27	20.93	68.56	162
g25b	55.7	-49.57	-8.38	50.28	190
g50b	57.82	-38.39	-28.91	48.07	217
g75b	55.5	-22.04	-45.94	50.97	244
b00r	41.6	1.37	-45.0	45.03	272
b25r	29.0	25.08	-43.12	49.89	300
b50r	38.04	46.53	-28.38	54.51	329
b75r	49.48	72.88	-3.75	72.98	357





Ein und Ausgabe: Farbmetrisches Drucker-Reflektiv-System ORS19\_96a für relativen CIELAB-Buntton  $h^* = lab^*h^* = h_{ab}/360 = 127/360 = 0.354$   $u^* = j50g$

Daten für jede Farbe:

$lab^*ch^*$  und  $lab^*icu^*$

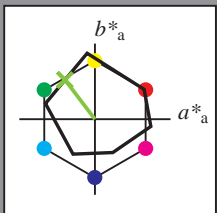
Elementar-Bunttontext:

$u^* = j50g$

Kontrastreduzierungsfaktor:

$c_R = 1.0$

Dreiecks-Helligkeit  $i^*$



ORS19\_96a; adaptierte CIELAB-Daten

	$L^*=L^*_a$	$a^*_a$	$b^*_a$	$C^*_{ab,a}$	$h^*_{ab,a}$
O <sub>Ma</sub>	48.75	65.07	39.43	76.08	31
Y <sub>Ma</sub>	90.92	-10.28	87.24	87.85	97
L <sub>Ma</sub>	52.69	-65.43	20.75	68.65	162
C <sub>Ma</sub>	59.61	-28.97	-46.21	54.56	238
V <sub>Ma</sub>	28.39	23.63	-44.12	50.06	298
M <sub>Ma</sub>	49.58	73.93	-9.55	74.55	353
N <sub>Ma</sub>	18.89	0.0	0.0	0.0	0
W <sub>Ma</sub>	96.9	0.0	0.0	0.0	0
R <sub>CIE</sub>	39.92	58.74	27.99	65.07	25
J <sub>CIE</sub>	81.26	-2.88	71.56	71.62	92
G <sub>CIE</sub>	52.23	-42.41	13.6	44.55	162
B <sub>CIE</sub>	30.57	1.41	-46.46	46.49	272

Daten für Maximalfarbe (Ma):

$LAB^*LAB^*_{Ma}$ : 71 -39 52

$LAB^*LCH^*_{Ma}$ : 71 65 127

$lab^*rgb^*_{Ma}$ : 0.5 1.0 0.0

$lab^*olv^*_{Ma}$ : 0.47 1.0 0.0

Dreiecks-Helligkeit  $i^*$

%Umfang

$u^*_{rel} = 89$

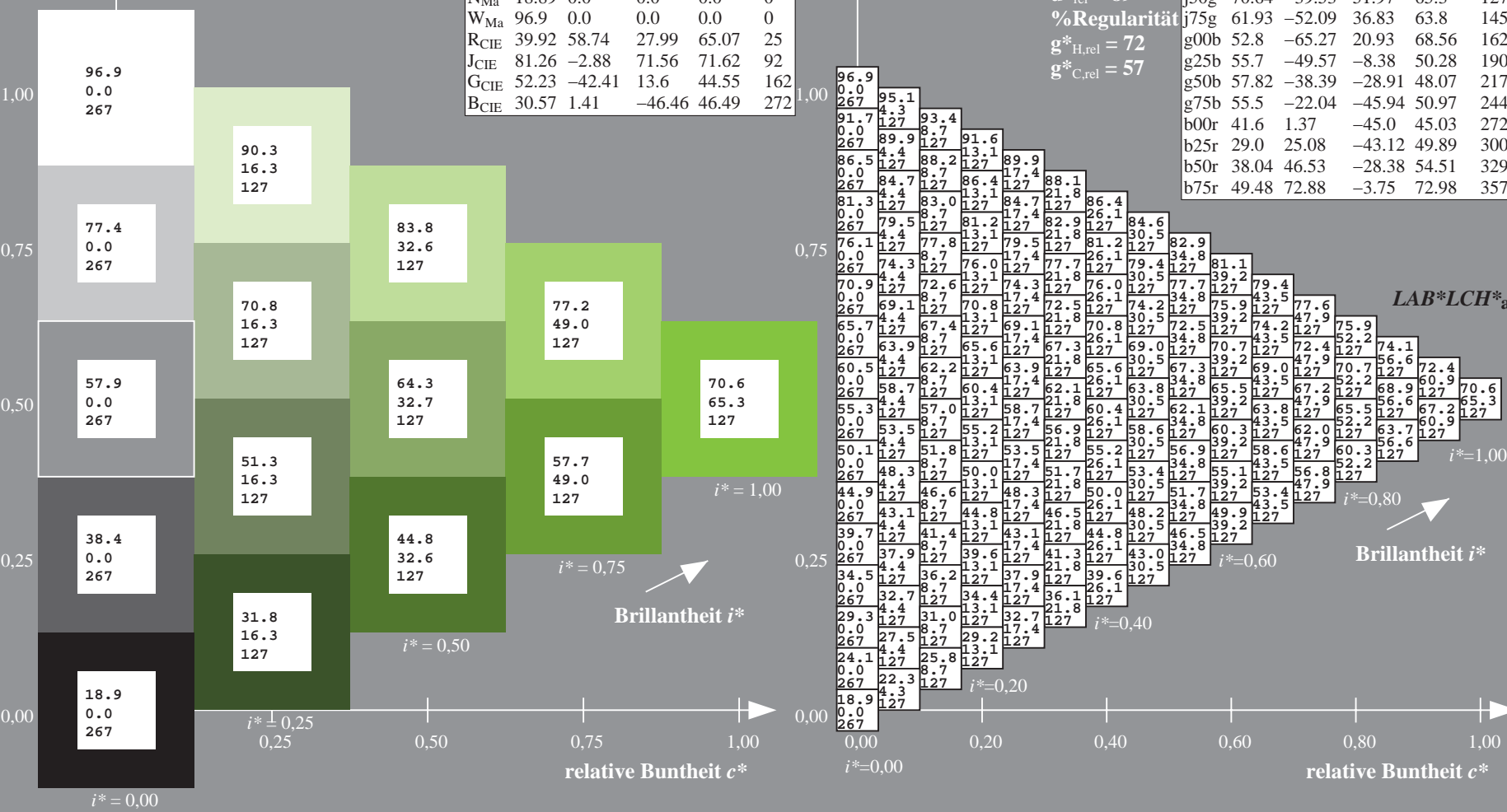
%Regularität

$g^*_{H,rel} = 72$

$g^*_{C,rel} = 57$

ORS19\_96a; adaptierte CIELAB-Daten

	$L^*=L^*_a$	$a^*_a$	$b^*_a$	$C^*_{ab,a}$	$h^*_{ab,a}$
r00j	48.88	66.47	31.67	73.63	25
r25j	55.85	52.39	47.48	70.7	42
r50j	65.45	35.22	58.37	68.17	59
r75j	75.19	17.82	69.41	71.66	76
j00g	87.03	-3.34	82.83	82.9	92
j25g	80.72	-25.0	69.5	73.86	110
j50g	70.64	-39.53	51.97	65.3	127
j75g	61.93	-52.09	36.83	63.8	145
g00b	52.8	-65.27	20.93	68.56	162
g25b	55.7	-49.57	-8.38	50.28	190
g50b	57.82	-38.39	-28.91	48.07	217
g75b	55.5	-22.04	-45.94	50.97	244
b00r	41.6	1.37	-45.0	45.03	272
b25r	29.0	25.08	-43.12	49.89	300
b50r	38.04	46.53	-28.38	54.51	329
b75r	49.48	72.88	-3.75	72.98	357



Ein und Ausgabe: Farbmetrisches Drucker-Reflektiv-System ORS19\_96a für relativen CIELAB-Buntton  $h^* = lab^*h^* = h_{ab}/360 = 145/360 = 0.402$   $u^* = j75g$

Daten für jede Farbe:

$lab^*ch^*$  und  $lab^*icu^*$

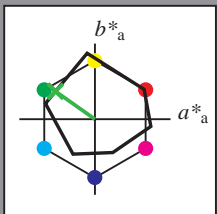
Elementar-Bunttonext:

$u^* = j75g$

Kontrastreduzierungsfaktor:

$c_R = 1.0$

Dreiecks-Helligkeit  $i^*$



ORS19\_96a; adaptierte CIELAB-Daten

	$L^*=L^*_a$	$a^*_a$	$b^*_a$	$C^*_{ab,a}$	$h^*_{ab,a}$
O <sub>Ma</sub>	48.75	65.07	39.43	76.08	31
Y <sub>Ma</sub>	90.92	-10.28	87.24	87.85	97
L <sub>Ma</sub>	52.69	-65.43	20.75	68.65	162
C <sub>Ma</sub>	59.61	-28.97	-46.21	54.56	238
V <sub>Ma</sub>	28.39	23.63	-44.12	50.06	298
M <sub>Ma</sub>	49.58	73.93	-9.55	74.55	353
N <sub>Ma</sub>	18.89	0.0	0.0	0.0	0
W <sub>Ma</sub>	96.9	0.0	0.0	0.0	0
R <sub>CIE</sub>	39.92	58.74	27.99	65.07	25
J <sub>CIE</sub>	81.26	-2.88	71.56	71.62	92
G <sub>CIE</sub>	52.23	-42.41	13.6	44.55	162
B <sub>CIE</sub>	30.57	1.41	-46.46	46.49	272

Daten für Maximalfarbe (Ma):

$LAB^*LAB^*_{Ma}$ : 62 -51 37

$LAB^*LCH^*_{Ma}$ : 62 64 145

$lab^*rgb^*_{Ma}$ : 0.25 1.0 0.0

$lab^*olv^*_{Ma}$ : 0.24 1.0 0.0

Dreiecks-Helligkeit  $i^*$

%Umfang

$u^*_{rel} = 89$

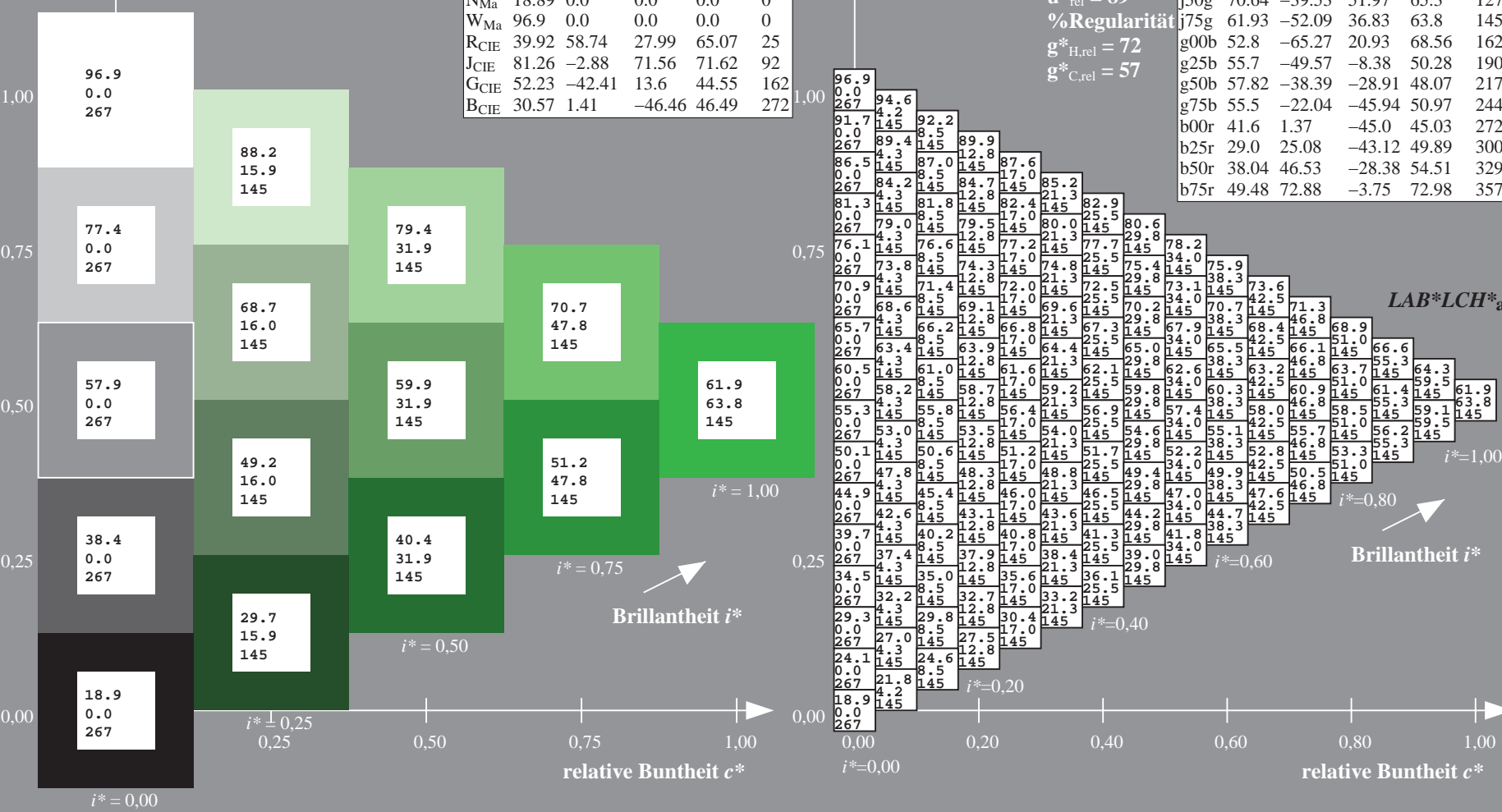
%Regularität

$g^*_{H,rel} = 72$

$g^*_{C,rel} = 57$

ORS19\_96a; adaptierte CIELAB-Daten

	$L^*=L^*_a$	$a^*_a$	$b^*_a$	$C^*_{ab,a}$	$h^*_{ab,a}$
r00j	48.88	66.47	31.67	73.63	25
r25j	55.85	52.39	47.48	70.7	42
r50j	65.45	35.22	58.37	68.17	59
r75j	75.19	17.82	69.41	71.66	76
j00g	87.03	-3.34	82.83	82.9	92
j25g	80.72	-25.0	69.5	73.86	110
j50g	70.64	-39.53	51.97	65.3	127
j75g	61.93	-52.09	36.83	63.8	145
g00b	52.8	-65.27	20.93	68.56	162
g25b	55.7	-49.57	-8.38	50.28	190
g50b	57.82	-38.39	-28.91	48.07	217
g75b	55.5	-22.04	-45.94	50.97	244
b00r	41.6	1.37	-45.0	45.03	272
b25r	29.0	25.08	-43.12	49.89	300
b50r	38.04	46.53	-28.38	54.51	329
b75r	49.48	72.88	-3.75	72.98	357



Ein und Ausgabe: Farbmetrisches Drucker-Reflektiv-System ORS19\_96a für relativen CIELAB-Buntton  $h^* = lab^*h^* = h_{ab}/360 = 162/360 = 0.451$   $u^* = g00b$

Daten für jede Farbe:

$lab^*ch^*$  und  $lab^*icu^*$

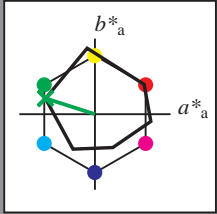
Elementar-Bunttontext:

$u^* = g00b$

Kontrastreduzierungsfaktor:

$c_R = 1.0$

Dreiecks-Helligkeit  $i^*$



ORS19_96a; adaptierte CIELAB-Daten					
	$L^*=L^*_a$	$a^*_a$	$b^*_a$	$C^*_{ab,a}$	$h^*_{ab,a}$
O <sub>Ma</sub>	48.75	65.07	39.43	76.08	31
Y <sub>Ma</sub>	90.92	-10.28	87.24	87.85	97
L <sub>Ma</sub>	52.69	-65.43	20.75	68.65	162
C <sub>Ma</sub>	59.61	-28.97	-46.21	54.56	238
V <sub>Ma</sub>	28.39	23.63	-44.12	50.06	298
M <sub>Ma</sub>	49.58	73.93	-9.55	74.55	353
N <sub>Ma</sub>	18.89	0.0	0.0	0.0	0
W <sub>Ma</sub>	96.9	0.0	0.0	0.0	0
R <sub>CIE</sub>	39.92	58.74	27.99	65.07	25
J <sub>CIE</sub>	81.26	-2.88	71.56	71.62	92
G <sub>CIE</sub>	52.23	-42.41	13.6	44.55	162
B <sub>CIE</sub>	30.57	1.41	-46.46	46.49	272

Daten für Maximalfarbe (Ma):

$LAB^*LAB^*_{Ma}$ : 53 -64 21

$LAB^*LCH^*_{Ma}$ : 53 69 162

$lab^*rgb^*_{Ma}$ : 0.0 1.0 0.0

$lab^*olv^*_{Ma}$ : 0.0 1.0 0.0

Dreiecks-Helligkeit  $i^*$

%Umfang

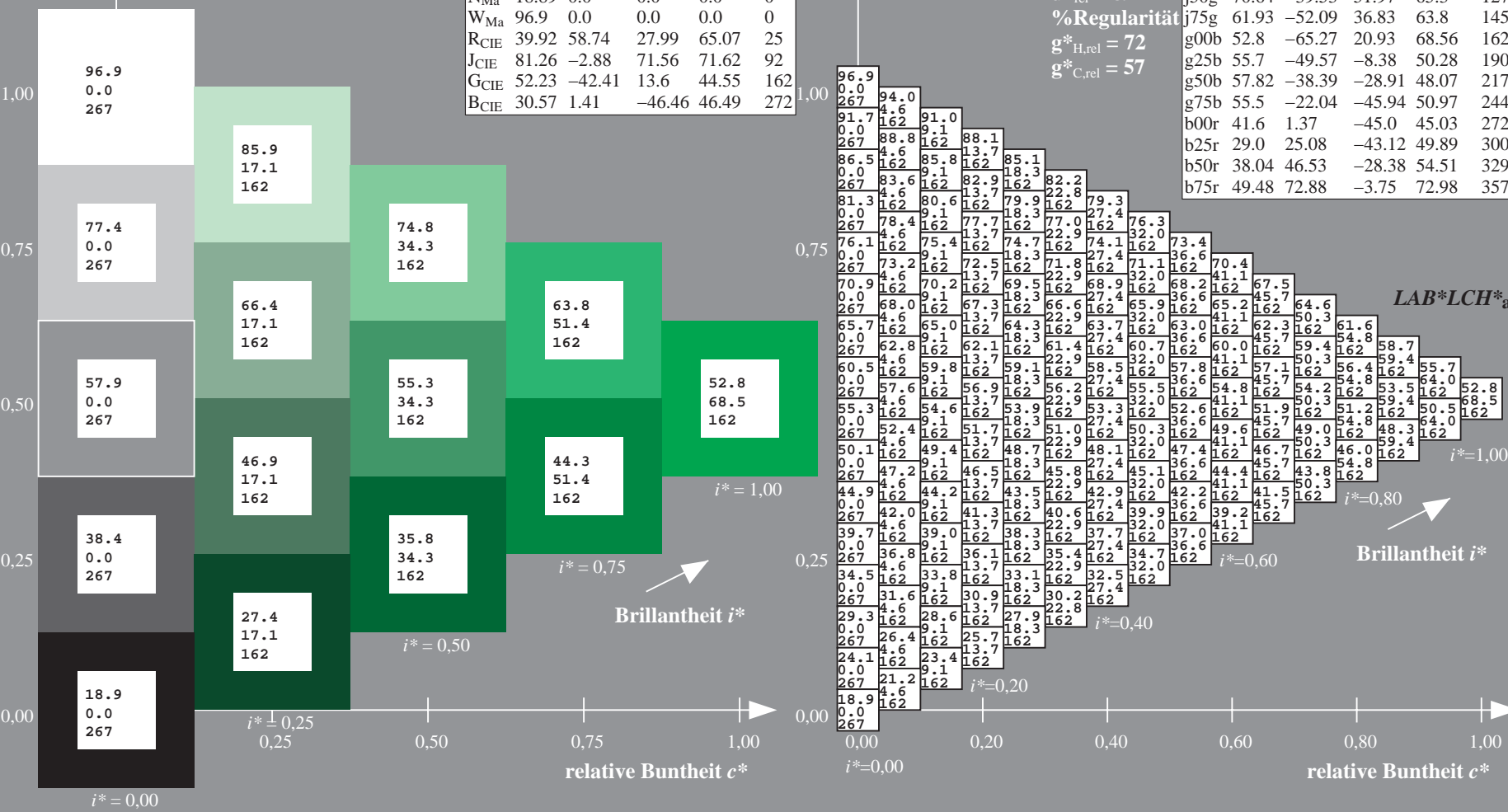
$u^*_{rel} = 89$

%Regularität

$g^*_{H,rel} = 72$

$g^*_{C,rel} = 57$

ORS19_96a; adaptierte CIELAB-Daten					
	$L^*=L^*_a$	$a^*_a$	$b^*_a$	$C^*_{ab,a}$	$h^*_{ab,a}$
r00j	48.88	66.47	31.67	73.63	25
r25j	55.85	52.39	47.48	70.7	42
r50j	65.45	35.22	58.37	68.17	59
r75j	75.19	17.82	69.41	71.66	76
j00g	87.03	-3.34	82.83	82.9	92
j25g	80.72	-25.0	69.5	73.86	110
j50g	70.64	-39.53	51.97	65.3	127
j75g	61.93	-52.09	36.83	63.8	145
g00b	52.8	-65.27	20.93	68.56	162
g25b	55.7	-49.57	-8.38	50.28	190
g50b	57.82	-38.39	-28.91	48.07	217
g75b	55.5	-22.04	-45.94	50.97	244
b00r	41.6	1.37	-45.0	45.03	272
b25r	29.0	25.08	-43.12	49.89	300
b50r	38.04	46.53	-28.38	54.51	329
b75r	49.48	72.88	-3.75	72.98	357



Ein und Ausgabe: Farbmetrisches Drucker-Reflektiv-System ORS19\_96a für relativen CIELAB-Buntton  $h^* = lab^*h^* = h_{ab}/360 = 190/360 = 0.527$   $u^* = g25b$

Daten für jede Farbe:

$lab^*ch^*$  und  $lab^*icu^*$

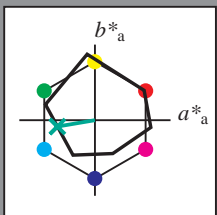
Elementar-Bunttontext:

$u^* = g25b$

Kontrastreduzierungsfaktor:

$c_R = 1.0$

Dreiecks-Helligkeit  $t^*$



ORS19_96a; adaptierte CIELAB-Daten					
	$L^*=L^*_a$	$a^*_a$	$b^*_a$	$C^*_{ab,a}$	$h^*_{ab,a}$
O <sub>Ma</sub>	48.75	65.07	39.43	76.08	31
Y <sub>Ma</sub>	90.92	-10.28	87.24	87.85	97
L <sub>Ma</sub>	52.69	-65.43	20.75	68.65	162
C <sub>Ma</sub>	59.61	-28.97	-46.21	54.56	238
V <sub>Ma</sub>	28.39	23.63	-44.12	50.06	298
M <sub>Ma</sub>	49.58	73.93	-9.55	74.55	353
N <sub>Ma</sub>	18.89	0.0	0.0	0.0	0
W <sub>Ma</sub>	96.9	0.0	0.0	0.0	0
R <sub>CIE</sub>	39.92	58.74	27.99	65.07	25
J <sub>CIE</sub>	81.26	-2.88	71.56	71.62	92
G <sub>CIE</sub>	52.23	-42.41	13.6	44.55	162
B <sub>CIE</sub>	30.57	1.41	-46.46	46.49	272

Daten für Maximalfarbe (Ma):

$LAB^*LAB^*_{Ma}$ : 56 -49 -7

$LAB^*LCH^*_{Ma}$ : 56 50 190

$lab^*rgb^*_{Ma}$ : 0.0 1.0 0.5

$lab^*olv^*_{Ma}$ : 0.0 1.0 0.44

Dreiecks-Helligkeit  $t^*$

%Umfang

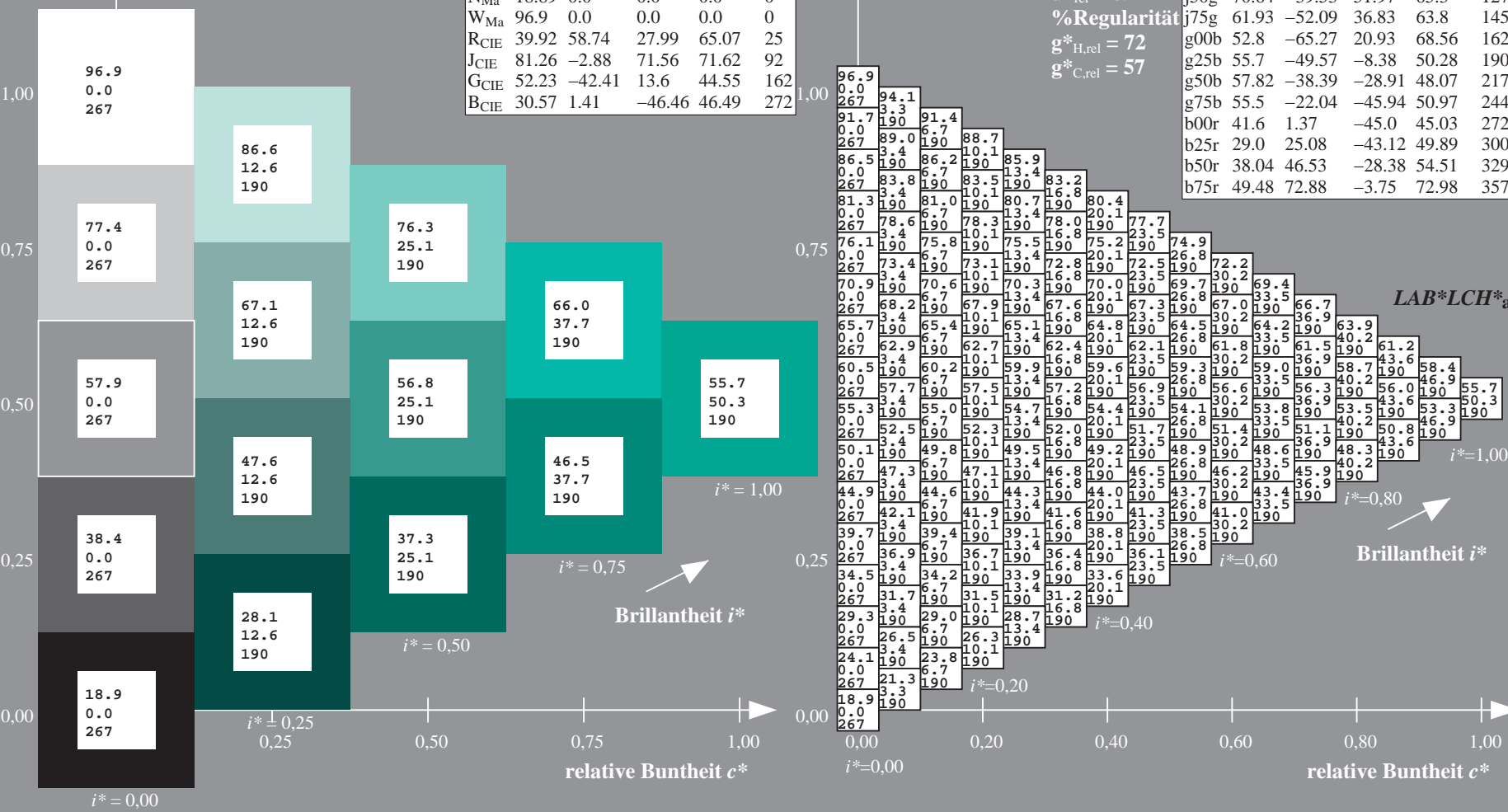
$u^*_{rel} = 89$

%Regularität

$g^*_{H,rel} = 72$

$g^*_{C,rel} = 57$

ORS19_96a; adaptierte CIELAB-Daten					
	$L^*=L^*_a$	$a^*_a$	$b^*_a$	$C^*_{ab,a}$	$h^*_{ab,a}$
r00j	48.88	66.47	31.67	73.63	25
r25j	55.85	52.39	47.48	70.7	42
r50j	65.45	35.22	58.37	68.17	59
r75j	75.19	17.82	69.41	71.66	76
j00g	87.03	-3.34	82.83	82.9	92
j25g	80.72	-25.0	69.5	73.86	110
j50g	70.64	-39.53	51.97	65.3	127
j75g	61.93	-52.09	36.83	63.8	145
g00b	52.8	-65.27	20.93	68.56	162
g25b	55.7	-49.57	-8.38	50.28	190
g50b	57.82	-38.39	-28.91	48.07	217
g75b	55.5	-22.04	-45.94	50.97	244
b00r	41.6	1.37	-45.0	45.03	272
b25r	29.0	25.08	-43.12	49.89	300
b50r	38.04	46.53	-28.38	54.51	329
b75r	49.48	72.88	-3.75	72.98	357





Ein und Ausgabe: Farbmetrisches Drucker-Reflektiv-System ORS19\_96a für relativen CIELAB-Buntton  $h^* = lab^*h^* = h_{ab}/360 = 217/360 = 0.603$   $u^* = g50b$

Daten für jede Farbe:

$lab^*ch^*$  und  $lab^*icu^*$

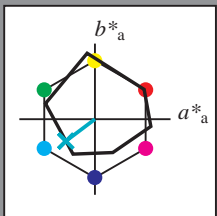
Elementar-Bunttontext:

$u^* = g50b$

Kontrastreduzierungsfaktor:

$c_R = 1.0$

Dreiecks-Helligkeit  $i^*$



ORS19_96a; adaptierte CIELAB-Daten					
	$L^*=L^*_a$	$a^*_a$	$b^*_a$	$C^*_{ab,a}$	$h^*_{ab,a}$
O <sub>Ma</sub>	48.75	65.07	39.43	76.08	31
Y <sub>Ma</sub>	90.92	-10.28	87.24	87.85	97
L <sub>Ma</sub>	52.69	-65.43	20.75	68.65	162
C <sub>Ma</sub>	59.61	-28.97	-46.21	54.56	238
V <sub>Ma</sub>	28.39	23.63	-44.12	50.06	298
M <sub>Ma</sub>	49.58	73.93	-9.55	74.55	353
N <sub>Ma</sub>	18.89	0.0	0.0	0.0	0
W <sub>Ma</sub>	96.9	0.0	0.0	0.0	0
R <sub>CIE</sub>	39.92	58.74	27.99	65.07	25
J <sub>CIE</sub>	81.26	-2.88	71.56	71.62	92
G <sub>CIE</sub>	52.23	-42.41	13.6	44.55	162
B <sub>CIE</sub>	30.57	1.41	-46.46	46.49	272

Daten für Maximalfarbe (Ma):

$LAB^*LAB^*_{Ma}$ : 58 -37 -28

$LAB^*LCH^*_{Ma}$ : 58 48 217

$lab^*rgb^*_{Ma}$ : 0.0 1.0 1.0

$lab^*olv^*_{Ma}$ : 0.0 1.0 0.74

Dreiecks-Helligkeit  $i^*$

%Umfang

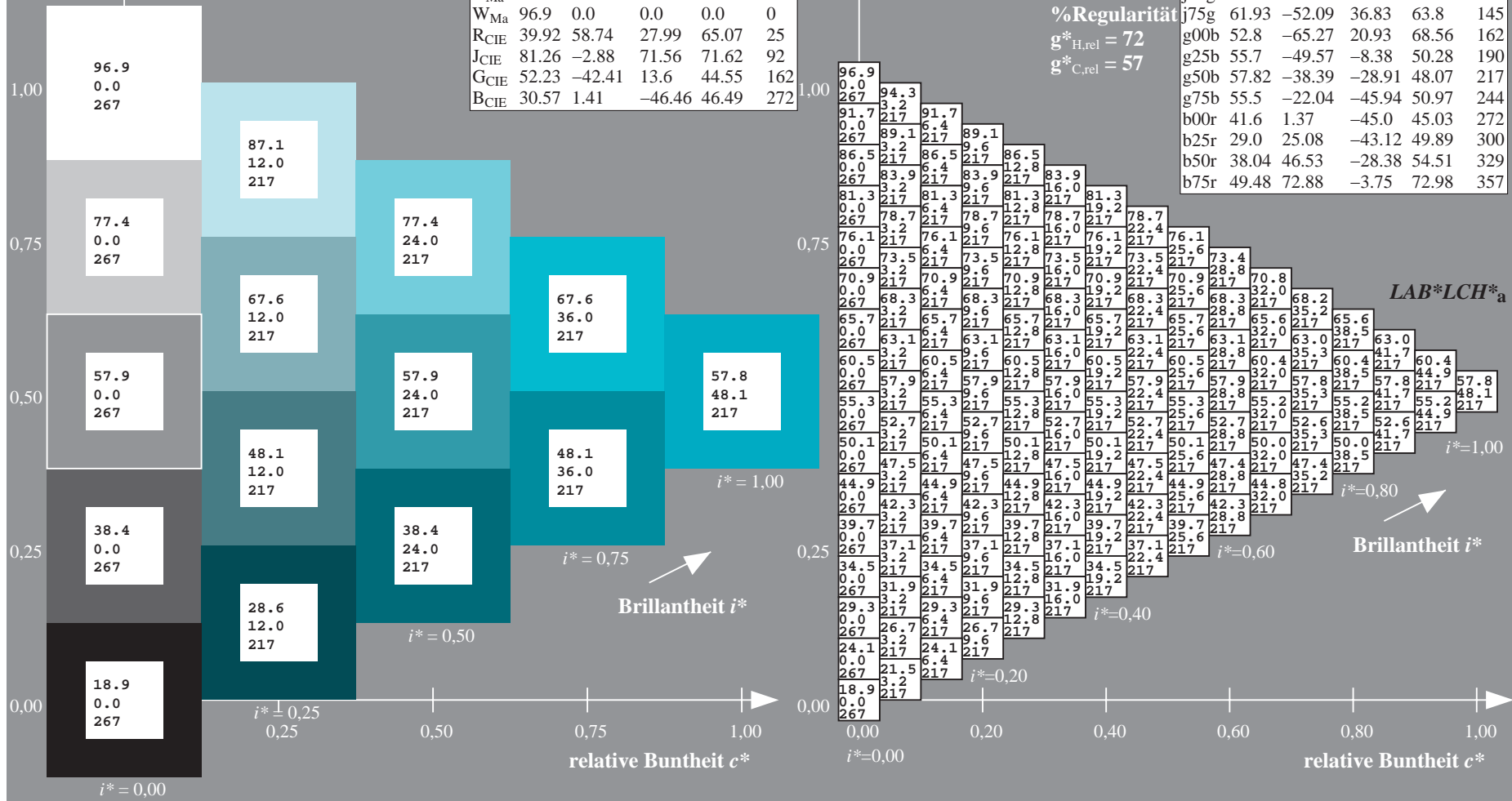
$u^*_{rel} = 89$

%Regularität

$g^*_{H,rel} = 72$

$g^*_{C,rel} = 57$

ORS19_96a; adaptierte CIELAB-Daten					
	$L^*=L^*_a$	$a^*_a$	$b^*_a$	$C^*_{ab,a}$	$h^*_{ab,a}$
r00j	48.88	66.47	31.67	73.63	25
r25j	55.85	52.39	47.48	70.7	42
r50j	65.45	35.22	58.37	68.17	59
r75j	75.19	17.82	69.41	71.66	76
j00g	87.03	-3.34	82.83	82.9	92
j25g	80.72	-25.0	69.5	73.86	110
j50g	70.64	-39.53	51.97	65.3	127
j75g	61.93	-52.09	36.83	63.8	145
g00b	52.8	-65.27	20.93	68.56	162
g25b	55.7	-49.57	-8.38	50.28	190
g50b	57.82	-38.39	-28.91	48.07	217
g75b	55.5	-22.04	-45.94	50.97	244
b00r	41.6	1.37	-45.0	45.03	272
b25r	29.0	25.08	-43.12	49.89	300
b50r	38.04	46.53	-28.38	54.51	329
b75r	49.48	72.88	-3.75	72.98	357





Ein und Ausgabe: Farbmetrisches Drucker-Reflektiv-System ORS19\_96a für relativen CIELAB-Buntton  $h^* = \text{lab}^*h^* = h_{ab}/360 = 244/360 = 0.679$   $u^* = g75b$

Daten für jede Farbe:

$\text{lab}^*ch^*$  und  $\text{lab}^*icu^*$

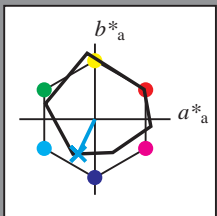
Elementar-Bunttontext:

$u^* = g75b$

Kontrastreduzierungsfaktor:

$c_R = 1.0$

Dreiecks-Helligkeit  $i^*$



ORS19_96a; adaptierte CIELAB-Daten					
	$L^*=L^*_a$	$a^*_a$	$b^*_a$	$C^*_{ab,a}$	$h^*_{ab,a}$
O <sub>Ma</sub>	48.75	65.07	39.43	76.08	31
Y <sub>Ma</sub>	90.92	-10.28	87.24	87.85	97
L <sub>Ma</sub>	52.69	-65.43	20.75	68.65	162
C <sub>Ma</sub>	59.61	-28.97	-46.21	54.56	238
V <sub>Ma</sub>	28.39	23.63	-44.12	50.06	298
M <sub>Ma</sub>	49.58	73.93	-9.55	74.55	353
N <sub>Ma</sub>	18.89	0.0	0.0	0.0	0
W <sub>Ma</sub>	96.9	0.0	0.0	0.0	0
R <sub>CIE</sub>	39.92	58.74	27.99	65.07	25
J <sub>CIE</sub>	81.26	-2.88	71.56	71.62	92
G <sub>CIE</sub>	52.23	-42.41	13.6	44.55	162
B <sub>CIE</sub>	30.57	1.41	-46.46	46.49	272

Daten für Maximalfarbe (Ma):

$\text{LAB}^*\text{LAB}^*_{\text{Ma}}$ : 55 -21 -45

$\text{LAB}^*\text{LCH}^*_{\text{Ma}}$ : 55 51 244

$\text{lab}^*\text{rgb}^*_{\text{Ma}}$ : 0.0 0.5 1.0

$\text{lab}^*\text{olv}^*_{\text{Ma}}$ : 0.0 0.87 1.0

Dreiecks-Helligkeit  $i^*$

%Umfang

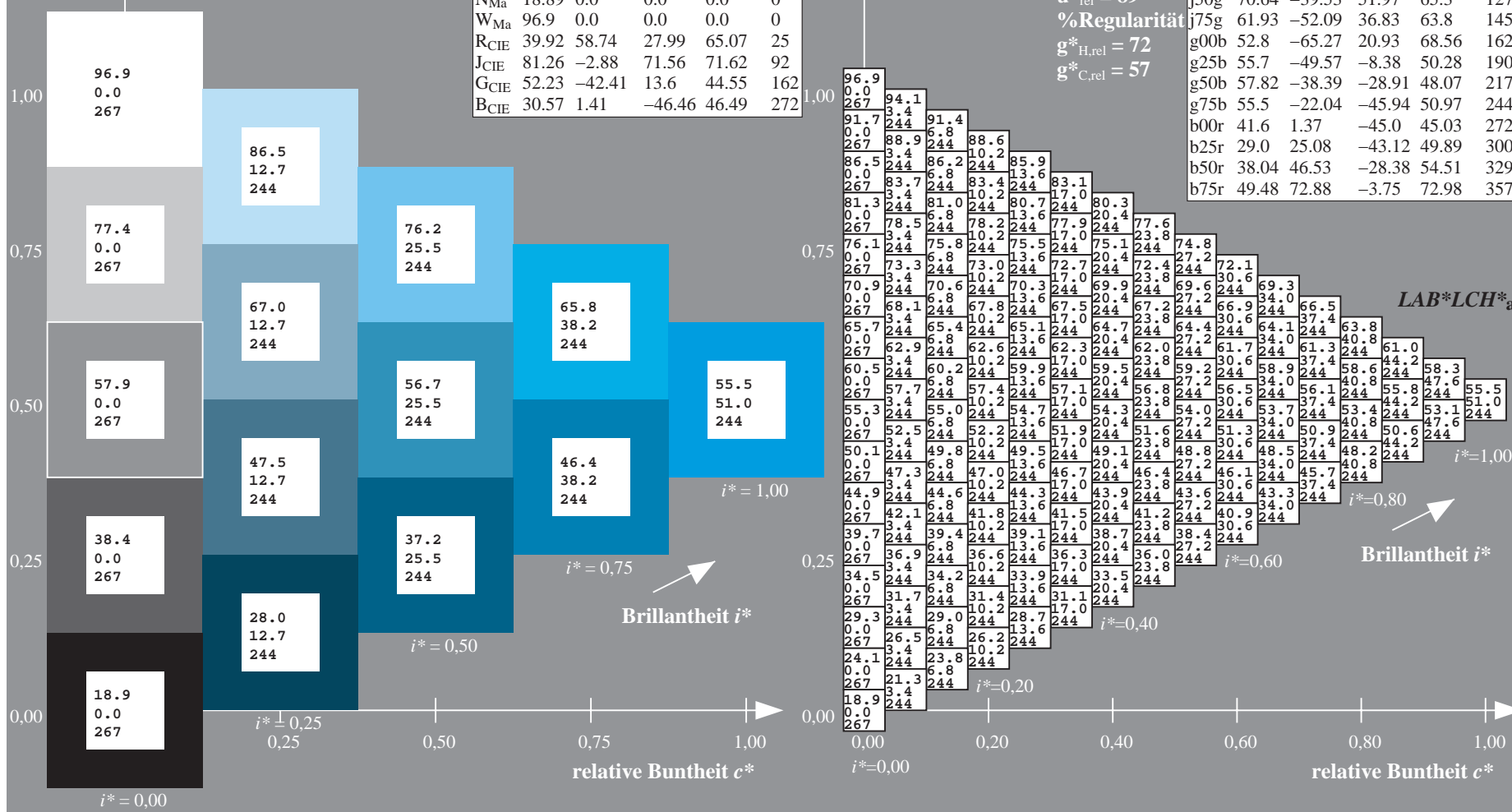
$u^*_{\text{rel}} = 89$

%Regularität

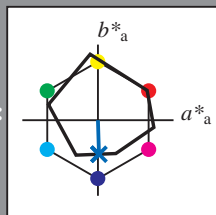
$g^*_{H,\text{rel}} = 72$

$g^*_{C,\text{rel}} = 57$

ORS19_96a; adaptierte CIELAB-Daten					
	$L^*=L^*_a$	$a^*_a$	$b^*_a$	$C^*_{ab,a}$	$h^*_{ab,a}$
r00j	48.88	66.47	31.67	73.63	25
r25j	55.85	52.39	47.48	70.7	42
r50j	65.45	35.22	58.37	68.17	59
r75j	75.19	17.82	69.41	71.66	76
j00g	87.03	-3.34	82.83	82.9	92
j25g	80.72	-25.0	69.5	73.86	110
j50g	70.64	-39.53	51.97	65.3	127
j75g	61.93	-52.09	36.83	63.8	145
g00b	52.8	-65.27	20.93	68.56	162
g25b	55.7	-49.57	-8.38	50.28	190
g50b	57.82	-38.39	-28.91	48.07	217
g75b	55.5	-22.04	-45.94	50.97	244
b00r	41.6	1.37	-45.0	45.03	272
b25r	29.0	25.08	-43.12	49.89	300
b50r	38.04	46.53	-28.38	54.51	329
b75r	49.48	72.88	-3.75	72.98	357



Ein und Ausgabe: Farbmetrisches Drucker-Reflektiv-System ORS19\_96a für relativen CIELAB-Buntton  $h^* = lab^*h^* = h_{ab}/360 = 272/360 = 0.755$   $u^* = b00r$   
Daten für jede Farbe:  
 $lab^*ch^*$  und  $lab^*icu^*$   
Elementar-Bunttonstext:  
 $u^* = b00r$   
Kontrastreduzierungsfaktor:  
 $c_R = 1.0$   
Dreiecks-Helligkeit  $i^*$



ORS19_96a; adaptierte CIELAB-Daten					
	$L^*=L^*_a$	$a^*_a$	$b^*_a$	$C^*_{ab,a}$	$h^*_{ab,a}$
O <sub>Ma</sub>	48.75	65.07	39.43	76.08	31
Y <sub>Ma</sub>	90.92	-10.28	87.24	87.85	97
L <sub>Ma</sub>	52.69	-65.43	20.75	68.65	162
C <sub>Ma</sub>	59.61	-28.97	-46.21	54.56	238
V <sub>Ma</sub>	28.39	23.63	-44.12	50.06	298
M <sub>Ma</sub>	49.58	73.93	-9.55	74.55	353
N <sub>Ma</sub>	18.89	0.0	0.0	0.0	0
W <sub>Ma</sub>	96.9	0.0	0.0	0.0	0
R <sub>CIE</sub>	39.92	58.74	27.99	65.07	25
J <sub>CIE</sub>	81.26	-2.88	71.56	71.62	92
G <sub>CIE</sub>	52.23	-42.41	13.6	44.55	162
B <sub>CIE</sub>	30.57	1.41	-46.46	46.49	272

Daten für Maximalfarbe (Ma):

$LAB^*LAB^*_{Ma}$ : 42 1 -44

$LAB^*LCH^*_{Ma}$ : 42 45 272

$lab^*rgb^*_{Ma}$ : 0.0 0.0 1.0

$lab^*olv^*_{Ma}$ : 0.0 0.42 1.0

Dreiecks-Helligkeit  $i^*$

%Umfang

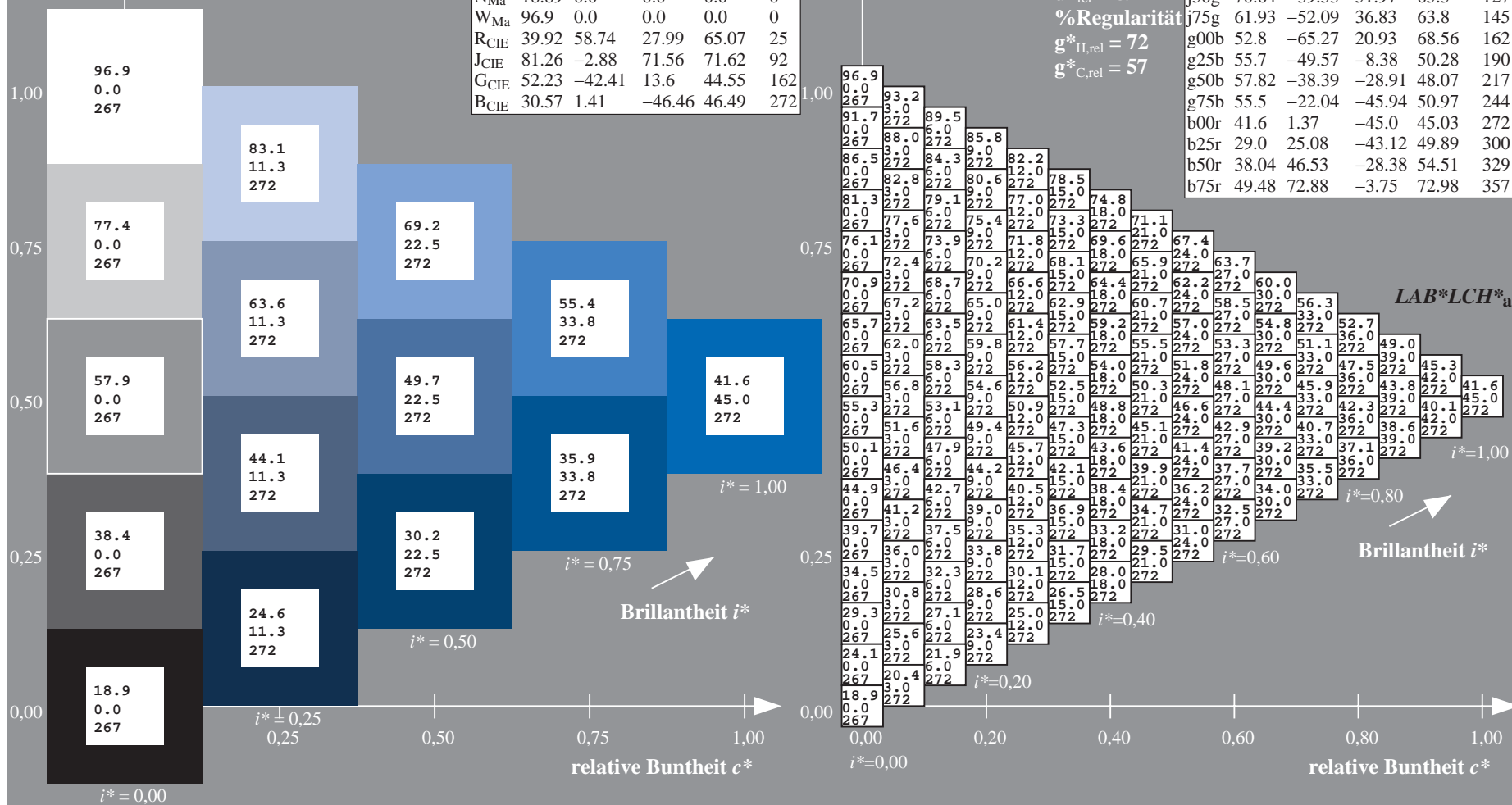
$u^*_{rel} = 89$

%Regularität

$g^*_{H,rel} = 72$

$g^*_{C,rel} = 57$

ORS19_96a; adaptierte CIELAB-Daten					
	$L^*=L^*_a$	$a^*_a$	$b^*_a$	$C^*_{ab,a}$	$h^*_{ab,a}$
r00j	48.88	66.47	31.67	73.63	25
r25j	55.85	52.39	47.48	70.7	42
r50j	65.45	35.22	58.37	68.17	59
r75j	75.19	17.82	69.41	71.66	76
j00g	87.03	-3.34	82.83	82.9	92
j25g	80.72	-25.0	69.5	73.86	110
j50g	70.64	-39.53	51.97	65.3	127
j75g	61.93	-52.09	36.83	63.8	145
g00b	52.8	-65.27	20.93	68.56	162
g25b	55.7	-49.57	-8.38	50.28	190
g50b	57.82	-38.39	-28.91	48.07	217
g75b	55.5	-22.04	-45.94	50.97	244
b00r	41.6	1.37	-45.0	45.03	272
b25r	29.0	25.08	-43.12	49.89	300
b50r	38.04	46.53	-28.38	54.51	329
b75r	49.48	72.88	-3.75	72.98	357



Ein und Ausgabe: Farbmetrisches Drucker-Reflektiv-System ORS19\_96a für relativen CIELAB-Buntton  $h^* = lab^*h^* = h_{ab}/360 = 300/360 = 0.834$   $u^* = b25r$

Daten für jede Farbe:

$lab^*tch^*$  und  $lab^*icu^*$

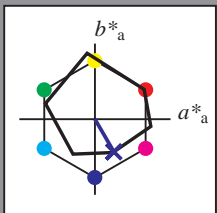
Elementar-Bunttontext:

$u^* = b25r$

Kontrastreduzierungsfaktor:

$c_R = 1.0$

Dreiecks-Helligkeit  $t^*$



ORS19\_96a; adaptierte CIELAB-Daten

	$L^*=L^*_a$	$a^*_a$	$b^*_a$	$C^*_{ab,a}$	$h^*_{ab,a}$
O <sub>Ma</sub>	48.75	65.07	39.43	76.08	31
Y <sub>Ma</sub>	90.92	-10.28	87.24	87.85	97
L <sub>Ma</sub>	52.69	-65.43	20.75	68.65	162
C <sub>Ma</sub>	59.61	-28.97	-46.21	54.56	238
V <sub>Ma</sub>	28.39	23.63	-44.12	50.06	298
M <sub>Ma</sub>	49.58	73.93	-9.55	74.55	353
N <sub>Ma</sub>	18.89	0.0	0.0	0.0	0
W <sub>Ma</sub>	96.9	0.0	0.0	0.0	0
R <sub>CIE</sub>	39.92	58.74	27.99	65.07	25
J <sub>CIE</sub>	81.26	-2.88	71.56	71.62	92
G <sub>CIE</sub>	52.23	-42.41	13.6	44.55	162
B <sub>CIE</sub>	30.57	1.41	-46.46	46.49	272

Daten für Maximalfarbe (Ma):

$LAB^*LAB^*_{Ma}$ : 29 25 -42

$LAB^*LCH^*_{Ma}$ : 29 50 300

$lab^*rgb^*_{Ma}$ : 0.5 0.0 1.0

$lab^*olv^*_{Ma}$ : 0.03 0.0 1.0

Dreiecks-Helligkeit  $t^*$

%Umfang

$u^*_{rel} = 89$

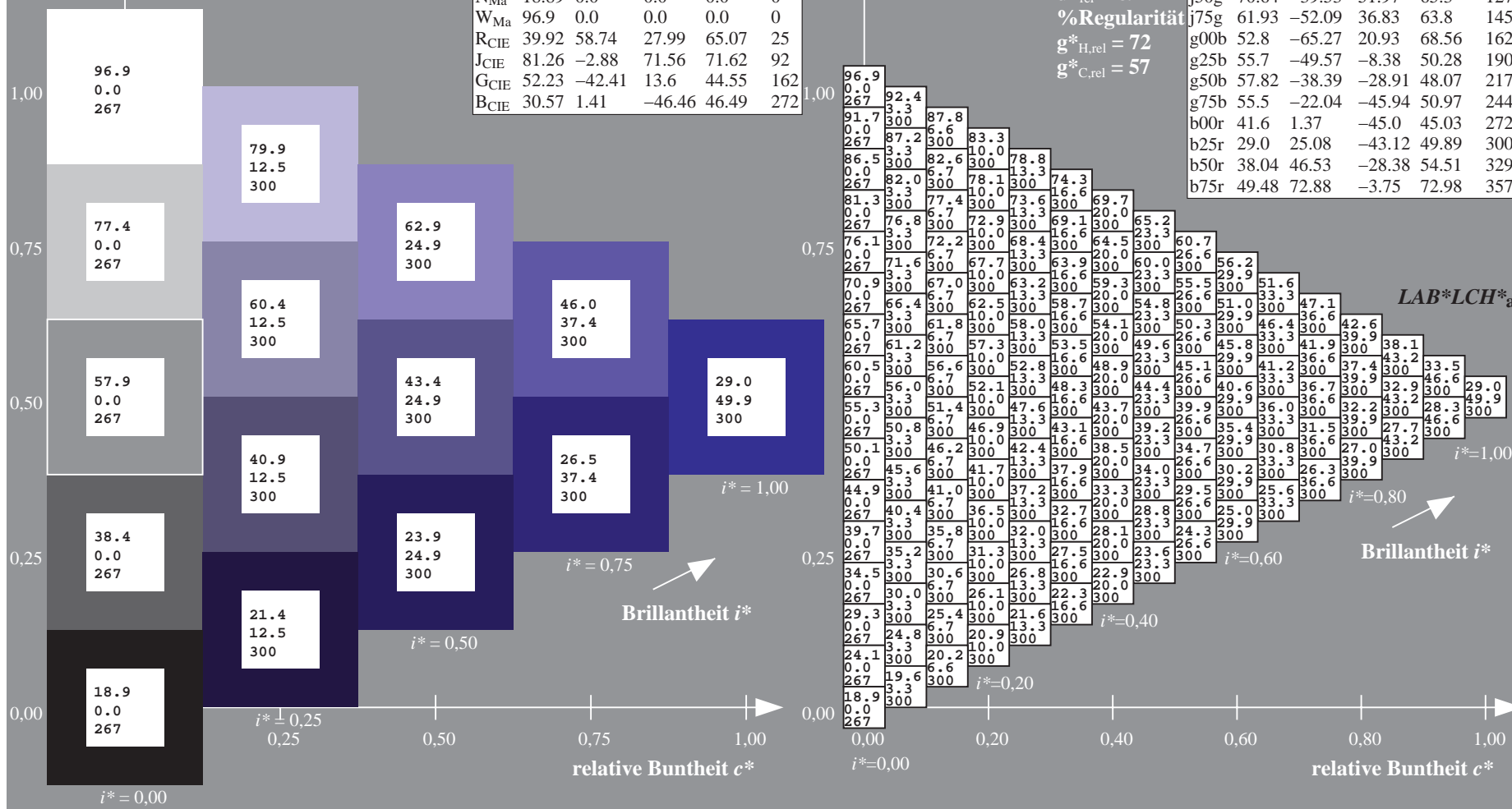
%Regularität

$g^*_{H,rel} = 72$

$g^*_{C,rel} = 57$

ORS19\_96a; adaptierte CIELAB-Daten

	$L^*=L^*_a$	$a^*_a$	$b^*_a$	$C^*_{ab,a}$	$h^*_{ab,a}$
r00j	48.88	66.47	31.67	73.63	25
r25j	55.85	52.39	47.48	70.7	42
r50j	65.45	35.22	58.37	68.17	59
r75j	75.19	17.82	69.41	71.66	76
j00g	87.03	-3.34	82.83	82.9	92
j25g	80.72	-25.0	69.5	73.86	110
j50g	70.64	-39.53	51.97	65.3	127
j75g	61.93	-52.09	36.83	63.8	145
g00b	52.8	-65.27	20.93	68.56	162
g25b	55.7	-49.57	-8.38	50.28	190
g50b	57.82	-38.39	-28.91	48.07	217
g75b	55.5	-22.04	-45.94	50.97	244
b00r	41.6	1.37	-45.0	45.03	272
b25r	29.0	25.08	-43.12	49.89	300
b50r	38.04	46.53	-28.38	54.51	329
b75r	49.48	72.88	-3.75	72.98	357



Ein und Ausgabe: Farbmetrisches Drucker-Reflektiv-System ORS19\_96a für relativen CIELAB-Buntton  $h^* = lab^*h^* = h_{ab}/360 = 329/360 = 0.913$   $u^* = b50r$

Daten für jede Farbe:

$lab^*ch^*$  und  $lab^*icu^*$

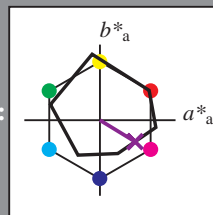
Elementar-Bunttontext:

$u^* = b50r$

Kontrastreduzierungsfaktor:

$c_R = 1.0$

Dreiecks-Helligkeit  $i^*$



ORS19_96a; adaptierte CIELAB-Daten					
	$L^*=L_a^*$	$a_a^*$	$b_a^*$	$C^*_{ab,a}$	$h^*_{ab,a}$
O <sub>Ma</sub>	48.75	65.07	39.43	76.08	31
Y <sub>Ma</sub>	90.92	-10.28	87.24	87.85	97
L <sub>Ma</sub>	52.69	-65.43	20.75	68.65	162
C <sub>Ma</sub>	59.61	-28.97	-46.21	54.56	238
V <sub>Ma</sub>	28.39	23.63	-44.12	50.06	298
M <sub>Ma</sub>	49.58	73.93	-9.55	74.55	353
N <sub>Ma</sub>	18.89	0.0	0.0	0.0	0
W <sub>Ma</sub>	96.9	0.0	0.0	0.0	0
R <sub>CIE</sub>	39.92	58.74	27.99	65.07	25
J <sub>CIE</sub>	81.26	-2.88	71.56	71.62	92
G <sub>CIE</sub>	52.23	-42.41	13.6	44.55	162
B <sub>CIE</sub>	30.57	1.41	-46.46	46.49	272

Daten für Maximalfarbe (Ma):

$LAB^*LAB^*_{Ma}$ : 38 47 -27

$LAB^*LCH^*_{Ma}$ : 38 55 329

$lab^*rgb^*_{Ma}$ : 1.0 0.0 1.0

$lab^*olv^*_{Ma}$ : 0.46 0.0 1.0

Dreiecks-Helligkeit  $i^*$

%Umfang

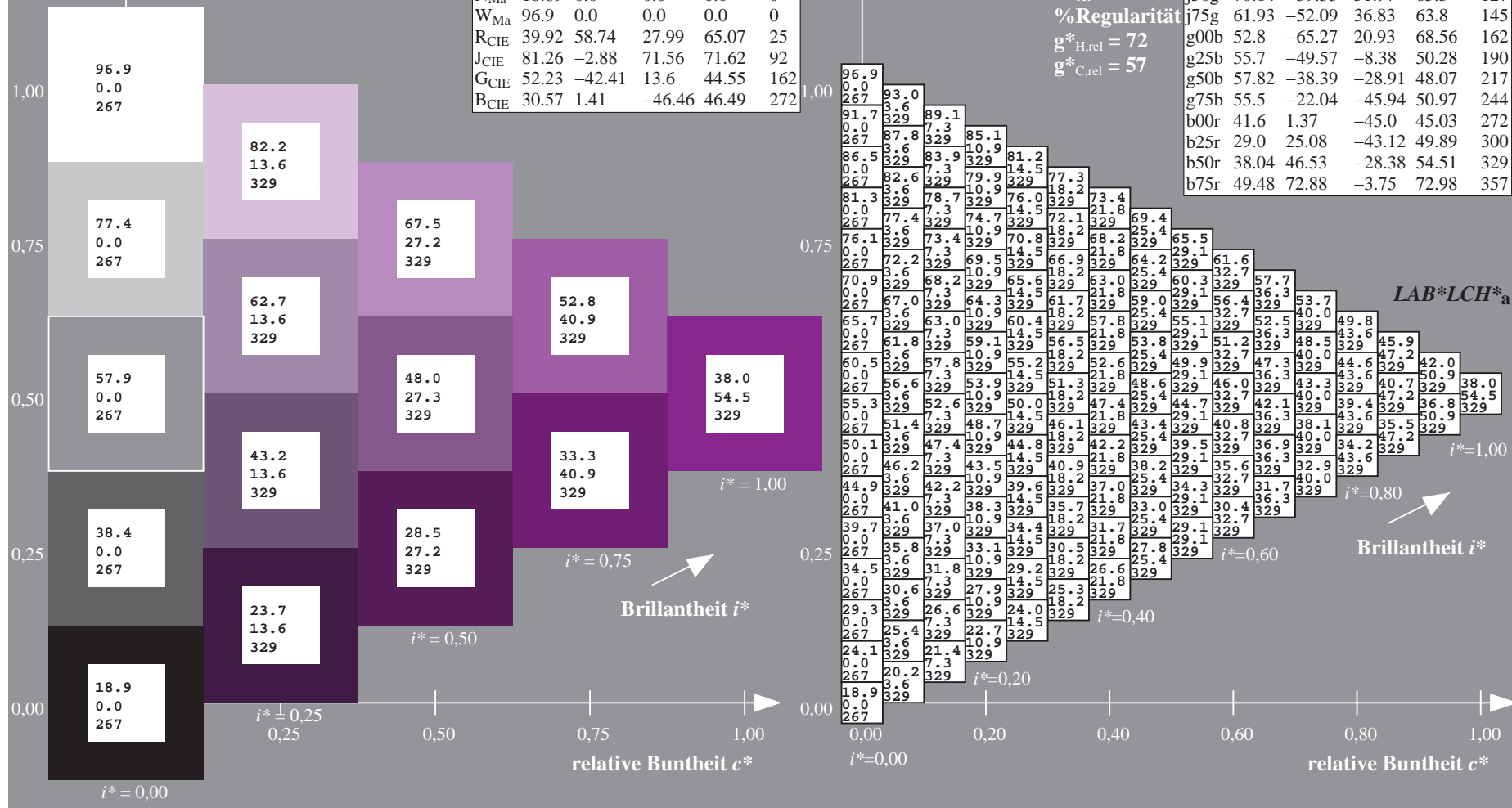
$u^*_{rel} = 89$

%Regularität

$g^*_{H,rel} = 72$

$g^*_{C,rel} = 57$

ORS19_96a; adaptierte CIELAB-Daten					
	$L^*=L_a^*$	$a_a^*$	$b_a^*$	$C^*_{ab,a}$	$h^*_{ab,a}$
r00j	48.88	66.47	31.67	73.63	25
r25j	55.85	52.39	47.48	70.7	42
r50j	65.45	35.22	58.37	68.17	59
r75j	75.19	17.82	69.41	71.66	76
j00g	87.03	-3.34	82.83	82.9	92
j25g	80.72	-25.0	69.5	73.86	110
j50g	70.64	-39.53	51.97	65.3	127
j75g	61.93	-52.09	36.83	63.8	145
g00b	52.8	-65.27	20.93	68.56	162
g25b	55.7	-49.57	-8.38	50.28	190
g50b	57.82	-38.39	-28.91	48.07	217
g75b	55.5	-22.04	-45.94	50.97	244
b00r	41.6	1.37	-45.0	45.03	272
b25r	29.0	25.08	-43.12	49.89	300
b50r	38.04	46.53	-28.38	54.51	329
b75r	49.48	72.88	-3.75	72.98	357





Ein und Ausgabe: Farbmetrisches Drucker-Reflektiv-System ORS19\_96a für relativen CIELAB-Buntton  $h^* = lab^*h^* = h_{ab}/360 = 357/360 = 0.992$   $u^* = b75r$

Daten für jede Farbe:

$lab^*tch^*$  und  $lab^*icu^*$

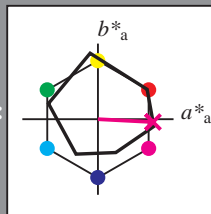
Elementar-Bunttontext:

$u^* = b75r$

Kontrastreduzierungsfaktor:

$c_R = 1.0$

Dreiecks-Helligkeit  $i^*$



ORS19_96a; adaptierte CIELAB-Daten					
	$L^*=L^*_a$	$a^*_a$	$b^*_a$	$C^*_{ab,a}$	$h^*_{ab,a}$
O <sub>Ma</sub>	48.75	65.07	39.43	76.08	31
Y <sub>Ma</sub>	90.92	-10.28	87.24	87.85	97
L <sub>Ma</sub>	52.69	-65.43	20.75	68.65	162
C <sub>Ma</sub>	59.61	-28.97	-46.21	54.56	238
V <sub>Ma</sub>	28.39	23.63	-44.12	50.06	298
M <sub>Ma</sub>	49.58	73.93	-9.55	74.55	353
N <sub>Ma</sub>	18.89	0.0	0.0	0.0	0
W <sub>Ma</sub>	96.9	0.0	0.0	0.0	0
R <sub>CIE</sub>	39.92	58.74	27.99	65.07	25
J <sub>CIE</sub>	81.26	-2.88	71.56	71.62	92
G <sub>CIE</sub>	52.23	-42.41	13.6	44.55	162
B <sub>CIE</sub>	30.57	1.41	-46.46	46.49	272

Daten für Maximalfarbe (Ma):

$LAB^*LAB^*_{Ma}$ : 49 73 -3

$LAB^*LCH^*_{Ma}$ : 49 73 357

$lab^*rgb^*_{Ma}$ : 1.0 0.0 0.5

$lab^*olv^*_{Ma}$ : 1.0 0.0 0.88

Dreiecks-Helligkeit  $i^*$

%Umfang

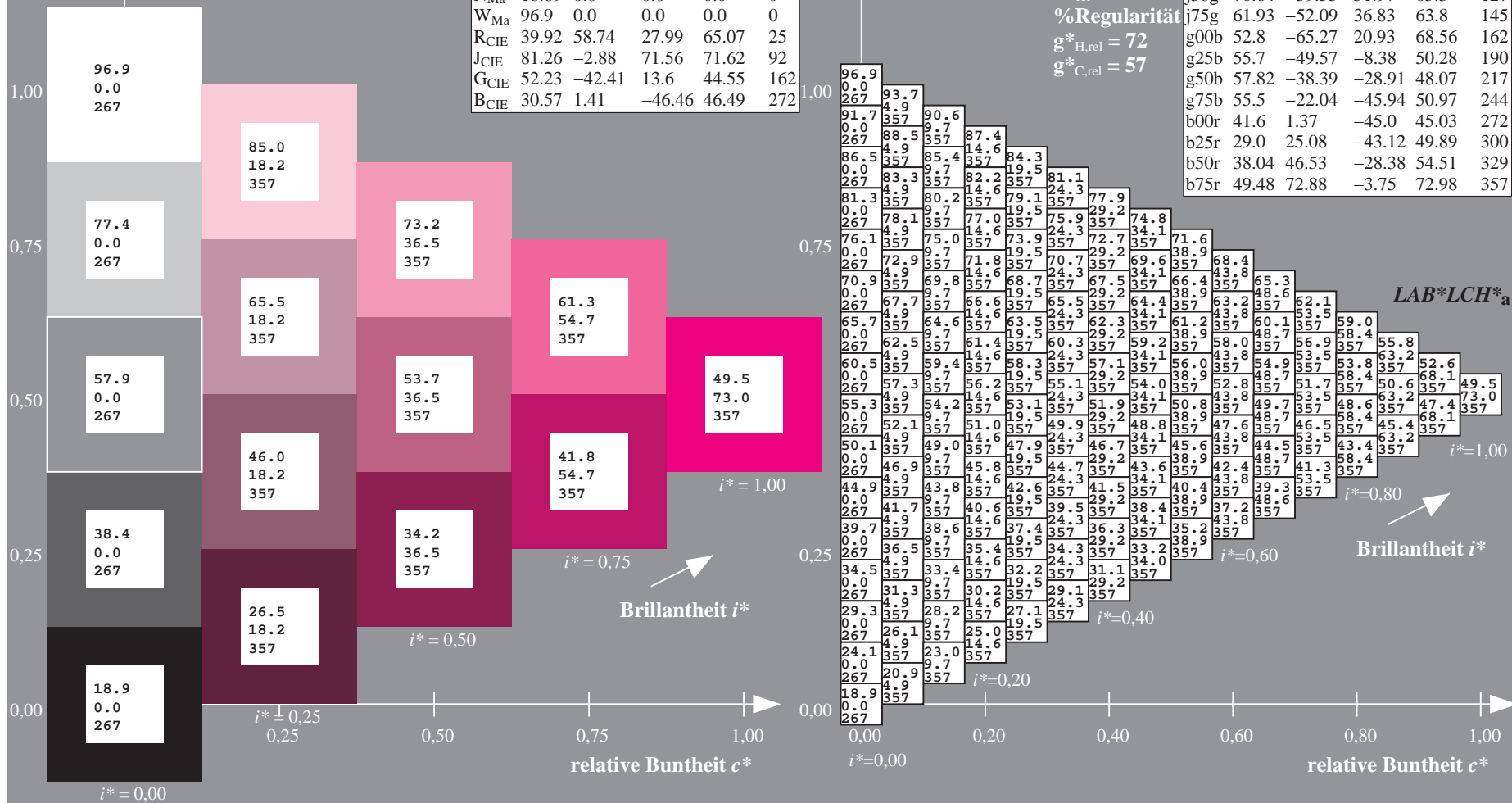
$u^*_{rel} = 89$

%Regularität

$g^*_{H,rel} = 72$

$g^*_{C,rel} = 57$

ORS19_96a; adaptierte CIELAB-Daten					
	$L^*=L^*_a$	$a^*_a$	$b^*_a$	$C^*_{ab,a}$	$h^*_{ab,a}$
r00j	48.88	66.47	31.67	73.63	25
r25j	55.85	52.39	47.48	70.7	42
r50j	65.45	35.22	58.37	68.17	59
r75j	75.19	17.82	69.41	71.66	76
j00g	87.03	-3.34	82.83	82.9	92
j25g	80.72	-25.0	69.5	73.86	110
j50g	70.64	-39.53	51.97	65.3	127
j75g	61.93	-52.09	36.83	63.8	145
g00b	52.8	-65.27	20.93	68.56	162
g25b	55.7	-49.57	-8.38	50.28	190
g50b	57.82	-38.39	-28.91	48.07	217
g75b	55.5	-22.04	-45.94	50.97	244
b00r	41.6	1.37	-45.0	45.03	272
b25r	29.0	25.08	-43.12	49.89	300
b50r	38.04	46.53	-28.38	54.51	329
b75r	49.48	72.88	-3.75	72.98	357



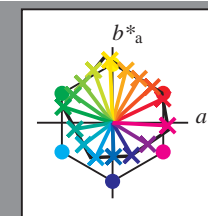


Siehe ähnliche Dateien: <http://www.ps.bam.de/Dg98/>; [www.ps.bam.de/Dg98/10L/L98G00NA.PS/.TXT](http://www.ps.bam.de/Dg98/10L/L98G00NA.PS/.TXT)  
Technische Information: [http://www.ps.bam.de/Version 2.1, io=1,1, ColSpX=1](http://www.ps.bam.de/Version%202.1,%20io=1,1,ColSpX=1)

	A	B	C	D	E	F	G	H	I	J	K	L	M	N	O	P	Q	R	S	T	U	V	W	X	Y	Z	a	b	c	d	e	f	g	h	i	j	k	LAB*LCH*	a																																																																																																																																																																																																																																																																																																																																																																																																																																																																																																																																																																																																																																																																																																																																																																																																																																																																																																																
01	18.9	23.1	27.3	31.6	35.8	40.0	44.2	48.5	52.7	56.9	61.1	65.3	69.6	73.8	78.0	82.2	86.4	90.6	94.8	99.0	103.2	107.4	111.6	115.8	120.0	124.2	128.4	132.6	136.8	141.0	145.2	149.4	153.6	157.8	162.0	166.2	170.4	174.6	178.8	183.0	187.2	191.4	195.6	199.8	204.0	208.2	212.4	216.6	220.8	225.0	229.2	233.4	237.6	241.8	246.0	250.2	254.4	258.6	262.8	267.0	271.2	275.4	279.6	283.8	288.0	292.2	296.4	300.6	304.8	309.0	313.2	317.4	321.6	325.8	330.0	334.2	338.4	342.6	346.8	351.0	355.2	359.4	363.6	367.8	372.0	376.2	380.4	384.6	388.8	393.0	397.2	401.4	405.6	409.8	414.0	418.2	422.4	426.6	430.8	435.0	439.2	443.4	447.6	451.8	456.0	460.2	464.4	468.6	472.8	477.0	481.2	485.4	489.6	493.8	498.0	502.2	506.4	510.6	514.8	519.0	523.2	527.4	531.6	535.8	540.0	544.2	548.4	552.6	556.8	561.0	565.2	569.4	573.6	577.8	582.0	586.2	590.4	594.6	598.8	603.0	607.2	611.4	615.6	619.8	624.0	628.2	632.4	636.6	640.8	645.0	649.2	653.4	657.6	661.8	666.0	670.2	674.4	678.6	682.8	687.0	691.2	695.4	699.6	703.8	708.0	712.2	716.4	720.6	724.8	729.0	733.2	737.4	741.6	745.8	750.0	754.2	758.4	762.6	766.8	771.0	775.2	779.4	783.6	787.8	792.0	796.2	800.4	804.6	808.8	813.0	817.2	821.4	825.6	829.8	834.0	838.2	842.4	846.6	850.8	855.0	859.2	863.4	867.6	871.8	876.0	880.2	884.4	888.6	892.8	897.0	901.2	905.4	909.6	913.8	918.0	922.2	926.4	930.6	934.8	939.0	943.2	947.4	951.6	955.8	960.0	964.2	968.4	972.6	976.8	981.0	985.2	989.4	993.6	997.8	1002.0	1006.2	1010.4	1014.6	1018.8	1023.0	1027.2	1031.4	1035.6	1039.8	1044.0	1048.2	1052.4	1056.6	1060.8	1065.0	1069.2	1073.4	1077.6	1081.8	1086.0	1090.2	1094.4	1098.6	1102.8	1107.0	1111.2	1115.4	1119.6	1123.8	1128.0	1132.2	1136.4	1140.6	1144.8	1149.0	1153.2	1157.4	1161.6	1165.8	1170.0	1174.2	1178.4	1182.6	1186.8	1191.0	1195.2	1199.4	1203.6	1207.8	1212.0	1216.2	1220.4	1224.6	1228.8	1233.0	1237.2	1241.4	1245.6	1249.8	1254.0	1258.2	1262.4	1266.6	1270.8	1275.0	1279.2	1283.4	1287.6	1291.8	1296.0	1300.2	1304.4	1308.6	1312.8	1317.0	1321.2	1325.4	1329.6	1333.8	1338.0	1342.2	1346.4	1350.6	1354.8	1359.0	1363.2	1367.4	1371.6	1375.8	1380.0	1384.2	1388.4	1392.6	1396.8	1401.0	1405.2	1409.4	1413.6	1417.8	1422.0	1426.2	1430.4	1434.6	1438.8	1443.0	1447.2	1451.4	1455.6	1459.8	1464.0	1468.2	1472.4	1476.6	1480.8	1485.0	1489.2	1493.4	1497.6	1501.8	1506.0	1510.2	1514.4	1518.6	1522.8	1527.0	1531.2	1535.4	1539.6	1543.8	1548.0	1552.2	1556.4	1560.6	1564.8	1569.0	1573.2	1577.4	1581.6	1585.8	1590.0	1594.2	1598.4	1602.6	1606.8	1611.0	1615.2	1619.4	1623.6	1627.8	1632.0	1636.2	1640.4	1644.6	1648.8	1653.0	1657.2	1661.4	1665.6	1669.8	1674.0	1678.2	1682.4	1686.6	1690.8	1695.0	1699.2	1703.4	1707.6	1711.8	1716.0	1720.2	1724.4	1728.6	1732.8	1737.0	1741.2	1745.4	1749.6	1753.8	1758.0	1762.2	1766.4	1770.6	1774.8	1779.0	1783.2	1787.4	1791.6	1795.8	1800.0	1804.2	1808.4	1812.6	1816.8	1821.0	1825.2	1829.4	1833.6	1837.8	1842.0	1846.2	1850.4	1854.6	1858.8	1863.0	1867.2	1871.4	1875.6	1879.8	1884.0	1888.2	1892.4	1896.6	1900.8	1905.0	1909.2	1913.4	1917.6	1921.8	1926.0	1930.2	1934.4	1938.6	1942.8	1947.0	1951.2	1955.4	1959.6	1963.8	1968.0	1972.2	1976.4	1980.6	1984.8	1989.0	1993.2	1997.4	2001.6	2005.8	2010.0	2014.2	2018.4	2022.6	2026.8	2031.0	2035.2	2039.4	2043.6	2047.8	2052.0	2056.2	2060.4	2064.6	2068.8	2073.0	2077.2	2081.4	2085.6	2089.8	2094.0	2098.2	2102.4	2106.6	2110.8	2115.0	2119.2	2123.4	2127.6	2131.8	2136.0	2140.2	2144.4	2148.6	2152.8	2157.0	2161.2	2165.4	2169.6	2173.8	2178.0	2182.2	2186.4	2190.6	2194.8	2199.0	2203.2	2207.4	2211.6	2215.8	2220.0	2224.2	2228.4	2232.6	2236.8	2241.0	2245.2	2249.4	2253.6	2257.8	2262.0	2266.2	2270.4	2274.6	2278.8	2283.0	2287.2	2291.4	2295.6	2299.8	2304.0	2308.2	2312.4	2316.6	2320.8	2325.0	2329.2	2333.4	2337.6	2341.8	2346.0	2350.2	2354.4	2358.6	2362.8	2367.0	2371.2	2375.4	2379.6	2383.8	2388.0	2392.2	2396.4	2400.6	2404.8	2409.0	2413.2	2417.4	2421.6	2425.8	2430.0	2434.2	2438.4	2442.6	2446.8	2451.0	2455.2	2459.4	2463.6	2467.8	2472.0	2476.2	2480.4	2484.6	2488.8	2493.0	2497.2	2501.4	2505.6	2509.8	2514.0	2518.2	2522.4	2526.6	2530.8	2535.0	2539.2	2543.4	2547.6	2551.8	2556.0	2560.2	2564.4	2568.6	2572.8	2577.0	2581.2	2585.4	2589.6	2593.8	2598.0	2602.2	2606.4	2610.6	2614.8	2619.0	2623.2	2627.4	2631.6	2635.8	2640.0	2644.2	2648.4	2652.6	2656.8	2661.0	2665.2	2669.4	2673.6	2677.8	2682.0	2686.2	2690.4	2694.6	2698.8	2703.0	2707.2	2711.4	2715.6	2719.8	2724.0	2728.2	2732.4	2736.6	2740.8	2745.0	2749.2	2753.4	2757.6	2761.8	2766.0	2770.2	2774.4	2778.6	2782.8	2787.0	2791.2	2795.4	2799.6	2803.8	2808.0	2812.2	2816.4	2820.6	2824.8	2829.0	2833.2	2837.4	2841.6	2845.8	2850.0	2854.2	2858.4	2862.6	2866.8	2871.0	2875.2	2879.4	2883.6	2887.8	2892.0	2896.2	2900.4	2904.6	2908.8	2913.0	2917.2	2921.4	2925.6	2929.8	2934.0	2938.2	2942.4	2946.6	2950.8	2955.0	2959.2	2963.4	2967.6	2971.8	2976.0	2980.2	2984.4	2988.6	2992.8	2997.0	3001.2	3005.4	3009.6	3013.8	3018.0	3022.2	3026.4	3030.6	3034.8	3039.0	3043.2	3047.4	3051.6	3055.8	3060.0	3064.2	3068.4	3072.6	3076.8	3081.0	3085.2	3089.4	3093.6	3097.8	3102.0	3106.2	3110.4	3114.6	3118.8	3123.0	3127.2	3131.4	3135.6	3139.8	3144.0	3148.2	3152.4	3156.6	3160.8	3165.0	3169.2	3173.4	3177.6	3181.8	3186.0	3190.2	3194.4	3198.6	3202.8	3207.0	3211.2	3215.4	3219.6	3223.8	3228.0	3232.2	3236.4	3240.6	3244.8	3249.0	3253.2	3257.4	3261.6	3265.8	3270.0	3274.2	3278.4	3282.6	3286.8	3291.0	3295.2	3299.4	3303.6	3307.8	3312.0	3316.2	3320.4	3324.6	3328.8	3333.0	3337.2	3341.4	3345.6	3349.8	3354.0	3358.2	3362.4	3366.6	3370.8	3375.0	3379.2	3383.4	3387.6	3391.8	3396.0	3400.2	3404.4	3408.6	3412.8	3417.0	3421.2	3425.4	3429.6	3433.8	3438.0	3442.2	3446.4	3450.6	3454.8	3459.0	3463.2	3467.4	3471.6	3475.8	3480.0	3484.2	3488.4	3492.6	3496.8	3501.0	3505.2	3509.4	3513.6	3517.8	3522.0	3526.2	3530.4	3534.6	3538.8	3543.0	3547.2	3551.4	3555.6	3559.8	3564.0	3568.2	3572.4	3576.6	3580.8	3585.0	3589.2	3593.4	3597.6	3601.8	3606.0	3610.2	3614.4	3618.6	3622.8	3627.0	3631.2	3635.4	3639.6	3643.8	3648.0	3652.2	3656.4	3660.6	3664.8	3669.0	3673.2	3677.4	3681.6	3685.8	3690.0	3694.2	3698.4	3702.6	3706.8	3711.0	3715.2	3719.4	3723.6	3727.8	3732.0	3736.2	3740.4	3744.6	3748.8	3753.0	3757.2	3761.4	3765.6	3769.8	3774.0	3778.2	3782.4	3786.6	3790.8	3795.0	3799.2	3803.4	3807.6	3811.8	3816.0	3820.2	3824.4	3828.6	3832.8	3837.0	3841.2	3845.4	3849.6	3853.8	3858.0	3862.2	3866.4	3870.6	3874

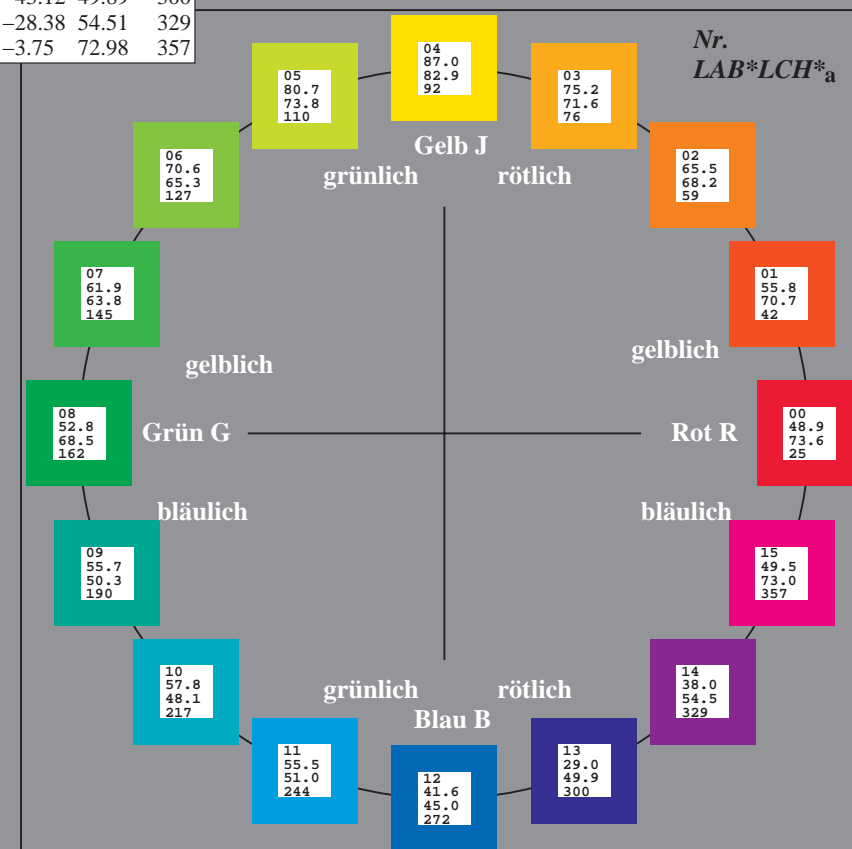
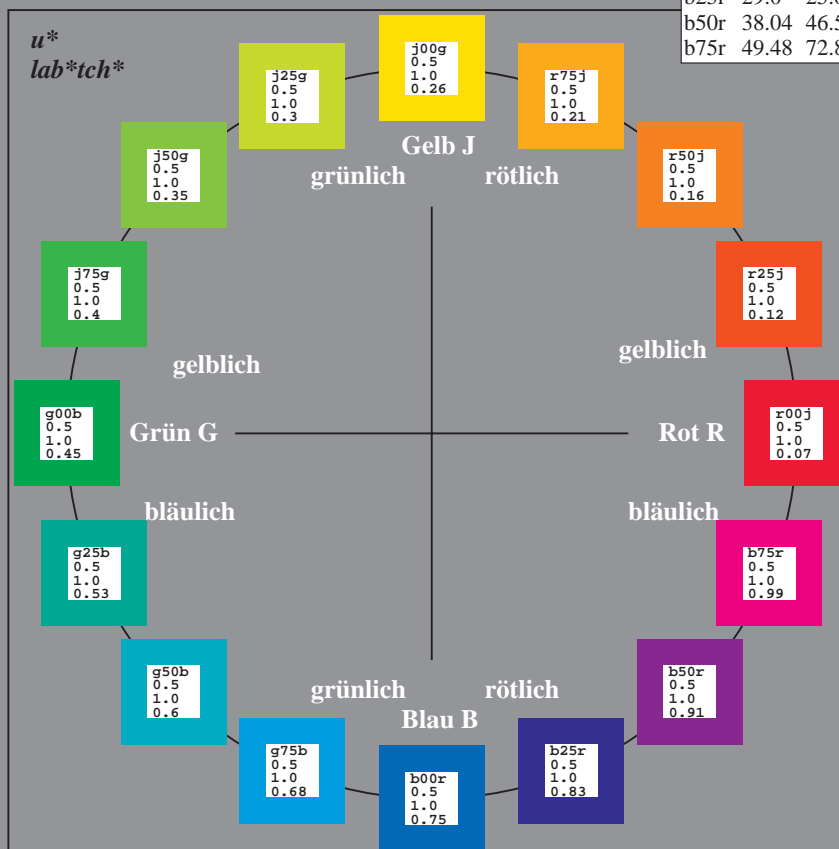
Ein und Ausgabe:  
Farbmetrisches Drucker-Reflektiv-System ORS19\_96a  
Daten für jede Farbe:  
*lab\*tch\** und *lab\*icu\**  
Elementar-Bunntontext:  
*u\** = 16 Bunttöne *r00j*, *r25j*, ..., *b75r*  
Kontrastreduzierungsfaktor:  
 $c_R = 1.0$

ORS19_96a; adaptierte CIELAB-Daten					
	$L^*=L^*_a$	$a^*_a$	$b^*_a$	$C^*_{ab,a}$	$h^*_{ab,a}$
r00j	48.88	66.47	31.67	73.63	25
r25j	55.85	52.39	47.48	70.7	42
r50j	65.45	35.22	58.37	68.17	59
r75j	75.19	17.82	69.41	71.66	76
j00g	87.03	-3.34	82.83	82.9	92
j25g	80.72	-25.0	69.5	73.86	110
j50g	70.64	-39.53	51.97	65.3	127
j75g	61.93	-52.09	36.83	63.8	145
g00b	52.8	-65.27	20.93	68.56	162
g25b	55.7	-49.57	-8.38	50.28	190
g50b	57.82	-38.39	-28.91	48.07	217
g75b	55.5	-22.04	-45.94	50.97	244
b00r	41.6	1.37	-45.0	45.03	272
b25r	29.0	25.08	-43.12	49.89	300
b50r	38.04	46.53	-28.38	54.51	329
b75r	49.48	72.88	-3.75	72.98	357



%Umfang  
 $u^*_{rel} = 89$   
%Regularität  
 $g^*_{H,rel} = 72$   
 $g^*_{C,rel} = 57$

ORS19_96a; adaptierte CIELAB-Daten					
	$L^*=L^*_a$	$a^*_a$	$b^*_a$	$C^*_{ab,a}$	$h^*_{ab,a}$
OMa	48.75	65.07	39.43	76.08	31
YMa	90.92	-10.28	87.24	87.85	97
LMa	52.69	-65.43	20.75	68.65	162
CMa	59.61	-28.97	-46.21	54.56	238
VMa	28.39	23.63	-44.12	50.06	298
MMa	49.58	73.93	-9.55	74.55	353
NMa	18.89	0.0	0.0	0.0	0
WMa	96.9	0.0	0.0	0.0	0
RCIE	39.92	58.74	27.99	65.07	25
JCIE	81.26	-2.88	71.56	71.62	92
GCIE	52.23	-42.41	13.6	44.55	162
BCIE	30.57	1.41	-46.46	46.49	272



Ein und Ausgabe: Farbmetrisches Drucker-Reflektiv-System ORS19\_96a für relativen CIELAB-Buntton  $h^* = lab^*h^* = h_{ab}/360 = 25/360 = 0.071$   $u^* = r00j$   
Daten für jede Farbe:  $lab^*tch^*$  und  $lab^*icu^*$

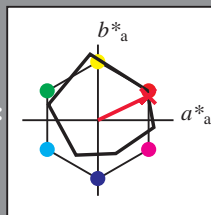
Elementar-Bunttontext:

$u^* = r00j$

Kontrastreduzierungsfaktor:

$c_R = 1.0$

Dreiecks-Helligkeit  $t^*$



ORS19_96a; adaptierte CIELAB-Daten					
	$L^*=L_a^*$	$a_a^*$	$b_a^*$	$C^*_{ab,a}$	$h^*_{ab,a}$
O <sub>Ma</sub>	48.75	65.07	39.43	76.08	31
Y <sub>Ma</sub>	90.92	-10.28	87.24	87.85	97
L <sub>Ma</sub>	52.69	-65.43	20.75	68.65	162
C <sub>Ma</sub>	59.61	-28.97	-46.21	54.56	238
V <sub>Ma</sub>	28.39	23.63	-44.12	50.06	298
M <sub>Ma</sub>	49.58	73.93	-9.55	74.55	353
N <sub>Ma</sub>	18.89	0.0	0.0	0.0	0
W <sub>Ma</sub>	96.9	0.0	0.0	0.0	0
R <sub>CIE</sub>	39.92	58.74	27.99	65.07	25
J <sub>CIE</sub>	81.26	-2.88	71.56	71.62	92
G <sub>CIE</sub>	52.23	-42.41	13.6	44.55	162
B <sub>CIE</sub>	30.57	1.41	-46.46	46.49	272

Daten für Maximalfarbe (Ma):

$LAB^*LAB^*_{Ma}$ : 49 66 32

$LAB^*LCH^*_{Ma}$ : 49 74 25

$lab^*rgb^*_{Ma}$ : 1.0 0.0 0.0

$lab^*olv^*_{Ma}$ : 1.0 0.0 0.16

Dreiecks-Helligkeit  $t^*$

%Umfang

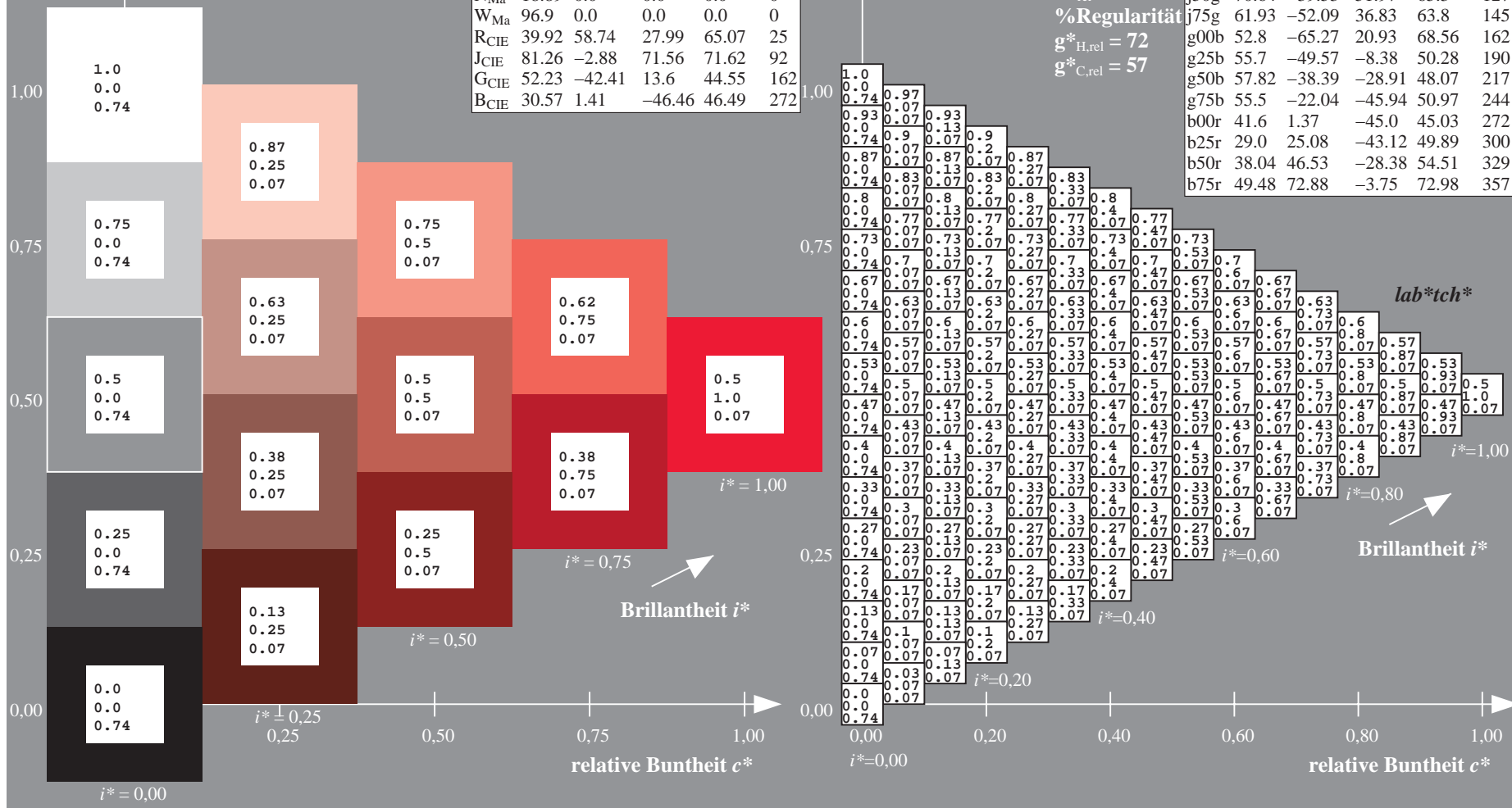
$u^*_{rel} = 89$

%Regularität

$g^*_{H,rel} = 72$

$g^*_{C,rel} = 57$

ORS19_96a; adaptierte CIELAB-Daten					
	$L^*=L_a^*$	$a_a^*$	$b_a^*$	$C^*_{ab,a}$	$h^*_{ab,a}$
r00j	48.88	66.47	31.67	73.63	25
r25j	55.85	52.39	47.48	70.7	42
r50j	65.45	35.22	58.37	68.17	59
r75j	75.19	17.82	69.41	71.66	76
j00g	87.03	-3.34	82.83	82.9	92
j25g	80.72	-25.0	69.5	73.86	110
j50g	70.64	-39.53	51.97	65.3	127
j75g	61.93	-52.09	36.83	63.8	145
g00b	52.8	-65.27	20.93	68.56	162
g25b	55.7	-49.57	-8.38	50.28	190
g50b	57.82	-38.39	-28.91	48.07	217
g75b	55.5	-22.04	-45.94	50.97	244
b00r	41.6	1.37	-45.0	45.03	272
b25r	29.0	25.08	-43.12	49.89	300
b50r	38.04	46.53	-28.38	54.51	329
b75r	49.48	72.88	-3.75	72.98	357



Ein und Ausgabe: Farbmetrisches Drucker-Reflektiv-System ORS19\_96a für relativen CIELAB-Buntton  $h^* = lab^*h^* = h_{ab}/360 = 42/360 = 0.117$   $u^* = r25j$

Daten für jede Farbe:

$lab^*tch^*$  und  $lab^*icu^*$

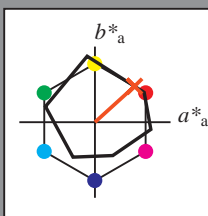
Elementar-Bunttontext:

$u^* = r25j$

Kontrastreduzierungsfaktor:

$c_R = 1.0$

Dreiecks-Helligkeit  $t^*$



ORS19_96a; adaptierte CIELAB-Daten					
	$L^*=L^*_a$	$a^*_a$	$b^*_a$	$C^*_{ab,a}$	$h^*_{ab,a}$
O <sub>Ma</sub>	48.75	65.07	39.43	76.08	31
Y <sub>Ma</sub>	90.92	-10.28	87.24	87.85	97
L <sub>Ma</sub>	52.69	-65.43	20.75	68.65	162
C <sub>Ma</sub>	59.61	-28.97	-46.21	54.56	238
V <sub>Ma</sub>	28.39	23.63	-44.12	50.06	298
M <sub>Ma</sub>	49.58	73.93	-9.55	74.55	353
N <sub>Ma</sub>	18.89	0.0	0.0	0.0	0
W <sub>Ma</sub>	96.9	0.0	0.0	0.0	0
R <sub>CIE</sub>	39.92	58.74	27.99	65.07	25
J <sub>CIE</sub>	81.26	-2.88	71.56	71.62	92
G <sub>CIE</sub>	52.23	-42.41	13.6	44.55	162
B <sub>CIE</sub>	30.57	1.41	-46.46	46.49	272

Daten für Maximalfarbe (Ma):

$LAB^*LAB^*_{Ma}$ : 56 52 47

$LAB^*LCH^*_{Ma}$ : 56 71 42

$lab^*rgb^*_{Ma}$ : 1.0 0.25 0.0

$lab^*olv^*_{Ma}$ : 1.0 0.17 0.0

Dreiecks-Helligkeit  $t^*$

%Umfang

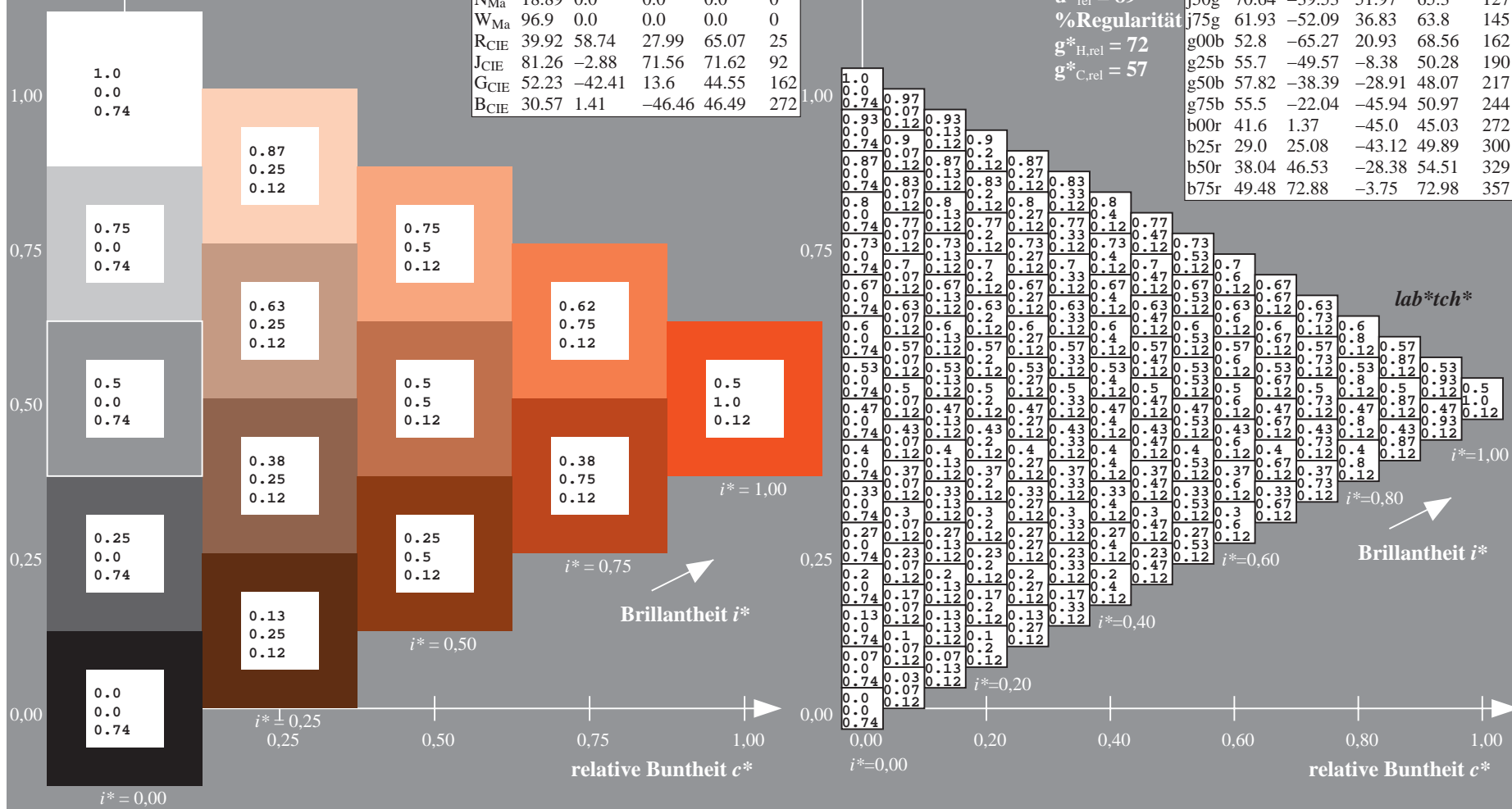
$u^*_{rel} = 89$

%Regularität

$g^*_{H,rel} = 72$

$g^*_{C,rel} = 57$

ORS19_96a; adaptierte CIELAB-Daten					
	$L^*=L^*_a$	$a^*_a$	$b^*_a$	$C^*_{ab,a}$	$h^*_{ab,a}$
r00j	48.88	66.47	31.67	73.63	25
r25j	55.85	52.39	47.48	70.7	42
r50j	65.45	35.22	58.37	68.17	59
r75j	75.19	17.82	69.41	71.66	76
j00g	87.03	-3.34	82.83	82.9	92
j25g	80.72	-25.0	69.5	73.86	110
j50g	70.64	-39.53	51.97	65.3	127
j75g	61.93	-52.09	36.83	63.8	145
g00b	52.8	-65.27	20.93	68.56	162
g25b	55.7	-49.57	-8.38	50.28	190
g50b	57.82	-38.39	-28.91	48.07	217
g75b	55.5	-22.04	-45.94	50.97	244
b00r	41.6	1.37	-45.0	45.03	272
b25r	29.0	25.08	-43.12	49.89	300
b50r	38.04	46.53	-28.38	54.51	329
b75r	49.48	72.88	-3.75	72.98	357





Ein und Ausgabe: Farbmetrisches Drucker-Reflektiv-System ORS19\_96a für relativen CIELAB-Buntton  $h^* = lab^*h^* = h_{ab}/360 = 59/360 = 0.164$   $u^* = r50j$   
Daten für jede Farbe:  $lab^*ch^*$  und  $lab^*icu^*$

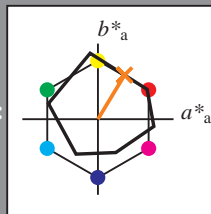
Elementar-Bunttontext:

$u^* = r50j$

Kontrastreduzierungsfaktor:

$c_R = 1.0$

Dreiecks-Helligkeit  $t^*$



ORS19_96a; adaptierte CIELAB-Daten					
	$L^*=L_a^*$	$a_a^*$	$b_a^*$	$C^*_{ab,a}$	$h^*_{ab,a}$
O <sub>Ma</sub>	48.75	65.07	39.43	76.08	31
Y <sub>Ma</sub>	90.92	-10.28	87.24	87.85	97
L <sub>Ma</sub>	52.69	-65.43	20.75	68.65	162
C <sub>Ma</sub>	59.61	-28.97	-46.21	54.56	238
V <sub>Ma</sub>	28.39	23.63	-44.12	50.06	298
M <sub>Ma</sub>	49.58	73.93	-9.55	74.55	353
N <sub>Ma</sub>	18.89	0.0	0.0	0.0	0
W <sub>Ma</sub>	96.9	0.0	0.0	0.0	0
R <sub>CIE</sub>	39.92	58.74	27.99	65.07	25
J <sub>CIE</sub>	81.26	-2.88	71.56	71.62	92
G <sub>CIE</sub>	52.23	-42.41	13.6	44.55	162
B <sub>CIE</sub>	30.57	1.41	-46.46	46.49	272

Daten für Maximalfarbe (Ma):

$LAB^*LAB^*_{Ma}$ : 65 35 58

$LAB^*LCH^*_{Ma}$ : 65 68 59

$lab^*rgb^*_{Ma}$ : 1.0 0.5 0.0

$lab^*olv^*_{Ma}$ : 1.0 0.4 0.0

Dreiecks-Helligkeit  $t^*$

%Umfang

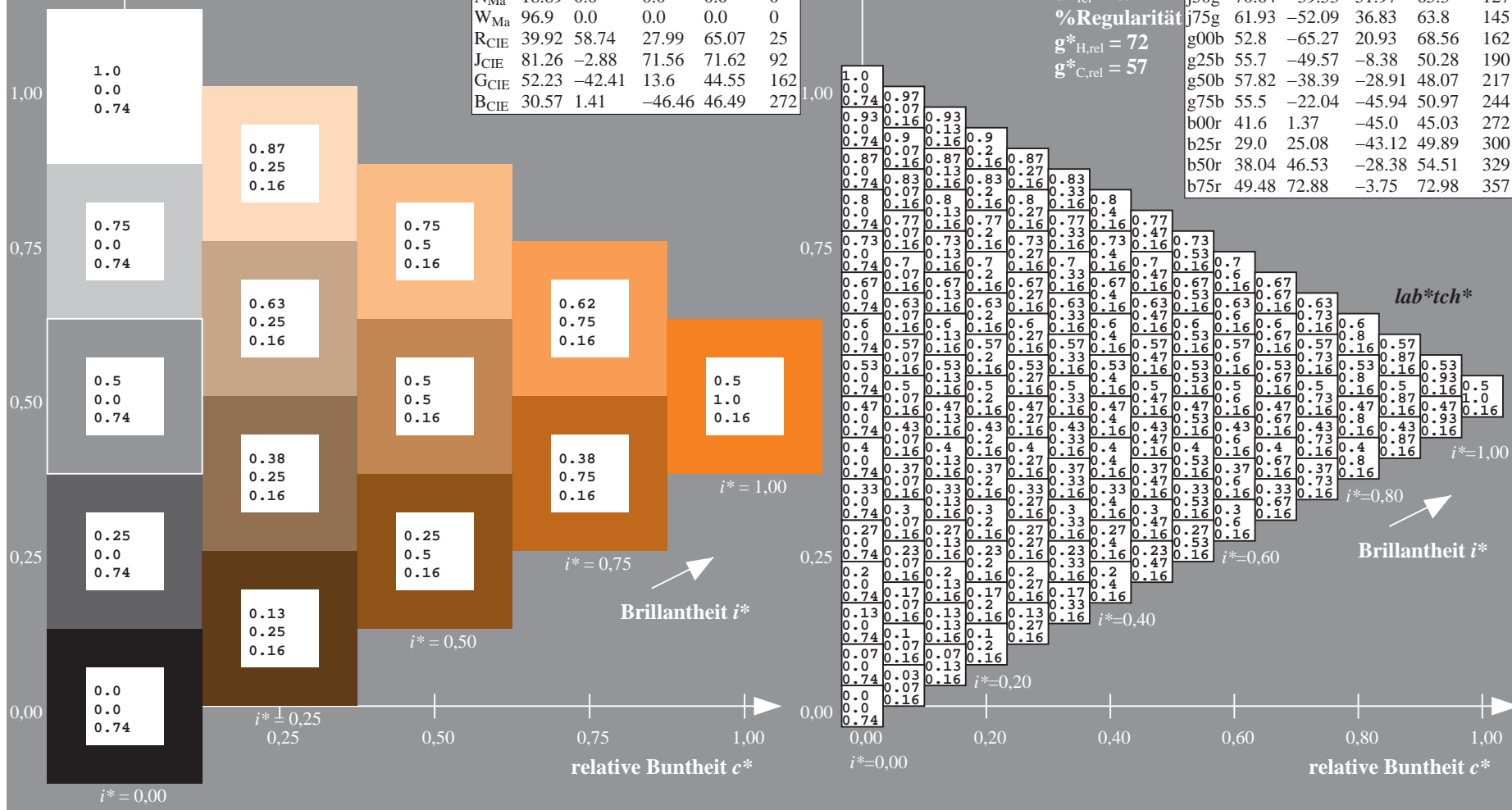
$u^*_{rel} = 89$

%Regularität

$g^*_{H,rel} = 72$

$g^*_{C,rel} = 57$

ORS19_96a; adaptierte CIELAB-Daten					
	$L^*=L_a^*$	$a_a^*$	$b_a^*$	$C^*_{ab,a}$	$h^*_{ab,a}$
r00j	48.88	66.47	31.67	73.63	25
r25j	55.85	52.39	47.48	70.7	42
r50j	65.45	35.22	58.37	68.17	59
r75j	75.19	17.82	69.41	71.66	76
j00g	87.03	-3.34	82.83	82.9	92
j25g	80.72	-25.0	69.5	73.86	110
j50g	70.64	-39.53	51.97	65.3	127
j75g	61.93	-52.09	36.83	63.8	145
g00b	52.8	-65.27	20.93	68.56	162
g25b	55.7	-49.57	-8.38	50.28	190
g50b	57.82	-38.39	-28.91	48.07	217
g75b	55.5	-22.04	-45.94	50.97	244
b00r	41.6	1.37	-45.0	45.03	272
b25r	29.0	25.08	-43.12	49.89	300
b50r	38.04	46.53	-28.38	54.51	329
b75r	49.48	72.88	-3.75	72.98	357





Ein und Ausgabe: Farbmetrisches Drucker-Reflektiv-System ORS19\_96a für relativen CIELAB-Buntton  $h^* = \text{lab}^*h^* = h_{ab}/360 = 76/360 = 0.21$

Daten für jede Farbe:

$\text{lab}^*tch^*$  und  $\text{lab}^*icu^*$

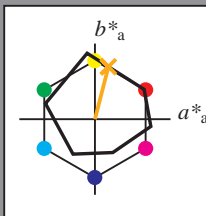
Elementar-Bunttontext:

$u^* = r75j$

Kontrastreduzierungsfaktor:

$c_R = 1.0$

Dreiecks-Helligkeit  $t^*$



ORS19\_96a; adaptierte CIELAB-Daten

	$L^*=L_a^*$	$a_a^*$	$b_a^*$	$C^*_{ab,a}$	$h^*_{ab,a}$
O <sub>Ma</sub>	48.75	65.07	39.43	76.08	31
Y <sub>Ma</sub>	90.92	-10.28	87.24	87.85	97
L <sub>Ma</sub>	52.69	-65.43	20.75	68.65	162
C <sub>Ma</sub>	59.61	-28.97	-46.21	54.56	238
V <sub>Ma</sub>	28.39	23.63	-44.12	50.06	298
M <sub>Ma</sub>	49.58	73.93	-9.55	74.55	353
N <sub>Ma</sub>	18.89	0.0	0.0	0.0	0
W <sub>Ma</sub>	96.9	0.0	0.0	0.0	0
R <sub>CIE</sub>	39.92	58.74	27.99	65.07	25
J <sub>CIE</sub>	81.26	-2.88	71.56	71.62	92
G <sub>CIE</sub>	52.23	-42.41	13.6	44.55	162
B <sub>CIE</sub>	30.57	1.41	-46.46	46.49	272

Daten für Maximalfarbe (Ma):

$\text{LAB}^*\text{LAB}^*_{Ma}$ : 75 18 69

$\text{LAB}^*\text{LCH}^*_{Ma}$ : 75 72 76

$\text{lab}^*\text{rgb}^*_{Ma}$ : 1.0 0.75 0.0

$\text{lab}^*\text{olv}^*_{Ma}$ : 1.0 0.63 0.0

Dreiecks-Helligkeit  $t^*$

%Umfang

$u^*_{rel} = 89$

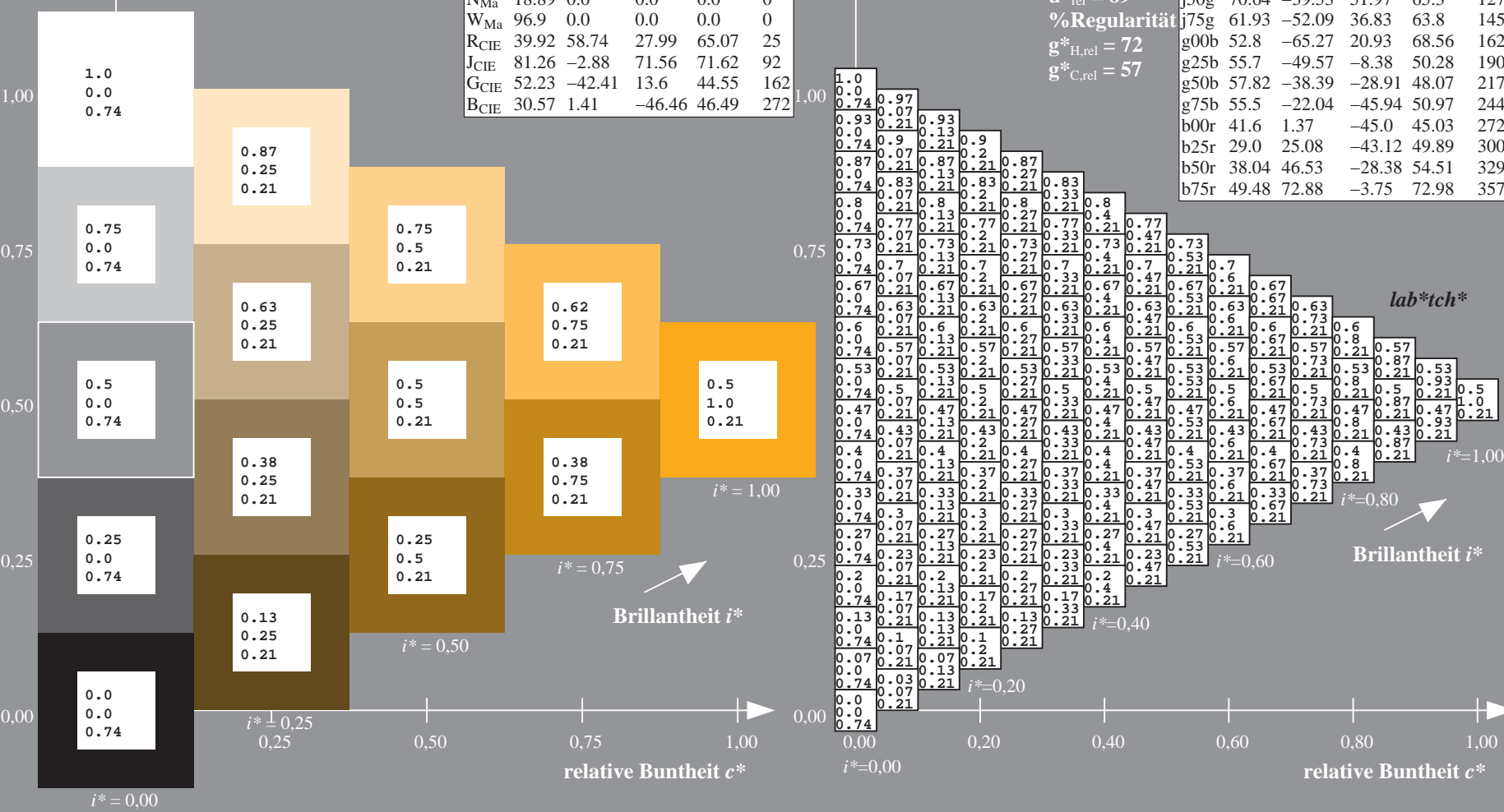
%Regularität

$g^*_{H,rel} = 72$

$g^*_{C,rel} = 57$

ORS19\_96a; adaptierte CIELAB-Daten

	$L^*=L_a^*$	$a_a^*$	$b_a^*$	$C^*_{ab,a}$	$h^*_{ab,a}$
r00j	48.88	66.47	31.67	73.63	25
r25j	55.85	52.39	47.48	70.7	42
r50j	65.45	35.22	58.37	68.17	59
r75j	75.19	17.82	69.41	71.66	76
j00g	87.03	-3.34	82.83	82.9	92
j25g	80.72	-25.0	69.5	73.86	110
j50g	70.64	-39.53	51.97	65.3	127
j75g	61.93	-52.09	36.83	63.8	145
g00b	52.8	-65.27	20.93	68.56	162
g25b	55.7	-49.57	-8.38	50.28	190
g50b	57.82	-38.39	-28.91	48.07	217
g75b	55.5	-22.04	-45.94	50.97	244
b00r	41.6	1.37	-45.0	45.03	272
b25r	29.0	25.08	-43.12	49.89	300
b50r	38.04	46.53	-28.38	54.51	329
b75r	49.48	72.88	-3.75	72.98	357



Ein und Ausgabe: Farbmetrisches Drucker-Reflektiv-System ORS19\_96a für relativen CIELAB-Buntton  $h^* = lab^*h^* = h_{ab}/360 = 92/360 = 0.256$   $u^* = j00g$   
Daten für jede Farbe:  $lab^*ch^*$  und  $lab^*icu^*$

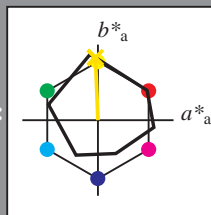
Elementar-Bunttontext:

$u^* = j00g$

Kontrastreduzierungsfaktor:

$c_R = 1.0$

Dreiecks-Helligkeit  $i^*$



ORS19\_96a; adaptierte CIELAB-Daten

	$L^*=L^*_a$	$a^*_a$	$b^*_a$	$C^*_{ab,a}$	$h^*_{ab,a}$
O <sub>Ma</sub>	48.75	65.07	39.43	76.08	31
Y <sub>Ma</sub>	90.92	-10.28	87.24	87.85	97
L <sub>Ma</sub>	52.69	-65.43	20.75	68.65	162
C <sub>Ma</sub>	59.61	-28.97	-46.21	54.56	238
V <sub>Ma</sub>	28.39	23.63	-44.12	50.06	298
M <sub>Ma</sub>	49.58	73.93	-9.55	74.55	353
N <sub>Ma</sub>	18.89	0.0	0.0	0.0	0
W <sub>Ma</sub>	96.9	0.0	0.0	0.0	0
R <sub>CIE</sub>	39.92	58.74	27.99	65.07	25
J <sub>CIE</sub>	81.26	-2.88	71.56	71.62	92
G <sub>CIE</sub>	52.23	-42.41	13.6	44.55	162
B <sub>CIE</sub>	30.57	1.41	-46.46	46.49	272

Daten für Maximalfarbe (Ma):

$LAB^*LAB^*_{Ma}$ : 87 -2 83

$LAB^*LCH^*_{Ma}$ : 87 83 92

$lab^*rgb^*_{Ma}$ : 1.0 1.0 0.0

$lab^*olv^*_{Ma}$ : 1.0 0.91 0.0

Dreiecks-Helligkeit  $i^*$

%Umfang

$u^*_{rel} = 89$

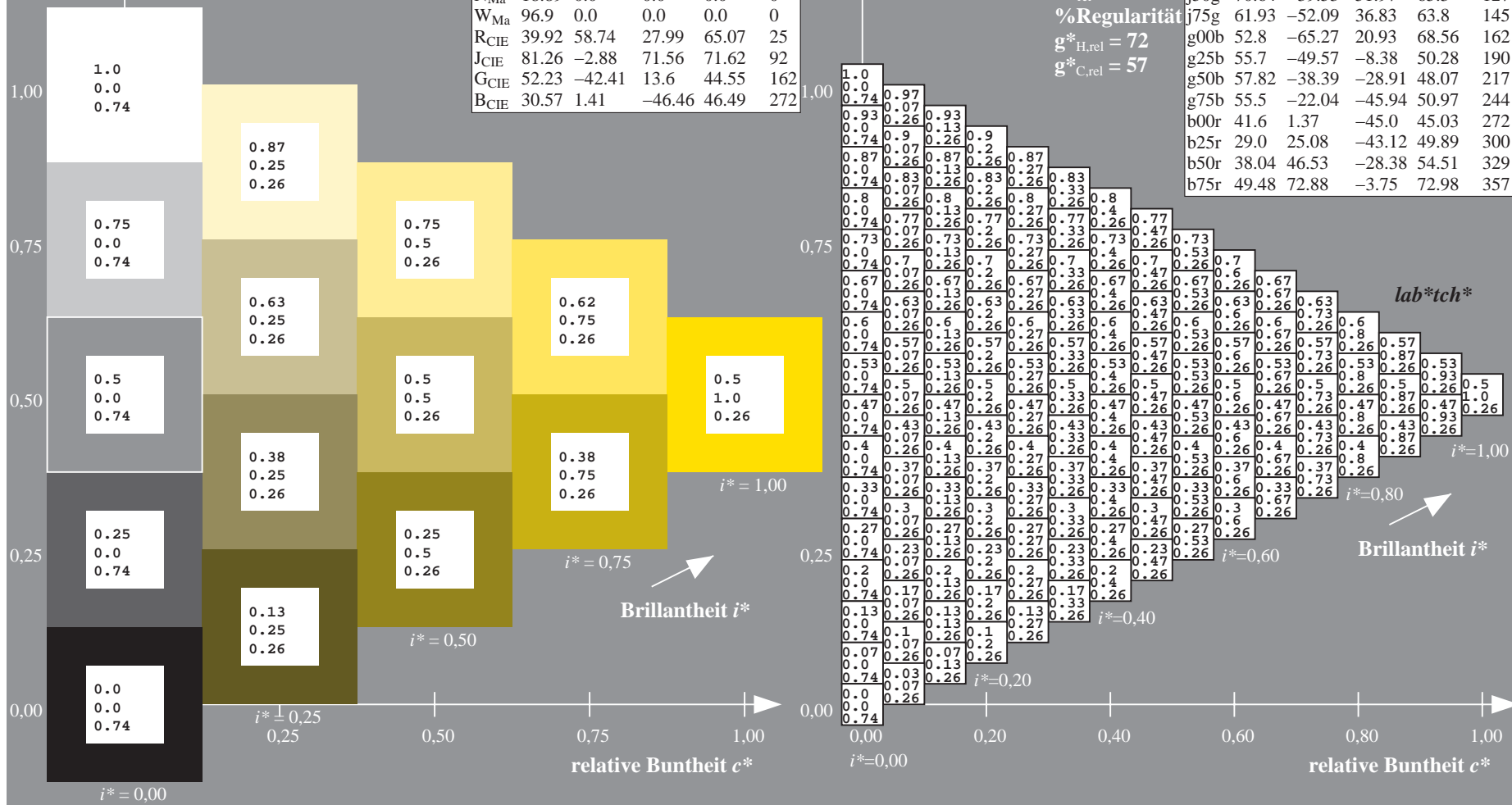
%Regularität

$g^*_{H,rel} = 72$

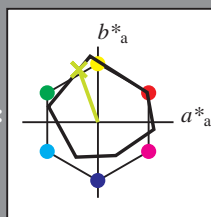
$g^*_{C,rel} = 57$

ORS19\_96a; adaptierte CIELAB-Daten

	$L^*=L^*_a$	$a^*_a$	$b^*_a$	$C^*_{ab,a}$	$h^*_{ab,a}$
r00j	48.88	66.47	31.67	73.63	25
r25j	55.85	52.39	47.48	70.7	42
r50j	65.45	35.22	58.37	68.17	59
r75j	75.19	17.82	69.41	71.66	76
j00g	87.03	-3.34	82.83	82.9	92
j25g	80.72	-25.0	69.5	73.86	110
j50g	70.64	-39.53	51.97	65.3	127
j75g	61.93	-52.09	36.83	63.8	145
g00b	52.8	-65.27	20.93	68.56	162
g25b	55.7	-49.57	-8.38	50.28	190
g50b	57.82	-38.39	-28.91	48.07	217
g75b	55.5	-22.04	-45.94	50.97	244
b00r	41.6	1.37	-45.0	45.03	272
b25r	29.0	25.08	-43.12	49.89	300
b50r	38.04	46.53	-28.38	54.51	329
b75r	49.48	72.88	-3.75	72.98	357



Ein und Ausgabe: Farbmetrisches Drucker-Reflektiv-System ORS19\_96a für relativen CIELAB-Buntton  $h^* = lab^*h^* = h_{ab}/360 = 110/360 = 0.305$   $u^* = j25g$   
Daten für jede Farbe:  
 $lab^*ch^*$  und  $lab^*icu^*$   
Elementar-Bunttontext:  
 $u^* = j25g$   
Kontrastreduzierungsfaktor:  
 $c_R = 1.0$   
Dreiecks-Helligkeit  $i^*$



ORS19_96a; adaptierte CIELAB-Daten					
	$L^*=L_a^*$	$a_a^*$	$b_a^*$	$C^*_{ab,a}$	$h^*_{ab,a}$
O <sub>Ma</sub>	48.75	65.07	39.43	76.08	31
Y <sub>Ma</sub>	90.92	-10.28	87.24	87.85	97
L <sub>Ma</sub>	52.69	-65.43	20.75	68.65	162
C <sub>Ma</sub>	59.61	-28.97	-46.21	54.56	238
V <sub>Ma</sub>	28.39	23.63	-44.12	50.06	298
M <sub>Ma</sub>	49.58	73.93	-9.55	74.55	353
N <sub>Ma</sub>	18.89	0.0	0.0	0.0	0
W <sub>Ma</sub>	96.9	0.0	0.0	0.0	0
R <sub>CIE</sub>	39.92	58.74	27.99	65.07	25
J <sub>CIE</sub>	81.26	-2.88	71.56	71.62	92
G <sub>CIE</sub>	52.23	-42.41	13.6	44.55	162
B <sub>CIE</sub>	30.57	1.41	-46.46	46.49	272

Daten für Maximalfarbe (Ma):

$LAB^*LAB^*_{Ma}$ : 81 -24 69

$LAB^*LCH^*_{Ma}$ : 81 74 110

$lab^*rgb^*_{Ma}$ : 0.75 1.0 0.0

$lab^*olv^*_{Ma}$ : 0.73 1.0 0.0

Dreiecks-Helligkeit  $i^*$

%Umfang

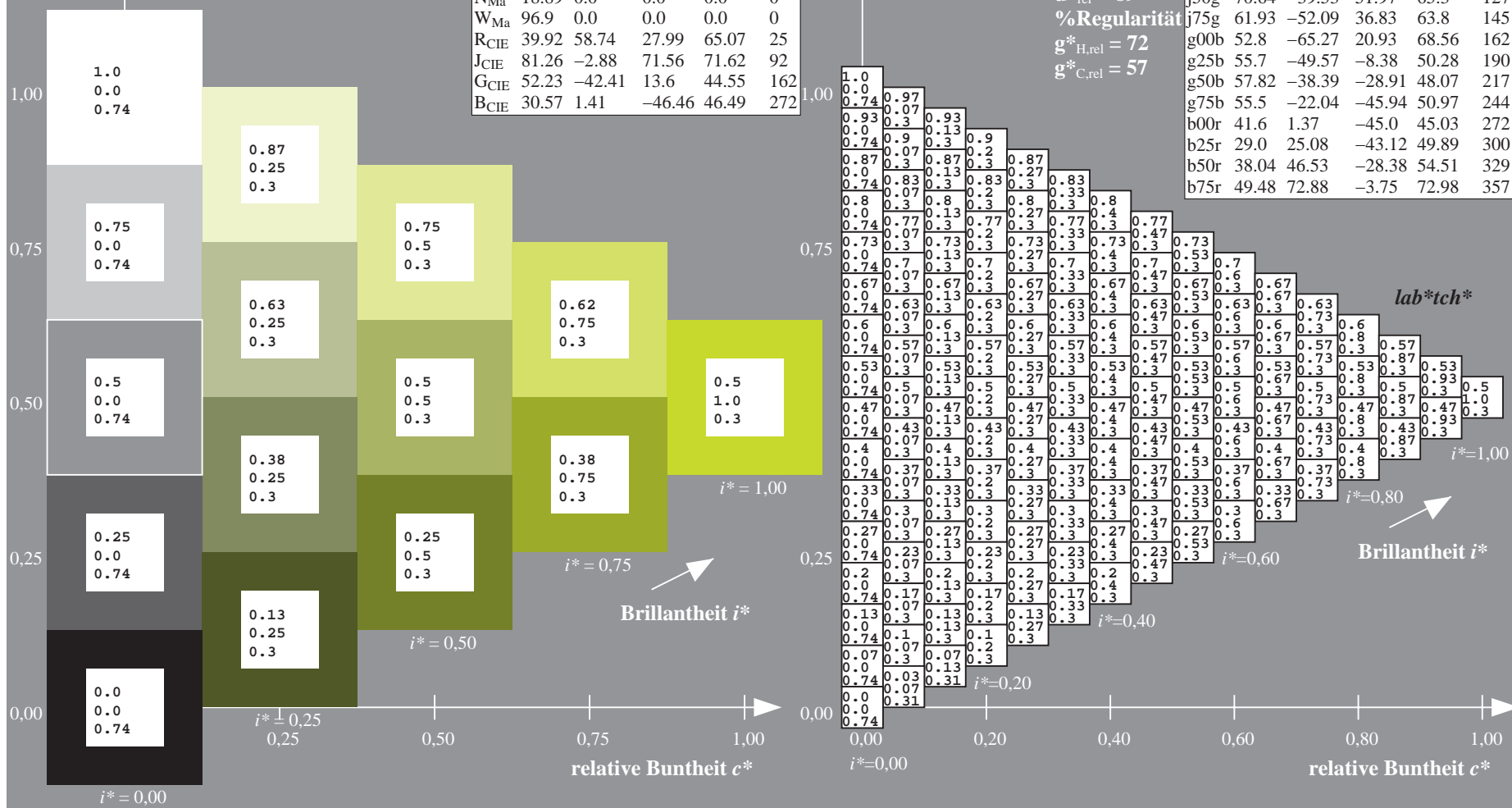
$u^*_{rel} = 89$

%Regularität

$g^*_{H,rel} = 72$

$g^*_{C,rel} = 57$

ORS19_96a; adaptierte CIELAB-Daten					
	$L^*=L_a^*$	$a_a^*$	$b_a^*$	$C^*_{ab,a}$	$h^*_{ab,a}$
r00j	48.88	66.47	31.67	73.63	25
r25j	55.85	52.39	47.48	70.7	42
r50j	65.45	35.22	58.37	68.17	59
r75j	75.19	17.82	69.41	71.66	76
j00g	87.03	-3.34	82.83	82.9	92
j25g	80.72	-25.0	69.5	73.86	110
j50g	70.64	-39.53	51.97	65.3	127
j75g	61.93	-52.09	36.83	63.8	145
g00b	52.8	-65.27	20.93	68.56	162
g25b	55.7	-49.57	-8.38	50.28	190
g50b	57.82	-38.39	-28.91	48.07	217
g75b	55.5	-22.04	-45.94	50.97	244
b00r	41.6	1.37	-45.0	45.03	272
b25r	29.0	25.08	-43.12	49.89	300
b50r	38.04	46.53	-28.38	54.51	329
b75r	49.48	72.88	-3.75	72.98	357



Ein und Ausgabe: Farbmetrisches Drucker-Reflektiv-System ORS19\_96a für relativen CIELAB-Buntton  $h^* = lab^*h^* = h_{ab}/360 = 127/360 = 0.354$   $u^* = j50g$   
Daten für jede Farbe:  $lab^*tch^*$  und  $lab^*icu^*$

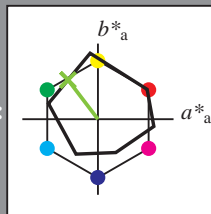
Elementar-Bunttontext:

$u^* = j50g$

Kontrastreduzierungsfaktor:

$c_R = 1.0$

Dreiecks-Helligkeit  $t^*$



ORS19_96a; adaptierte CIELAB-Daten					
	$L^*=L_a^*$	$a_a^*$	$b_a^*$	$C^*_{ab,a}$	$h^*_{ab,a}$
O <sub>Ma</sub>	48.75	65.07	39.43	76.08	31
Y <sub>Ma</sub>	90.92	-10.28	87.24	87.85	97
L <sub>Ma</sub>	52.69	-65.43	20.75	68.65	162
C <sub>Ma</sub>	59.61	-28.97	-46.21	54.56	238
V <sub>Ma</sub>	28.39	23.63	-44.12	50.06	298
M <sub>Ma</sub>	49.58	73.93	-9.55	74.55	353
N <sub>Ma</sub>	18.89	0.0	0.0	0.0	0
W <sub>Ma</sub>	96.9	0.0	0.0	0.0	0
R <sub>CIE</sub>	39.92	58.74	27.99	65.07	25
J <sub>CIE</sub>	81.26	-2.88	71.56	71.62	92
G <sub>CIE</sub>	52.23	-42.41	13.6	44.55	162
B <sub>CIE</sub>	30.57	1.41	-46.46	46.49	272

Daten für Maximalfarbe (Ma):

$LAB^*LAB^*_{Ma}$ : 71 -39 52

$LAB^*LCH^*_{Ma}$ : 71 65 127

$lab^*rgb^*_{Ma}$ : 0.5 1.0 0.0

$lab^*olv^*_{Ma}$ : 0.47 1.0 0.0

Dreiecks-Helligkeit  $t^*$

%Umfang

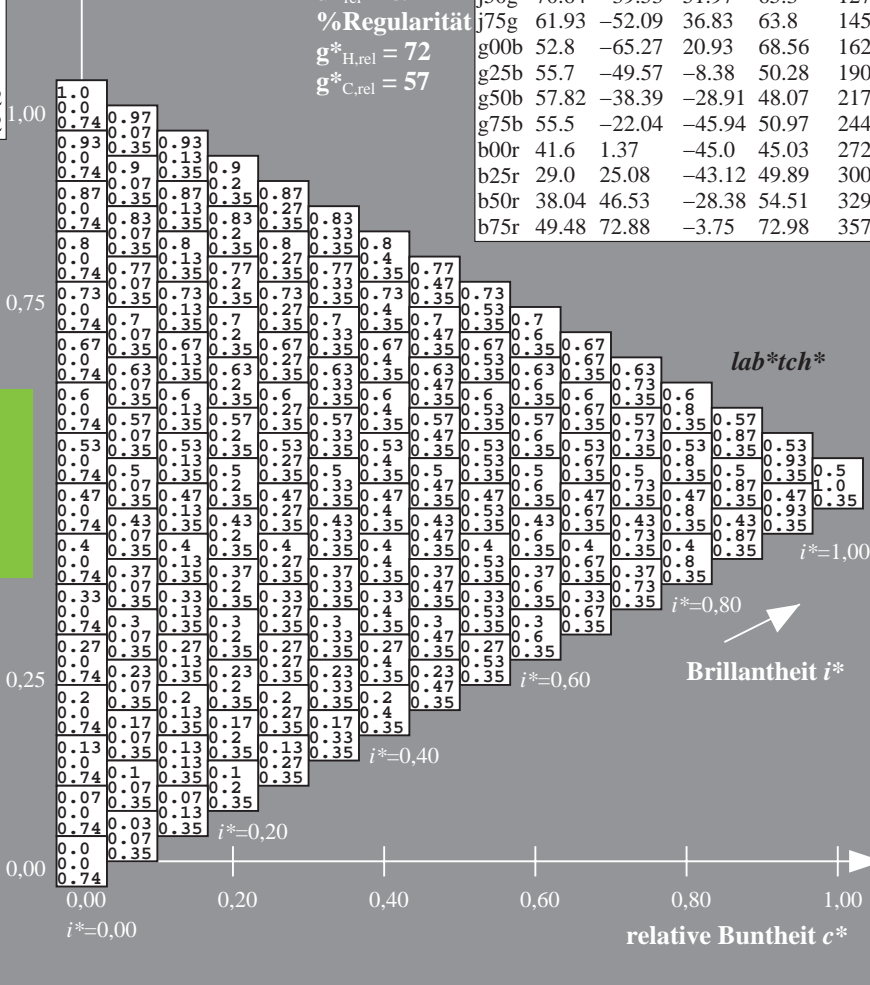
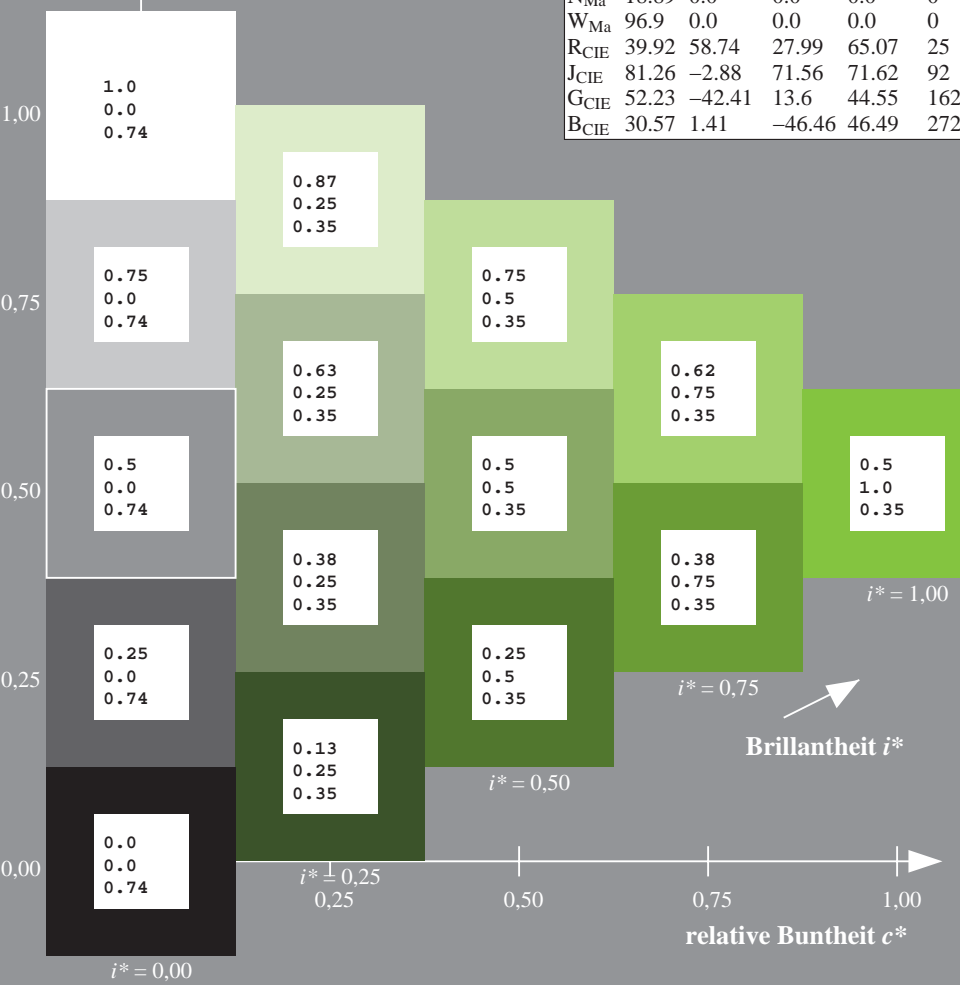
$u^*_{rel} = 89$

%Regularität

$g^*_{H,rel} = 72$

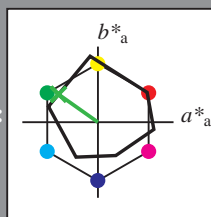
$g^*_{C,rel} = 57$

ORS19_96a; adaptierte CIELAB-Daten					
	$L^*=L_a^*$	$a_a^*$	$b_a^*$	$C^*_{ab,a}$	$h^*_{ab,a}$
r00j	48.88	66.47	31.67	73.63	25
r25j	55.85	52.39	47.48	70.7	42
r50j	65.45	35.22	58.37	68.17	59
r75j	75.19	17.82	69.41	71.66	76
j00g	87.03	-3.34	82.83	82.9	92
j25g	80.72	-25.0	69.5	73.86	110
j50g	70.64	-39.53	51.97	65.3	127
j75g	61.93	-52.09	36.83	63.8	145
g00b	52.8	-65.27	20.93	68.56	162
g25b	55.7	-49.57	-8.38	50.28	190
g50b	57.82	-38.39	-28.91	48.07	217
g75b	55.5	-22.04	-45.94	50.97	244
b00r	41.6	1.37	-45.0	45.03	272
b25r	29.0	25.08	-43.12	49.89	300
b50r	38.04	46.53	-28.38	54.51	329
b75r	49.48	72.88	-3.75	72.98	357





Ein und Ausgabe: Farbmetrisches Drucker-Reflektiv-System ORS19\_96a für relativen CIELAB-Buntton  $h^* = lab^*h^* = h_{ab}/360 = 145/360 = 0.402$   $u^* = j75g$   
Daten für jede Farbe:  $lab^*tch^*$  und  $lab^*icu^*$   
Elementar-Bunttontext:  $u^* = j75g$   
Kontrastreduzierungsfaktor:  $c_R = 1.0$   
Dreiecks-Helligkeit  $t^*$



ORS19_96a; adaptierte CIELAB-Daten					
	$L^*=L_a^*$	$a_a^*$	$b_a^*$	$C^*_{ab,a}$	$h^*_{ab,a}$
O <sub>Ma</sub>	48.75	65.07	39.43	76.08	31
Y <sub>Ma</sub>	90.92	-10.28	87.24	87.85	97
L <sub>Ma</sub>	52.69	-65.43	20.75	68.65	162
C <sub>Ma</sub>	59.61	-28.97	-46.21	54.56	238
V <sub>Ma</sub>	28.39	23.63	-44.12	50.06	298
M <sub>Ma</sub>	49.58	73.93	-9.55	74.55	353
N <sub>Ma</sub>	18.89	0.0	0.0	0.0	0
W <sub>Ma</sub>	96.9	0.0	0.0	0.0	0
R <sub>CIE</sub>	39.92	58.74	27.99	65.07	25
J <sub>CIE</sub>	81.26	-2.88	71.56	71.62	92
G <sub>CIE</sub>	52.23	-42.41	13.6	44.55	162
B <sub>CIE</sub>	30.57	1.41	-46.46	46.49	272

Daten für Maximalfarbe (Ma):

$LAB^*LAB^*_{Ma}$ : 62 -51 37

$LAB^*LCH^*_{Ma}$ : 62 64 145

$lab^*rgb^*_{Ma}$ : 0.25 1.0 0.0

$lab^*olv^*_{Ma}$ : 0.24 1.0 0.0

Dreiecks-Helligkeit  $t^*$

%Umfang

$u^*_{rel} = 89$

%Regularität

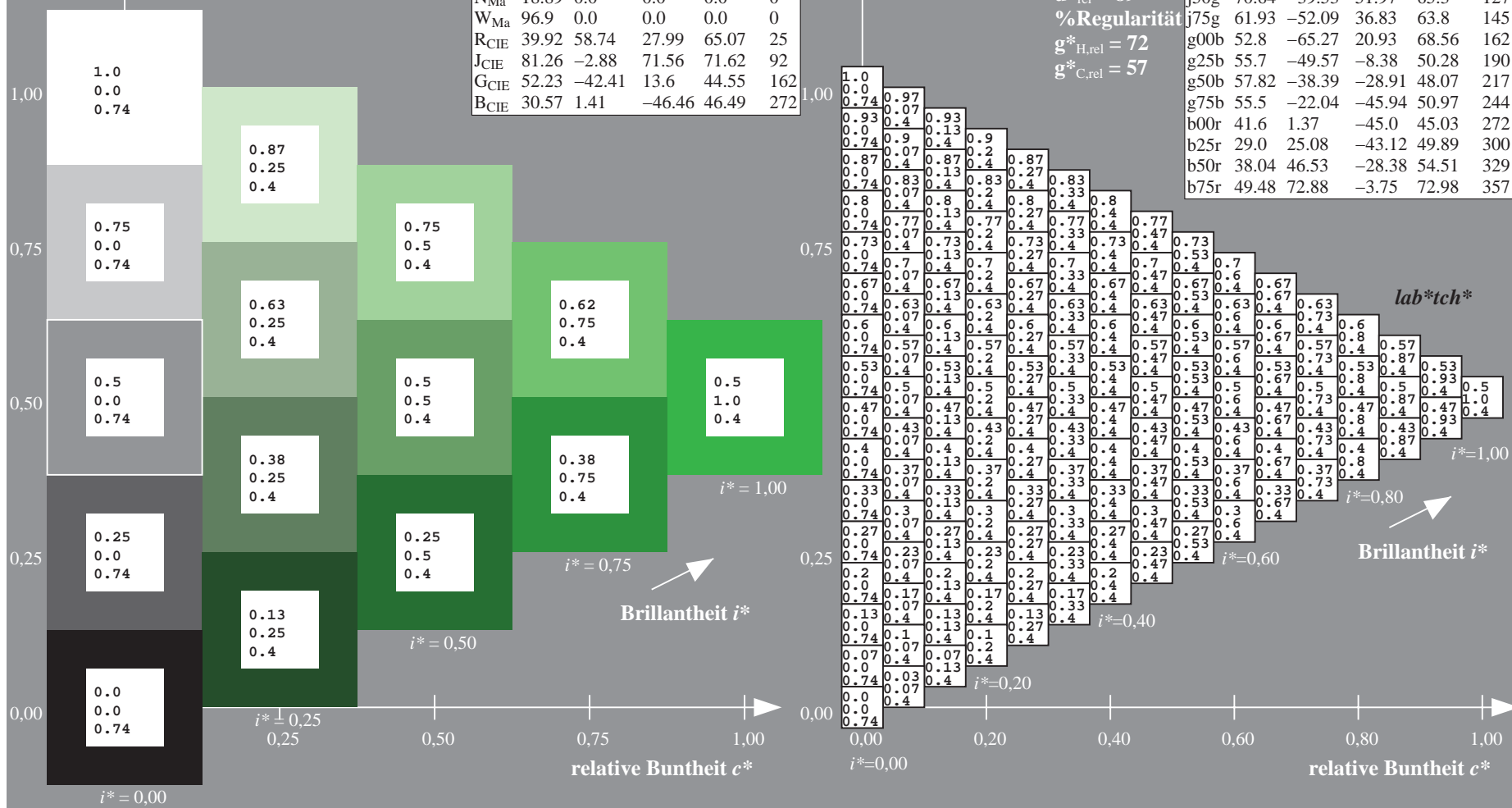
$g^*_{H,rel} = 72$

$g^*_{C,rel} = 57$

ORS19_96a; adaptierte CIELAB-Daten					
	$L^*=L_a^*$	$a_a^*$	$b_a^*$	$C^*_{ab,a}$	$h^*_{ab,a}$
r00j	48.88	66.47	31.67	73.63	25
r25j	55.85	52.39	47.48	70.7	42
r50j	65.45	35.22	58.37	68.17	59
r75j	75.19	17.82	69.41	71.66	76
j00g	87.03	-3.34	82.83	82.9	92
j25g	80.72	-25.0	69.5	73.86	110
j50g	70.64	-39.53	51.97	65.3	127
j75g	61.93	-52.09	36.83	63.8	145
g00b	52.8	-65.27	20.93	68.56	162
g25b	55.7	-49.57	-8.38	50.28	190
g50b	57.82	-38.39	-28.91	48.07	217
g75b	55.5	-22.04	-45.94	50.97	244
b00r	41.6	1.37	-45.0	45.03	272
b25r	29.0	25.08	-43.12	49.89	300
b50r	38.04	46.53	-28.38	54.51	329
b75r	49.48	72.88	-3.75	72.98	357

Siehe ähnliche Dateien: <http://www.ps.bam.de/Dg98/>; [www.ps.bam.de/Dg98/HTM](http://www.ps.bam.de/Dg98/HTM)  
Technische Information: <http://www.ps.bam.de> Version 2.1, io=1,1, ColSpx=1

BAM-Registrierung: 20080701-Dg98/10L/L98G00NA.PS/.TXTBAM-Material: Code=rh4ta  
Anwendung für Beurteilung und Messung von Drucker- oder Monitorsystemen





Ein und Ausgabe: Farbmetrisches Drucker-Reflektiv-System ORS19\_96a für relativen CIELAB-Buntton  $h^* = lab^*h^* = h_{ab}/360 = 162/360 = 0.451$   $u^* = g00b$

Daten für jede Farbe:

$lab^*tch^*$  und  $lab^*icu^*$

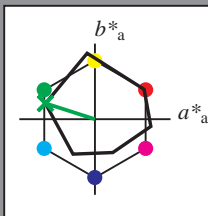
Elementar-Bunttontext:

$u^* = g00b$

Kontrastreduzierungsfaktor:

$c_R = 1.0$

Dreiecks-Helligkeit  $t^*$



ORS19\_96a; adaptierte CIELAB-Daten

	$L^*=L_a^*$	$a_a^*$	$b_a^*$	$C^*_{ab,a}$	$h^*_{ab,a}$
O <sub>Ma</sub>	48.75	65.07	39.43	76.08	31
Y <sub>Ma</sub>	90.92	-10.28	87.24	87.85	97
L <sub>Ma</sub>	52.69	-65.43	20.75	68.65	162
C <sub>Ma</sub>	59.61	-28.97	-46.21	54.56	238
V <sub>Ma</sub>	28.39	23.63	-44.12	50.06	298
M <sub>Ma</sub>	49.58	73.93	-9.55	74.55	353
N <sub>Ma</sub>	18.89	0.0	0.0	0.0	0
W <sub>Ma</sub>	96.9	0.0	0.0	0.0	0
R <sub>CIE</sub>	39.92	58.74	27.99	65.07	25
J <sub>CIE</sub>	81.26	-2.88	71.56	71.62	92
G <sub>CIE</sub>	52.23	-42.41	13.6	44.55	162
B <sub>CIE</sub>	30.57	1.41	-46.46	46.49	272

Daten für Maximalfarbe (Ma):

$LAB^*LAB^*_{Ma}$ : 53 -64 21

$LAB^*LCH^*_{Ma}$ : 53 69 162

$lab^*rgb^*_{Ma}$ : 0.0 1.0 0.0

$lab^*olv^*_{Ma}$ : 0.0 1.0 0.0

Dreiecks-Helligkeit  $t^*$

%Umfang

$u^*_{rel} = 89$

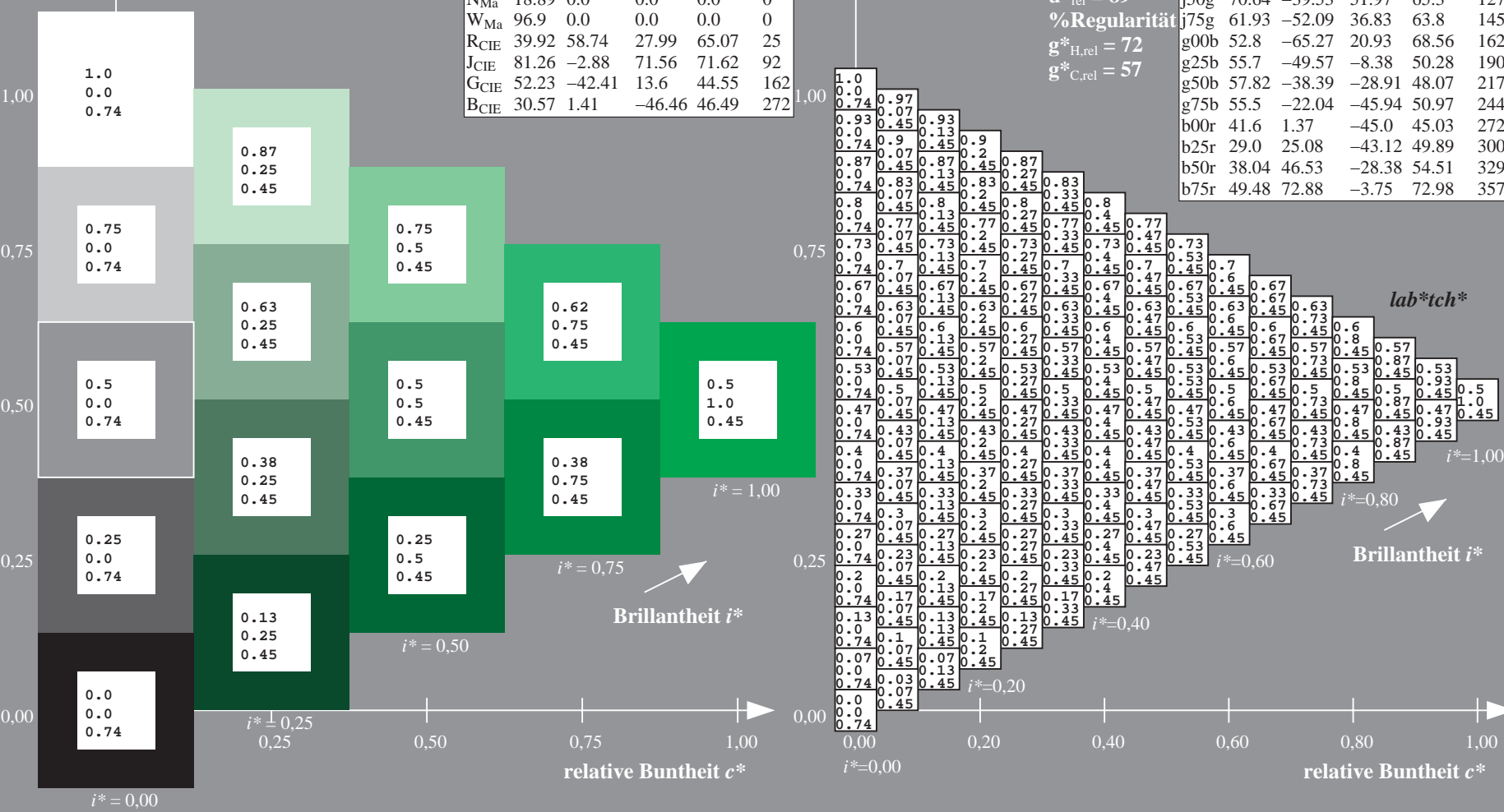
%Regularität

$g^*_{H,rel} = 72$

$g^*_{C,rel} = 57$

ORS19\_96a; adaptierte CIELAB-Daten

	$L^*=L_a^*$	$a_a^*$	$b_a^*$	$C^*_{ab,a}$	$h^*_{ab,a}$
r00j	48.88	66.47	31.67	73.63	25
r25j	55.85	52.39	47.48	70.7	42
r50j	65.45	35.22	58.37	68.17	59
r75j	75.19	17.82	69.41	71.66	76
j00g	87.03	-3.34	82.83	82.9	92
j25g	80.72	-25.0	69.5	73.86	110
j50g	70.64	-39.53	51.97	65.3	127
j75g	61.93	-52.09	36.83	63.8	145
g00b	52.8	-65.27	20.93	68.56	162
g25b	55.7	-49.57	-8.38	50.28	190
g50b	57.82	-38.39	-28.91	48.07	217
g75b	55.5	-22.04	-45.94	50.97	244
b00r	41.6	1.37	-45.0	45.03	272
b25r	29.0	25.08	-43.12	49.89	300
b50r	38.04	46.53	-28.38	54.51	329
b75r	49.48	72.88	-3.75	72.98	357



Ein und Ausgabe: Farbmetrisches Drucker-Reflektiv-System ORS19\_96a für relativen CIELAB-Buntton  $h^* = lab^*h^* = h_{ab}/360 = 190/360 = 0.527$   $u^* = g25b$

Daten für jede Farbe:

$lab^*tch^*$  und  $lab^*icu^*$

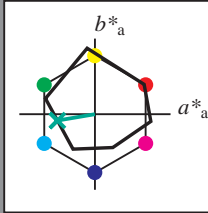
Elementar-Bunttontext:

$u^* = g25b$

Kontrastreduzierungsfaktor:

$c_R = 1.0$

Dreiecks-Helligkeit  $t^*$



ORS19\_96a; adaptierte CIELAB-Daten

	$L^*=L_a^*$	$a_a^*$	$b_a^*$	$C^*_{ab,a}$	$h^*_{ab,a}$
O <sub>Ma</sub>	48.75	65.07	39.43	76.08	31
Y <sub>Ma</sub>	90.92	-10.28	87.24	87.85	97
L <sub>Ma</sub>	52.69	-65.43	20.75	68.65	162
C <sub>Ma</sub>	59.61	-28.97	-46.21	54.56	238
V <sub>Ma</sub>	28.39	23.63	-44.12	50.06	298
M <sub>Ma</sub>	49.58	73.93	-9.55	74.55	353
N <sub>Ma</sub>	18.89	0.0	0.0	0.0	0
W <sub>Ma</sub>	96.9	0.0	0.0	0.0	0
R <sub>CIE</sub>	39.92	58.74	27.99	65.07	25
J <sub>CIE</sub>	81.26	-2.88	71.56	71.62	92
G <sub>CIE</sub>	52.23	-42.41	13.6	44.55	162
B <sub>CIE</sub>	30.57	1.41	-46.46	46.49	272

Daten für Maximalfarbe (Ma):

$LAB^*LAB^*_{Ma}$ : 56 -49 -7

$LAB^*LCH^*_{Ma}$ : 56 50 190

$lab^*rgb^*_{Ma}$ : 0.0 1.0 0.5

$lab^*olv^*_{Ma}$ : 0.0 1.0 0.44

Dreiecks-Helligkeit  $t^*$

%Umfang

$u^*_{rel} = 89$

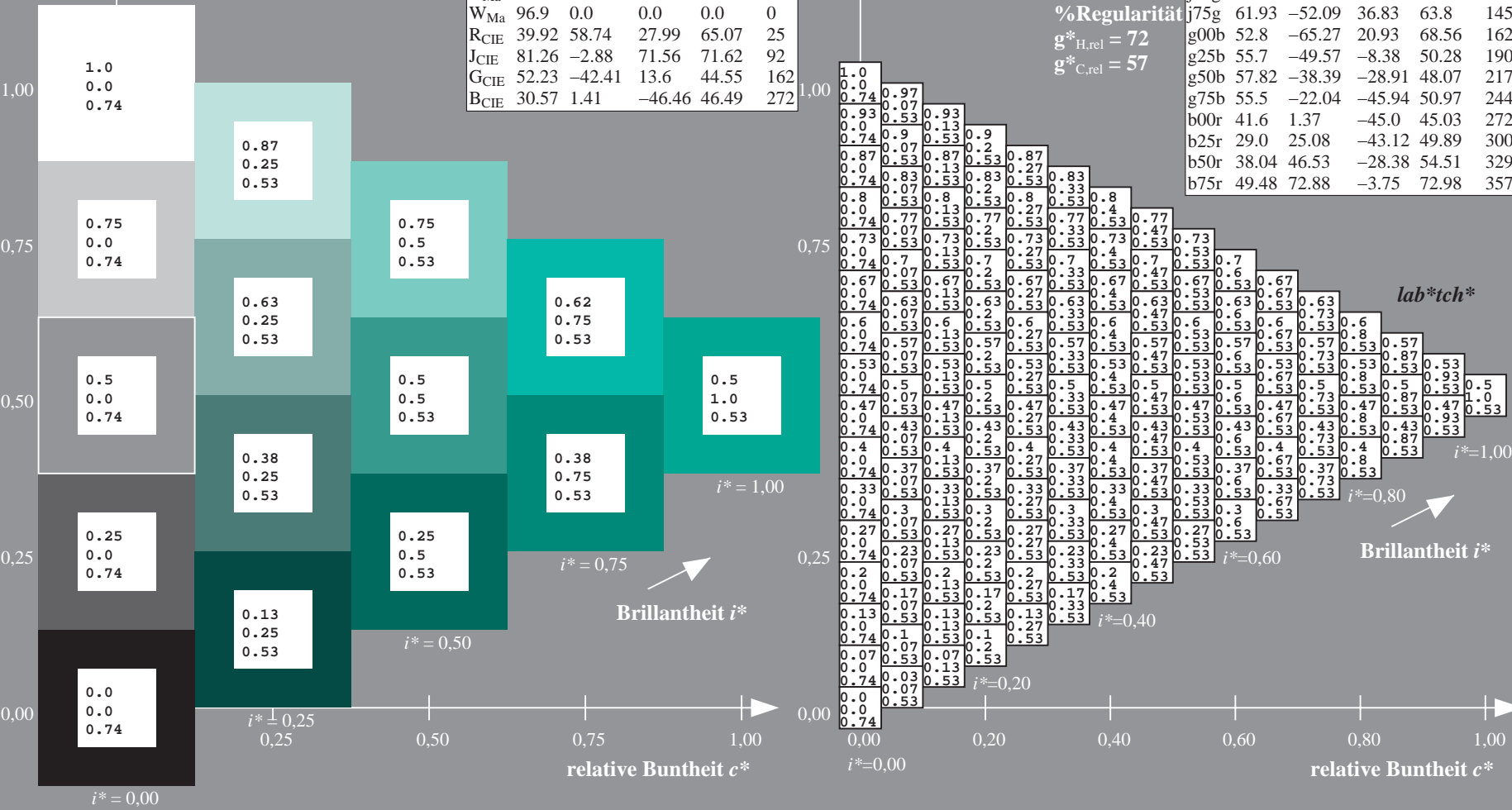
%Regularität

$g^*_{H,rel} = 72$

$g^*_{C,rel} = 57$

ORS19\_96a; adaptierte CIELAB-Daten

	$L^*=L_a^*$	$a_a^*$	$b_a^*$	$C^*_{ab,a}$	$h^*_{ab,a}$
r00j	48.88	66.47	31.67	73.63	25
r25j	55.85	52.39	47.48	70.7	42
r50j	65.45	35.22	58.37	68.17	59
r75j	75.19	17.82	69.41	71.66	76
j00g	87.03	-3.34	82.83	82.9	92
j25g	80.72	-25.0	69.5	73.86	110
j50g	70.64	-39.53	51.97	65.3	127
j75g	61.93	-52.09	36.83	63.8	145
g00b	52.8	-65.27	20.93	68.56	162
g25b	55.7	-49.57	-8.38	50.28	190
g50b	57.82	-38.39	-28.91	48.07	217
g75b	55.5	-22.04	-45.94	50.97	244
b00r	41.6	1.37	-45.0	45.03	272
b25r	29.0	25.08	-43.12	49.89	300
b50r	38.04	46.53	-28.38	54.51	329
b75r	49.48	72.88	-3.75	72.98	357



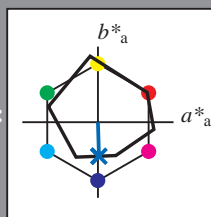


---

---



Ein und Ausgabe: Farbmetrisches Drucker-Reflektiv-System ORS19\_96a für relativen CIELAB-Buntton  $h^* = lab^*h^* = h_{ab}/360 = 272/360 = 0.755$   $u^* = b00r$   
Daten für jede Farbe:  $lab^*ch^*$  und  $lab^*icu^*$   
Elementar-Bunttontext:  $u^* = b00r$   
Kontrastreduzierungsfaktor:  $c_R = 1.0$   
Dreiecks-Helligkeit  $i^*$



ORS19_96a; adaptierte CIELAB-Daten					
	$L^*=L^*_a$	$a^*_a$	$b^*_a$	$C^*_{ab,a}$	$h^*_{ab,a}$
O <sub>Ma</sub>	48.75	65.07	39.43	76.08	31
Y <sub>Ma</sub>	90.92	-10.28	87.24	87.85	97
L <sub>Ma</sub>	52.69	-65.43	20.75	68.65	162
C <sub>Ma</sub>	59.61	-28.97	-46.21	54.56	238
V <sub>Ma</sub>	28.39	23.63	-44.12	50.06	298
M <sub>Ma</sub>	49.58	73.93	-9.55	74.55	353
N <sub>Ma</sub>	18.89	0.0	0.0	0.0	0
W <sub>Ma</sub>	96.9	0.0	0.0	0.0	0
R <sub>CIE</sub>	39.92	58.74	27.99	65.07	25
J <sub>CIE</sub>	81.26	-2.88	71.56	71.62	92
G <sub>CIE</sub>	52.23	-42.41	13.6	44.55	162
B <sub>CIE</sub>	30.57	1.41	-46.46	46.49	272

Daten für Maximalfarbe (Ma):

$LAB^*LAB^*_{Ma}$ : 42 1 -44

$LAB^*LCH^*_{Ma}$ : 42 45 272

$lab^*rgb^*_{Ma}$ : 0.0 0.0 1.0

$lab^*olv^*_{Ma}$ : 0.0 0.42 1.0

Dreiecks-Helligkeit  $i^*$

%Umfang

$u^*_{rel} = 89$

%Regularität

$g^*_{H,rel} = 72$

$g^*_{C,rel} = 57$

ORS19_96a; adaptierte CIELAB-Daten					
	$L^*=L^*_a$	$a^*_a$	$b^*_a$	$C^*_{ab,a}$	$h^*_{ab,a}$
r00j	48.88	66.47	31.67	73.63	25
r25j	55.85	52.39	47.48	70.7	42
r50j	65.45	35.22	58.37	68.17	59
r75j	75.19	17.82	69.41	71.66	76
j00g	87.03	-3.34	82.83	82.9	92
j25g	80.72	-25.0	69.5	73.86	110
j50g	70.64	-39.53	51.97	65.3	127
j75g	61.93	-52.09	36.83	63.8	145
g00b	52.8	-65.27	20.93	68.56	162
g25b	55.7	-49.57	-8.38	50.28	190
g50b	57.82	-38.39	-28.91	48.07	217
g75b	55.5	-22.04	-45.94	50.97	244
b00r	41.6	1.37	-45.0	45.03	272
b25r	29.0	25.08	-43.12	49.89	300
b50r	38.04	46.53	-28.38	54.51	329
b75r	49.48	72.88	-3.75	72.98	357

$lab^*ch^*$

$i^* = 1.00$

Brillantheit  $i^*$

$i^* = 0.80$

$i^* = 0.60$

$i^* = 0.40$

$i^* = 0.20$

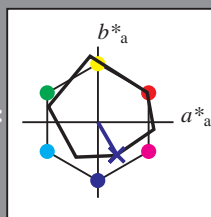
$i^* = 0.00$

relative Buntheit  $c^*$

relative Buntheit  $c^*$



Ein und Ausgabe: Farbmetrisches Drucker-Reflektiv-System ORS19\_96a für relativen CIELAB-Buntton  $h^* = lab^*h^* = h_{ab}/360 = 300/360 = 0.834$   $u^* = b25r$   
Daten für jede Farbe:  
 $lab^*ch^*$  und  $lab^*icu^*$   
Elementar-Bunttontext:  
 $u^* = b25r$   
Kontrastreduzierungsfaktor:  
 $c_R = 1.0$   
Dreiecks-Helligkeit  $t^*$



ORS19_96a; adaptierte CIELAB-Daten					
	$L^*=L_a^*$	$a_a^*$	$b_a^*$	$C_{ab,a}^*$	$h_{ab,a}^*$
O <sub>Ma</sub>	48.75	65.07	39.43	76.08	31
Y <sub>Ma</sub>	90.92	-10.28	87.24	87.85	97
L <sub>Ma</sub>	52.69	-65.43	20.75	68.65	162
C <sub>Ma</sub>	59.61	-28.97	-46.21	54.56	238
V <sub>Ma</sub>	28.39	23.63	-44.12	50.06	298
M <sub>Ma</sub>	49.58	73.93	-9.55	74.55	353
N <sub>Ma</sub>	18.89	0.0	0.0	0.0	0
W <sub>Ma</sub>	96.9	0.0	0.0	0.0	0
R <sub>CIE</sub>	39.92	58.74	27.99	65.07	25
J <sub>CIE</sub>	81.26	-2.88	71.56	71.62	92
G <sub>CIE</sub>	52.23	-42.41	13.6	44.55	162
B <sub>CIE</sub>	30.57	1.41	-46.46	46.49	272

Daten für Maximalfarbe (Ma):

$LAB^*LAB^*_{Ma}$ : 29 25 -42

$LAB^*LCH^*_{Ma}$ : 29 50 300

$lab^*rgb^*_{Ma}$ : 0.5 0.0 1.0

$lab^*olv^*_{Ma}$ : 0.03 0.0 1.0

Dreiecks-Helligkeit  $t^*$

%Umfang

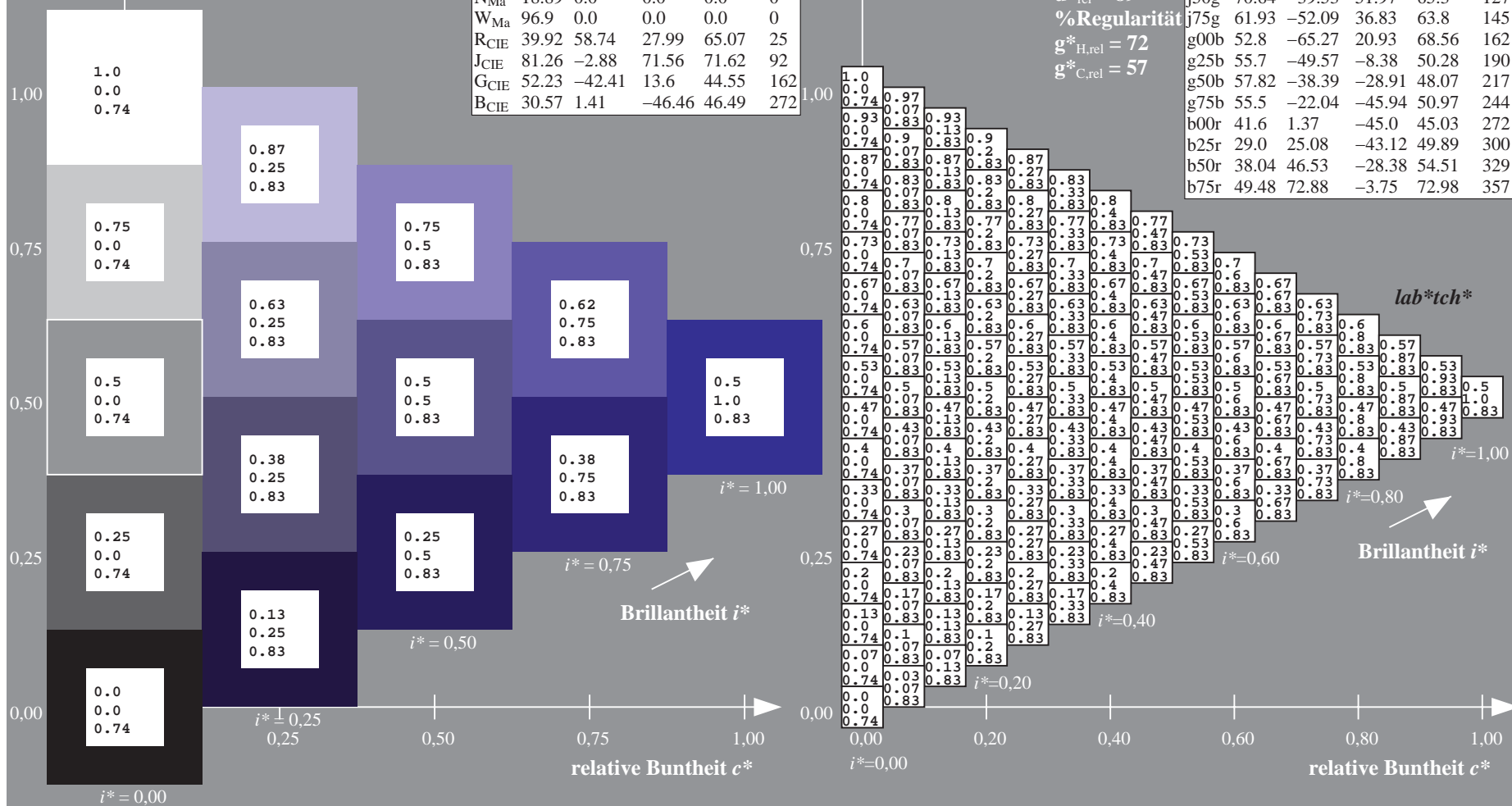
$u^*_{rel} = 89$

%Regularität

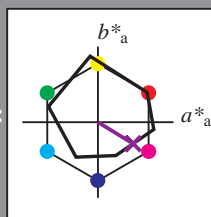
$g^*_{H,rel} = 72$

$g^*_{C,rel} = 57$

ORS19_96a; adaptierte CIELAB-Daten					
	$L^*=L_a^*$	$a_a^*$	$b_a^*$	$C_{ab,a}^*$	$h_{ab,a}^*$
r00j	48.88	66.47	31.67	73.63	25
r25j	55.85	52.39	47.48	70.7	42
r50j	65.45	35.22	58.37	68.17	59
r75j	75.19	17.82	69.41	71.66	76
j00g	87.03	-3.34	82.83	82.9	92
j25g	80.72	-25.0	69.5	73.86	110
j50g	70.64	-39.53	51.97	65.3	127
j75g	61.93	-52.09	36.83	63.8	145
g00b	52.8	-65.27	20.93	68.56	162
g25b	55.7	-49.57	-8.38	50.28	190
g50b	57.82	-38.39	-28.91	48.07	217
g75b	55.5	-22.04	-45.94	50.97	244
b00r	41.6	1.37	-45.0	45.03	272
b25r	29.0	25.08	-43.12	49.89	300
b50r	38.04	46.53	-28.38	54.51	329
b75r	49.48	72.88	-3.75	72.98	357



Ein und Ausgabe: Farbmetrisches Drucker-Reflektiv-System ORS19\_96a für relativen CIELAB-Buntton  $h^* = lab^*h^* = h_{ab}/360 = 329/360 = 0.913$   $u^* = b50r$   
Daten für jede Farbe:  
 $lab^*tch^*$  und  $lab^*icu^*$   
Elementar-Bunttontext:  
 $u^* = b50r$   
Kontrastreduzierungsfaktor:  
 $c_R = 1.0$   
Dreiecks-Helligkeit  $t^*$



ORS19_96a; adaptierte CIELAB-Daten					
	$L^*=L^*_a$	$a^*_a$	$b^*_a$	$C^*_{ab,a}$	$h^*_{ab,a}$
O <sub>Ma</sub>	48.75	65.07	39.43	76.08	31
Y <sub>Ma</sub>	90.92	-10.28	87.24	87.85	97
L <sub>Ma</sub>	52.69	-65.43	20.75	68.65	162
C <sub>Ma</sub>	59.61	-28.97	-46.21	54.56	238
V <sub>Ma</sub>	28.39	23.63	-44.12	50.06	298
M <sub>Ma</sub>	49.58	73.93	-9.55	74.55	353
N <sub>Ma</sub>	18.89	0.0	0.0	0.0	0
W <sub>Ma</sub>	96.9	0.0	0.0	0.0	0
R <sub>CIE</sub>	39.92	58.74	27.99	65.07	25
J <sub>CIE</sub>	81.26	-2.88	71.56	71.62	92
G <sub>CIE</sub>	52.23	-42.41	13.6	44.55	162
B <sub>CIE</sub>	30.57	1.41	-46.46	46.49	272

Daten für Maximalfarbe (Ma):

$LAB^*LAB^*_{Ma}$ : 38 47 -27

$LAB^*LCH^*_{Ma}$ : 38 55 329

$lab^*rgb^*_{Ma}$ : 1.0 0.0 1.0

$lab^*olv^*_{Ma}$ : 0.46 0.0 1.0

Dreiecks-Helligkeit  $t^*$

%Umfang

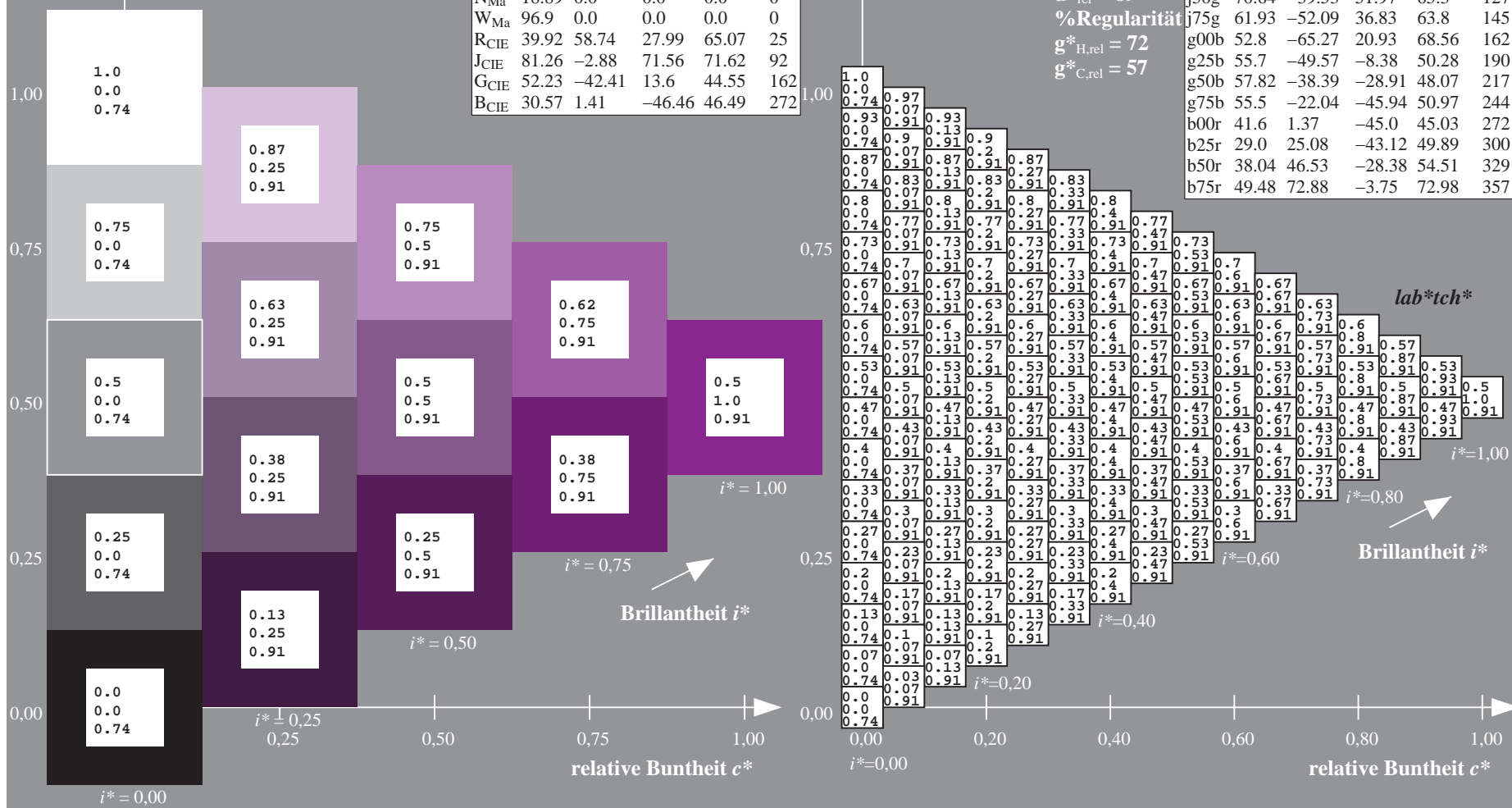
$u^*_{rel} = 89$

%Regularität

$g^*_{H,rel} = 72$

$g^*_{C,rel} = 57$

ORS19_96a; adaptierte CIELAB-Daten					
	$L^*=L^*_a$	$a^*_a$	$b^*_a$	$C^*_{ab,a}$	$h^*_{ab,a}$
r00j	48.88	66.47	31.67	73.63	25
r25j	55.85	52.39	47.48	70.7	42
r50j	65.45	35.22	58.37	68.17	59
r75j	75.19	17.82	69.41	71.66	76
j00g	87.03	-3.34	82.83	82.9	92
j25g	80.72	-25.0	69.5	73.86	110
j50g	70.64	-39.53	51.97	65.3	127
j75g	61.93	-52.09	36.83	63.8	145
g00b	52.8	-65.27	20.93	68.56	162
g25b	55.7	-49.57	-8.38	50.28	190
g50b	57.82	-38.39	-28.91	48.07	217
g75b	55.5	-22.04	-45.94	50.97	244
b00r	41.6	1.37	-45.0	45.03	272
b25r	29.0	25.08	-43.12	49.89	300
b50r	38.04	46.53	-28.38	54.51	329
b75r	49.48	72.88	-3.75	72.98	357



Ein und Ausgabe: Farbmetrisches Drucker-Reflektiv-System ORS19\_96a für relativen CIELAB-Buntton  $h^* = lab^*h^* = h_{ab}/360 = 357/360 = 0.992$   $u^* = b75r$   
Daten für jede Farbe:  $lab^*tch^*$  und  $lab^*icu^*$

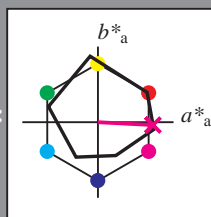
Elementar-Bunttontext:

$u^* = b75r$

Kontrastreduzierungsfaktor:

$c_R = 1.0$

Dreiecks-Helligkeit  $t^*$



ORS19_96a; adaptierte CIELAB-Daten					
	$L^*=L_a^*$	$a_a^*$	$b_a^*$	$C^*_{ab,a}$	$h^*_{ab,a}$
O <sub>Ma</sub>	48.75	65.07	39.43	76.08	31
Y <sub>Ma</sub>	90.92	-10.28	87.24	87.85	97
L <sub>Ma</sub>	52.69	-65.43	20.75	68.65	162
C <sub>Ma</sub>	59.61	-28.97	-46.21	54.56	238
V <sub>Ma</sub>	28.39	23.63	-44.12	50.06	298
M <sub>Ma</sub>	49.58	73.93	-9.55	74.55	353
N <sub>Ma</sub>	18.89	0.0	0.0	0.0	0
W <sub>Ma</sub>	96.9	0.0	0.0	0.0	0
R <sub>CIE</sub>	39.92	58.74	27.99	65.07	25
J <sub>CIE</sub>	81.26	-2.88	71.56	71.62	92
G <sub>CIE</sub>	52.23	-42.41	13.6	44.55	162
B <sub>CIE</sub>	30.57	1.41	-46.46	46.49	272

Daten für Maximalfarbe (Ma):

$LAB^*LAB^*_{Ma}$ : 49 73 -3

$LAB^*LCH^*_{Ma}$ : 49 73 357

$lab^*rgb^*_{Ma}$ : 1.0 0.0 0.5

$lab^*olv^*_{Ma}$ : 1.0 0.0 0.88

Dreiecks-Helligkeit  $t^*$

%Umfang

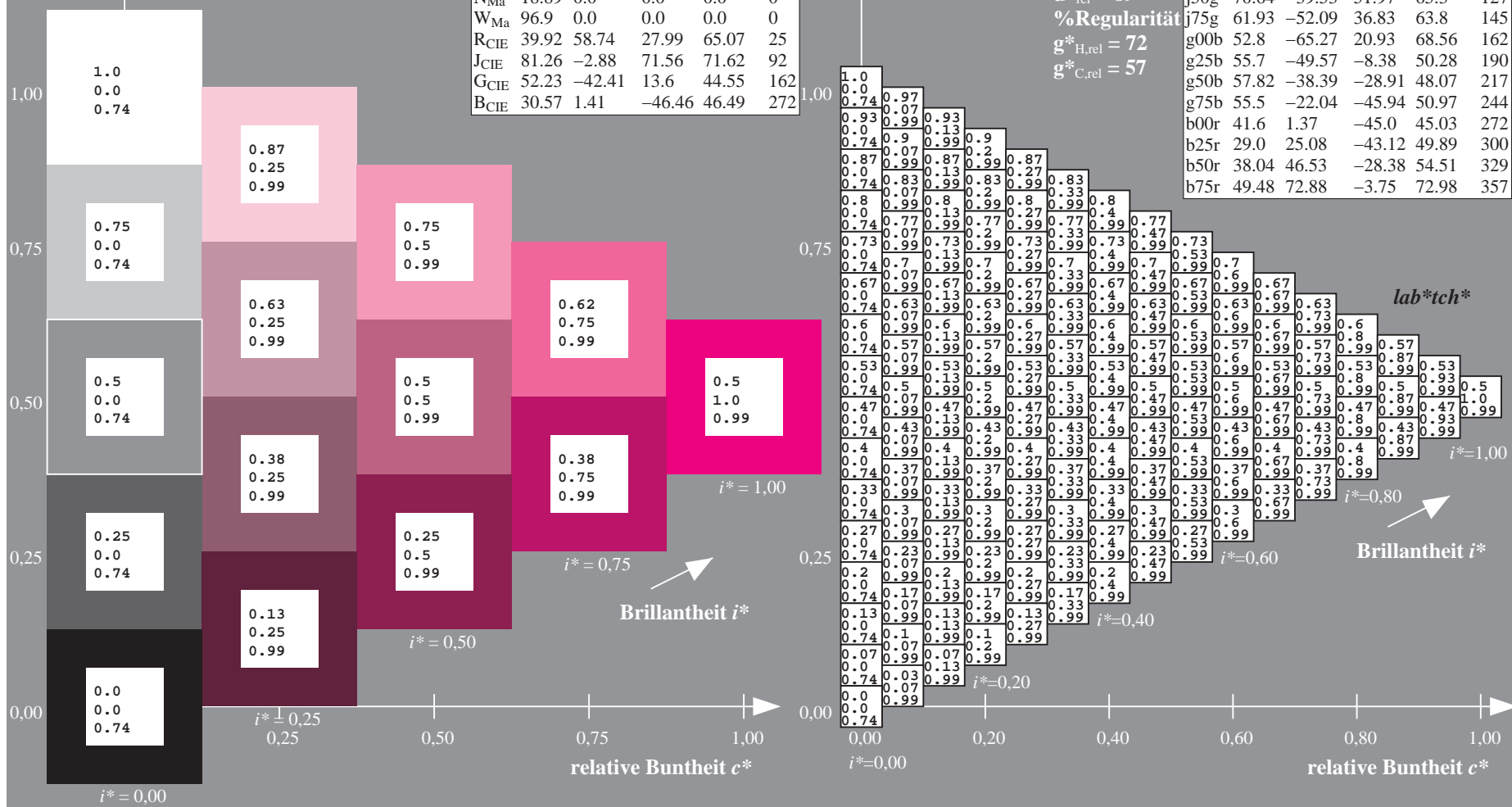
$u^*_{rel} = 89$

%Regularität

$g^*_{H,rel} = 72$

$g^*_{C,rel} = 57$

ORS19_96a; adaptierte CIELAB-Daten					
	$L^*=L_a^*$	$a_a^*$	$b_a^*$	$C^*_{ab,a}$	$h^*_{ab,a}$
r00j	48.88	66.47	31.67	73.63	25
r25j	55.85	52.39	47.48	70.7	42
r50j	65.45	35.22	58.37	68.17	59
r75j	75.19	17.82	69.41	71.66	76
j00g	87.03	-3.34	82.83	82.9	92
j25g	80.72	-25.0	69.5	73.86	110
j50g	70.64	-39.53	51.97	65.3	127
j75g	61.93	-52.09	36.83	63.8	145
g00b	52.8	-65.27	20.93	68.56	162
g25b	55.7	-49.57	-8.38	50.28	190
g50b	57.82	-38.39	-28.91	48.07	217
g75b	55.5	-22.04	-45.94	50.97	244
b00r	41.6	1.37	-45.0	45.03	272
b25r	29.0	25.08	-43.12	49.89	300
b50r	38.04	46.53	-28.38	54.51	329
b75r	49.48	72.88	-3.75	72.98	357



Siehe ähnliche Dateien: <http://www.ps.bam.de/Dg98/>; [www.ps.bam.de/Dg.HTM](http://www.ps.bam.de/Dg.HTM)  
Technische Information: [http://www.ps.bam.de/Version 2.1,io=1,ColSp=1](http://www.ps.bam.de/Version%202.1,io=1,ColSp=1)

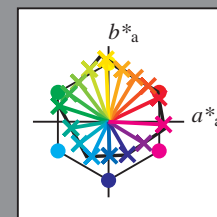
BA-M-Registrierung: 20080/01-D-928/10/L/9800NA.PS/. 1 X BA-M-Material: Code=na4ta  
Anwendung für Beurteilung und Messung von Drucker- oder Monitorsystemen

	A	B	C	D	E	F	G	H	I	J	K	L	M	N	O	P	Q	R	S	T	U	V	W	X	Y	Z	a	b	c	d	e	f	g	h	i	j	k	lab*tch*		
01	0.0	0.06	0.13	0.19	0.25	0.31	0.38	0.44	0.5	0.06	0.06	0.13	0.19	0.25	0.31	0.38	0.44	0.5	0.13	0.13	0.19	0.25	0.31	0.38	0.44	0.5	1.0	0.94	0.87	0.81	0.75	0.69	0.62	0.56	0.5	0.0	0.0	0.0		
	0.0	0.12	0.25	0.37	0.5	0.62	0.75	0.87	1.0	0.12	0.12	0.25	0.37	0.5	0.62	0.75	0.87	1.0	0.25	0.25	0.37	0.5	0.62	0.75	0.87	1.0	0.0	0.12	0.25	0.37	0.5	0.62	0.75	0.87	1.0	0.0	0.0	0.0		
	0.74	0.45	0.45	0.45	0.45	0.45	0.45	0.45	0.45	0.0	0.12	0.25	0.37	0.5	0.62	0.75	0.87	1.0	0.25	0.25	0.37	0.5	0.62	0.75	0.87	1.0	0.0	0.12	0.25	0.37	0.5	0.62	0.75	0.87	1.0	0.0	0.0	0.0		
02	0.06	0.06	0.13	0.19	0.25	0.31	0.38	0.44	0.5	0.06	0.13	0.19	0.25	0.31	0.38	0.44	0.5	0.56	0.13	0.19	0.19	0.25	0.31	0.38	0.44	0.5	0.56	0.94	0.88	0.81	0.75	0.69	0.63	0.56	0.5	0.44	0.13	0.13	0.13	
	0.12	0.12	0.25	0.37	0.5	0.62	0.75	0.87	1.0	0.12	0.0	0.13	0.25	0.38	0.5	0.63	0.75	0.87	0.25	0.13	0.13	0.25	0.38	0.5	0.63	0.75	0.87	0.12	0.0	0.13	0.25	0.38	0.5	0.63	0.75	0.87	0.0	0.0	0.0	
	0.83	0.66	0.54	0.5	0.49	0.48	0.47	0.47	0.47	0.98	0.74	0.45	0.45	0.45	0.45	0.45	0.45	0.45	0.03	0.09	0.27	0.35	0.38	0.4	0.41	0.42	0.42	0.66	0.74	0.09	0.09	0.09	0.09	0.09	0.09	0.09	0.09	0.74	0.74	0.74
03	0.13	0.13	0.13	0.19	0.25	0.31	0.38	0.44	0.5	0.13	0.19	0.19	0.25	0.31	0.38	0.44	0.5	0.56	0.13	0.19	0.25	0.31	0.38	0.44	0.5	0.56	0.62	0.87	0.81	0.75	0.69	0.63	0.56	0.5	0.44	0.38	0.25	0.25	0.25	
	0.25	0.25	0.25	0.37	0.5	0.62	0.75	0.87	1.0	0.25	0.13	0.13	0.25	0.38	0.5	0.63	0.75	0.87	0.25	0.13	0.0	0.13	0.25	0.38	0.5	0.63	0.75	0.25	0.13	0.0	0.13	0.25	0.38	0.5	0.63	0.75	0.0	0.0	0.0	
	0.83	0.74	0.66	0.55	0.54	0.52	0.5	0.49	0.5	0.62	0.75	0.87	0.98	0.98	0.98	0.98	0.98	0.98	0.0	0.0	0.13	0.25	0.38	0.4	0.41	0.42	0.42	0.66	0.74	0.09	0.09	0.09	0.09	0.09	0.09	0.74	0.74	0.74	0.74	
04	0.19	0.19	0.19	0.25	0.31	0.38	0.44	0.5	0.19	0.25	0.25	0.31	0.38	0.44	0.5	0.56	0.13	0.25	0.31	0.31	0.38	0.44	0.5	0.56	0.62	0.62	0.62	0.62	0.62	0.62	0.62	0.62	0.62	0.62	0.62	0.62	0.62	0.62	0.62	
	0.37	0.37	0.37	0.37	0.5	0.62	0.75	0.87	1.0	0.37	0.25	0.25	0.38	0.5	0.63	0.75	0.87	0.37	0.13	0.13	0.25	0.38	0.5	0.63	0.75	0.87	0.37	0.25	0.13	0.0	0.13	0.25	0.38	0.5	0.62	0.0	0.0	0.0		
	0.83	0.77	0.71	0.66	0.6	0.57	0.54	0.53	0.51	0.89	0.83	0.74	0.66	0.58	0.54	0.52	0.5	0.5	0.94	0.92	0.83	0.66	0.54	0.5	0.49	0.48	0.47	0.66	0.66	0.66	0.66	0.66	0.66	0.66	0.66	0.66	0.66	0.66	0.66	0.66
05	0.25	0.25	0.25	0.25	0.25	0.31	0.38	0.44	0.5	0.25	0.31	0.31	0.31	0.31	0.38	0.44	0.5	0.56	0.25	0.31	0.38	0.38	0.44	0.5	0.56	0.62	0.75	0.69	0.63	0.56	0.5	0.44	0.38	0.31	0.25	0.5	0.5	0.5	0.5	
	0.5	0.5	0.5	0.5	0.5	0.62	0.75	0.87	1.0	0.5	0.5	0.38	0.38	0.38	0.38	0.5	0.63	0.75	0.87	0.5	0.38	0.25	0.25	0.38	0.5	0.63	0.75	0.5	0.38	0.25	0.13	0.0	0.13	0.25	0.38	0.5	0.0	0.0	0.0	
	0.83	0.79	0.74	0.7	0.66	0.62	0.58	0.56	0.54	0.88	0.83	0.77	0.71	0.66	0.6	0.57	0.54	0.53	0.92	0.89	0.83	0.74	0.66	0.58	0.54	0.52	0.5	0.66	0.66	0.66	0.66	0.66	0.66	0.66	0.66	0.66	0.66	0.66	0.66	0.66
06	0.31	0.31	0.31	0.31	0.31	0.31	0.38	0.44	0.5	0.31	0.38	0.38	0.38	0.38	0.38	0.44	0.5	0.56	0.31	0.38	0.44	0.44	0.44	0.5	0.56	0.62	0.69	0.63	0.56	0.5	0.44	0.38	0.31	0.25	0.19	0.63	0.63	0.63	0.63	
	0.62	0.62	0.62	0.62	0.62	0.62	0.62	0.62	0.75	0.87	1.0	0.62	0.5	0.5	0.5	0.63	0.75	0.87	0.62	0.5	0.38	0.38	0.38	0.5	0.63	0.75	0.62	0.5	0.38	0.25	0.13	0.0	0.13	0.25	0.37	0.0	0.0	0.0	0.0	
	0.83	0.8	0.76	0.72	0.69	0.66	0.63	0.6	0.57	0.87	0.83	0.79	0.74	0.7	0.66	0.62	0.58	0.56	0.9	0.88	0.83	0.77	0.71	0.66	0.6	0.57	0.54	0.66	0.66	0.66	0.66	0.66	0.66	0.66	0.66	0.66	0.66	0.66	0.66	0.66
07	0.38	0.38	0.38	0.38	0.38	0.38	0.38	0.44	0.5	0.38	0.44	0.44	0.44	0.44	0.44	0.44	0.44	0.5	0.56	0.38	0.44	0.5	0.5	0.5	0.5	0.56	0.62	0.62	0.56	0.5	0.44	0.38	0.31	0.25	0.19	0.13	0.75	0.75	0.75	
	0.75	0.75	0.75	0.75	0.75	0.75	0.75	0.87	1.0	0.75	0.63	0.63	0.63	0.63	0.63	0.63	0.63	0.75	0.87	0.75	0.63	0.5	0.5	0.5	0.5	0.63	0.75	0.75	0.63	0.5	0.38	0.25	0.13	0.0	0.13	0.25	0.0	0.0	0.0	
	0.83	0.8	0.77	0.74	0.71	0.68	0.66	0.63	0.6	0.86	0.83	0.8	0.76	0.72	0.69	0.66	0.63	0.6	0.89	0.87	0.83	0.79	0.74	0.7	0.66	0.62	0.58	0.66	0.66	0.66	0.66	0.66	0.66	0.66	0.66	0.66	0.66	0.66	0.66	0.66
08	0.44	0.44	0.44	0.44	0.44	0.44	0.44	0.44	0.5	0.44	0.5	0.5	0.5	0.5	0.5	0.5	0.5	0.56	0.44	0.5	0.56	0.56	0.56	0.56	0.56	0.56	0.56	0.56	0.56	0.56	0.56	0.56	0.56	0.56	0.56	0.56	0.56	0.56	0.56	
	0.87	0.87	0.87	0.87	0.87	0.87	0.87	0.87	1.0	0.87	0.75	0.75	0.75	0.75	0.75	0.75	0.75	0.87	0.87	0.75	0.63	0.63	0.63	0.63	0.63	0.63	0.63	0.63	0.63	0.63	0.63	0.63	0.63	0.63	0.63	0.63	0.63	0.63	0.63	0.63
	0.83	0.81	0.78	0.75	0.73	0.7	0.68	0.66	0.63	0.86	0.83	0.8	0.77	0.74	0.71	0.68	0.66	0.63	0.88	0.86	0.83	0.8	0.76	0.72	0.69	0.66	0.63	0.65	0.66	0.66	0.66	0.66	0.66	0.66	0.66	0.66	0.66	0.66	0.66	0.66
09	0.5	0.5	0.5	0.5	0.5	0.5	0.5	0.5	0.5	0.5	0.5	0.56	0.56	0.56	0.56	0.56	0.56	0.56	0.56	0.56	0.62	0.62	0.62	0.62	0.62	0.62	0.5	0.44	0.38	0.31	0.25	0.19	0.13	0.06	0.0	1.0	1.0	1.0		
	1.0	1.0	1.0	1.0	1.0	1.0	1.0	1.0	1.0	1.0	1.0	0.87	0.87	0.87	0.87	0.87	0.87	0.87	0.87	0.87	0.75	0.75	0.75	0.75	0.75	0.75	1.0	0.87	0.75	0.62	0.5	0.37	0.25	0.12	0.0	0.0	0.0	0.0		
	0.83	0.81	0.79	0.76	0.74	0.72	0.7	0.68	0.66	0.85	0.83	0.81	0.78	0.75	0.73	0.7	0.68	0.66	0.88	0.86	0.83	0.8	0.77	0.74	0.71	0.68	0.66	0.66	0.66	0.66	0.66	0.66	0.66	0.66	0.66	0.66	0.66	0.66	0.66	0.66
10	0.19	0.19	0.19	0.19	0.25	0.31	0.38	0.44	0.5	0.19	0.25	0.25	0.31	0.38	0.44	0.5	0.56	0.19	0.25	0.31	0.31	0.31	0.38	0.44	0.5	0.56	0.62	0.87	0.81	0.75	0.69	0.63	0.56	0.5	0.44	0.38	0.25	0.25	0.25	
	0.37	0.37	0.37	0.37	0.5	0.62	0.75	0.87	1.0	0.37	0.25	0.25	0.38	0.5	0.63	0.75	0.87	0.37	0.13	0.13	0.25	0.38	0.5	0.63	0.75	0.87	0.37	0.25	0.13	0.0	0.13	0.25	0.38	0.5	0.62	0.0	0.0	0.0	0.0	
	0.83	0.77	0.71	0.66	0.6	0.57	0.54	0.53	0.51	0.89	0.83	0.74	0.66	0.58	0.54	0.52	0.5	0.5	0.94	0.92	0.83	0.66	0.54	0.5	0.49	0.48	0.47	0.66	0.66	0.66	0.66	0.66	0.66	0.66	0.66	0.66	0.66	0.66	0.66	0.66
11	0.19	0.25	0.25	0.25	0.31	0.38	0.44	0.5	0.19	0.25	0.31	0.31	0.31	0.31	0.38	0.44	0.5	0.56	0.19	0.38	0.38	0.38	0.44	0.5	0.56	0.94	0.88	0.81	0.75	0.69	0.63	0.56	0.5	0.44	0.07	0.07	0.07	0.07		
	0.37	0.25	0.25	0.25	0.38	0.5	0.63	0.75	0.87	0.5	0.38	0.38	0.38	0.38	0.5	0.63	0.75	0.87	0.62	0.5	0.5	0.5	0.5	0.63	0.75	0.87	0.12	0.0	0.13	0.25	0.38	0.5	0.63	0.75	0.87	0.0	0.0	0.0	0.0	
	0.05	0.09	0.19	0.27	0.32	0.35	0.37	0.38	0.39	0.06	0.09	0.15	0.22	0.27	0.3	0.33	0.35	0.36	0.07	0.09	0.13	0.19	0.23	0.27	0.29	0.32	0.33	0.83	0.74	0.27	0.27	0.27	0.27	0.27	0.27	0.27	0.27	0.27	0.27	
12	0.19	0.25	0.31	0.31	0.38	0.44	0.5	0.56	0.62	0.25	0.31	0.38	0.38	0.38	0.44	0.5	0.56	0.62	0.31	0.38	0.44	0.44	0.44	0.5	0.56	0.62	0.87	0.81	0.75	0.69	0.63	0.56	0.5	0.44	0.38	0.13	0.13	0.13		
	0.25	0.25	0.13	0.13	0.25	0.38	0.5	0.63	0.75	0.5	0.38	0.25	0.25	0.25	0.38	0.5	0.63	0.75	0																					



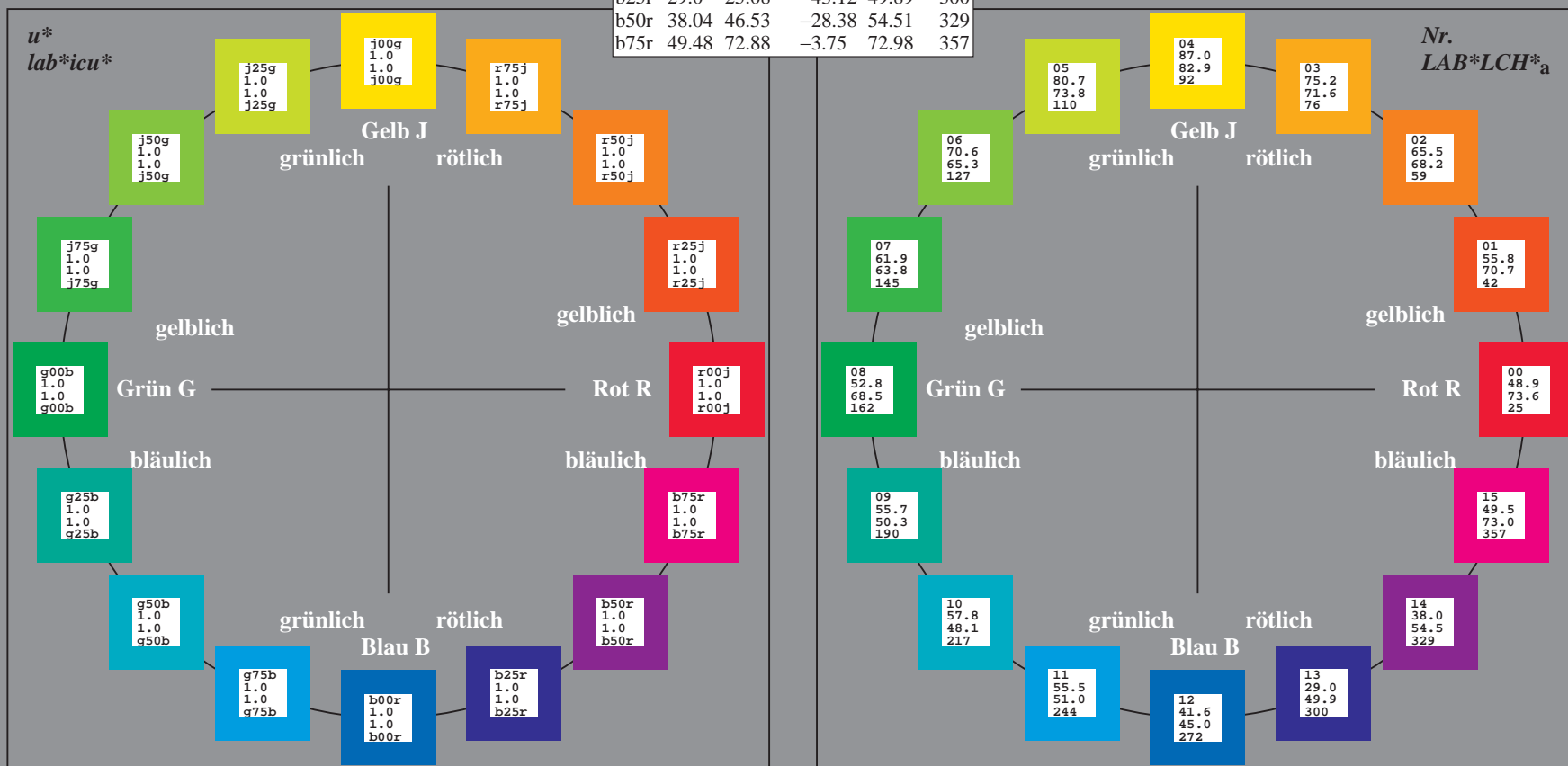
Ein und Ausgabe:  
Farbmetrisches Drucker-Reflektiv-System ORS19\_96a  
Daten für jede Farbe:  
*lab\*<sub>tch</sub>\** und *lab\*<sub>icu</sub>\**  
Elementar-Bunttontext:  
*u\** = 16 Buntttöne *r00j*, *r25j*, ..., *b75r*  
Kontrastreduzierungsfaktor:  
*c<sub>R</sub>* = 1.0

ORS19_96a; adaptierte CIELAB-Daten					
	<i>L*</i> <sub>a</sub>	<i>a*</i> <sub>a</sub>	<i>b*</i> <sub>a</sub>	<i>C*</i> <sub>ab,a</sub>	<i>h*</i> <sub>ab,a</sub>
r00j	48.88	66.47	31.67	73.63	25
r25j	55.85	52.39	47.48	70.7	42
r50j	65.45	35.22	58.37	68.17	59
r75j	75.19	17.82	69.41	71.66	76
j00g	87.03	-3.34	82.83	82.9	92
j25g	80.72	-25.0	69.5	73.86	110
j50g	70.64	-39.53	51.97	65.3	127
j75g	61.93	-52.09	36.83	63.8	145
g00b	52.8	-65.27	20.93	68.56	162
g25b	55.7	-49.57	-8.38	50.28	190
g50b	57.82	-38.39	-28.91	48.07	217
g75b	55.5	-22.04	-45.94	50.97	244
b00r	41.6	1.37	-45.0	45.03	272
b25r	29.0	25.08	-43.12	49.89	300
b50r	38.04	46.53	-28.38	54.51	329
b75r	49.48	72.88	-3.75	72.98	357



%Umfang  
*u\**<sub>rel</sub> = 89  
%Regularität  
*g\**<sub>H,rel</sub> = 72  
*g\**<sub>C,rel</sub> = 57

ORS19_96a; adaptierte CIELAB-Daten					
	<i>L*</i> <sub>a</sub>	<i>a*</i> <sub>a</sub>	<i>b*</i> <sub>a</sub>	<i>C*</i> <sub>ab,a</sub>	<i>h*</i> <sub>ab,a</sub>
OMa	48.75	65.07	39.43	76.08	31
YMa	90.92	-10.28	87.24	87.85	97
LMa	52.69	-65.43	20.75	68.65	162
CMa	59.61	-28.97	-46.21	54.56	238
VMa	28.39	23.63	-44.12	50.06	298
MMa	49.58	73.93	-9.55	74.55	353
NMa	18.89	0.0	0.0	0.0	0
WMa	96.9	0.0	0.0	0.0	0
RCIE	39.92	58.74	27.99	65.07	25
JCIE	81.26	-2.88	71.56	71.62	92
GCIE	52.23	-42.41	13.6	44.55	162
BCIE	30.57	1.41	-46.46	46.49	272





Ein und Ausgabe: Farbmetrisches Drucker-Reflektiv-System ORS19\_96a für relativen CIELAB-Buntton  $h^* = lab^*h^* = h_{ab}/360 = 25/360 = 0.071$   $u^* = r00j$   
Daten für jede Farbe:  
 $lab^*ch^*$  und  $lab^*icu^*$

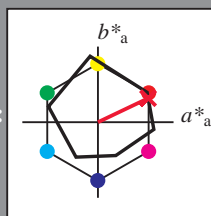
Elementar-Bunttontext:

$u^* = r00j$

Kontrastreduzierungsfaktor:

$c_R = 1.0$

Dreiecks-Helligkeit  $t^*$



ORS19_96a; adaptierte CIELAB-Daten					
	$L^*=L^*_a$	$a^*_a$	$b^*_a$	$C^*_{ab,a}$	$h^*_{ab,a}$
O <sub>Ma</sub>	48.75	65.07	39.43	76.08	31
Y <sub>Ma</sub>	90.92	-10.28	87.24	87.85	97
L <sub>Ma</sub>	52.69	-65.43	20.75	68.65	162
C <sub>Ma</sub>	59.61	-28.97	-46.21	54.56	238
V <sub>Ma</sub>	28.39	23.63	-44.12	50.06	298
M <sub>Ma</sub>	49.58	73.93	-9.55	74.55	353
N <sub>Ma</sub>	18.89	0.0	0.0	0.0	0
W <sub>Ma</sub>	96.9	0.0	0.0	0.0	0
R <sub>CIE</sub>	39.92	58.74	27.99	65.07	25
J <sub>CIE</sub>	81.26	-2.88	71.56	71.62	92
G <sub>CIE</sub>	52.23	-42.41	13.6	44.55	162
B <sub>CIE</sub>	30.57	1.41	-46.46	46.49	272

Daten für Maximalfarbe (Ma):

$LAB^*LAB^*_{Ma}$ : 49 66 32

$LAB^*LCH^*_{Ma}$ : 49 74 25

$lab^*rgb^*_{Ma}$ : 1.0 0.0 0.0

$lab^*olv^*_{Ma}$ : 1.0 0.0 0.16

Dreiecks-Helligkeit  $t^*$

%Umfang

$u^*_{rel} = 89$

%Regularität

$g^*_{H,rel} = 72$

$g^*_{C,rel} = 57$

ORS19_96a; adaptierte CIELAB-Daten					
	$L^*=L^*_a$	$a^*_a$	$b^*_a$	$C^*_{ab,a}$	$h^*_{ab,a}$
r00j	48.88	66.47	31.67	73.63	25
r25j	55.85	52.39	47.48	70.7	42
r50j	65.45	35.22	58.37	68.17	59
r75j	75.19	17.82	69.41	71.66	76
j00g	87.03	-3.34	82.83	82.9	92
j25g	80.72	-25.0	69.5	73.86	110
j50g	70.64	-39.53	51.97	65.3	127
j75g	61.93	-52.09	36.83	63.8	145
g00b	52.8	-65.27	20.93	68.56	162
g25b	55.7	-49.57	-8.38	50.28	190
g50b	57.82	-38.39	-28.91	48.07	217
g75b	55.5	-22.04	-45.94	50.97	244
b00r	41.6	1.37	-45.0	45.03	272
b25r	29.0	25.08	-43.12	49.89	300
b50r	38.04	46.53	-28.38	54.51	329
b75r	49.48	72.88	-3.75	72.98	357

$lab^*icu^*$

$i^* = 1.00$

Brillantheit  $i^*$

$i^* = 0.80$

$i^* = 0.60$

$i^* = 0.40$

$i^* = 0.20$

$i^* = 0.00$

relative Buntheit  $c^*$

relative Buntheit  $c^*$

Ein und Ausgabe: Farbmetrisches Drucker-Reflektiv-System ORS19\_96a für relativen CIELAB-Buntton  $h^* = lab^*h^* = h_{ab}/360 = 42/360 = 0.117$   $u^* = r25j$

Daten für jede Farbe:

$lab^*ch^*$  und  $lab^*icu^*$

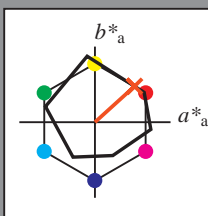
Elementar-Bunttontext:

$u^* = r25j$

Kontrastreduzierungsfaktor:

$c_R = 1.0$

Dreiecks-Helligkeit  $t^*$



ORS19_96a; adaptierte CIELAB-Daten					
	$L^*=L^*_a$	$a^*_a$	$b^*_a$	$C^*_{ab,a}$	$h^*_{ab,a}$
O <sub>Ma</sub>	48.75	65.07	39.43	76.08	31
Y <sub>Ma</sub>	90.92	-10.28	87.24	87.85	97
L <sub>Ma</sub>	52.69	-65.43	20.75	68.65	162
C <sub>Ma</sub>	59.61	-28.97	-46.21	54.56	238
V <sub>Ma</sub>	28.39	23.63	-44.12	50.06	298
M <sub>Ma</sub>	49.58	73.93	-9.55	74.55	353
N <sub>Ma</sub>	18.89	0.0	0.0	0.0	0
W <sub>Ma</sub>	96.9	0.0	0.0	0.0	0
R <sub>CIE</sub>	39.92	58.74	27.99	65.07	25
J <sub>CIE</sub>	81.26	-2.88	71.56	71.62	92
G <sub>CIE</sub>	52.23	-42.41	13.6	44.55	162
B <sub>CIE</sub>	30.57	1.41	-46.46	46.49	272

Daten für Maximalfarbe (Ma):

$LAB^*LAB^*_{Ma}$ : 56 52 47

$LAB^*LCH^*_{Ma}$ : 56 71 42

$lab^*rgb^*_{Ma}$ : 1.0 0.25 0.0

$lab^*olv^*_{Ma}$ : 1.0 0.17 0.0

Dreiecks-Helligkeit  $t^*$

%Umfang

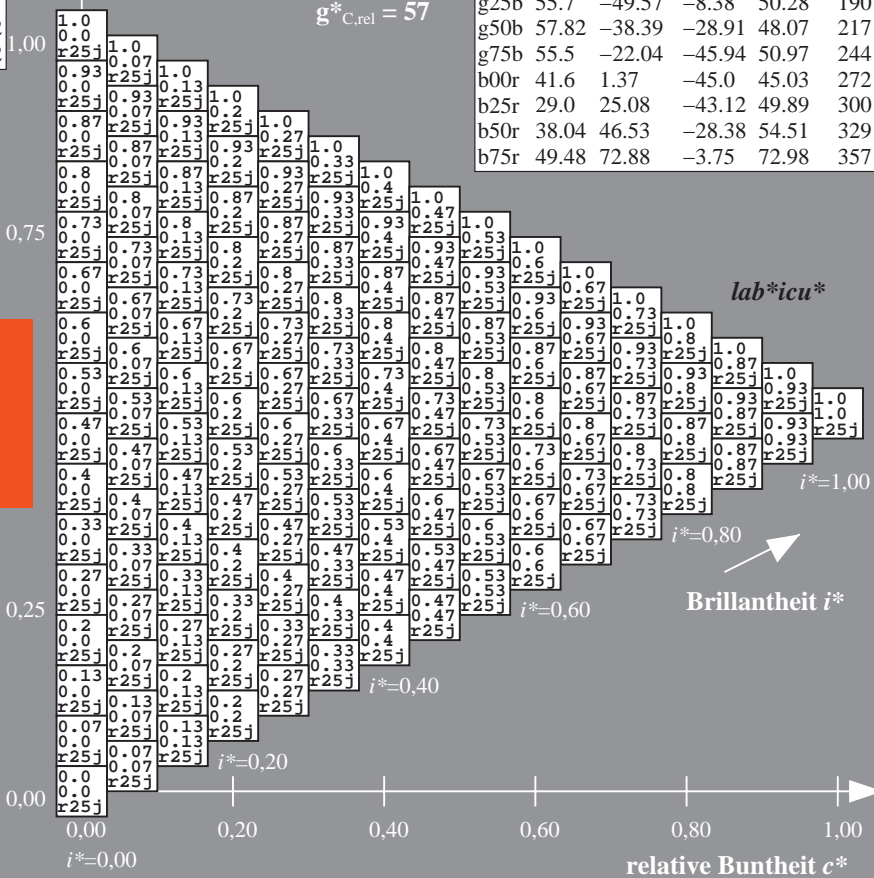
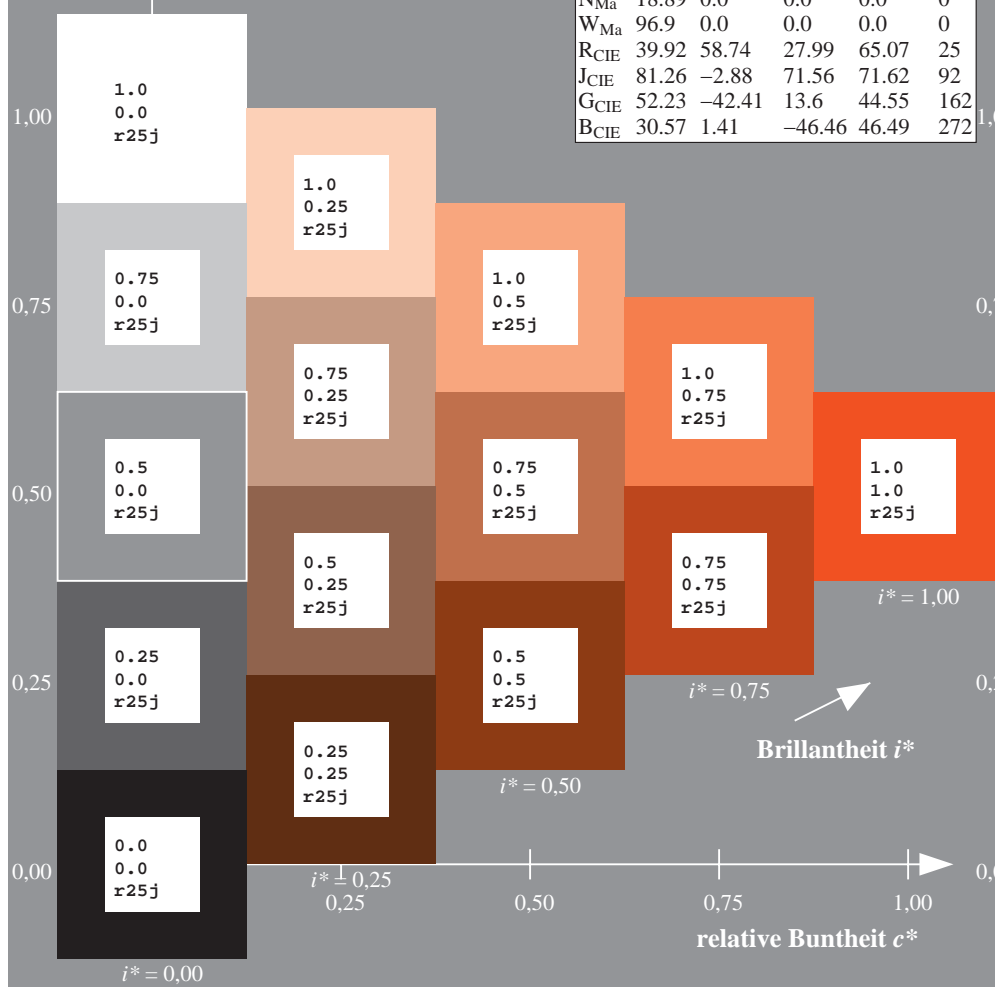
$u^*_{rel} = 89$

%Regularität

$g^*_{H,rel} = 72$

$g^*_{C,rel} = 57$

ORS19_96a; adaptierte CIELAB-Daten					
	$L^*=L^*_a$	$a^*_a$	$b^*_a$	$C^*_{ab,a}$	$h^*_{ab,a}$
r00j	48.88	66.47	31.67	73.63	25
r25j	55.85	52.39	47.48	70.7	42
r50j	65.45	35.22	58.37	68.17	59
r75j	75.19	17.82	69.41	71.66	76
j00g	87.03	-3.34	82.83	82.9	92
j25g	80.72	-25.0	69.5	73.86	110
j50g	70.64	-39.53	51.97	65.3	127
j75g	61.93	-52.09	36.83	63.8	145
g00b	52.8	-65.27	20.93	68.56	162
g25b	55.7	-49.57	-8.38	50.28	190
g50b	57.82	-38.39	-28.91	48.07	217
g75b	55.5	-22.04	-45.94	50.97	244
b00r	41.6	1.37	-45.0	45.03	272
b25r	29.0	25.08	-43.12	49.89	300
b50r	38.04	46.53	-28.38	54.51	329
b75r	49.48	72.88	-3.75	72.98	357



Ein und Ausgabe: Farbmetrisches Drucker-Reflektiv-System ORS19\_96a für relativen CIELAB-Buntton  $h^* = lab^*h^* = h_{ab}/360 = 59/360 = 0.164$   $u^* = r50j$   
Daten für jede Farbe:  $lab^*ch^*$  und  $lab^*icu^*$

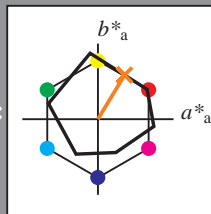
Elementar-Bunttoncontext:

$u^* = r50j$

Kontrastreduzierungsfaktor:

$c_R = 1.0$

Dreiecks-Helligkeit  $t^*$



ORS19_96a; adaptierte CIELAB-Daten					
	$L^*=L_a^*$	$a_a^*$	$b_a^*$	$C^*_{ab,a}$	$h^*_{ab,a}$
O <sub>Ma</sub>	48.75	65.07	39.43	76.08	31
Y <sub>Ma</sub>	90.92	-10.28	87.24	87.85	97
L <sub>Ma</sub>	52.69	-65.43	20.75	68.65	162
C <sub>Ma</sub>	59.61	-28.97	-46.21	54.56	238
V <sub>Ma</sub>	28.39	23.63	-44.12	50.06	298
M <sub>Ma</sub>	49.58	73.93	-9.55	74.55	353
N <sub>Ma</sub>	18.89	0.0	0.0	0.0	0
W <sub>Ma</sub>	96.9	0.0	0.0	0.0	0
R <sub>CIE</sub>	39.92	58.74	27.99	65.07	25
J <sub>CIE</sub>	81.26	-2.88	71.56	71.62	92
G <sub>CIE</sub>	52.23	-42.41	13.6	44.55	162
B <sub>CIE</sub>	30.57	1.41	-46.46	46.49	272

Daten für Maximalfarbe (Ma):

$LAB^*LAB^*_{Ma}$ : 65 35 58

$LAB^*LCH^*_{Ma}$ : 65 68 59

$lab^*rgb^*_{Ma}$ : 1.0 0.5 0.0

$lab^*olv^*_{Ma}$ : 1.0 0.4 0.0

Dreiecks-Helligkeit  $t^*$

%Umfang

$u^*_{rel} = 89$

%Regularität

$g^*_{H,rel} = 72$

$g^*_{C,rel} = 57$

ORS19_96a; adaptierte CIELAB-Daten					
	$L^*=L_a^*$	$a_a^*$	$b_a^*$	$C^*_{ab,a}$	$h^*_{ab,a}$
r00j	48.88	66.47	31.67	73.63	25
r25j	55.85	52.39	47.48	70.7	42
r50j	65.45	35.22	58.37	68.17	59
r75j	75.19	17.82	69.41	71.66	76
j00g	87.03	-3.34	82.83	82.9	92
j25g	80.72	-25.0	69.5	73.86	110
j50g	70.64	-39.53	51.97	65.3	127
j75g	61.93	-52.09	36.83	63.8	145
g00b	52.8	-65.27	20.93	68.56	162
g25b	55.7	-49.57	-8.38	50.28	190
g50b	57.82	-38.39	-28.91	48.07	217
g75b	55.5	-22.04	-45.94	50.97	244
b00r	41.6	1.37	-45.0	45.03	272
b25r	29.0	25.08	-43.12	49.89	300
b50r	38.04	46.53	-28.38	54.51	329
b75r	49.48	72.88	-3.75	72.98	357

Ein und Ausgabe: Farbmetrisches Drucker-Reflektiv-System ORS19\_96a für relativen CIELAB-Buntton  $h^* = lab^*h^* = h_{ab}/360 = 76/360 = 0.21$   $u^* = r75j$   
Daten für jede Farbe:  $lab^*ch^*$  und  $lab^*icu^*$

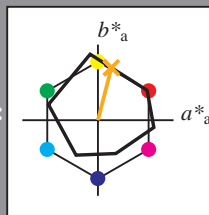
Elementar-Bunttontext:

$u^* = r75j$

Kontrastreduzierungsfaktor:

$c_R = 1.0$

Dreiecks-Helligkeit  $t^*$



ORS19_96a; adaptierte CIELAB-Daten					
	$L^*=L_a^*$	$a_a^*$	$b_a^*$	$C^*_{ab,a}$	$h^*_{ab,a}$
O <sub>Ma</sub>	48.75	65.07	39.43	76.08	31
Y <sub>Ma</sub>	90.92	-10.28	87.24	87.85	97
L <sub>Ma</sub>	52.69	-65.43	20.75	68.65	162
C <sub>Ma</sub>	59.61	-28.97	-46.21	54.56	238
V <sub>Ma</sub>	28.39	23.63	-44.12	50.06	298
M <sub>Ma</sub>	49.58	73.93	-9.55	74.55	353
N <sub>Ma</sub>	18.89	0.0	0.0	0.0	0
W <sub>Ma</sub>	96.9	0.0	0.0	0.0	0
R <sub>CIE</sub>	39.92	58.74	27.99	65.07	25
J <sub>CIE</sub>	81.26	-2.88	71.56	71.62	92
G <sub>CIE</sub>	52.23	-42.41	13.6	44.55	162
B <sub>CIE</sub>	30.57	1.41	-46.46	46.49	272

Daten für Maximalfarbe (Ma):

$LAB^*LAB^*_{Ma}$ : 75 18 69

$LAB^*LCH^*_{Ma}$ : 75 72 76

$lab^*rgb^*_{Ma}$ : 1.0 0.75 0.0

$lab^*olv^*_{Ma}$ : 1.0 0.63 0.0

Dreiecks-Helligkeit  $t^*$

%Umfang

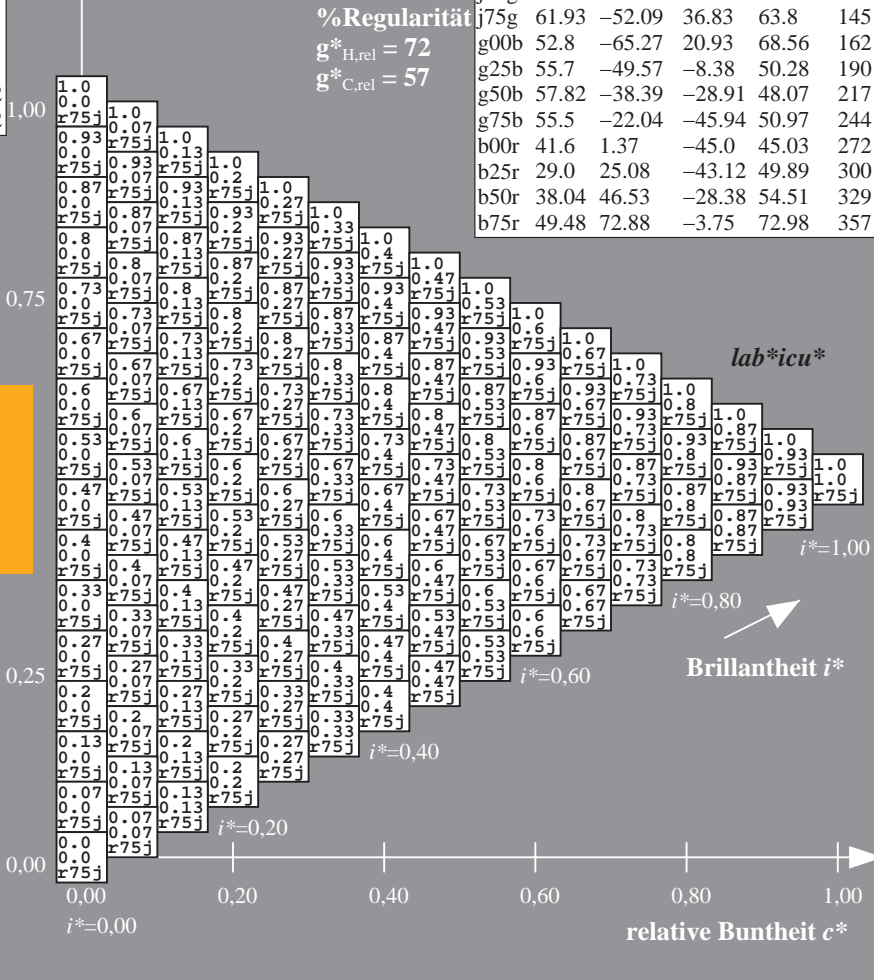
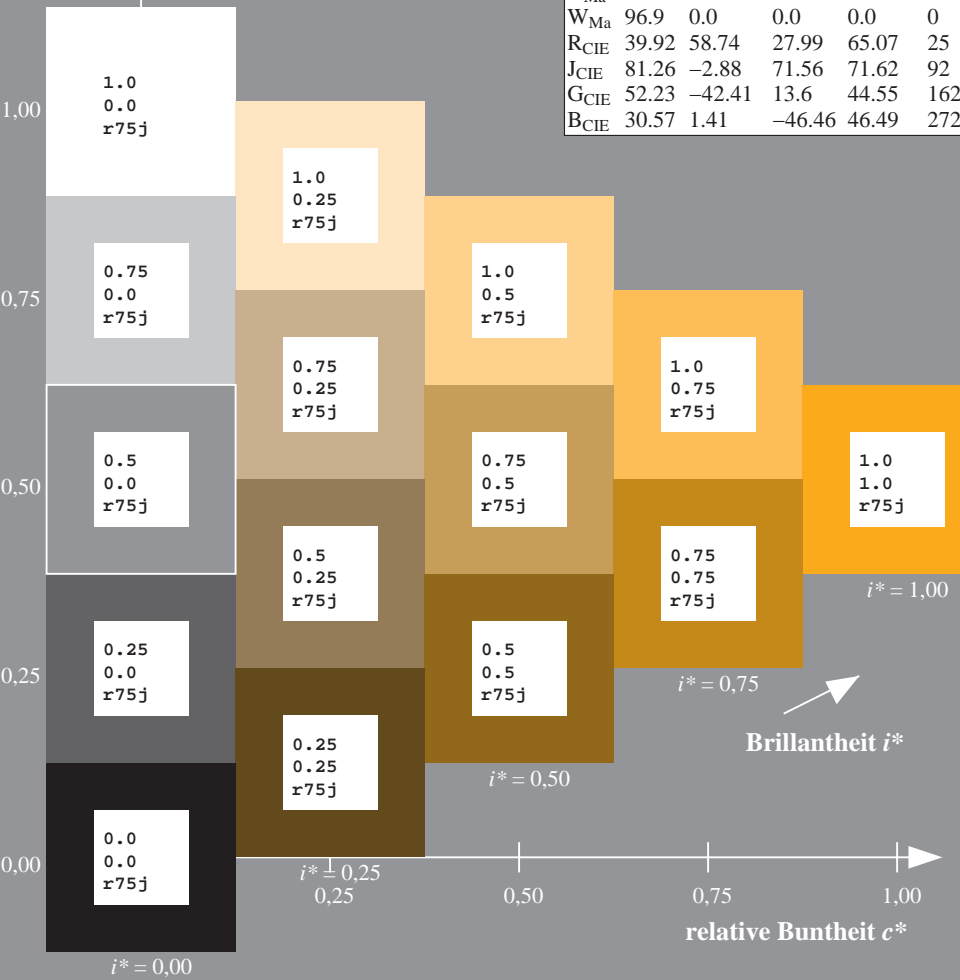
$u^*_{rel} = 89$

%Regularität

$g^*_{H,rel} = 72$

$g^*_{C,rel} = 57$

ORS19_96a; adaptierte CIELAB-Daten					
	$L^*=L_a^*$	$a_a^*$	$b_a^*$	$C^*_{ab,a}$	$h^*_{ab,a}$
r00j	48.88	66.47	31.67	73.63	25
r25j	55.85	52.39	47.48	70.7	42
r50j	65.45	35.22	58.37	68.17	59
r75j	75.19	17.82	69.41	71.66	76
j00g	87.03	-3.34	82.83	82.9	92
j25g	80.72	-25.0	69.5	73.86	110
j50g	70.64	-39.53	51.97	65.3	127
j75g	61.93	-52.09	36.83	63.8	145
g00b	52.8	-65.27	20.93	68.56	162
g25b	55.7	-49.57	-8.38	50.28	190
g50b	57.82	-38.39	-28.91	48.07	217
g75b	55.5	-22.04	-45.94	50.97	244
b00r	41.6	1.37	-45.0	45.03	272
b25r	29.0	25.08	-43.12	49.89	300
b50r	38.04	46.53	-28.38	54.51	329
b75r	49.48	72.88	-3.75	72.98	357





Ein und Ausgabe: Farbmetrisches Drucker-Reflektiv-System ORS19\_96a für relativen CIELAB-Buntton  $h^* = lab^*h^* = h_{ab}/360 = 92/360 = 0.256$   $u^* = j00g$   
Daten für jede Farbe:  $lab^*ch^*$  und  $lab^*icu^*$

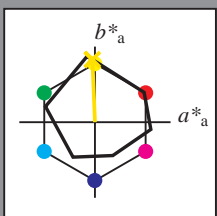
Elementar-Bunttontext:

$u^* = j00g$

Kontrastreduzierungsfaktor:

$c_R = 1.0$

Dreiecks-Helligkeit  $t^*$



ORS19_96a; adaptierte CIELAB-Daten					
	$L^*=L^*_a$	$a^*_a$	$b^*_a$	$C^*_{ab,a}$	$h^*_{ab,a}$
O <sub>Ma</sub>	48.75	65.07	39.43	76.08	31
Y <sub>Ma</sub>	90.92	-10.28	87.24	87.85	97
L <sub>Ma</sub>	52.69	-65.43	20.75	68.65	162
C <sub>Ma</sub>	59.61	-28.97	-46.21	54.56	238
V <sub>Ma</sub>	28.39	23.63	-44.12	50.06	298
M <sub>Ma</sub>	49.58	73.93	-9.55	74.55	353
N <sub>Ma</sub>	18.89	0.0	0.0	0.0	0
W <sub>Ma</sub>	96.9	0.0	0.0	0.0	0
R <sub>CIE</sub>	39.92	58.74	27.99	65.07	25
J <sub>CIE</sub>	81.26	-2.88	71.56	71.62	92
G <sub>CIE</sub>	52.23	-42.41	13.6	44.55	162
B <sub>CIE</sub>	30.57	1.41	-46.46	46.49	272

Daten für Maximalfarbe (Ma):

$LAB^*LAB^*_{Ma}$ : 87 -2 83

$LAB^*LCH^*_{Ma}$ : 87 83 92

$lab^*rgb^*_{Ma}$ : 1.0 1.0 0.0

$lab^*olv^*_{Ma}$ : 1.0 0.91 0.0

Dreiecks-Helligkeit  $t^*$

%Umfang

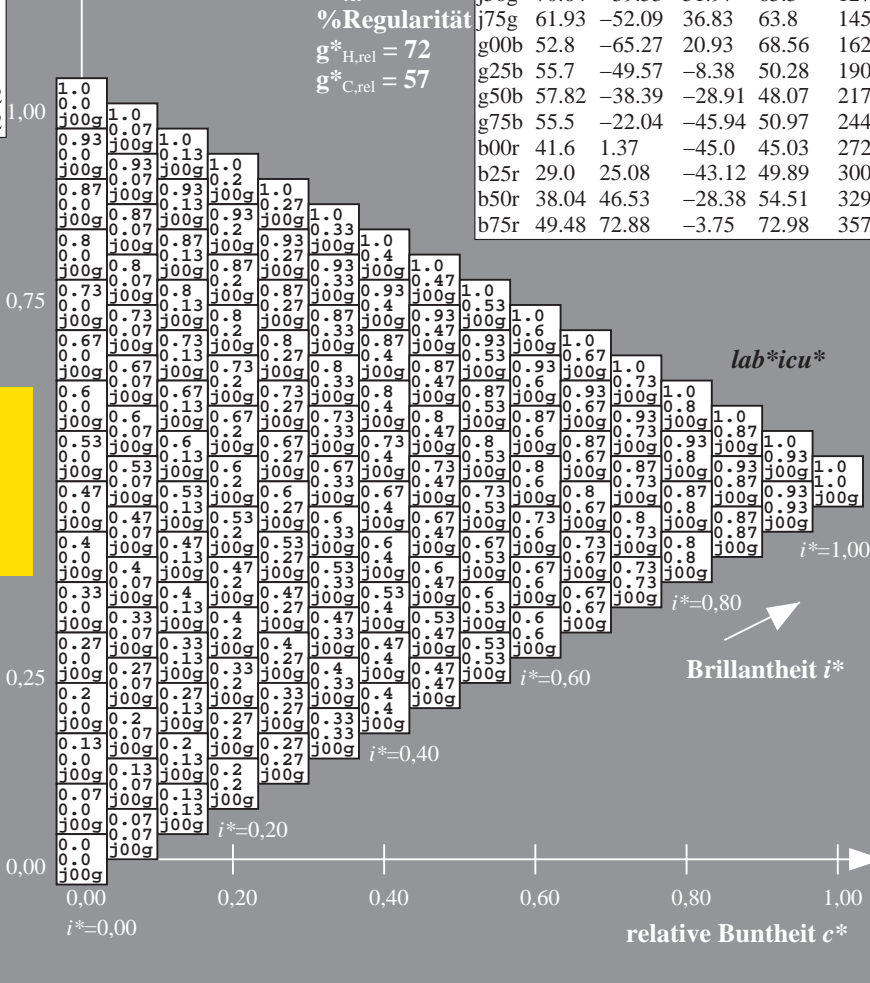
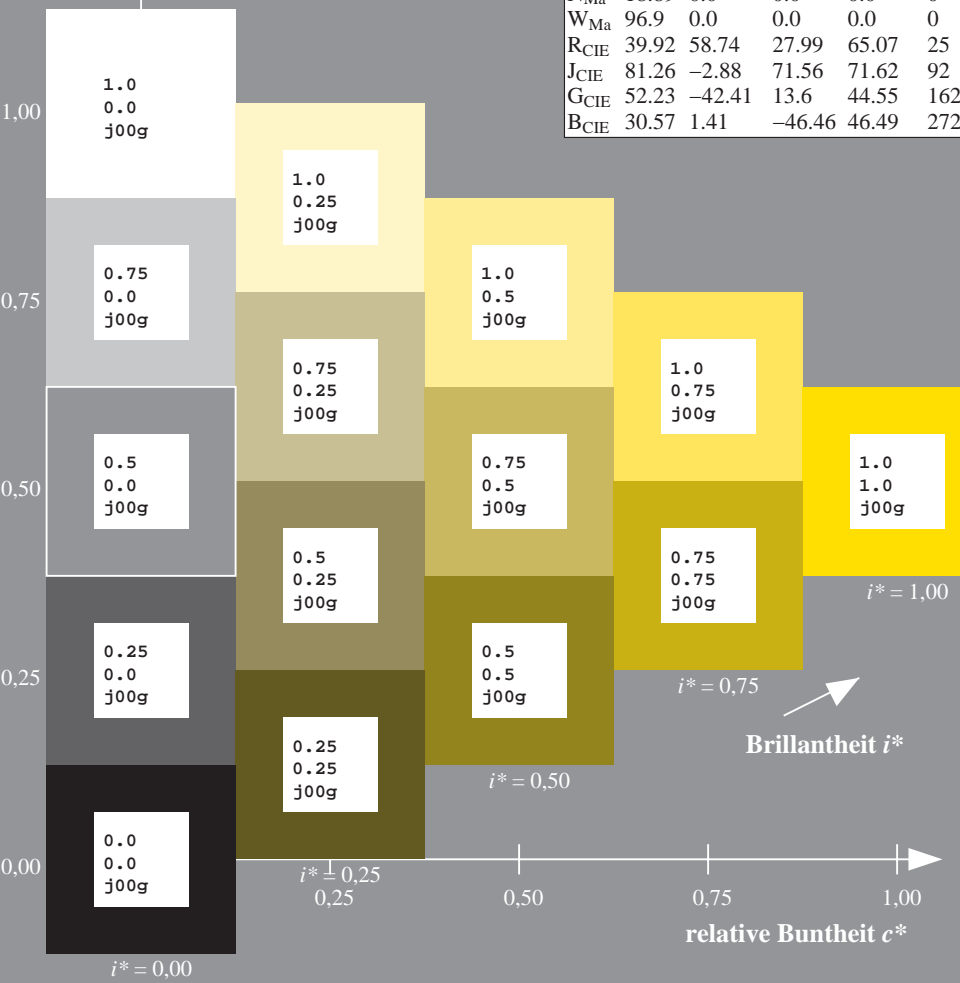
$u^*_{rel} = 89$

%Regularität

$g^*_{H,rel} = 72$

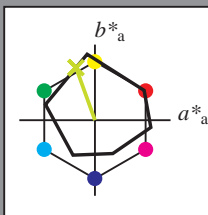
$g^*_{C,rel} = 57$

ORS19_96a; adaptierte CIELAB-Daten					
	$L^*=L^*_a$	$a^*_a$	$b^*_a$	$C^*_{ab,a}$	$h^*_{ab,a}$
r00j	48.88	66.47	31.67	73.63	25
r25j	55.85	52.39	47.48	70.7	42
r50j	65.45	35.22	58.37	68.17	59
r75j	75.19	17.82	69.41	71.66	76
j00g	87.03	-3.34	82.83	82.9	92
j25g	80.72	-25.0	69.5	73.86	110
j50g	70.64	-39.53	51.97	65.3	127
j75g	61.93	-52.09	36.83	63.8	145
g00b	52.8	-65.27	20.93	68.56	162
g25b	55.7	-49.57	-8.38	50.28	190
g50b	57.82	-38.39	-28.91	48.07	217
g75b	55.5	-22.04	-45.94	50.97	244
b00r	41.6	1.37	-45.0	45.03	272
b25r	29.0	25.08	-43.12	49.89	300
b50r	38.04	46.53	-28.38	54.51	329
b75r	49.48	72.88	-3.75	72.98	357





Ein und Ausgabe: Farbmetrisches Drucker-Reflektiv-System ORS19\_96a für relativen CIELAB-Buntton  $h^* = lab^*h^* = h_{ab}/360 = 110/360 = 0.305$   $u^* = j25g$   
Daten für jede Farbe:  
 $lab^*ch^*$  und  $lab^*icu^*$   
Elementar-Bunttontext:  
 $u^* = j25g$   
Kontrastreduzierungsfaktor:  
 $c_R = 1.0$   
Dreiecks-Helligkeit  $i^*$



ORS19_96a; adaptierte CIELAB-Daten					
	$L^*=L^*_a$	$a^*_a$	$b^*_a$	$C^*_{ab,a}$	$h^*_{ab,a}$
O <sub>Ma</sub>	48.75	65.07	39.43	76.08	31
Y <sub>Ma</sub>	90.92	-10.28	87.24	87.85	97
L <sub>Ma</sub>	52.69	-65.43	20.75	68.65	162
C <sub>Ma</sub>	59.61	-28.97	-46.21	54.56	238
V <sub>Ma</sub>	28.39	23.63	-44.12	50.06	298
M <sub>Ma</sub>	49.58	73.93	-9.55	74.55	353
N <sub>Ma</sub>	18.89	0.0	0.0	0.0	0
W <sub>Ma</sub>	96.9	0.0	0.0	0.0	0
R <sub>CIE</sub>	39.92	58.74	27.99	65.07	25
J <sub>CIE</sub>	81.26	-2.88	71.56	71.62	92
G <sub>CIE</sub>	52.23	-42.41	13.6	44.55	162
B <sub>CIE</sub>	30.57	1.41	-46.46	46.49	272

Daten für Maximalfarbe (Ma):

$LAB^*LAB^*_{Ma}$ : 81 -24 69

$LAB^*LCH^*_{Ma}$ : 81 74 110

$lab^*rgb^*_{Ma}$ : 0.75 1.0 0.0

$lab^*olv^*_{Ma}$ : 0.73 1.0 0.0

Dreiecks-Helligkeit  $i^*$

%Umfang

$u^*_{rel} = 89$

%Regularität

$g^*_{H,rel} = 72$

$g^*_{C,rel} = 57$

ORS19_96a; adaptierte CIELAB-Daten					
	$L^*=L^*_a$	$a^*_a$	$b^*_a$	$C^*_{ab,a}$	$h^*_{ab,a}$
r00j	48.88	66.47	31.67	73.63	25
r25j	55.85	52.39	47.48	70.7	42
r50j	65.45	35.22	58.37	68.17	59
r75j	75.19	17.82	69.41	71.66	76
j00g	87.03	-3.34	82.83	82.9	92
j25g	80.72	-25.0	69.5	73.86	110
j50g	70.64	-39.53	51.97	65.3	127
j75g	61.93	-52.09	36.83	63.8	145
g00b	52.8	-65.27	20.93	68.56	162
g25b	55.7	-49.57	-8.38	50.28	190
g50b	57.82	-38.39	-28.91	48.07	217
g75b	55.5	-22.04	-45.94	50.97	244
b00r	41.6	1.37	-45.0	45.03	272
b25r	29.0	25.08	-43.12	49.89	300
b50r	38.04	46.53	-28.38	54.51	329
b75r	49.48	72.88	-3.75	72.98	357

Ein und Ausgabe: Farbmetrisches Drucker-Reflektiv-System ORS19\_96a für relativen CIELAB-Buntton  $h^* = lab^*h^* = h_{ab}/360 = 127/360 = 0.354$   $u^* = j50g$   
Daten für jede Farbe:  $lab^*ch^*$  und  $lab^*icu^*$

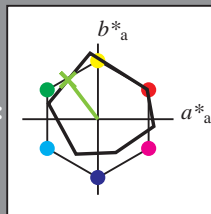
Elementar-Bunttontext:

$u^* = j50g$

Kontrastreduzierungsfaktor:

$c_R = 1.0$

Dreiecks-Helligkeit  $t^*$



ORS19\_96a; adaptierte CIELAB-Daten

	$L^* = L^*_a$	$a^*_a$	$b^*_a$	$C^*_{ab,a}$	$h^*_{ab,a}$
O <sub>Ma</sub>	48.75	65.07	39.43	76.08	31
Y <sub>Ma</sub>	90.92	-10.28	87.24	87.85	97
L <sub>Ma</sub>	52.69	-65.43	20.75	68.65	162
C <sub>Ma</sub>	59.61	-28.97	-46.21	54.56	238
V <sub>Ma</sub>	28.39	23.63	-44.12	50.06	298
M <sub>Ma</sub>	49.58	73.93	-9.55	74.55	353
N <sub>Ma</sub>	18.89	0.0	0.0	0.0	0
W <sub>Ma</sub>	96.9	0.0	0.0	0.0	0
R <sub>CIE</sub>	39.92	58.74	27.99	65.07	25
J <sub>CIE</sub>	81.26	-2.88	71.56	71.62	92
G <sub>CIE</sub>	52.23	-42.41	13.6	44.55	162
B <sub>CIE</sub>	30.57	1.41	-46.46	46.49	272

Daten für Maximalfarbe (Ma):

$LAB^*LAB^*_{Ma}$ : 71 -39 52

$LAB^*LCH^*_{Ma}$ : 71 65 127

$lab^*rgb^*_{Ma}$ : 0.5 1.0 0.0

$lab^*olv^*_{Ma}$ : 0.47 1.0 0.0

Dreiecks-Helligkeit  $t^*$

%Umfang

$u^*_{rel} = 89$

%Regularität

$g^*_{H,rel} = 72$

$g^*_{C,rel} = 57$

ORS19\_96a; adaptierte CIELAB-Daten

	$L^* = L^*_a$	$a^*_a$	$b^*_a$	$C^*_{ab,a}$	$h^*_{ab,a}$
r00j	48.88	66.47	31.67	73.63	25
r25j	55.85	52.39	47.48	70.7	42
r50j	65.45	35.22	58.37	68.17	59
r75j	75.19	17.82	69.41	71.66	76
j00g	87.03	-3.34	82.83	82.9	92
j25g	80.72	-25.0	69.5	73.86	110
j50g	70.64	-39.53	51.97	65.3	127
j75g	61.93	-52.09	36.83	63.8	145
g00b	52.8	-65.27	20.93	68.56	162
g25b	55.7	-49.57	-8.38	50.28	190
g50b	57.82	-38.39	-28.91	48.07	217
g75b	55.5	-22.04	-45.94	50.97	244
b00r	41.6	1.37	-45.0	45.03	272
b25r	29.0	25.08	-43.12	49.89	300
b50r	38.04	46.53	-28.38	54.51	329
b75r	49.48	72.88	-3.75	72.98	357

Ein und Ausgabe: Farbmetrisches Drucker-Reflektiv-System ORS19\_96a für relativen CIELAB-Buntton  $h^* = lab^*h^* = h_{ab}/360 = 145/360 = 0.402$   $u^* = j75g$   
Daten für jede Farbe:  
 $lab^*ch^*$  und  $lab^*icu^*$

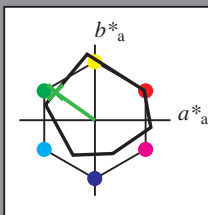
Elementar-Bunttontext:

$u^* = j75g$

Kontrastreduzierungsfaktor:

$c_R = 1.0$

Dreiecks-Helligkeit  $i^*$



ORS19_96a; adaptierte CIELAB-Daten					
	$L^*=L^*_a$	$a^*_a$	$b^*_a$	$C^*_{ab,a}$	$h^*_{ab,a}$
O <sub>Ma</sub>	48.75	65.07	39.43	76.08	31
Y <sub>Ma</sub>	90.92	-10.28	87.24	87.85	97
L <sub>Ma</sub>	52.69	-65.43	20.75	68.65	162
C <sub>Ma</sub>	59.61	-28.97	-46.21	54.56	238
V <sub>Ma</sub>	28.39	23.63	-44.12	50.06	298
M <sub>Ma</sub>	49.58	73.93	-9.55	74.55	353
N <sub>Ma</sub>	18.89	0.0	0.0	0.0	0
W <sub>Ma</sub>	96.9	0.0	0.0	0.0	0
R <sub>CIE</sub>	39.92	58.74	27.99	65.07	25
J <sub>CIE</sub>	81.26	-2.88	71.56	71.62	92
G <sub>CIE</sub>	52.23	-42.41	13.6	44.55	162
B <sub>CIE</sub>	30.57	1.41	-46.46	46.49	272

Daten für Maximalfarbe (Ma):

$LAB^*LAB^*_{Ma}$ : 62 -51 37

$LAB^*LCH^*_{Ma}$ : 62 64 145

$lab^*rgb^*_{Ma}$ : 0.25 1.0 0.0

$lab^*olv^*_{Ma}$ : 0.24 1.0 0.0

Dreiecks-Helligkeit  $i^*$

%Umfang

$u^*_{rel} = 89$

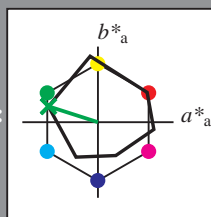
%Regularität

$g^*_{H,rel} = 72$

$g^*_{C,rel} = 57$

ORS19_96a; adaptierte CIELAB-Daten					
	$L^*=L^*_a$	$a^*_a$	$b^*_a$	$C^*_{ab,a}$	$h^*_{ab,a}$
r00j	48.88	66.47	31.67	73.63	25
r25j	55.85	52.39	47.48	70.7	42
r50j	65.45	35.22	58.37	68.17	59
r75j	75.19	17.82	69.41	71.66	76
j00g	87.03	-3.34	82.83	82.9	92
j25g	80.72	-25.0	69.5	73.86	110
j50g	70.64	-39.53	51.97	65.3	127
j75g	61.93	-52.09	36.83	63.8	145
g00b	52.8	-65.27	20.93	68.56	162
g25b	55.7	-49.57	-8.38	50.28	190
g50b	57.82	-38.39	-28.91	48.07	217
g75b	55.5	-22.04	-45.94	50.97	244
b00r	41.6	1.37	-45.0	45.03	272
b25r	29.0	25.08	-43.12	49.89	300
b50r	38.04	46.53	-28.38	54.51	329
b75r	49.48	72.88	-3.75	72.98	357

Ein und Ausgabe: Farbmetrisches Drucker-Reflektiv-System ORS19\_96a für relativen CIELAB-Buntton  $h^* = lab^*h^* = h_{ab}/360 = 162/360 = 0.451$   $u^* = g00b$   
Daten für jede Farbe:  
 $lab^*ch^*$  und  $lab^*icu^*$   
Elementar-Bunttontext:  
 $u^* = g00b$   
Kontrastreduzierungsfaktor:  
 $c_R = 1.0$   
Dreiecks-Helligkeit  $t^*$



ORS19_96a; adaptierte CIELAB-Daten					
	$L^*=L^*_a$	$a^*_a$	$b^*_a$	$C^*_{ab,a}$	$h^*_{ab,a}$
O <sub>Ma</sub>	48.75	65.07	39.43	76.08	31
Y <sub>Ma</sub>	90.92	-10.28	87.24	87.85	97
L <sub>Ma</sub>	52.69	-65.43	20.75	68.65	162
C <sub>Ma</sub>	59.61	-28.97	-46.21	54.56	238
V <sub>Ma</sub>	28.39	23.63	-44.12	50.06	298
M <sub>Ma</sub>	49.58	73.93	-9.55	74.55	353
N <sub>Ma</sub>	18.89	0.0	0.0	0.0	0
W <sub>Ma</sub>	96.9	0.0	0.0	0.0	0
R <sub>CIE</sub>	39.92	58.74	27.99	65.07	25
J <sub>CIE</sub>	81.26	-2.88	71.56	71.62	92
G <sub>CIE</sub>	52.23	-42.41	13.6	44.55	162
B <sub>CIE</sub>	30.57	1.41	-46.46	46.49	272

Daten für Maximalfarbe (Ma):

$LAB^*LAB^*_{Ma}$ : 53 -64 21

$LAB^*LCH^*_{Ma}$ : 53 69 162

$lab^*rgb^*_{Ma}$ : 0.0 1.0 0.0

$lab^*olv^*_{Ma}$ : 0.0 1.0 0.0

Dreiecks-Helligkeit  $t^*$

%Umfang

$u^*_{rel} = 89$

%Regularität

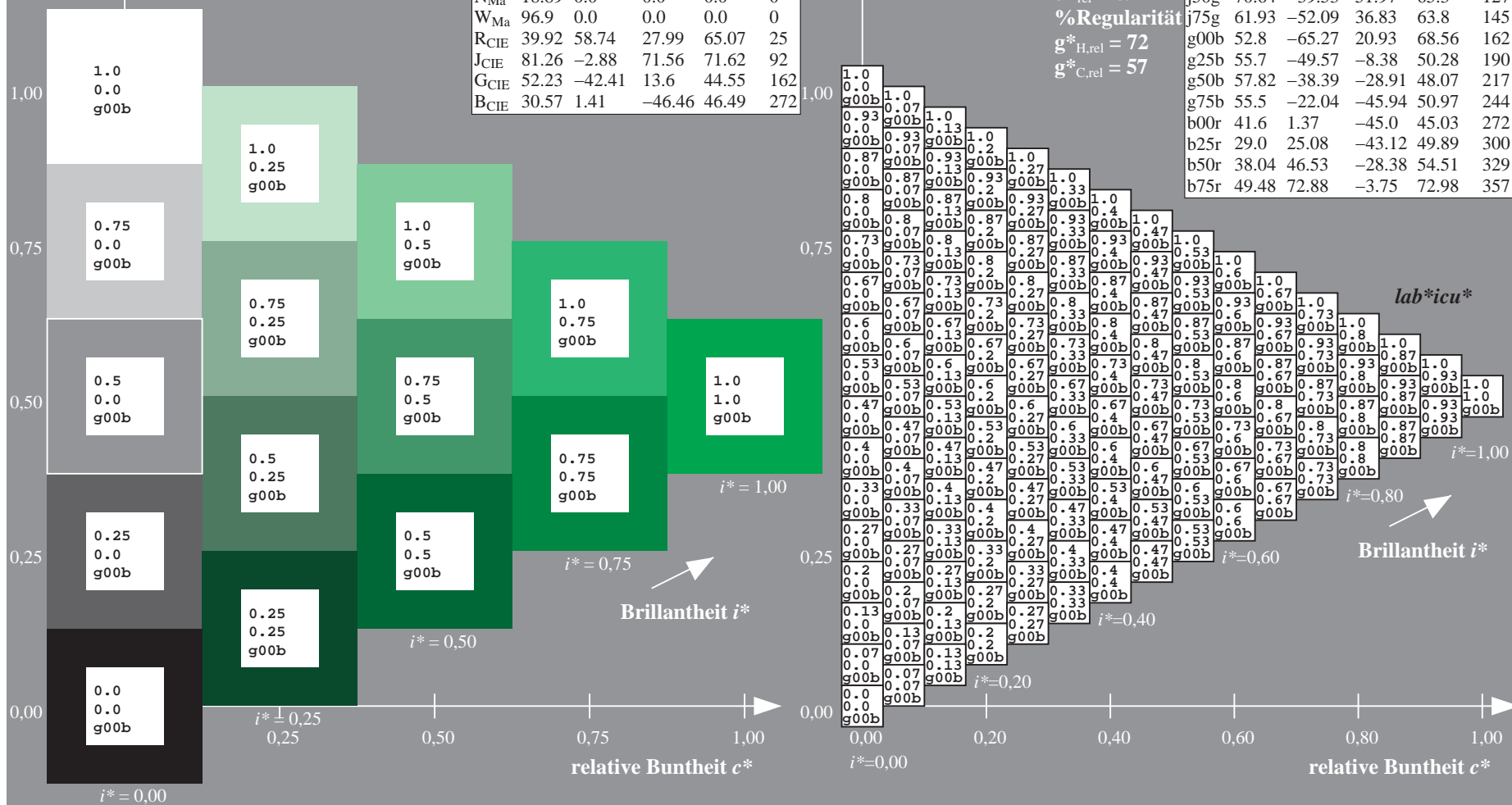
$g^*_{H,rel} = 72$

$g^*_{C,rel} = 57$

ORS19_96a; adaptierte CIELAB-Daten					
	$L^*=L^*_a$	$a^*_a$	$b^*_a$	$C^*_{ab,a}$	$h^*_{ab,a}$
r00j	48.88	66.47	31.67	73.63	25
r25j	55.85	52.39	47.48	70.7	42
r50j	65.45	35.22	58.37	68.17	59
r75j	75.19	17.82	69.41	71.66	76
j00g	87.03	-3.34	82.83	82.9	92
j25g	80.72	-25.0	69.5	73.86	110
j50g	70.64	-39.53	51.97	65.3	127
j75g	61.93	-52.09	36.83	63.8	145
g00b	52.8	-65.27	20.93	68.56	162
g25b	55.7	-49.57	-8.38	50.28	190
g50b	57.82	-38.39	-28.91	48.07	217
g75b	55.5	-22.04	-45.94	50.97	244
b00r	41.6	1.37	-45.0	45.03	272
b25r	29.0	25.08	-43.12	49.89	300
b50r	38.04	46.53	-28.38	54.51	329
b75r	49.48	72.88	-3.75	72.98	357

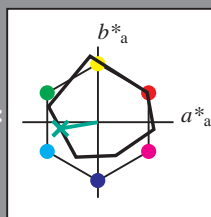
Siehe ähnliche Dateien: <http://www.ps.bam.de/Dg98/>; [www.ps.bam.de/Dg98/HTM](http://www.ps.bam.de/Dg98/HTM)  
Technische Information: <http://www.ps.bam.de> Version 2.1, io=1,1, ColSpx=1

BAM-Registrierung: 20080701-Dg98/10L/L98G00NA.PS/.TXTBAM-Material: Code=rh4ta  
Anwendung für Beurteilung und Messung von Drucker- oder Monitorsystemen





Ein und Ausgabe: Farbmetrisches Drucker-Reflektiv-System ORS19\_96a für relativen CIELAB-Buntton  $h^* = lab^*h^* = h_{ab}/360 = 190/360 = 0.527$   $u^* = g25b$   
Daten für jede Farbe:  
 $lab^*ch^*$  und  $lab^*icu^*$   
Elementar-Bunttontext:  
 $u^* = g25b$   
Kontrastreduzierungsfaktor:  
 $c_R = 1.0$   
Dreiecks-Helligkeit  $i^*$



ORS19_96a; adaptierte CIELAB-Daten					
	$L^*=L^*_a$	$a^*_a$	$b^*_a$	$C^*_{ab,a}$	$h^*_{ab,a}$
O <sub>Ma</sub>	48.75	65.07	39.43	76.08	31
Y <sub>Ma</sub>	90.92	-10.28	87.24	87.85	97
L <sub>Ma</sub>	52.69	-65.43	20.75	68.65	162
C <sub>Ma</sub>	59.61	-28.97	-46.21	54.56	238
V <sub>Ma</sub>	28.39	23.63	-44.12	50.06	298
M <sub>Ma</sub>	49.58	73.93	-9.55	74.55	353
N <sub>Ma</sub>	18.89	0.0	0.0	0.0	0
W <sub>Ma</sub>	96.9	0.0	0.0	0.0	0
R <sub>CIE</sub>	39.92	58.74	27.99	65.07	25
J <sub>CIE</sub>	81.26	-2.88	71.56	71.62	92
G <sub>CIE</sub>	52.23	-42.41	13.6	44.55	162
B <sub>CIE</sub>	30.57	1.41	-46.46	46.49	272

Daten für Maximalfarbe (Ma):

$LAB^*LAB^*_{Ma}$ : 56 -49 -7

$LAB^*LCH^*_{Ma}$ : 56 50 190

$lab^*rgb^*_{Ma}$ : 0.0 1.0 0.5

$lab^*olv^*_{Ma}$ : 0.0 1.0 0.44

Dreiecks-Helligkeit  $i^*$

%Umfang

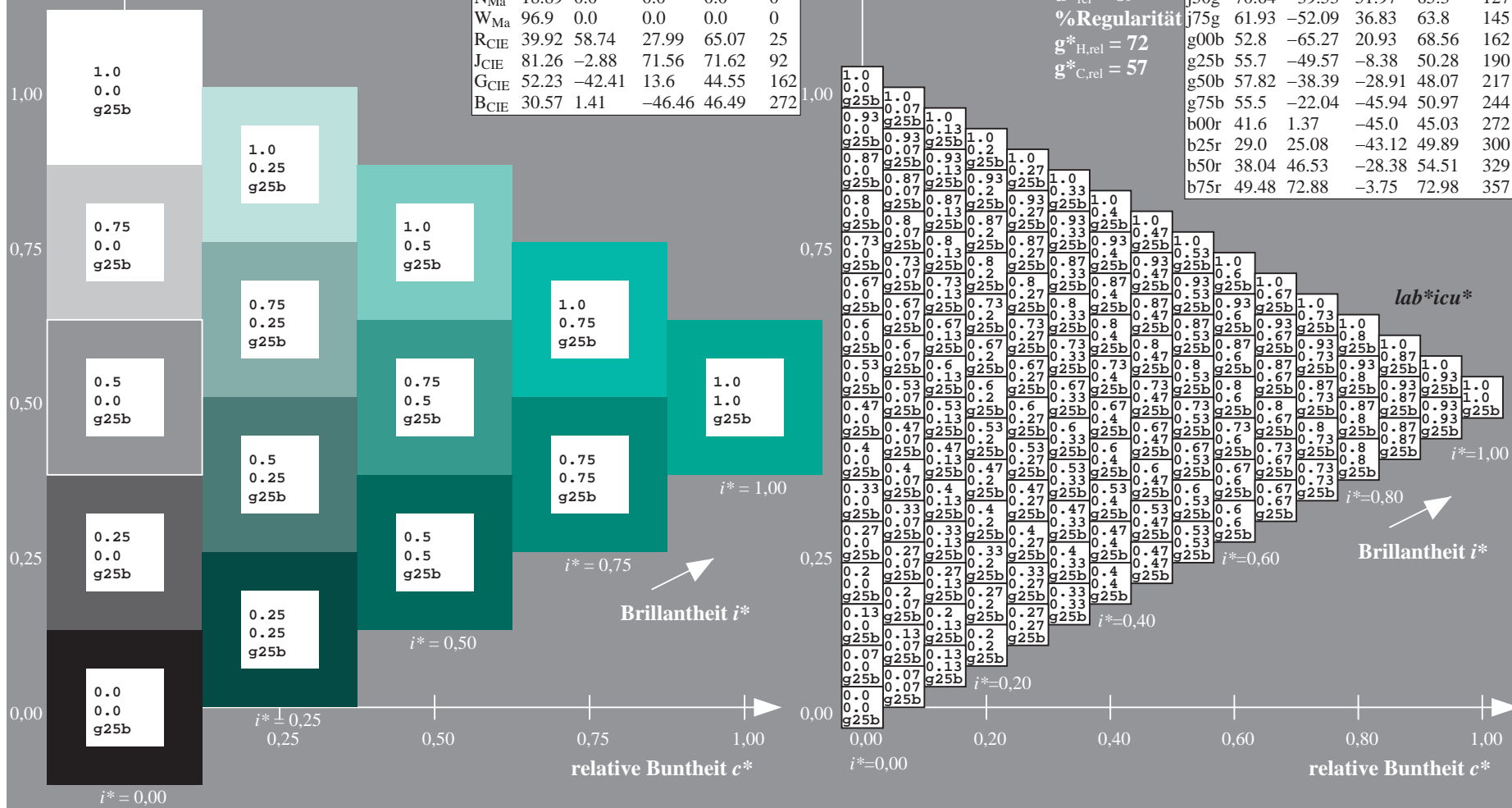
$u^*_{rel} = 89$

%Regularität

$g^*_{H,rel} = 72$

$g^*_{C,rel} = 57$

ORS19_96a; adaptierte CIELAB-Daten					
	$L^*=L^*_a$	$a^*_a$	$b^*_a$	$C^*_{ab,a}$	$h^*_{ab,a}$
r00j	48.88	66.47	31.67	73.63	25
r25j	55.85	52.39	47.48	70.7	42
r50j	65.45	35.22	58.37	68.17	59
r75j	75.19	17.82	69.41	71.66	76
j00g	87.03	-3.34	82.83	82.9	92
j25g	80.72	-25.0	69.5	73.86	110
j50g	70.64	-39.53	51.97	65.3	127
j75g	61.93	-52.09	36.83	63.8	145
g00b	52.8	-65.27	20.93	68.56	162
g25b	55.7	-49.57	-8.38	50.28	190
g50b	57.82	-38.39	-28.91	48.07	217
g75b	55.5	-22.04	-45.94	50.97	244
b00r	41.6	1.37	-45.0	45.03	272
b25r	29.0	25.08	-43.12	49.89	300
b50r	38.04	46.53	-28.38	54.51	329
b75r	49.48	72.88	-3.75	72.98	357





Ein und Ausgabe: Farbmetrisches Drucker-Reflektiv-System ORS19\_96a für relativen CIELAB-Buntton  $h^* = lab^*h^* = h_{ab}/360 = 217/360 = 0.603$   $u^* = g50b$   $lab^*icu^*$

Daten für jede Farbe:

$lab^*ch^*$  und  $lab^*icu^*$

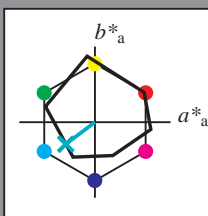
Elementar-Bunttontext:

$u^* = g50b$

Kontrastreduzierungsfaktor:

$c_R = 1.0$

Dreiecks-Helligkeit  $i^*$



ORS19_96a; adaptierte CIELAB-Daten					
	$L^*=L^*_a$	$a^*_a$	$b^*_a$	$C^*_{ab,a}$	$h^*_{ab,a}$
O <sub>Ma</sub>	48.75	65.07	39.43	76.08	31
Y <sub>Ma</sub>	90.92	-10.28	87.24	87.85	97
L <sub>Ma</sub>	52.69	-65.43	20.75	68.65	162
C <sub>Ma</sub>	59.61	-28.97	-46.21	54.56	238
V <sub>Ma</sub>	28.39	23.63	-44.12	50.06	298
M <sub>Ma</sub>	49.58	73.93	-9.55	74.55	353
N <sub>Ma</sub>	18.89	0.0	0.0	0.0	0
W <sub>Ma</sub>	96.9	0.0	0.0	0.0	0
R <sub>CIE</sub>	39.92	58.74	27.99	65.07	25
J <sub>CIE</sub>	81.26	-2.88	71.56	71.62	92
G <sub>CIE</sub>	52.23	-42.41	13.6	44.55	162
B <sub>CIE</sub>	30.57	1.41	-46.46	46.49	272

Daten für Maximalfarbe (Ma):

$LAB^*LAB^*_{Ma}$ : 58 -37 -28

$LAB^*LCH^*_{Ma}$ : 58 48 217

$lab^*rgb^*_{Ma}$ : 0.0 1.0 1.0

$lab^*olv^*_{Ma}$ : 0.0 1.0 0.74

Dreiecks-Helligkeit  $i^*$

%Umfang

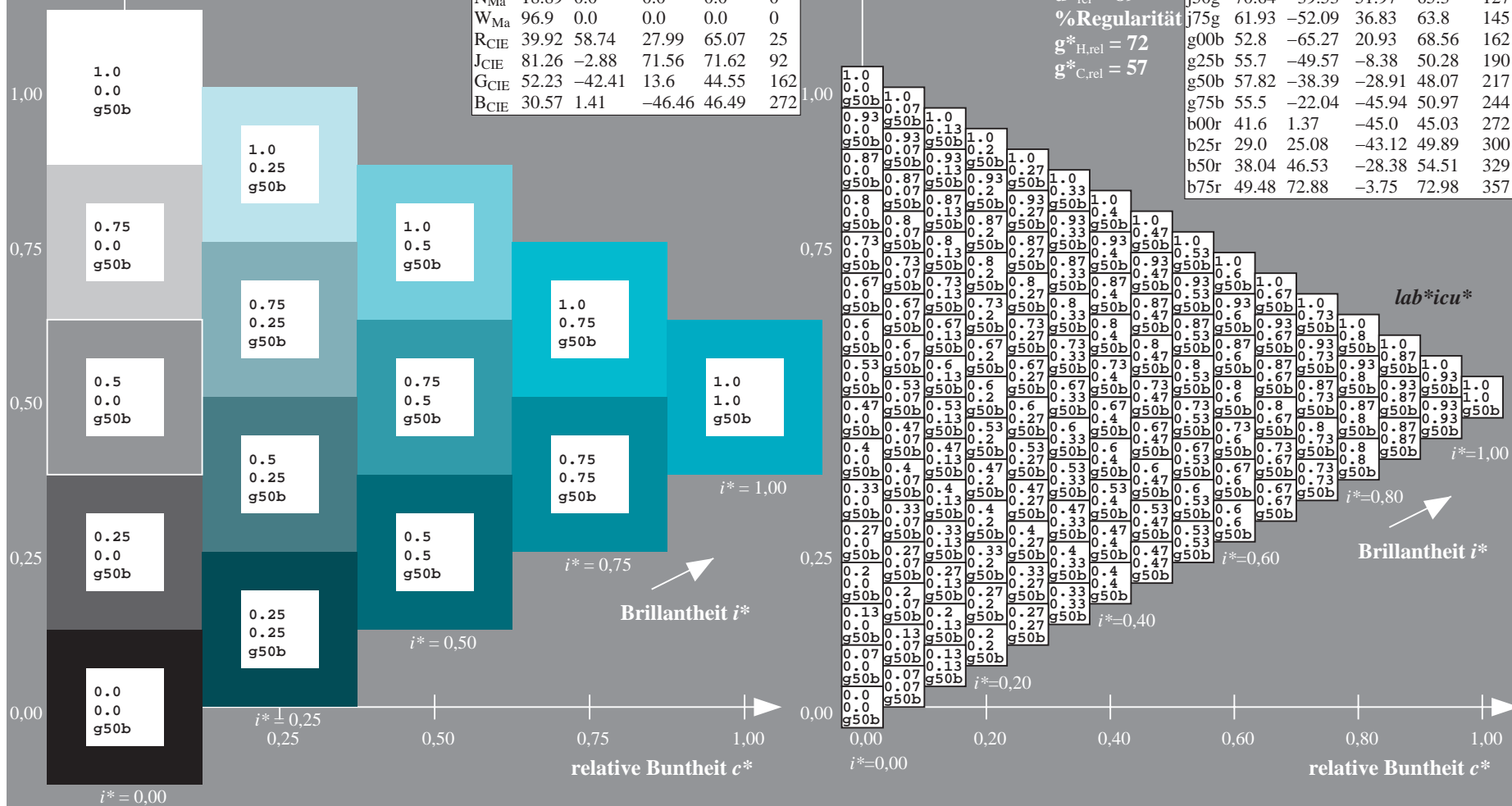
$u^*_{rel} = 89$

%Regularität

$g^*_{H,rel} = 72$

$g^*_{C,rel} = 57$

ORS19_96a; adaptierte CIELAB-Daten					
	$L^*=L^*_a$	$a^*_a$	$b^*_a$	$C^*_{ab,a}$	$h^*_{ab,a}$
r00j	48.88	66.47	31.67	73.63	25
r25j	55.85	52.39	47.48	70.7	42
r50j	65.45	35.22	58.37	68.17	59
r75j	75.19	17.82	69.41	71.66	76
j00g	87.03	-3.34	82.83	82.9	92
j25g	80.72	-25.0	69.5	73.86	110
j50g	70.64	-39.53	51.97	65.3	127
j75g	61.93	-52.09	36.83	63.8	145
g00b	52.8	-65.27	20.93	68.56	162
g25b	55.7	-49.57	-8.38	50.28	190
g50b	57.82	-38.39	-28.91	48.07	217
g75b	55.5	-22.04	-45.94	50.97	244
b00r	41.6	1.37	-45.0	45.03	272
b25r	29.0	25.08	-43.12	49.89	300
b50r	38.04	46.53	-28.38	54.51	329
b75r	49.48	72.88	-3.75	72.98	357



Ein und Ausgabe: Farbmetrisches Drucker-Reflektiv-System ORS19\_96a für relativen CIELAB-Buntton  $h^* = lab^*h^* = h_{ab}/360 = 244/360 = 0.679$   $u^* = g75b$   $lab^*icu^*$

Daten für jede Farbe:

$lab^*ch^*$  und  $lab^*icu^*$

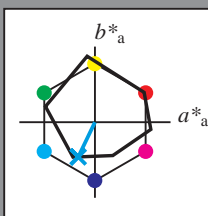
Elementar-Bunttontext:

$u^* = g75b$

Kontrastreduzierungsfaktor:

$c_R = 1.0$

Dreiecks-Helligkeit  $t^*$



ORS19_96a; adaptierte CIELAB-Daten					
	$L^*=L^*_a$	$a^*_a$	$b^*_a$	$C^*_{ab,a}$	$h^*_{ab,a}$
O <sub>Ma</sub>	48.75	65.07	39.43	76.08	31
Y <sub>Ma</sub>	90.92	-10.28	87.24	87.85	97
L <sub>Ma</sub>	52.69	-65.43	20.75	68.65	162
C <sub>Ma</sub>	59.61	-28.97	-46.21	54.56	238
V <sub>Ma</sub>	28.39	23.63	-44.12	50.06	298
M <sub>Ma</sub>	49.58	73.93	-9.55	74.55	353
N <sub>Ma</sub>	18.89	0.0	0.0	0.0	0
W <sub>Ma</sub>	96.9	0.0	0.0	0.0	0
R <sub>CIE</sub>	39.92	58.74	27.99	65.07	25
J <sub>CIE</sub>	81.26	-2.88	71.56	71.62	92
G <sub>CIE</sub>	52.23	-42.41	13.6	44.55	162
B <sub>CIE</sub>	30.57	1.41	-46.46	46.49	272

Daten für Maximalfarbe (Ma):

$LAB^*LAB^*_{Ma}$ : 55 -21 -45

$LAB^*LCH^*_{Ma}$ : 55 51 244

$lab^*rgb^*_{Ma}$ : 0.0 0.5 1.0

$lab^*olv^*_{Ma}$ : 0.0 0.87 1.0

Dreiecks-Helligkeit  $t^*$

%Umfang

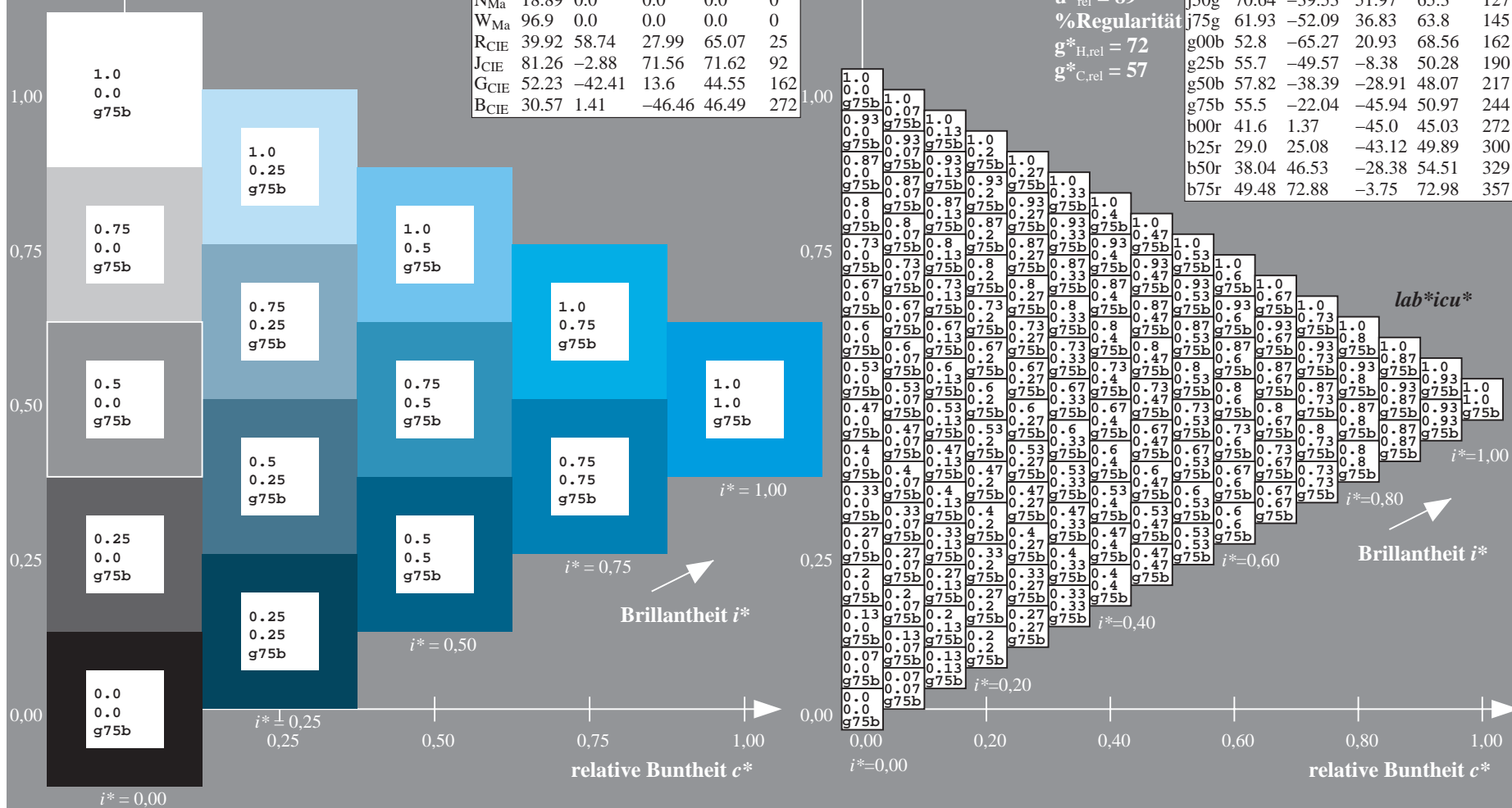
$u^*_{rel} = 89$


%Regularität

$g^*_{H,rel} = 72$

$g^*_{C,rel} = 57$

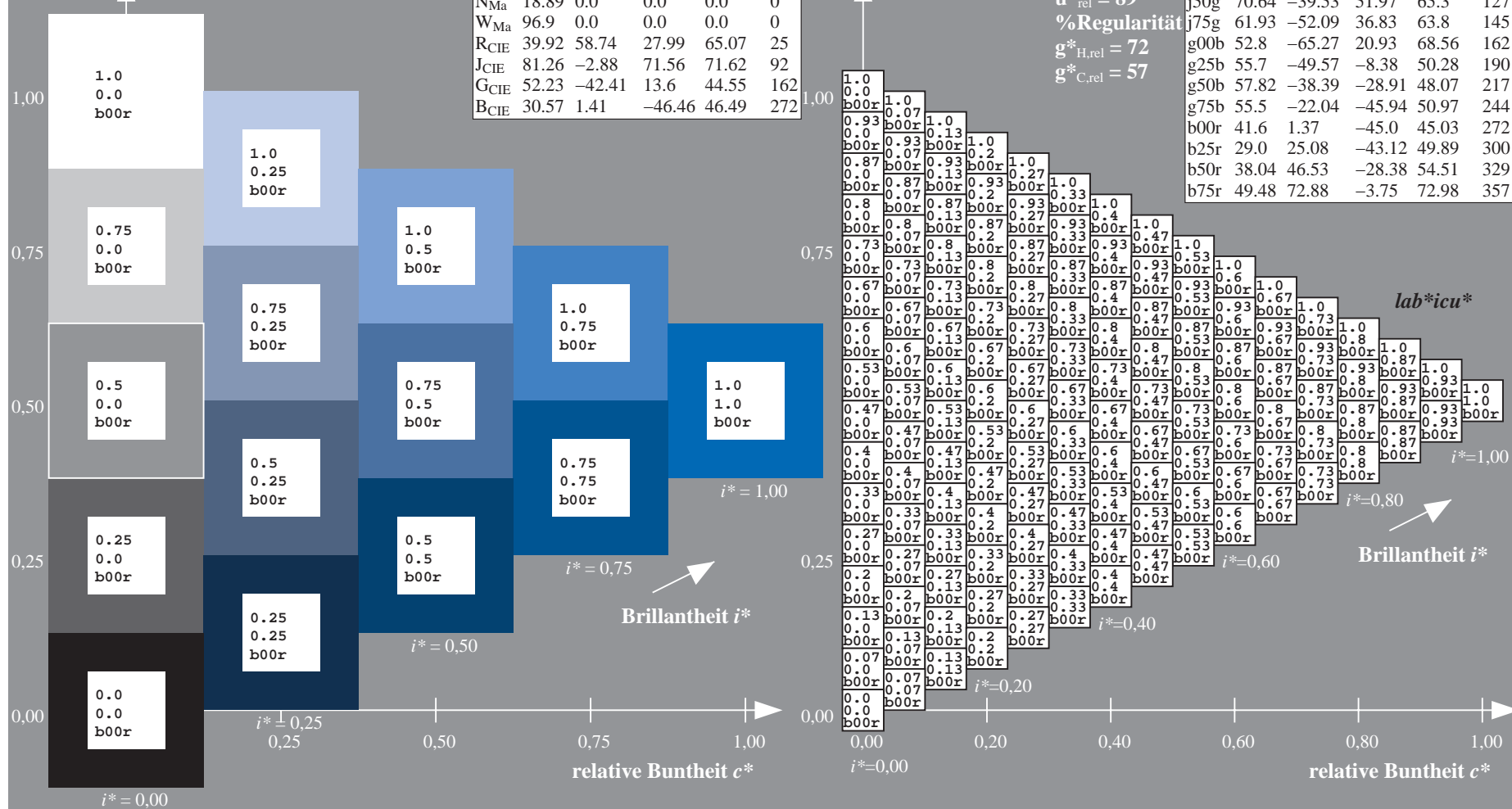
ORS19_96a; adaptierte CIELAB-Daten					
	$L^*=L^*_a$	$a^*_a$	$b^*_a$	$C^*_{ab,a}$	$h^*_{ab,a}$
r00j	48.88	66.47	31.67	73.63	25
r25j	55.85	52.39	47.48	70.7	42
r50j	65.45	35.22	58.37	68.17	59
r75j	75.19	17.82	69.41	71.66	76
j00g	87.03	-3.34	82.83	82.9	92
j25g	80.72	-25.0	69.5	73.86	110
j50g	70.64	-39.53	51.97	65.3	127
j75g	61.93	-52.09	36.83	63.8	145
g00b	52.8	-65.27	20.93	68.56	162
g25b	55.7	-49.57	-8.38	50.28	190
g50b	57.82	-38.39	-28.91	48.07	217
g75b	55.5	-22.04	-45.94	50.97	244
b00r	41.6	1.37	-45.0	45.03	272
b25r	29.0	25.08	-43.12	49.89	300
b50r	38.04	46.53	-28.38	54.51	329
b75r	49.48	72.88	-3.75	72.98	357



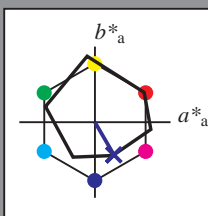
Ein und Ausgabe: Farbmétrisches Drucker-Reflektiv-System ORS19_96a für relativen CIELAB-Buntton $h^* = \text{lab}^*h^* = h_{ab}/360 = 272/360 = 0.755$		
Daten für jede Farbe:		
$\text{lab}^*tch^*$ und $\text{lab}^*icu^*$		<b>ORS19_96a; adaptierte CIELAB-Daten</b> $L^*=L^*_a \quad a^*_a \quad b^*_a \quad C^*_{ab,a} \quad h^*_{ab,a}$
Elementar-Bunttontext:		
$u^* = b00r$		
Kontrastreduzierungsfaktor:		
$c_R = 1.0$		
Dreiecks-Helligkeit $t^*$		
		<b>ORS19_96a; adaptierte</b> $L^*=L^*_a \quad a^*_a \quad b^*_a$
		$\text{LAB}^*\text{LAB}^*_{\text{Ma}}: 42 \quad 1 \quad -44$ $\text{LAB}^*\text{LCH}^*_{\text{Ma}}: 42 \quad 45 \quad 272$ $\text{lab}^*\text{rgb}^*_{\text{Ma}}: 0.0 \quad 0.0 \quad 1.0$ $\text{lab}^*\text{olv}^*_{\text{Ma}}: 0.0 \quad 0.42 \quad 1.0$ Dreiecks-Helligkeit $t^*$

ORS19 96a; adaptierte CIELAB-Daten					
	$L^*_{\text{a}}$	$a^*_{\text{a}}$	$b^*_{\text{a}}$	$C^*_{\text{ab,a}}$	$h^*_{\text{ab,a}}$
O <sub>Ma</sub>	48.75	65.07	39.43	76.08	31
Y <sub>Ma</sub>	90.92	-10.28	87.24	87.85	97
L <sub>Ma</sub>	52.69	-65.43	20.75	68.65	162
C <sub>Ma</sub>	59.61	-28.97	-46.21	54.56	238
V <sub>Ma</sub>	28.39	23.63	-44.12	50.06	298
M <sub>Ma</sub>	49.58	73.93	-9.55	74.55	353
N <sub>Ma</sub>	18.89	0.0	0.0	0.0	0
W <sub>Ma</sub>	96.9	0.0	0.0	0.0	0
R <sub>CIE</sub>	39.92	58.74	27.99	65.07	25
J <sub>CIE</sub>	81.26	-2.88	71.56	71.62	92
G <sub>CIE</sub>	52.23	-42.41	13.6	44.55	162
B <sub>CIE</sub>	30.57	1.41	-46.46	46.49	272

ORS19 96a; adaptierte CIELAB-Daten					
	$L^*_a$	$a^*_a$	$b^*_a$	$C^*_{ab,a}$	$h^*_{ab,a}$
r00j	48.88	66.47	31.67	73.63	25
r25j	55.85	52.39	47.48	70.7	42
r50j	65.45	35.22	58.37	68.17	59
r75j	75.19	17.82	69.41	71.66	76
j00g	87.03	-3.34	82.83	82.9	92
j25g	80.72	-25.0	69.5	73.86	110
j50g	70.64	-39.53	51.97	65.3	127
j75g	61.93	-52.09	36.83	63.8	145
g00b	52.8	-65.27	20.93	68.56	162
g25b	55.7	-49.57	-8.38	50.28	190
g50b	57.82	-38.39	-28.91	48.07	217
g75b	55.5	-22.04	-45.94	50.97	244
b00r	41.6	1.37	-45.0	45.03	272
b25r	29.0	25.08	-43.12	49.89	300
b50r	38.04	46.53	-28.38	54.51	329
b75r	49.48	72.88	-3.75	72.98	357



Ein und Ausgabe: Farbmetrisches Drucker-Reflektiv-System ORS19\_96a für relativen CIELAB-Buntton  $h^* = lab^*h^* = h_{ab}/360 = 300/360 = 0.834$   $u^* = b25r$   
Daten für jede Farbe:  
 $lab^*ch^*$  und  $lab^*icu^*$   
Elementar-Bunttontext:  
 $u^* = b25r$   
Kontrastreduzierungsfaktor:  
 $c_R = 1.0$   
Dreiecks-Helligkeit  $t^*$



ORS19_96a; adaptierte CIELAB-Daten					
	$L^*=L^*_a$	$a^*_a$	$b^*_a$	$C^*_{ab,a}$	$h^*_{ab,a}$
O <sub>Ma</sub>	48.75	65.07	39.43	76.08	31
Y <sub>Ma</sub>	90.92	-10.28	87.24	87.85	97
L <sub>Ma</sub>	52.69	-65.43	20.75	68.65	162
C <sub>Ma</sub>	59.61	-28.97	-46.21	54.56	238
V <sub>Ma</sub>	28.39	23.63	-44.12	50.06	298
M <sub>Ma</sub>	49.58	73.93	-9.55	74.55	353
N <sub>Ma</sub>	18.89	0.0	0.0	0.0	0
W <sub>Ma</sub>	96.9	0.0	0.0	0.0	0
R <sub>CIE</sub>	39.92	58.74	27.99	65.07	25
J <sub>CIE</sub>	81.26	-2.88	71.56	71.62	92
G <sub>CIE</sub>	52.23	-42.41	13.6	44.55	162
B <sub>CIE</sub>	30.57	1.41	-46.46	46.49	272

Daten für Maximalfarbe (Ma):

$LAB^*LAB^*_{Ma}$ : 29 25 -42

$LAB^*LCH^*_{Ma}$ : 29 50 300

$lab^*rgb^*_{Ma}$ : 0.5 0.0 1.0

$lab^*olv^*_{Ma}$ : 0.03 0.0 1.0

Dreiecks-Helligkeit  $t^*$

%Umfang

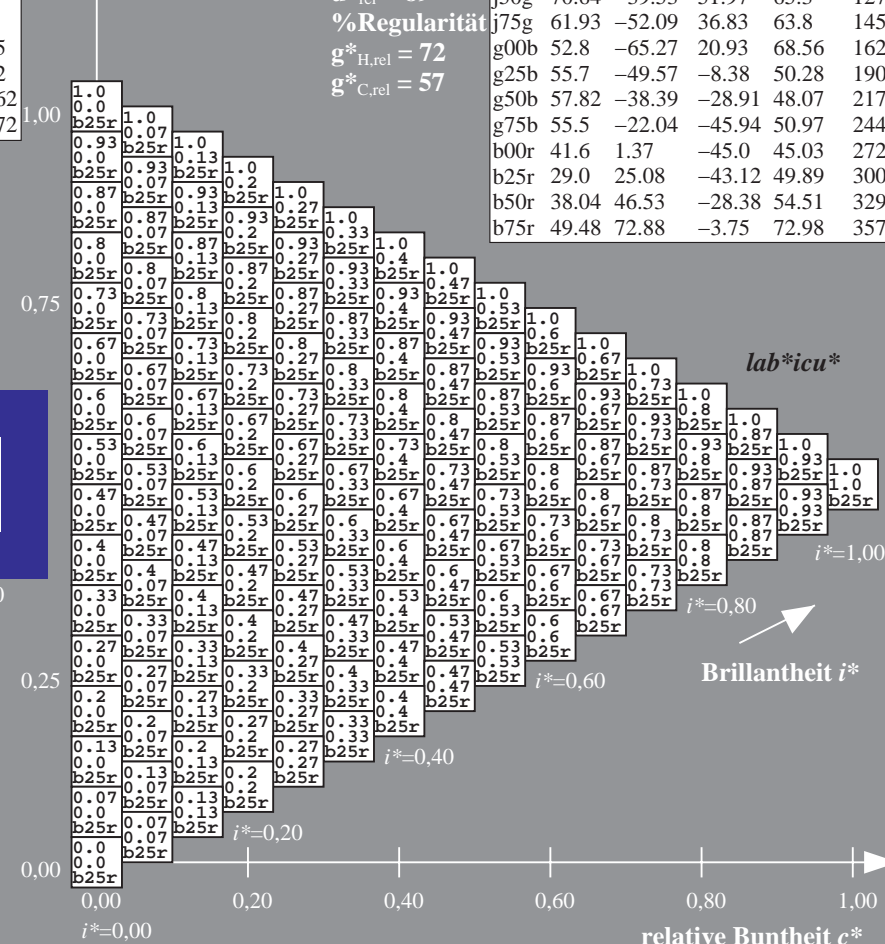
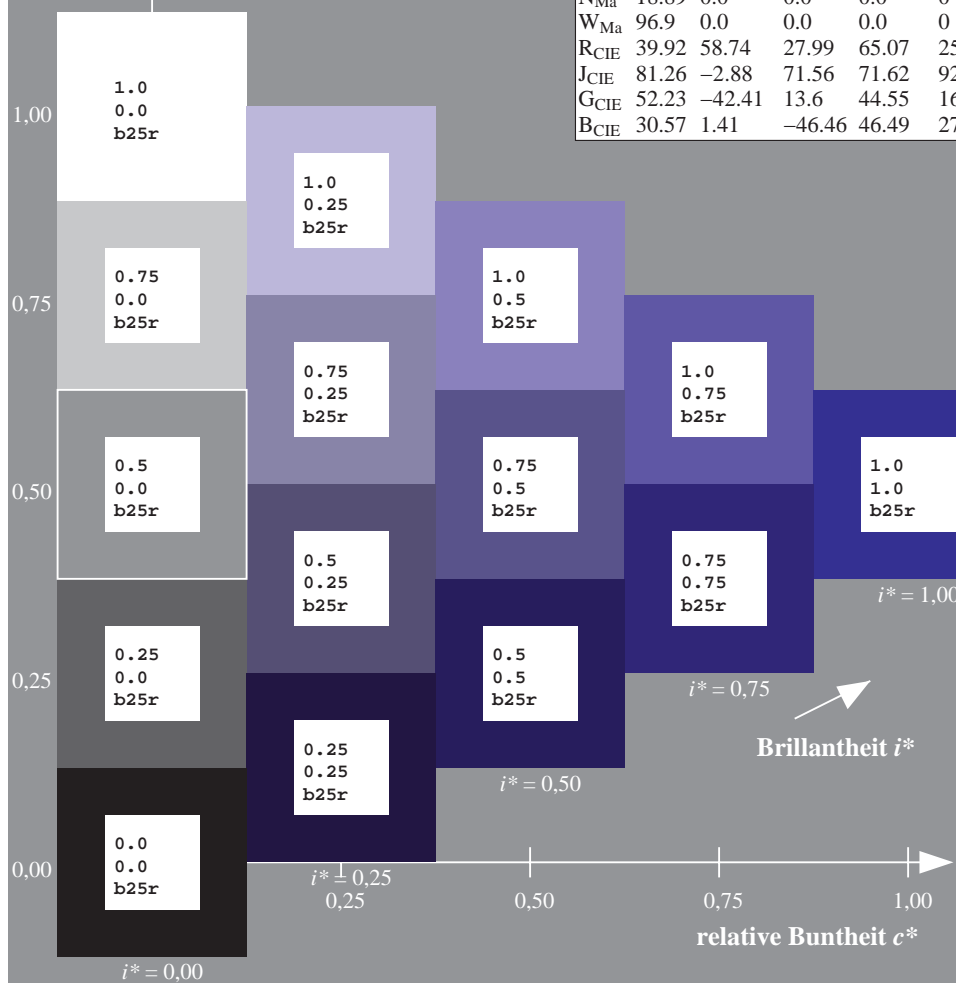
$u^*_{rel} = 89$

%Regularität

$g^*_{H,rel} = 72$

$g^*_{C,rel} = 57$

ORS19_96a; adaptierte CIELAB-Daten					
	$L^*=L^*_a$	$a^*_a$	$b^*_a$	$C^*_{ab,a}$	$h^*_{ab,a}$
r00j	48.88	66.47	31.67	73.63	25
r25j	55.85	52.39	47.48	70.7	42
r50j	65.45	35.22	58.37	68.17	59
r75j	75.19	17.82	69.41	71.66	76
j00g	87.03	-3.34	82.83	82.9	92
j25g	80.72	-25.0	69.5	73.86	110
j50g	70.64	-39.53	51.97	65.3	127
j75g	61.93	-52.09	36.83	63.8	145
g00b	52.8	-65.27	20.93	68.56	162
g25b	55.7	-49.57	-8.38	50.28	190
g50b	57.82	-38.39	-28.91	48.07	217
g75b	55.5	-22.04	-45.94	50.97	244
b00r	41.6	1.37	-45.0	45.03	272
b25r	29.0	25.08	-43.12	49.89	300
b50r	38.04	46.53	-28.38	54.51	329
b75r	49.48	72.88	-3.75	72.98	357

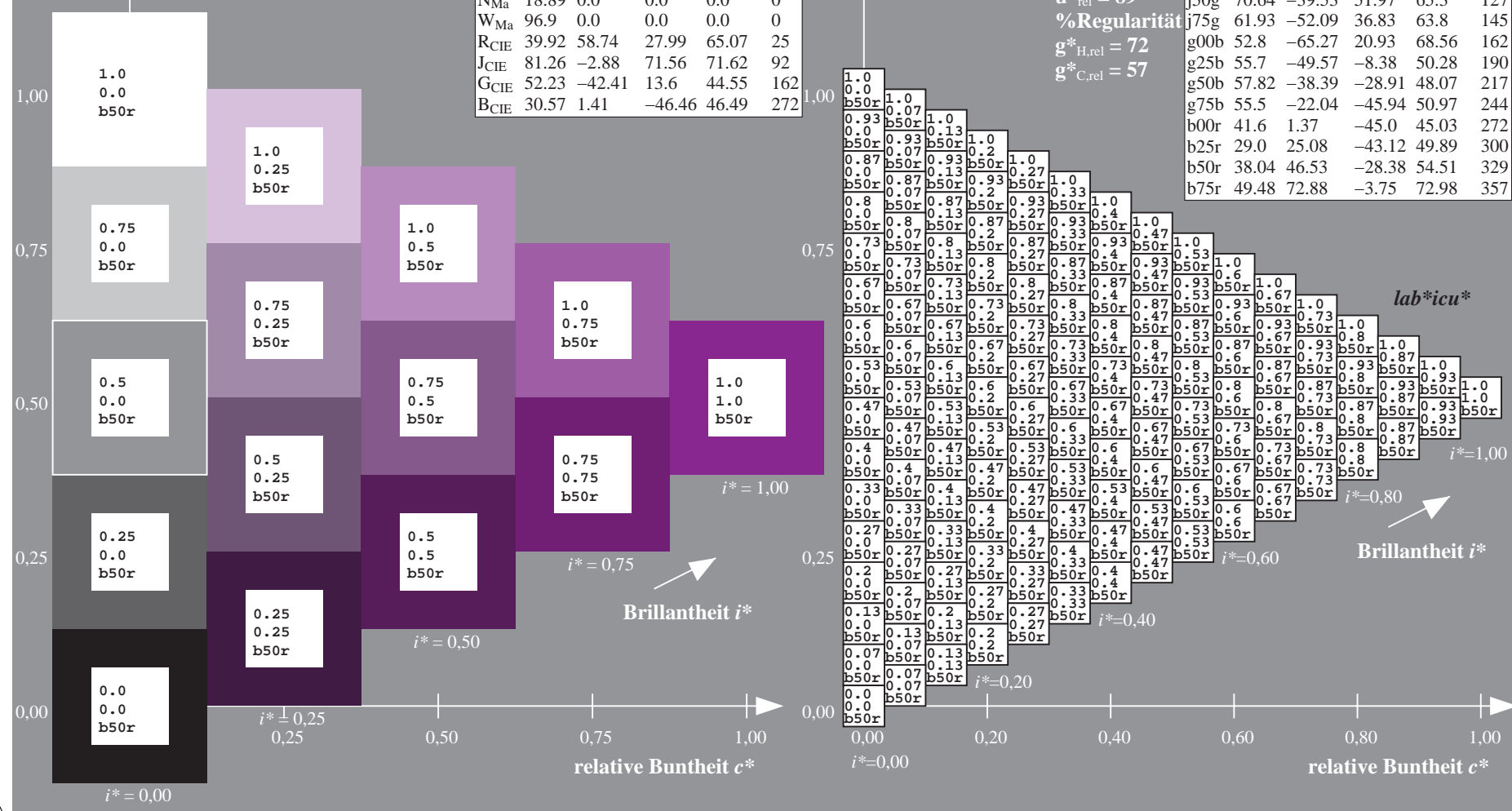




**Strengths**

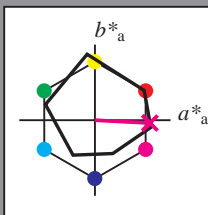


r00j	48.88	66.47	31.67	73.63	25
r25j	55.85	52.39	47.48	70.7	42
r50j	65.45	35.22	58.37	68.17	59
r75j	75.19	17.82	69.41	71.66	76
j00g	87.03	-3.34	82.83	82.9	92
j25g	80.72	-25.0	69.5	73.86	110
j50g	70.64	-39.53	51.97	65.3	127
j75g	61.93	-52.09	36.83	63.8	145
g00b	52.8	-65.27	20.93	68.56	162
g25b	55.7	-49.57	-8.38	50.28	190
g50b	57.82	-38.39	-28.91	48.07	217
g75b	55.5	-22.04	-45.94	50.97	244
b00r	41.6	1.37	-45.0	45.03	272
b25r	29.0	25.08	-43.12	49.89	300
b50r	38.04	46.53	-28.38	54.51	329
b75r	49.48	72.88	-3.75	72.98	357





Ein und Ausgabe: Farbmetrisches Drucker-Reflektiv-System ORS19\_96a für relativen CIELAB-Buntton  $h^* = lab^*h^* = h_{ab}/360 = 357/360 = 0.992$   $u^* = b75r$   
Daten für jede Farbe:  
 $lab^*ch^*$  und  $lab^*icu^*$   
Elementar-Bunttontext:  
 $u^* = b75r$   
Kontrastreduzierungsfaktor:  
 $c_R = 1.0$   
Dreiecks-Helligkeit  $t^*$



ORS19_96a; adaptierte CIELAB-Daten					
	$L^*=L^*_a$	$a^*_a$	$b^*_a$	$C^*_{ab,a}$	$h^*_{ab,a}$
O <sub>Ma</sub>	48.75	65.07	39.43	76.08	31
Y <sub>Ma</sub>	90.92	-10.28	87.24	87.85	97
L <sub>Ma</sub>	52.69	-65.43	20.75	68.65	162
C <sub>Ma</sub>	59.61	-28.97	-46.21	54.56	238
V <sub>Ma</sub>	28.39	23.63	-44.12	50.06	298
M <sub>Ma</sub>	49.58	73.93	-9.55	74.55	353
N <sub>Ma</sub>	18.89	0.0	0.0	0.0	0
W <sub>Ma</sub>	96.9	0.0	0.0	0.0	0
R <sub>CIE</sub>	39.92	58.74	27.99	65.07	25
J <sub>CIE</sub>	81.26	-2.88	71.56	71.62	92
G <sub>CIE</sub>	52.23	-42.41	13.6	44.55	162
B <sub>CIE</sub>	30.57	1.41	-46.46	46.49	272

Daten für Maximalfarbe (Ma):

$LAB^*LAB^*_{Ma}$ : 49 73 -3

$LAB^*LCH^*_{Ma}$ : 49 73 357

$lab^*rgb^*_{Ma}$ : 1.0 0.0 0.5

$lab^*olv^*_{Ma}$ : 1.0 0.0 0.88

Dreiecks-Helligkeit  $t^*$

%Umfang

$u^*_{rel} = 89$

%Regularität

$g^*_{H,rel} = 72$

$g^*_{C,rel} = 57$

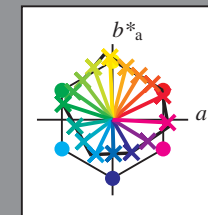
ORS19_96a; adaptierte CIELAB-Daten					
	$L^*=L^*_a$	$a^*_a$	$b^*_a$	$C^*_{ab,a}$	$h^*_{ab,a}$
r00j	48.88	66.47	31.67	73.63	25
r25j	55.85	52.39	47.48	70.7	42
r50j	65.45	35.22	58.37	68.17	59
r75j	75.19	17.82	69.41	71.66	76
j00g	87.03	-3.34	82.83	82.9	92
j25g	80.72	-25.0	69.5	73.86	110
j50g	70.64	-39.53	51.97	65.3	127
j75g	61.93	-52.09	36.83	63.8	145
g00b	52.8	-65.27	20.93	68.56	162
g25b	55.7	-49.57	-8.38	50.28	190
g50b	57.82	-38.39	-28.91	48.07	217
g75b	55.5	-22.04	-45.94	50.97	244
b00r	41.6	1.37	-45.0	45.03	272
b25r	29.0	25.08	-43.12	49.89	300
b50r	38.04	46.53	-28.38	54.51	329
b75r	49.48	72.88	-3.75	72.98	357

BAM-Registrierung: 20080701-Dg98/10L/L98G00NA.PS/.TXTBAM-Material: Code=rh4ta  
Anwendung für Beurteilung und Messung von Drucker- oder Monitorsystemen

BAM-Prüfvorlage Dg98; Farbmatrik-Systeme, Seite 126/180  
 Farbreihen, 8 Datentabellen für 16 Bunttöne *r00j* bis *b75r*  
 Eingabe: 000n / w / nnn0 / www set...  
 Ausgabe: ->cmyn5\* setcmkcolor

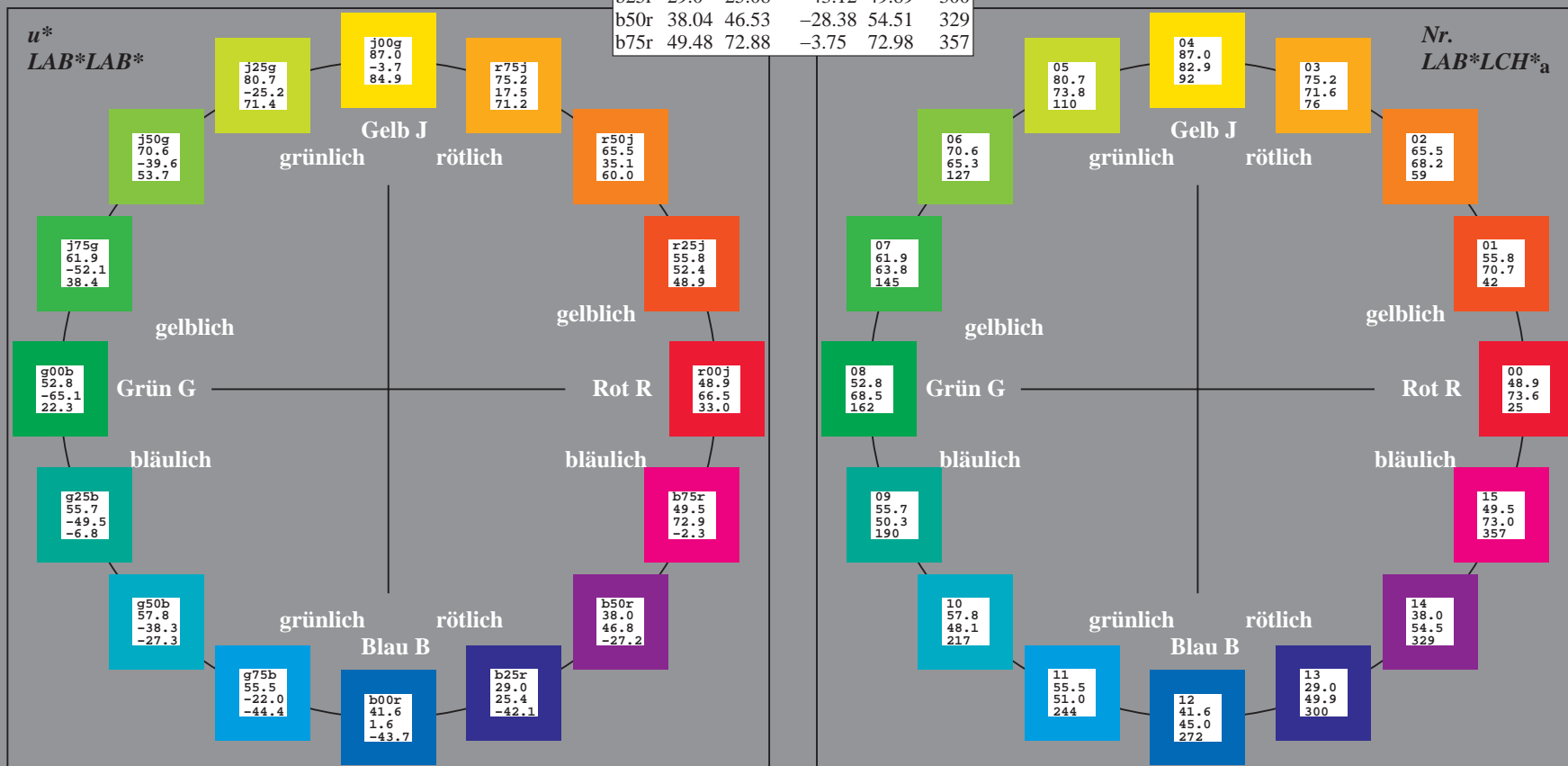
Ein und Ausgabe:  
Farbmetrisches Drucker-Reflektiv-System ORS19\_96a  
Daten für jede Farbe:  
*lab\*<sub>tch</sub>\** und *lab\*<sub>icu</sub>\**  
Elementar-Bunttontext:  
*u\** = 16 Buntttöne *r00j*, *r25j*, ..., *b75r*  
Kontrastreduzierungsfaktor:  
 $c_R = 1.0$

ORS19_96a; adaptierte CIELAB-Daten					
	$L^*=L^*_a$	$a^*_a$	$b^*_a$	$C^*_{ab,a}$	$h^*_{ab,a}$
r00j	48.88	66.47	31.67	73.63	25
r25j	55.85	52.39	47.48	70.7	42
r50j	65.45	35.22	58.37	68.17	59
r75j	75.19	17.82	69.41	71.66	76
j00g	87.03	-3.34	82.83	82.9	92
j25g	80.72	-25.0	69.5	73.86	110
j50g	70.64	-39.53	51.97	65.3	127
j75g	61.93	-52.09	36.83	63.8	145
g00b	52.8	-65.27	20.93	68.56	162
g25b	55.7	-49.57	-8.38	50.28	190
g50b	57.82	-38.39	-28.91	48.07	217
g75b	55.5	-22.04	-45.94	50.97	244
b00r	41.6	1.37	-45.0	45.03	272
b25r	29.0	25.08	-43.12	49.89	300
b50r	38.04	46.53	-28.38	54.51	329
b75r	49.48	72.88	-3.75	72.98	357



%Umfang  
 $u^*_{rel} = 89$   
%Regularität  
 $g^*_{H,rel} = 72$   
 $g^*_{C,rel} = 57$

ORS19_96; CIELAB-Daten					
	$L^*=L^*_a$	$a^*_a$	$b^*_a$	$C^*_{ab}$	$h^*_{ab}$
O <sub>M</sub>	48.75	65.16	40.76	76.86	32
Y <sub>M</sub>	90.92	-10.77	89.36	90.01	97
L <sub>M</sub>	52.69	-65.39	22.15	69.05	161
C <sub>M</sub>	59.61	-29.03	-44.68	53.3	237
V <sub>M</sub>	28.39	24.0	-43.17	49.4	299
M <sub>M</sub>	49.58	74.01	-8.21	74.47	354
N <sub>M</sub>	18.89	0.5	0.77	0.92	57
W <sub>M</sub>	96.9	-0.56	2.23	2.3	104
R <sub>CIE</sub>	39.92	58.74	27.99	65.07	25
J <sub>CIE</sub>	81.26	-2.88	71.56	71.62	92
G <sub>CIE</sub>	52.23	-42.41	13.6	44.55	162
B <sub>CIE</sub>	30.57	1.41	-46.46	46.49	272



Ein und Ausgabe: Farbmetrisches Drucker-Reflektiv-System ORS19\_96a für relativen CIELAB-Buntton  $h^* = lab^*h^* = h_{ab}/360 = 25/360 = 0.071$

Daten für jede Farbe:

$lab^*ch^*$  und  $lab^*icu^*$

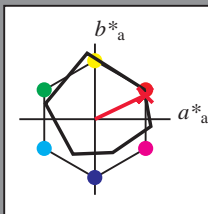
Elementar-Bunttontext:

$u^* = r00j$

Kontrastreduzierungsfaktor:

$c_R = 1.0$

Dreiecks-Helligkeit  $i^*$



ORS19_96; CIELAB-Daten					
	$L^*=L^*$	$a^*$	$b^*$	$C^*_{ab}$	$h^*_{ab}$
O <sub>M</sub>	48.75	65.16	40.76	76.86	32
Y <sub>M</sub>	90.92	-10.77	89.36	90.01	97
L <sub>M</sub>	52.69	-65.39	22.15	69.05	161
C <sub>M</sub>	59.61	-29.03	-44.68	53.3	237
V <sub>M</sub>	28.39	24.0	-43.17	49.4	299
M <sub>M</sub>	49.58	74.01	-8.21	74.47	354
N <sub>M</sub>	18.89	0.5	0.77	0.92	57
W <sub>M</sub>	96.9	-0.56	2.23	2.3	104
R <sub>CIE</sub>	39.92	58.74	27.99	65.07	25
J <sub>CIE</sub>	81.26	-2.88	71.56	71.62	92
G <sub>CIE</sub>	52.23	-42.41	13.6	44.55	162
B <sub>CIE</sub>	30.57	1.41	-46.46	46.49	272

Daten für Maximalfarbe (Ma):

$LAB^*LAB^*_{Ma}$ : 49 66 32

$LAB^*LCH^*_{Ma}$ : 49 74 25

$lab^*rgb^*_{Ma}$ : 1.0 0.0 0.0

$lab^*olv^*_{Ma}$ : 1.0 0.0 0.16

Dreiecks-Helligkeit  $i^*$

%Umfang

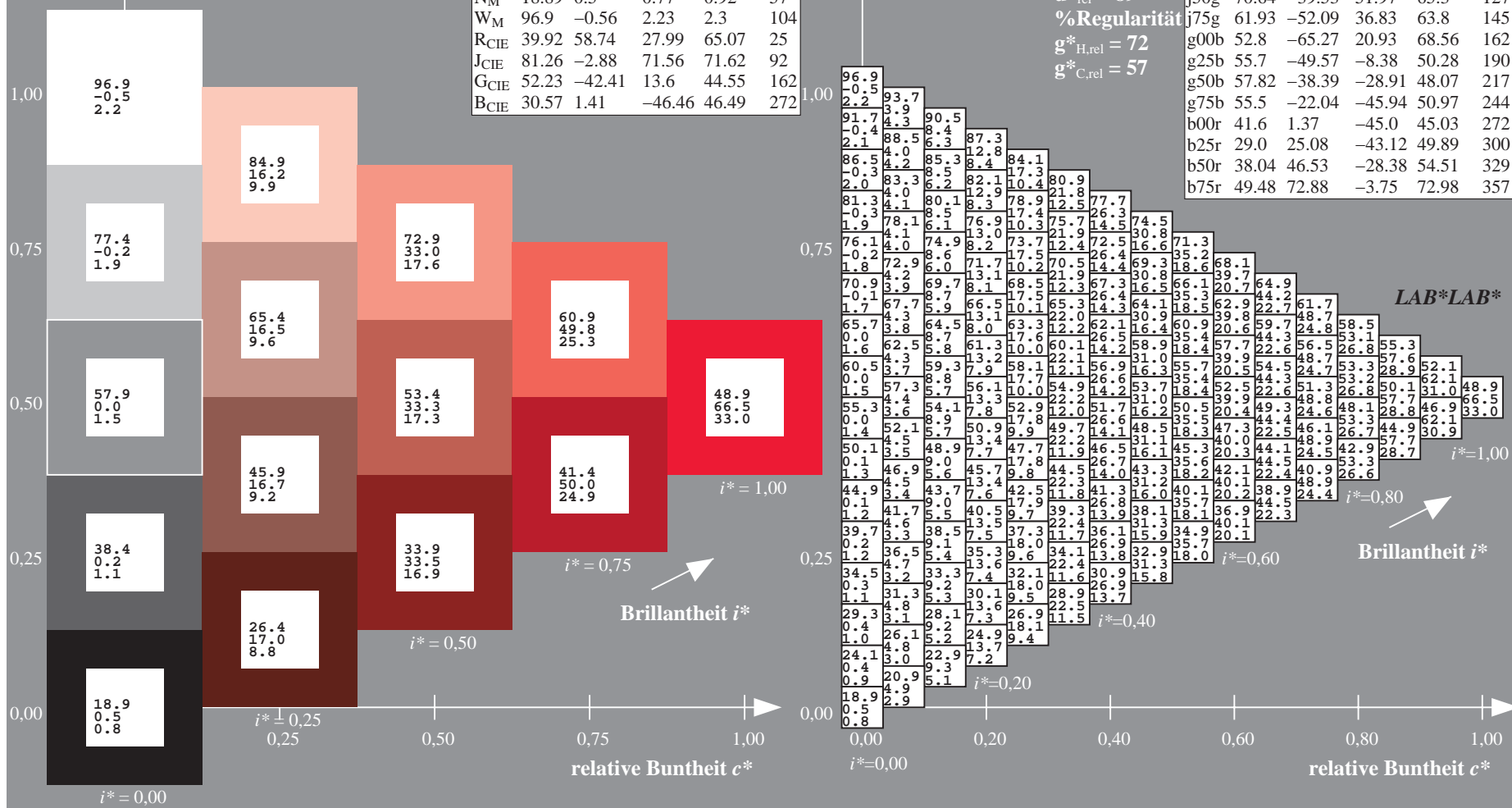
$u^*_{rel} = 89$

%Regularität

$g^*_{H,rel} = 72$

$g^*_{C,rel} = 57$

ORS19_96a; adaptierte CIELAB-Daten					
	$L^*=L^*_a$	$a^*_a$	$b^*_a$	$C^*_{ab,a}$	$h^*_{ab,a}$
r00j	48.88	66.47	31.67	73.63	25
r25j	55.85	52.39	47.48	70.7	42
r50j	65.45	35.22	58.37	68.17	59
r75j	75.19	17.82	69.41	71.66	76
j00g	87.03	-3.34	82.83	82.9	92
j25g	80.72	-25.0	69.5	73.86	110
j50g	70.64	-39.53	51.97	65.3	127
j75g	61.93	-52.09	36.83	63.8	145
g00b	52.8	-65.27	20.93	68.56	162
g25b	55.7	-49.57	-8.38	50.28	190
g50b	57.82	-38.39	-28.91	48.07	217
g75b	55.5	-22.04	-45.94	50.97	244
b00r	41.6	1.37	-45.0	45.03	272
b25r	29.0	25.08	-43.12	49.89	300
b50r	38.04	46.53	-28.38	54.51	329
b75r	49.48	72.88	-3.75	72.98	357





Ein und Ausgabe: Farbmimetrisches Drucker-Reflektiv-System ORS19\_96a für relativen CIELAB-Buntton  $h^* = \text{lab}^*h^* = h_{ab}/360 = 42/360 = 0.117$   $u^* = r25j$

Daten für jede Farbe:

$\text{lab}^*tch^*$  und  $\text{lab}^*icu^*$

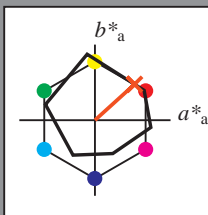
Elementar-Bunttontext:

$u^* = r25j$

Kontrastreduzierungsfaktor:

$c_R = 1.0$

Dreiecks-Helligkeit  $t^*$



ORS19_96; CIELAB-Daten					
	$L^*=L^*$	$a^*$	$b^*$	$C^*_{ab}$	$h^*_{ab}$
O <sub>M</sub>	48.75	65.16	40.76	76.86	32
Y <sub>M</sub>	90.92	-10.77	89.36	90.01	97
L <sub>M</sub>	52.69	-65.39	22.15	69.05	161
C <sub>M</sub>	59.61	-29.03	-44.68	53.3	237
V <sub>M</sub>	28.39	24.0	-43.17	49.4	299
M <sub>M</sub>	49.58	74.01	-8.21	74.47	354
N <sub>M</sub>	18.89	0.5	0.77	0.92	57
W <sub>M</sub>	96.9	-0.56	2.23	2.3	104
R <sub>CIE</sub>	39.92	58.74	27.99	65.07	25
J <sub>CIE</sub>	81.26	-2.88	71.56	71.62	92
G <sub>CIE</sub>	52.23	-42.41	13.6	44.55	162
B <sub>CIE</sub>	30.57	1.41	-46.46	46.49	272

Daten für Maximalfarbe (Ma):

$\text{LAB}^*\text{LAB}^*_{\text{Ma}}$ : 56 52 47

$\text{LAB}^*\text{LCH}^*_{\text{Ma}}$ : 56 71 42

$\text{lab}^*\text{rgb}^*_{\text{Ma}}$ : 1.0 0.25 0.0

$\text{lab}^*\text{olv}^*_{\text{Ma}}$ : 1.0 0.17 0.0

Dreiecks-Helligkeit  $t^*$

%Umfang

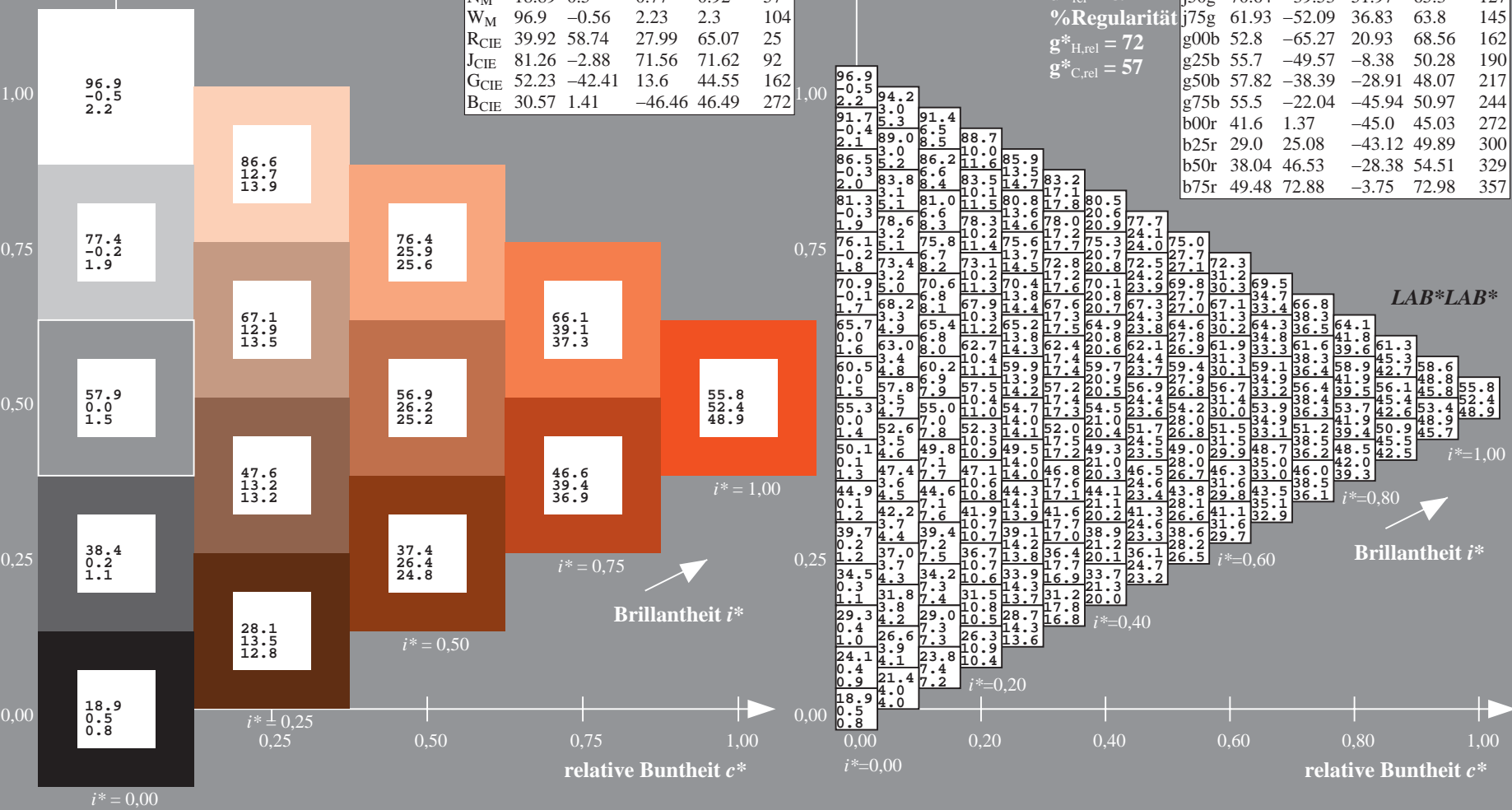
$u^*_{\text{rel}} = 89$

%Regularität

$g^*_{H,\text{rel}} = 72$

$g^*_{C,\text{rel}} = 57$

ORS19_96a; adaptierte CIELAB-Daten					
	$L^*=L^*_a$	$a^*_a$	$b^*_a$	$C^*_{ab,a}$	$h^*_{ab,a}$
r00j	48.88	66.47	31.67	73.63	25
r25j	55.85	52.39	47.48	70.7	42
r50j	65.45	35.22	58.37	68.17	59
r75j	75.19	17.82	69.41	71.66	76
j00g	87.03	-3.34	82.83	82.9	92
j25g	80.72	-25.0	69.5	73.86	110
j50g	70.64	-39.53	51.97	65.3	127
j75g	61.93	-52.09	36.83	63.8	145
g00b	52.8	-65.27	20.93	68.56	162
g25b	55.7	-49.57	-8.38	50.28	190
g50b	57.82	-38.39	-28.91	48.07	217
g75b	55.5	-22.04	-45.94	50.97	244
b00r	41.6	1.37	-45.0	45.03	272
b25r	29.0	25.08	-43.12	49.89	300
b50r	38.04	46.53	-28.38	54.51	329
b75r	49.48	72.88	-3.75	72.98	357





Ein und Ausgabe: Farbmetrisches Drucker-Reflektiv-System ORS19\_96a für relativen CIELAB-Buntton  $h^* = lab^*h^* = h_{ab}/360 = 59/360 = 0.164$   $u^* = r50j$

Daten für jede Farbe:

$lab^*ch^*$  und  $lab^*icu^*$

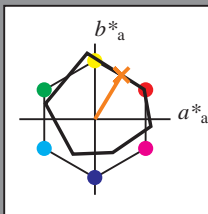
Elementar-Bunttontext:

$u^* = r50j$

Kontrastreduzierungsfaktor:

$c_R = 1.0$

Dreiecks-Helligkeit  $i^*$



ORS19_96; CIELAB-Daten					
	$L^*=L^*$	$a^*$	$b^*$	$C^*_{ab}$	$h^*_{ab}$
O <sub>M</sub>	48.75	65.16	40.76	76.86	32
Y <sub>M</sub>	90.92	-10.77	89.36	90.01	97
L <sub>M</sub>	52.69	-65.39	22.15	69.05	161
C <sub>M</sub>	59.61	-29.03	-44.68	53.3	237
V <sub>M</sub>	28.39	24.0	-43.17	49.4	299
M <sub>M</sub>	49.58	74.01	-8.21	74.47	354
N <sub>M</sub>	18.89	0.5	0.77	0.92	57
W <sub>M</sub>	96.9	-0.56	2.23	2.3	104
R <sub>CIE</sub>	39.92	58.74	27.99	65.07	25
J <sub>CIE</sub>	81.26	-2.88	71.56	71.62	92
G <sub>CIE</sub>	52.23	-42.41	13.6	44.55	162
B <sub>CIE</sub>	30.57	1.41	-46.46	46.49	272

Daten für Maximalfarbe (Ma):

$LAB^*LAB^*Ma$ : 65 35 58

$LAB^*LCH^*Ma$ : 65 68 59

$lab^*rgb^*Ma$ : 1.0 0.5 0.0

$lab^*olv^*Ma$ : 1.0 0.4 0.0

Dreiecks-Helligkeit  $i^*$

%Umfang

$u^*_{rel} = 89$

%Regularität

$g^*_{H,rel} = 72$

$g^*_{C,rel} = 57$

ORS19_96a; adaptierte CIELAB-Daten					
	$L^*=L^*$	$a^*_a$	$b^*_a$	$C^*_{ab,a}$	$h^*_{ab,a}$
r00j	48.88	66.47	31.67	73.63	25
r25j	55.85	52.39	47.48	70.7	42
r50j	65.45	35.22	58.37	68.17	59
r75j	75.19	17.82	69.41	71.66	76
j00g	87.03	-3.34	82.83	82.9	92
j25g	80.72	-25.0	69.5	73.86	110
j50g	70.64	-39.53	51.97	65.3	127
j75g	61.93	-52.09	36.83	63.8	145
g00b	52.8	-65.27	20.93	68.56	162
g25b	55.7	-49.57	-8.38	50.28	190
g50b	57.82	-38.39	-28.91	48.07	217
g75b	55.5	-22.04	-45.94	50.97	244
b00r	41.6	1.37	-45.0	45.03	272
b25r	29.0	25.08	-43.12	49.89	300
b50r	38.04	46.53	-28.38	54.51	329
b75r	49.48	72.88	-3.75	72.98	357

$LAB^*LAB^*$

$i^*=1.00$

Brillantheit  $i^*$

$i^*=0.80$

$i^*=0.60$

$i^*=0.40$

$i^*=0.20$

$i^*=0.00$

Ein und Ausgabe: Farbmimetrisches Drucker-Reflektiv-System ORS19\_96a für relativen CIELAB-Buntton  $h^* = lab^*h^* = h_{ab}/360 = 76/360 = 0.21$

Daten für jede Farbe:

$lab^*tch^*$  und  $lab^*icu^*$

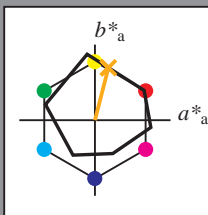
Elementar-Bunttonext:

$u^* = r75j$

Kontrastreduzierungsfaktor:

$c_R = 1.0$

Dreiecks-Helligkeit  $t^*$



ORS19_96; CIELAB-Daten					
	$L^*=L^*$	$a^*$	$b^*$	$C^*_{ab}$	$h^*_{ab}$
O <sub>M</sub>	48.75	65.16	40.76	76.86	32
Y <sub>M</sub>	90.92	-10.77	89.36	90.01	97
L <sub>M</sub>	52.69	-65.39	22.15	69.05	161
C <sub>M</sub>	59.61	-29.03	-44.68	53.3	237
V <sub>M</sub>	28.39	24.0	-43.17	49.4	299
M <sub>M</sub>	49.58	74.01	-8.21	74.47	354
N <sub>M</sub>	18.89	0.5	0.77	0.92	57
W <sub>M</sub>	96.9	-0.56	2.23	2.3	104
R <sub>CIE</sub>	39.92	58.74	27.99	65.07	25
J <sub>CIE</sub>	81.26	-2.88	71.56	71.62	92
G <sub>CIE</sub>	52.23	-42.41	13.6	44.55	162
B <sub>CIE</sub>	30.57	1.41	-46.46	46.49	272

Daten für Maximalfarbe (Ma):

$LAB^*LAB^*_{Ma}$ : 75 18 69

$LAB^*LCH^*_{Ma}$ : 75 72 76

$lab^*rgb^*_{Ma}$ : 1.0 0.75 0.0

$lab^*olv^*_{Ma}$ : 1.0 0.63 0.0

Dreiecks-Helligkeit  $t^*$

%Umfang

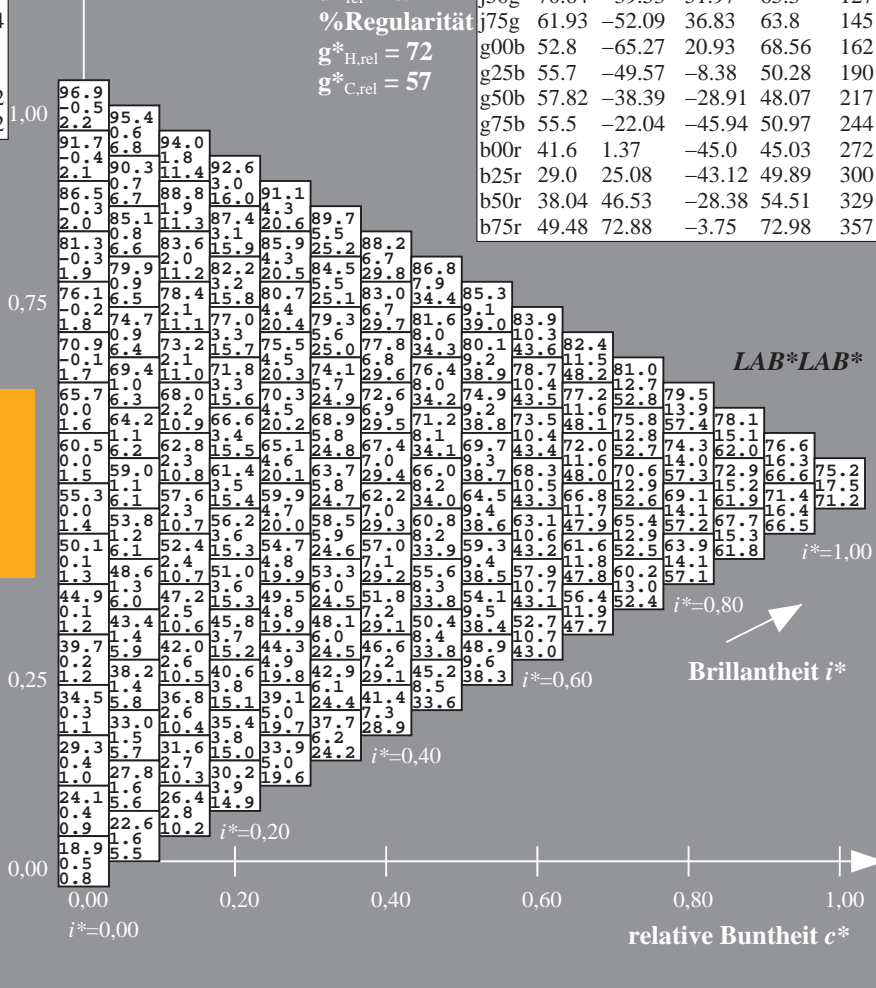
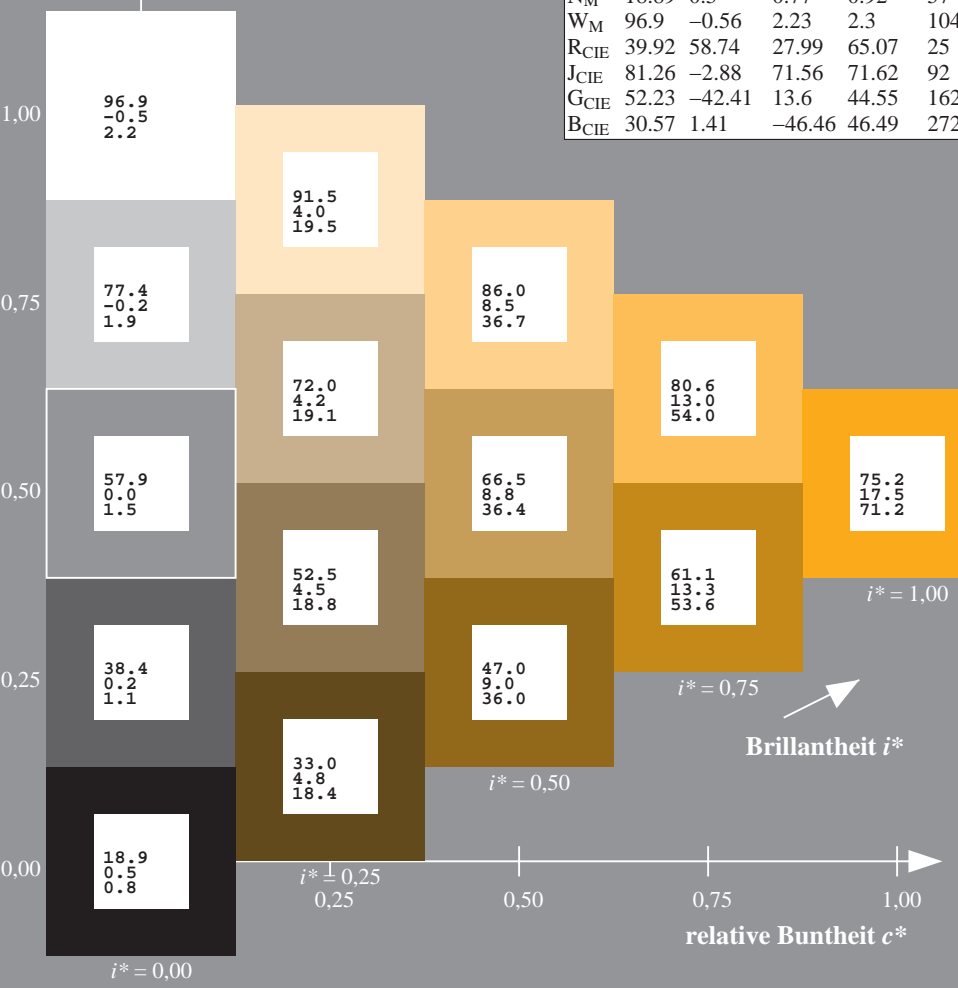
$u^*_{rel} = 89$

%Regularität

$g^*_{H,rel} = 72$

$g^*_{C,rel} = 57$

ORS19_96a; adaptierte CIELAB-Daten					
	$L^*=L^*$	$a^*_a$	$b^*_a$	$C^*_{ab,a}$	$h^*_{ab,a}$
r00j	48.88	66.47	31.67	73.63	25
r25j	55.85	52.39	47.48	70.7	42
r50j	65.45	35.22	58.37	68.17	59
r75j	75.19	17.82	69.41	71.66	76
j00g	87.03	-3.34	82.83	82.9	92
j25g	80.72	-25.0	69.5	73.86	110
j50g	70.64	-39.53	51.97	65.3	127
j75g	61.93	-52.09	36.83	63.8	145
g00b	52.8	-65.27	20.93	68.56	162
g25b	55.7	-49.57	-8.38	50.28	190
g50b	57.82	-38.39	-28.91	48.07	217
g75b	55.5	-22.04	-45.94	50.97	244
b00r	41.6	1.37	-45.0	45.03	272
b25r	29.0	25.08	-43.12	49.89	300
b50r	38.04	46.53	-28.38	54.51	329
b75r	49.48	72.88	-3.75	72.98	357



Ein und Ausgabe: Farbmetrisches Drucker-Reflektiv-System ORS19\_96a für relativen CIELAB-Buntton  $h^* = \text{lab}^*h^* = h_{ab}/360 = 92/360 = 0.256$   $u^* = j00g$

Daten für jede Farbe:

$\text{lab}^*ch^*$  und  $\text{lab}^*icu^*$

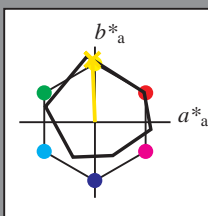
Elementar-Bunttontext:

$u^* = j00g$

Kontrastreduzierungsfaktor:

$c_R = 1.0$

Dreiecks-Helligkeit  $i^*$



ORS19_96; CIELAB-Daten					
	$L^*=L^*$	$a^*$	$b^*$	$C^*_{ab}$	$h^*_{ab}$
O <sub>M</sub>	48.75	65.16	40.76	76.86	32
Y <sub>M</sub>	90.92	-10.77	89.36	90.01	97
L <sub>M</sub>	52.69	-65.39	22.15	69.05	161
C <sub>M</sub>	59.61	-29.03	-44.68	53.3	237
V <sub>M</sub>	28.39	24.0	-43.17	49.4	299
M <sub>M</sub>	49.58	74.01	-8.21	74.47	354
N <sub>M</sub>	18.89	0.5	0.77	0.92	57
W <sub>M</sub>	96.9	-0.56	2.23	2.3	104
R <sub>CIE</sub>	39.92	58.74	27.99	65.07	25
J <sub>CIE</sub>	81.26	-2.88	71.56	71.62	92
G <sub>CIE</sub>	52.23	-42.41	13.6	44.55	162
B <sub>CIE</sub>	30.57	1.41	-46.46	46.49	272

Daten für Maximalfarbe (Ma):

$\text{LAB}^*\text{LAB}^*_{\text{Ma}}$ : 87 -2 83

$\text{LAB}^*\text{LCH}^*_{\text{Ma}}$ : 87 83 92

$\text{lab}^*\text{rgb}^*_{\text{Ma}}$ : 1.0 1.0 0.0

$\text{lab}^*\text{olv}^*_{\text{Ma}}$ : 1.0 0.91 0.0

Dreiecks-Helligkeit  $i^*$

%Umfang

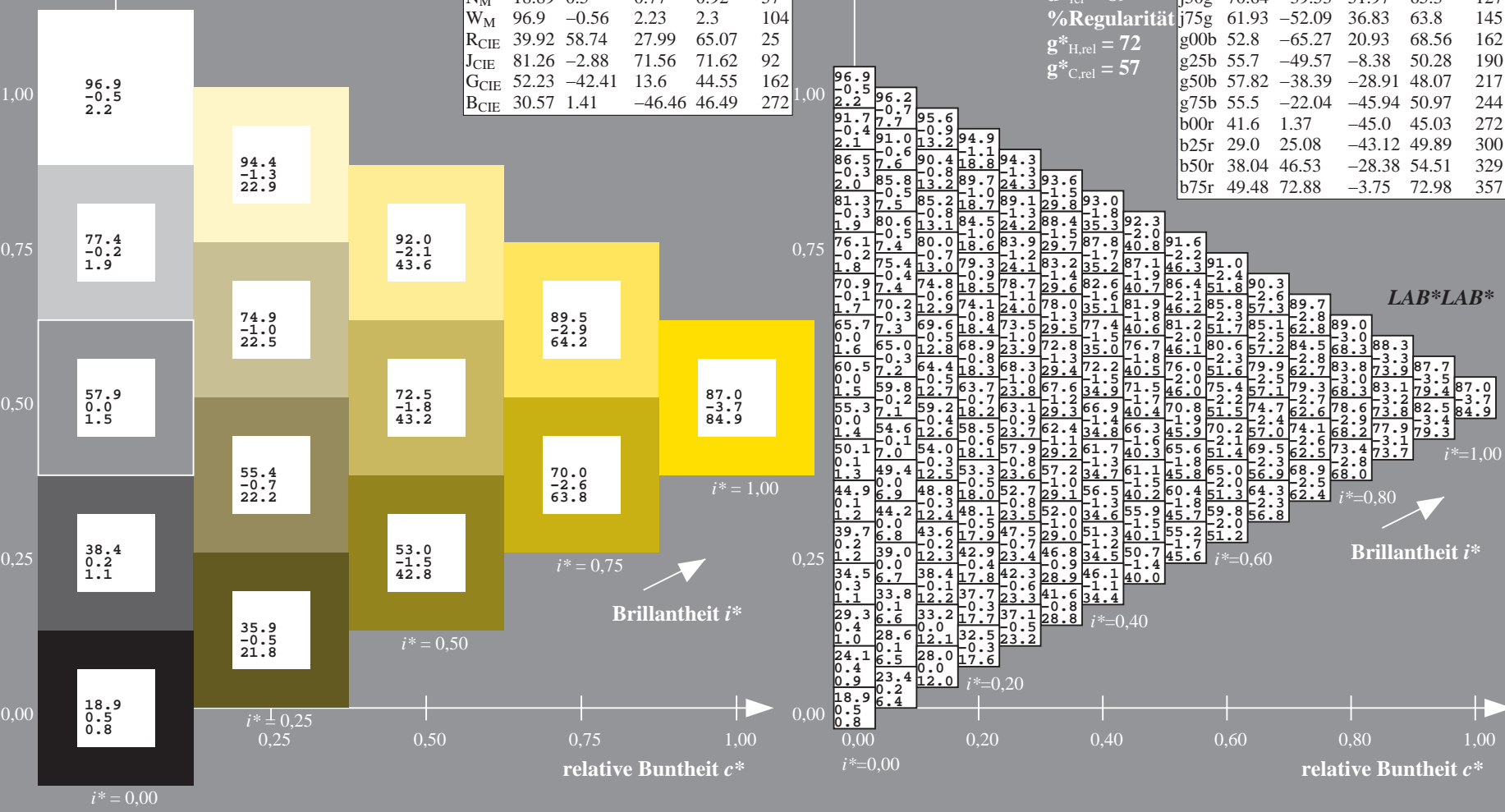
$u^*_{\text{rel}} = 89$

%Regularität

$g^*_{H,\text{rel}} = 72$

$g^*_{C,\text{rel}} = 57$

ORS19_96a; adaptierte CIELAB-Daten					
	$L^*=L^*_a$	$a^*_a$	$b^*_a$	$C^*_{ab,a}$	$h^*_{ab,a}$
r00j	48.88	66.47	31.67	73.63	25
r25j	55.85	52.39	47.48	70.7	42
r50j	65.45	35.22	58.37	68.17	59
r75j	75.19	17.82	69.41	71.66	76
j00g	87.03	-3.34	82.83	82.9	92
j25g	80.72	-25.0	69.5	73.86	110
j50g	70.64	-39.53	51.97	65.3	127
j75g	61.93	-52.09	36.83	63.8	145
g00b	52.8	-65.27	20.93	68.56	162
g25b	55.7	-49.57	-8.38	50.28	190
g50b	57.82	-38.39	-28.91	48.07	217
g75b	55.5	-22.04	-45.94	50.97	244
b00r	41.6	1.37	-45.0	45.03	272
b25r	29.0	25.08	-43.12	49.89	300
b50r	38.04	46.53	-28.38	54.51	329
b75r	49.48	72.88	-3.75	72.98	357



Ein und Ausgabe: Farbmetrisches Drucker-Reflektiv-System ORS19\_96a für relativen CIELAB-Buntton  $h^* = lab^*h^* = h_{ab}/360 = 110/360 = 0.305$   $u^* = j25g$

Daten für jede Farbe:

$lab^*ch^*$  und  $lab^*icu^*$

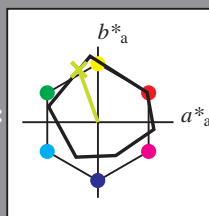
Elementar-Bunttontext:

$u^* = j25g$

Kontrastreduzierungsfaktor:

$c_R = 1.0$

Dreiecks-Helligkeit  $i^*$



ORS19_96; CIELAB-Daten					
	$L^*=L^*$	$a^*$	$b^*$	$C^*_{ab}$	$h^*_{ab}$
O <sub>M</sub>	48.75	65.16	40.76	76.86	32
Y <sub>M</sub>	90.92	-10.77	89.36	90.01	97
L <sub>M</sub>	52.69	-65.39	22.15	69.05	161
C <sub>M</sub>	59.61	-29.03	-44.68	53.3	237
V <sub>M</sub>	28.39	24.0	-43.17	49.4	299
M <sub>M</sub>	49.58	74.01	-8.21	74.47	354
N <sub>M</sub>	18.89	0.5	0.77	0.92	57
W <sub>M</sub>	96.9	-0.56	2.23	2.3	104
R <sub>CIE</sub>	39.92	58.74	27.99	65.07	25
J <sub>CIE</sub>	81.26	-2.88	71.56	71.62	92
G <sub>CIE</sub>	52.23	-42.41	13.6	44.55	162
B <sub>CIE</sub>	30.57	1.41	-46.46	46.49	272

Daten für Maximalfarbe (Ma):

$LAB^*LAB^*Ma$ : 81 -24 69

$LAB^*LCH^*Ma$ : 81 74 110

$lab^*rgb^*Ma$ : 0.75 1.0 0.0

$lab^*olv^*Ma$ : 0.73 1.0 0.0

Dreiecks-Helligkeit  $i^*$

%Umfang

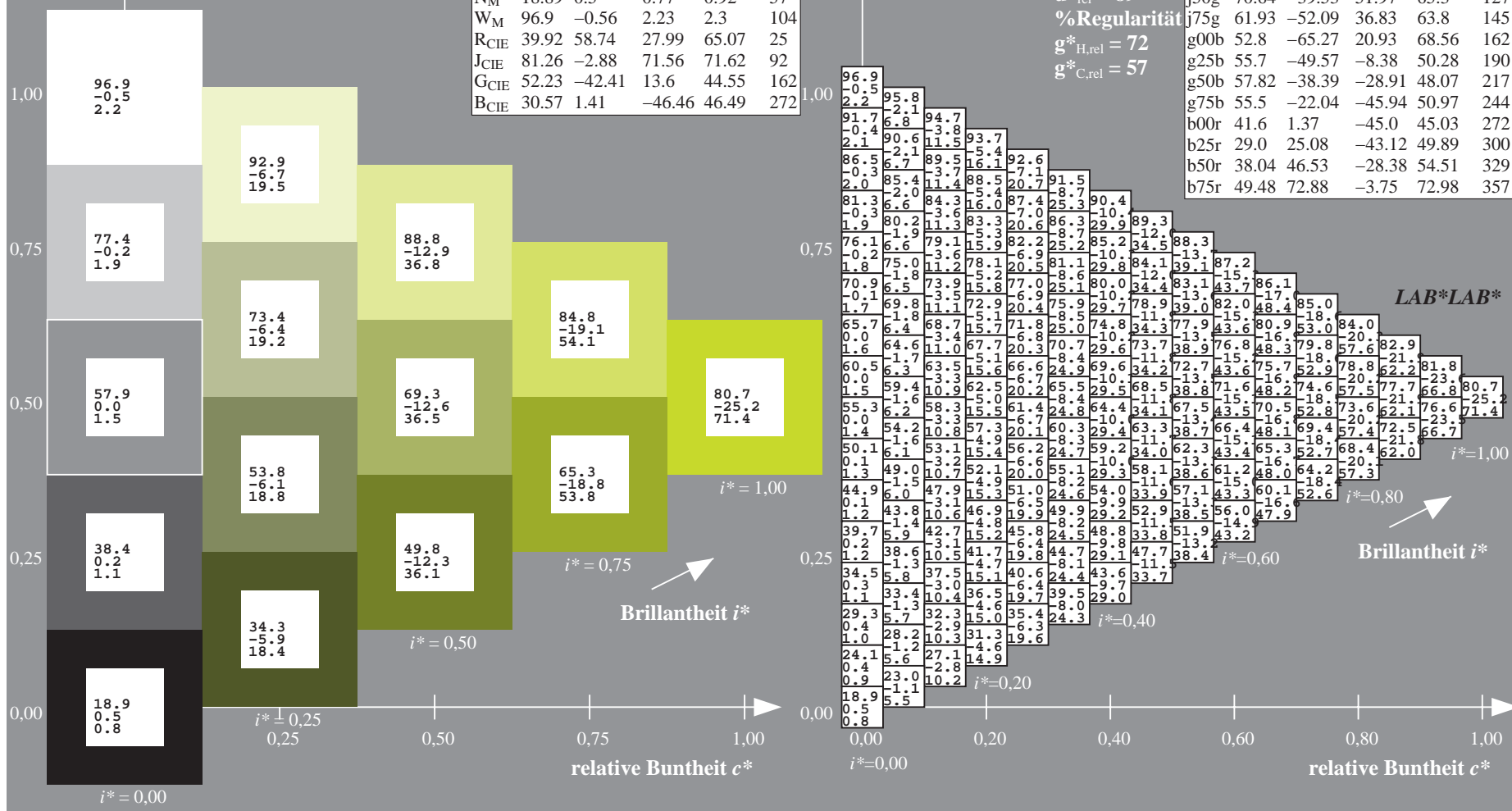
$u^*_{rel} = 89$

%Regularität

$g^*_{H,rel} = 72$

$g^*_{C,rel} = 57$

ORS19_96a; adaptierte CIELAB-Daten					
	$L^*=L^*$	$a^*_a$	$b^*_a$	$C^*_{ab,a}$	$h^*_{ab,a}$
r00j	48.88	66.47	31.67	73.63	25
r25j	55.85	52.39	47.48	70.7	42
r50j	65.45	35.22	58.37	68.17	59
r75j	75.19	17.82	69.41	71.66	76
j00g	87.03	-3.34	82.83	82.9	92
j25g	80.72	-25.0	69.5	73.86	110
j50g	70.64	-39.53	51.97	65.3	127
j75g	61.93	-52.09	36.83	63.8	145
g00b	52.8	-65.27	20.93	68.56	162
g25b	55.7	-49.57	-8.38	50.28	190
g50b	57.82	-38.39	-28.91	48.07	217
g75b	55.5	-22.04	-45.94	50.97	244
b00r	41.6	1.37	-45.0	45.03	272
b25r	29.0	25.08	-43.12	49.89	300
b50r	38.04	46.53	-28.38	54.51	329
b75r	49.48	72.88	-3.75	72.98	357





Ein und Ausgabe: Farbmetrisches Drucker-Reflektiv-System ORS19\_96a für relativen CIELAB-Buntton  $h^* = lab^*h^* = h_{ab}/360 = 127/360 = 0.354$   $u^* = j50g$

Daten für jede Farbe:

$lab^*ch^*$  und  $lab^*icu^*$

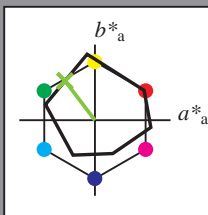
Elementar-Bunttontext:

$u^* = j50g$

Kontrastreduzierungsfaktor:

$c_R = 1.0$

Dreiecks-Helligkeit  $t^*$



ORS19_96; CIELAB-Daten					
	$L^*=L^*$	$a^*$	$b^*$	$C^*_{ab}$	$h^*_{ab}$
O <sub>M</sub>	48.75	65.16	40.76	76.86	32
Y <sub>M</sub>	90.92	-10.77	89.36	90.01	97
L <sub>M</sub>	52.69	-65.39	22.15	69.05	161
C <sub>M</sub>	59.61	-29.03	-44.68	53.3	237
V <sub>M</sub>	28.39	24.0	-43.17	49.4	299
M <sub>M</sub>	49.58	74.01	-8.21	74.47	354
N <sub>M</sub>	18.89	0.5	0.77	0.92	57
W <sub>M</sub>	96.9	-0.56	2.23	2.3	104
R <sub>CIE</sub>	39.92	58.74	27.99	65.07	25
J <sub>CIE</sub>	81.26	-2.88	71.56	71.62	92
G <sub>CIE</sub>	52.23	-42.41	13.6	44.55	162
B <sub>CIE</sub>	30.57	1.41	-46.46	46.49	272

Daten für Maximalfarbe (Ma):

$LAB^*LAB^*_{Ma}$ : 71 -39 52

$LAB^*LCH^*_{Ma}$ : 71 65 127

$lab^*rgb^*_{Ma}$ : 0.5 1.0 0.0

$lab^*olv^*_{Ma}$ : 0.47 1.0 0.0

Dreiecks-Helligkeit  $t^*$

%Umfang

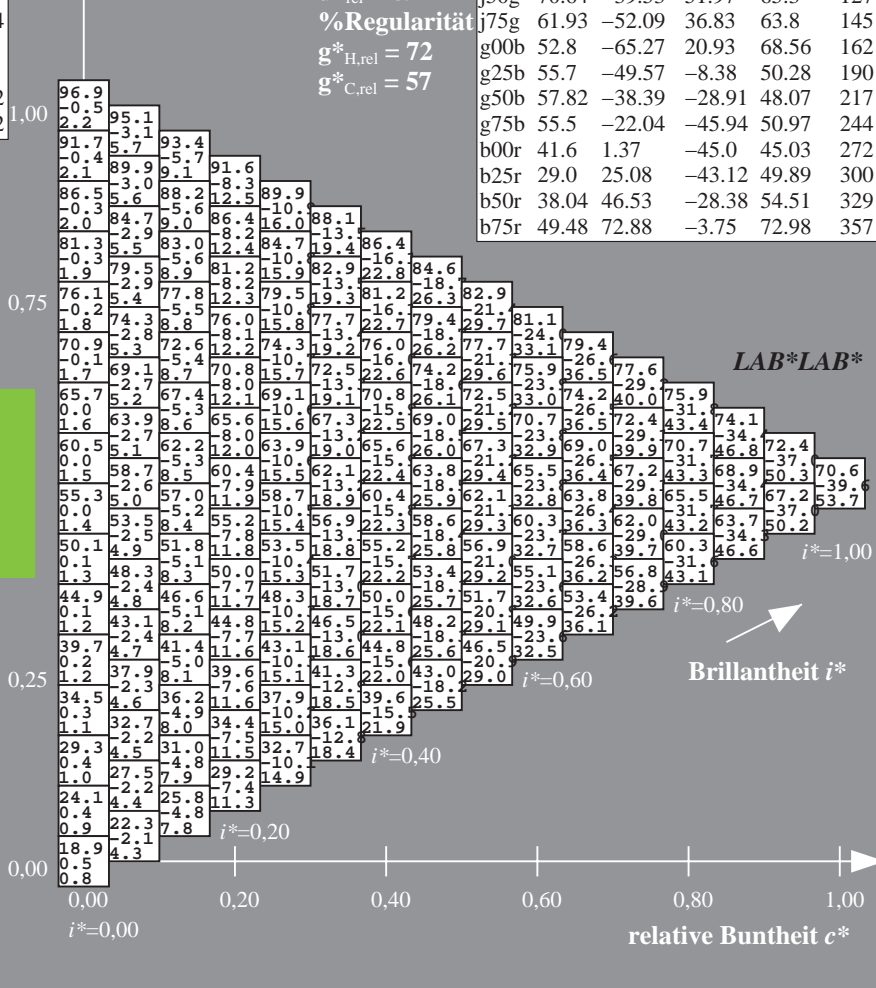
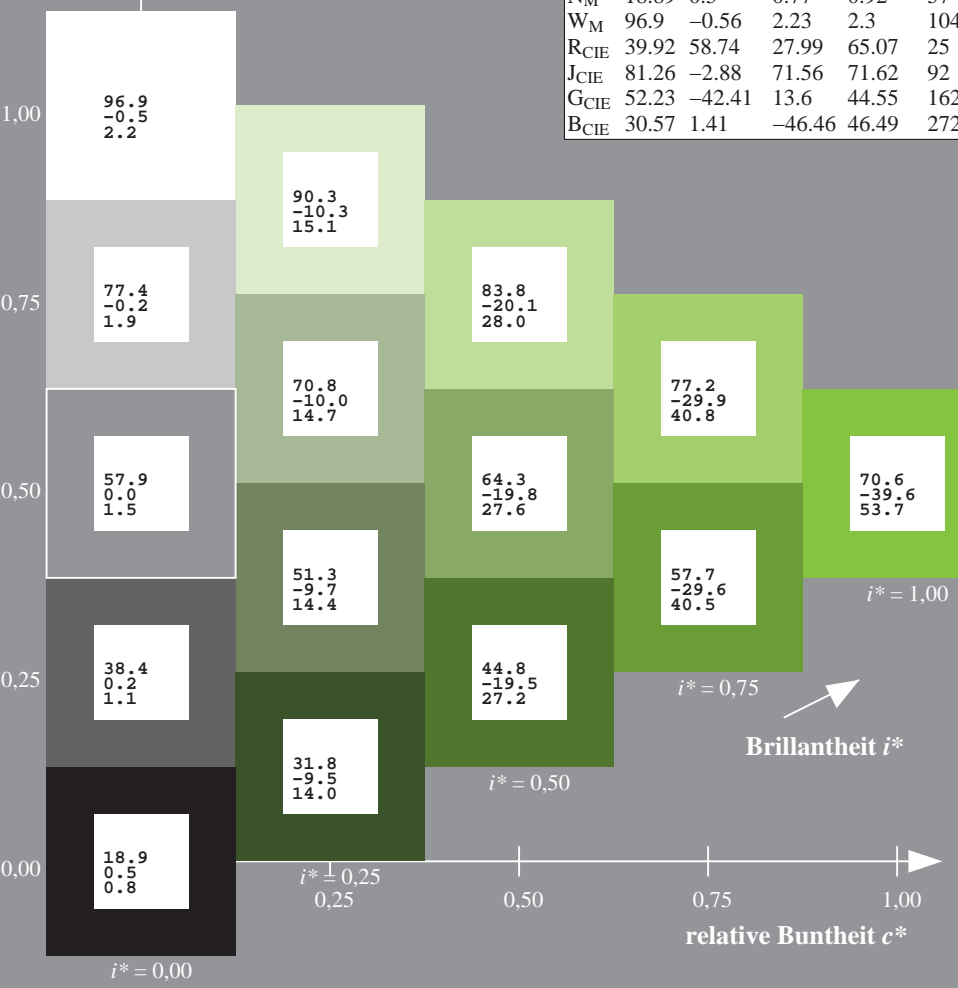
$u^*_{rel} = 89$

%Regularität

$g^*_{H,rel} = 72$

$g^*_{C,rel} = 57$

ORS19_96a; adaptierte CIELAB-Daten					
	$L^*=L^*_a$	$a^*_a$	$b^*_a$	$C^*_{ab,a}$	$h^*_{ab,a}$
r00j	48.88	66.47	31.67	73.63	25
r25j	55.85	52.39	47.48	70.7	42
r50j	65.45	35.22	58.37	68.17	59
r75j	75.19	17.82	69.41	71.66	76
j00g	87.03	-3.34	82.83	82.9	92
j25g	80.72	-25.0	69.5	73.86	110
j50g	70.64	-39.53	51.97	65.3	127
j75g	61.93	-52.09	36.83	63.8	145
g00b	52.8	-65.27	20.93	68.56	162
g25b	55.7	-49.57	-8.38	50.28	190
g50b	57.82	-38.39	-28.91	48.07	217
g75b	55.5	-22.04	-45.94	50.97	244
b00r	41.6	1.37	-45.0	45.03	272
b25r	29.0	25.08	-43.12	49.89	300
b50r	38.04	46.53	-28.38	54.51	329
b75r	49.48	72.88	-3.75	72.98	357



BAM-Registrierung: 20080701-Dg98/10L/L98G00NA.PS/ .TXTBAM-Material: Code=rh4ta  
Anwendung für Beurteilung und Messung von Drucker- oder Monitorsystemen

Ein und Ausgabe: Farbmimetrisches Drucker-Reflektiv-System ORS19\_96a für relativen CIELAB-Buntton  $h^* = lab^*h^* = h_{ab}/360 = 162/360 = 0.451$   $u^* = g00b$

Daten für jede Farbe:

$lab^*ch^*$  und  $lab^*icu^*$

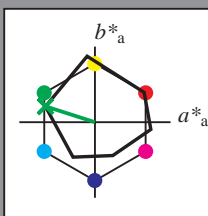
Elementar-Bunttontext:

$u^* = g00b$

Kontrastreduzierungsfaktor:

$c_R = 1.0$

Dreiecks-Helligkeit  $i^*$



ORS19_96; CIELAB-Daten					
	$L^*=L^*$	$a^*$	$b^*$	$C^*_{ab}$	$h^*_{ab}$
O <sub>M</sub>	48.75	65.16	40.76	76.86	32
Y <sub>M</sub>	90.92	-10.77	89.36	90.01	97
L <sub>M</sub>	52.69	-65.39	22.15	69.05	161
C <sub>M</sub>	59.61	-29.03	-44.68	53.3	237
V <sub>M</sub>	28.39	24.0	-43.17	49.4	299
M <sub>M</sub>	49.58	74.01	-8.21	74.47	354
N <sub>M</sub>	18.89	0.5	0.77	0.92	57
W <sub>M</sub>	96.9	-0.56	2.23	2.3	104
R <sub>CIE</sub>	39.92	58.74	27.99	65.07	25
J <sub>CIE</sub>	81.26	-2.88	71.56	71.62	92
G <sub>CIE</sub>	52.23	-42.41	13.6	44.55	162
B <sub>CIE</sub>	30.57	1.41	-46.46	46.49	272

Daten für Maximalfarbe (Ma):

$LAB^*LAB^*_{Ma}$ : 53 -64 21

$LAB^*LCH^*_{Ma}$ : 53 69 162

$lab^*rgb^*_{Ma}$ : 0.0 1.0 0.0

$lab^*olv^*_{Ma}$ : 0.0 1.0 0.0

Dreiecks-Helligkeit  $i^*$

%Umfang

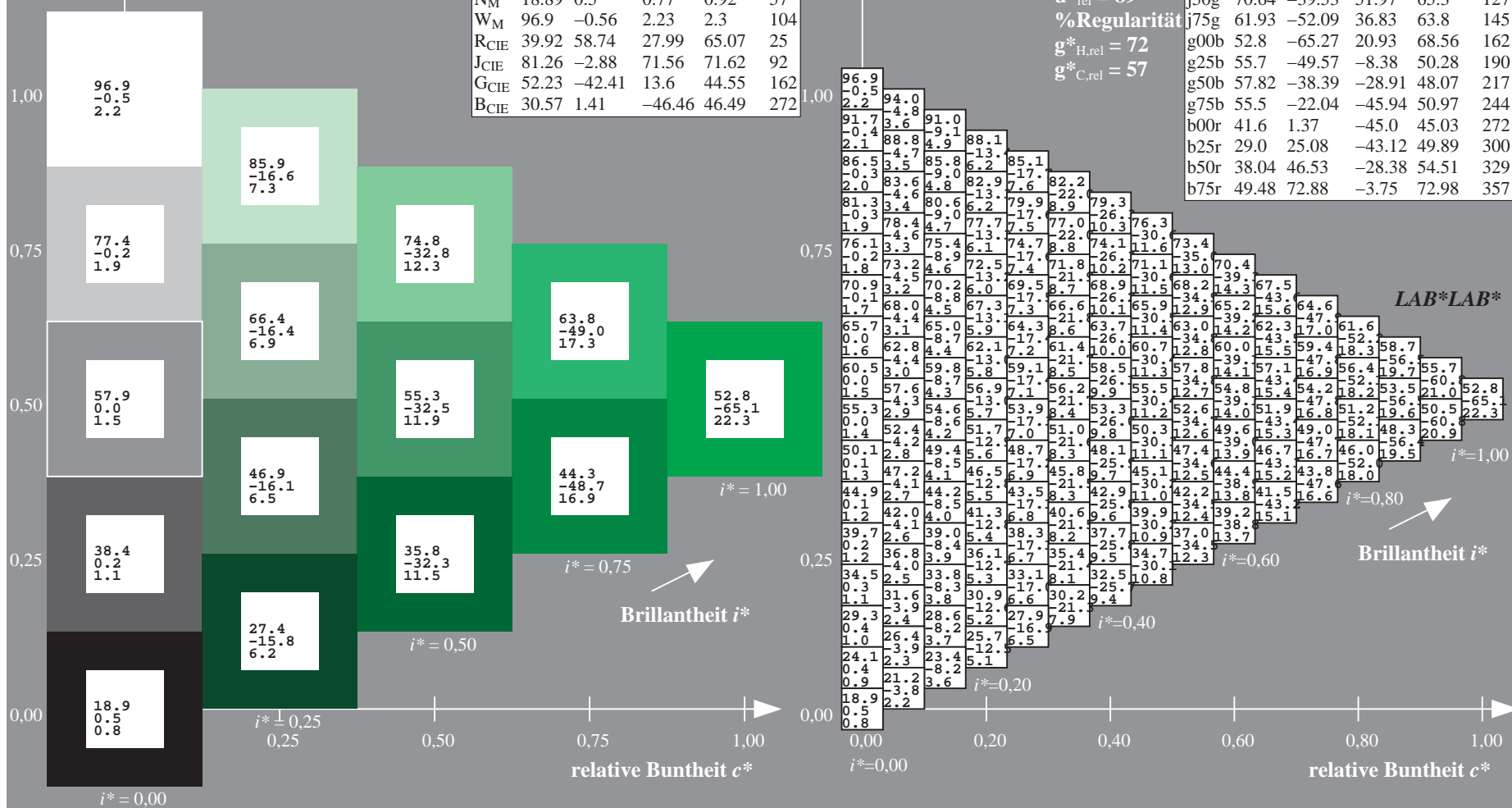
$u^*_{rel} = 89$

%Regularität

$g^*_{H,rel} = 72$

$g^*_{C,rel} = 57$

ORS19_96a; adaptierte CIELAB-Daten					
	$L^*=L^*_a$	$a^*_a$	$b^*_a$	$C^*_{ab,a}$	$h^*_{ab,a}$
r00j	48.88	66.47	31.67	73.63	25
r25j	55.85	52.39	47.48	70.7	42
r50j	65.45	35.22	58.37	68.17	59
r75j	75.19	17.82	69.41	71.66	76
j00g	87.03	-3.34	82.83	82.9	92
j25g	80.72	-25.0	69.5	73.86	110
j50g	70.64	-39.53	51.97	65.3	127
j75g	61.93	-52.09	36.83	63.8	145
g00b	52.8	-65.27	20.93	68.56	162
g25b	55.7	-49.57	-8.38	50.28	190
g50b	57.82	-38.39	-28.91	48.07	217
g75b	55.5	-22.04	-45.94	50.97	244
b00r	41.6	1.37	-45.0	45.03	272
b25r	29.0	25.08	-43.12	49.89	300
b50r	38.04	46.53	-28.38	54.51	329
b75r	49.48	72.88	-3.75	72.98	357



Ein und Ausgabe: Farbmetrisches Drucker-Reflektiv-System ORS19\_96a für relativen CIELAB-Buntton  $h^* = lab^*h^* = h_{ab}/360 = 190/360 = 0.527$   $u^* = g25b$

Daten für jede Farbe:

$lab^*ch^*$  und  $lab^*icu^*$

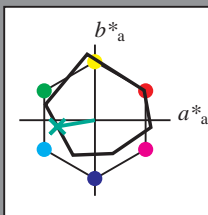
Elementar-Bunttontext:

$u^* = g25b$

Kontrastreduzierungsfaktor:

$c_R = 1.0$

Dreiecks-Helligkeit  $i^*$



ORS19_96; CIELAB-Daten					
	$L^*=L^*$	$a^*$	$b^*$	$C^*_{ab}$	$h^*_{ab}$
O <sub>M</sub>	48.75	65.16	40.76	76.86	32
Y <sub>M</sub>	90.92	-10.77	89.36	90.01	97
L <sub>M</sub>	52.69	-65.39	22.15	69.05	161
C <sub>M</sub>	59.61	-29.03	-44.68	53.3	237
V <sub>M</sub>	28.39	24.0	-43.17	49.4	299
M <sub>M</sub>	49.58	74.01	-8.21	74.47	354
N <sub>M</sub>	18.89	0.5	0.77	0.92	57
W <sub>M</sub>	96.9	-0.56	2.23	2.3	104
R <sub>CIE</sub>	39.92	58.74	27.99	65.07	25
J <sub>CIE</sub>	81.26	-2.88	71.56	71.62	92
G <sub>CIE</sub>	52.23	-42.41	13.6	44.55	162
B <sub>CIE</sub>	30.57	1.41	-46.46	46.49	272

Daten für Maximalfarbe (Ma):

$LAB^*LAB^*_{Ma}$ : 56 -49 -7

$LAB^*LCH^*_{Ma}$ : 56 50 190

$lab^*rgb^*_{Ma}$ : 0.0 1.0 0.5

$lab^*olv^*_{Ma}$ : 0.0 1.0 0.44

Dreiecks-Helligkeit  $i^*$

%Umfang

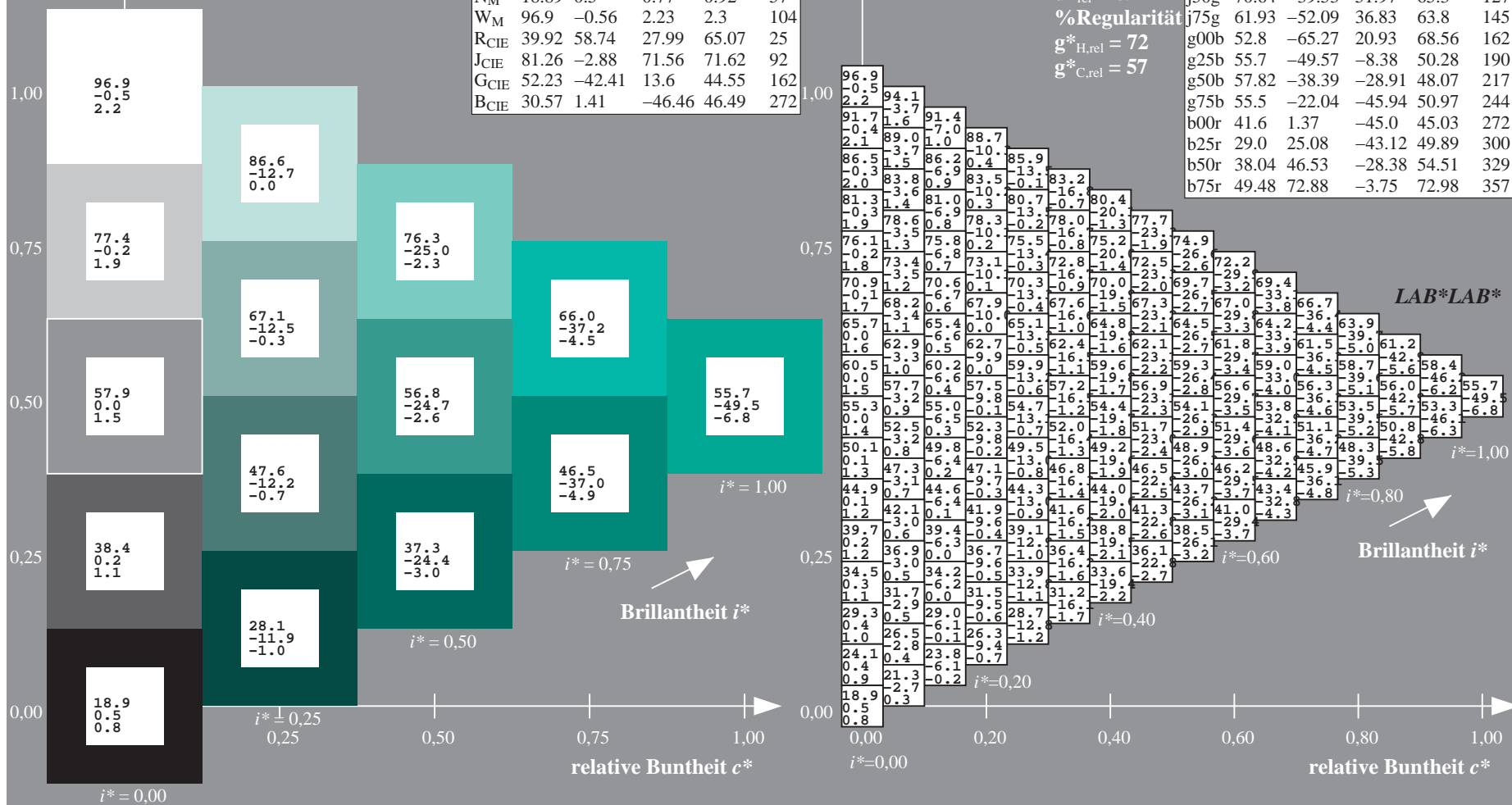
$u^*_{rel} = 89$

%Regularität

$g^*_{H,rel} = 72$

$g^*_{C,rel} = 57$

ORS19_96a; adaptierte CIELAB-Daten					
	$L^*=L^*_a$	$a^*_a$	$b^*_a$	$C^*_{ab,a}$	$h^*_{ab,a}$
r00j	48.88	66.47	31.67	73.63	25
r25j	55.85	52.39	47.48	70.7	42
r50j	65.45	35.22	58.37	68.17	59
r75j	75.19	17.82	69.41	71.66	76
j00g	87.03	-3.34	82.83	82.9	92
j25g	80.72	-25.0	69.5	73.86	110
j50g	70.64	-39.53	51.97	65.3	127
j75g	61.93	-52.09	36.83	63.8	145
g00b	52.8	-65.27	20.93	68.56	162
g25b	55.7	-49.57	-8.38	50.28	190
g50b	57.82	-38.39	-28.91	48.07	217
g75b	55.5	-22.04	-45.94	50.97	244
b00r	41.6	1.37	-45.0	45.03	272
b25r	29.0	25.08	-43.12	49.89	300
b50r	38.04	46.53	-28.38	54.51	329
b75r	49.48	72.88	-3.75	72.98	357





Ein und Ausgabe: Farbmimetrisches Drucker-Reflektiv-System ORS19\_96a für relativen CIELAB-Buntton  $h^* = lab^*h^* = h_{ab}/360 = 217/360 = 0.603$   $u^* = g50b$

Daten für jede Farbe:

$lab^*ch^*$  und  $lab^*icu^*$

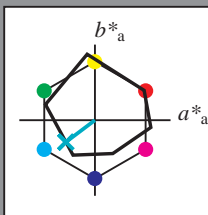
Elementar-Bunttonstext:

$u^* = g50b$

Kontrastreduzierungsfaktor:

$c_R = 1.0$

Dreiecks-Helligkeit  $i^*$



ORS19_96; CIELAB-Daten					
	$L^*=L^*$	$a^*$	$b^*$	$C^*_{ab}$	$h^*_{ab}$
O <sub>M</sub>	48.75	65.16	40.76	76.86	32
Y <sub>M</sub>	90.92	-10.77	89.36	90.01	97
L <sub>M</sub>	52.69	-65.39	22.15	69.05	161
C <sub>M</sub>	59.61	-29.03	-44.68	53.3	237
V <sub>M</sub>	28.39	24.0	-43.17	49.4	299
M <sub>M</sub>	49.58	74.01	-8.21	74.47	354
N <sub>M</sub>	18.89	0.5	0.77	0.92	57
W <sub>M</sub>	96.9	-0.56	2.23	2.3	104
R <sub>CIE</sub>	39.92	58.74	27.99	65.07	25
J <sub>CIE</sub>	81.26	-2.88	71.56	71.62	92
G <sub>CIE</sub>	52.23	-42.41	13.6	44.55	162
B <sub>CIE</sub>	30.57	1.41	-46.46	46.49	272

Daten für Maximalfarbe (Ma):

$LAB^*LAB^*_{Ma}$ : 58 -37 -28

$LAB^*LCH^*_{Ma}$ : 58 48 217

$lab^*rgb^*_{Ma}$ : 0.0 1.0 1.0

$lab^*olv^*_{Ma}$ : 0.0 1.0 0.74

Dreiecks-Helligkeit  $i^*$

%Umfang

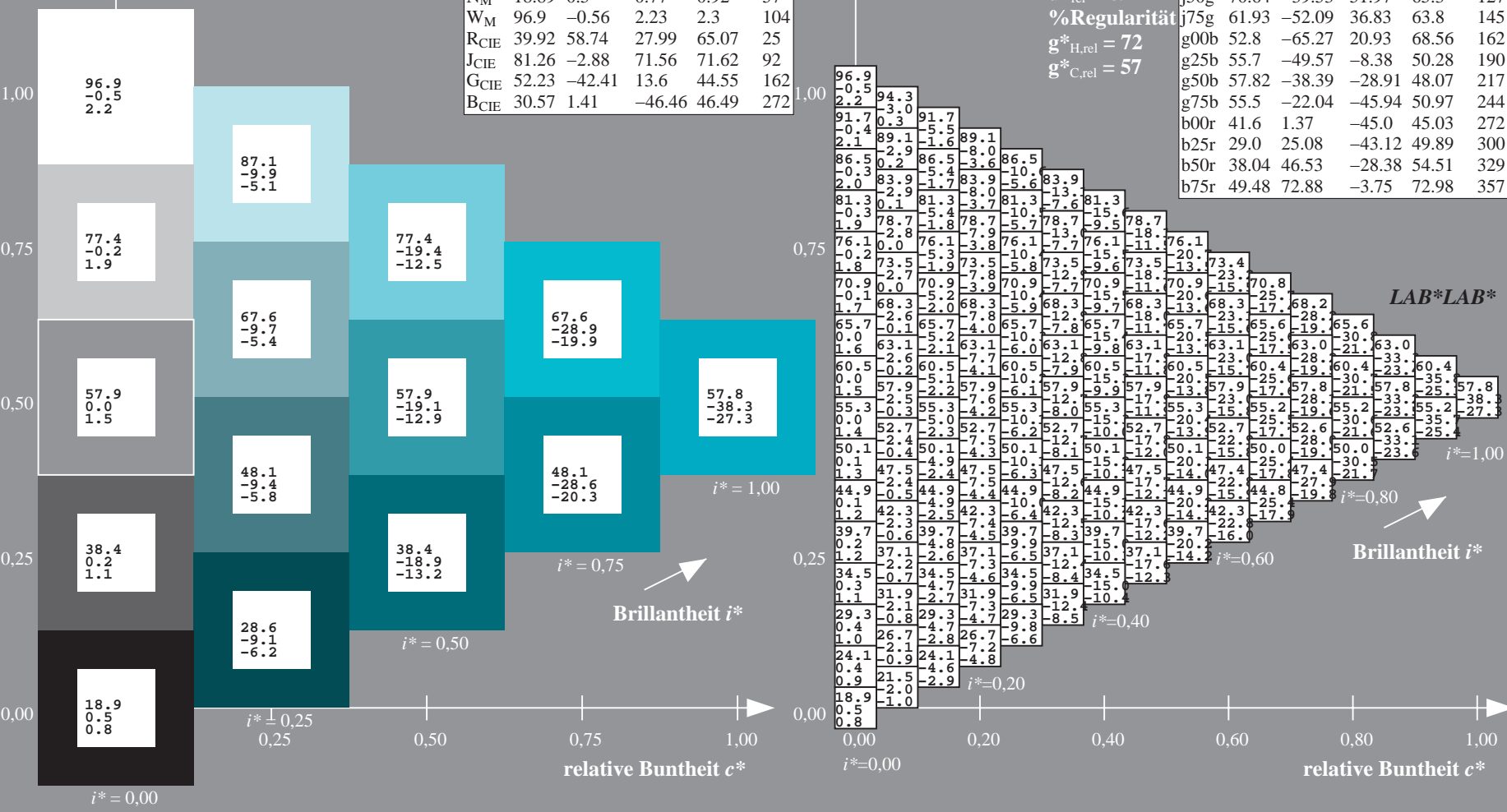
$u^*_{rel} = 89$

%Regularität

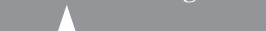
$g^*_{H,rel} = 72$

$g^*_{C,rel} = 57$

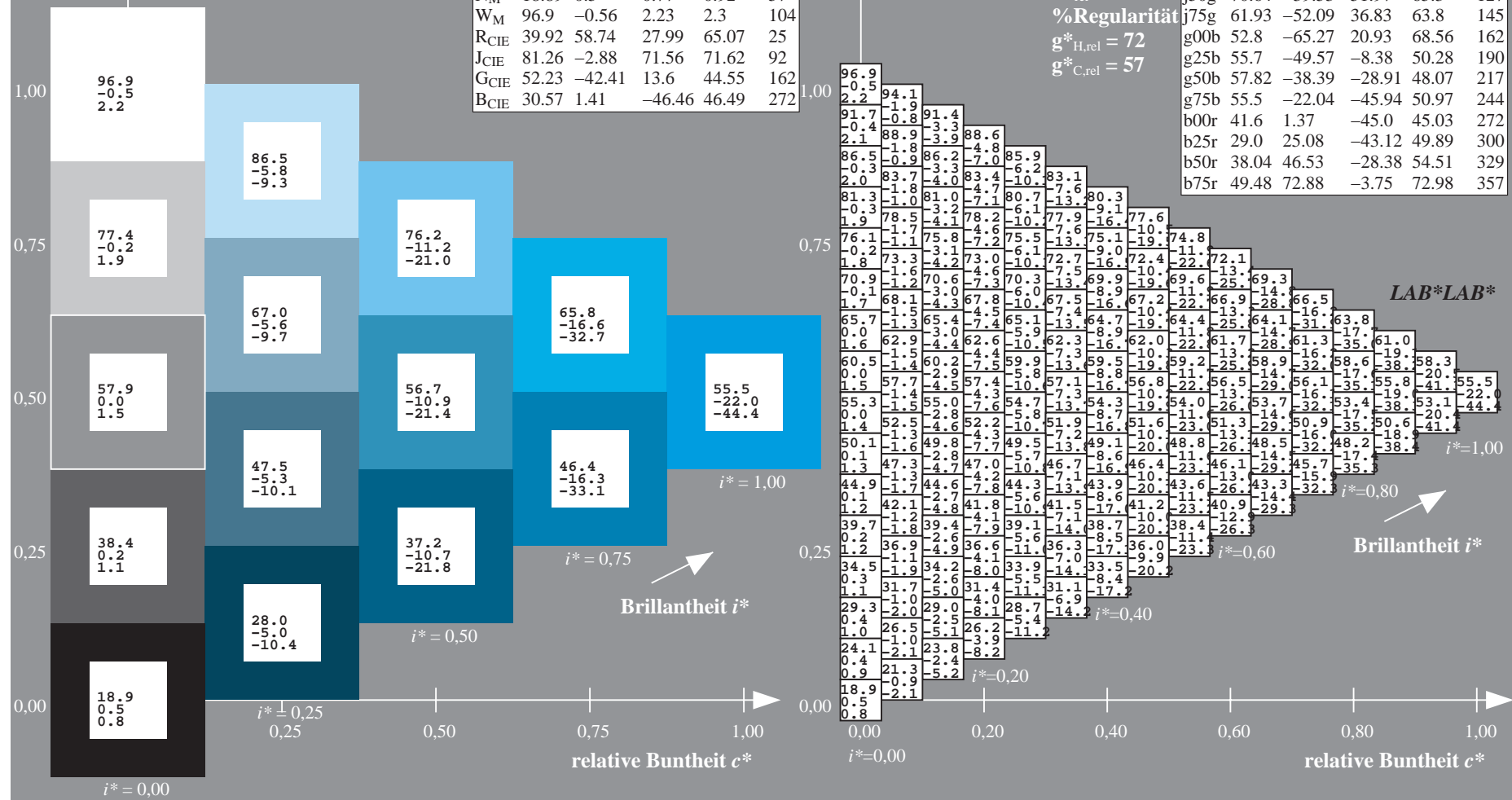
ORS19_96a; adaptierte CIELAB-Daten					
	$L^*=L^*_a$	$a^*_a$	$b^*_a$	$C^*_{ab,a}$	$h^*_{ab,a}$
r00j	48.88	66.47	31.67	73.63	25
r25j	55.85	52.39	47.48	70.7	42
r50j	65.45	35.22	58.37	68.17	59
r75j	75.19	17.82	69.41	71.66	76
j00g	87.03	-3.34	82.83	82.9	92
j25g	80.72	-25.0	69.5	73.86	110
j50g	70.64	-39.53	51.97	65.3	127
j75g	61.93	-52.09	36.83	63.8	145
g00b	52.8	-65.27	20.93	68.56	162
g25b	55.7	-49.57	-8.38	50.28	190
g50b	57.82	-38.39	-28.91	48.07	217
g75b	55.5	-22.04	-45.94	50.97	244
b00r	41.6	1.37	-45.0	45.03	272
b25r	29.0	25.08	-43.12	49.89	300
b50r	38.04	46.53	-28.38	54.51	329
b75r	49.48	72.88	-3.75	72.98	357



100



r00j	48.88	66.47	31.67	73.63	25
r25j	55.85	52.39	47.48	70.7	42
r50j	65.45	35.22	58.37	68.17	59
r75j	75.19	17.82	69.41	71.66	76
j00g	87.03	-3.34	82.83	82.9	92
j25g	80.72	-25.0	69.5	73.86	110
j50g	70.64	-39.53	51.97	65.3	127
j75g	61.93	-52.09	36.83	63.8	145
g00b	52.8	-65.27	20.93	68.56	162
g25b	55.7	-49.57	-8.38	50.28	190
g50b	57.82	-38.39	-28.91	48.07	217
g75b	55.5	-22.04	-45.94	50.97	244
b00r	41.6	1.37	-45.0	45.03	272
b25r	29.0	25.08	-43.12	49.89	300
b50r	38.04	46.53	-28.38	54.51	329
b75r	49.48	72.88	-3.75	72.98	357



Farbreihen, 8 Datentabellen für 16 Bunttöne *r00j* bis *b75r*

Ausgabe:  $\rightarrow cmyn5^* setcmykcolor$

Ein und Ausgabe: Farbmimetrisches Drucker-Reflektiv-System ORS19\_96a für relativen CIELAB-Buntton  $h^* = lab^*h^* = h_{ab}/360 = 272/360 = 0.755$   $u^* = b00r$

Daten für jede Farbe:

$lab^*ch^*$  und  $lab^*icu^*$

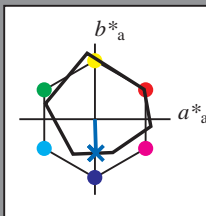
Elementar-Bunttontext:

$u^* = b00r$

Kontrastreduzierungsfaktor:

$c_R = 1.0$

Dreiecks-Helligkeit  $t^*$



ORS19_96; CIELAB-Daten					
	$L^*=L^*$	$a^*$	$b^*$	$C^*_{ab}$	$h^*_{ab}$
O <sub>M</sub>	48.75	65.16	40.76	76.86	32
Y <sub>M</sub>	90.92	-10.77	89.36	90.01	97
L <sub>M</sub>	52.69	-65.39	22.15	69.05	161
C <sub>M</sub>	59.61	-29.03	-44.68	53.3	237
V <sub>M</sub>	28.39	24.0	-43.17	49.4	299
M <sub>M</sub>	49.58	74.01	-8.21	74.47	354
N <sub>M</sub>	18.89	0.5	0.77	0.92	57
W <sub>M</sub>	96.9	-0.56	2.23	2.3	104
R <sub>CIE</sub>	39.92	58.74	27.99	65.07	25
J <sub>CIE</sub>	81.26	-2.88	71.56	71.62	92
G <sub>CIE</sub>	52.23	-42.41	13.6	44.55	162
B <sub>CIE</sub>	30.57	1.41	-46.46	46.49	272

Daten für Maximalfarbe (Ma):

$LAB^*LAB^*_{Ma}$ : 42 1 -44

$LAB^*LCH^*_{Ma}$ : 42 45 272

$lab^*rgb^*_{Ma}$ : 0.0 0.0 1.0

$lab^*olv^*_{Ma}$ : 0.0 0.42 1.0

Dreiecks-Helligkeit  $t^*$

%Umfang

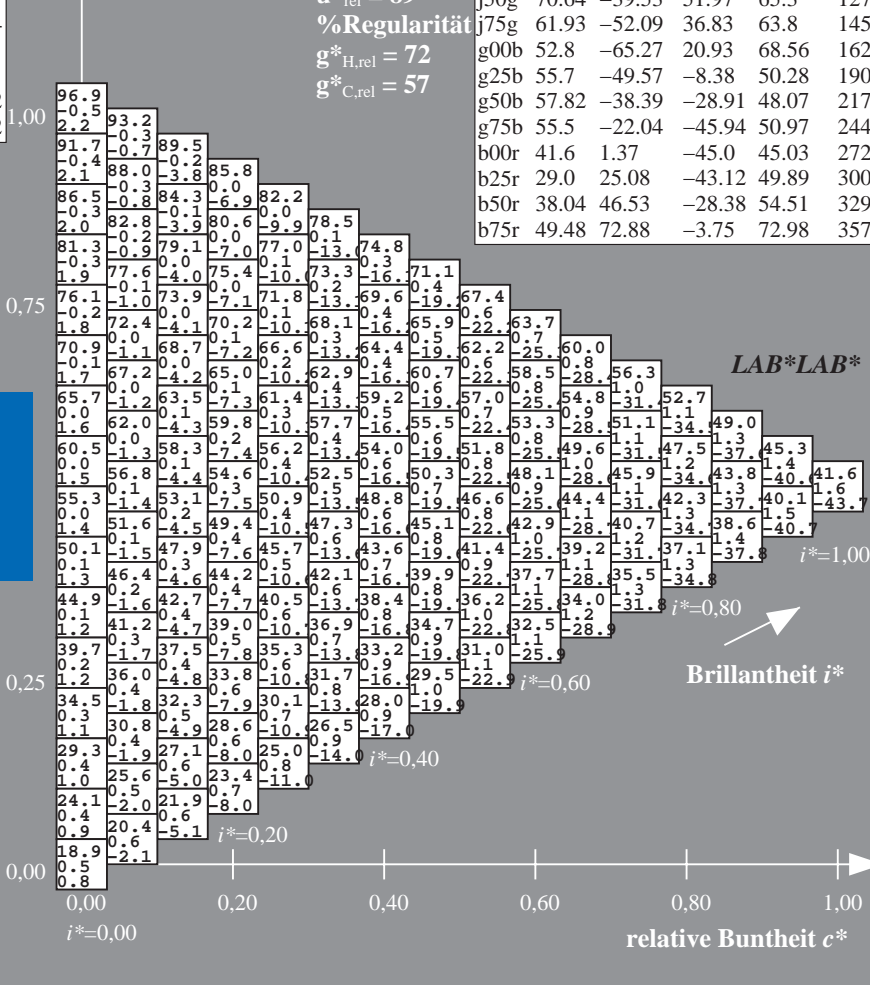
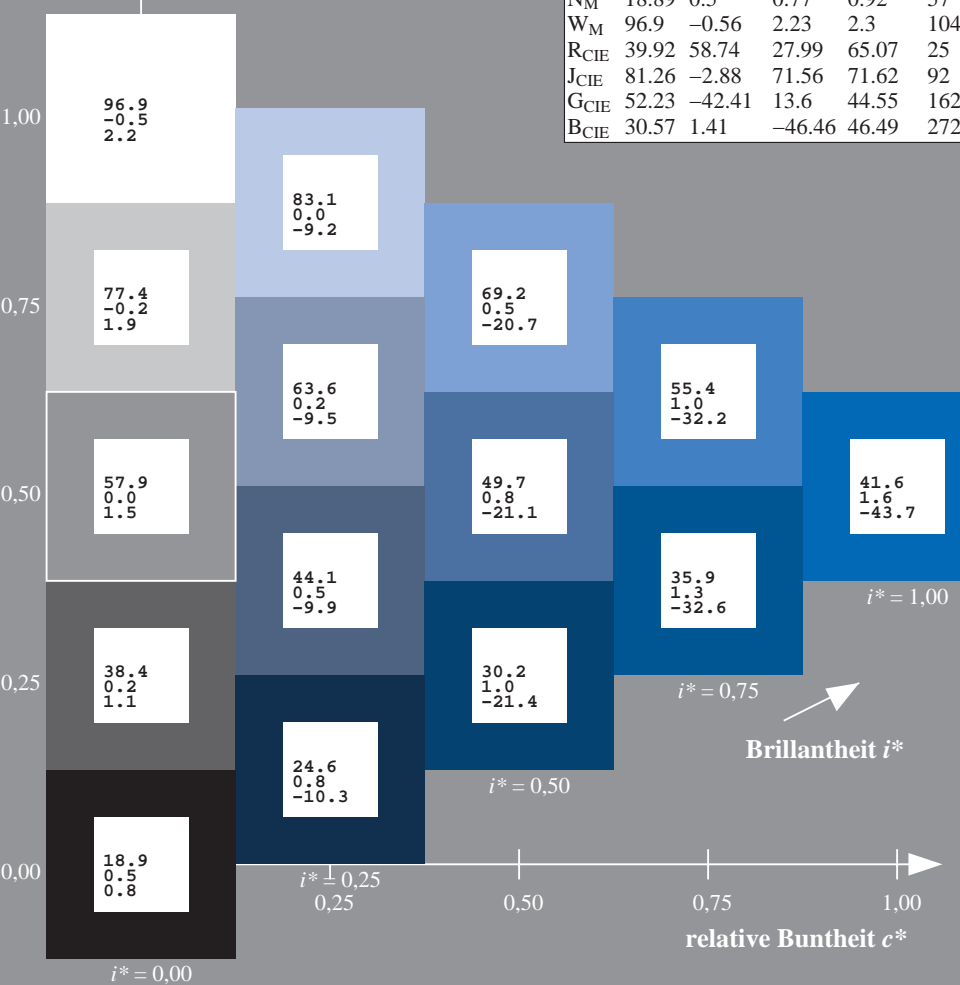
$u^*_{rel} = 89$

%Regularität

$g^*_{H,rel} = 72$

$g^*_{C,rel} = 57$

ORS19_96a; adaptierte CIELAB-Daten					
	$L^*=L^*_a$	$a^*_a$	$b^*_a$	$C^*_{ab,a}$	$h^*_{ab,a}$
r00j	48.88	66.47	31.67	73.63	25
r25j	55.85	52.39	47.48	70.7	42
r50j	65.45	35.22	58.37	68.17	59
r75j	75.19	17.82	69.41	71.66	76
j00g	87.03	-3.34	82.83	82.9	92
j25g	80.72	-25.0	69.5	73.86	110
j50g	70.64	-39.53	51.97	65.3	127
j75g	61.93	-52.09	36.83	63.8	145
g00b	52.8	-65.27	20.93	68.56	162
g25b	55.7	-49.57	-8.38	50.28	190
g50b	57.82	-38.39	-28.91	48.07	217
g75b	55.5	-22.04	-45.94	50.97	244
b00r	41.6	1.37	-45.0	45.03	272
b25r	29.0	25.08	-43.12	49.89	300
b50r	38.04	46.53	-28.38	54.51	329
b75r	49.48	72.88	-3.75	72.98	357



Ein und Ausgabe: Farbmimetrisches Drucker-Reflektiv-System ORS19\_96a für relativen CIELAB-Buntton  $h^* = lab^*h^* = h_{ab}/360 = 300/360 = 0.834$   $u^* = b25r$

Daten für jede Farbe:

$lab^*ch^*$  und  $lab^*icu^*$

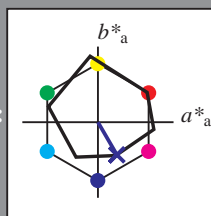
Elementar-Bunttontext:

$u^* = b25r$

Kontrastreduzierungsfaktor:

$c_R = 1.0$

Dreiecks-Helligkeit  $t^*$



ORS19_96; CIELAB-Daten					
	$L^*=L^*$	$a^*$	$b^*$	$C^*_{ab}$	$h^*_{ab}$
O <sub>M</sub>	48.75	65.16	40.76	76.86	32
Y <sub>M</sub>	90.92	-10.77	89.36	90.01	97
L <sub>M</sub>	52.69	-65.39	22.15	69.05	161
C <sub>M</sub>	59.61	-29.03	-44.68	53.3	237
V <sub>M</sub>	28.39	24.0	-43.17	49.4	299
M <sub>M</sub>	49.58	74.01	-8.21	74.47	354
N <sub>M</sub>	18.89	0.5	0.77	0.92	57
W <sub>M</sub>	96.9	-0.56	2.23	2.3	104
R <sub>CIE</sub>	39.92	58.74	27.99	65.07	25
J <sub>CIE</sub>	81.26	-2.88	71.56	71.62	92
G <sub>CIE</sub>	52.23	-42.41	13.6	44.55	162
B <sub>CIE</sub>	30.57	1.41	-46.46	46.49	272

Daten für Maximalfarbe (Ma):

$LAB^*LAB^*Ma$ : 29 25 -42

$LAB^*LCH^*Ma$ : 29 50 300

$lab^*rgb^*Ma$ : 0.5 0.0 1.0

$lab^*olv^*Ma$ : 0.03 0.0 1.0

Dreiecks-Helligkeit  $t^*$

%Umfang

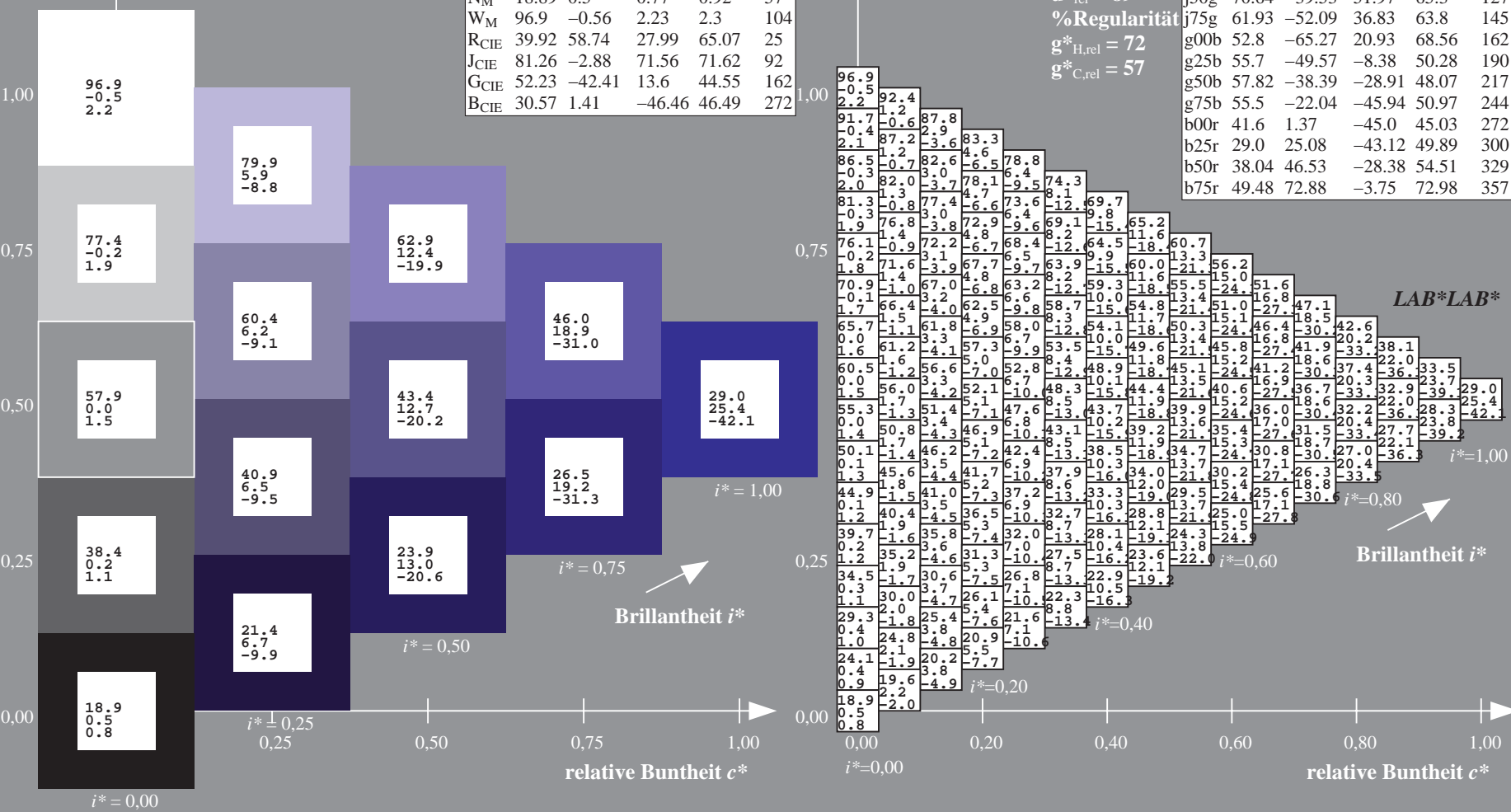
$u^*_{rel} = 89$

%Regularität

$g^*_{H,rel} = 72$

$g^*_{C,rel} = 57$

ORS19_96a; adaptierte CIELAB-Daten					
	$L^*=L^*$	$a^*_a$	$b^*_a$	$C^*_{ab,a}$	$h^*_{ab,a}$
r00j	48.88	66.47	31.67	73.63	25
r25j	55.85	52.39	47.48	70.7	42
r50j	65.45	35.22	58.37	68.17	59
r75j	75.19	17.82	69.41	71.66	76
j00g	87.03	-3.34	82.83	82.9	92
j25g	80.72	-25.0	69.5	73.86	110
j50g	70.64	-39.53	51.97	65.3	127
j75g	61.93	-52.09	36.83	63.8	145
g00b	52.8	-65.27	20.93	68.56	162
g25b	55.7	-49.57	-8.38	50.28	190
g50b	57.82	-38.39	-28.91	48.07	217
g75b	55.5	-22.04	-45.94	50.97	244
b00r	41.6	1.37	-45.0	45.03	272
b25r	29.0	25.08	-43.12	49.89	300
b50r	38.04	46.53	-28.38	54.51	329
b75r	49.48	72.88	-3.75	72.98	357





Ein und Ausgabe: Farbmimetrisches Drucker-Reflektiv-System ORS19\_96a für relativen CIELAB-Buntton  $h^* = lab^*h^* = h_{ab}/360 = 329/360 = 0.913$   $u^* = b50r$

Daten für jede Farbe:

$lab^*ch^*$  und  $lab^*icu^*$

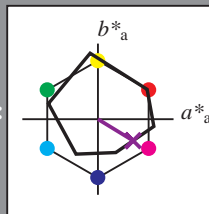
Elementar-Bunttontext:

$u^* = b50r$

Kontrastreduzierungsfaktor:

$c_R = 1.0$

Dreiecks-Helligkeit  $t^*$



ORS19_96; CIELAB-Daten					
	$L^*=L^*$	$a^*$	$b^*$	$C^*_{ab}$	$h^*_{ab}$
O <sub>M</sub>	48.75	65.16	40.76	76.86	32
Y <sub>M</sub>	90.92	-10.77	89.36	90.01	97
L <sub>M</sub>	52.69	-65.39	22.15	69.05	161
C <sub>M</sub>	59.61	-29.03	-44.68	53.3	237
V <sub>M</sub>	28.39	24.0	-43.17	49.4	299
M <sub>M</sub>	49.58	74.01	-8.21	74.47	354
N <sub>M</sub>	18.89	0.5	0.77	0.92	57
W <sub>M</sub>	96.9	-0.56	2.23	2.3	104
R <sub>CIE</sub>	39.92	58.74	27.99	65.07	25
J <sub>CIE</sub>	81.26	-2.88	71.56	71.62	92
G <sub>CIE</sub>	52.23	-42.41	13.6	44.55	162
B <sub>CIE</sub>	30.57	1.41	-46.46	46.49	272

Daten für Maximalfarbe (Ma):

$LAB^*LAB^*_{Ma}$ : 38 47 -27

$LAB^*LCH^*_{Ma}$ : 38 55 329

$lab^*rgb^*_{Ma}$ : 1.0 0.0 1.0

$lab^*olv^*_{Ma}$ : 0.46 0.0 1.0

Dreiecks-Helligkeit  $t^*$

%Umfang

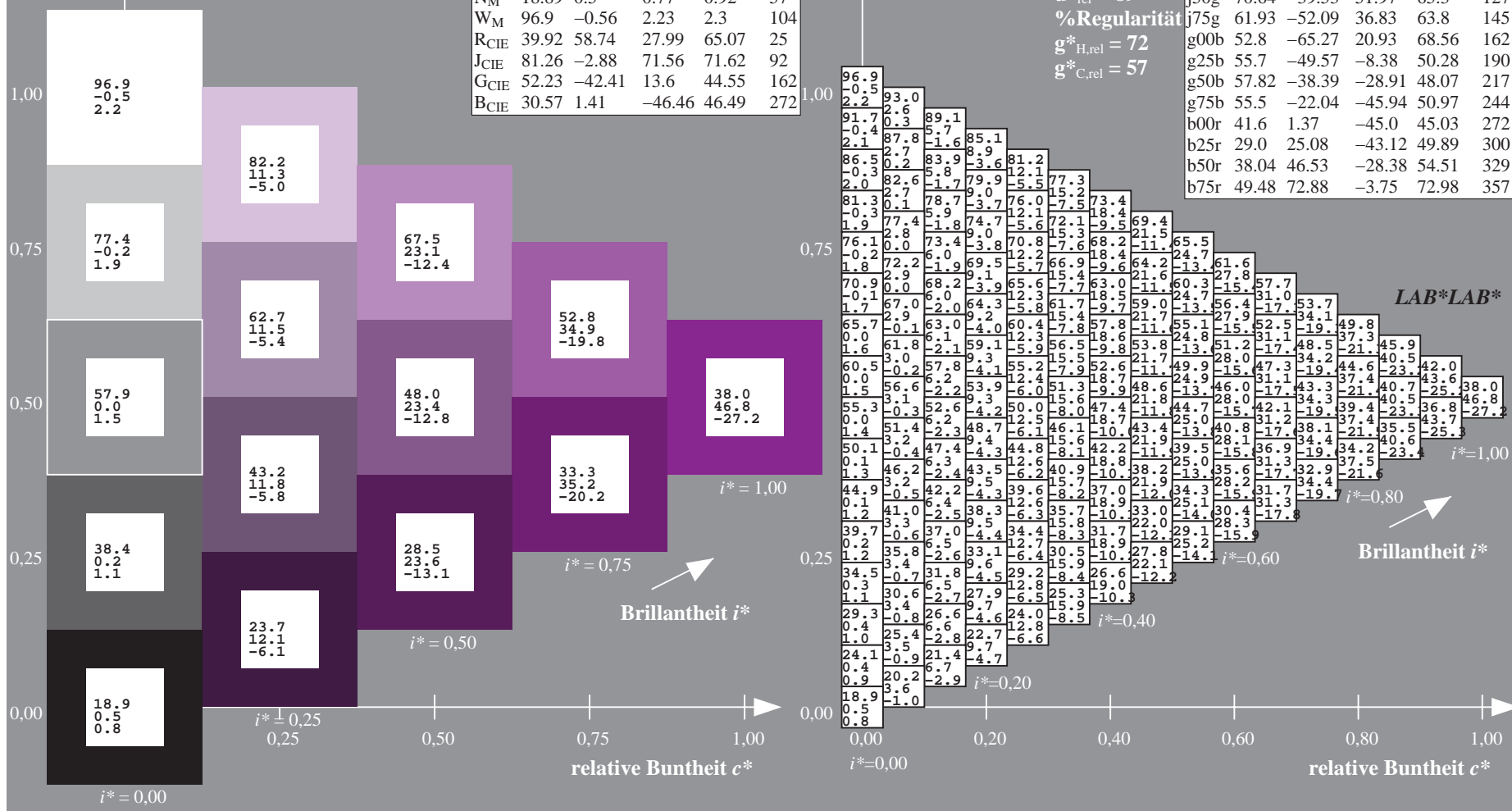
$u^*_{rel} = 89$

%Regularität

$g^*_{H,rel} = 72$

$g^*_{C,rel} = 57$

ORS19_96a; adaptierte CIELAB-Daten					
	$L^*=L^*$	$a^*_a$	$b^*_a$	$C^*_{ab,a}$	$h^*_{ab,a}$
r00j	48.88	66.47	31.67	73.63	25
r25j	55.85	52.39	47.48	70.7	42
r50j	65.45	35.22	58.37	68.17	59
r75j	75.19	17.82	69.41	71.66	76
j00g	87.03	-3.34	82.83	82.9	92
j25g	80.72	-25.0	69.5	73.86	110
j50g	70.64	-39.53	51.97	65.3	127
j75g	61.93	-52.09	36.83	63.8	145
g00b	52.8	-65.27	20.93	68.56	162
g25b	55.7	-49.57	-8.38	50.28	190
g50b	57.82	-38.39	-28.91	48.07	217
g75b	55.5	-22.04	-45.94	50.97	244
b00r	41.6	1.37	-45.0	45.03	272
b25r	29.0	25.08	-43.12	49.89	300
b50r	38.04	46.53	-28.38	54.51	329
b75r	49.48	72.88	-3.75	72.98	357



Ein und Ausgabe: Farbmetrisches Drucker-Reflektiv-System ORS19\_96a für relativen CIELAB-Buntton  $h^* = lab^*h^* = h_{ab}/360 = 357/360 = 0.992$   $u^* = b75r$

Daten für jede Farbe:

$lab^*ch^*$  und  $lab^*icu^*$

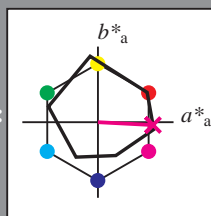
Elementar-Bunttontext:

$u^* = b75r$

Kontrastreduzierungsfaktor:

$c_R = 1.0$

Dreiecks-Helligkeit  $i^*$



ORS19_96; CIELAB-Daten					
$L^*=L^*$	$a^*$	$b^*$	$C^*_{ab}$	$h^*_{ab}$	
O <sub>M</sub>	48.75	65.16	40.76	76.86	32
Y <sub>M</sub>	90.92	-10.77	89.36	90.01	97
L <sub>M</sub>	52.69	-65.39	22.15	69.05	161
C <sub>M</sub>	59.61	-29.03	-44.68	53.3	237
V <sub>M</sub>	28.39	24.0	-43.17	49.4	299
M <sub>M</sub>	49.58	74.01	-8.21	74.47	354
N <sub>M</sub>	18.89	0.5	0.77	0.92	57
W <sub>M</sub>	96.9	-0.56	2.23	2.3	104
R <sub>CIE</sub>	39.92	58.74	27.99	65.07	25
J <sub>CIE</sub>	81.26	-2.88	71.56	71.62	92
G <sub>CIE</sub>	52.23	-42.41	13.6	44.55	162
B <sub>CIE</sub>	30.57	1.41	-46.46	46.49	272

Daten für Maximalfarbe (Ma):

$LAB^*LAB^*_{Ma}$ : 49 73 -3

$LAB^*LCH^*_{Ma}$ : 49 73 357

$lab^*rgb^*_{Ma}$ : 1.0 0.0 0.5

$lab^*olv^*_{Ma}$ : 1.0 0.0 0.88

Dreiecks-Helligkeit  $i^*$

%Umfang

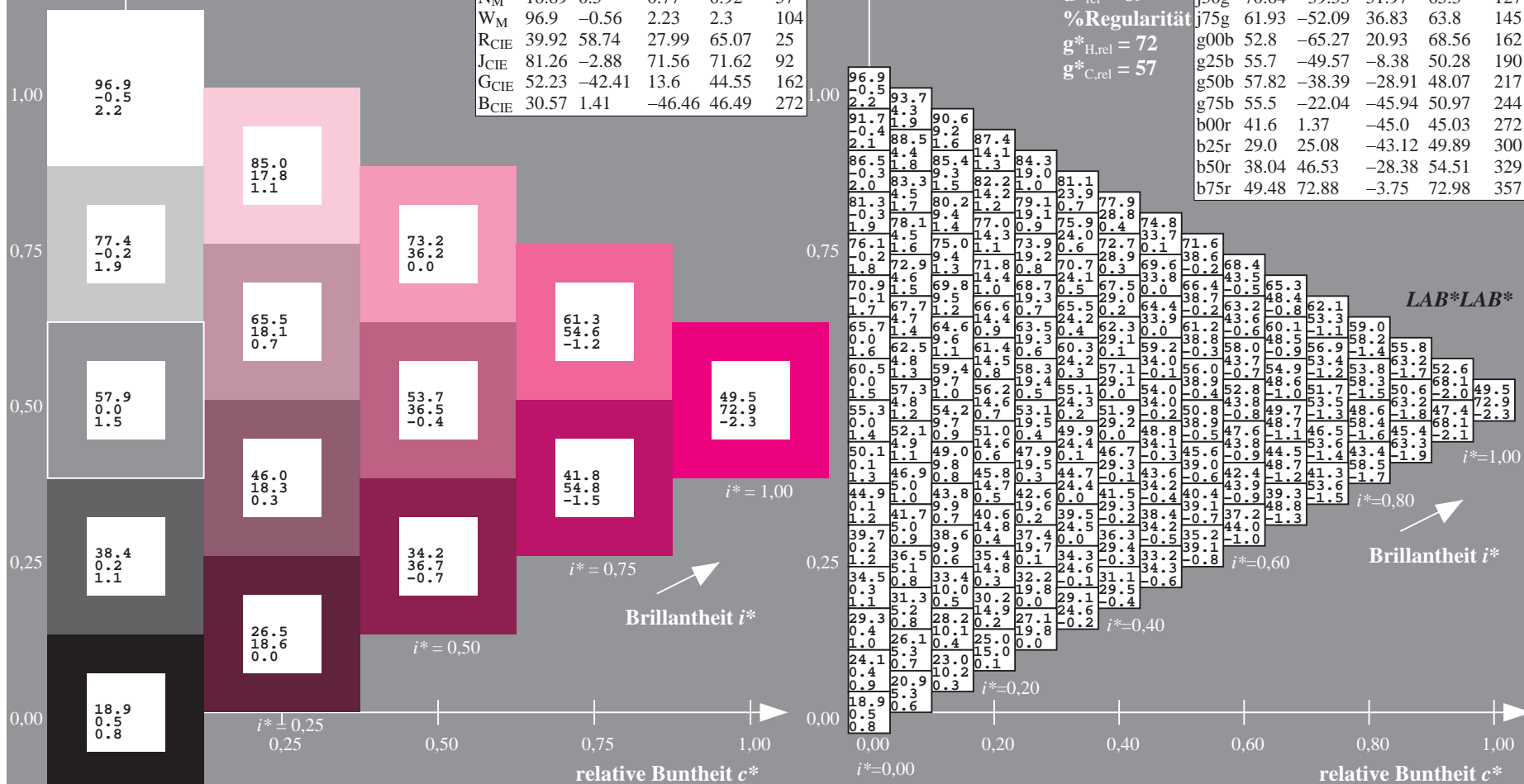
$u^*_{rel} = 89$

%Regularität

$g^*_{H,rel} = 72$

$g^*_{C,rel} = 57$

ORS19_96a; adaptierte CIELAB-Daten					
$L^*=L^*_a$	$a^*_a$	$b^*_a$	$C^*_{ab,a}$	$h^*_{ab,a}$	
r00j	48.88	66.47	31.67	73.63	25
r25j	55.85	52.39	47.48	70.7	42
r50j	65.45	35.22	58.37	68.17	59
r75j	75.19	17.82	69.41	71.66	76
j00g	87.03	-3.34	82.83	82.9	92
j25g	80.72	-25.0	69.5	73.86	110
j50g	70.64	-39.53	51.97	65.3	127
j75g	61.93	-52.09	36.83	63.8	145
g00b	52.8	-65.27	20.93	68.56	162
g25b	55.7	-49.57	-8.38	50.28	190
g50b	57.82	-38.39	-28.91	48.07	217
g75b	55.5	-22.04	-45.94	50.97	244
b00r	41.6	1.37	-45.0	45.03	272
b25r	29.0	25.08	-43.12	49.89	300
b50r	38.04	46.53	-28.38	54.51	329
b75r	49.48	72.88	-3.75	72.98	357

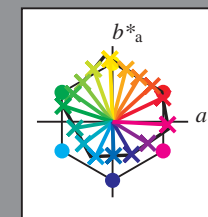


Siehe ähnliche Dateien: <http://www.ps.bam.de/Dg98/>; [www.ps.bam.de/Dg98/10L/L98G00NA.PS/.TXT](http://www.ps.bam.de/Dg98/10L/L98G00NA.PS/.TXT)  
Technische Information: [http://www.ps.bam.de/Version 2.1, io=1.1, ColSpX=1](http://www.ps.bam.de/Version%202.1,%20io=1.1,%20ColSpX=1)

	A	B	C	D	E	F	G	H	I	J	K	L	M	N	O	P	Q	R	S	T	U	V	W	X	Y	Z	a	b	c	d	e	f	g	h	i	j	k	LAB*LAB*		
01	18.9	23.1	27.3	31.6	35.8	40.0	44.2	48.5	52.7	56.9	61.1	65.3	69.5	73.7	77.9	82.1	86.3	90.5	94.7	98.9	103.1	107.3	111.5	115.7	119.9	124.1	128.3	132.5	136.7	140.9	145.1	149.3	153.5	157.7	161.9	166.1	170.3	174.5	178.7	182.9
02	0.5	-7.6	-15.9	-24.1	-32.3	-40.6	-48.8	-57.1	-65.3	-73.6	-81.8	-90.0	-98.2	-106.4	-114.6	-122.8	-131.0	-139.2	-147.4	-155.6	-163.8	-172.0	-180.2	-188.4	-196.6	-204.8	-213.0	-221.2	-229.4	-237.6	-245.8	-254.0	-262.2	-270.4	-278.6	-286.8	-295.0	-303.2	-311.4	-319.6
03	20.1	24.0	28.2	32.4	36.7	40.9	45.1	49.3	53.6	57.8	62.0	66.2	70.4	74.6	78.8	83.0	87.2	91.4	95.6	99.8	104.0	108.2	112.4	116.6	120.8	125.0	129.2	133.4	137.6	141.8	146.0	150.2	154.4	158.6	162.8	167.0	171.2	175.4	179.6	183.8
04	3.4	-3.1	-11.3	-19.6	-27.8	-36.0	-44.3	-52.5	-60.7	-68.9	-77.1	-85.4	-93.6	-101.8	-110.0	-118.2	-126.4	-134.6	-142.8	-151.0	-159.2	-167.4	-175.6	-183.8	-192.0	-200.2	-208.4	-216.6	-224.8	-233.0	-241.2	-249.4	-257.6	-265.8	-274.0	-282.2	-290.4	-298.6	-306.8	
05	-4.6	-4.8	-2.1	0.4	3.1	5.8	8.5	11.1	13.8	16.5	19.2	21.9	24.6	27.3	30.0	32.7	35.4	38.1	40.8	43.5	46.2	48.9	51.6	54.3	57.0	59.7	62.4	65.1	67.8	70.5	73.2	75.9	78.6	81.3	84.0	86.7	89.4	92.1	94.8	
06	23.1	25.2	29.1	33.3	37.5	41.7	46.0	50.2	54.4	58.6	62.8	67.0	71.2	75.4	79.6	83.8	88.0	92.2	96.4	100.6	104.8	109.0	113.2	117.4	121.6	125.8	130.0	134.2	138.4	142.6	146.8	151.0	155.2	159.4	163.6	167.8	172.0	176.2	180.4	184.6
07	6.4	-0.2	-6.8	-13.0	-23.3	-31.7	-39.7	-48.0	-56.2	-64.4	-72.6	-80.8	-89.0	-97.2	-105.4	-113.6	-121.8	-130.0	-138.2	-146.4	-154.6	-162.8	-171.0	-179.2	-187.4	-195.6	-203.8	-212.0	-220.2	-228.4	-236.6	-244.8	-253.0	-261.2	-269.4	-277.6	-285.8	-294.0	-302.2	
08	-10.1	-10.3	-10.5	-7.8	-5.1	-2.5	0.1	2.8	5.4	8.0	10.6	13.2	15.8	18.4	21.0	23.6	26.2	28.8	31.4	34.0	36.6	39.2	41.8	44.4	47.0	49.6	52.2	54.8	57.4	60.0	62.6	65.2	67.8	70.4	73.0	75.6	78.2	80.8	83.4	
09	22.5	26.4	30.3	34.2	38.4	42.6	46.8	51.1	55.3	59.5	63.7	67.9	72.1	76.3	80.5	84.7	88.9	93.1	97.3	101.5	105.7	109.9	114.1	118.3	122.5	126.7	130.9	135.1	139.3	143.5	147.7	151.9	156.1	160.3	164.5	168.7	172.9	177.1	181.3	185.5
10	9.3	2.7	-3.8	-10.5	-17.8	-26.9	-35.2	-43.4	-51.7	-59.9	-68.2	-76.4	-84.6	-92.8	-101.0	-109.2	-117.4	-125.6	-133.8	-142.0	-150.2	-158.4	-166.6	-174.8	-183.0	-191.2	-199.4	-207.6	-215.8	-224.0	-232.2	-240.4	-248.6	-256.8	-265.0	-273.2	-281.4	-289.6	-297.8	
11	-15.6	-15.8	-16.0	-16.2	-13.5	-10.8	-8.2	-5.5	-2.8	-0.1	2.6	5.1	7.6	10.1	12.6	15.1	17.6	20.1	22.6	25.1	27.6	30.1	32.6	35.1	37.6	40.1	42.6	45.1	47.6	50.1	52.6	55.1	57.6	60.1	62.6	65.1	67.6	70.1	72.6	
12	23.6	27.5	31.4	35.4	39.3	43.3	47.3	51.3	55.3	59.3	63.3	67.3	71.3	75.3	79.3	83.3	87.3	91.3	95.3	99.3	103.3	107.3	111.3	115.3	119.3	123.3	127.3	131.3	135.3	139.3	143.3	147.3	151.3	155.3	159.3	163.3	167.3	171.3	175.3	
13	12.2	5.6	-0.9	-7.5	-14.2	-22.4	-30.6	-38.8	-47.0	-55.2	-63.4	-71.6	-79.8	-88.0	-96.2	-104.4	-112.6	-120.8	-129.0	-137.2	-145.4	-153.6	-161.8	-170.0	-178.2	-186.4	-194.6	-202.8	-211.0	-219.2	-227.4	-235.6	-243.8	-252.0	-260.2	-268.4	-276.6	-284.8		
14	-21.1	-21.3	-21.5	-21.7	-21.9	-19.2	-16.5	-13.8	-11.2	-8.5	-5.8	-3.1	0.4	3.1	5.8	8.5	11.2	13.9	16.6	19.3	22.0	24.7	27.4	30.1	32.8	35.5	38.2	40.9	43.6	46.3	49.0	51.7	54.4	57.1	59.8	62.5	65.2	67.9	70.6	
15	24.8	28.7	32.6	36.5	40.4	44.3	48.2	52.1	56.0	59.9	63.8	67.7	71.6	75.5	79.4	83.3	87.2	91.1	95.0	98.9	102.8	106.7	110.6	114.5	118.4	122.3	126.2	130.1	134.0	137.9	141.8	145.7	149.6	153.5	157.4	161.3	165.2	169.1	173.0	
16	15.2	8.6	1.9	-4.6	-11.2	-17.9	-24.6	-31.3	-38.0	-44.7	-51.4	-58.1	-64.8	-71.5	-78.2	-84.9	-91.6	-98.3	-105.0	-111.7	-118.4	-125.1	-131.8	-138.5	-145.2	-151.9	-158.6	-165.3	-172.0	-178.7	-185.4	-192.1	-198.8	-205.5	-212.2	-218.9	-225.6	-232.3		
17	-26.6	-26.8	-27.0	-27.2	-27.4	-24.9	-22.2	-19.5	-16.8	-14.1	-11.4	-8.7	-6.0	-3.3	-0.6	2.1	4.8	7.5	10.2	12.9	15.6	18.3	21.0	23.7	26.4	29.1	31.8	34.5	37.2	39.9	42.6	45.3	48.0	50.7	53.4	56.1	58.8	61.5		
18	20.0	29.9	33.8	37.7	41.6	45.5	49.4	53.3	57.2	61.1	65.0	68.9	72.8	76.7	80.6	84.5	88.4	92.3	96.2	100.1	104.0	107.9	111.8	115.7	119.6	123.5	127.4	131.3	135.2	139.1	143.0	146.9	150.8	154.7	158.6	162.5	166.4	170.3	174.2	
19	-32.1	-32.3	-32.5	-32.7	-32.9	-30.2	-27.5	-24.8	-22.1	-19.4	-16.7	-14.0	-11.3	-8.6	-5.9	-3.2	-0.5	2.2	4.9	7.6	10.3	13.0	15.7	18.4	21.1	23.8	26.5	29.2	31.9	34.6	37.3	40.0	42.7	45.4	48.1	50.8	53.5	56.2		
20	27.2	31.1	35.0	38.9	42.8	46.7	50.6	54.5	58.4	62.3	66.2	70.1	74.0	77.9	81.8	85.7	89.6	93.5	97.4	101.3	105.2	109.1	113.0	116.9	120.8	124.7	128.6	132.5	136.4	140.3	144.2	148.1	152.0	155.9	159.8	163.7	167.6	171.5	175.4	
21	12.1	14.4	7.8	1.2	-5.4	-12.0	-18.6	-25.2	-31.7	-38.3	-44.8	-51.4	-57.9	-64.5	-71.1	-77.7	-84.3	-90.9	-97.5	-104.1	-110.7	-117.3	-123.9	-130.5	-137.1	-143.7	-150.3	-156.9	-163.5	-170.1	-176.7	-183.3	-189.9	-196.5	-203.1	-209.7	-216.3	-222.9		
22	-37.6	-37.8	-38.0	-38.1	-38.3	-38.5	-38.7	-38.9	-39.1	-39.3	-39.5	-39.7	-39.9	-40.1	-40.3	-40.5	-40.7	-40.9	-41.1	-41.3	-41.5	-41.7	-41.9	-42.1	-42.3	-42.5	-42.7	-42.9	-43.1	-43.3	-43.5	-43.7	-43.9	-44.1	-44.3	-44.5	-44.7	-44.9	-45.1	
23	28.4	32.3	36.2	40.1	44.0	47.9	51.8	55.7	59.6	63.5	67.4	71.3	75.2	79.1	83.0	86.9	90.8	94.7	98.6	102.5	106.4	110.3	114.2	118.1	122.0	125.9	129.8	133.7	137.6	141.5	145.4	149.3	153.2	157.1	161.0	164.9	168.8	172.7	176.6	
24	20.4	17.4	10.7	4.1	-2.4	-9.0	-15.7	-22.3	-28.9	-35.2	-41.5	-47.8	-54.1	-60.4	-66.7	-73.0	-79.3	-85.6	-91.9	-98.2	-104.5	-110.8	-117.1	-123.4	-129.7	-136.0	-142.3	-148.6	-154.9	-161.2	-167.5	-173.8	-180.1	-186.4	-192.7	-199.0	-205.3	-211.6		
25	-43.1	-43.3	-43.4	-43.6	-43.8	-44.0	-44.2	-44.4	-44.6	-44.8	-45.0	-45.2	-45.4	-45.6	-45.8	-46.0	-46.2	-46.4	-46.6	-46.8	-47.0	-47.2	-47.4	-47.6	-47.8	-48.0	-48.2	-48.4	-48.6	-48.8	-49.0	-49.2	-49.4	-49.6	-49.8	-50.0	-50.2	-50.4		
26	30.1	35.4	40.6	45.9	50.1	54.4	58.6	62.8	67.0	71.2	75.4	79.6	83.8	88.0	92.2	96.4	100.6	104.8	109.0	113.2	117.4	121.6	125.8	129.9	134.1	138.3	142.5	146.7	150.9	155.1	159.3	163.5	167.7	171.9	176.1	180.3	184.5	188.7	192.9	
27	15.3	5.8	-3.6	-11.9	-20.1	-28.3	-36.6	-44.8	-53.0	-61.2	-69.4	-77.6	-85.8	-94.0	-102.2	-110.4	-118.6	-1262.8																						

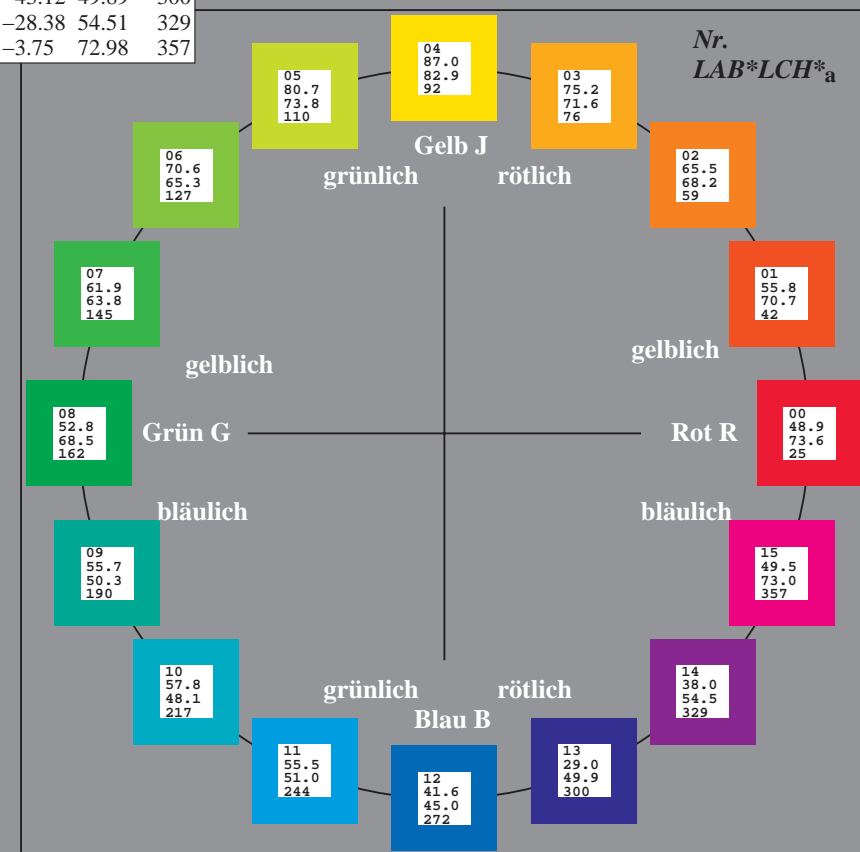
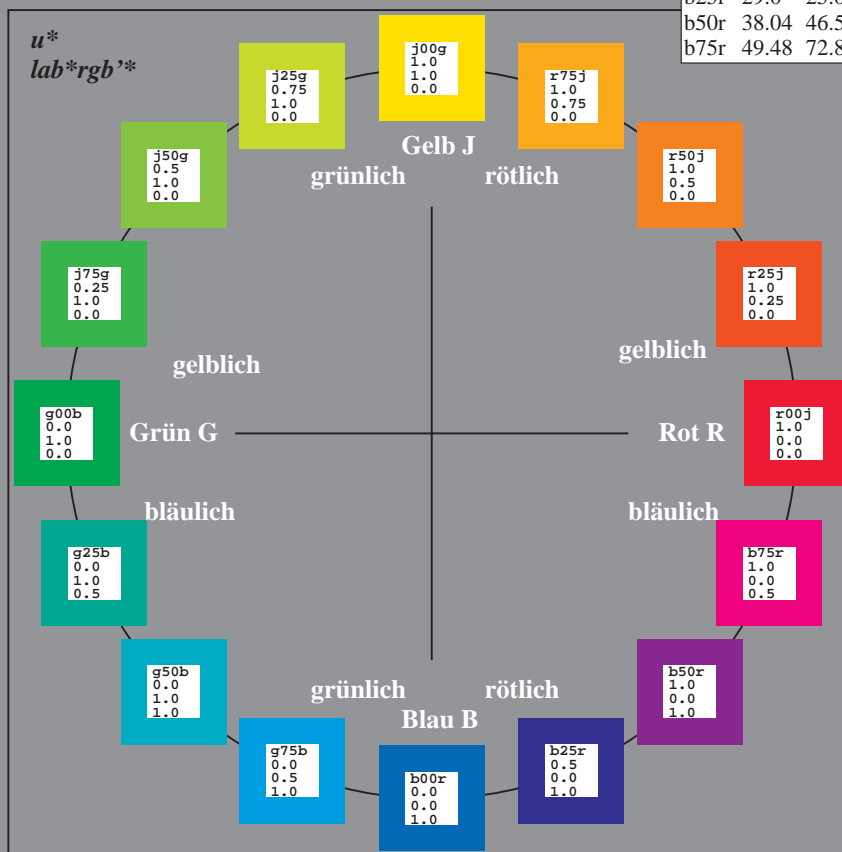
Ein und Ausgabe:  
Farbmetrisches Drucker-Reflektiv-System ORS19\_96a  
Daten für jede Farbe:  
*lab\*<sub>tch\*</sub>* und *lab\*<sub>icu\*</sub>*  
Elementar-Bunttontext:  
*u\** = 16 Buntttöne *r00j*, *r25j*, ..., *b75r*  
Kontrastreduzierungsfaktor:  
*c<sub>R</sub>* = 1.0

ORS19_96a; adaptierte CIELAB-Daten					
	<i>L*</i> = <i>L*</i> <sub>a</sub>	<i>a*</i> <sub>a</sub>	<i>b*</i> <sub>a</sub>	<i>C*</i> <sub>ab,a</sub>	<i>h*</i> <sub>ab,a</sub>
r00j	48.88	66.47	31.67	73.63	25
r25j	55.85	52.39	47.48	70.7	42
r50j	65.45	35.22	58.37	68.17	59
r75j	75.19	17.82	69.41	71.66	76
j00g	87.03	-3.34	82.83	82.9	92
j25g	80.72	-25.0	69.5	73.86	110
j50g	70.64	-39.53	51.97	65.3	127
j75g	61.93	-52.09	36.83	63.8	145
g00b	52.8	-65.27	20.93	68.56	162
g25b	55.7	-49.57	-8.38	50.28	190
g50b	57.82	-38.39	-28.91	48.07	217
g75b	55.5	-22.04	-45.94	50.97	244
b00r	41.6	1.37	-45.0	45.03	272
b25r	29.0	25.08	-43.12	49.89	300
b50r	38.04	46.53	-28.38	54.51	329
b75r	49.48	72.88	-3.75	72.98	357



%Umfang  
*u\**<sub>rel</sub> = 89  
%Regularität  
*g\**<sub>H,rel</sub> = 72  
*g\**<sub>C,rel</sub> = 57

ORS19_96a; CIELAB-Daten					
	<i>L*</i> = <i>L*</i>	<i>a*</i>	<i>b*</i>	<i>C*</i> <sub>ab</sub>	<i>h*</i> <sub>ab</sub>
O <sub>M</sub>	48.75	65.16	40.76	76.86	32
Y <sub>M</sub>	90.92	-10.77	89.36	90.01	97
L <sub>M</sub>	52.69	-65.39	22.15	69.05	161
C <sub>M</sub>	59.61	-29.03	-44.68	53.3	237
V <sub>M</sub>	28.39	24.0	-43.17	49.4	299
M <sub>M</sub>	49.58	74.01	-8.21	74.47	354
N <sub>M</sub>	18.89	0.5	0.77	0.92	57
W <sub>M</sub>	96.9	-0.56	2.23	2.3	104
R <sub>CIE</sub>	39.92	58.74	27.99	65.07	25
J <sub>CIE</sub>	81.26	-2.88	71.56	71.62	92
G <sub>CIE</sub>	52.23	-42.41	13.6	44.55	162
B <sub>CIE</sub>	30.57	1.41	-46.46	46.49	272





Ein und Ausgabe: Farbmetrisches Drucker-Reflektiv-System ORS19\_96a für relativen CIELAB-Buntton  $h^* = lab^*h^* = h_{ab}/360 = 25/360 = 0.071$   $u^* = r00j$   
Daten für jede Farbe:  $lab^*ch^*$  und  $lab^*icu^*$

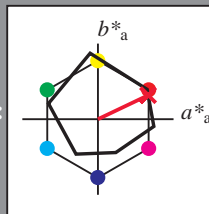
Elementar-Bunttontext:

$u^* = r00j$

Kontrastreduzierungsfaktor:

$c_R = 1.0$

Dreiecks-Helligkeit  $t^*$



ORS19_96a; CIELAB-Daten					
	$L^*=L^*$	$a^*$	$b^*$	$C^*_{ab}$	$h^*_{ab}$
O <sub>M</sub>	48.75	65.16	40.76	76.86	32
Y <sub>M</sub>	90.92	-10.77	89.36	90.01	97
L <sub>M</sub>	52.69	-65.39	22.15	69.05	161
C <sub>M</sub>	59.61	-29.03	-44.68	53.3	237
V <sub>M</sub>	28.39	24.0	-43.17	49.4	299
M <sub>M</sub>	49.58	74.01	-8.21	74.47	354
N <sub>M</sub>	18.89	0.5	0.77	0.92	57
W <sub>M</sub>	96.9	-0.56	2.23	2.3	104
R <sub>CIE</sub>	39.92	58.74	27.99	65.07	25
J <sub>CIE</sub>	81.26	-2.88	71.56	71.62	92
G <sub>CIE</sub>	52.23	-42.41	13.6	44.55	162
B <sub>CIE</sub>	30.57	1.41	-46.46	46.49	272

Daten für Maximalfarbe (Ma):

$LAB^*LAB^*_{Ma}$ : 49 66 32

$LAB^*LCH^*_{Ma}$ : 49 74 25

$lab^*rgb^*_{Ma}$ : 1.0 0.0 0.0

$lab^*olv^*_{Ma}$ : 1.0 0.0 0.16

Dreiecks-Helligkeit  $t^*$

%Umfang

$u^*_{rel} = 89$

%Regularität

$g^*_{H,rel} = 72$

$g^*_{C,rel} = 57$

ORS19_96a; adaptierte CIELAB-Daten					
	$L^*=L^*_a$	$a^*_a$	$b^*_a$	$C^*_{ab,a}$	$h^*_{ab,a}$
r00j	48.88	66.47	31.67	73.63	25
r25j	55.85	52.39	47.48	70.7	42
r50j	65.45	35.22	58.37	68.17	59
r75j	75.19	17.82	69.41	71.66	76
j00g	87.03	-3.34	82.83	82.9	92
j25g	80.72	-25.0	69.5	73.86	110
j50g	70.64	-39.53	51.97	65.3	127
j75g	61.93	-52.09	36.83	63.8	145
g00b	52.8	-65.27	20.93	68.56	162
g25b	55.7	-49.57	-8.38	50.28	190
g50b	57.82	-38.39	-28.91	48.07	217
g75b	55.5	-22.04	-45.94	50.97	244
b00r	41.6	1.37	-45.0	45.03	272
b25r	29.0	25.08	-43.12	49.89	300
b50r	38.04	46.53	-28.38	54.51	329
b75r	49.48	72.88	-3.75	72.98	357

Ein und Ausgabe: Farbmimetrisches Drucker-Reflektiv-System ORS19\_96a für relativen CIELAB-Buntton  $h^* = lab^*h^* = h_{ab}/360 = 42/360 = 0.117$   $u^* = r25j$

Daten für jede Farbe:

$lab^*ch^*$  und  $lab^*icu^*$

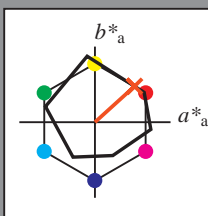
Elementar-Bunttonstext:

$u^* = r25j$

Kontrastreduzierungsfaktor:

$c_R = 1.0$

Dreiecks-Helligkeit  $t^*$



ORS19_96a; CIELAB-Daten					
	$L^*=L^*$	$a^*$	$b^*$	$C^*_{ab}$	$h^*_{ab}$
O <sub>M</sub>	48.75	65.16	40.76	76.86	32
Y <sub>M</sub>	90.92	-10.77	89.36	90.01	97
L <sub>M</sub>	52.69	-65.39	22.15	69.05	161
C <sub>M</sub>	59.61	-29.03	-44.68	53.3	237
V <sub>M</sub>	28.39	24.0	-43.17	49.4	299
M <sub>M</sub>	49.58	74.01	-8.21	74.47	354
N <sub>M</sub>	18.89	0.5	0.77	0.92	57
W <sub>M</sub>	96.9	-0.56	2.23	2.3	104
R <sub>CIE</sub>	39.92	58.74	27.99	65.07	25
J <sub>CIE</sub>	81.26	-2.88	71.56	71.62	92
G <sub>CIE</sub>	52.23	-42.41	13.6	44.55	162
B <sub>CIE</sub>	30.57	1.41	-46.46	46.49	272

Daten für Maximalfarbe (Ma):

$LAB^*LAB^*_{Ma}$ : 56 52 47

$LAB^*LCH^*_{Ma}$ : 56 71 42

$lab^*rgb^*_{Ma}$ : 1.0 0.25 0.0

$lab^*olv^*_{Ma}$ : 1.0 0.17 0.0

Dreiecks-Helligkeit  $t^*$

%Umfang

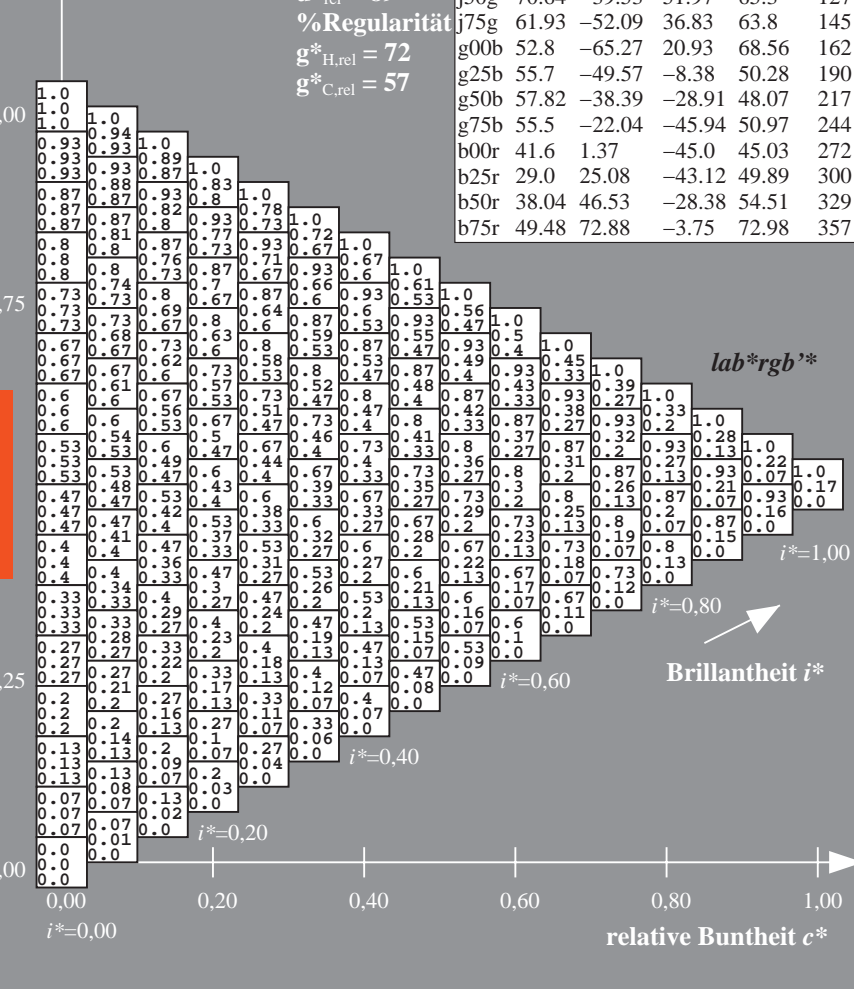
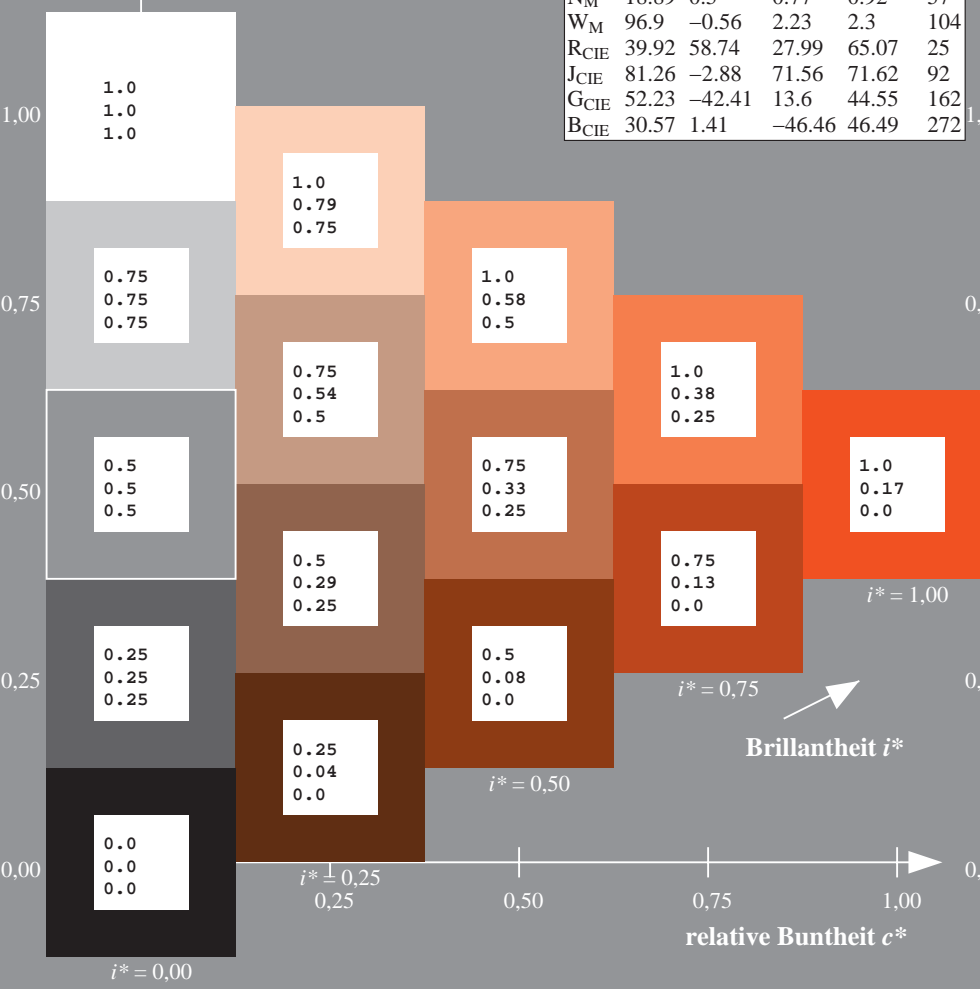
$u^*_{rel} = 89$

%Regularität

$g^*_{H,rel} = 72$

$g^*_{C,rel} = 57$

ORS19_96a; adaptierte CIELAB-Daten					
	$L^*=L^*_a$	$a^*_a$	$b^*_a$	$C^*_{ab,a}$	$h^*_{ab,a}$
r00j	48.88	66.47	31.67	73.63	25
r25j	55.85	52.39	47.48	70.7	42
r50j	65.45	35.22	58.37	68.17	59
r75j	75.19	17.82	69.41	71.66	76
j00g	87.03	-3.34	82.83	82.9	92
j25g	80.72	-25.0	69.5	73.86	110
j50g	70.64	-39.53	51.97	65.3	127
j75g	61.93	-52.09	36.83	63.8	145
g00b	52.8	-65.27	20.93	68.56	162
g25b	55.7	-49.57	-8.38	50.28	190
g50b	57.82	-38.39	-28.91	48.07	217
g75b	55.5	-22.04	-45.94	50.97	244
b00r	41.6	1.37	-45.0	45.03	272
b25r	29.0	25.08	-43.12	49.89	300
b50r	38.04	46.53	-28.38	54.51	329
b75r	49.48	72.88	-3.75	72.98	357



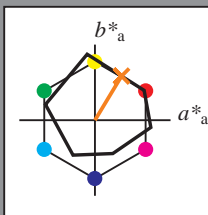
Ein und Ausgabe: Farbmetrisches Drucker-Reflektiv-System ORS19\_96a für relativen CIELAB-Buntton  $h^* = lab^*h^* = h_{ab}/360 = 59/360 = 0.164$   $u^* = r50j$

Daten für jede Farbe:  
 $lab^*ch^*$  und  $lab^*icu^*$

Elementar-Bunttontext:  
 $u^* = r50j$

Kontrastreduzierungsfaktor:  
 $c_R = 1.0$

Dreiecks-Helligkeit  $t^*$



ORS19_96a; CIELAB-Daten					
	$L^*=L^*$	$a^*$	$b^*$	$C^*_{ab}$	$h^*_{ab}$
O <sub>M</sub>	48.75	65.16	40.76	76.86	32
Y <sub>M</sub>	90.92	-10.77	89.36	90.01	97
L <sub>M</sub>	52.69	-65.39	22.15	69.05	161
C <sub>M</sub>	59.61	-29.03	-44.68	53.3	237
V <sub>M</sub>	28.39	24.0	-43.17	49.4	299
M <sub>M</sub>	49.58	74.01	-8.21	74.47	354
N <sub>M</sub>	18.89	0.5	0.77	0.92	57
W <sub>M</sub>	96.9	-0.56	2.23	2.3	104
R <sub>CIE</sub>	39.92	58.74	27.99	65.07	25
J <sub>CIE</sub>	81.26	-2.88	71.56	71.62	92
G <sub>CIE</sub>	52.23	-42.41	13.6	44.55	162
B <sub>CIE</sub>	30.57	1.41	-46.46	46.49	272

Daten für Maximalfarbe (Ma):

$LAB^*LAB^*_{Ma}$ : 65 35 58

$LAB^*LCH^*_{Ma}$ : 65 68 59

$lab^*rgb^*_{Ma}$ : 1.0 0.5 0.0

$lab^*olv^*_{Ma}$ : 1.0 0.4 0.0

Dreiecks-Helligkeit  $t^*$

%Umfang

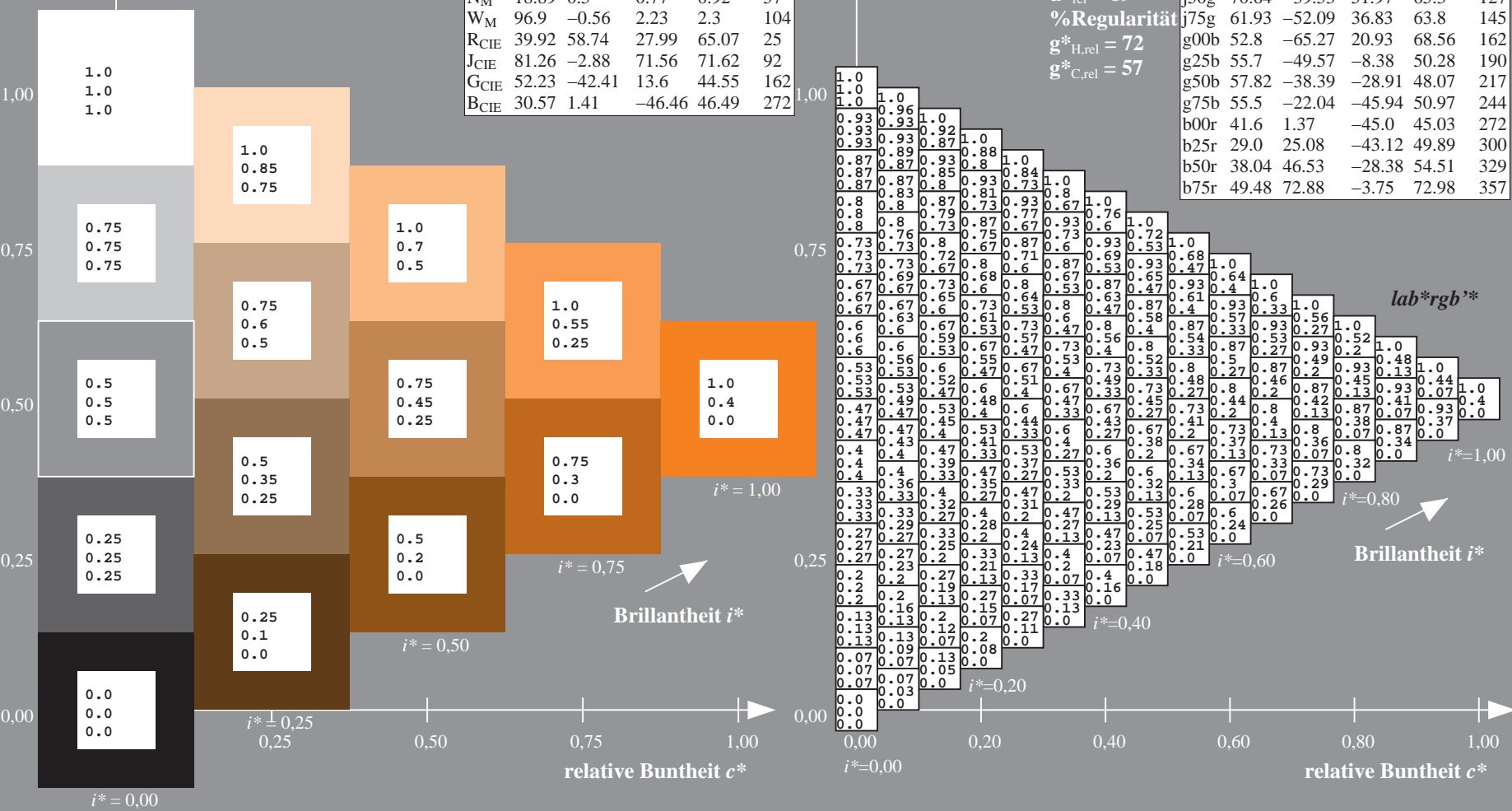
$u^*_{rel} = 89$

%Regularität

$g^*_{H,rel} = 72$

$g^*_{C,rel} = 57$

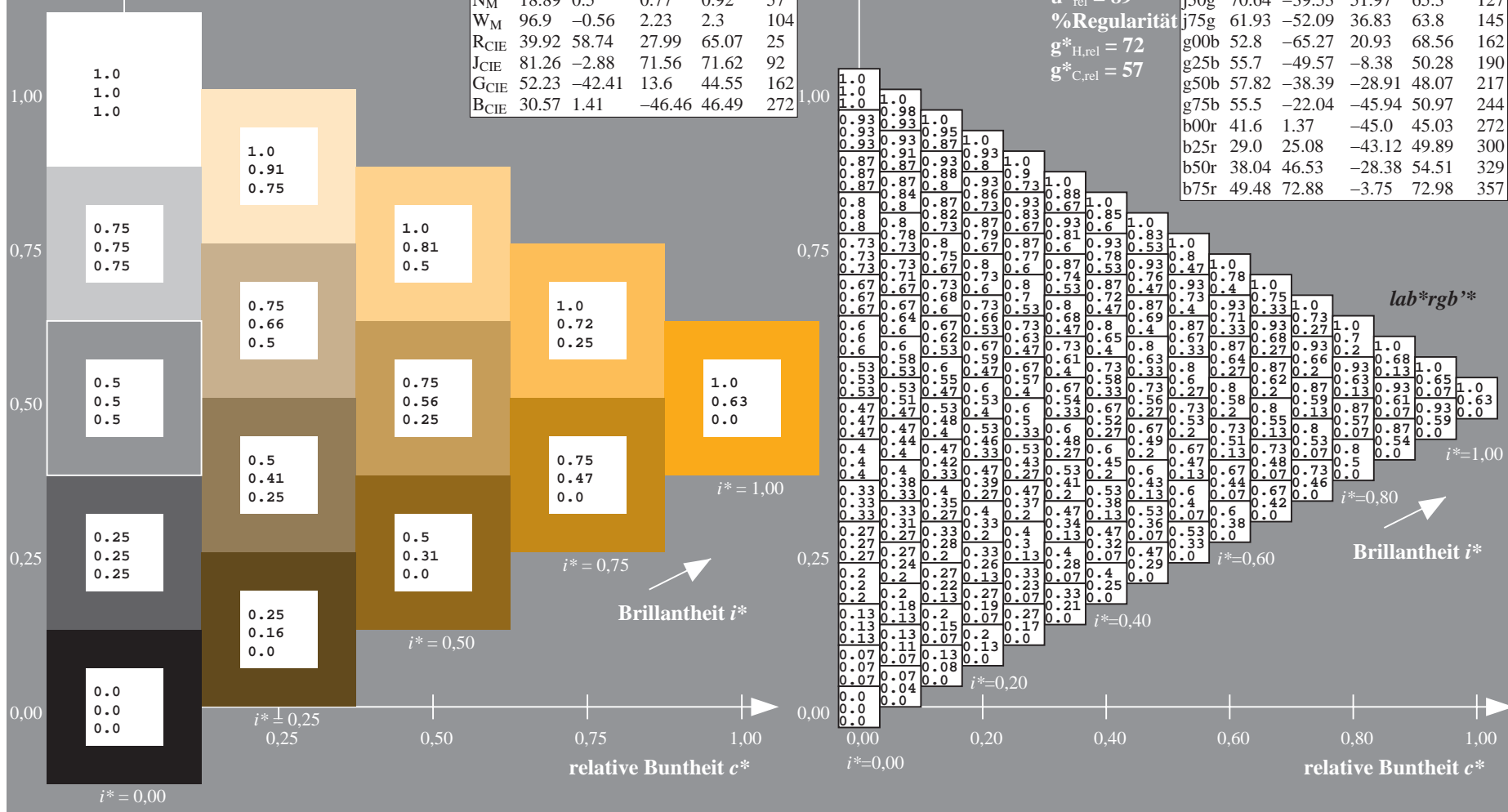
ORS19_96a; adaptierte CIELAB-Daten					
	$L^*=L^*_a$	$a^*_a$	$b^*_a$	$C^*_{ab,a}$	$h^*_{ab,a}$
r00j	48.88	66.47	31.67	73.63	25
r25j	55.85	52.39	47.48	70.7	42
r50j	65.45	35.22	58.37	68.17	59
r75j	75.19	17.82	69.41	71.66	76
j00g	87.03	-3.34	82.83	82.9	92
j25g	80.72	-25.0	69.5	73.86	110
j50g	70.64	-39.53	51.97	65.3	127
j75g	61.93	-52.09	36.83	63.8	145
g00b	52.8	-65.27	20.93	68.56	162
g25b	55.7	-49.57	-8.38	50.28	190
g50b	57.82	-38.39	-28.91	48.07	217
g75b	55.5	-22.04	-45.94	50.97	244
b00r	41.6	1.37	-45.0	45.03	272
b25r	29.0	25.08	-43.12	49.89	300
b50r	38.04	46.53	-28.38	54.51	329
b75r	49.48	72.88	-3.75	72.98	357



**Directs Strength:**



r00j	48.88	66.47	31.67	73.63	25
r25j	55.85	52.39	47.48	70.7	42
r50j	65.45	35.22	58.37	68.17	59
r75j	75.19	17.82	69.41	71.66	76
j00g	87.03	-3.34	82.83	82.9	92
j25g	80.72	-25.0	69.5	73.86	110
j50g	70.64	-39.53	51.97	65.3	127
j75g	61.93	-52.09	36.83	63.8	145
g00b	52.8	-65.27	20.93	68.56	162
g25b	55.7	-49.57	-8.38	50.28	190
g50b	57.82	-38.39	-28.91	48.07	217
g75b	55.5	-22.04	-45.94	50.97	244
b00r	41.6	1.37	-45.0	45.03	272
b25r	29.0	25.08	-43.12	49.89	300
b50r	38.04	46.53	-28.38	54.51	329
b75r	49.48	72.88	-3.75	72.98	357





Ein und Ausgabe: Farbmetrisches Drucker-Reflektiv-System ORS19\_96a für relativen CIELAB-Buntton  $h^* = lab^*h^* = h_{ab}/360 = 92/360 = 0.256$   $u^* = j00g$   
Daten für jede Farbe:  $lab^*ch^*$  und  $lab^*icu^*$

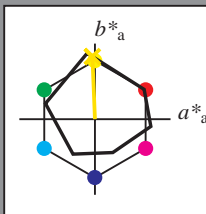
Elementar-Bunttontext:

$u^* = j00g$

Kontrastreduzierungsfaktor:

$c_R = 1.0$

Dreiecks-Helligkeit  $t^*$



ORS19_96a; CIELAB-Daten					
	$L^*=L^*$	$a^*$	$b^*$	$C^*_{ab}$	$h^*_{ab}$
O <sub>M</sub>	48.75	65.16	40.76	76.86	32
Y <sub>M</sub>	90.92	-10.77	89.36	90.01	97
L <sub>M</sub>	52.69	-65.39	22.15	69.05	161
C <sub>M</sub>	59.61	-29.03	-44.68	53.3	237
V <sub>M</sub>	28.39	24.0	-43.17	49.4	299
M <sub>M</sub>	49.58	74.01	-8.21	74.47	354
N <sub>M</sub>	18.89	0.5	0.77	0.92	57
W <sub>M</sub>	96.9	-0.56	2.23	2.3	104
R <sub>CIE</sub>	39.92	58.74	27.99	65.07	25
J <sub>CIE</sub>	81.26	-2.88	71.56	71.62	92
G <sub>CIE</sub>	52.23	-42.41	13.6	44.55	162
B <sub>CIE</sub>	30.57	1.41	-46.46	46.49	272

Daten für Maximalfarbe (Ma):

$LAB^*LAB^*_{Ma}$ : 87 -2 83

$LAB^*LCH^*_{Ma}$ : 87 83 92

$lab^*rgb^*_{Ma}$ : 1.0 1.0 0.0

$lab^*olv^*_{Ma}$ : 1.0 0.91 0.0

Dreiecks-Helligkeit  $t^*$

%Umfang

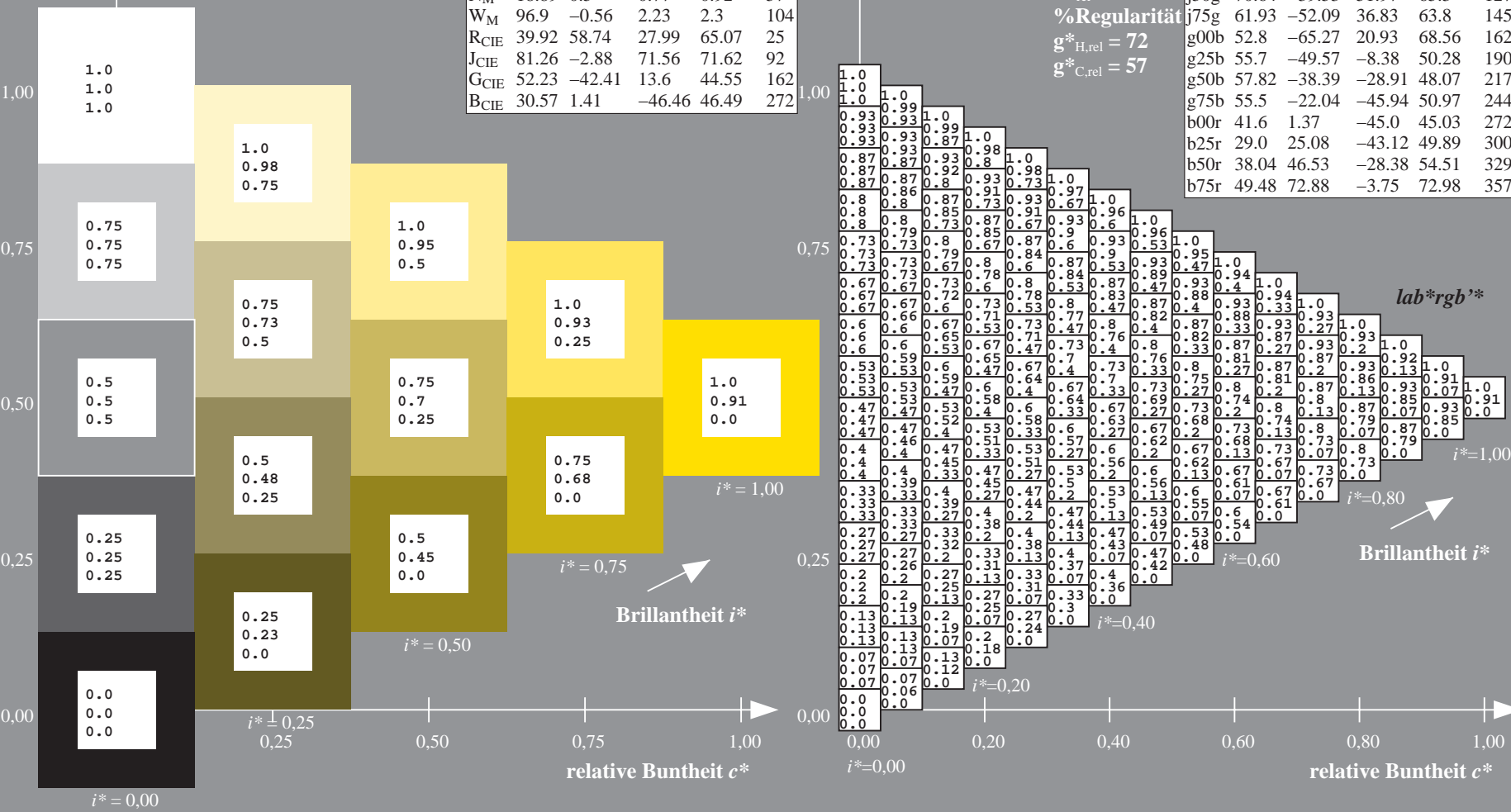
$u^*_{rel} = 89$

%Regularität

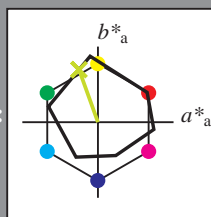
$g^*_{H,rel} = 72$

$g^*_{C,rel} = 57$

ORS19_96a; adaptierte CIELAB-Daten					
	$L^*=L^*_a$	$a^*_a$	$b^*_a$	$C^*_{ab,a}$	$h^*_{ab,a}$
r00j	48.88	66.47	31.67	73.63	25
r25j	55.85	52.39	47.48	70.7	42
r50j	65.45	35.22	58.37	68.17	59
r75j	75.19	17.82	69.41	71.66	76
j00g	87.03	-3.34	82.83	82.9	92
j25g	80.72	-25.0	69.5	73.86	110
j50g	70.64	-39.53	51.97	65.3	127
j75g	61.93	-52.09	36.83	63.8	145
g00b	52.8	-65.27	20.93	68.56	162
g25b	55.7	-49.57	-8.38	50.28	190
g50b	57.82	-38.39	-28.91	48.07	217
g75b	55.5	-22.04	-45.94	50.97	244
b00r	41.6	1.37	-45.0	45.03	272
b25r	29.0	25.08	-43.12	49.89	300
b50r	38.04	46.53	-28.38	54.51	329
b75r	49.48	72.88	-3.75	72.98	357



Ein und Ausgabe: Farbmetrisches Drucker-Reflektiv-System ORS19\_96a für relativen CIELAB-Buntton  $h^* = lab^*h^* = h_{ab}/360 = 110/360 = 0.305$   $u^* = j25g$   
Daten für jede Farbe:  
 $lab^*ch^*$  und  $lab^*icu^*$   
Elementar-Bunttontext:  
 $u^* = j25g$   
Kontrastreduzierungsfaktor:  
 $c_R = 1.0$   
Dreiecks-Helligkeit  $i^*$



ORS19_96a; CIELAB-Daten					
	$L^*=L^*$	$a^*$	$b^*$	$C^*_{ab}$	$h^*_{ab}$
O <sub>M</sub>	48.75	65.16	40.76	76.86	32
Y <sub>M</sub>	90.92	-10.77	89.36	90.01	97
L <sub>M</sub>	52.69	-65.39	22.15	69.05	161
C <sub>M</sub>	59.61	-29.03	-44.68	53.3	237
V <sub>M</sub>	28.39	24.0	-43.17	49.4	299
M <sub>M</sub>	49.58	74.01	-8.21	74.47	354
N <sub>M</sub>	18.89	0.5	0.77	0.92	57
W <sub>M</sub>	96.9	-0.56	2.23	2.3	104
R <sub>CIE</sub>	39.92	58.74	27.99	65.07	25
J <sub>CIE</sub>	81.26	-2.88	71.56	71.62	92
G <sub>CIE</sub>	52.23	-42.41	13.6	44.55	162
B <sub>CIE</sub>	30.57	1.41	-46.46	46.49	272

Daten für Maximalfarbe (Ma):

$LAB^*LAB^*_{Ma}$ : 81 -24 69

$LAB^*LCH^*_{Ma}$ : 81 74 110

$lab^*rgb^*_{Ma}$ : 0.75 1.0 0.0

$lab^*olv^*_{Ma}$ : 0.73 1.0 0.0

Dreiecks-Helligkeit  $i^*$

%Umfang

$u^*_{rel} = 89$

%Regularität

$g^*_{H,rel} = 72$

$g^*_{C,rel} = 57$

ORS19_96a; adaptierte CIELAB-Daten					
	$L^*=L^*_a$	$a^*_a$	$b^*_a$	$C^*_{ab,a}$	$h^*_{ab,a}$
r00j	48.88	66.47	31.67	73.63	25
r25j	55.85	52.39	47.48	70.7	42
r50j	65.45	35.22	58.37	68.17	59
r75j	75.19	17.82	69.41	71.66	76
j00g	87.03	-3.34	82.83	82.9	92
j25g	80.72	-25.0	69.5	73.86	110
j50g	70.64	-39.53	51.97	65.3	127
j75g	61.93	-52.09	36.83	63.8	145
g00b	52.8	-65.27	20.93	68.56	162
g25b	55.7	-49.57	-8.38	50.28	190
g50b	57.82	-38.39	-28.91	48.07	217
g75b	55.5	-22.04	-45.94	50.97	244
b00r	41.6	1.37	-45.0	45.03	272
b25r	29.0	25.08	-43.12	49.89	300
b50r	38.04	46.53	-28.38	54.51	329
b75r	49.48	72.88	-3.75	72.98	357

$lab^*rgb^*$

$i^* = 1.00$

Brillantheit  $i^*$

$i^* = 0.80$

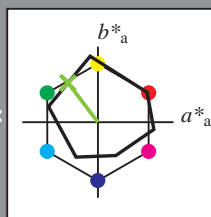
$i^* = 0.60$

$i^* = 0.40$

$i^* = 0.20$

$i^* = 0.00$

Ein und Ausgabe: Farbmetrisches Drucker-Reflektiv-System ORS19\_96a für relativen CIELAB-Buntton  $h^* = lab^*h^* = h_{ab}/360 = 127/360 = 0.354$   $u^* = j50g$   
Daten für jede Farbe:  
 $lab^*ch^*$  und  $lab^*icu^*$   
Elementar-Bunttontext:  
 $u^* = j50g$   
Kontrastreduzierungsfaktor:  
 $c_R = 1.0$   
Dreiecks-Helligkeit  $i^*$



ORS19_96a; CIELAB-Daten					
	$L^*=L^*$	$a^*$	$b^*$	$C^*_{ab}$	$h^*_{ab}$
O <sub>M</sub>	48.75	65.16	40.76	76.86	32
Y <sub>M</sub>	90.92	-10.77	89.36	90.01	97
L <sub>M</sub>	52.69	-65.39	22.15	69.05	161
C <sub>M</sub>	59.61	-29.03	-44.68	53.3	237
V <sub>M</sub>	28.39	24.0	-43.17	49.4	299
M <sub>M</sub>	49.58	74.01	-8.21	74.47	354
N <sub>M</sub>	18.89	0.5	0.77	0.92	57
W <sub>M</sub>	96.9	-0.56	2.23	2.3	104
R <sub>CIE</sub>	39.92	58.74	27.99	65.07	25
J <sub>CIE</sub>	81.26	-2.88	71.56	71.62	92
G <sub>CIE</sub>	52.23	-42.41	13.6	44.55	162
B <sub>CIE</sub>	30.57	1.41	-46.46	46.49	272

Daten für Maximalfarbe (Ma):

$LAB^*LAB^*_{Ma}$ : 71 -39 52

$LAB^*LCH^*_{Ma}$ : 71 65 127

$lab^*rgb^*_{Ma}$ : 0.5 1.0 0.0

$lab^*olv^*_{Ma}$ : 0.47 1.0 0.0

Dreiecks-Helligkeit  $i^*$

%Umfang

$u^*_{rel} = 89$

%Regularität

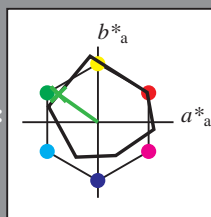
$g^*_{H,rel} = 72$

$g^*_{C,rel} = 57$

ORS19_96a; adaptierte CIELAB-Daten					
	$L^*=L^*_a$	$a^*_a$	$b^*_a$	$C^*_{ab,a}$	$h^*_{ab,a}$
r00j	48.88	66.47	31.67	73.63	25
r25j	55.85	52.39	47.48	70.7	42
r50j	65.45	35.22	58.37	68.17	59
r75j	75.19	17.82	69.41	71.66	76
j00g	87.03	-3.34	82.83	82.9	92
j25g	80.72	-25.0	69.5	73.86	110
j50g	70.64	-39.53	51.97	65.3	127
j75g	61.93	-52.09	36.83	63.8	145
g00b	52.8	-65.27	20.93	68.56	162
g25b	55.7	-49.57	-8.38	50.28	190
g50b	57.82	-38.39	-28.91	48.07	217
g75b	55.5	-22.04	-45.94	50.97	244
b00r	41.6	1.37	-45.0	45.03	272
b25r	29.0	25.08	-43.12	49.89	300
b50r	38.04	46.53	-28.38	54.51	329
b75r	49.48	72.88	-3.75	72.98	357

$lab^*rgb^*$					
r00j	0.5	1.0	0.0		
r25j	0.47	0.93	0.07		
r50j	0.4	0.8	0.16		
r75j	0.35	0.6	0.35		
j00g	0.25	0.4	0.65		
j25g	0.2	0.3	0.77		
j50g	0.15	0.2	0.85		
j75g	0.1	0.1	0.9		
g00b	0.05	0.05	0.95		
g25b	0.02	0.02	0.98		
g50b	0.01	0.01	0.99		
g75b	0.005	0.005	1.0		
b00r	0.005	0.005	1.0		
b25r	0.01	0.01	0.99		
b50r	0.02	0.02	0.98		
b75r	0.05	0.05	0.95		

Ein und Ausgabe: Farbmetrisches Drucker-Reflektiv-System ORS19\_96a für relativen CIELAB-Buntton  $h^* = lab^*h^* = h_{ab}/360 = 145/360 = 0.402$   $u^* = j75g$   
Daten für jede Farbe:  $lab^*ch^*$  und  $lab^*icu^*$   
Elementar-Bunttontext:  $u^* = j75g$   
Kontrastreduzierungsfaktor:  $c_R = 1.0$   
Dreiecks-Helligkeit  $i^*$



ORS19_96a; CIELAB-Daten					
	$L^*=L^*$	$a^*$	$b^*$	$C^*_{ab}$	$h^*_{ab}$
O <sub>M</sub>	48.75	65.16	40.76	76.86	32
Y <sub>M</sub>	90.92	-10.77	89.36	90.01	97
L <sub>M</sub>	52.69	-65.39	22.15	69.05	161
C <sub>M</sub>	59.61	-29.03	-44.68	53.3	237
V <sub>M</sub>	28.39	24.0	-43.17	49.4	299
M <sub>M</sub>	49.58	74.01	-8.21	74.47	354
N <sub>M</sub>	18.89	0.5	0.77	0.92	57
W <sub>M</sub>	96.9	-0.56	2.23	2.3	104
R <sub>CIE</sub>	39.92	58.74	27.99	65.07	25
J <sub>CIE</sub>	81.26	-2.88	71.56	71.62	92
G <sub>CIE</sub>	52.23	-42.41	13.6	44.55	162
B <sub>CIE</sub>	30.57	1.41	-46.46	46.49	272

Daten für Maximalfarbe (Ma):

$LAB^*LAB^*Ma$ : 62 -51 37

$LAB^*LCH^*Ma$ : 62 64 145

$lab^*rgb^*Ma$ : 0.25 1.0 0.0

$lab^*olv^*Ma$ : 0.24 1.0 0.0

Dreiecks-Helligkeit  $i^*$

%Umfang

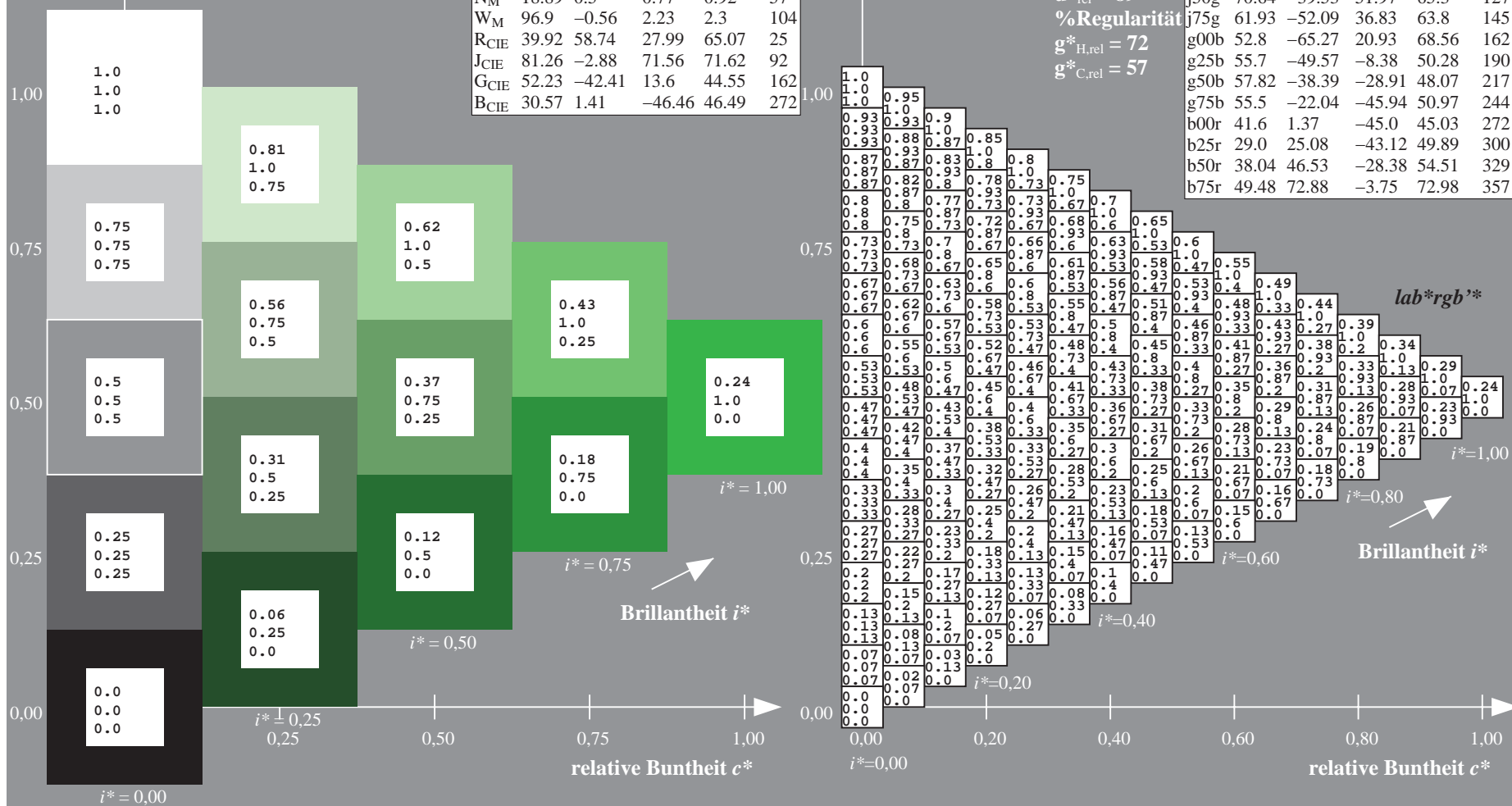
$u^*_{rel} = 89$

%Regularität

$g^*_{H,rel} = 72$

$g^*_{C,rel} = 57$

ORS19_96a; adaptierte CIELAB-Daten					
	$L^*=L^*_a$	$a^*_a$	$b^*_a$	$C^*_{ab,a}$	$h^*_{ab,a}$
r00j	48.88	66.47	31.67	73.63	25
r25j	55.85	52.39	47.48	70.7	42
r50j	65.45	35.22	58.37	68.17	59
r75j	75.19	17.82	69.41	71.66	76
j00g	87.03	-3.34	82.83	82.9	92
j25g	80.72	-25.0	69.5	73.86	110
j50g	70.64	-39.53	51.97	65.3	127
j75g	61.93	-52.09	36.83	63.8	145
g00b	52.8	-65.27	20.93	68.56	162
g25b	55.7	-49.57	-8.38	50.28	190
g50b	57.82	-38.39	-28.91	48.07	217
g75b	55.5	-22.04	-45.94	50.97	244
b00r	41.6	1.37	-45.0	45.03	272
b25r	29.0	25.08	-43.12	49.89	300
b50r	38.04	46.53	-28.38	54.51	329
b75r	49.48	72.88	-3.75	72.98	357





Ein und Ausgabe: Farbmimetrisches Drucker-Reflektiv-System ORS19\_96a für relativen CIELAB-Buntton  $h^* = lab^*h^* = h_{ab}/360 = 162/360 = 0.451$   $u^* = g00b$

Daten für jede Farbe:

$lab^*ch^*$  und  $lab^*icu^*$

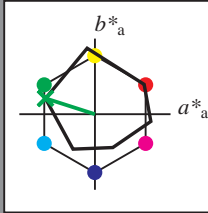
Elementar-Bunttonstext:

$u^* = g00b$

Kontrastreduzierungsfaktor:

$c_R = 1.0$

Dreiecks-Helligkeit  $i^*$



ORS19_96a; CIELAB-Daten					
	$L^*=L^*$	$a^*$	$b^*$	$C^*_{ab}$	$h^*_{ab}$
O <sub>M</sub>	48.75	65.16	40.76	76.86	32
Y <sub>M</sub>	90.92	-10.77	89.36	90.01	97
L <sub>M</sub>	52.69	-65.39	22.15	69.05	161
C <sub>M</sub>	59.61	-29.03	-44.68	53.3	237
V <sub>M</sub>	28.39	24.0	-43.17	49.4	299
M <sub>M</sub>	49.58	74.01	-8.21	74.47	354
N <sub>M</sub>	18.89	0.5	0.77	0.92	57
W <sub>M</sub>	96.9	-0.56	2.23	2.3	104
R <sub>CIE</sub>	39.92	58.74	27.99	65.07	25
J <sub>CIE</sub>	81.26	-2.88	71.56	71.62	92
G <sub>CIE</sub>	52.23	-42.41	13.6	44.55	162
B <sub>CIE</sub>	30.57	1.41	-46.46	46.49	272

Daten für Maximalfarbe (Ma):

$LAB^*LAB^*_{Ma}$ : 53 -64 21

$LAB^*LCH^*_{Ma}$ : 53 69 162

$lab^*rgb^*_{Ma}$ : 0.0 1.0 0.0

$lab^*olv^*_{Ma}$ : 0.0 1.0 0.0

Dreiecks-Helligkeit  $i^*$

%Umfang

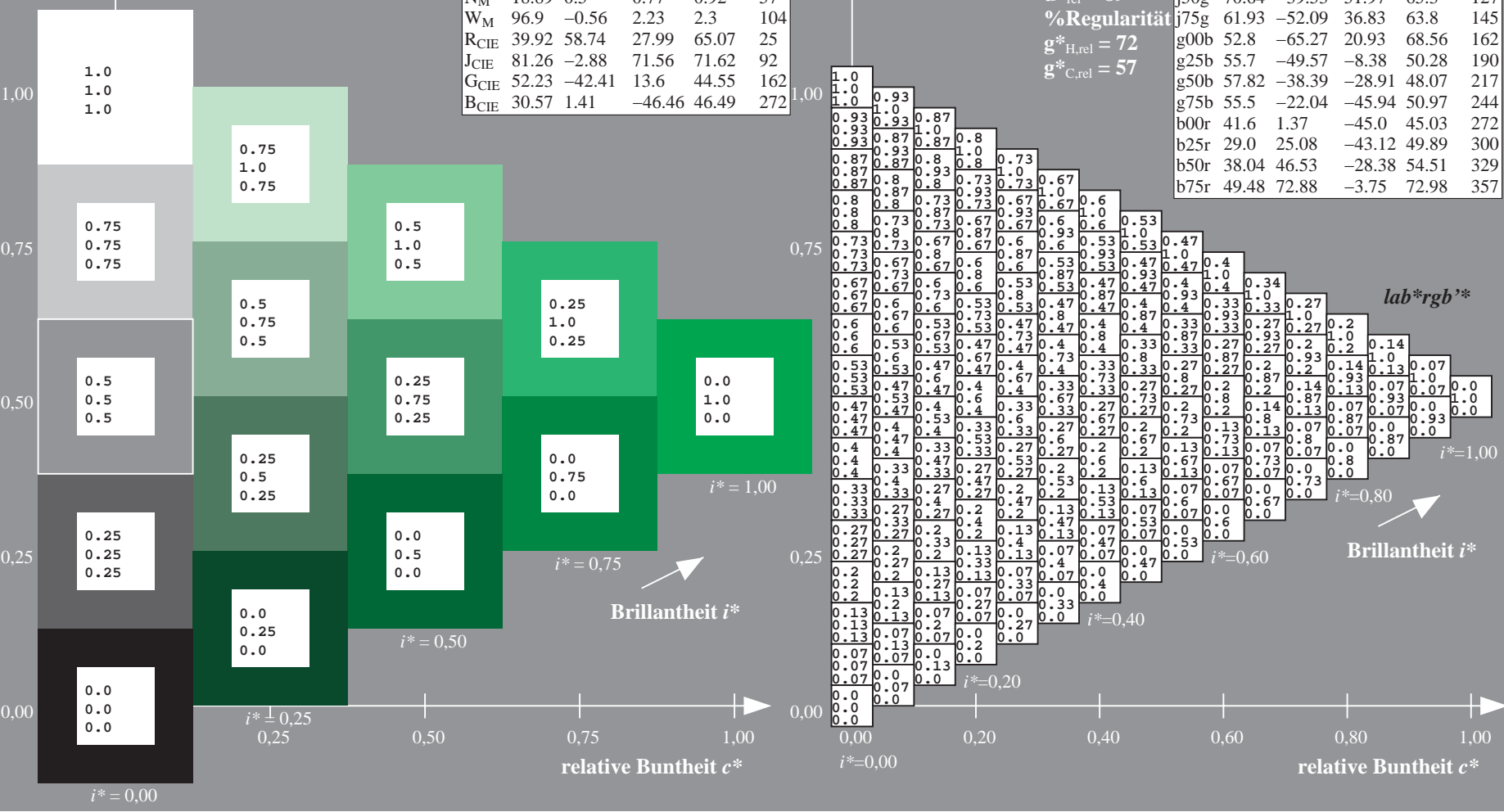
$u^*_{rel} = 89$

%Regularität

$g^*_{H,rel} = 72$

$g^*_{C,rel} = 57$

ORS19_96a; adaptierte CIELAB-Daten					
	$L^*=L^*_a$	$a^*_a$	$b^*_a$	$C^*_{ab,a}$	$h^*_{ab,a}$
r00j	48.88	66.47	31.67	73.63	25
r25j	55.85	52.39	47.48	70.7	42
r50j	65.45	35.22	58.37	68.17	59
r75j	75.19	17.82	69.41	71.66	76
j00g	87.03	-3.34	82.83	82.9	92
j25g	80.72	-25.0	69.5	73.86	110
j50g	70.64	-39.53	51.97	65.3	127
j75g	61.93	-52.09	36.83	63.8	145
g00b	52.8	-65.27	20.93	68.56	162
g25b	55.7	-49.57	-8.38	50.28	190
g50b	57.82	-38.39	-28.91	48.07	217
g75b	55.5	-22.04	-45.94	50.97	244
b00r	41.6	1.37	-45.0	45.03	272
b25r	29.0	25.08	-43.12	49.89	300
b50r	38.04	46.53	-28.38	54.51	329
b75r	49.48	72.88	-3.75	72.98	357



Ein und Ausgabe: Farbmimetrisches Drucker-Reflektiv-System ORS19\_96a für relativen CIELAB-Buntton  $h^* = lab^*h^* = h_{ab}/360 = 190/360 = 0.527$   $u^* = g25b$

Daten für jede Farbe:

$lab^*ch^*$  und  $lab^*icu^*$

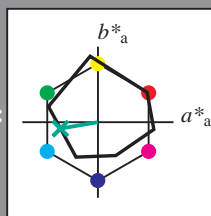
Elementar-Bunttontext:

$u^* = g25b$

Kontrastreduzierungsfaktor:

$c_R = 1.0$

Dreiecks-Helligkeit  $i^*$



ORS19_96a; CIELAB-Daten					
	$L^*=L^*$	$a^*$	$b^*$	$C^*_{ab}$	$h^*_{ab}$
O <sub>M</sub>	48.75	65.16	40.76	76.86	32
Y <sub>M</sub>	90.92	-10.77	89.36	90.01	97
L <sub>M</sub>	52.69	-65.39	22.15	69.05	161
C <sub>M</sub>	59.61	-29.03	-44.68	53.3	237
V <sub>M</sub>	28.39	24.0	-43.17	49.4	299
M <sub>M</sub>	49.58	74.01	-8.21	74.47	354
N <sub>M</sub>	18.89	0.5	0.77	0.92	57
W <sub>M</sub>	96.9	-0.56	2.23	2.3	104
R <sub>CIE</sub>	39.92	58.74	27.99	65.07	25
J <sub>CIE</sub>	81.26	-2.88	71.56	71.62	92
G <sub>CIE</sub>	52.23	-42.41	13.6	44.55	162
B <sub>CIE</sub>	30.57	1.41	-46.46	46.49	272

Daten für Maximalfarbe (Ma):

$LAB^*LAB^*_{Ma}$ : 56 -49 -7

$LAB^*LCH^*_{Ma}$ : 56 50 190

$lab^*rgb^*_{Ma}$ : 0.0 1.0 0.5

$lab^*olv^*_{Ma}$ : 0.0 1.0 0.44

Dreiecks-Helligkeit  $i^*$

%Umfang

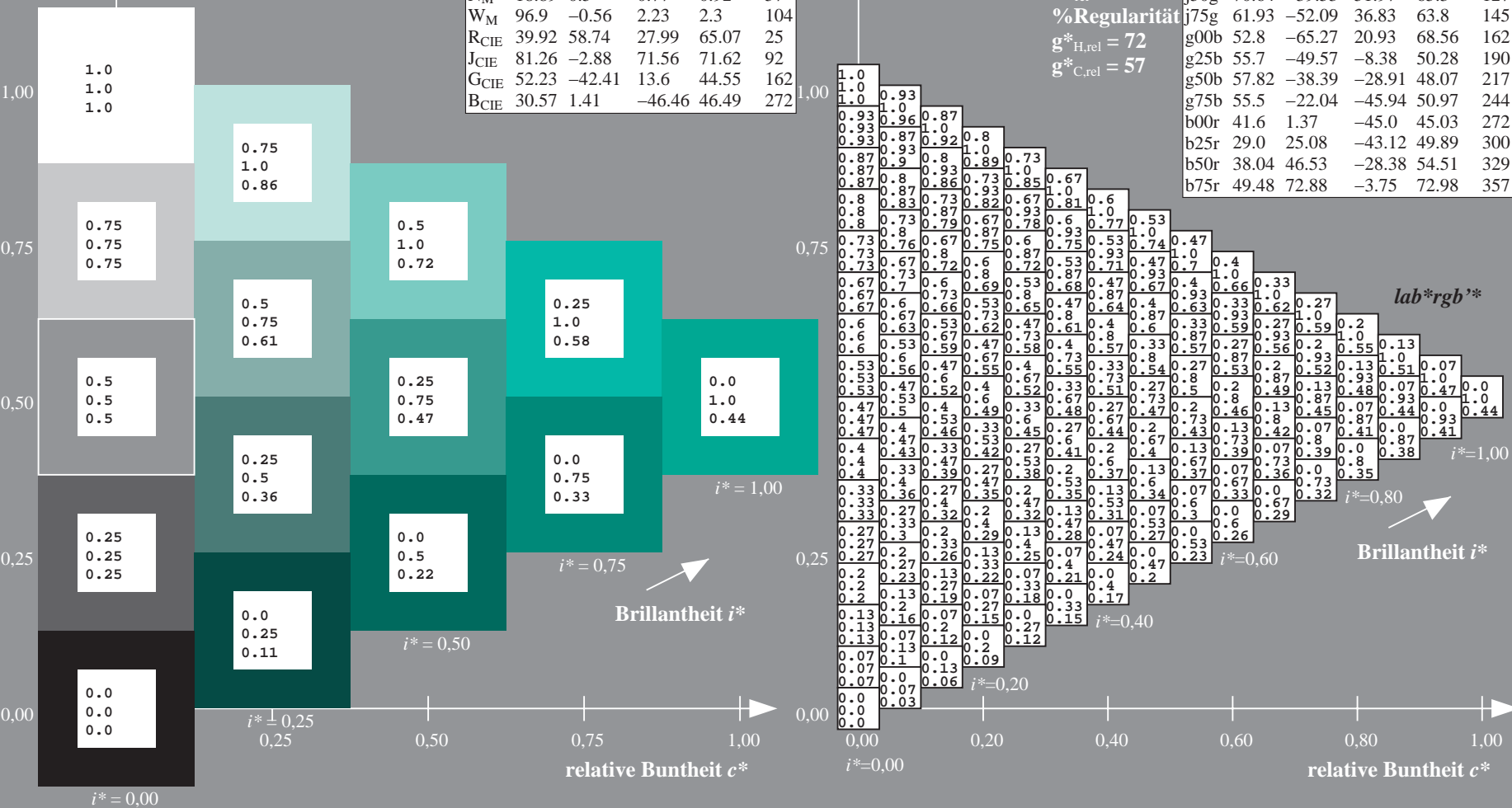
$u^*_{rel} = 89$

%Regularität

$g^*_{H,rel} = 72$

$g^*_{C,rel} = 57$

ORS19_96a; adaptierte CIELAB-Daten					
	$L^*=L^*_a$	$a^*_a$	$b^*_a$	$C^*_{ab,a}$	$h^*_{ab,a}$
r00j	48.88	66.47	31.67	73.63	25
r25j	55.85	52.39	47.48	70.7	42
r50j	65.45	35.22	58.37	68.17	59
r75j	75.19	17.82	69.41	71.66	76
j00g	87.03	-3.34	82.83	82.9	92
j25g	80.72	-25.0	69.5	73.86	110
j50g	70.64	-39.53	51.97	65.3	127
j75g	61.93	-52.09	36.83	63.8	145
g00b	52.8	-65.27	20.93	68.56	162
g25b	55.7	-49.57	-8.38	50.28	190
g50b	57.82	-38.39	-28.91	48.07	217
g75b	55.5	-22.04	-45.94	50.97	244
b00r	41.6	1.37	-45.0	45.03	272
b25r	29.0	25.08	-43.12	49.89	300
b50r	38.04	46.53	-28.38	54.51	329
b75r	49.48	72.88	-3.75	72.98	357



Ein und Ausgabe: Farbmetrisches Drucker-Reflektiv-System ORS19\_96a für relativen CIELAB-Buntton  $h^* = lab^*h^* = h_{ab}/360 = 217/360 = 0.603$   $u^* = g50b$

Daten für jede Farbe:

$lab^*ch^*$  und  $lab^*icu^*$

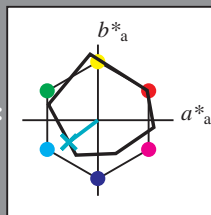
Elementar-Bunttontext:

$u^* = g50b$

Kontrastreduzierungsfaktor:

$c_R = 1.0$

Dreiecks-Helligkeit  $i^*$



ORS19_96a; CIELAB-Daten					
	$L^*=L^*$	$a^*$	$b^*$	$C^*_{ab}$	$h^*_{ab}$
O <sub>M</sub>	48.75	65.16	40.76	76.86	32
Y <sub>M</sub>	90.92	-10.77	89.36	90.01	97
L <sub>M</sub>	52.69	-65.39	22.15	69.05	161
C <sub>M</sub>	59.61	-29.03	-44.68	53.3	237
V <sub>M</sub>	28.39	24.0	-43.17	49.4	299
M <sub>M</sub>	49.58	74.01	-8.21	74.47	354
N <sub>M</sub>	18.89	0.5	0.77	0.92	57
W <sub>M</sub>	96.9	-0.56	2.23	2.3	104
R <sub>CIE</sub>	39.92	58.74	27.99	65.07	25
J <sub>CIE</sub>	81.26	-2.88	71.56	71.62	92
G <sub>CIE</sub>	52.23	-42.41	13.6	44.55	162
B <sub>CIE</sub>	30.57	1.41	-46.46	46.49	272

Daten für Maximalfarbe (Ma):

$LAB^*LAB^*_{Ma}$ : 58 -37 -28

$LAB^*LCH^*_{Ma}$ : 58 48 217

$lab^*rgb^*_{Ma}$ : 0.0 1.0 1.0

$lab^*olv^*_{Ma}$ : 0.0 1.0 0.74

Dreiecks-Helligkeit  $i^*$

%Umfang

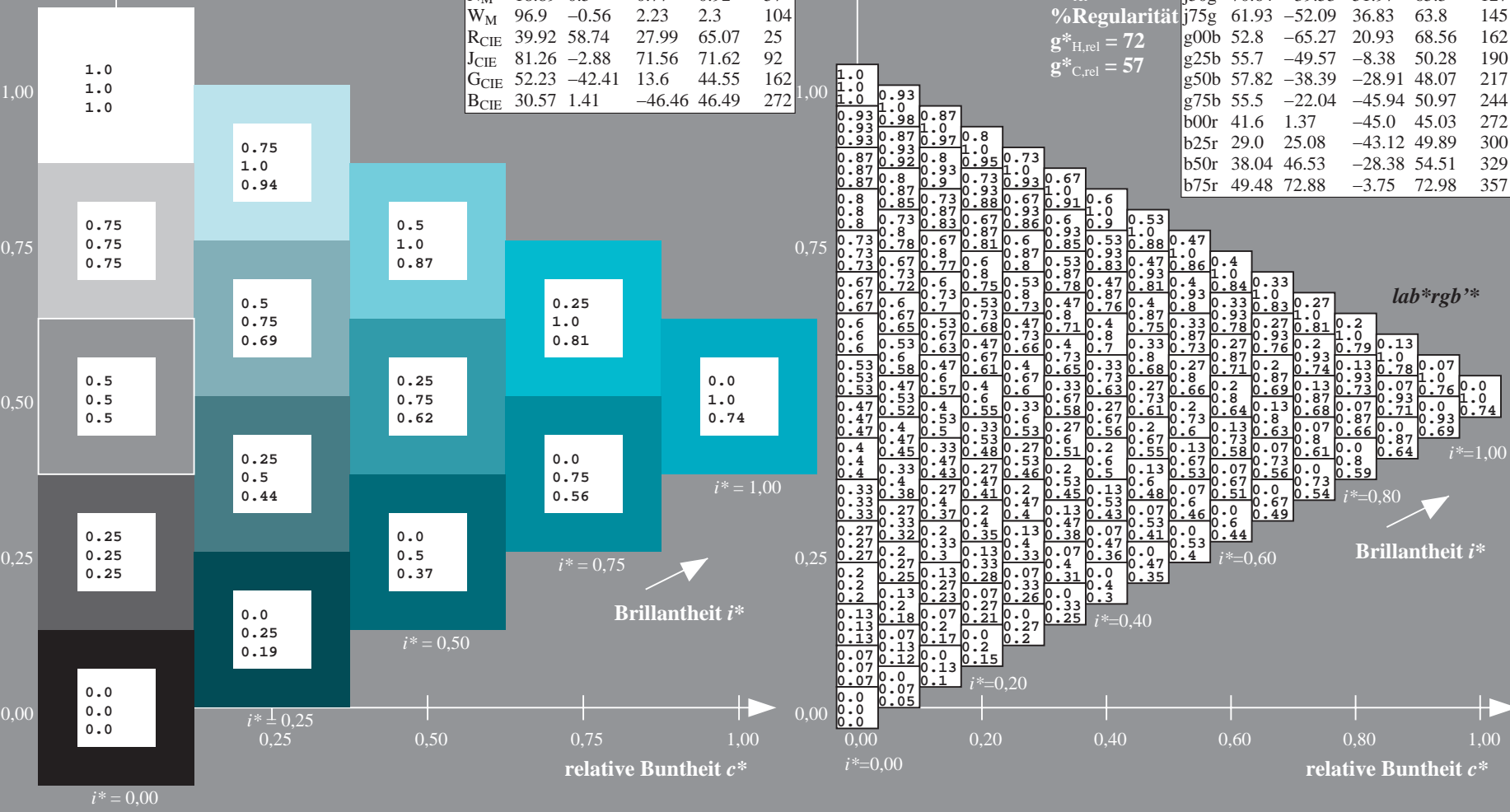
$u^*_{rel} = 89$

%Regularität

$g^*_{H,rel} = 72$

$g^*_{C,rel} = 57$

ORS19_96a; adaptierte CIELAB-Daten					
	$L^*=L^*_a$	$a^*_a$	$b^*_a$	$C^*_{ab,a}$	$h^*_{ab,a}$
r00j	48.88	66.47	31.67	73.63	25
r25j	55.85	52.39	47.48	70.7	42
r50j	65.45	35.22	58.37	68.17	59
r75j	75.19	17.82	69.41	71.66	76
j00g	87.03	-3.34	82.83	82.9	92
j25g	80.72	-25.0	69.5	73.86	110
j50g	70.64	-39.53	51.97	65.3	127
j75g	61.93	-52.09	36.83	63.8	145
g00b	52.8	-65.27	20.93	68.56	162
g25b	55.7	-49.57	-8.38	50.28	190
g50b	57.82	-38.39	-28.91	48.07	217
g75b	55.5	-22.04	-45.94	50.97	244
b00r	41.6	1.37	-45.0	45.03	272
b25r	29.0	25.08	-43.12	49.89	300
b50r	38.04	46.53	-28.38	54.51	329
b75r	49.48	72.88	-3.75	72.98	357



Ein und Ausgabe: Farbmetrisches Drucker-Reflektiv-System ORS19\_96a für relativen CIELAB-Buntton  $h^* = lab^*h^* = h_{ab}/360 = 244/360 = 0.679$   $u^* = g75b$

Daten für jede Farbe:

$lab^*ch^*$  und  $lab^*icu^*$

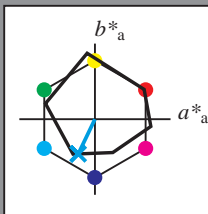
Elementar-Bunttontext:

$u^* = g75b$

Kontrastreduzierungsfaktor:

$c_R = 1.0$

Dreiecks-Helligkeit  $t^*$



ORS19_96a; CIELAB-Daten					
	$L^*=L^*$	$a^*$	$b^*$	$C^*_{ab}$	$h^*_{ab}$
O <sub>M</sub>	48.75	65.16	40.76	76.86	32
Y <sub>M</sub>	90.92	-10.77	89.36	90.01	97
L <sub>M</sub>	52.69	-65.39	22.15	69.05	161
C <sub>M</sub>	59.61	-29.03	-44.68	53.3	237
V <sub>M</sub>	28.39	24.0	-43.17	49.4	299
M <sub>M</sub>	49.58	74.01	-8.21	74.47	354
N <sub>M</sub>	18.89	0.5	0.77	0.92	57
W <sub>M</sub>	96.9	-0.56	2.23	2.3	104
R <sub>CIE</sub>	39.92	58.74	27.99	65.07	25
J <sub>CIE</sub>	81.26	-2.88	71.56	71.62	92
G <sub>CIE</sub>	52.23	-42.41	13.6	44.55	162
B <sub>CIE</sub>	30.57	1.41	-46.46	46.49	272

Daten für Maximalfarbe (Ma):

$LAB^*LAB^*_{Ma}$ : 55 -21 -45

$LAB^*LCH^*_{Ma}$ : 55 51 244

$lab^*rgb^*_{Ma}$ : 0.0 0.5 1.0

$lab^*olv^*_{Ma}$ : 0.0 0.87 1.0

Dreiecks-Helligkeit  $t^*$

%Umfang

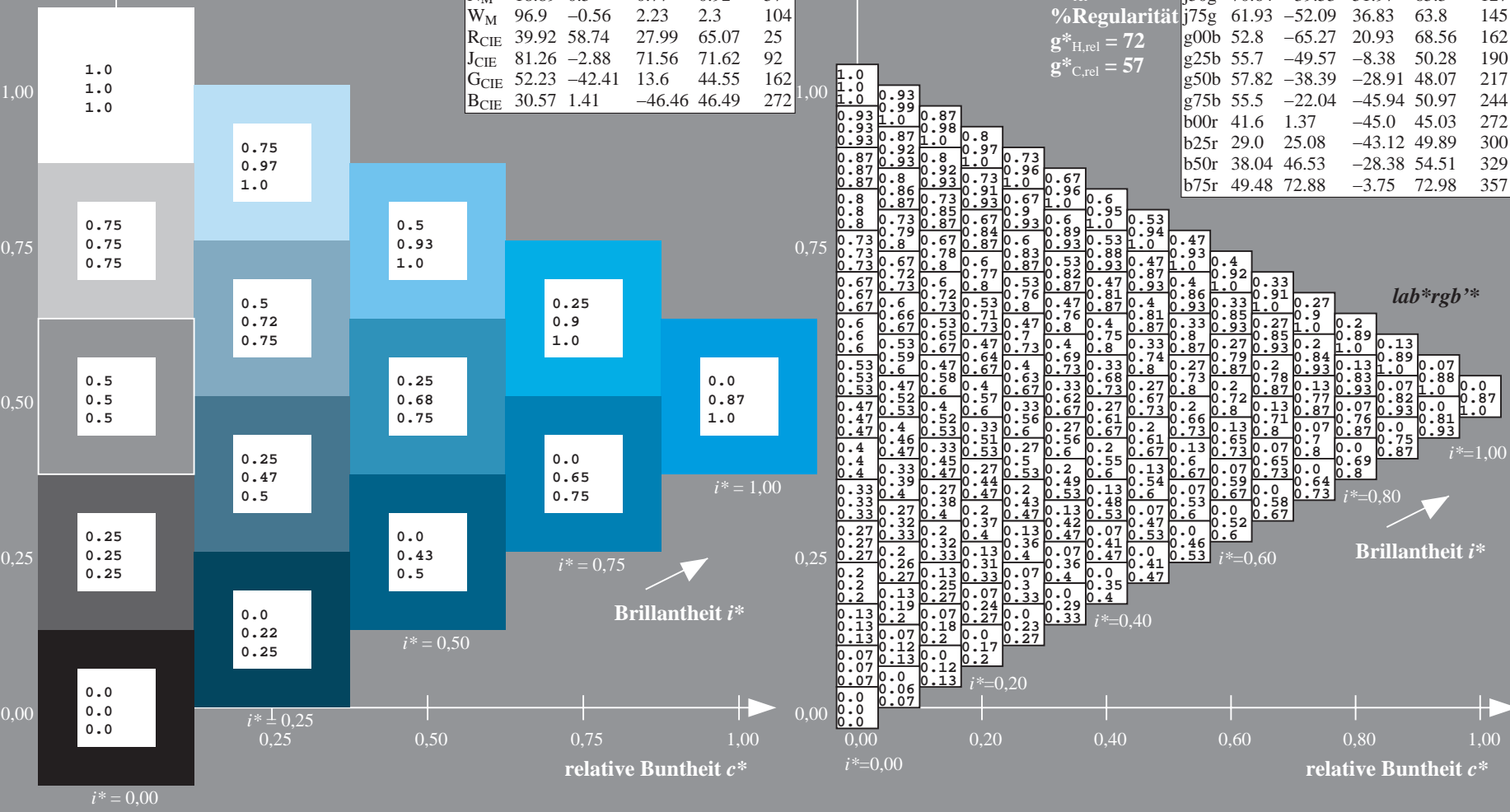
$u^*_{rel} = 89$

%Regularität

$g^*_{H,rel} = 72$

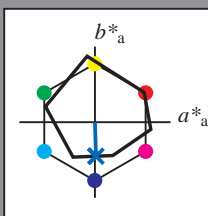
$g^*_{C,rel} = 57$

ORS19_96a; adaptierte CIELAB-Daten					
	$L^*=L^*_a$	$a^*_a$	$b^*_a$	$C^*_{ab,a}$	$h^*_{ab,a}$
r00j	48.88	66.47	31.67	73.63	25
r25j	55.85	52.39	47.48	70.7	42
r50j	65.45	35.22	58.37	68.17	59
r75j	75.19	17.82	69.41	71.66	76
j00g	87.03	-3.34	82.83	82.9	92
j25g	80.72	-25.0	69.5	73.86	110
j50g	70.64	-39.53	51.97	65.3	127
j75g	61.93	-52.09	36.83	63.8	145
g00b	52.8	-65.27	20.93	68.56	162
g25b	55.7	-49.57	-8.38	50.28	190
g50b	57.82	-38.39	-28.91	48.07	217
g75b	55.5	-22.04	-45.94	50.97	244
b00r	41.6	1.37	-45.0	45.03	272
b25r	29.0	25.08	-43.12	49.89	300
b50r	38.04	46.53	-28.38	54.51	329
b75r	49.48	72.88	-3.75	72.98	357





Ein und Ausgabe: Farbmimetrisches Drucker-Reflektiv-System ORS19\_96a für relativen CIELAB-Buntton  $h^* = lab^*h^* = h_{ab}/360 = 272/360 = 0.755$   $u^* = b00r$   
Daten für jede Farbe:  $lab^*ch^*$  und  $lab^*icu^*$   
Elementar-Bunttonext:  $u^* = b00r$   
Kontrastreduzierungsfaktor:  $c_R = 1.0$   
Dreiecks-Helligkeit  $i^*$



ORS19_96a; CIELAB-Daten					
	$L^*=L^*$	$a^*$	$b^*$	$C^*_{ab}$	$h^*_{ab}$
O <sub>M</sub>	48.75	65.16	40.76	76.86	32
Y <sub>M</sub>	90.92	-10.77	89.36	90.01	97
L <sub>M</sub>	52.69	-65.39	22.15	69.05	161
C <sub>M</sub>	59.61	-29.03	-44.68	53.3	237
V <sub>M</sub>	28.39	24.0	-43.17	49.4	299
M <sub>M</sub>	49.58	74.01	-8.21	74.47	354
N <sub>M</sub>	18.89	0.5	0.77	0.92	57
W <sub>M</sub>	96.9	-0.56	2.23	2.3	104
R <sub>CIE</sub>	39.92	58.74	27.99	65.07	25
J <sub>CIE</sub>	81.26	-2.88	71.56	71.62	92
G <sub>CIE</sub>	52.23	-42.41	13.6	44.55	162
B <sub>CIE</sub>	30.57	1.41	-46.46	46.49	272

Daten für Maximalfarbe (Ma):

$LAB^*LAB^*_{Ma}$ : 42 1 -44

$LAB^*LCH^*_{Ma}$ : 42 45 272

$lab^*rgb^*_{Ma}$ : 0.0 0.0 1.0

$lab^*olv^*_{Ma}$ : 0.0 0.42 1.0

Dreiecks-Helligkeit  $i^*$

%Umfang

$u^*_{rel} = 89$

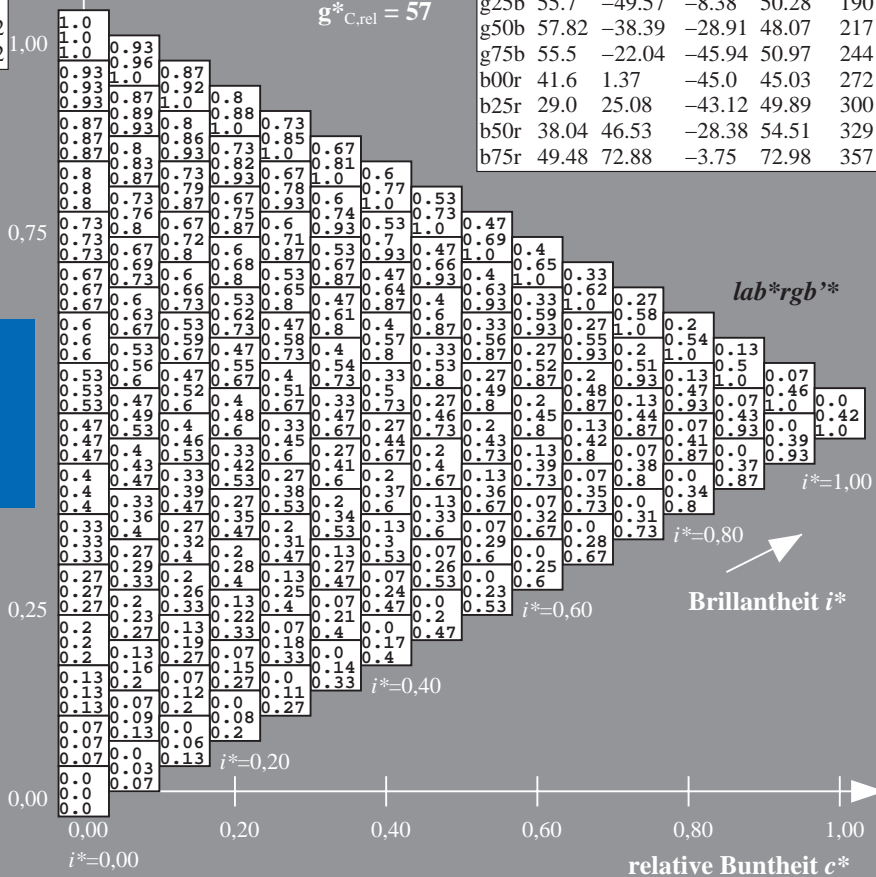
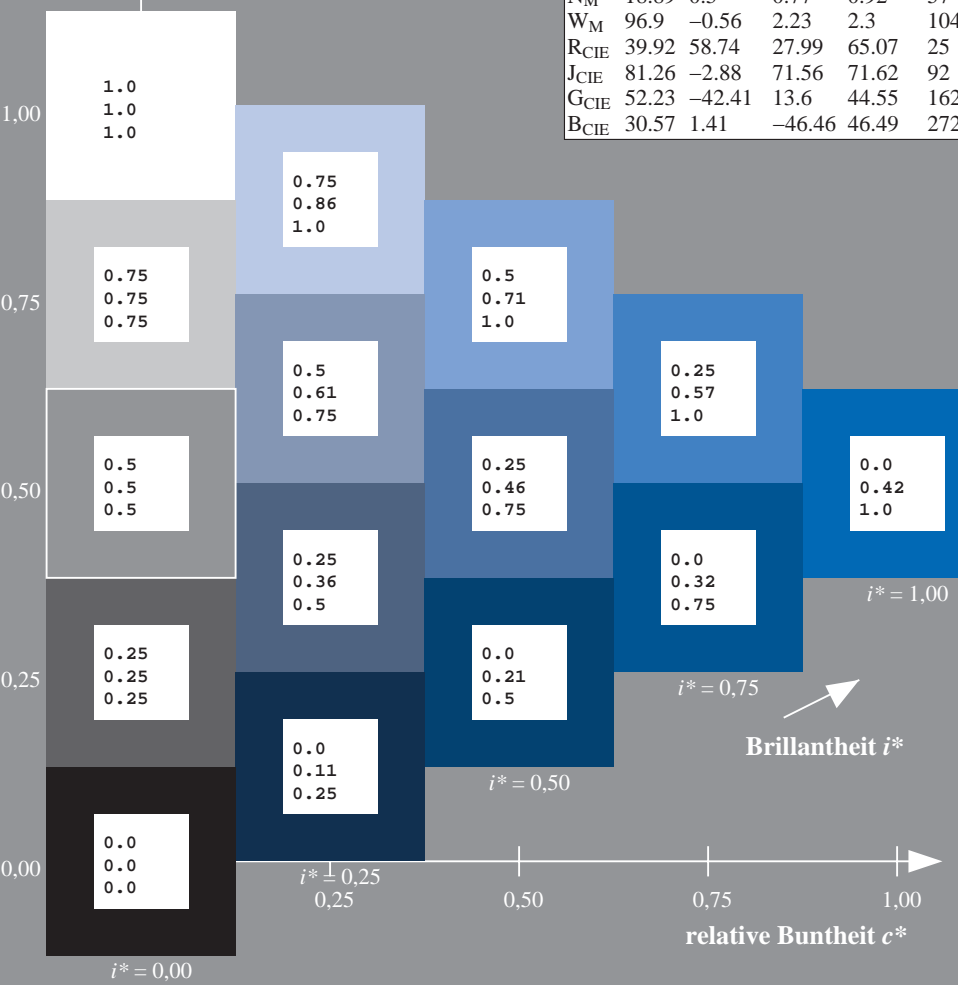
%Regularität

$g^*_{H,rel} = 72$

$g^*_{C,rel} = 57$

ORS19_96a; adaptierte CIELAB-Daten					
	$L^*=L^*_a$	$a^*_a$	$b^*_a$	$C^*_{ab,a}$	$h^*_{ab,a}$
r00j	48.88	66.47	31.67	73.63	25
r25j	55.85	52.39	47.48	70.7	42
r50j	65.45	35.22	58.37	68.17	59
r75j	75.19	17.82	69.41	71.66	76
j00g	87.03	-3.34	82.83	82.9	92
j25g	80.72	-25.0	69.5	73.86	110
j50g	70.64	-39.53	51.97	65.3	127
j75g	61.93	-52.09	36.83	63.8	145
g00b	52.8	-65.27	20.93	68.56	162
g25b	55.7	-49.57	-8.38	50.28	190
g50b	57.82	-38.39	-28.91	48.07	217
g75b	55.5	-22.04	-45.94	50.97	244
b00r	41.6	1.37	-45.0	45.03	272
b25r	29.0	25.08	-43.12	49.89	300
b50r	38.04	46.53	-28.38	54.51	329
b75r	49.48	72.88	-3.75	72.98	357

$lab^*rgb^*$					
	$lab^*r$	$lab^*g$	$lab^*b$	$i^*$	$c^*$
r00j	0.0	0.0	1.0	0.0	1.0
r25j	0.0	0.0	0.93	0.0	0.93
r50j	0.0	0.0	0.87	0.0	0.87
r75j	0.0	0.0	0.81	0.0	0.81
j00g	0.0	0.0	0.75	0.0	0.75
j25g	0.0	0.0	0.69	0.0	0.69
j50g	0.0	0.0	0.63	0.0	0.63
j75g	0.0	0.0	0.57	0.0	0.57
g00b	0.0	0.0	0.51	0.0	0.51
g25b	0.0	0.0	0.45	0.0	0.45
g50b	0.0	0.0	0.39	0.0	0.39
g75b	0.0	0.0	0.33	0.0	0.33
b00r	0.0	0.0	0.27	0.0	0.27
b25r	0.0	0.0	0.21	0.0	0.21
b50r	0.0	0.0	0.15	0.0	0.15
b75r	0.0	0.0	0.09	0.0	0.09



Ein und Ausgabe: Farbmetrisches Drucker-Reflektiv-System ORS19\_96a für relativen CIELAB-Buntton  $h^* = lab^*h^* = h_{ab}/360 = 300/360 = 0.834$   $u^* = b25r$

Daten für jede Farbe:

$lab^*ch^*$  und  $lab^*icu^*$

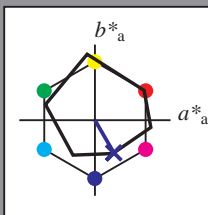
Elementar-Bunttontext:

$u^* = b25r$

Kontrastreduzierungsfaktor:

$c_R = 1.0$

Dreiecks-Helligkeit  $t^*$



ORS19_96a; CIELAB-Daten					
	$L^*=L^*$	$a^*$	$b^*$	$C^*_{ab}$	$h^*_{ab}$
O <sub>M</sub>	48.75	65.16	40.76	76.86	32
Y <sub>M</sub>	90.92	-10.77	89.36	90.01	97
L <sub>M</sub>	52.69	-65.39	22.15	69.05	161
C <sub>M</sub>	59.61	-29.03	-44.68	53.3	237
V <sub>M</sub>	28.39	24.0	-43.17	49.4	299
M <sub>M</sub>	49.58	74.01	-8.21	74.47	354
N <sub>M</sub>	18.89	0.5	0.77	0.92	57
W <sub>M</sub>	96.9	-0.56	2.23	2.3	104
R <sub>CIE</sub>	39.92	58.74	27.99	65.07	25
J <sub>CIE</sub>	81.26	-2.88	71.56	71.62	92
G <sub>CIE</sub>	52.23	-42.41	13.6	44.55	162
B <sub>CIE</sub>	30.57	1.41	-46.46	46.49	272

Daten für Maximalfarbe (Ma):

$LAB^*LAB^*_{Ma}$ : 29 25 -42

$LAB^*LCH^*_{Ma}$ : 29 50 300

$lab^*rgb^*_{Ma}$ : 0.5 0.0 1.0

$lab^*olv^*_{Ma}$ : 0.03 0.0 1.0

Dreiecks-Helligkeit  $t^*$

%Umfang

$u^*_{rel} = 89$

%Regularität

$g^*_{H,rel} = 72$

$g^*_{C,rel} = 57$

ORS19_96a; adaptierte CIELAB-Daten					
	$L^*=L^*_a$	$a^*_a$	$b^*_a$	$C^*_{ab,a}$	$h^*_{ab,a}$
r00j	48.88	66.47	31.67	73.63	25
r25j	55.85	52.39	47.48	70.7	42
r50j	65.45	35.22	58.37	68.17	59
r75j	75.19	17.82	69.41	71.66	76
j00g	87.03	-3.34	82.83	82.9	92
j25g	80.72	-25.0	69.5	73.86	110
j50g	70.64	-39.53	51.97	65.3	127
j75g	61.93	-52.09	36.83	63.8	145
g00b	52.8	-65.27	20.93	68.56	162
g25b	55.7	-49.57	-8.38	50.28	190
g50b	57.82	-38.39	-28.91	48.07	217
g75b	55.5	-22.04	-45.94	50.97	244
b00r	41.6	1.37	-45.0	45.03	272
b25r	29.0	25.08	-43.12	49.89	300
b50r	38.04	46.53	-28.38	54.51	329
b75r	49.48	72.88	-3.75	72.98	357

### Daten für jede Farbe:

*lab\*tch\** und *lab\*icu\**

### Elementar-Bunttontext:

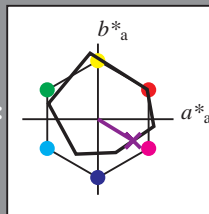
$$u^* = b50r$$

### Kontrastreduzierungsfaktor:

 $c_p = 1.0$ 

### Dreiecks-Helligkeit $t^*$

**Dickcks-Hemigkeit**



ORS19_96a; CIELAB-Daten					
	$L^*=L^*$	$a^*$	$b^*$	$C^*_{ab}$	$h^*_{ab}$
O <sub>M</sub>	48.75	65.16	40.76	76.86	32
Y <sub>M</sub>	90.92	-10.77	89.36	90.01	97
L <sub>M</sub>	52.69	-65.39	22.15	69.05	16
C <sub>M</sub>	59.61	-29.03	-44.68	53.3	23
V <sub>M</sub>	28.39	24.0	-43.17	49.4	29
M <sub>M</sub>	49.58	74.01	-8.21	74.47	35
N <sub>M</sub>	18.89	0.5	0.77	0.92	57
W <sub>M</sub>	96.9	-0.56	2.23	2.3	10
R <sub>CIE</sub>	39.92	58.74	27.99	65.07	25
J <sub>CIE</sub>	81.26	-2.88	71.56	71.62	92
G <sub>CIE</sub>	52.23	-42.41	13.6	44.55	16
B <sub>CIE</sub>	30.57	1.41	-46.46	46.49	27

### Daten für Maximalfarbe (Ma):

*LAB\*LAB\**M<sub>2</sub>: 38 47 -27

*LAP\*ICH\** - : 38 55 320

**LAB\*LCH\*Ma: 38 55 3**

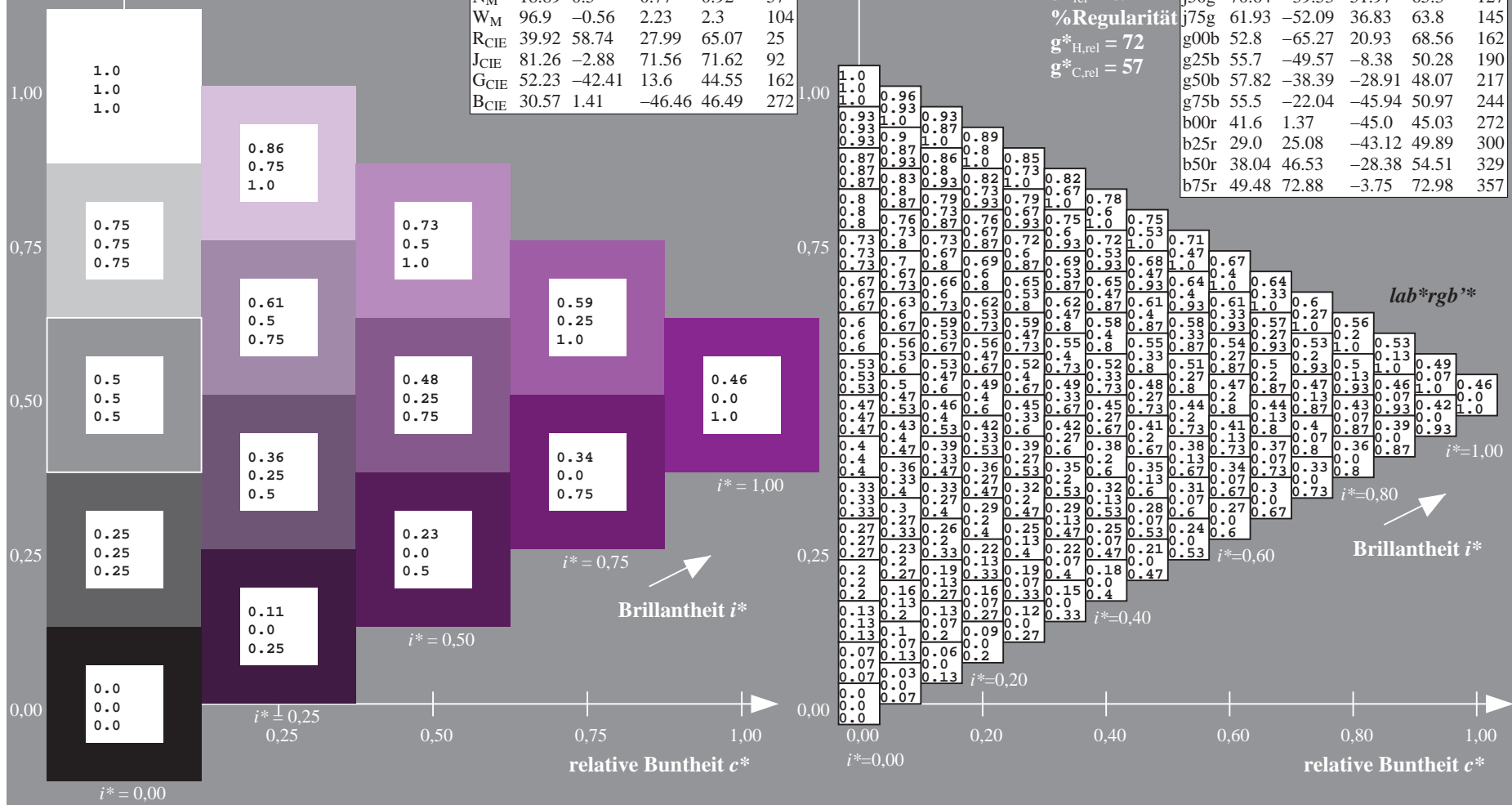
*lab\*rgb*\*Ma: 1.0 0.0 1.0

*lab\*olv\**Ma: 0.46 0.0 1.0

### Dreiecks-Helligkeit $t^*$

## Dicks-Henigken

ORS19_96a; adaptierte CIELAB-Daten						
	$L^*_a$	$a^*_a$	$b^*_a$	$C^*_{ab,a}$	$h^*_{ab,a}$	
r00j	48.88	66.47	31.67	73.63	25	
r25j	55.85	52.39	47.48	70.7	42	
r50j	65.45	35.22	58.37	68.17	59	
r75j	75.19	17.82	69.41	71.66	76	
j00g	87.03	-3.34	82.83	82.9	92	
j25g	80.72	-25.0	69.5	73.86	110	
j50g	70.64	-39.53	51.97	65.3	127	
j75g	61.93	-52.09	36.83	63.8	145	
g00b	52.8	-65.27	20.93	68.56	162	
g25b	55.7	-49.57	-8.38	50.28	190	
g50b	57.82	-38.39	-28.91	48.07	217	
g75b	55.5	-22.04	-45.94	50.97	244	
b00r	41.6	1.37	-45.0	45.03	272	
b25r	29.0	25.08	-43.12	49.89	300	
b50r	38.04	46.53	-28.38	54.51	329	
b75r	49.48	72.88	-3.75	72.98	357	



BAM-Prüfvorlage Dg98; Farbmatrik-Systeme, Seite 160/180  
Farbreihen, 8 Datentabellen für 16 Bunttöne *r00j* bis *b75r*

Eingabe: 000n / w / nnn0 / www set...  
Ausgabe: ->cmyn5\* setcmykcolor

Ein und Ausgabe: Farbmetrisches Drucker-Reflektiv-System ORS19\_96a für relativen CIELAB-Buntton  $h^* = lab^*h^* = h_{ab}/360 = 357/360 = 0.992$   $u^* = b75r$

Daten für jede Farbe:

$lab^*ch^*$  und  $lab^*icu^*$

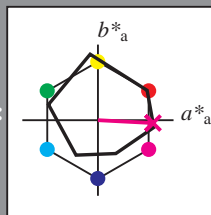
Elementar-Bunttontext:

$u^* = b75r$

Kontrastreduzierungsfaktor:

$c_R = 1.0$

Dreiecks-Helligkeit  $t^*$



ORS19\_96a; CIELAB-Daten

	$L^*=L^*$	$a^*$	$b^*$	$C^*_{ab}$	$h^*_{ab}$
O <sub>M</sub>	48.75	65.16	40.76	76.86	32
Y <sub>M</sub>	90.92	-10.77	89.36	90.01	97
L <sub>M</sub>	52.69	-65.39	22.15	69.05	161
C <sub>M</sub>	59.61	-29.03	-44.68	53.3	237
V <sub>M</sub>	28.39	24.0	-43.17	49.4	299
M <sub>M</sub>	49.58	74.01	-8.21	74.47	354
N <sub>M</sub>	18.89	0.5	0.77	0.92	57
W <sub>M</sub>	96.9	-0.56	2.23	2.3	104
R <sub>CIE</sub>	39.92	58.74	27.99	65.07	25
J <sub>CIE</sub>	81.26	-2.88	71.56	71.62	92
G <sub>CIE</sub>	52.23	-42.41	13.6	44.55	162
B <sub>CIE</sub>	30.57	1.41	-46.46	46.49	272

Daten für Maximalfarbe (Ma):

$LAB^*LAB^*_{Ma}$ : 49 73 -3

$LAB^*LCH^*_{Ma}$ : 49 73 357

$lab^*rgb^*_{Ma}$ : 1.0 0.0 0.5

$lab^*olv^*_{Ma}$ : 1.0 0.0 0.88

Dreiecks-Helligkeit  $t^*$

%Umfang

$u^*_{rel} = 89$

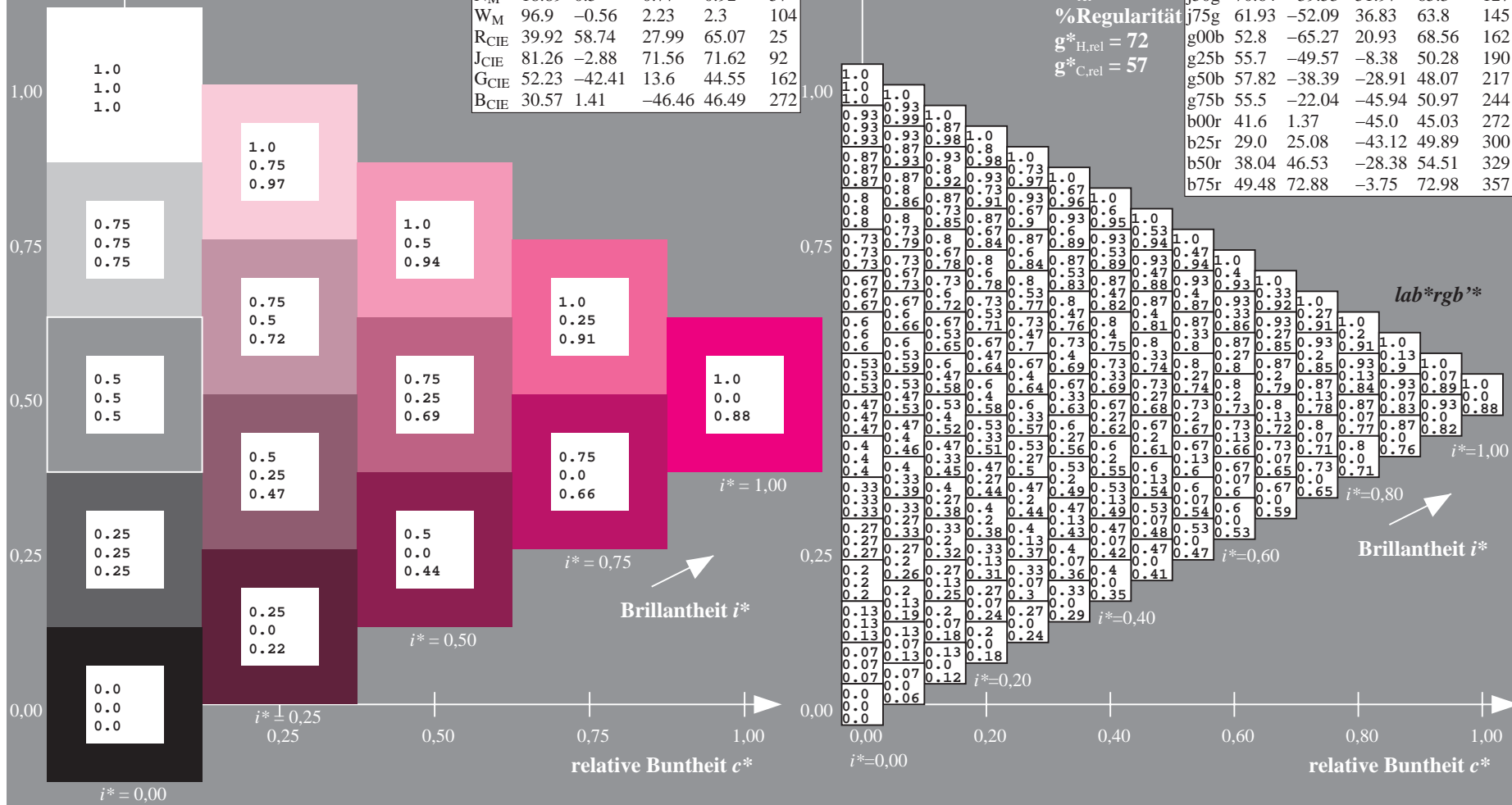
%Regularität

$g^*_{H,rel} = 72$

$g^*_{C,rel} = 57$

ORS19\_96a; adaptierte CIELAB-Daten

	$L^*=L^*_a$	$a^*_a$	$b^*_a$	$C^*_{ab,a}$	$h^*_{ab,a}$
r00j	48.88	66.47	31.67	73.63	25
r25j	55.85	52.39	47.48	70.7	42
r50j	65.45	35.22	58.37	68.17	59
r75j	75.19	17.82	69.41	71.66	76
j00g	87.03	-3.34	82.83	82.9	92
j25g	80.72	-25.0	69.5	73.86	110
j50g	70.64	-39.53	51.97	65.3	127
j75g	61.93	-52.09	36.83	63.8	145
g00b	52.8	-65.27	20.93	68.56	162
g25b	55.7	-49.57	-8.38	50.28	190
g50b	57.82	-38.39	-28.91	48.07	217
g75b	55.5	-22.04	-45.94	50.97	244
b00r	41.6	1.37	-45.0	45.03	272
b25r	29.0	25.08	-43.12	49.89	300
b50r	38.04	46.53	-28.38	54.51	329
b75r	49.48	72.88	-3.75	72.98	357





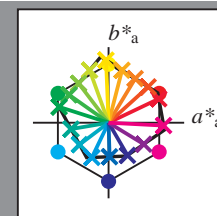
Siehe ähnliche Dateien: <http://www.ps.bam.de/Dg98/>; [www.ps.bam.de/Dg98/10L/L98G00NA.PS/.TXT](http://www.ps.bam.de/Dg98/10L/L98G00NA.PS/.TXT)  
Technische Information: [http://www.ps.bam.de/Version 2.1, io=1.1, ColSpX=1](http://www.ps.bam.de/Version%202.1,%20io=1.1,%20ColSpX=1)

	A	B	C	D	E	F	G	H	I	J	K	L	M	N	O	P	Q	R	S	T	U	V	W	X	Y	Z	a	b	c	d	e	f	g	h	i	j	k	lab*rgb*					
01	0.0	0.0	0.0	0.0	0.0	0.0	0.0	0.0	0.0	0.0	0.13	0.13	0.13	0.13	0.13	0.13	0.13	0.13	0.25	0.25	0.25	0.25	0.25	0.25	0.25	0.25	0.25	1.0	1.0	1.0	1.0	1.0	1.0	1.0	1.0	1.0	1.0	0.0	0.0	0.0	0.0		
	0.0	0.13	0.25	0.38	0.5	0.63	0.75	0.88	1.0	0.0	0.13	0.25	0.38	0.5	0.63	0.75	0.88	1.0	0.0	0.13	0.25	0.38	0.5	0.63	0.75	0.88	1.0	1.0	0.88	0.75	0.63	0.5	0.38	0.25	0.13	0.0	0.0	0.0	0.0	0.0	0.0		
	0.0	0.0	0.0	0.0	0.0	0.0	0.0	0.0	0.0	0.0	0.0	0.0	0.0	0.0	0.0	0.0	0.0	0.0	0.0	0.0	0.0	0.0	0.0	0.0	0.0	0.0	1.0	1.0	0.88	0.75	0.63	0.5	0.38	0.25	0.13	0.0	0.0	0.0	0.0	0.0	0.0	0.0	
02	0.0	0.0	0.0	0.0	0.0	0.0	0.0	0.0	0.0	0.0	0.13	0.13	0.13	0.13	0.13	0.13	0.13	0.13	0.25	0.25	0.25	0.25	0.25	0.25	0.25	0.25	0.25	0.88	0.88	0.88	0.88	0.88	0.88	0.88	0.88	0.88	0.88	0.13	0.13	0.13	0.13	0.13	
	0.0	0.13	0.25	0.38	0.5	0.63	0.75	0.88	1.0	0.0	0.13	0.25	0.38	0.5	0.63	0.75	0.88	1.0	0.0	0.13	0.25	0.38	0.5	0.63	0.75	0.88	1.0	1.0	0.88	0.75	0.63	0.5	0.38	0.25	0.13	0.0	0.13	0.13	0.13	0.13	0.13		
	0.13	0.13	0.13	0.13	0.13	0.13	0.13	0.13	0.13	0.13	0.13	0.13	0.13	0.13	0.13	0.13	0.13	0.13	0.25	0.25	0.25	0.25	0.25	0.25	0.25	0.25	0.25	1.0	0.88	0.75	0.63	0.5	0.38	0.25	0.13	0.0	0.13	0.13	0.13	0.13	0.13		
03	0.0	0.0	0.0	0.0	0.0	0.0	0.0	0.0	0.0	0.0	0.13	0.13	0.13	0.13	0.13	0.13	0.13	0.13	0.25	0.25	0.25	0.25	0.25	0.25	0.25	0.25	0.25	0.75	0.75	0.75	0.75	0.75	0.75	0.75	0.75	0.75	0.75	0.25	0.25	0.25	0.25	0.25	
	0.0	0.13	0.25	0.38	0.5	0.63	0.75	0.88	1.0	0.0	0.13	0.25	0.38	0.5	0.63	0.75	0.88	1.0	0.0	0.13	0.25	0.38	0.5	0.63	0.75	0.88	1.0	1.0	0.88	0.75	0.63	0.5	0.38	0.25	0.13	0.0	0.25	0.25	0.25	0.25	0.25		
	0.25	0.25	0.25	0.25	0.25	0.25	0.25	0.25	0.25	0.25	0.25	0.25	0.25	0.25	0.25	0.25	0.25	0.25	0.25	0.25	0.25	0.25	0.25	0.25	0.25	0.25	1.0	1.0	0.88	0.75	0.63	0.5	0.38	0.25	0.13	0.0	0.25	0.25	0.25	0.25	0.25		
04	0.0	0.0	0.0	0.0	0.0	0.0	0.0	0.0	0.0	0.0	0.13	0.13	0.13	0.13	0.13	0.13	0.13	0.13	0.25	0.25	0.25	0.25	0.25	0.25	0.25	0.25	0.25	0.63	0.63	0.63	0.63	0.63	0.63	0.63	0.63	0.63	0.63	0.38	0.38	0.38	0.38	0.38	
	0.0	0.13	0.25	0.38	0.5	0.63	0.75	0.88	1.0	0.0	0.13	0.25	0.38	0.5	0.63	0.75	0.88	1.0	0.0	0.13	0.25	0.38	0.5	0.63	0.75	0.88	1.0	1.0	0.88	0.75	0.63	0.5	0.38	0.25	0.13	0.0	0.38	0.38	0.38	0.38	0.38		
	0.38	0.38	0.38	0.38	0.38	0.38	0.38	0.38	0.38	0.38	0.38	0.38	0.38	0.38	0.38	0.38	0.38	0.38	0.38	0.38	0.38	0.38	0.38	0.38	0.38	0.38	0.38	1.0	0.88	0.75	0.63	0.5	0.38	0.25	0.13	0.0	0.38	0.38	0.38	0.38	0.38		
05	0.0	0.0	0.0	0.0	0.0	0.0	0.0	0.0	0.0	0.0	0.13	0.13	0.13	0.13	0.13	0.13	0.13	0.13	0.25	0.25	0.25	0.25	0.25	0.25	0.25	0.25	0.25	0.5	0.5	0.5	0.5	0.5	0.5	0.5	0.5	0.5	0.5	0.5	0.5	0.5	0.5	0.5	0.5
	0.0	0.13	0.25	0.38	0.5	0.63	0.75	0.88	1.0	0.0	0.13	0.25	0.38	0.5	0.63	0.75	0.88	1.0	0.0	0.13	0.25	0.38	0.5	0.63	0.75	0.88	1.0	1.0	0.88	0.75	0.63	0.5	0.38	0.25	0.13	0.0	0.5	0.5	0.5	0.5	0.5		
	0.5	0.5	0.5	0.5	0.5	0.5	0.5	0.5	0.5	0.5	0.5	0.5	0.5	0.5	0.5	0.5	0.5	0.5	0.5	0.5	0.5	0.5	0.5	0.5	0.5	0.5	0.5	1.0	0.88	0.75	0.63	0.5	0.38	0.25	0.13	0.0	0.5	0.5	0.5	0.5	0.5		
06	0.0	0.0	0.0	0.0	0.0	0.0	0.0	0.0	0.0	0.0	0.13	0.13	0.13	0.13	0.13	0.13	0.13	0.13	0.25	0.25	0.25	0.25	0.25	0.25	0.25	0.25	0.25	0.38	0.38	0.38	0.38	0.38	0.38	0.38	0.38	0.38	0.38	0.63	0.63	0.63	0.63		
	0.0	0.13	0.25	0.38	0.5	0.63	0.75	0.88	1.0	0.0	0.13	0.25	0.38	0.5	0.63	0.75	0.88	1.0	0.0	0.13	0.25	0.38	0.5	0.63	0.75	0.88	1.0	1.0	0.88	0.75	0.63	0.5	0.38	0.25	0.13	0.0	0.63	0.63	0.63	0.63			
	0.63	0.63	0.63	0.63	0.63	0.63	0.63	0.63	0.63	0.63	0.63	0.63	0.63	0.63	0.63	0.63	0.63	0.63	0.63	0.63	0.63	0.63	0.63	0.63	0.63	0.63	0.63	1.0	0.88	0.75	0.63	0.5	0.38	0.25	0.13	0.0	0.63	0.63	0.63	0.63			
07	0.0	0.0	0.0	0.0	0.0	0.0	0.0	0.0	0.0	0.0	0.13	0.13	0.13	0.13	0.13	0.13	0.13	0.13	0.25	0.25	0.25	0.25	0.25	0.25	0.25	0.25	0.25	0.25	0.25	0.25	0.25	0.25	0.25	0.25	0.25	0.25	0.25	0.75	0.75	0.75	0.75	0.75	
	0.0	0.13	0.25	0.38	0.5	0.63	0.75	0.88	1.0	0.0	0.13	0.25	0.38	0.5	0.63	0.75	0.88	1.0	0.0	0.13	0.25	0.38	0.5	0.63	0.75	0.88	1.0	1.0	0.88	0.75	0.63	0.5	0.38	0.25	0.13	0.0	0.75	0.75	0.75	0.75	0.75		
	0.75	0.75	0.75	0.75	0.75	0.75	0.75	0.75	0.75	0.75	0.75	0.75	0.75	0.75	0.75	0.75	0.75	0.75	0.75	0.75	0.75	0.75	0.75	0.75	0.75	0.75	0.75	1.0	0.88	0.75	0.63	0.5	0.38	0.25	0.13	0.0	0.75	0.75	0.75	0.75	0.75		
08	0.0	0.0	0.0	0.0	0.0	0.0	0.0	0.0	0.0	0.0	0.13	0.13	0.13	0.13	0.13	0.13	0.13	0.13	0.25	0.25	0.25	0.25	0.25	0.25	0.25	0.25	0.25	0.13	0.13	0.13	0.13	0.13	0.13	0.13	0.13	0.13	0.13	0.88	0.88	0.88	0.88		
	0.0	0.13	0.25	0.38	0.5	0.63	0.75	0.88	1.0	0.0	0.13	0.25	0.38	0.5	0.63	0.75	0.88	1.0	0.0	0.13	0.25	0.38	0.5	0.63	0.75	0.88	1.0	1.0	0.88	0.75	0.63	0.5	0.38	0.25	0.13	0.0	0.88	0.88	0.88	0.88			
	0.88	0.88	0.88	0.88	0.88	0.88	0.88	0.88	0.88	0.88	0.88	0.88	0.88	0.88	0.88	0.88	0.88	0.88	0.88	0.88	0.88	0.88	0.88	0.88	0.88	0.88	0.88	1.0	0.88	0.75	0.63	0.5	0.38	0.25	0.13	0.0	0.88	0.88	0.88	0.88			
09	0.0	0.0	0.0	0.0	0.0	0.0	0.0	0.0	0.0	0.0	0.13	0.13	0.13	0.13	0.13	0.13	0.13	0.13	0.25	0.25	0.25	0.25	0.25	0.25	0.25	0.25	0.25	0.0	0.0	0.0	0.0	0.0	0.0	0.0	0.0	0.0	0.0	1.0	1.0	1.0	1.0		
	0.0	0.13	0.25	0.38	0.5	0.63	0.75	0.88	1.0	0.0	0.13	0.25	0.38	0.5	0.63	0.75	0.88	1.0	0.0	0.13	0.25	0.38	0.5	0.63	0.75	0.88	1.0	1.0	0.88	0.75	0.63	0.5	0.38	0.25	0.13	0.0	1.0	1.0	1.0	1.0			
	1.0	1.0	1.0	1.0	1.0	1.0	1.0	1.0	1.0	1.0	1.0	1.0	1.0	1.0	1.0	1.0	1.0	1.0	1.0	1.0	1.0	1.0	1.0	1.0	1.0	1.0	1.0	1.0	0.88	0.75	0.63	0.5	0.38	0.25	0.13	0.0	1.0	1.0	1.0	1.0			
10	0.38	0.38	0.38	0.38	0.38	0.38	0.38	0.38	0.38	0.38	0.5	0.5	0.5	0.5	0.5	0.5	0.5	0.5	0.63	0.63	0.63	0.63	0.63	0.63	0.63	0.63	0.63	1.0	1.0	1.0	1.0	1.0	1.0	1.0	1.0	1.0	1.0	0.0	0.0	0.0	0.0		
	0.0	0.13	0.25	0.38	0.5	0.63	0.75	0.88	1.0	0.0	0.13	0.25	0.38	0.5	0.63	0.75	0.88	1.0	0.0	0.13	0.25	0.38	0.5	0.63	0.75	0.88	1.0	1.0	1.0	1.0	1.0	1.0	1.0	1.0	1.0	1.0	0.0	0.0	0.0	0.0			
	0.38	0.38	0.38	0.38	0.38	0.38	0.38	0.38	0.38	0.38	0.5	0.5	0.5	0.5	0.5	0.5	0.5	0.5	0.63	0.63	0.63	0.63	0.63	0.63	0.63	0.63	0.63	0.88	0.88	0.88	0.88	0.88	0.88	0.88	0.88	0.88	0.88	0.07	0.07	0.07	0.07		
11	0.0	0.13	0.25	0.38	0.5	0.63	0.75	0.88	1.0	0.0	0.13	0.25	0.38	0.5	0.63	0.75	0.88	1.0	0.0	0.13	0.25	0.38	0.5	0.63	0.75	0.88	1.0	0.88	0.88	0.88	0.88	0.88	0.88	0.88	0.88	0.88	0.07	0.07	0.07	0.07			
	0.13	0.13	0.13	0.13	0.13	0.13	0.13	0.13	0.13	0.13	0.13	0.13	0.13	0.13	0.13	0.13	0.13	0.13	0.13	0.13	0.13	0.13	0.13	0.13	0.13	0.13	0.13	1.0	0.88	0.75	0.63	0.5	0.										

BAM-Registrierung: 20080701-Dg98/10L/L98G00NA.PS/.TXT  
Anwendung für Beurteilung und Messung von Drucker- oder Monitorsystemen

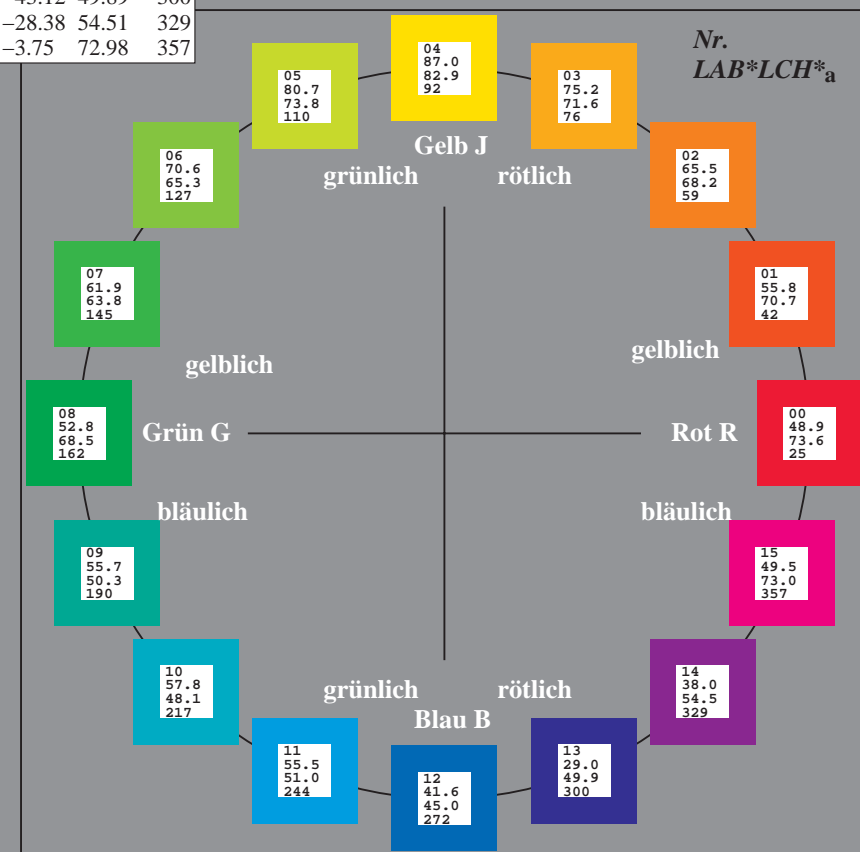
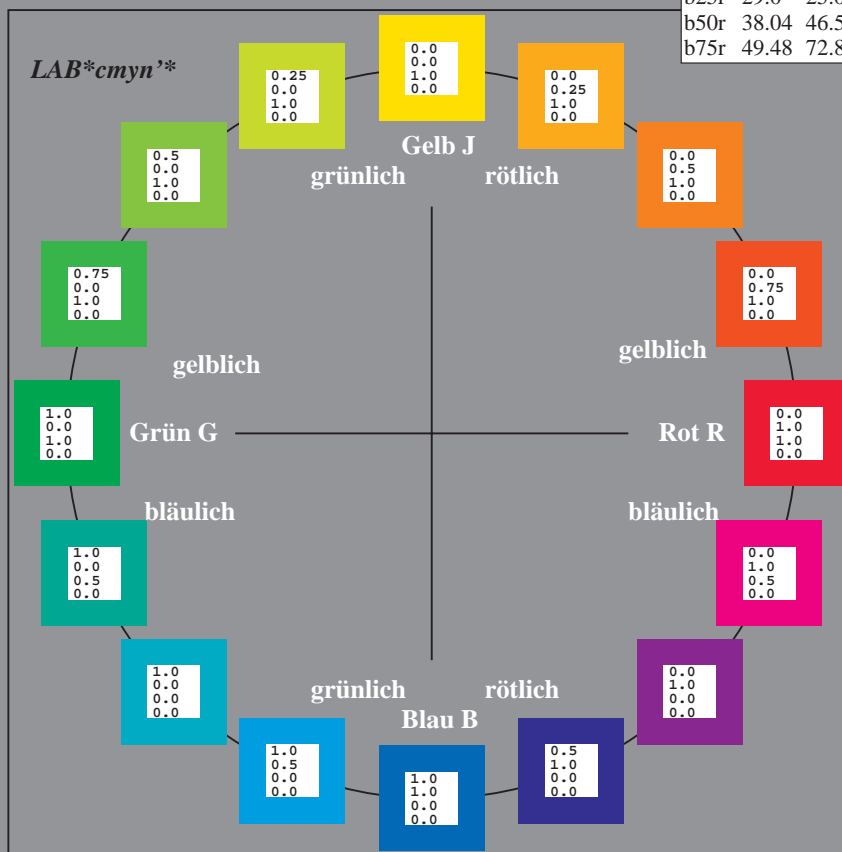
Ein und Ausgabe:  
Farbmetrisches Drucker-Reflektiv-System ORS19\_96a  
Daten für jede Farbe:  
*lab\*<sub>tch</sub>\** und *lab\*<sub>icu</sub>\**  
Elementar-Bunttontext:  
*u\** = 16 Buntttöne *r00j*, *r25j*, ..., *b75r*  
Kontrastreduzierungsfaktor:  
*c<sub>R</sub>* = 1.0

ORS19_96a; adaptierte CIELAB-Daten					
	<i>L*</i> = <i>L*</i> <sub>a</sub>	<i>a*</i> <sub>a</sub>	<i>b*</i> <sub>a</sub>	<i>C*</i> <sub>ab,a</sub>	<i>h*</i> <sub>ab,a</sub>
r00j	48.88	66.47	31.67	73.63	25
r25j	55.85	52.39	47.48	70.7	42
r50j	65.45	35.22	58.37	68.17	59
r75j	75.19	17.82	69.41	71.66	76
j00g	87.03	-3.34	82.83	82.9	92
j25g	80.72	-25.0	69.5	73.86	110
j50g	70.64	-39.53	51.97	65.3	127
j75g	61.93	-52.09	36.83	63.8	145
g00b	52.8	-65.27	20.93	68.56	162
g25b	55.7	-49.57	-8.38	50.28	190
g50b	57.82	-38.39	-28.91	48.07	217
g75b	55.5	-22.04	-45.94	50.97	244
b00r	41.6	1.37	-45.0	45.03	272
b25r	29.0	25.08	-43.12	49.89	300
b50r	38.04	46.53	-28.38	54.51	329
b75r	49.48	72.88	-3.75	72.98	357



%Umfang  
*u\**<sub>rel</sub> = 89  
%Regularität  
*g\**<sub>H,rel</sub> = 72  
*g\**<sub>C,rel</sub> = 57

ORS19_96a; CIELAB-Daten					
	<i>L*</i> = <i>L*</i>	<i>a*</i>	<i>b*</i>	<i>C*</i> <sub>ab</sub>	<i>h*</i> <sub>ab</sub>
O <sub>M</sub>	48.75	65.16	40.76	76.86	32
Y <sub>M</sub>	90.92	-10.77	89.36	90.01	97
L <sub>M</sub>	52.69	-65.39	22.15	69.05	161
C <sub>M</sub>	59.61	-29.03	-44.68	53.3	237
V <sub>M</sub>	28.39	24.0	-43.17	49.4	299
M <sub>M</sub>	49.58	74.01	-8.21	74.47	354
N <sub>M</sub>	18.89	0.5	0.77	0.92	57
W <sub>M</sub>	96.9	-0.56	2.23	2.3	104
R <sub>CIE</sub>	39.92	58.74	27.99	65.07	25
J <sub>CIE</sub>	81.26	-2.88	71.56	71.62	92
G <sub>CIE</sub>	52.23	-42.41	13.6	44.55	162
B <sub>CIE</sub>	30.57	1.41	-46.46	46.49	272



Ein und Ausgabe: Farbmimetrisches Drucker-Reflektiv-System ORS19\_96a für relativen CIELAB-Buntton  $h^* = lab^*h^* = h_{ab}/360 = 25/360 = 0.071$

Daten für jede Farbe:

$lab^*ch^*$  und  $lab^*icu^*$

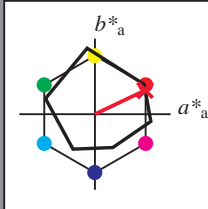
Elementar-Bunttonext:

$u^* = r00j$

Kontrastreduzierungsfaktor:

$c_R = 1.0$

Dreiecks-Helligkeit  $t^*$



ORS19_96a; CIELAB-Daten					
	$L^*=L^*$	$a^*$	$b^*$	$C^*_{ab}$	$h^*_{ab}$
O <sub>M</sub>	48.75	65.16	40.76	76.86	32
Y <sub>M</sub>	90.92	-10.77	89.36	90.01	97
L <sub>M</sub>	52.69	-65.39	22.15	69.05	161
C <sub>M</sub>	59.61	-29.03	-44.68	53.3	237
V <sub>M</sub>	28.39	24.0	-43.17	49.4	299
M <sub>M</sub>	49.58	74.01	-8.21	74.47	354
N <sub>M</sub>	18.89	0.5	0.77	0.92	57
W <sub>M</sub>	96.9	-0.56	2.23	2.3	104
R <sub>CIE</sub>	39.92	58.74	27.99	65.07	25
J <sub>CIE</sub>	81.26	-2.88	71.56	71.62	92
G <sub>CIE</sub>	52.23	-42.41	13.6	44.55	162
B <sub>CIE</sub>	30.57	1.41	-46.46	46.49	272

Daten für Maximalfarbe (Ma):

$LAB^*LAB^*_{Ma}$ : 49 66 32

$LAB^*LCH^*_{Ma}$ : 49 74 25

$lab^*rgb^*_{Ma}$ : 1.0 0.0 0.0

$lab^*olv^*_{Ma}$ : 1.0 0.0 0.16

Dreiecks-Helligkeit  $t^*$

%Umfang

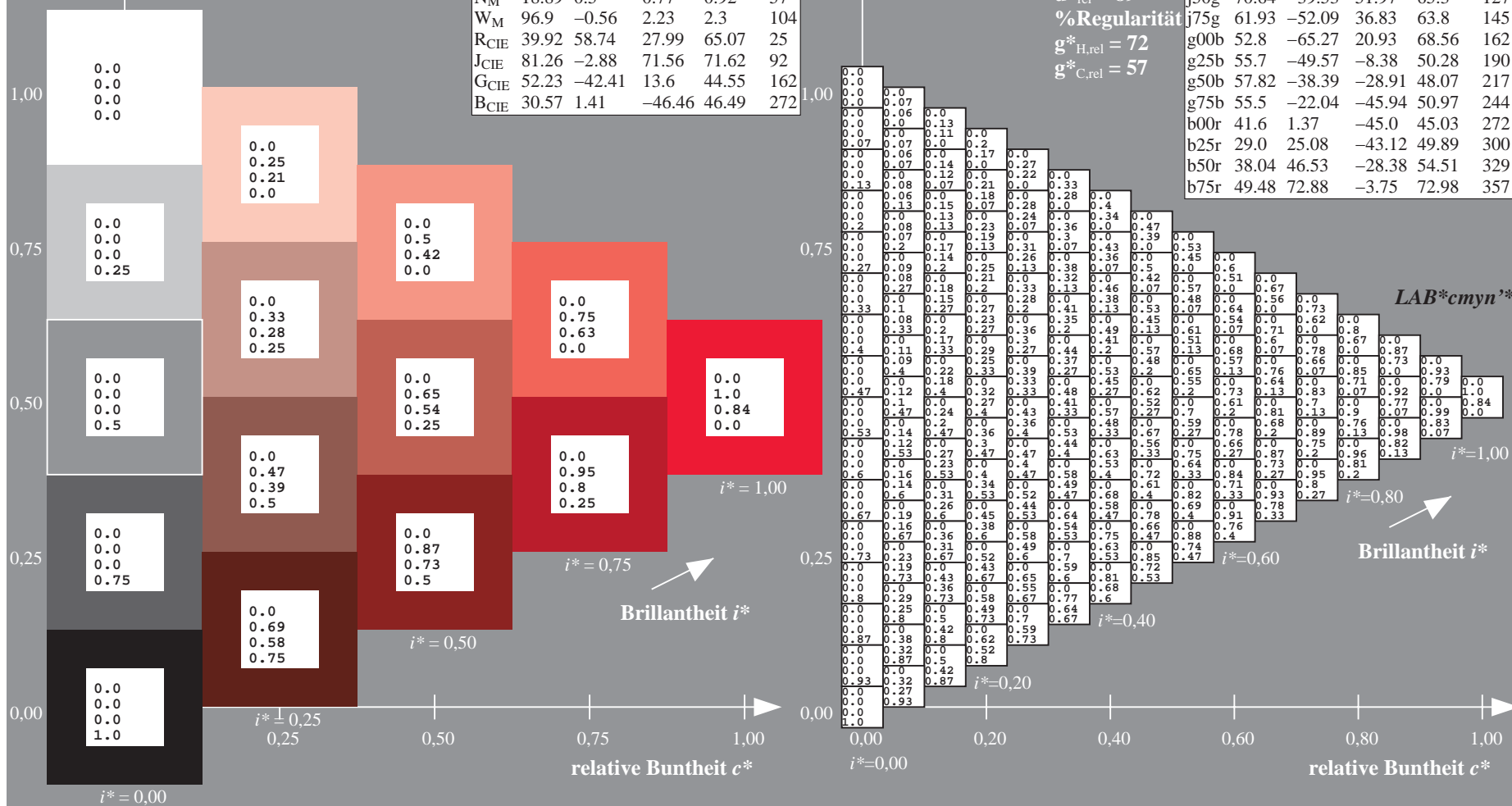
$u^*_{rel} = 89$

%Regularität

$g^*_{H,rel} = 72$

$g^*_{C,rel} = 57$

ORS19_96a; adaptierte CIELAB-Daten					
	$L^*=L^*_a$	$a^*_a$	$b^*_a$	$C^*_{ab,a}$	$h^*_{ab,a}$
r00j	48.88	66.47	31.67	73.63	25
r25j	55.85	52.39	47.48	70.7	42
r50j	65.45	35.22	58.37	68.17	59
r75j	75.19	17.82	69.41	71.66	76
j00g	87.03	-3.34	82.83	82.9	92
j25g	80.72	-25.0	69.5	73.86	110
j50g	70.64	-39.53	51.97	65.3	127
j75g	61.93	-52.09	36.83	63.8	145
g00b	52.8	-65.27	20.93	68.56	162
g25b	55.7	-49.57	-8.38	50.28	190
g50b	57.82	-38.39	-28.91	48.07	217
g75b	55.5	-22.04	-45.94	50.97	244
b00r	41.6	1.37	-45.0	45.03	272
b25r	29.0	25.08	-43.12	49.89	300
b50r	38.04	46.53	-28.38	54.51	329
b75r	49.48	72.88	-3.75	72.98	357



Ein und Ausgabe: Farbmetrisches Drucker-Reflektiv-System ORS19\_96a für relativen CIELAB-Buntton  $h^* = lab^*h^* = h_{ab}/360 = 42/360 = 0.117$   $u^* = r25j$

Daten für jede Farbe:

$lab^*ch^*$  und  $lab^*icu^*$

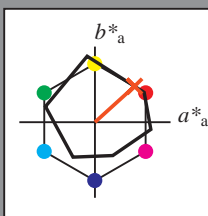
Elementar-Bunttontext:

$u^* = r25j$

Kontrastreduzierungsfaktor:

$c_R = 1.0$

Dreiecks-Helligkeit  $t^*$



ORS19_96a; CIELAB-Daten					
	$L^*=L^*$	$a^*$	$b^*$	$C^*_{ab}$	$h^*_{ab}$
O <sub>M</sub>	48.75	65.16	40.76	76.86	32
Y <sub>M</sub>	90.92	-10.77	89.36	90.01	97
L <sub>M</sub>	52.69	-65.39	22.15	69.05	161
C <sub>M</sub>	59.61	-29.03	-44.68	53.3	237
V <sub>M</sub>	28.39	24.0	-43.17	49.4	299
M <sub>M</sub>	49.58	74.01	-8.21	74.47	354
N <sub>M</sub>	18.89	0.5	0.77	0.92	57
W <sub>M</sub>	96.9	-0.56	2.23	2.3	104
R <sub>CIE</sub>	39.92	58.74	27.99	65.07	25
J <sub>CIE</sub>	81.26	-2.88	71.56	71.62	92
G <sub>CIE</sub>	52.23	-42.41	13.6	44.55	162
B <sub>CIE</sub>	30.57	1.41	-46.46	46.49	272

Daten für Maximalfarbe (Ma):

$LAB^*LAB^*_{Ma}$ : 56 52 47

$LAB^*LCH^*_{Ma}$ : 56 71 42

$lab^*rgb^*_{Ma}$ : 1.0 0.25 0.0

$lab^*olv^*_{Ma}$ : 1.0 0.17 0.0

Dreiecks-Helligkeit  $t^*$

%Umfang

$u^*_{rel} = 89$

%Regularität

$g^*_{H,rel} = 72$

$g^*_{C,rel} = 57$

ORS19_96a; adaptierte CIELAB-Daten					
	$L^*=L^*_a$	$a^*_a$	$b^*_a$	$C^*_{ab,a}$	$h^*_{ab,a}$
r00j	48.88	66.47	31.67	73.63	25
r25j	55.85	52.39	47.48	70.7	42
r50j	65.45	35.22	58.37	68.17	59
r75j	75.19	17.82	69.41	71.66	76
j00g	87.03	-3.34	82.83	82.9	92
j25g	80.72	-25.0	69.5	73.86	110
j50g	70.64	-39.53	51.97	65.3	127
j75g	61.93	-52.09	36.83	63.8	145
g00b	52.8	-65.27	20.93	68.56	162
g25b	55.7	-49.57	-8.38	50.28	190
g50b	57.82	-38.39	-28.91	48.07	217
g75b	55.5	-22.04	-45.94	50.97	244
b00r	41.6	1.37	-45.0	45.03	272
b25r	29.0	25.08	-43.12	49.89	300
b50r	38.04	46.53	-28.38	54.51	329
b75r	49.48	72.88	-3.75	72.98	357

$LAB^*cmyn^*$

$i^* = 1.00$

Brillantheit  $i^*$

$i^* = 0.80$

$i^* = 0.60$

$i^* = 0.40$

$i^* = 0.20$

$i^* = 0.00$



Ein und Ausgabe: Farbmetrisches Drucker-Reflektiv-System ORS19\_96a für relativen CIELAB-Buntton  $h^* = lab^*h^* = h_{ab}/360 = 59/360 = 0.164$   $u^* = r50j$

Daten für jede Farbe:

$lab^*ch^*$  und  $lab^*icu^*$

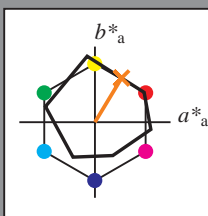
Elementar-Bunttontext:

$u^* = r50j$

Kontrastreduzierungsfaktor:

$c_R = 1.0$

Dreiecks-Helligkeit  $t^*$



ORS19_96a; CIELAB-Daten					
	$L^*=L^*$	$a^*$	$b^*$	$C^*_{ab}$	$h^*_{ab}$
O <sub>M</sub>	48.75	65.16	40.76	76.86	32
Y <sub>M</sub>	90.92	-10.77	89.36	90.01	97
L <sub>M</sub>	52.69	-65.39	22.15	69.05	161
C <sub>M</sub>	59.61	-29.03	-44.68	53.3	237
V <sub>M</sub>	28.39	24.0	-43.17	49.4	299
M <sub>M</sub>	49.58	74.01	-8.21	74.47	354
N <sub>M</sub>	18.89	0.5	0.77	0.92	57
W <sub>M</sub>	96.9	-0.56	2.23	2.3	104
R <sub>CIE</sub>	39.92	58.74	27.99	65.07	25
J <sub>CIE</sub>	81.26	-2.88	71.56	71.62	92
G <sub>CIE</sub>	52.23	-42.41	13.6	44.55	162
B <sub>CIE</sub>	30.57	1.41	-46.46	46.49	272

Daten für Maximalfarbe (Ma):

$LAB^*LAB^*_{Ma}$ : 65 35 58

$LAB^*LCH^*_{Ma}$ : 65 68 59

$lab^*rgb^*_{Ma}$ : 1.0 0.5 0.0

$lab^*olv^*_{Ma}$ : 1.0 0.4 0.0

Dreiecks-Helligkeit  $t^*$

%Umfang

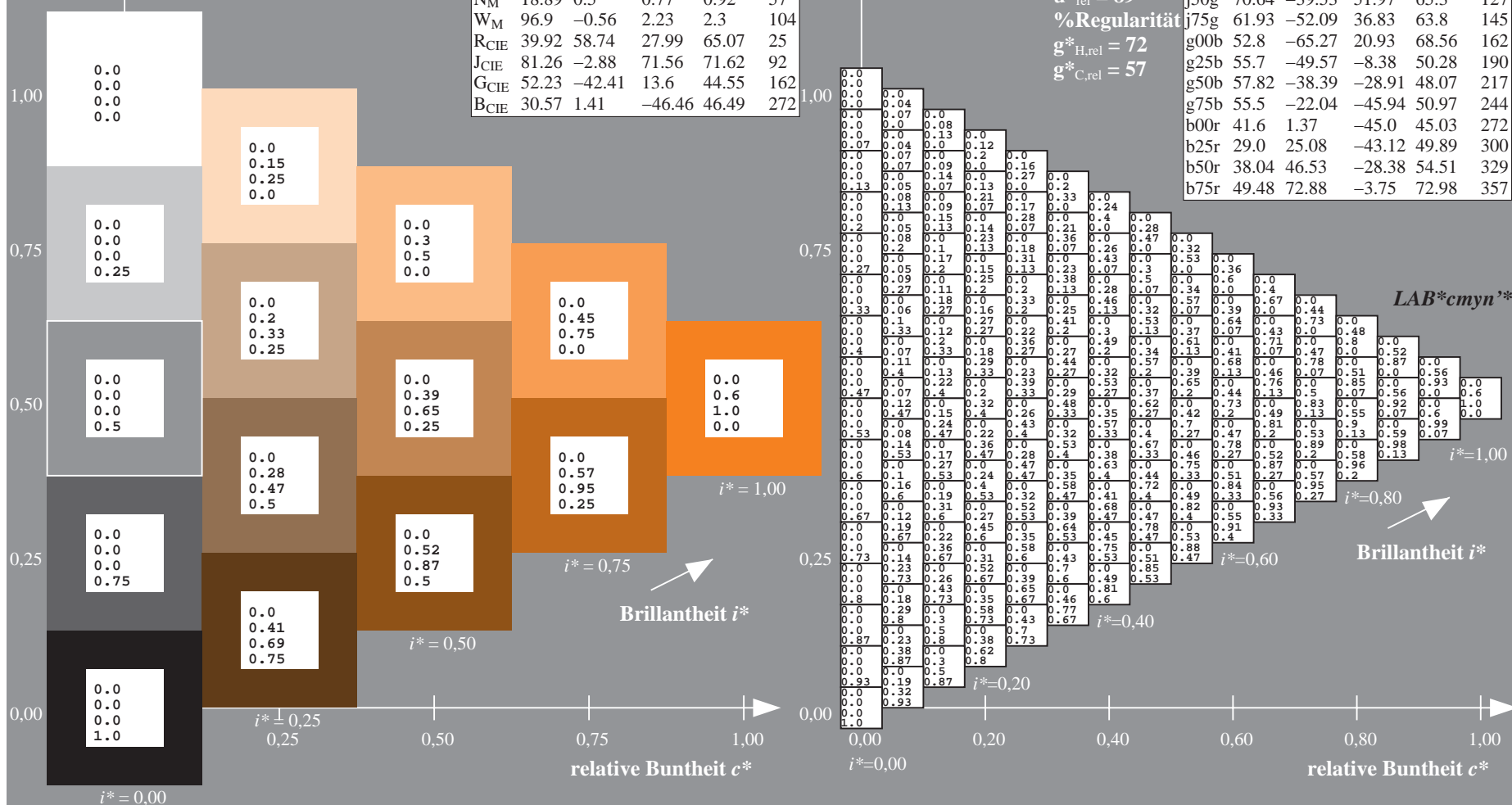
$u^*_{rel} = 89$

%Regularität

$g^*_{H,rel} = 72$

$g^*_{C,rel} = 57$

ORS19_96a; adaptierte CIELAB-Daten					
	$L^*=L^*_a$	$a^*_a$	$b^*_a$	$C^*_{ab,a}$	$h^*_{ab,a}$
r00j	48.88	66.47	31.67	73.63	25
r25j	55.85	52.39	47.48	70.7	42
r50j	65.45	35.22	58.37	68.17	59
r75j	75.19	17.82	69.41	71.66	76
j00g	87.03	-3.34	82.83	82.9	92
j25g	80.72	-25.0	69.5	73.86	110
j50g	70.64	-39.53	51.97	65.3	127
j75g	61.93	-52.09	36.83	63.8	145
g00b	52.8	-65.27	20.93	68.56	162
g25b	55.7	-49.57	-8.38	50.28	190
g50b	57.82	-38.39	-28.91	48.07	217
g75b	55.5	-22.04	-45.94	50.97	244
b00r	41.6	1.37	-45.0	45.03	272
b25r	29.0	25.08	-43.12	49.89	300
b50r	38.04	46.53	-28.38	54.51	329
b75r	49.48	72.88	-3.75	72.98	357



Ein und Ausgabe: Farbmimetrisches Drucker-Reflektiv-System ORS19\_96a für relativen CIELAB-Buntton  $h^* = lab^*h^* = h_{ab}/360 = 76/360 = 0.21$

Daten für jede Farbe:

$lab^*tch^*$  und  $lab^*icu^*$

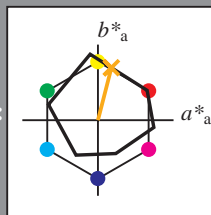
Elementar-Bunttonext:

$u^* = r75j$

Kontrastreduzierungsfaktor:

$c_R = 1.0$

Dreiecks-Helligkeit  $t^*$



ORS19_96a; CIELAB-Daten					
	$L^*=L^*$	$a^*$	$b^*$	$C^*_{ab}$	$h^*_{ab}$
O <sub>M</sub>	48.75	65.16	40.76	76.86	32
Y <sub>M</sub>	90.92	-10.77	89.36	90.01	97
L <sub>M</sub>	52.69	-65.39	22.15	69.05	161
C <sub>M</sub>	59.61	-29.03	-44.68	53.3	237
V <sub>M</sub>	28.39	24.0	-43.17	49.4	299
M <sub>M</sub>	49.58	74.01	-8.21	74.47	354
N <sub>M</sub>	18.89	0.5	0.77	0.92	57
W <sub>M</sub>	96.9	-0.56	2.23	2.3	104
R <sub>CIE</sub>	39.92	58.74	27.99	65.07	25
J <sub>CIE</sub>	81.26	-2.88	71.56	71.62	92
G <sub>CIE</sub>	52.23	-42.41	13.6	44.55	162
B <sub>CIE</sub>	30.57	1.41	-46.46	46.49	272

Daten für Maximalfarbe (Ma):

$LAB^*LAB^*_{Ma}$ : 75 18 69

$LAB^*LCH^*_{Ma}$ : 75 72 76

$lab^*rgb^*_{Ma}$ : 1.0 0.75 0.0

$lab^*olv^*_{Ma}$ : 1.0 0.63 0.0

Dreiecks-Helligkeit  $t^*$

%Umfang

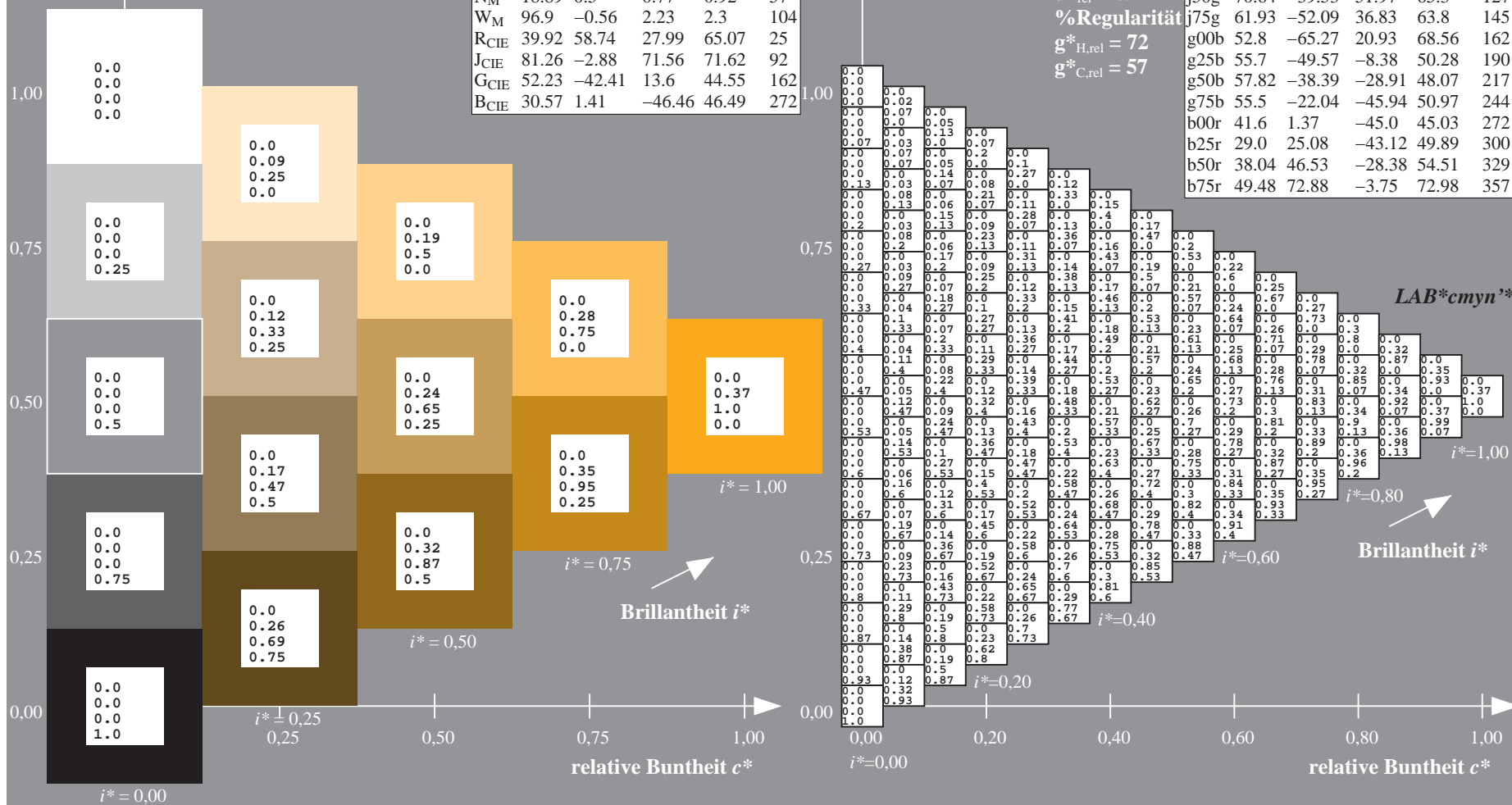
$u^*_{rel} = 89$

%Regularität

$g^*_{H,rel} = 72$

$g^*_{C,rel} = 57$

ORS19_96a; adaptierte CIELAB-Daten					
	$L^*=L^*_a$	$a^*_a$	$b^*_a$	$C^*_{ab,a}$	$h^*_{ab,a}$
r00j	48.88	66.47	31.67	73.63	25
r25j	55.85	52.39	47.48	70.7	42
r50j	65.45	35.22	58.37	68.17	59
r75j	75.19	17.82	69.41	71.66	76
j00g	87.03	-3.34	82.83	82.9	92
j25g	80.72	-25.0	69.5	73.86	110
j50g	70.64	-39.53	51.97	65.3	127
j75g	61.93	-52.09	36.83	63.8	145
g00b	52.8	-65.27	20.93	68.56	162
g25b	55.7	-49.57	-8.38	50.28	190
g50b	57.82	-38.39	-28.91	48.07	217
g75b	55.5	-22.04	-45.94	50.97	244
b00r	41.6	1.37	-45.0	45.03	272
b25r	29.0	25.08	-43.12	49.89	300
b50r	38.04	46.53	-28.38	54.51	329
b75r	49.48	72.88	-3.75	72.98	357



Ein und Ausgabe: Farbmetrisches Drucker-Reflektiv-System ORS19\_96a für relativen CIELAB-Buntton  $h^* = lab^*h^* = h_{ab}/360 = 92/360 = 0.256$   $u^* = j00g$

Daten für jede Farbe:

$lab^*tch^*$  und  $lab^*icu^*$

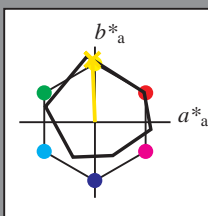
Elementar-Bunttontext:

$u^* = j00g$

Kontrastreduzierungsfaktor:

$c_R = 1.0$

Dreiecks-Helligkeit  $t^*$



ORS19_96a; CIELAB-Daten					
	$L^*=L^*$	$a^*$	$b^*$	$C^*_{ab}$	$h^*_{ab}$
O <sub>M</sub>	48.75	65.16	40.76	76.86	32
Y <sub>M</sub>	90.92	-10.77	89.36	90.01	97
L <sub>M</sub>	52.69	-65.39	22.15	69.05	161
C <sub>M</sub>	59.61	-29.03	-44.68	53.3	237
V <sub>M</sub>	28.39	24.0	-43.17	49.4	299
M <sub>M</sub>	49.58	74.01	-8.21	74.47	354
N <sub>M</sub>	18.89	0.5	0.77	0.92	57
W <sub>M</sub>	96.9	-0.56	2.23	2.3	104
R <sub>CIE</sub>	39.92	58.74	27.99	65.07	25
J <sub>CIE</sub>	81.26	-2.88	71.56	71.62	92
G <sub>CIE</sub>	52.23	-42.41	13.6	44.55	162
B <sub>CIE</sub>	30.57	1.41	-46.46	46.49	272

Daten für Maximalfarbe (Ma):

$LAB^*LAB^*_{Ma}$ : 87 -2 83

$LAB^*LCH^*_{Ma}$ : 87 83 92

$lab^*rgb^*_{Ma}$ : 1.0 1.0 0.0

$lab^*olv^*_{Ma}$ : 1.0 0.91 0.0

Dreiecks-Helligkeit  $t^*$

%Umfang

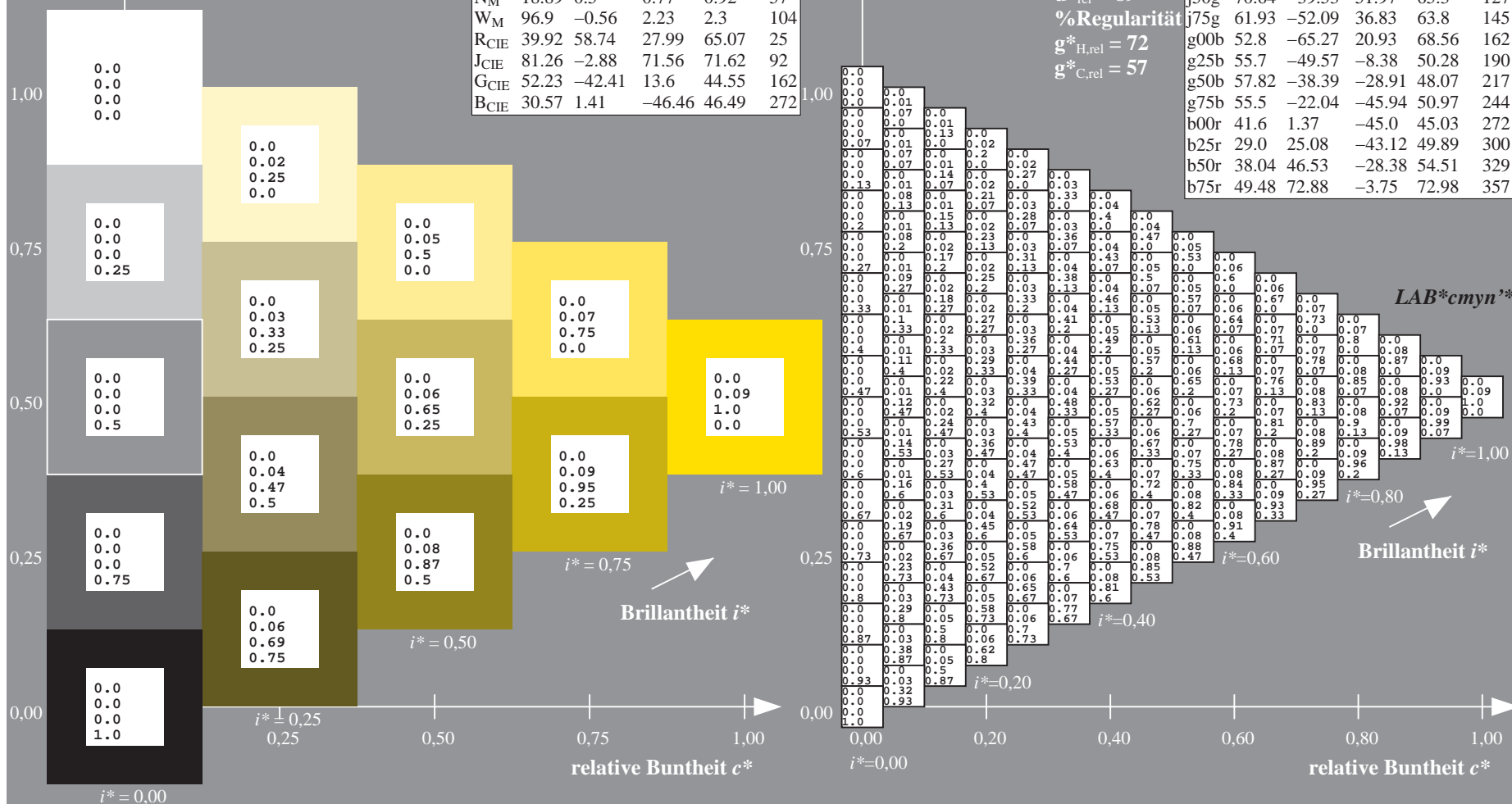
$u^*_{rel} = 89$

%Regularität

$g^*_{H,rel} = 72$

$g^*_{C,rel} = 57$

ORS19_96a; adaptierte CIELAB-Daten					
	$L^*=L^*_a$	$a^*_a$	$b^*_a$	$C^*_{ab,a}$	$h^*_{ab,a}$
r00j	48.88	66.47	31.67	73.63	25
r25j	55.85	52.39	47.48	70.7	42
r50j	65.45	35.22	58.37	68.17	59
r75j	75.19	17.82	69.41	71.66	76
j00g	87.03	-3.34	82.83	82.9	92
j25g	80.72	-25.0	69.5	73.86	110
j50g	70.64	-39.53	51.97	65.3	127
j75g	61.93	-52.09	36.83	63.8	145
g00b	52.8	-65.27	20.93	68.56	162
g25b	55.7	-49.57	-8.38	50.28	190
g50b	57.82	-38.39	-28.91	48.07	217
g75b	55.5	-22.04	-45.94	50.97	244
b00r	41.6	1.37	-45.0	45.03	272
b25r	29.0	25.08	-43.12	49.89	300
b50r	38.04	46.53	-28.38	54.51	329
b75r	49.48	72.88	-3.75	72.98	357



Ein und Ausgabe: Farbmetrisches Drucker-Reflektiv-System ORS19\_96a für relativen CIELAB-Buntton  $h^* = lab^*h^* = h_{ab}/360 = 110/360 = 0.305$   $u^* = j25g$

Daten für jede Farbe:

$lab^*ch^*$  und  $lab^*icu^*$

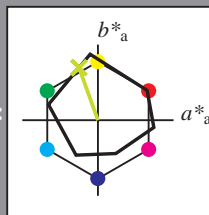
Elementar-Bunttontext:

$u^* = j25g$

Kontrastreduzierungsfaktor:

$c_R = 1.0$

Dreiecks-Helligkeit  $i^*$



ORS19\_96a; CIELAB-Daten

	$L^*=L^*$	$a^*$	$b^*$	$C^*_{ab}$	$h^*_{ab}$
O <sub>M</sub>	48.75	65.16	40.76	76.86	32
Y <sub>M</sub>	90.92	-10.77	89.36	90.01	97
L <sub>M</sub>	52.69	-65.39	22.15	69.05	161
C <sub>M</sub>	59.61	-29.03	-44.68	53.3	237
V <sub>M</sub>	28.39	24.0	-43.17	49.4	299
M <sub>M</sub>	49.58	74.01	-8.21	74.47	354
N <sub>M</sub>	18.89	0.5	0.77	0.92	57
W <sub>M</sub>	96.9	-0.56	2.23	2.3	104
R <sub>CIE</sub>	39.92	58.74	27.99	65.07	25
J <sub>CIE</sub>	81.26	-2.88	71.56	71.62	92
G <sub>CIE</sub>	52.23	-42.41	13.6	44.55	162
B <sub>CIE</sub>	30.57	1.41	-46.46	46.49	272

Daten für Maximalfarbe (Ma):

$LAB^*LAB^*_{Ma}$ : 81 -24 69

$LAB^*LCH^*_{Ma}$ : 81 74 110

$lab^*rgb^*_{Ma}$ : 0.75 1.0 0.0

$lab^*olv^*_{Ma}$ : 0.73 1.0 0.0

Dreiecks-Helligkeit  $i^*$

%Umfang

$u^*_{rel} = 89$

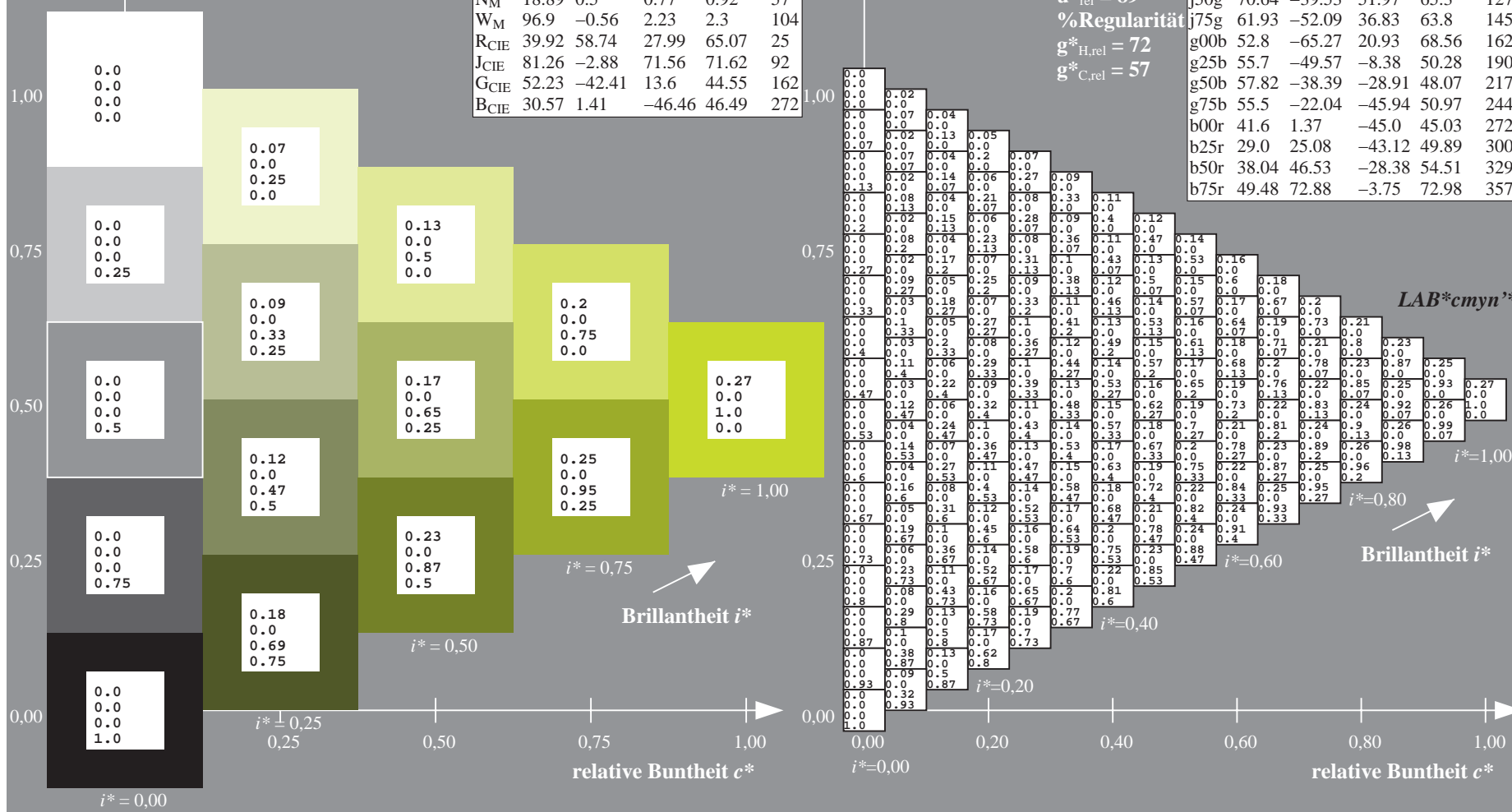
%Regularität

$g^*_{H,rel} = 72$

$g^*_{C,rel} = 57$

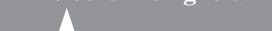
ORS19\_96a; adaptierte CIELAB-Daten

	$L^*=L^*_a$	$a^*_a$	$b^*_a$	$C^*_{ab,a}$	$h^*_{ab,a}$
r00j	48.88	66.47	31.67	73.63	25
r25j	55.85	52.39	47.48	70.7	42
r50j	65.45	35.22	58.37	68.17	59
r75j	75.19	17.82	69.41	71.66	76
j00g	87.03	-3.34	82.83	82.9	92
j25g	80.72	-25.0	69.5	73.86	110
j50g	70.64	-39.53	51.97	65.3	127
j75g	61.93	-52.09	36.83	63.8	145
g00b	52.8	-65.27	20.93	68.56	162
g25b	55.7	-49.57	-8.38	50.28	190
g50b	57.82	-38.39	-28.91	48.07	217
g75b	55.5	-22.04	-45.94	50.97	244
b00r	41.6	1.37	-45.0	45.03	272
b25r	29.0	25.08	-43.12	49.89	300
b50r	38.04	46.53	-28.38	54.51	329
b75r	49.48	72.88	-3.75	72.98	357

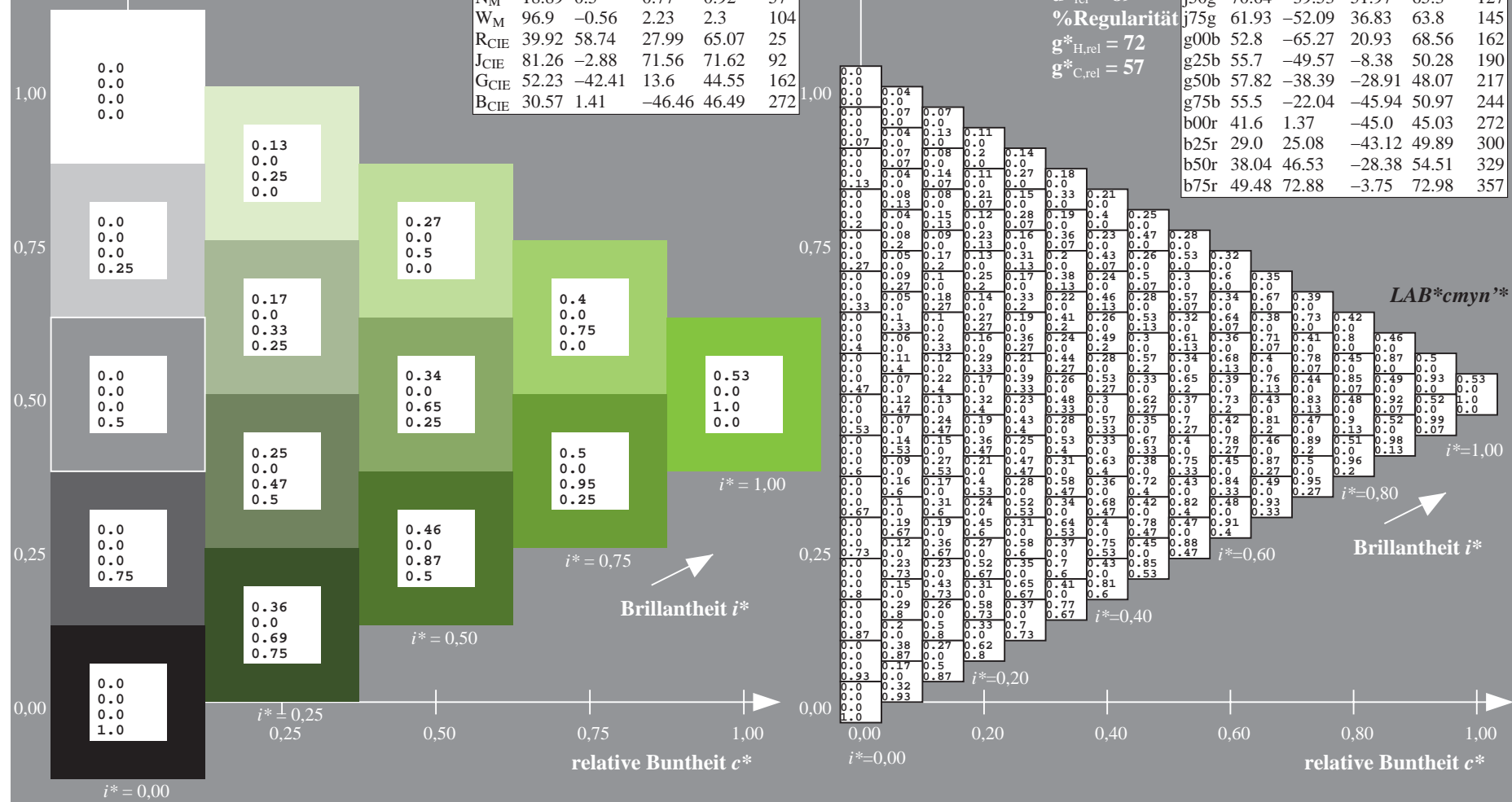




0



ORS19_96a; adaptierte CIELAB-Daten					
	$L^*_a$	$a^*_a$	$b^*_a$	$C^*_{ab,a}$	$h^*_{ab,a}$
r00j	48.88	66.47	31.67	73.63	25
r25j	55.85	52.39	47.48	70.7	42
r50j	65.45	35.22	58.37	68.17	59
r75j	75.19	17.82	69.41	71.66	76
j00g	87.03	-3.34	82.83	82.9	92
j25g	80.72	-25.0	69.5	73.86	110
j50g	70.64	-39.53	51.97	65.3	127
j75g	61.93	-52.09	36.83	63.8	145
g00b	52.8	-65.27	20.93	68.56	162
g25b	55.7	-49.57	-8.38	50.28	190
g50b	57.82	-38.39	-28.91	48.07	217
g75b	55.5	-22.04	-45.94	50.97	244
b00r	41.6	1.37	-45.0	45.03	272
b25r	29.0	25.08	-43.12	49.89	300
b50r	38.04	46.53	-28.38	54.51	329
b75r	49.48	72.88	-3.75	72.98	357



Ein und Ausgabe: Farbmetrisches Drucker-Reflektiv-System ORS19\_96a für relativen CIELAB-Buntton  $h^* = lab^*h^* = h_{ab}/360 = 145/360 = 0.402$   $u^* = j75g$

Daten für jede Farbe:

$lab^*ch^*$  und  $lab^*icu^*$

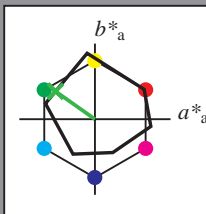
Elementar-Bunttontext:

$u^* = j75g$

Kontrastreduzierungsfaktor:

$c_R = 1.0$

Dreiecks-Helligkeit  $t^*$



ORS19_96a; CIELAB-Daten					
	$L^*=L^*$	$a^*$	$b^*$	$C^*_{ab}$	$h^*_{ab}$
O <sub>M</sub>	48.75	65.16	40.76	76.86	32
Y <sub>M</sub>	90.92	-10.77	89.36	90.01	97
L <sub>M</sub>	52.69	-65.39	22.15	69.05	161
C <sub>M</sub>	59.61	-29.03	-44.68	53.3	237
V <sub>M</sub>	28.39	24.0	-43.17	49.4	299
M <sub>M</sub>	49.58	74.01	-8.21	74.47	354
N <sub>M</sub>	18.89	0.5	0.77	0.92	57
W <sub>M</sub>	96.9	-0.56	2.23	2.3	104
R <sub>CIE</sub>	39.92	58.74	27.99	65.07	25
J <sub>CIE</sub>	81.26	-2.88	71.56	71.62	92
G <sub>CIE</sub>	52.23	-42.41	13.6	44.55	162
B <sub>CIE</sub>	30.57	1.41	-46.46	46.49	272

Daten für Maximalfarbe (Ma):

$LAB^*LAB^*Ma$ : 62 -51 37

$LAB^*LCH^*Ma$ : 62 64 145

$lab^*rgb^*Ma$ : 0.25 1.0 0.0

$lab^*olv^*Ma$ : 0.24 1.0 0.0

Dreiecks-Helligkeit  $t^*$

%Umfang

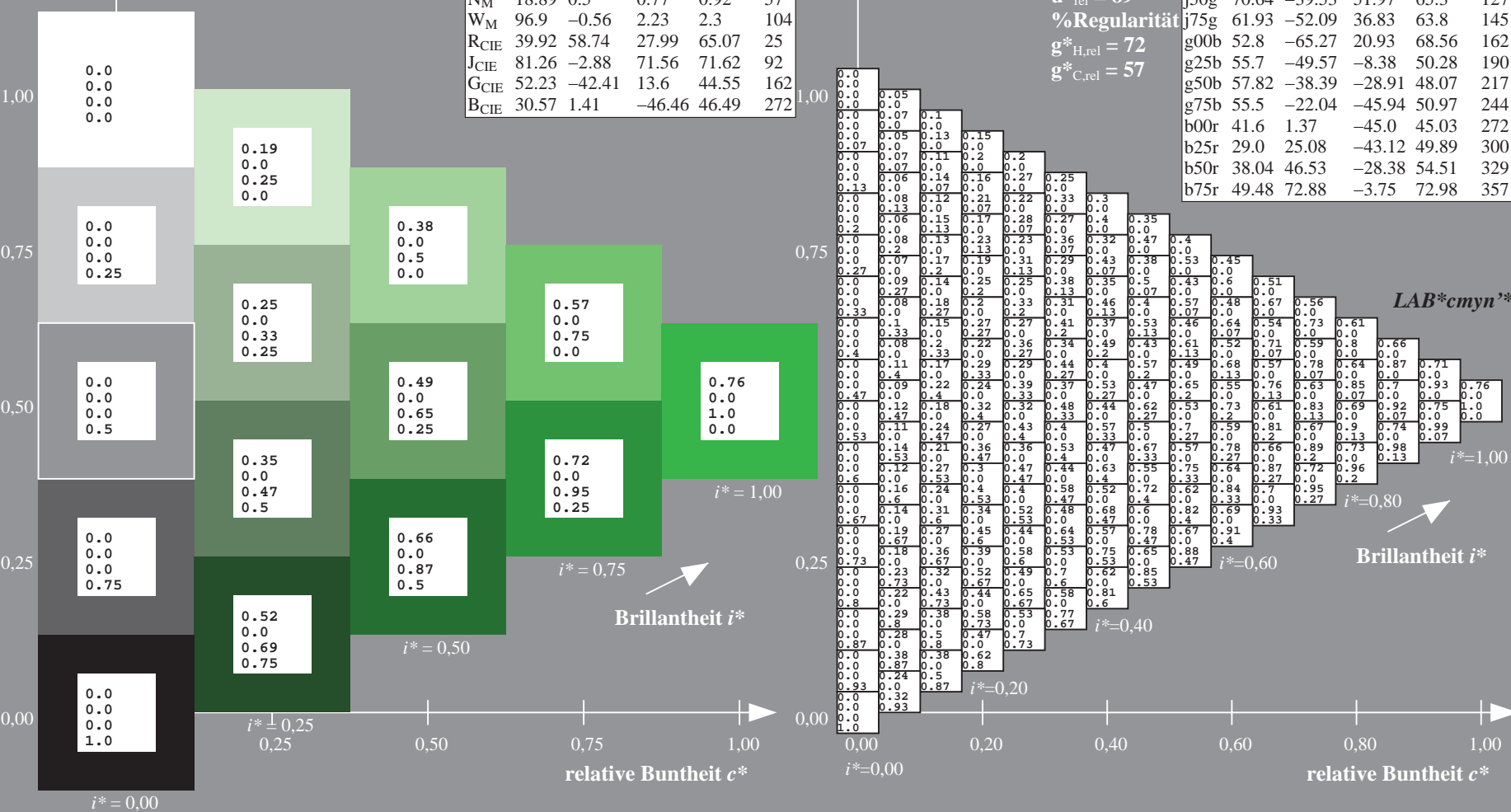
$u^*_{rel} = 89$

%Regularität

$g^*_{H,rel} = 72$

$g^*_{C,rel} = 57$

ORS19_96a; adaptierte CIELAB-Daten					
	$L^*=L^*_a$	$a^*_a$	$b^*_a$	$C^*_{ab,a}$	$h^*_{ab,a}$
r00j	48.88	66.47	31.67	73.63	25
r25j	55.85	52.39	47.48	70.7	42
r50j	65.45	35.22	58.37	68.17	59
r75j	75.19	17.82	69.41	71.66	76
j00g	87.03	-3.34	82.83	82.9	92
j25g	80.72	-25.0	69.5	73.86	110
j50g	70.64	-39.53	51.97	65.3	127
j75g	61.93	-52.09	36.83	63.8	145
g00b	52.8	-65.27	20.93	68.56	162
g25b	55.7	-49.57	-8.38	50.28	190
g50b	57.82	-38.39	-28.91	48.07	217
g75b	55.5	-22.04	-45.94	50.97	244
b00r	41.6	1.37	-45.0	45.03	272
b25r	29.0	25.08	-43.12	49.89	300
b50r	38.04	46.53	-28.38	54.51	329
b75r	49.48	72.88	-3.75	72.98	357



Ein und Ausgabe: Farbmetrisches Drucker-Reflektiv-System ORS19\_96a für relativen CIELAB-Buntton  $h^* = lab^*h^* = h_{ab}/360 = 162/360 = 0.451$   $u^* = g00b$

Daten für jede Farbe:

$lab^*ch^*$  und  $lab^*icu^*$

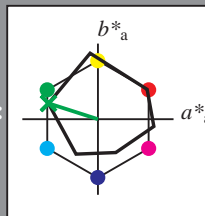
Elementar-Bunttontext:

$u^* = g00b$

Kontrastreduzierungsfaktor:

$c_R = 1.0$

Dreiecks-Helligkeit  $t^*$



ORS19_96a; CIELAB-Daten					
	$L^*=L^*$	$a^*$	$b^*$	$C^*_{ab}$	$h^*_{ab}$
O <sub>M</sub>	48.75	65.16	40.76	76.86	32
Y <sub>M</sub>	90.92	-10.77	89.36	90.01	97
L <sub>M</sub>	52.69	-65.39	22.15	69.05	161
C <sub>M</sub>	59.61	-29.03	-44.68	53.3	237
V <sub>M</sub>	28.39	24.0	-43.17	49.4	299
M <sub>M</sub>	49.58	74.01	-8.21	74.47	354
N <sub>M</sub>	18.89	0.5	0.77	0.92	57
W <sub>M</sub>	96.9	-0.56	2.23	2.3	104
R <sub>CIE</sub>	39.92	58.74	27.99	65.07	25
J <sub>CIE</sub>	81.26	-2.88	71.56	71.62	92
G <sub>CIE</sub>	52.23	-42.41	13.6	44.55	162
B <sub>CIE</sub>	30.57	1.41	-46.46	46.49	272

Daten für Maximalfarbe (Ma):

$LAB^*LAB^*_{Ma}$ : 53 -64 21

$LAB^*LCH^*_{Ma}$ : 53 69 162

$lab^*rgb^*_{Ma}$ : 0.0 1.0 0.0

$lab^*olv^*_{Ma}$ : 0.0 1.0 0.0

Dreiecks-Helligkeit  $t^*$

%Umfang

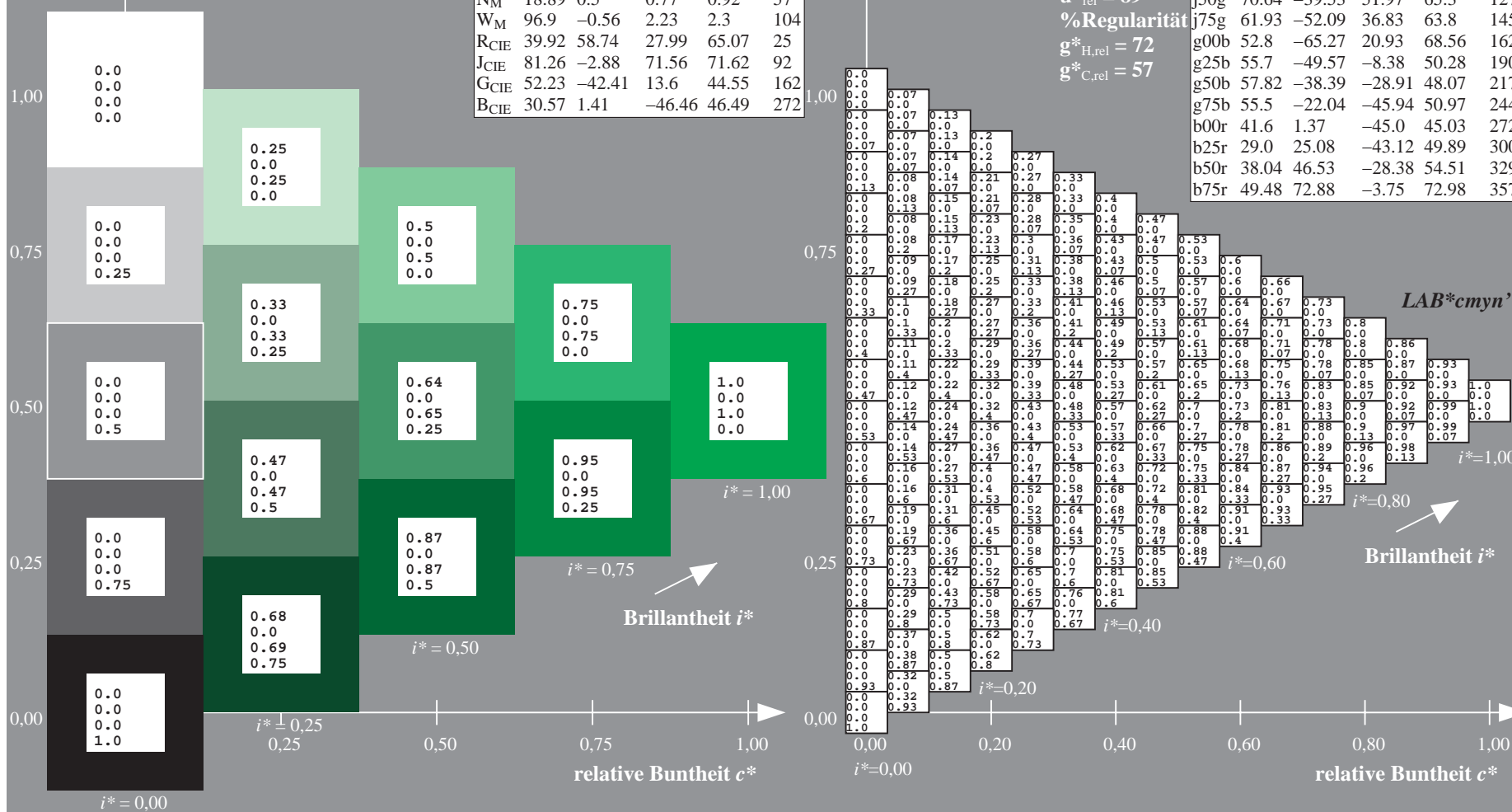
$u^*_{rel} = 89$

%Regularität

$g^*_{H,rel} = 72$

$g^*_{C,rel} = 57$

ORS19_96a; adaptierte CIELAB-Daten					
	$L^*=L^*_a$	$a^*_a$	$b^*_a$	$C^*_{ab,a}$	$h^*_{ab,a}$
r00j	48.88	66.47	31.67	73.63	25
r25j	55.85	52.39	47.48	70.7	42
r50j	65.45	35.22	58.37	68.17	59
r75j	75.19	17.82	69.41	71.66	76
j00g	87.03	-3.34	82.83	82.9	92
j25g	80.72	-25.0	69.5	73.86	110
j50g	70.64	-39.53	51.97	65.3	127
j75g	61.93	-52.09	36.83	63.8	145
g00b	52.8	-65.27	20.93	68.56	162
g25b	55.7	-49.57	-8.38	50.28	190
g50b	57.82	-38.39	-28.91	48.07	217
g75b	55.5	-22.04	-45.94	50.97	244
b00r	41.6	1.37	-45.0	45.03	272
b25r	29.0	25.08	-43.12	49.89	300
b50r	38.04	46.53	-28.38	54.51	329
b75r	49.48	72.88	-3.75	72.98	357



Ein und Ausgabe: Farbmetrisches Drucker-Reflektiv-System ORS19\_96a für relativen CIELAB-Buntton  $h^* = lab^*h^* = h_{ab}/360 = 190/360 = 0.527$   $u^* = g25b$

Daten für jede Farbe:

$lab^*ch^*$  und  $lab^*icu^*$

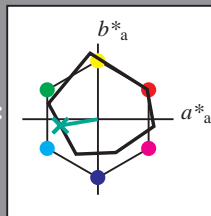
Elementar-Bunttontext:

$u^* = g25b$

Kontrastreduzierungsfaktor:

$c_R = 1.0$

Dreiecks-Helligkeit  $i^*$



ORS19_96a; CIELAB-Daten					
	$L^*=L^*$	$a^*$	$b^*$	$C^*_{ab}$	$h^*_{ab}$
O <sub>M</sub>	48.75	65.16	40.76	76.86	32
Y <sub>M</sub>	90.92	-10.77	89.36	90.01	97
L <sub>M</sub>	52.69	-65.39	22.15	69.05	161
C <sub>M</sub>	59.61	-29.03	-44.68	53.3	237
V <sub>M</sub>	28.39	24.0	-43.17	49.4	299
M <sub>M</sub>	49.58	74.01	-8.21	74.47	354
N <sub>M</sub>	18.89	0.5	0.77	0.92	57
W <sub>M</sub>	96.9	-0.56	2.23	2.3	104
R <sub>CIE</sub>	39.92	58.74	27.99	65.07	25
J <sub>CIE</sub>	81.26	-2.88	71.56	71.62	92
G <sub>CIE</sub>	52.23	-42.41	13.6	44.55	162
B <sub>CIE</sub>	30.57	1.41	-46.46	46.49	272

Daten für Maximalfarbe (Ma):

$LAB^*LAB^*_{Ma}$ : 56 -49 -7

$LAB^*LCH^*_{Ma}$ : 56 50 190

$lab^*rgb^*_{Ma}$ : 0.0 1.0 0.5

$lab^*olv^*_{Ma}$ : 0.0 1.0 0.44

Dreiecks-Helligkeit  $i^*$

%Umfang

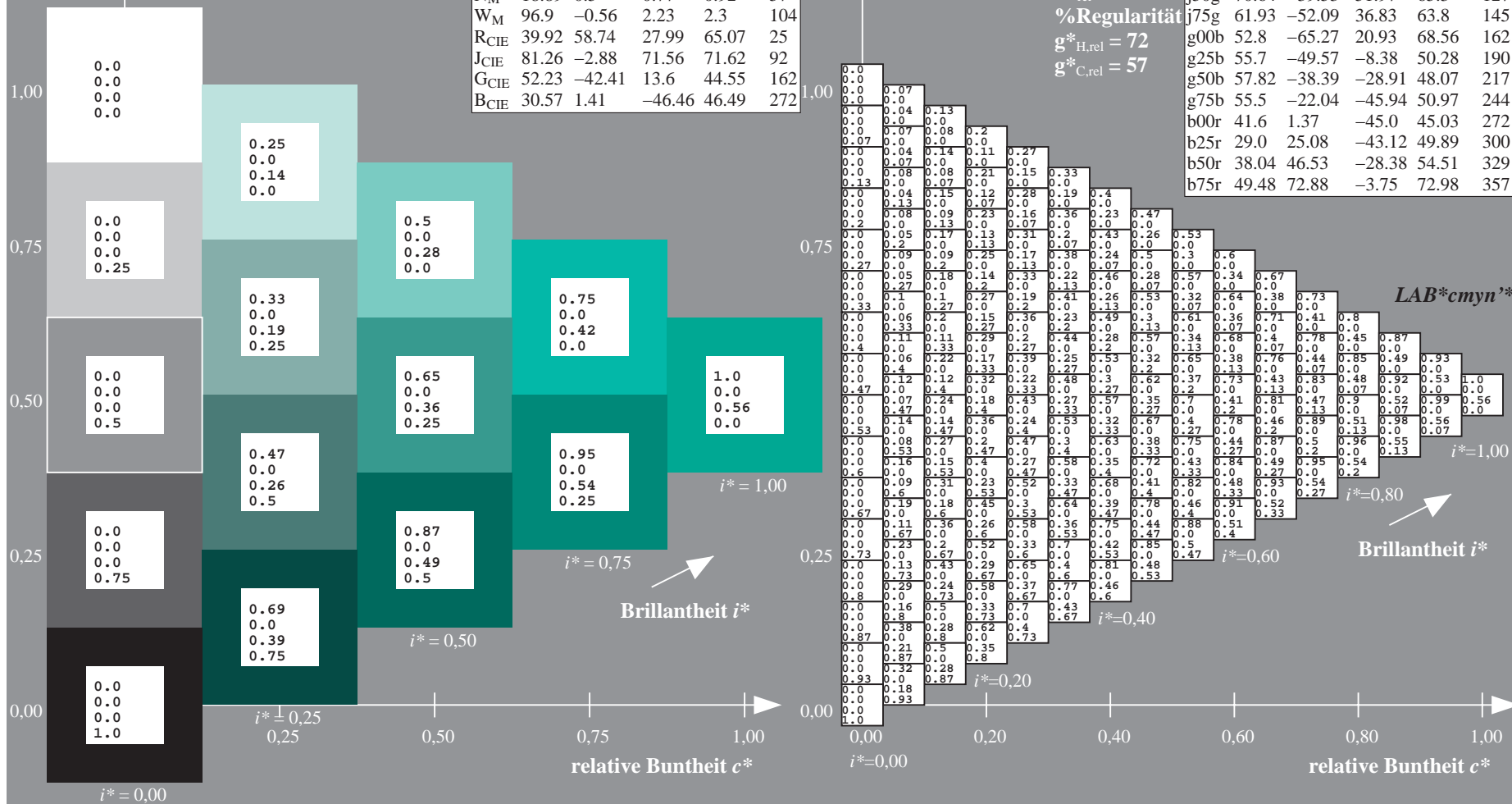
$u^*_{rel} = 89$

%Regularität

$g^*_{H,rel} = 72$

$g^*_{C,rel} = 57$

ORS19_96a; adaptierte CIELAB-Daten					
	$L^*=L^*_a$	$a^*_a$	$b^*_a$	$C^*_{ab,a}$	$h^*_{ab,a}$
r00j	48.88	66.47	31.67	73.63	25
r25j	55.85	52.39	47.48	70.7	42
r50j	65.45	35.22	58.37	68.17	59
r75j	75.19	17.82	69.41	71.66	76
j00g	87.03	-3.34	82.83	82.9	92
j25g	80.72	-25.0	69.5	73.86	110
j50g	70.64	-39.53	51.97	65.3	127
j75g	61.93	-52.09	36.83	63.8	145
g00b	52.8	-65.27	20.93	68.56	162
g25b	55.7	-49.57	-8.38	50.28	190
g50b	57.82	-38.39	-28.91	48.07	217
g75b	55.5	-22.04	-45.94	50.97	244
b00r	41.6	1.37	-45.0	45.03	272
b25r	29.0	25.08	-43.12	49.89	300
b50r	38.04	46.53	-28.38	54.51	329
b75r	49.48	72.88	-3.75	72.98	357





Ein und Ausgabe: Farbmetrisches Drucker-Reflektiv-System ORS19\_96a für relativen CIELAB-Buntton  $h^* = lab^*h^* = h_{ab}/360 = 217/360 = 0.603$   $u^* = g50b$

Daten für jede Farbe:

$lab^*ch^*$  und  $lab^*icu^*$

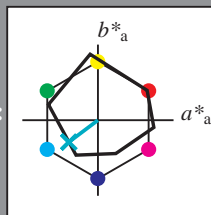
Elementar-Bunttontext:

$u^* = g50b$

Kontrastreduzierungsfaktor:

$c_R = 1.0$

Dreiecks-Helligkeit  $i^*$



ORS19_96a; CIELAB-Daten					
	$L^*=L^*$	$a^*$	$b^*$	$C^*_{ab}$	$h^*_{ab}$
O <sub>M</sub>	48.75	65.16	40.76	76.86	32
Y <sub>M</sub>	90.92	-10.77	89.36	90.01	97
L <sub>M</sub>	52.69	-65.39	22.15	69.05	161
C <sub>M</sub>	59.61	-29.03	-44.68	53.3	237
V <sub>M</sub>	28.39	24.0	-43.17	49.4	299
M <sub>M</sub>	49.58	74.01	-8.21	74.47	354
N <sub>M</sub>	18.89	0.5	0.77	0.92	57
W <sub>M</sub>	96.9	-0.56	2.23	2.3	104
R <sub>CIE</sub>	39.92	58.74	27.99	65.07	25
J <sub>CIE</sub>	81.26	-2.88	71.56	71.62	92
G <sub>CIE</sub>	52.23	-42.41	13.6	44.55	162
B <sub>CIE</sub>	30.57	1.41	-46.46	46.49	272

Daten für Maximalfarbe (Ma):

$LAB^*LAB^*_{Ma}$ : 58 -37 -28

$LAB^*LCH^*_{Ma}$ : 58 48 217

$lab^*rgb^*_{Ma}$ : 0.0 1.0 1.0

$lab^*olv^*_{Ma}$ : 0.0 1.0 0.74

Dreiecks-Helligkeit  $i^*$

%Umfang

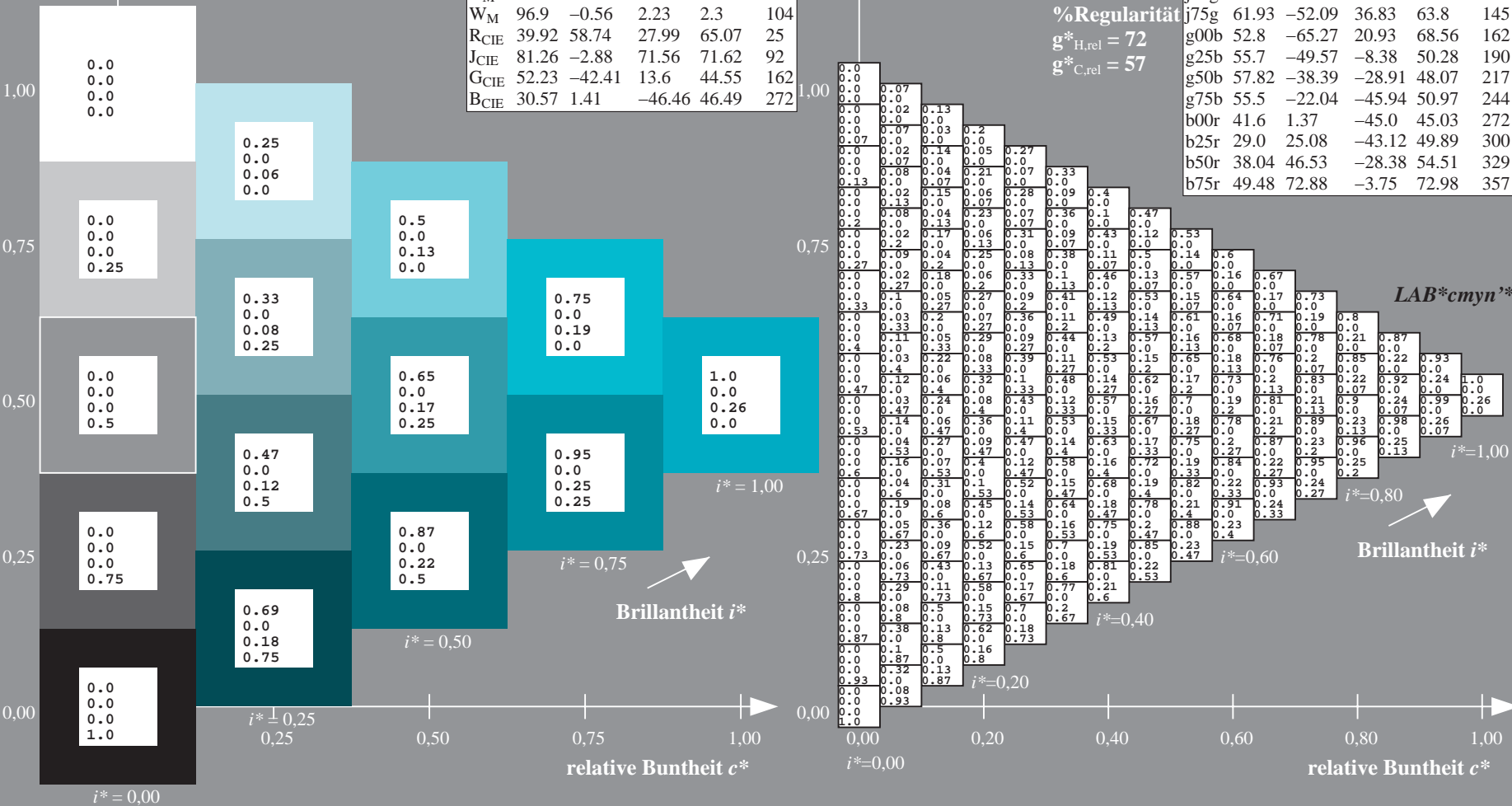
$u^*_{rel} = 89$

%Regularität

$g^*_{H,rel} = 72$

$g^*_{C,rel} = 57$

ORS19_96a; adaptierte CIELAB-Daten					
	$L^*=L^*_a$	$a^*_a$	$b^*_a$	$C^*_{ab,a}$	$h^*_{ab,a}$
r00j	48.88	66.47	31.67	73.63	25
r25j	55.85	52.39	47.48	70.7	42
r50j	65.45	35.22	58.37	68.17	59
r75j	75.19	17.82	69.41	71.66	76
j00g	87.03	-3.34	82.83	82.9	92
j25g	80.72	-25.0	69.5	73.86	110
j50g	70.64	-39.53	51.97	65.3	127
j75g	61.93	-52.09	36.83	63.8	145
g00b	52.8	-65.27	20.93	68.56	162
g25b	55.7	-49.57	-8.38	50.28	190
g50b	57.82	-38.39	-28.91	48.07	217
g75b	55.5	-22.04	-45.94	50.97	244
b00r	41.6	1.37	-45.0	45.03	272
b25r	29.0	25.08	-43.12	49.89	300
b50r	38.04	46.53	-28.38	54.51	329
b75r	49.48	72.88	-3.75	72.98	357



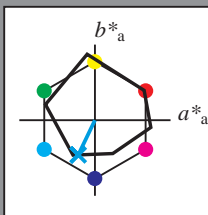
Ein und Ausgabe: Farbmetrisches Drucker-Reflektiv-System ORS19\_96a für relativen CIELAB-Buntton  $h^* = lab^*h^* = h_{ab}/360 = 244/360 = 0.679$   $u^* = g75b$

Daten für jede Farbe:  
 $lab^*ch^*$  und  $lab^*icu^*$

Elementar-Bunttontext:  
 $u^* = g75b$

Kontrastreduzierungsfaktor:  
 $c_R = 1.0$

Dreiecks-Helligkeit  $i^*$



ORS19_96a; CIELAB-Daten					
	$L^*=L^*$	$a^*$	$b^*$	$C^*_{ab}$	$h^*_{ab}$
O <sub>M</sub>	48.75	65.16	40.76	76.86	32
Y <sub>M</sub>	90.92	-10.77	89.36	90.01	97
L <sub>M</sub>	52.69	-65.39	22.15	69.05	161
C <sub>M</sub>	59.61	-29.03	-44.68	53.3	237
V <sub>M</sub>	28.39	24.0	-43.17	49.4	299
M <sub>M</sub>	49.58	74.01	-8.21	74.47	354
N <sub>M</sub>	18.89	0.5	0.77	0.92	57
W <sub>M</sub>	96.9	-0.56	2.23	2.3	104
R <sub>CIE</sub>	39.92	58.74	27.99	65.07	25
J <sub>CIE</sub>	81.26	-2.88	71.56	71.62	92
G <sub>CIE</sub>	52.23	-42.41	13.6	44.55	162
B <sub>CIE</sub>	30.57	1.41	-46.46	46.49	272

Daten für Maximalfarbe (Ma):

$LAB^*LAB^*_{Ma}$ : 55 -21 -45

$LAB^*LCH^*_{Ma}$ : 55 51 244

$lab^*rgb^*_{Ma}$ : 0.0 0.5 1.0

$lab^*olv^*_{Ma}$ : 0.0 0.87 1.0

Dreiecks-Helligkeit  $i^*$

%Umfang

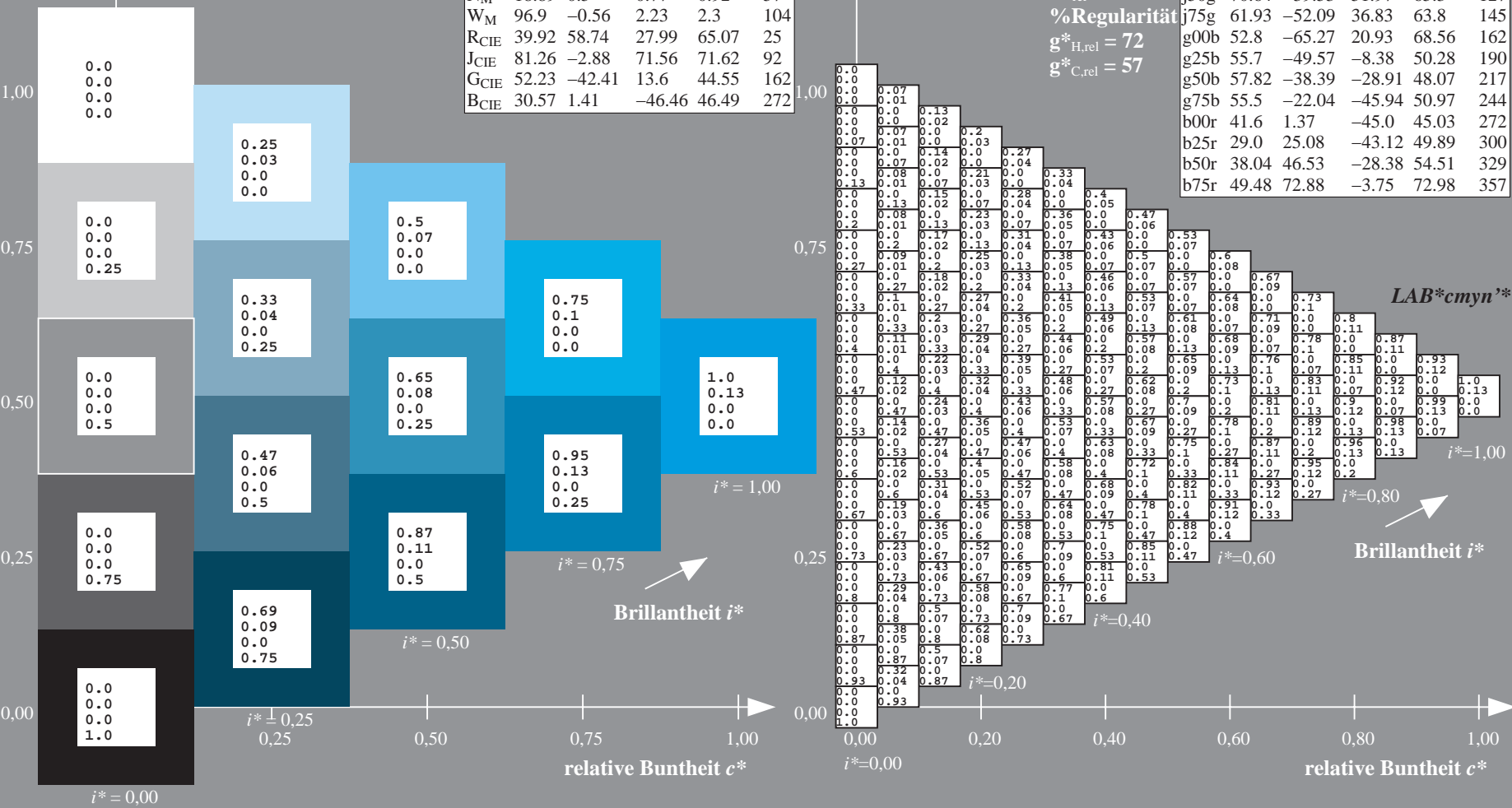
$u^*_{rel} = 89$

%Regularität

$g^*_{H,rel} = 72$

$g^*_{C,rel} = 57$

ORS19_96a; adaptierte CIELAB-Daten					
	$L^*=L^*_a$	$a^*_a$	$b^*_a$	$C^*_{ab,a}$	$h^*_{ab,a}$
r00j	48.88	66.47	31.67	73.63	25
r25j	55.85	52.39	47.48	70.7	42
r50j	65.45	35.22	58.37	68.17	59
r75j	75.19	17.82	69.41	71.66	76
j00g	87.03	-3.34	82.83	82.9	92
j25g	80.72	-25.0	69.5	73.86	110
j50g	70.64	-39.53	51.97	65.3	127
j75g	61.93	-52.09	36.83	63.8	145
g00b	52.8	-65.27	20.93	68.56	162
g25b	55.7	-49.57	-8.38	50.28	190
g50b	57.82	-38.39	-28.91	48.07	217
g75b	55.5	-22.04	-45.94	50.97	244
b00r	41.6	1.37	-45.0	45.03	272
b25r	29.0	25.08	-43.12	49.89	300
b50r	38.04	46.53	-28.38	54.51	329
b75r	49.48	72.88	-3.75	72.98	357



Ein und Ausgabe: Farbmetrisches Drucker-Reflektiv-System ORS19\_96a für relativen CIELAB-Buntton  $h^* = lab^*h^* = h_{ab}/360 = 272/360 = 0.755$   $u^* = b00r$

Daten für jede Farbe:

$lab^*ch^*$  und  $lab^*icu^*$

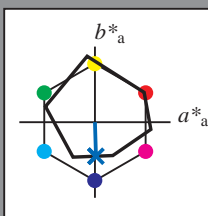
Elementar-Bunttontext:

$u^* = b00r$

Kontrastreduzierungsfaktor:

$c_R = 1.0$

Dreiecks-Helligkeit  $t^*$



ORS19_96a; CIELAB-Daten					
	$L^*=L^*$	$a^*$	$b^*$	$C^*_{ab}$	$h^*_{ab}$
O <sub>M</sub>	48.75	65.16	40.76	76.86	32
Y <sub>M</sub>	90.92	-10.77	89.36	90.01	97
L <sub>M</sub>	52.69	-65.39	22.15	69.05	161
C <sub>M</sub>	59.61	-29.03	-44.68	53.3	237
V <sub>M</sub>	28.39	24.0	-43.17	49.4	299
M <sub>M</sub>	49.58	74.01	-8.21	74.47	354
N <sub>M</sub>	18.89	0.5	0.77	0.92	57
W <sub>M</sub>	96.9	-0.56	2.23	2.3	104
R <sub>CIE</sub>	39.92	58.74	27.99	65.07	25
J <sub>CIE</sub>	81.26	-2.88	71.56	71.62	92
G <sub>CIE</sub>	52.23	-42.41	13.6	44.55	162
B <sub>CIE</sub>	30.57	1.41	-46.46	46.49	272

Daten für Maximalfarbe (Ma):

$LAB^*LAB^*_{Ma}$ : 42 1 -44

$LAB^*LCH^*_{Ma}$ : 42 45 272

$lab^*rgb^*_{Ma}$ : 0.0 0.0 1.0

$lab^*olv^*_{Ma}$ : 0.0 0.42 1.0

Dreiecks-Helligkeit  $t^*$

%Umfang

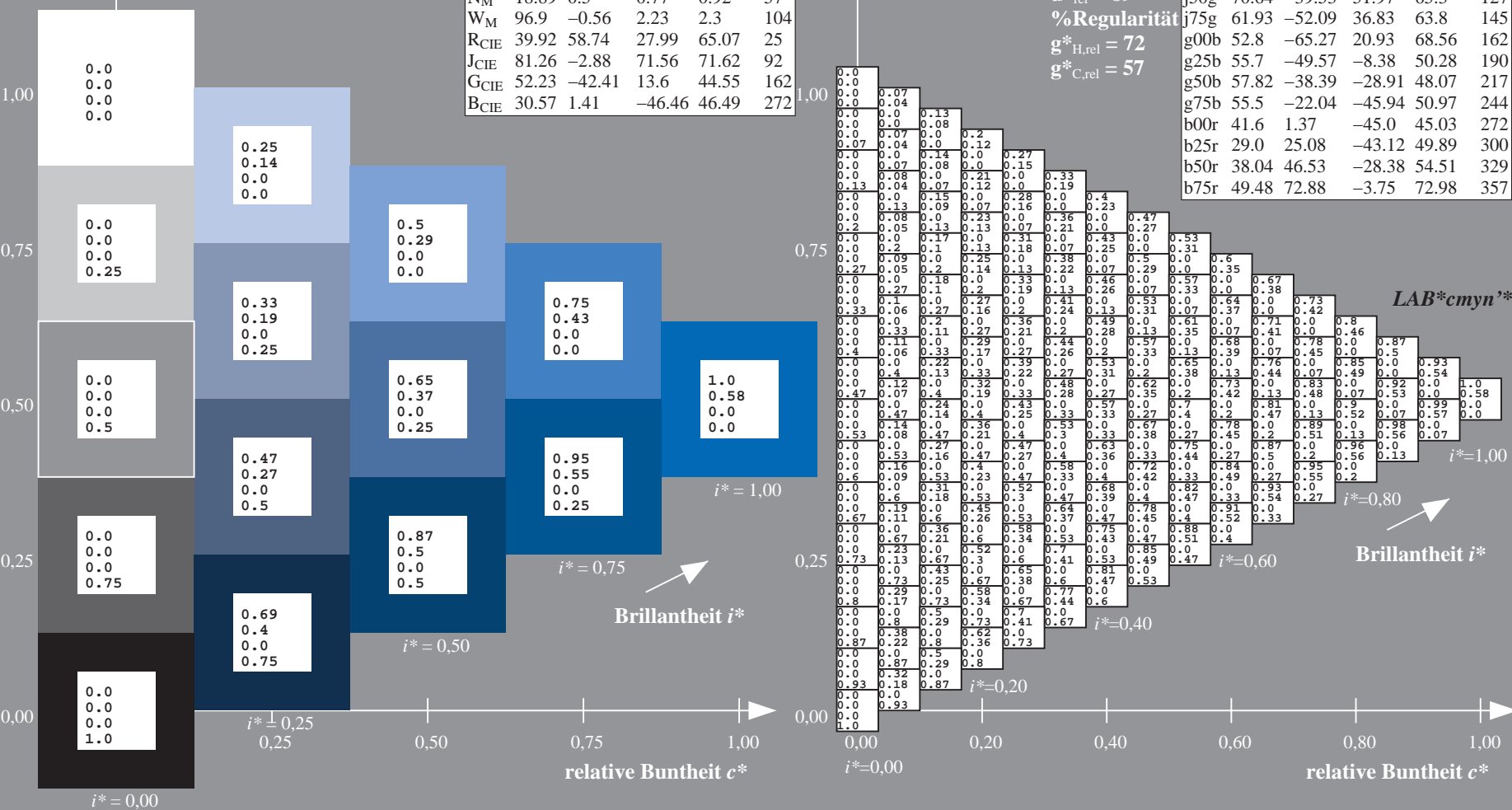
$u^*_{rel} = 89$

%Regularität

$g^*_{H,rel} = 72$

$g^*_{C,rel} = 57$

ORS19_96a; adaptierte CIELAB-Daten					
	$L^*=L^*_a$	$a^*_a$	$b^*_a$	$C^*_{ab,a}$	$h^*_{ab,a}$
r00j	48.88	66.47	31.67	73.63	25
r25j	55.85	52.39	47.48	70.7	42
r50j	65.45	35.22	58.37	68.17	59
r75j	75.19	17.82	69.41	71.66	76
j00g	87.03	-3.34	82.83	82.9	92
j25g	80.72	-25.0	69.5	73.86	110
j50g	70.64	-39.53	51.97	65.3	127
j75g	61.93	-52.09	36.83	63.8	145
g00b	52.8	-65.27	20.93	68.56	162
g25b	55.7	-49.57	-8.38	50.28	190
g50b	57.82	-38.39	-28.91	48.07	217
g75b	55.5	-22.04	-45.94	50.97	244
b00r	41.6	1.37	-45.0	45.03	272
b25r	29.0	25.08	-43.12	49.89	300
b50r	38.04	46.53	-28.38	54.51	329
b75r	49.48	72.88	-3.75	72.98	357



Ein und Ausgabe: Farbmetrisches Drucker-Reflektiv-System ORS19\_96a für relativen CIELAB-Buntton  $h^* = lab^*h^* = h_{ab}/360 = 300/360 = 0.834$   $u^* = b25r$

Daten für jede Farbe:

$lab^*ch^*$  und  $lab^*icu^*$

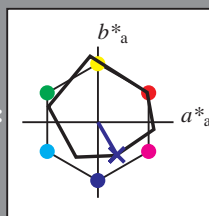
Elementar-Bunttontext:

$u^* = b25r$

Kontrastreduzierungsfaktor:

$c_R = 1.0$

Dreiecks-Helligkeit  $t^*$



ORS19_96a; CIELAB-Daten					
	$L^*=L^*$	$a^*$	$b^*$	$C^*_{ab}$	$h^*_{ab}$
O <sub>M</sub>	48.75	65.16	40.76	76.86	32
Y <sub>M</sub>	90.92	-10.77	89.36	90.01	97
L <sub>M</sub>	52.69	-65.39	22.15	69.05	161
C <sub>M</sub>	59.61	-29.03	-44.68	53.3	237
V <sub>M</sub>	28.39	24.0	-43.17	49.4	299
M <sub>M</sub>	49.58	74.01	-8.21	74.47	354
N <sub>M</sub>	18.89	0.5	0.77	0.92	57
W <sub>M</sub>	96.9	-0.56	2.23	2.3	104
R <sub>CIE</sub>	39.92	58.74	27.99	65.07	25
J <sub>CIE</sub>	81.26	-2.88	71.56	71.62	92
G <sub>CIE</sub>	52.23	-42.41	13.6	44.55	162
B <sub>CIE</sub>	30.57	1.41	-46.46	46.49	272

Daten für Maximalfarbe (Ma):

$LAB^*LAB^*_{Ma}$ : 29 25 -42

$LAB^*LCH^*_{Ma}$ : 29 50 300

$lab^*rgb^*_{Ma}$ : 0.5 0.0 1.0

$lab^*olv^*_{Ma}$ : 0.03 0.0 1.0

Dreiecks-Helligkeit  $t^*$

%Umfang

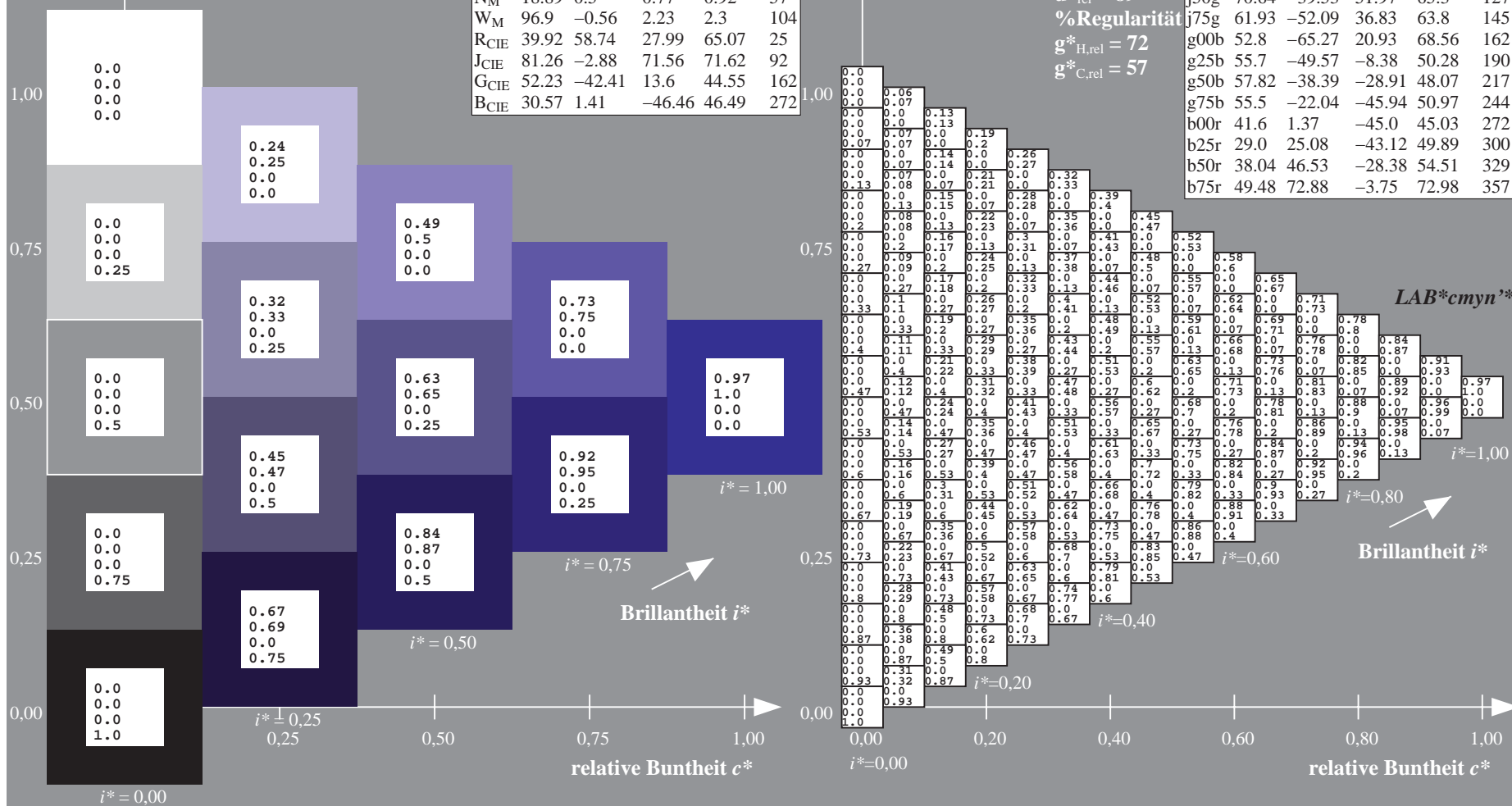
$u^*_{rel} = 89$

%Regularität

$g^*_{H,rel} = 72$

$g^*_{C,rel} = 57$

ORS19_96a; adaptierte CIELAB-Daten					
	$L^*=L^*_a$	$a^*_a$	$b^*_a$	$C^*_{ab,a}$	$h^*_{ab,a}$
r00j	48.88	66.47	31.67	73.63	25
r25j	55.85	52.39	47.48	70.7	42
r50j	65.45	35.22	58.37	68.17	59
r75j	75.19	17.82	69.41	71.66	76
j00g	87.03	-3.34	82.83	82.9	92
j25g	80.72	-25.0	69.5	73.86	110
j50g	70.64	-39.53	51.97	65.3	127
j75g	61.93	-52.09	36.83	63.8	145
g00b	52.8	-65.27	20.93	68.56	162
g25b	55.7	-49.57	-8.38	50.28	190
g50b	57.82	-38.39	-28.91	48.07	217
g75b	55.5	-22.04	-45.94	50.97	244
b00r	41.6	1.37	-45.0	45.03	272
b25r	29.0	25.08	-43.12	49.89	300
b50r	38.04	46.53	-28.38	54.51	329
b75r	49.48	72.88	-3.75	72.98	357





Ein und Ausgabe: Farbmetrisches Drucker-Reflektiv-System ORS19\_96a für relativen CIELAB-Buntton  $h^* = lab^*h^* = h_{ab}/360 = 329/360 = 0.913$   $u^* = b50r$

Daten für jede Farbe:

$lab^*ch^*$  und  $lab^*icu^*$

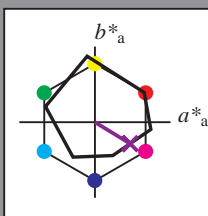
Elementar-Bunttontext:

$u^* = b50r$

Kontrastreduzierungsfaktor:

$c_R = 1.0$

Dreiecks-Helligkeit  $t^*$



ORS19_96a; CIELAB-Daten					
	$L^*=L^*$	$a^*$	$b^*$	$C^*_{ab}$	$h^*_{ab}$
O <sub>M</sub>	48.75	65.16	40.76	76.86	32
Y <sub>M</sub>	90.92	-10.77	89.36	90.01	97
L <sub>M</sub>	52.69	-65.39	22.15	69.05	161
C <sub>M</sub>	59.61	-29.03	-44.68	53.3	237
V <sub>M</sub>	28.39	24.0	-43.17	49.4	299
M <sub>M</sub>	49.58	74.01	-8.21	74.47	354
N <sub>M</sub>	18.89	0.5	0.77	0.92	57
W <sub>M</sub>	96.9	-0.56	2.23	2.3	104
R <sub>CIE</sub>	39.92	58.74	27.99	65.07	25
J <sub>CIE</sub>	81.26	-2.88	71.56	71.62	92
G <sub>CIE</sub>	52.23	-42.41	13.6	44.55	162
B <sub>CIE</sub>	30.57	1.41	-46.46	46.49	272

Daten für Maximalfarbe (Ma):

$LAB^*LAB^*_{Ma}$ : 38 47 -27

$LAB^*LCH^*_{Ma}$ : 38 55 329

$lab^*rgb^*_{Ma}$ : 1.0 0.0 1.0

$lab^*olv^*_{Ma}$ : 0.46 0.0 1.0

Dreiecks-Helligkeit  $t^*$

%Umfang

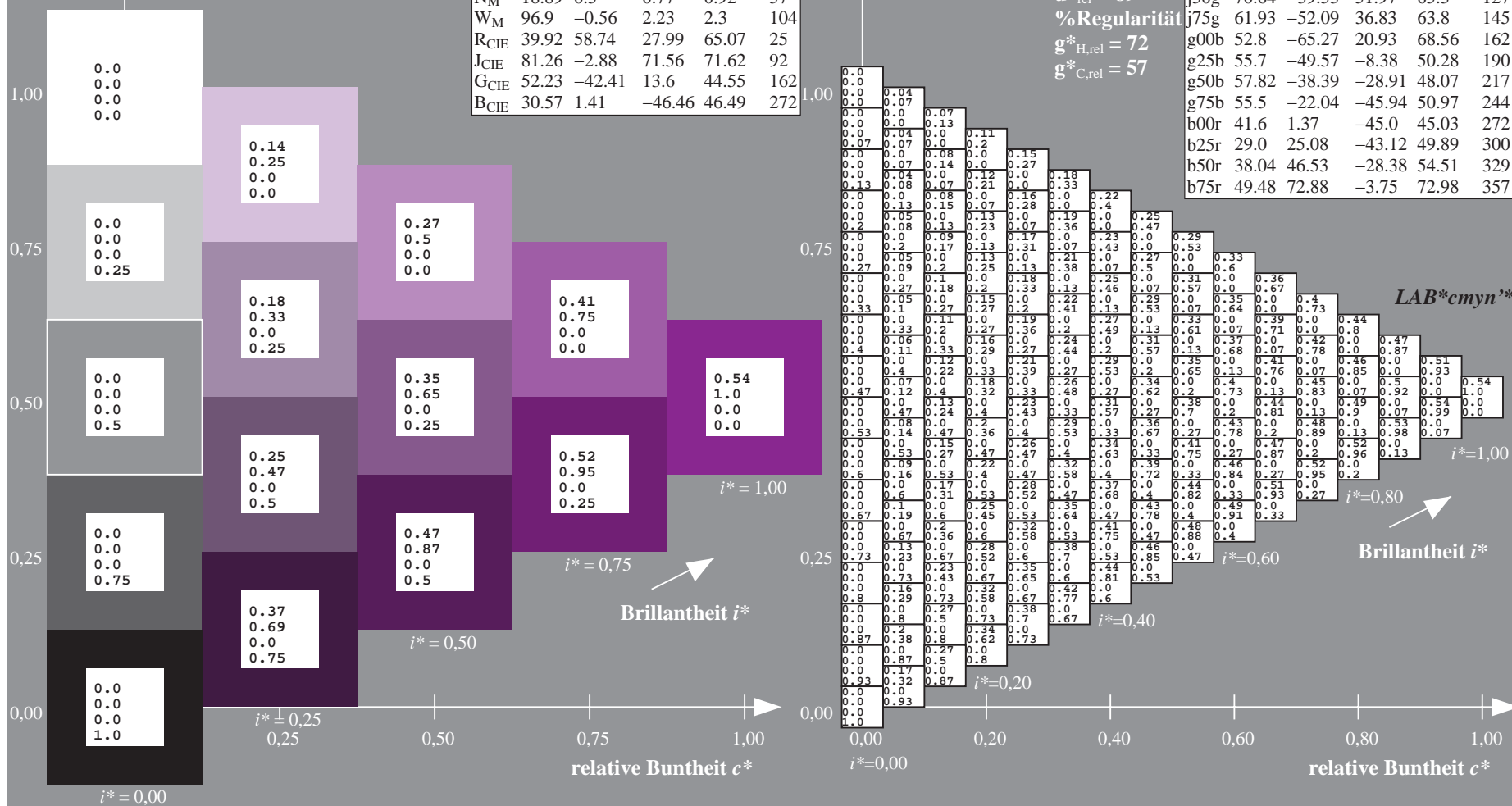
$u^*_{rel} = 89$

%Regularität

$g^*_{H,rel} = 72$

$g^*_{C,rel} = 57$

ORS19_96a; adaptierte CIELAB-Daten					
	$L^*=L^*_a$	$a^*_a$	$b^*_a$	$C^*_{ab,a}$	$h^*_{ab,a}$
r00j	48.88	66.47	31.67	73.63	25
r25j	55.85	52.39	47.48	70.7	42
r50j	65.45	35.22	58.37	68.17	59
r75j	75.19	17.82	69.41	71.66	76
j00g	87.03	-3.34	82.83	82.9	92
j25g	80.72	-25.0	69.5	73.86	110
j50g	70.64	-39.53	51.97	65.3	127
j75g	61.93	-52.09	36.83	63.8	145
g00b	52.8	-65.27	20.93	68.56	162
g25b	55.7	-49.57	-8.38	50.28	190
g50b	57.82	-38.39	-28.91	48.07	217
g75b	55.5	-22.04	-45.94	50.97	244
b00r	41.6	1.37	-45.0	45.03	272
b25r	29.0	25.08	-43.12	49.89	300
b50r	38.04	46.53	-28.38	54.51	329
b75r	49.48	72.88	-3.75	72.98	357



Ein und Ausgabe: Farbmetrisches Drucker-Reflektiv-System ORS19\_96a für relativen CIELAB-Buntton  $h^* = lab^*h^* = h_{ab}/360 = 357/360 = 0.992$   $u^* = b75r$

Daten für jede Farbe:

$lab^*ch^*$  und  $lab^*icu^*$

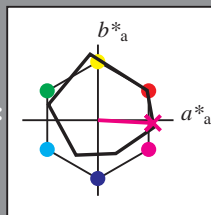
Elementar-Bunttontext:

$u^* = b75r$

Kontrastreduzierungsfaktor:

$c_R = 1.0$

Dreiecks-Helligkeit  $t^*$



ORS19_96a; CIELAB-Daten					
	$L^*=L^*$	$a^*$	$b^*$	$C^*_{ab}$	$h^*_{ab}$
O <sub>M</sub>	48.75	65.16	40.76	76.86	32
Y <sub>M</sub>	90.92	-10.77	89.36	90.01	97
L <sub>M</sub>	52.69	-65.39	22.15	69.05	161
C <sub>M</sub>	59.61	-29.03	-44.68	53.3	237
V <sub>M</sub>	28.39	24.0	-43.17	49.4	299
M <sub>M</sub>	49.58	74.01	-8.21	74.47	354
N <sub>M</sub>	18.89	0.5	0.77	0.92	57
W <sub>M</sub>	96.9	-0.56	2.23	2.3	104
R <sub>CIE</sub>	39.92	58.74	27.99	65.07	25
J <sub>CIE</sub>	81.26	-2.88	71.56	71.62	92
G <sub>CIE</sub>	52.23	-42.41	13.6	44.55	162
B <sub>CIE</sub>	30.57	1.41	-46.46	46.49	272

Daten für Maximalfarbe (Ma):

$LAB^*LAB^*_{Ma}$ : 49 73 -3

$LAB^*LCH^*_{Ma}$ : 49 73 357

$lab^*rgb^*_{Ma}$ : 1.0 0.0 0.5

$lab^*olv^*_{Ma}$ : 1.0 0.0 0.88

Dreiecks-Helligkeit  $t^*$

%Umfang

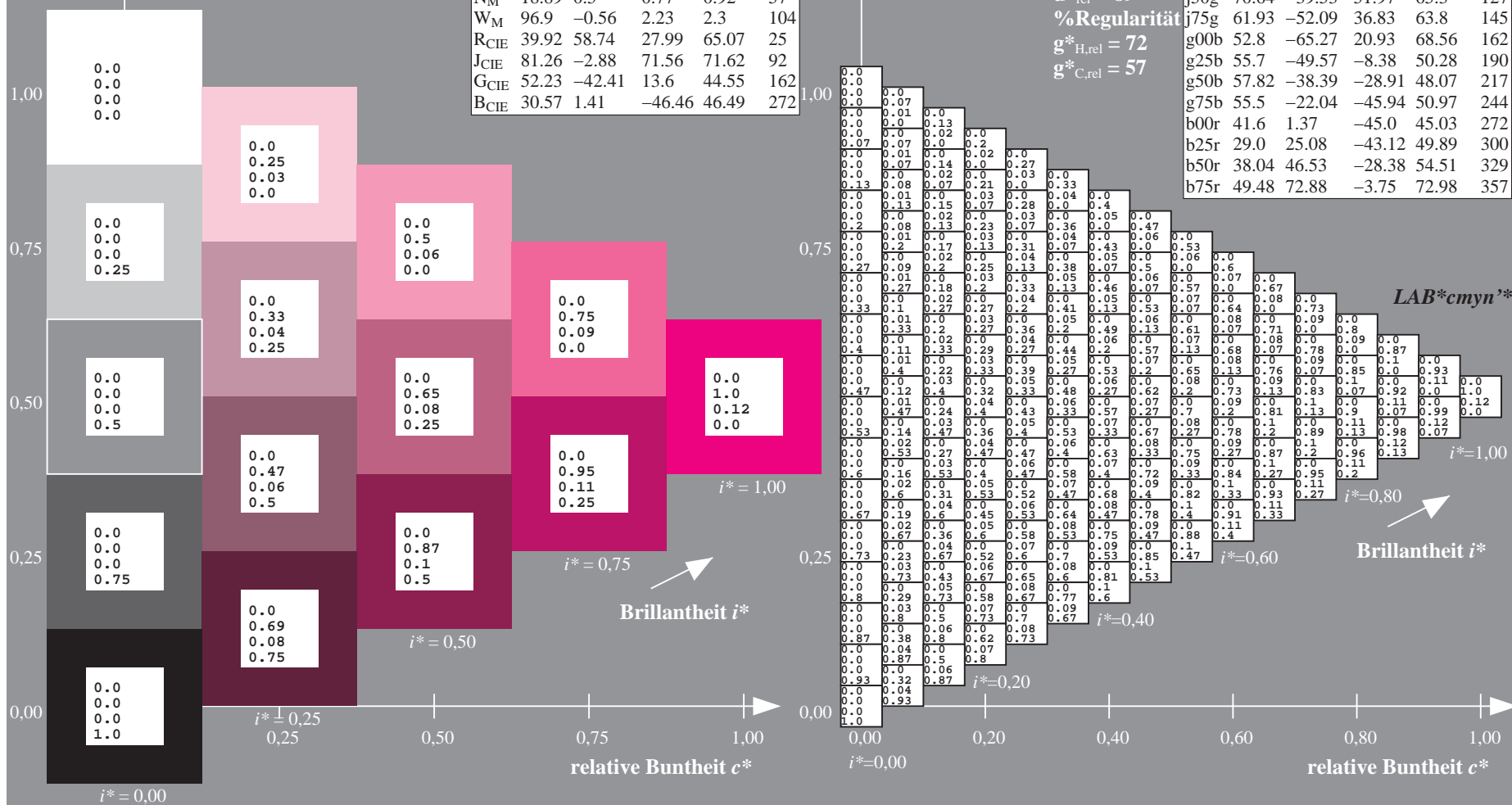
$u^*_{rel} = 89$

%Regularität

$g^*_{H,rel} = 72$

$g^*_{C,rel} = 57$

ORS19_96a; adaptierte CIELAB-Daten					
	$L^*=L^*_a$	$a^*_a$	$b^*_a$	$C^*_{ab,a}$	$h^*_{ab,a}$
r00j	48.88	66.47	31.67	73.63	25
r25j	55.85	52.39	47.48	70.7	42
r50j	65.45	35.22	58.37	68.17	59
r75j	75.19	17.82	69.41	71.66	76
j00g	87.03	-3.34	82.83	82.9	92
j25g	80.72	-25.0	69.5	73.86	110
j50g	70.64	-39.53	51.97	65.3	127
j75g	61.93	-52.09	36.83	63.8	145
g00b	52.8	-65.27	20.93	68.56	162
g25b	55.7	-49.57	-8.38	50.28	190
g50b	57.82	-38.39	-28.91	48.07	217
g75b	55.5	-22.04	-45.94	50.97	244
b00r	41.6	1.37	-45.0	45.03	272
b25r	29.0	25.08	-43.12	49.89	300
b50r	38.04	46.53	-28.38	54.51	329
b75r	49.48	72.88	-3.75	72.98	357



[illegible]